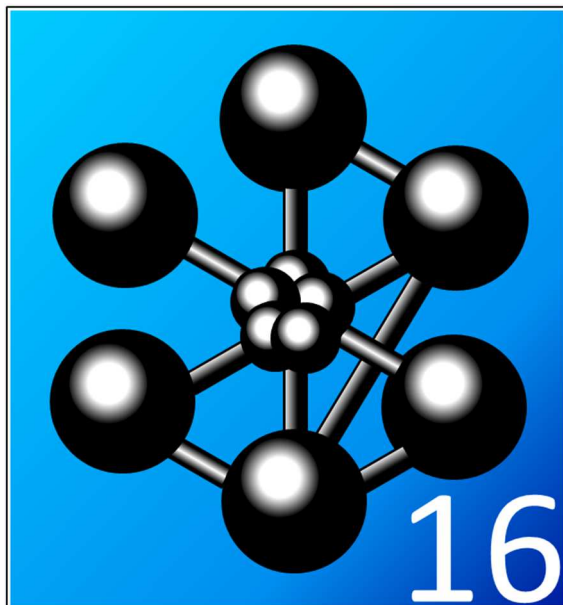


Cast3M

---

## Guide de validation





---

Cast3M est un logiciel de calcul par la méthode des éléments finis pour la mécanique des structures et des fluides. Cast3M est développé au Département de Modélisation des Systèmes et Structures (DM2S) de la Direction de l'Énergie Nucléaire du Commissariat à l'Énergie Atomique et aux Énergies Alternatives (CEA).

Le développement de Cast3M entre dans le cadre d'une activité de recherche dans le domaine de la mécanique dont le but est de définir un instrument de haut niveau, pouvant servir de support pour la conception, le dimensionnement et l'analyse de structures et de composants.

Dans cette optique, Cast3M intègre non seulement les processus de résolution (solveur) mais également les fonctions de construction du modèle (pré-processeur) et d'exploitation des résultats (post-traitement). Cast3M est un logiciel « boîte à outils » qui permet à l'utilisateur de développer des fonctions répondant à ses besoins propres.

Cast3M est notamment utilisé dans le secteur de l'énergie nucléaire, comme outil de modélisation ou comme plateforme de développement d'applications spécialisées. Il est également utilisé par différents partenaires académiques à des fins d'enseignement et de recherche, ainsi que par l'Institut de Radioprotection et de Sécurité Nucléaire (IRSN).

---



## SOMMAIRE

|  |           |
|--|-----------|
| <b>1. PRESENTATION DU DOCUMENT .....</b> | <b>15</b> |
| 1.1 OBJET DU DOCUMENT .....              | 15        |
| 1.2 METHODE .....                        | 15        |
| 1.3 DOMAINE DE COUVERTURE.....           | 15        |
| 1.4 RESTRICTIONS .....                   | 15        |
| 1.4.1 Domaine de couverture.....         | 15        |
| 1.4.2 Version Cast3M .....               | 15        |
| 1.5 PLATEFORMES INFORMATIQUES .....      | 15        |
| <b>2. RÉFÉRENCES .....</b>               | <b>16</b> |
| <b>3. DOMAINE DE COUVERTURE.....</b>     | <b>17</b> |
| 3.1 DOMAINES D'UTILISATION.....          | 17        |
| 3.1.1 Mécanique.....                     | 17        |
| 3.1.2 Thermique .....                    | 17        |
| 3.1.3 Thermo-Mécanique.....              | 17        |
| 3.1.4 Graphisme.....                     | 17        |
| 3.2 TYPE D'ELEMENT FINIS.....            | 18        |
| 3.2.1 Éléments massifs.....              | 18        |
| 3.2.2 Coques.....                        | 18        |
| 3.2.3 Poutres et tuyaux .....            | 18        |
| 3.2.4 Raccords .....                     | 18        |
| 3.2.5 Liquides.....                      | 18        |
| <b>4. NOMENCLATURE .....</b>             | <b>19</b> |
| 4.1 DESCRIPTION D'UN TEST .....          | 19        |
| 4.2 NOTATIONS .....                      | 19        |
| <b>5. MECANIQUE .....</b>                | <b>21</b> |
| 5.1 COMPOSITE.....                       | 21        |
| 5.1.1 comp1.dgibi.....                   | 21        |
| 5.1.2 comp2.dgibi.....                   | 25        |
| 5.2 ELASTICITE .....                     | 28        |
| 5.2.1 elas1.dgibi.....                   | 28        |
| 5.2.2 elas2.dgibi.....                   | 31        |
| 5.2.3 elas3.dgibi .....                  | 34        |
| 5.2.4 elas4.dgibi .....                  | 37        |
| 5.2.5 elas5.dgibi .....                  | 42        |
| 5.2.6 elas6.dgibi .....                  | 46        |
| 5.2.7 elas7.dgibi .....                  | 50        |
| 5.2.8 elas8.dgibi .....                  | 54        |
| 5.2.9 elas9.dgibi .....                  | 59        |
| 5.2.10 elas10.dgibi .....                | 63        |
| 5.2.11 elas11.dgibi .....                | 68        |
| 5.2.12 elas12.dgibi .....                | 73        |
| 5.2.13 elas13.dgibi .....                | 77        |
| 5.2.14 orth6.dgibi .....                 | 81        |
| 5.2.15 stru1.dgibi.....                  | 85        |
| 5.3 FLAMBAGE .....                       | 89        |
| 5.3.1 flam1.dgibi.....                   | 89        |
| 5.3.2 four1.dgibi .....                  | 92        |
| 5.3.3 four2.dgibi .....                  | 95        |
| 5.4 PLASTICITE .....                     | 98        |
| 5.4.1 plas1.dgibi .....                  | 98        |
| 5.4.2 plas2.dgibi .....                  | 102       |
| 5.4.3 plas4.dgibi .....                  | 106       |
| 5.4.4 plas5.dgibi .....                  | 110       |
| 5.4.5 plas6.dgibi .....                  | 113       |

|        |                                       |     |
|--------|---------------------------------------|-----|
| 5.4.6  | plas7.dgibi .....                     | 118 |
| 5.4.7  | plas8.dgibi .....                     | 123 |
| 5.4.8  | vpla3.dgibi .....                     | 128 |
| 5.5    | DYNAMIQUE.....                        | 132 |
| 5.5.1  | dyna6.dgibi .....                     | 132 |
| 5.5.2  | dyna7.dgibi .....                     | 135 |
| 5.5.3  | dyna8.dgibi .....                     | 139 |
| 5.5.4  | dyna9.dgibi .....                     | 142 |
| 5.5.5  | dyna10.dgibi .....                    | 145 |
| 5.5.6  | vibr2.dgibi .....                     | 148 |
| 5.5.7  | vibr3.dgibi .....                     | 153 |
| 5.5.8  | vibr4.dgibi .....                     | 156 |
| 5.5.9  | vibr5.dgibi .....                     | 160 |
| 5.5.10 | fsi1.dgibi .....                      | 163 |
| 5.5.11 | fsi2.dgibi .....                      | 167 |
| 5.5.12 | fsi3.dgibi .....                      | 170 |
| 5.5.13 | fsi4.dgibi .....                      | 174 |
| 5.5.14 | fsi5.dgibi .....                      | 178 |
| 5.5.15 | fsi6.dgibi .....                      | 181 |
| 5.5.16 | sissi.dgibi .....                     | 185 |
| 5.5.17 | plexus1.dgibi .....                   | 189 |
| 5.6    | MECANIQUE DE LA RUPTURE.....          | 191 |
| 5.6.1  | rupt1.dgibi.....                      | 191 |
| 5.6.2  | rupt2.dgibi.....                      | 194 |
| 5.6.3  | rupt3.dgibi.....                      | 197 |
| 5.6.4  | rupt4.dgibi.....                      | 200 |
| 5.6.5  | rupt5.dgibi.....                      | 203 |
| 5.6.6  | rupt6.dgibi.....                      | 206 |
| 5.6.7  | rupt7.dgibi.....                      | 210 |
| 5.6.8  | rupt8.dgibi.....                      | 214 |
| 5.6.9  | rupt9.dgibi.....                      | 218 |
| 5.6.10 | rupt10.dgibi.....                     | 222 |
| 5.6.11 | rupt11.dgibi.....                     | 227 |
| 5.6.12 | rupt12.dgibi.....                     | 230 |
| 5.6.13 | rupt13.dgibi.....                     | 234 |
| 5.6.14 | rupt14-weib.dgibi.....                | 240 |
| 5.6.15 | rupt15-rice.dgibi.....                | 244 |
| 5.6.16 | rupt16-weib.dgibi.....                | 248 |
| 5.6.17 | rupt17.dgibi.....                     | 251 |
| 5.6.18 | rupt18.dgibi.....                     | 255 |
| 5.6.19 | rupt19.dgibi.....                     | 260 |
| 5.6.20 | rupt20.dgibi.....                     | 265 |
| 5.6.21 | rupt21.dgibi.....                     | 270 |
| 5.6.22 | rupt22.dgibi.....                     | 275 |
| 5.6.23 | rupt23.dgibi.....                     | 280 |
| 5.6.24 | rupt24.dgibi.....                     | 285 |
| 5.6.25 | rupt25.dgibi.....                     | 290 |
| 5.6.26 | rupt26.dgibi.....                     | 295 |
| 6.     | THERMIQUE.....                        | 299 |
| 6.1    | REGIME PERMANENT LINEAIRE .....       | 299 |
| 6.1.1  | ther1.dgibi.....                      | 299 |
| 6.1.2  | ther1bis.dgibi.....                   | 303 |
| 6.1.3  | ther2.dgibi.....                      | 306 |
| 6.1.4  | ther3.dgibi.....                      | 311 |
| 6.1.5  | ther4.dgibi.....                      | 315 |
| 6.2    | REGIME TRANSITOIRE LINEAIRE .....     | 320 |
| 6.2.1  | tran2.dgibi.....                      | 320 |
| 6.2.2  | tran8.dgibi.....                      | 324 |
| 6.3    | REGIME TRANSITOIRE NON LINEAIRE ..... | 328 |
| 6.3.1  | tran4.dgibi.....                      | 328 |

---

|                                    |            |
|------------------------------------|------------|
| <b>7. THERMO-MECANIQUE .....</b>   | <b>332</b> |
| 7.1 THERMO-ELASTICITE .....        | 332        |
| 7.1.1 lyre3.dgibi.....             | 332        |
| 7.2 THERMO-PLASTICITE .....        | 336        |
| 7.2.1 thpl1.dgibi.....             | 336        |
| 7.2.2 thpl2.dgibi.....             | 340        |
| <b>8. GRAPHISMES.....</b>          | <b>344</b> |
| 8.1.1 dessin.dgibi .....           | 344        |
| <b>ANNEXE A. TRAÇABILITE .....</b> | <b>350</b> |

## Liste des TABLEAUX

|   |     |
|---|-----|
| Tableau 1 : Liste des cas-tests en mécanique .....                              | 17  |
| Tableau 2 : Liste des cas-tests en thermique .....                              | 17  |
| Tableau 3 : Liste des cas-tests en thermo-mécanique .....                       | 17  |
| Tableau 4 : Liste des cas-tests en graphisme .....                              | 17  |
| Tableau 5 : Liste des cas-tests avec des éléments finis massifs .....           | 18  |
| Tableau 6 : Liste des cas-tests avec des éléments finis coques .....            | 18  |
| Tableau 7 : Liste des cas-tests avec des éléments finis poutres et tuyaux ..... | 18  |
| Tableau 8 : Liste des cas-tests avec des éléments finis raccords .....          | 18  |
| Tableau 9 : Liste des cas-tests avec des éléments finis pour les liquides ..... | 19  |
| Tableau 10 : Informations sur le cas test comp1.dgibi .....                     | 21  |
| Tableau 11 : Informations sur le cas test comp2.dgibi .....                     | 25  |
| Tableau 12 : Informations sur le cas test elas1.dgibi .....                     | 28  |
| Tableau 13 : Informations sur le cas test elas2.dgibi .....                     | 31  |
| Tableau 14 : Informations sur le cas test elas3.dgibi .....                     | 34  |
| Tableau 15 : Informations sur le cas test elas4.dgibi .....                     | 37  |
| Tableau 16 : Informations sur le cas test elas5.dgibi .....                     | 42  |
| Tableau 17 : Informations sur le cas test elas6.dgibi .....                     | 46  |
| Tableau 18 : Informations sur le cas test elas7.dgibi .....                     | 50  |
| Tableau 19 : Informations sur le cas test elas8.dgibi .....                     | 54  |
| Tableau 20 : Informations sur le cas test elas9.dgibi .....                     | 59  |
| Tableau 21 : Informations sur le cas test elas10.dgibi .....                    | 63  |
| Tableau 22 : Informations sur le cas test elas11.dgibi .....                    | 68  |
| Tableau 23 : Informations sur le cas test elas12.dgibi .....                    | 73  |
| Tableau 24 : Informations sur le cas test elas13.dgibi .....                    | 77  |
| Tableau 25 : Informations sur le cas test orth6.dgibi .....                     | 81  |
| Tableau 26 : Informations sur le cas test stru1.dgibi .....                     | 85  |
| Tableau 27 : Informations sur le cas test flam1.dgibi .....                     | 89  |
| Tableau 28 : Informations sur le cas test four1.dgibi .....                     | 92  |
| Tableau 29 : Informations sur le cas test four2.dgibi .....                     | 95  |
| Tableau 30 : Informations sur le cas test plas1.dgibi .....                     | 98  |
| Tableau 31 : Informations sur le cas test plas2.dgibi .....                     | 102 |
| Tableau 32 : Informations sur le cas test plas4.dgibi .....                     | 106 |
| Tableau 33 : Informations sur le cas test plas5.dgibi .....                     | 110 |
| Tableau 34 : Informations sur le cas test plas6.dgibi .....                     | 113 |
| Tableau 35 : Informations sur le cas test plas7.dgibi .....                     | 118 |
| Tableau 36 : Informations sur le cas test plas8.dgibi .....                     | 123 |
| Tableau 37 : Informations sur le cas test vpla3.dgibi .....                     | 128 |
| Tableau 38 : Informations sur le cas test dyna6.dgibi .....                     | 132 |
| Tableau 39 : Informations sur le cas test dyna7.dgibi .....                     | 135 |
| Tableau 40 : Informations sur le cas test dyna8.dgibi .....                     | 139 |
| Tableau 41 : Informations sur le cas test dyna9.dgibi .....                     | 142 |
| Tableau 42 : Informations sur le cas test dyna10.dgibi .....                    | 145 |
| Tableau 43 : Informations sur le cas test vibr2.dgibi .....                     | 148 |
| Tableau 44 : Informations sur le cas test vibr3.dgibi .....                     | 153 |
| Tableau 45 : Informations sur le cas test vibr4.dgibi .....                     | 156 |
| Tableau 46 : Informations sur le cas test vibr5.dgibi .....                     | 160 |
| Tableau 47 : Informations sur le cas test fsi1.dgibi .....                      | 163 |
| Tableau 48 : Informations sur le cas test fsi2.dgibi .....                      | 167 |
| Tableau 49 : Informations sur le cas test fsi3.dgibi .....                      | 170 |
| Tableau 50 : Informations sur le cas test fsi4.dgibi .....                      | 174 |
| Tableau 51 : Informations sur le cas test fsi5.dgibi .....                      | 178 |
| Tableau 52 : Informations sur le cas test fsi6.dgibi .....                      | 181 |
| Tableau 53 : Informations sur le cas test sissi.dgibi .....                     | 185 |
| Tableau 54 : Informations sur le cas test plexus1.dgibi .....                   | 189 |
| Tableau 55 : Informations sur le cas test rupt1.dgibi .....                     | 191 |
| Tableau 56 : Informations sur le cas test rupt2.dgibi .....                     | 194 |
| Tableau 57 : Informations sur le cas test rupt3.dgibi .....                     | 197 |
| Tableau 58 : Informations sur le cas test rupt4.dgibi .....                     | 200 |
| Tableau 59 : Informations sur le cas test rupt5.dgibi .....                     | 203 |

|  |     |
|--|-----|
| Tableau 60 : Informations sur le cas test rupt6.dgibi.....       | 206 |
| Tableau 61 : Informations sur le cas test rupt7.dgibi.....       | 210 |
| Tableau 62 : Informations sur le cas test rupt8.dgibi.....       | 214 |
| Tableau 63 : Informations sur le cas test rupt9.dgibi.....       | 218 |
| Tableau 64 : Informations sur le cas test rupt10.dgibi.....      | 222 |
| Tableau 65 : Informations sur le cas test rupt11.dgibi.....      | 227 |
| Tableau 66 : Informations sur le cas test rupt12.dgibi.....      | 230 |
| Tableau 67 : Informations sur le cas test rupt13.dgibi.....      | 234 |
| Tableau 68 : Informations sur le cas test rupt14-weib.dgibi..... | 240 |
| Tableau 69 : Informations sur le cas test rupt15-rice.dgibi..... | 244 |
| Tableau 70 : Informations sur le cas test rupt16-weib.dgibi..... | 248 |
| Tableau 71 : Informations sur le cas test rupt17.dgibi.....      | 251 |
| Tableau 72 : Informations sur le cas test rupt18.dgibi.....      | 255 |
| Tableau 73 : Informations sur le cas test rupt19.dgibi.....      | 260 |
| Tableau 74 : Informations sur le cas test rupt20.dgibi.....      | 265 |
| Tableau 75 : Informations sur le cas test rupt21.dgibi.....      | 270 |
| Tableau 76 : Informations sur le cas test rupt22.dgibi.....      | 275 |
| Tableau 77 : Informations sur le cas test rupt23.dgibi.....      | 280 |
| Tableau 78 : Informations sur le cas test rupt24.dgibi.....      | 285 |
| Tableau 79 : Informations sur le cas test rupt25.dgibi.....      | 290 |
| Tableau 80 : Informations sur le cas test rupt26.dgibi.....      | 295 |
| Tableau 81 : Informations sur le cas test ther1.dgibi.....       | 299 |
| Tableau 82 : Informations sur le cas test ther1bis.dgibi.....    | 303 |
| Tableau 83 : Informations sur le cas test ther2.dgibi.....       | 306 |
| Tableau 84 : Informations sur le cas test ther3.dgibi.....       | 311 |
| Tableau 85 : Informations sur le cas test ther4.dgibi.....       | 315 |
| Tableau 86 : Informations sur le cas test tran2.dgibi.....       | 320 |
| Tableau 87 : Informations sur le cas test tran8.dgibi.....       | 324 |
| Tableau 88 : Informations sur le cas test tran4.dgibi.....       | 328 |
| Tableau 89 : Informations sur le cas test lyre3.dgibi .....      | 332 |
| Tableau 90 : Informations sur le cas test thpl1.dgibi .....      | 336 |
| Tableau 91 : Informations sur le cas test thpl2.dgibi .....      | 340 |
| Tableau 92 : Informations sur le cas test dessin.dgibi .....     | 344 |

## Liste des FIGURES

|  |     |
|--|-----|
| Figure 1 : Maillage du cas-test comp1.dgibi en 3D.....   | 22  |
| Figure 2 : Isovaleur de la composante UX du champ de déplacement sur le maillage déformé (x165) .....  | 22  |
| Figure 3 : Maillage du cas-test comp2.dgibi en 2D.....   | 26  |
| Figure 4 : Isovaleur de la composante UZ du champ de déplacement sur le maillage déformé (x1,1) .....  | 26  |
| Figure 5 : Maillage du cas-test elas1.dgibi en 2D-axisymétrique .....  | 29  |
| Figure 6 : Maillage du cas-test elas2.dgibi .....  | 32  |
| Figure 7 : Isovaleur de la composante UZ du champ de déplacement sur le maillage déformé (x6,1) .....  | 32  |
| Figure 8 : Maillage d'un quart de cylindre pincé en P3 et libre partout ailleurs .....   | 35  |
| Figure 9 : Isovaleur de la composante UZ du champ de déplacement sur le maillage déformé (x1,1) .....  | 35  |
| Figure 10 : Maillage du cas-test elas4.dgibi .....   | 38  |
| Figure 11 : Tracé du maillage initial (noir) et du maillage déformé (vert, x10) associé aux efforts dus au chargement (flèches rouges) et aux forces de réaction (flèche bleue).....                 | 38  |
| Figure 12 : Champ de contrainte SM <sub>xx</sub> projeté aux nœuds.....  | 39  |
| Figure 13 : Maillage de la citerne à couvercle sphérique en 2D-axisymétrique .....   | 43  |
| Figure 14 : Tracé du maillage initial (noir) et du maillage déformé (vert, x100) associé aux efforts dus au chargement (flèches rouges) et aux forces de réaction (flèche bleue).....                | 43  |
| Figure 15 : Maillage de la citerne à couvercle torique et sphérique en 2D-axisymétrique .....  | 47  |
| Figure 16 : Tracé du maillage initial (noir) et du maillage déformé (vert, x20) associé aux efforts dus au chargement (flèches rouges) et aux forces de réaction (flèche bleue).....                 | 47  |
| Figure 17 : Maillage de la citerne à couvercle sphérique inversé en 2D-axisymétrique .....   | 51  |
| Figure 18 : Tracé du maillage initial (noir) et du maillage déformé (vert, x40) associé aux efforts dus au chargement (flèches rouges) et aux forces de réaction (flèche bleue).....                 | 51  |
| Figure 19 : Maillage du cas-test elas8.dgibi en 2D .....   | 55  |
| Figure 20 : Tracé du maillage initial (noir) et du maillage déformé (vert, x150) associé aux efforts dus au chargement (flèches rouges) et aux forces de réaction (flèche bleue).....                | 55  |
| Figure 21 : Champ de contrainte SM <sub>YY</sub> projeté aux nœuds.....  | 56  |
| Figure 22 : Maillage du cas-test elas9.dgibi en 3D.....  | 60  |
| Figure 23 : Tracé du maillage initial (noir) et du maillage déformé (vert, x500) .....   | 60  |
| Figure 24 : Champ de contraintes SM <sub>YY</sub> projeté aux nœuds.....   | 60  |
| Figure 25 : Maillage du cas-test elas10.dgibi en 3D.....   | 64  |
| Figure 26 : Tracé du maillage initial (noir) et du maillage déformé (vert, x100) associé aux forces de réaction (flèches rouges) .....   | 64  |
| Figure 27 : Champ de contraintes SM <sub>zz</sub> projeté aux nœuds .....  | 65  |
| Figure 28 : Maillage du cas-test elas11.dgibi en 2D axisymétrique .....  | 69  |
| Figure 29 : Tracé du maillage initial (noir) et du maillage déformé (vert, x100) associé aux forces de réaction (flèches bleues) .....   | 69  |
| Figure 30 : Champ de contraintes SM <sub>zz</sub> projeté aux nœuds .....  | 70  |
| Figure 31 : Maillage du cas-test elas12.dgibi en 3D.....   | 74  |
| Figure 32 : Tracé du maillage initial (noir) et du maillage déformé (vert, x2) associé aux forces de réaction (flèches bleues) et à l'effort appliqué (flèche rouge). .....                          | 74  |
| Figure 33 : Maillage du cas-test elas13.dgibi en 3D.....   | 78  |
| Figure 34 : Tracé du maillage initial (noir) et du maillage déformé (vert, x20) associé aux forces de réaction (flèches bleues) et à l'effort appliqué (flèche rouge). .....                         | 78  |
| Figure 35 : Maillage du cas-test orth6.dgibi en 2D .....   | 82  |
| Figure 36 : Tracé du maillage initial (noir) et du maillage déformé (vert, x30) associé aux efforts dus au chargement (flèches rouges) et aux forces de réaction (flèche bleue).....                 | 82  |
| Figure 37 : Champ de déplacement (nodal) U <sub>x</sub> (à gauche) et U <sub>y</sub> (à droite) .....  | 82  |
| Figure 38 : Maillage du cas-test orth6.dgibi en 2D .....   | 86  |
| Figure 39 : Tracé du maillage initial (noir) et du maillage déformé (vert, x25) associé aux efforts dus au chargement (flèches rouges) et aux forces de réaction (flèche bleue).....                 | 86  |
| Figure 40 : Champ de déplacement (nodal) U <sub>z</sub> .....  | 86  |
| Figure 41 : Maillage du cas-test flam1.dgibi en 2D .....   | 90  |
| Figure 42 : Tracé du maillage initial (noir) et du maillage déformé (vert, x1) .....   | 90  |
| Figure 43 : Maillage éclaté du cas-test four1.dgibi en 2D-axisymétrique .....  | 93  |
| Figure 44 : Maillage éclaté du cas-test four2.dgibi en 2D-axisymétrique .....  | 96  |
| Figure 45 : Maillage du cas-test plas1.dgibi en 2D.....  | 99  |
| Figure 46 : Tracé du maillage déformé (x105) au pas de temps 1 (t=0,02875 à gauche) et au pas de temps 2 (t=0,05 à droite). Les forces de réaction (flèche noires) sont également représentées ..... | 99  |
| Figure 47 : Maillage du cas-test plas2.dgibi en 2D-axisymétrique .....   | 103 |

|   |     |
|---|-----|
| Figure 48 : Tracé du champ de déplacement radial au temps $t_1$ .....   | 103 |
| Figure 49 : Tracé du champ de déplacement radial au temps $t_2$ .....   | 103 |
| Figure 50 : Maillage du cas-test plas4.dgibi en 3D .....  | 107 |
| Figure 51 : Maillage du cas-test plas5.dgibi en 2D .....  | 111 |
| Figure 52 : Maillage du cas-test plas6.dgibi en 2D .....  | 114 |
| Figure 53 : Tracé du maillage initial (noir) et du maillage déformé (vert, x2) à l'incrément n°9 .....  | 114 |
| Figure 54 : Champ de contraintes $SM_{xx}$ à l'incrément n°9.....   | 114 |
| Figure 55 : Evolution de la contrainte $SM_{xx}$ sur la ligne D1 reliant PA à PB en fonction de la coordonnée Y à l'incrément n°9 .....                               | 115 |
| Figure 56 : Evolution du produit de la contrainte $SM_{xx}$ par la coordonnée Y sur la ligne D1 reliant PA à PB en fonction de la coordonnée Y à l'incrément n°9..... | 115 |
| Figure 57 : Maillage du cas-test plas7.dgibi en 2D .....  | 119 |
| Figure 58 : Tracé du maillage initial (noir) et du maillage déformé (vert, x2) à l'incrément n°7 .....  | 119 |
| Figure 59 : Champ de contraintes $SM_{xx}$ à l'incrément n°1 (à gauche) à l'incrément 3 (au milieu) et à l'incrément 7 (à droite).....                                | 119 |
| Figure 60 : Evolution de la contrainte $SM_{xx}$ sur la ligne D1 reliant PA à PB en fonction de la coordonnée Y à l'incrément 7 .....                                 | 120 |
| Figure 61 : Evolution du produit de la contrainte $SM_{xx}$ par la coordonnée Y sur la ligne D1 reliant PA à PB en fonction de la coordonnée Y à l'incrément 7 .....  | 120 |
| Figure 62 : Maillage du cas-test plas8.dgibi en 2D .....  | 124 |
| Figure 63 : Tracé du maillage initial (noir) et du maillage déformé (vert, x5) au dernier incrément.....  | 124 |
| Figure 64 : Champ de déplacement UZ au dernier 'incrément .....   | 124 |
| Figure 65 : Evolution de la force en fonction de la flèche au cours des différents incréments de déplacement imposé .....   | 125 |
| Figure 66 : Maillage du cas-test vpla3.dgibi .....  | 129 |
| Figure 67 : Maillage du cas-test dyna6.dgibi .....  | 133 |
| Figure 68 : Maillage du cas-test dyna7.dgibi .....  | 136 |
| Figure 69 : Maillage du cas-test dyna8.dgibi .....  | 140 |
| Figure 70 : Maillage du cas-test dyna9.dgibi .....  | 143 |
| Figure 71 : Déformée modale du mode n° 1 à 83,92Hz (à gauche) et du mode n° 2 à 361,24Hz (à droite).....  | 143 |
| Figure 72 : Déformée modale du mode n° 3 à 527,6Hz (à gauche) et du mode n° 4 à 1184Hz (à droite).....  | 143 |
| Figure 73 : Maillage du cas-test dyna10.dgibi .....   | 146 |
| Figure 74 : Mode de Fourier 0 : déformée modale (en vert, x1) de la fréquence propre n° 1 (en haut) et de la fréquence propre n° 2 (en bas).....                      | 146 |
| Figure 75 : Mode de Fourier 1 : déformée modale (en vert, x1) de la fréquence propre n° 1 (en haut) et de la fréquence propre n° 2 (en bas).....                      | 146 |
| Figure 76 : Mode de Fourier 2 : déformée modale (en vert, x1) de la fréquence propre n° 1 (en haut) et de la fréquence propre n° 2 (en bas).....                      | 146 |
| Figure 77 : Mode de Fourier 3 : déformée modale (en vert, x1) de la fréquence propre n° 1 (en haut) et de la fréquence propre n° 2 (en bas).....                      | 146 |
| Figure 78 : Maillage du cas-test vibr2.dgibi .....  | 149 |
| Figure 79 : Déformée modale (en vert, x0,42) de la fréquence propre n° 1 (368,62Hz) et évolution du déplacement radial (en bleu) .....                                | 149 |
| Figure 80 : Déformée modale (en vert, x0,42) de la fréquence propre n° 2 (834,92Hz) et évolution du déplacement radial (en bleu) .....                                | 149 |
| Figure 81 : Déformée modale (en vert, x0,42) de la fréquence propre n° 3 (1447,5Hz) et évolution du déplacement radial (en bleu) .....                                | 150 |
| Figure 82 : Déformée modale (en vert, x0,42) de la fréquence propre n° 4 (2123,6Hz) et évolution du déplacement radial (en bleu) .....                                | 150 |
| Figure 83 : Déformée modale (en vert, x0,42) de la fréquence propre n° 5 (2841,8Hz) et évolution du déplacement radial (en bleu) .....                                | 150 |
| Figure 84 : Maillage du cas-test vibr3.dgibi .....  | 154 |
| Figure 85 : Déformée modale (en bleu, x1) de la fréquence propre n° 1 (à gauche, 46,71Hz) et de la fréquence propre n° 2 (à droite, 134,29Hz) .....                   | 154 |
| Figure 86 : Déformée modale (en bleu, x1) de la fréquence propre n° 3 (à gauche, 171,26Hz) et de la fréquence propre n° 4 (à droite, 253,11Hz) .....                  | 154 |
| Figure 87 : Déformée modale (en bleu, x1) de la fréquence propre n° 5 (à gauche, 391,33Hz) et de la fréquence propre n° 6 (à droite, 409,57Hz) .....                  | 154 |
| Figure 88 : Maillage du cas-test vibr4.dgibi .....  | 157 |
| Figure 89 : Déformée modale (x0,5) de la fréquence propre n° 1 (à gauche, 133,93Hz) et de la fréquence propre n° 2 (à droite, 203,76Hz) .....                         | 157 |

---

|  |     |
|--|-----|
| Figure 90 : Déformée modale (x0,5) de la fréquence propre n° 3 (à gauche, 272,61Hz) et de la fréquence propre n° 4 (à droite, 284,20Hz).....   | 157 |
| Figure 91 : Déformée modale (x0,5) de la fréquence propre n° 5 (à gauche, 348,47Hz) et de la fréquence propre n° 6 (à droite, 389,00Hz).....   | 157 |
| Figure 92 : Maillage du cas-test vibr5.dgibi .....   | 161 |
| Figure 93 : De gauche à droite, déformée modale (x1) de la fréquence propre n°2 (243,50 Hz), n°3 (377,46 Hz), n°4 (399,30 Hz), n°5 (397,97 Hz) et n°6 (406,44 Hz) .....                        | 161 |
| Figure 94 : Maillage du cas-test fsi1.dgibi .....  | 164 |
| Figure 95 : De haut en bas, tracé du maillage initial (noir) et du maillage de la déformée modale (vert, x0,14) des fréquences propres n°1 (0,5336 Hz), n°2 (0,9783 Hz) et n°3 (1,254 Hz)..... | 164 |
| Figure 96 : Maillage du cas-test fsi2.dgibi .....  | 168 |
| Figure 97 : Maillage du cas-test fsi3.dgibi .....  | 171 |
| Figure 98 : Tracé du maillage initial (noir) et du maillage de la déformée modale de la fréquence propre n°1 (106,64 Hz) en mode de Fourier n°10 (bleu, x1,8).....                             | 171 |
| Figure 99 : Maillage du cas-test fsi4.dgibi .....  | 175 |
| Figure 100 : Maillage du cas-test fsi5.dgibi .....   | 179 |
| Figure 101 : Maillage du cas-test fsi6.dgibi .....   | 182 |
| Figure 102 : Déformée modale du mode n° 1 à 0,2471Hz (à gauche) et du mode n° 2 à 0,3119Hz (à droite) .....  | 182 |
| Figure 103 : Déformée modale du mode n° 3 à 0,3960Hz (à gauche) et du mode n° 4 à 0,4913Hz (à droite) .....  | 182 |
| Figure 104 : Maillage du cas-test sissi.dgibi .....  | 186 |
| Figure 105 : Évolution de la sollicitation en accélération.....  | 186 |
| Figure 106 : Maillage du cas-test rupt1.dgibi.....   | 192 |
| Figure 107 : Déformation du cylindre sous traction uniforme .....  | 192 |
| Figure 108 : Maillage du cas-test rupt2.dgibi.....   | 195 |
| Figure 109 : Contraintes SMYY .....  | 195 |
| Figure 110 : Maillage du cas-test rupt3.dgibi.....   | 198 |
| Figure 111 : Maillage du cas-test rupt4.dgibi.....   | 201 |
| Figure 112 : Maillage du cas-test rupt5.dgibi.....   | 204 |
| Figure 113 : Maillage du cas-test rupt6.dgibi.....   | 207 |
| Figure 114 : Maillage du cas-test rupt7.dgibi.....   | 211 |
| Figure 115 : Contraintes de Von Mises .....  | 211 |
| Figure 116 : Déformée (amplitude: 20) .....  | 211 |
| Figure 117 : Maillage du cas-test rupt8.dgibi .....  | 215 |
| Figure 118 : Maillage du cas-test rupt9.dgibi .....  | 219 |
| Figure 119 : Maillage du cas-test rupt10.dgibi .....   | 223 |
| Figure 120 : Maillage du cas-test rupt11.dgibi .....   | 228 |
| Figure 121 : Maillage du cas-test rupt12.dgibi .....   | 231 |
| Figure 122 : Facteur K1 fonction du temps.....   | 231 |
| Figure 123 : Maillage du cas-test rupt13.dgibi .....   | 235 |
| Figure 124 : Maillage du cas-test rupt14-weib.dgibi en 2D .....  | 241 |
| Figure 125 : Maillage du cas-test rupt14-weib.dgibi en 3D .....  | 241 |
| Figure 126 : Maillage du cas-test rupt15-rice.dgibi en 2D .....  | 245 |
| Figure 127 : Maillage du cas-test rupt15-rice.dgibi en 3D .....  | 245 |
| Figure 128 : Maillage du cas-test rupt16-weib.dgibi .....  | 249 |
| Figure 129 : Maillage du cas-test rupt17.dgibi .....   | 252 |
| Figure 130 : Evolution de J en fonction du temps .....   | 252 |
| Figure 131 : Maillage du cas-test rupt18.dgibi .....   | 256 |
| Figure 132 : Maillage du cas-test rupt19.dgibi .....   | 261 |
| Figure 133 : Maillage du cas-test rupt20.dgibi .....   | 266 |
| Figure 134 : Maillage du cas-test rupt21.dgibi .....   | 271 |
| Figure 135 : Maillage du cas-test rupt22.dgibi .....   | 276 |
| Figure 136 : Maillage du cas-test rupt23.dgibi .....   | 281 |
| Figure 137 : Maillage du cas-test rupt24.dgibi .....   | 286 |
| Figure 138 : Maillage du cas-test rupt25.dgibi .....   | 291 |
| Figure 139 : Maillage du cas-test rupt26.dgibi .....   | 296 |
| Figure 140 : Maillage du cas-test ther1.dgibi .....  | 300 |
| Figure 141 : De gauche à droite : Champ de température avec la condition aux limites de convection, de flux imposé et avec source volumique imposée .....                                      | 300 |
| Figure 142 : Maillage du cas-test ther1bis.dgibi .....   | 304 |
| Figure 143 : Champ de température solution .....   | 304 |
| Figure 144 : De gauche à droite, maillages des trois configurations du cas-test ther2.dgibi .....  | 307 |

|   |     |
|---|-----|
| Figure 145 : De gauche à droite : Champ de température avec la condition aux limites de flux imposé, avec source volumique imposée et de convection imposée.....  | 307 |
| Figure 146 : Maillage du cas-test ther3.dgibi.....  | 312 |
| Figure 147 : De gauche à droite : Champ de température avec la condition aux limites de convection, de flux imposé et avec source volumique imposée .....   | 312 |
| Figure 148 : Maillage du cas-test ther4.dgibi.....  | 316 |
| Figure 149 : De gauche à droite : Champ de température avec la condition aux limites de convection, de flux imposé et avec source volumique imposée .....   | 316 |
| Figure 150 : Maillage du cas-test tran2.dgibi.....  | 321 |
| Figure 151 : Evolution au cours du temps de la température maximale atteinte dans l'ensemble du domaine. La courbe rouge représente la courbe de référence alors que la courbe bleue représente l'évolution calculée.....   | 321 |
| Figure 152 : Maillage du cas-test tran8.dgibi.....  | 325 |
| Figure 153 : Tracé du champ de température nodal au temps t=32s .....   | 325 |
| Figure 154 : Evolution au cours du temps de la température au point C .....   | 325 |
| Figure 155 : Maillage du cas-test tran4.dgibi.....  | 329 |
| Figure 156 : Evolution au cours du temps de la position du front de réaction sur l'axe des abscisses. La courbe rouge représente la position théorique du front alors que la courbe bleue représente la position calculée du front.   | 329 |
| .....   | 329 |
| Figure 157 : Maillage du cas-test lyre3.dgibi.....  | 333 |
| Figure 158 : Tracé du maillage initial (noir) et du maillage déformé (bleu, x1) .....   | 333 |
| Figure 159 : Maillage du cas-test thpl1.dgibi.....  | 337 |
| Figure 160 : Tracé du maillage initial (noir) et du maillage déformé (bleu, x10) .....  | 337 |
| Figure 161 : Maillage du cas-test thpl2.dgibi.....  | 341 |
| Figure 162 : Tracé de la déformation plastique EPxx.....  | 341 |
| Figure 163 : Dessin d'une évolution contenant 3 valeurs de couleur bleue. Respectivement de haut en bas et de droite à gauche : 1- sans options, 2- bornes suivant X, 3- bornes suivant Y 4- bornes suivant X et Y, 5- bornes suivant X et Y et graduations données, 6- bornes suivant X et Y, graduations imposées, grille et axes tracés .. | 345 |
| Figure 164 : Dessin de 2 évolutions respectivement de couleur rouge et bleue. Différentes configurations sont testées sur les 3 graphiques ci-dessus (Position des légendes et des titres des axes, bornes sur les axes, remplissage de l'aire sous la courbe) .....  | 346 |
| Figure 165 : Dessin de 2 évolutions respectivement de couleur rouge et bleue. Teste la possibilité de mettre une échelle logarithmique sur les ordonnées .....  | 346 |
| Figure 166 : Dessin de 7 évolutions de couleurs différentes avec des marqueurs différents sur une échelle logarithmique des ordonnées. .....  | 347 |
| Figure 167 : Dessin d'un histogramme d'une distribution aléatoire gaussienne centrée de moyenne nulle et d'écart-type 2 .....   | 347 |



## 1. PRESENTATION DU DOCUMENT

### 1.1 OBJET DU DOCUMENT

Ce document présente des éléments de validation de Cast3M en thermomécanique.

Il est réalisé sur la base de la mise à jour 2014 du « Guide de validation de Cast3M » [1].

### 1.2 MÉTHODE

Ces éléments de validation sont des fichiers de calcul Cast3M dont les résultats sont validés par comparaison à des solutions analytiques ou à des résultats obtenus avec d'autres logiciels [2][3].

Ces fichiers de calcul sont nommés « cas-tests ».

Le processus de validation de Cast3M est intégré aux processus de développement du code [4].

### 1.3 DOMAINE DE COUVERTURE

Le domaine de validation couvert par ce document est détaillé au paragraphe 3.

Il est défini par les quatre-vingt trois (83) cas-tests présentés.

Ces cas-tests couvrent les domaines d'utilisation suivants :

- la thermique stationnaire et transitoire ;
- la mécanique en élasticité et plasticité ;
- l'analyse au flambement ;
- l'analyse modale en dynamique ;
- la mécanique de la rupture ;
- le couplage thermomécanique en quasi-statique ;

Par ailleurs, ces-cas-tests permettent de couvrir les types d'éléments finis usuels disponibles dans les modes de calcul en deux dimensions : contrainte plane, déformation plane et axisymétrique, et en trois dimensions.

### 1.4 RESTRICTIONS

#### 1.4.1 Domaine de couverture

Le quatre-vingt trois (83) cas-tests de ce document ont été extraits de la base de validation de Cast3M, qui en comporte plus de mille [5]. Ce document ne couvre donc pas la totalité du domaine de couverture de Cast3M.

#### 1.4.2 Version Cast3M

Ce document est illustré par des cas-tests issus de la base de validation de la version 2016 de Cast3M. Toutefois, ces cas-tests font partie de la base validation de Cast3M depuis la version 1992 [2]. Il s'applique donc à toutes les versions postérieures à cette dernière.

### 1.5 PLATEFORMES INFORMATIQUES

La validation de Cast3M est indépendante de plateforme informatique de distribution.

## 2. RÉFÉRENCES

- [1] C. BERTHINIER, S. PASCAL, « Guide de validation de Cast3M », DEN/DANS/DM2S/SEMT/LM2S/NT/14-041/A.
- [2] A. MILLARD, L. BOHAR, « Castem2000 – Guide de validation », Rapport DMT/92.301.
- [3] X.Z. SUO, P. DOWLATIARY, « Comparaison Castem2000 Abaqus dans le domaine non linéaire », Rapport DMT/96-324
- [4] P. VERPEAUX, « Plan Qualité Logiciel Cast3M», CEA/DEN/DANS/DM2S/SEMT/DIR/PQ/006/A, avril 2011.
- [5] S. PASCAL, J. LEBON, « Classification des cas tests de Cast3M 2015 », Note Technique, DEN/DANS/DM2S/SEMT/LM2S/NT/15-019/A, [http://www-cast3m.cea.fr/html/doc/Classification\\_Cas\\_tests\\_Cast3M2015.pdf](http://www-cast3m.cea.fr/html/doc/Classification_Cas_tests_Cast3M2015.pdf)

### 3. DOMAINE DE COUVERTURE

#### 3.1 DOMAINES D'UTILISATION

##### 3.1.1 Mécanique

| Sous-domaine            | Type d'analyse       | Noms des tests (.dgibi)  |
|-------------------------|----------------------|--|
| Composite               | 3D                   | comp1, comp2   |
| Élasticité              | 3D                   | elas2, elas3, elas4, elas9, elas10, elas12, elas13, stru1                            |
|                         | 2D axisymétrie       | elas1, elas5, elas6, elas7, elas11   |
|                         | 2D contrainte plane  | elas8, orth6   |
| Flambage                | 2D contrainte plane  | flam1  |
|                         | 2D Fourier           | four1, four2   |
| Plasticité              | 3D                   | plas4, plas8, rupt14, rupt15   |
|                         | 2D axisymétrique     | plas2, vpla3, rupt1, rupt14, rupt15, rupt16  |
|                         | 2D contrainte plane  | plas1, plas5, plas6  |
|                         | 2D déformation plane | plas7, rupt17  |
| Dynamique               | 3D                   | dyna6, dyna8, dyna9, dyna10, vibr4, fsi6, sissi                                      |
|                         | 2D axisymétrique     | vibr2, vibr5   |
|                         | 2D Fourier           | dyna7, fsi1, fsi2, fsi4, fsi5  |
|                         | 2D                   | vibr3, fsi3, plexus1   |
| Mécanique de la rupture | 2D                   | rupt2, rupt3, rupt4, rupt7, rupt9, rupt11, rupt12, rupt17                            |
|                         | 2D axisymétrique     | rupt1, rupt5, rupt14, rupt15, rupt16, rupt18, rupt19, rupt22, rupt23                 |
|                         | 3D                   | rupt6, rupt8, rupt10, rupt13, rupt14, rupt15, rupt20, rupt21, rupt24, rupt25, rupt26 |

Tableau 1 : Liste des cas-tests en mécanique

##### 3.1.2 Thermique

| Sous-domaine                  | Type d'analyse   | Noms des cas-tests |
|-------------------------------|------------------|--------------------|
| Régime permanent linéaire     | 3D               | ther3, ther4       |
|                               | 2D axisymétrique | ther2              |
|                               | 2D               | ther1, ther1bis    |
| Régime permanent non linéaire | 2D axisymétrique | tran4              |
| Régime transitoire linéaire   | 2D axisymétrique | tran2              |
|                               | 2D               | tran8              |

Tableau 2 : Liste des cas-tests en thermique

##### 3.1.3 Thermo-Mécanique

| Sous-domaine      | Type d'analyse      | Noms des cas-tests                    |
|-------------------|---------------------|---------------------------------------|
| Thermo-élasticité | 2D axisymétrique    | rupt18, rupt19, rupt22, rupt23,       |
|                   | 3D                  | lyre3, rupt20, rupt21, rupt24, rupt25 |
| Thermo-plasticité | 2D axisymétrique    | thpl1                                 |
|                   | 2D contrainte plane | thpl2                                 |

Tableau 3 : Liste des cas-tests en thermo-mécanique

##### 3.1.4 Graphisme

| Sous-domaine | Type d'analyse | Noms des cas-tests |
|--------------|----------------|--------------------|
| Graphisme    |                | dessin             |

Tableau 4 : Liste des cas-tests en graphisme

### 3.2 TYPE D'ÉLÉMENT FINIS

#### 3.2.1 Éléments massifs

| Élément | Type d'analyse       | Noms des tests (.dgibi)  |
|---------|----------------------|--|
| TRI3    | 2D                   | ther1  |
| TRI6    | 2D                   | rupt12   |
|         | 2D axisymétrique     | tran2  |
| QUA4    | 2D                   | ther1, ther1bis, tran8   |
|         | 2D axisymétrique     | plas2, ther2, tran4, thpl1, rupt18, rupt22   |
|         | 2D contrainte plane  | orth6, plas1, plas5, plas6, thpl2  |
|         | 2D déformation plane | plas7  |
| QUA8    | 2D axisymétrique     | elas11, four2, vibr2, vibr5, vpla3, rupt1, rupt14,, rupt15, rupt16, rupt19, rupt23 |
|         | 2D contrainte plane  | elas8  |
|         | 2D déformation plane | vibr3, rupt2, rupt3, rupt4, rupt7, rupt9, rupt11, rupt17                           |
| CUB8    | 3D                   | plas4, ther3, rupt20, rupt24   |
| CU20    | 3D                   | dyna8, elas9, elas10, ther4, rupt6, rup14, rup15, rupt21, rupt25, rupt26           |
| TET4    | 3D                   | ther3  |
| TE10    | 3D                   | ther4  |
| PRI6    | 3D                   | ther3  |
| PR15    | 3D                   | ther4  |
| PYR5    | 3D                   | ther3  |
| PY13    | 3D                   | ther4  |

Tableau 5 : Liste des cas-tests avec des éléments finis massifs

#### 3.2.2 Coques

| Élément | Type d'analyse      | Noms des tests (.dgibi)                    |
|---------|---------------------|--|
| COQ2    | 2D axisymétrique    | elas1, elas5, elas6, elas7, four1, plexus1 |
|         | 2D contrainte plane | flam1                                      |
|         | 2D Fourier          | dyna10, fsi3, fsi4                         |
| COQ3    | 3D                  | rupt10                                     |
| COQ4    | 3D                  | dyna9, elas4, stru1, rupt13                |
| COQ8    | 3D                  | vibr4                                      |
| DKT     | 3D                  | comp1, comp2, elas2, elas3, plas8, rupt8   |

Tableau 6 : Liste des cas-tests avec des éléments finis coques

#### 3.2.3 Poutres et tuyaux

| Élément | Type d'analyse | Noms des tests (.dgibi)      |
|---------|----------------|------------------------------|
| POUT    | 3D             | dyna6, elas12, elas13, sissi |
| TUYA    | 3D             | lyre3                        |

Tableau 7 : Liste des cas-tests avec des éléments finis poutres et tuyaux

#### 3.2.4 Raccords

| Élément | Type d'analyse | Noms des tests (.dgibi) |
|---------|----------------|-------------------------|
| RACO    | 2D Fourier     | fsi3, fsi4              |

Tableau 8 : Liste des cas-tests avec des éléments finis raccords

#### 3.2.5 Liquides

| Élément | Type d'analyse | Noms des tests (.dgibi)             |
|---------|----------------|-------------------------------------|
| LQU4    | 2D Fourier     | dyna7, fsi1, fsi2, fsi3, fsi4, fsi5 |
| LCU8    | 3D             | fsi6                                |
| LSU2    | 2D Fourier     | dyna7, fsi1, fsi5                   |

*Tableau 9 : Liste des cas-tests avec des éléments finis pour les liquides*

## 4. NOMENCLATURE

### 4.1 DESCRIPTION D'UN TEST

La présentation de chaque cas-test débute par une fiche descriptive du calcul réalisé. Puis, une ou plusieurs pages illustrent son exécution par des figures générées par le cas-test dans l'ordre d'exécution du jeu de données (premier dessin en haut à gauche de la page et le dernier dessin en bas à droite). Enfin, le jeu de données du cas-test est fourni.

### 4.2 NOTATIONS

2D : Calcul bidimensionnel

2D-axisymétrique : Calcul bidimensionnel avec symétrie de rotation autour de l'axe  $(0,\vec{z})$

3D : Calcul tridimensionnel



## 5. MECANIQUE

### 5.1 COMPOSITE

#### 5.1.1 comp1.dgibi

|                              |  |
|------------------------------|--|
| <b>Nom du fichier</b>        | comp1.dgibi  |
| <b>Type de calcul</b>        | Mécanique<br>Composite<br>3D   |
| <b>Type d'Éléments Finis</b> | DKT  |
| <b>Référence</b>             | Rapport CEA<br>89/184  |
| <b>Description</b>           | <p>CYLINDRE COMPOSITE BICOUCHE</p> <p>Un cylindre (fibres enroulées -45° / +45° autour d'un axe) bloqué à sa base en déplacement suivant l'axe Z est soumis à une pression interne.</p> <p>Afin de réduire le nombre de degrés de liberté, un nœud du sommet est bloqué en translation suivant X et Y et en rotation suivant Z (nœud <i>PB</i>). La pression est normale à la surface interne du cylindre.</p> |
| <b>Objectif</b>              | <p>Déplacement radial <math>U_r</math>, au point <i>PA</i>(1,05 0 0), nœud de la base</p> $U_r = 1,37762 \cdot 10^{-4} \text{ m}$ (Précision relative de 1%)   |
| <b>Version de Cast3M</b>     | Du jour  |
| <b>Plateformes testées</b>   | IBM AiX<br>Linux 32-bits<br>Linux 64-bits<br>Windows 32-bits<br>Windows 64-bits<br>MAC OSX 64-bits   |

Tableau 10 : Informations sur le cas test comp1.dgibi

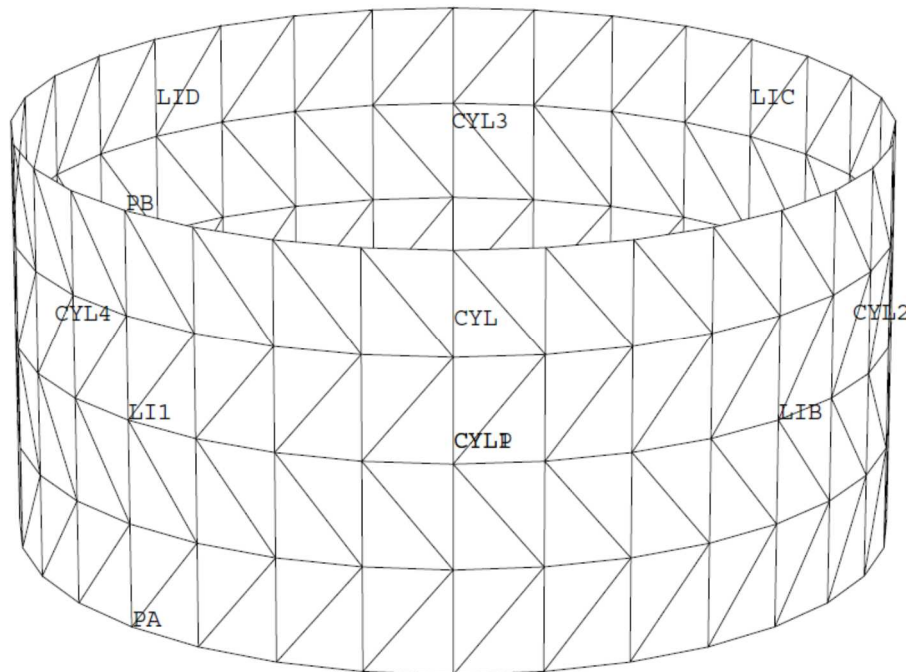


Figure 1 : Maillage du cas-test comp1.dgibi en 3D

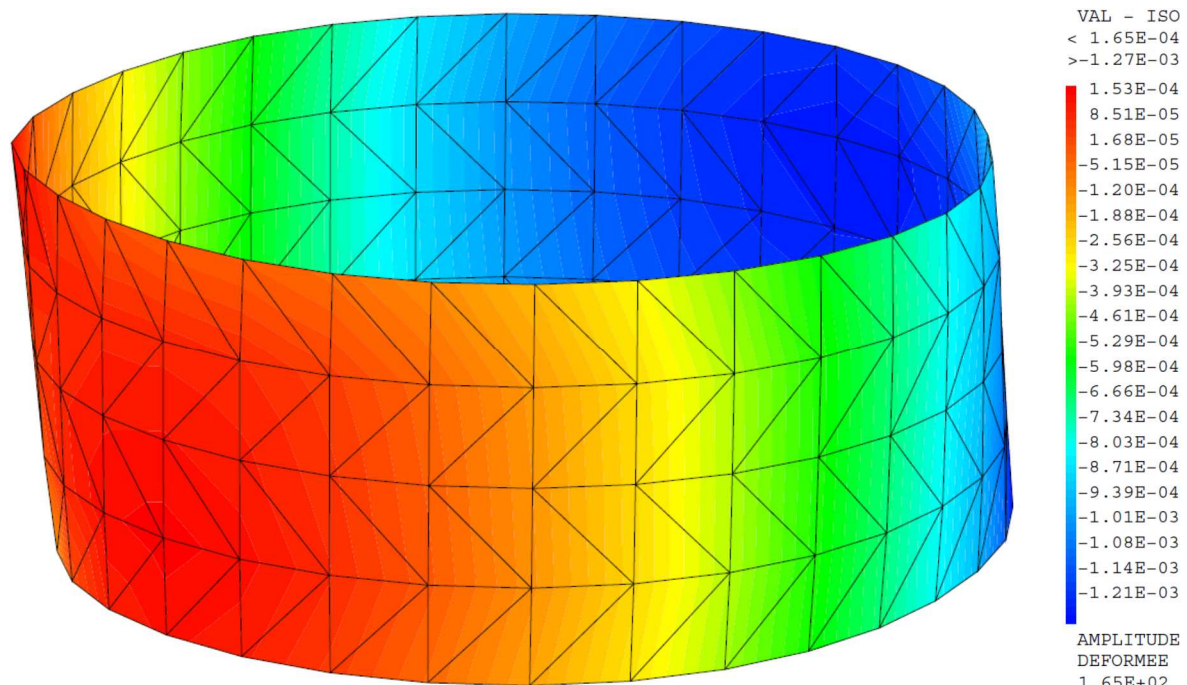


Figure 2 : Isovaleur de la composante UX du champ de déplacement sur le maillage déformé (x165)

# GUIDE DE VALIDATION

## Jeux de données :

```

* fichier : compl.dgibi
*****
* Section : Mecanique Elastique
*****
***** CYLINDRE COMPOSITE BICOUCHE
*      FIBRES ENROULEES -45/+45 AUTOUR DE L'AXE
*      PRESSION INTERNE
*
* Un cylindre bloqué à sa base en déplacement suivant
* l'axe Z est soumis à une pression interne.
* 3D element DKT
* Ref : Rapport CEA , DEMT 85-482 , M. Hittinger, 1985
* Remise a plat : BP, 2017-01-23
*
* SI GRAPH = N PAS DE GRAPHIQUE AFFICHE
* SINON SI GRAPH DIFFERENT DE N TOUS
* LES GRAPHIQUES SONT AFFICHES

GRAPH = 'N' ;
* GRAPH = 'O';

SAUT PAGE;
SI (NEG GRAPH 'N') ;
OPTI ECHO 1 ;
* OPTI TRAC X ;
OPTI TRAC 'PSC' EPTR 5;
SINO ;
OPTI ECHO 0 ;
FINSI ;

TITRE 'CYLINDRE COMPOSITE BICOUCHE SOUS PRESSION INTERNE';
OPTION DIME 3 ELEM TRI3 MODE TRIDIM ;

TEMPS ;
DENS 0.1 ;

NAX = 8; NCIRC = 16;
NAX = 4; NCIRC = 8;
* NAX = 1; NCIRC = 16;

*
* GEOMETRIE
*
R = 1.05 ; H = 1. ;
PA = R 0. 0. ; PB = R 0. H ;
O1 = 0. 0. 0. ; O2 = 0. 0. H ;
NR1 = 1. 1. 0. ;
LI1 = PA DROIT NAX PB ;
CYLP = ROTA LI1 NCIRC 90 O1 O2 ;
CYL1 = ORIE CYLP NR1 ;
CYL2 LIB = TOUR CYL1 LI1 90 O1 O2 ;
CYL3 LIC = TOUR CYL2 LIB 90 O1 O2 ;
CYL4 LID = TOUR CYL3 LIC 90 O1 O2 ;
CYL = CYL1 ET CYL2 ET CYL3 ET CYL4 ;
ELIM CYL ;
OEIL = 10. 10. 5. ;
*
SI (NEG GRAPH 'N') ;
TRAC OEIL CACH CYL 'QUAL' ;
FINSI ;

*
* DESCRIPTION DU MATERIAU ORTHOTROPE : COUCHE 1
*
MOD1 = MODE CYL MECANIQUE ELASTIQUE ORTHOTROPE DKT ;
* MAT1 = MATE MOD1 DIRE O2 INCL 45 NR1 YG1 7E6 YG2
MAT1 = MATE MOD1 DIRE O2 INCL 45 YG1 7E6 YG2
    1.3E6 NU12 0.28 G12 5E5 ;
CAR1 = CARA MOD1 EPAI 0.05 EXCENTREMENT 0.025 ;
MAT1=MAT1 ET CAR1;

* verification graphique de l'orientation :
* 3D coque => 3 vecteurs : V1, V2 et V3
v123 = VLOC MOD1 MAT1;
v123 = CHAN 'GRAVITE' v123 MOD1;
mo123 = mots 'V1X' 'V1Y' 'V1Z' 'V2X' 'V2Y' 'V2Z' 'V3X' 'V3Y' 'V3Z';
ve123 = VECT v123 MOD1 0.07 mo123 (mots 'AZUR' 'OR' 'POUR');
SI (NEG GRAPH 'N') ;
TITRE 'COMPL1 couche 1 : V1(AZUR) V2 (JAUNE) V3(ROUG)';
TRACE OEIL ve123 CYL 'CACH';
FINSI ;

*
* DESCRIPTION DU MATERIAU ORTHOTROPE : COUCHE 2
*
MOD2 = MODE CYL MECANIQUE ELASTIQUE ORTHOTROPE DKT ;
* MAT2 = MATE MOD2 DIRE O2 INCL -45 NR1 YG1 7E6 YG2
MAT2 = MATE MOD2 DIRE O2 INCL -45 YG1 7E6 YG2

1.3E6 NU12 0.28 G12 5E5 ;
CAR2 = CARA MOD2 EPAI 0.05 EXCENTREMENT -0.025 ;
MAT2=MAT2 ET CAR2;

* verification graphique de l'orientation :
* 3D coque => 3 vecteurs : V1, V2 et V3
v123 = VLOC MOD2 MAT2;
v123 = CHAN 'GRAVITE' v123 MOD2;
ve123 = VECT v123 MOD2 0.07 mo123 (mots 'AZUR' 'BRON' 'POUR');
SI (NEG GRAPH 'N') ;
TITRE 'COMPL1 couche 2 : V1(AZUR) V2 (JAUNE) V3(ROUG)';
TRACE OEIL ve123 CYL 'CACH';
FINSI ;

* chargement
MOP = 'MODE' CYL 'CHARGEMENT' 'PRESSION' DKT ;
MAP = 'MATE' MOP 'PRES' 1. ;

*
* CREATION DE LA RIGIDITE
*
MODORT = MOD1 ET MOD2 'ET' MOP ;
MATORT = MAT1 ET MAT2 'ET' MAP ;

RIG12 = RIGI MODORT MATORT ;

*
* CONDITIONS AUX LIMITES
*
CO1 = COTE 2 CYL1 ; CO2 = COTE 2 CYL2 ;
CO3 = COTE 2 CYL3 ; CO4 = COTE 2 CYL4 ;
COB = (CO1 ET CO2 ET CO3 ET CO4 ) coul BLEU;
CO1 = COTE 4 CYL1 ; CO2 = COTE 4 CYL2 ;
CO3 = COTE 4 CYL3 ; CO4 = COTE 4 CYL4 ;
COA = (CO1 ET CO2 ET CO3 ET CO4 ) coul BOUT;

PB1 = CYL point proch (0, R H);
PB2 = CYL point proch ((-1,*R) 0, H);
PB3 = CYL point proch (0, (-1.*R) H);

CDL1 = BLOQ 'UZ' COB ;
CDL2 = ( BLOQ 'UY' (PB et PB2) )
        et ( BLOQ 'UX' (PB1 et PB3) );
CDL = CDL1 ET CDL2 ;

*
* CALCUL
*
RIGITOT = RIG12 ET CDL ;

FP = 'PRES' MOP MAP ;
DEP1 = RESO RIGITOT FP ;

DEFO0= DEFO CYL 0.0 DEP1 GRIS;
DEFO1= DEFO CYL DEP1 (EXCO DEP1 'UX');

SI (NEG GRAPH 'N') ;
TRAC OEIL (DEFO1 et DEFO0) ;
TRAC (0. 0. 100.) (DEFO1 et DEFO0) ;
* deplacement UX et UY
evux = EVOL 'BLEU' 'CHPO' DEP1 COB 'UX';
evuy = EVOL 'VERT' 'CHPO' DEP1 COB 'UY';
Tlege = tabl; Tlege . 'TITRE' = tabl;
Tlege . 'TITRE' . 1 = mot 'UX'; Tlege . 'TITRE' . 2 = mot 'UY';
DESS (evux ET evuy) LEGE SO Tlege MIMA 'TITRE' 'en z=H';
evux = EVOL 'BLEU' 'CHPO' DEP1 COA 'UX';
evuy = EVOL 'VERT' 'CHPO' DEP1 COA 'UY';
Tlege = tabl; Tlege . 'TITRE' = tabl;
Tlege . 'TITRE' . 1 = mot 'UX'; Tlege . 'TITRE' . 2 = mot 'UY';
DESS (evux ET evuy) LEGE SO Tlege MIMA 'TITRE' 'en z=0';
FINSI;

* ref = calcul element LC8 tire de [DEMT 85-482]
uref = (0.63615E-5 + 0.64702E-5) /2.;

* VALEUR pour le TEST
urlA = EXTR DEP1 'UX' PA ;
urlB = EXTR DEP1 'UX' PB ;
MESS ****;
MESS 'DEPLACEMENT RADIAL REFERENCE : ' uref;
MESS 'DEPLACEMENT RADIAL EN PA CALCULE : ' urlA urlB;
RES1= ABS((urlA - uref) / uref);
MESS 'ECART RELATIF : ' RES1 ;
MESS ****;
SAUT 2 LIGN ;
TEMPS ;
*
* CODE BON FONCTIONNEMENT
*

```

```
SI (RES1 <EG 5.E-2);
  ERRE 0 ;
SINO;
  ERRE 5 ;
FINSI ;
FIN;
```

### 5.1.2 comp2.dgibi

|                              |   |
|------------------------------|---|
| <b>Nom du fichier</b>        | comp2.dgibi   |
| <b>Type de calcul</b>        | Mécanique<br>Composite<br>3D  |
| <b>Type d'Éléments Finis</b> | DKT   |
| <b>Référence</b>             | Rapport CEA<br>89/186   |
| <b>Description</b>           | <p>PLAQUE COMPOSITE BICOUCHE</p> <p>Une plaque composite carrée est appuyée sur toute sa périphérie (blocage en déplacement et rotation suivant Z).</p> <p>Le nœud situé au centre de la plaque ne peut se déplacer que suivant l'axe Z. Une pression répartie est appliquée sur toute la plaque.</p> |
| <b>Objectif</b>              | <p>Déplacement vertical <math>U_z</math>, au point <math>P0</math> (0,0,0), centre de la plaque.</p> <p><math>U_z = 23,25 U_{CC}</math> (Précision relative de 1%)</p>  |
| <b>Version de Cast3M</b>     | Du jour   |
| <b>Plateformes testées</b>   | <p>IBM AiX</p> <p>Linux 32-bits</p> <p>Linux 64-bits</p> <p>Windows 32-bits</p> <p>Windows 64-bits</p> <p>MAC OSX 64-bits</p>   |

Tableau 11 : Informations sur le cas test comp2.dgibi

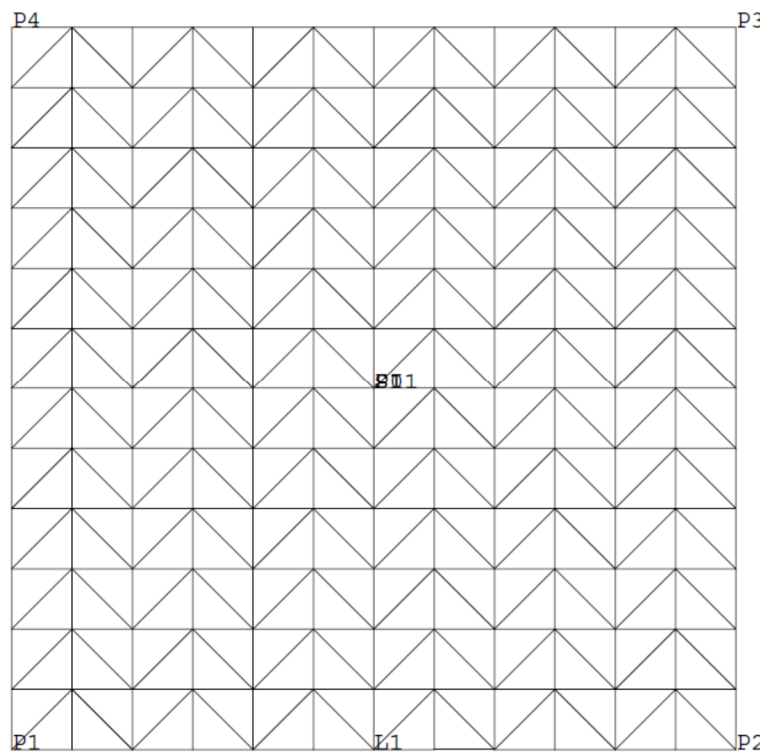


Figure 3 : Maillage du cas-test comp2.dgibi en 2D

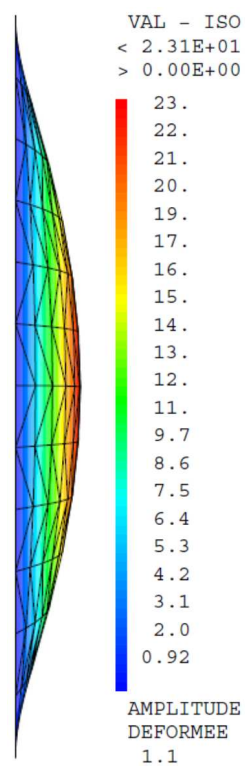


Figure 4 : Isovaleur de la composante  $U_Z$  du champ de déplacement sur le maillage déformé ( $x1,1$ )

# GUIDE DE VALIDATION

## Jeu de données :

```

* fichier : comp2.dgibi
*****
* Section : Mecanique Elastique
*****



***** Test Comp2.dgibi: Jeux de données *****
* -----
*****



* SI GRAPH = N PAS DE GRAPHIQUE AFFICHE
* SINON SI GRAPH DIFFERENT DE N TOUS
* LES GRAPHIQUES SONT AFFICHES

GRAPH = 'N' ;

SAUT PAGE;
SI (NEG GRAPH 'N') ;
OPTI ECHO 1 ;
OPTI TRAC PSC ;
SINO ;
OPTI ECHO 0 ;
FINSI ;
* -----
*          PLAQUE BI-COUCHE A +/- 45
*          APPUYEE , PRESSION REPARTIE
*          ELEMENT DKT
*
*
* Une plaque composite carrée est appuyée sur toute sa
* périphérie (blocage en déplacement suivant Z et en
* rotation suivant Z).
*
* Le noeud situé au centre de la plaque ne peut se
* déplacer que suivant l'axe vertical Z (blocage en
* déplacement et en rotation suivant Z).
*
* Une pression répartie est appliquée sur toute
* la plaque.
*
* Le déplacement calculé au centre de la plaque est
* comparé au résultat théorique : 23.25
*
SAUT PAGE ;
TITRE 'PLAQUE COMPOSITE APPUYEE - PRESSION REPARTIE';
OPTI DIME 3 ELEM TRI3 ECHO 0 ;
* -----
* GEOMETRIE
* -----



TEMPS ;

A = 127. ; B = A ; AM = -127. ; BM = AM ;
H = 5.08 ; ES = H/4 ; EI = H/-4 ; S = H/2 ;
P = 0.6894 ;
N = 12 ;
P0 = 0. 0. 0. ;
P1 = AM BM 0. ; P2 = A BM 0. ;
P3 = A B 0. ; P4 = AM B 0. ;
V1 = 0. (2*B) 0. ; V2 = 0. 0. 1. ;
L1 = DROI N P1 P2 ;

SI1=L1 TRAN V1 N;
S1=ORIE SI1 V2;
CONF (S1 POIN PROC P1) P1 ;
CONF (S1 POIN PROC P2) P2 ;
CONF (S1 POIN PROC P3) P3 ;
CONF (S1 POIN PROC P4) P4 ;

```

```

CONF (S1 POIN PROC P0) P0 ;
*
SI (NEG GRAPH 'N') ;
TRACE S1 V2 'QUAL';
FINSI ;
*
* MATERIAUX
*
MOD1 = MODE S1 MECANIQUE ELASTIQUE ORTHOTROPE DKT;
MOP = 'MODE' S1 'CHARGEMENT' 'PRESSION' DKT ;
MAP = 'MATE' MOP 'PRES' P ;
CARS = CARA MOD1 EPAI S EXCE ES ;
CARI = CARA MOD1 EPAI S EXCE EI ;
E11 = 276E3 ; E22 = 6.9E3 ; NL1 = 0.25 ; GX = 3.4E3 ;
MATS = MATE MOD1 DIRE V1 INCLINE 45. V2 YG1 E11 YG2 E22
NL12 NL2 G12 GX ;
MATI = MATE MOD1 DIRE V1 INCLINE -45. V2 YG1 E11 YG2 E22
NL12 NL2 G12 GX ;
MATS=MATS ET CARS;
MATI=MATI ET CARI;
*
* CONDITIONS AUX LIMITES ET RIGIDITE
*
RIS = RIGI MOD1 MATS ;
RII = RIGI MOD1 MATI ;
CL=(BLOQ UZ (CONT S1)) ET (BLOQ RZ (CONT S1)) ET
(BLOQ UX UY RX RY P0) ;
RIT = RIS ET RII ET CL ;
*
* CALCUL ET SORTIE
*
FP = PRES MOP MAP ;
DEP = RESO RIT FP ;
FP1 = EXTR DEP UZ P0 ;
SAUT PAGE ;
SU1=DEF0 S1 DEP ;
DZ=EXCO DEP UZ ;
OEIL= 0 1000 0 ;
SI (NEG GRAPH 'N') ;
TRAC OEIL CACH SU1 DZ;
FINSI ;
*
MESS 'FLECHE THEORIQUE      23.25' ;
SAUT 1 LIGN ;
MESS 'FLECHE CALCULEE        ' FP1 ;
SAUT 2 LIGN ;
TEMPS ;
*
* CODE FONCTIONNEMENT
*
FLEREF = 23.25;
RESI = ABS ((FP1-FLEREF)/FLEREF);
SI (RESI <EG 1E-2);
    ERRE 0 ;
SINO;
    ERRE 5 ;
FINSI;
FIN ;

```

## 5.2 ELASTICITÉ

### 5.2.1 elas1.dgibi

|                              |  |
|------------------------------|--|
| <b>Nom du fichier</b>        | elas1.dgibi  |
| <b>Type de calcul</b>        | Mécanique<br>Elastique<br>2D-axisymétrique   |
| <b>Type d'Éléments Finis</b> | COQ2   |
| <b>Référence</b>             | Solution analytique  |
| <b>Description</b>           | <p>CALOTTE SPHERIQUE SOUS EFFORT</p> <ul style="list-style-type: none"> <li>○ Pression interne</li> <li>○ Poids propre</li> <li>○ Force radiale en tête</li> </ul> <p>Utilisation du principe de superposition. Les forces équivalentes pour chacun des chargements sont calculées puis ajoutées avant de résoudre le système.</p> |
| <b>Objectif</b>              | Déplacement radial $U_r$ , en tête calculé au point B (1 1).<br>$U_r = 4,677 \mu m$ (Précision relative de 5%)   |
| <b>Version de Cast3M</b>     | Du jour  |
| <b>Plateformes testées</b>   | IBM AiX<br>Linux 32-bits<br>Linux 64-bits<br>Windows 32-bits<br>Windows 64-bits<br>MAC OSX 64-bits   |

*Tableau 12 : Informations sur le cas test elas1.dgibi*

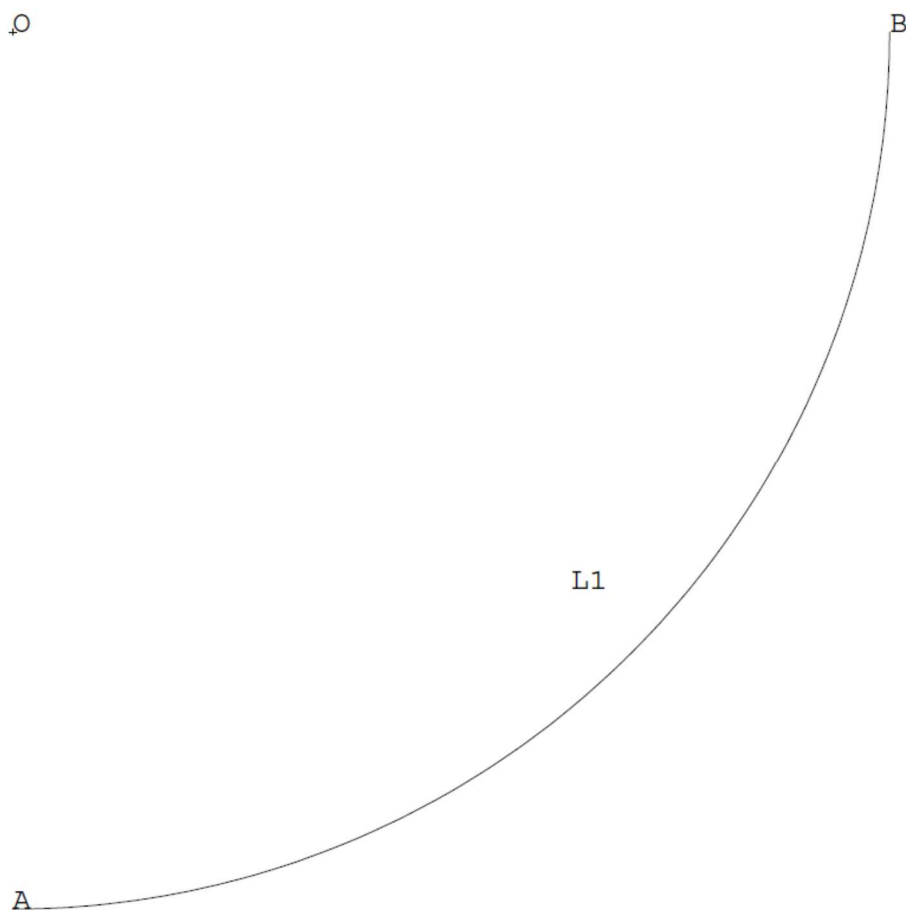


Figure 5 : Maillage du cas-test elas1.dgibi en 2D-axisymétrique

**Jeu de données :**

```

* fichier : elas1.dgibi
*****
* Section : Mecanique Elastique
*****  

***** Test elas1.dgibi: Jeux de données ****
* -----
*-----  

*****  

* SI GRAPH = N PAS DE GRAPHIQUE AFFICHE
* SINON SI GRAPH DIFFERENT DE N TOUS
* LES GRAPHIQUES SONT AFFICHES  

GRAPH = 'N' ;  

SAUT PAGE;  

SI (NEG GRAPH 'N') ;  

OPTI ECHO 1 ;  

OPTI TRAC PSC ;  

SINO ;  

OPTI ECHO 0 ;  

FINSI ;  

*  

* TEST ELAS1  

*  

* Une calotte sphérique est soumise :  

* - @ une pression interne  

* - @ son poids propre  

* - @ une force radiale en tête  

*  

* En élasticité et en supposant le problème  

* axisymétrique, on se propose de calculer le  

* déplacement radial en tête de la calotte.  

*  

* Pour résoudre ce problème on utilise le principe  

* de superposition. Les forces équivalentes pour chaque  

* chargement sont calculées puis ajoutées avant de  

* résoudre le système.  

*  

* Le déplacement radial en tête calculé est comparé à  

* la valeur théorique égale à 4.677 microns.  

*  

*  

TITRE 'CALOTTE SPHERIQUE SOUS PLUSIEUX TYPES  

DE CHARGEMENT';  

OPTION DIME 2 ELEM SEG2 MODE AXIS ;  

*  

*----- DEFINITION DE LA GEOMETRIE -----  

*  

*  

A = 0 0 ;  

B = 1 1 ;  

O = 0 1 ;  

*  

L1 = CERC 100 A O B ;  

*  

SI (NEG GRAPH 'N');  

TRAC (L1 ET O) 'QUAL' ;  

FINSI;  

*  

*----- DEFINITION DES CONDITIONS AUX LIMITES -----  

*  

CL1 = BLOQ B UZ ;  

CL2 = BLOQ A UR ;  

CL = CL1 ET CL2 ;  

*  

* DEFINITION DU MODELE, DU MATERIAU  

* ET DES CARACTERISTIQUES  

*  

MO = MODE L1 MECANIQUE ELASTIQUE COQ2 ;  

MA = MATE MO YOUN 2.1E11 NU 0.3 RHO 7.85E4 ;  

CA = CARA MO EPAI 0.02 ;  

MA=MA ET CA;  

*  

*----- CALCUL DE LA MATRICE DE RIGIDITE -----  

*  

RI1 = RIGI MO MA ;  

RI2 = RI1 ET CL ;  

*  

*----- DEFINITION DES CHARGES -----  

*  

*  

*----- PRESSION INTERNE UNIFORME -----  

*  

MOP = 'MODE' L1 'CHARGEMENT' 'PRESSION' 'COQ2' ;  

MAP = 'MATE' MOP 'PRES' -10000 'EPAI' 0.02 ;

```

```

FO1 = 'BSIG' MOP MAP ;  

*  

* -- POIDS PROPRE (IL FAUT CALCULER LA MATRICE MASSE) --  

*  

MAS = MASSE MO MA;  

EL1 = CHANGE L1 POI1 ;  

POP = MANU CHPO EL1 1 UZ -1 ;  

FO2 = MAS*POP ;  

*  

*----- FORCE RADIALE EN TETE -----  

*  

F=1000*2*PI;  

FO3 = FORC FR F B ;  

*  

FO = FO1 + FO2 + FO3 ;  

*  

*--CALCUL PAR RESO DES DEPLACEMENTS ET POST-TRAITEMENT--  

*  

RE = RESO RI2 FO ;  

DR = EXTR RE UR B ;  

DR = 1000000*DR ;  

SAUT PAGE ;  

SAUT 2 LIGN ;  

MESS ' DEPLACEMENT RADIAL EN TETE THEORIQUE  

CALCULE ' ;  

MESS ' UR=4.677 MICRON  

UR =' DR 'MICRON';  

TEMPS ;  

*----- CODE DE BON FONCTIONNEMENT -----  

*  

ERR=100*(ABS(4.677 -DR)/4.677);  

SI (ERR < 5);  

ERRE 0;  

SINON;  

ERRE 5;  

FINSI;  

FIN;

```

### 5.2.2 elas2.dgibi

|                              |  |
|------------------------------|--|
| <b>Nom du fichier</b>        | elas2.dgibi  |
| <b>Type de calcul</b>        | Mécanique<br>Elastique<br>3D   |
| <b>Type d'Éléments Finis</b> | DKT  |
| <b>Référence</b>             | Solution analytique  |
| <b>Description</b>           | CYLINDRE PINCE A UNE EXTREMITE ET ENCASTRE DE L'AUTRE<br><br>Pour des raisons de symétrie, seul $\frac{1}{4}$ de la structure est modélisé. Les conditions limites sont imposées pour respecter les symétries. Une force ponctuelle est appliquée diamétralement.        |
| <b>Objectif</b>              | Déplacement $U_X$ du point de la base P1 (7 0 0)<br><br>Déplacement $U_Z$ du point d'application de la force P3 (0 70 0)<br><br>$U_X(P1) = 0 \text{ cm}$ (Précision machine sur les flottants 1.E-304)<br><br>$U_Z(P3) = -1,14 \text{ cm}$ (Précision relative de 0,06%) |
| <b>Version de Cast3M</b>     | Du jour  |
| <b>Plateformes testées</b>   | IBM AiX<br>Linux 32-bits<br>Linux 64-bits<br>Windows 32-bits<br>Windows 64-bits<br>MAC OSX 64-bits   |

Tableau 13 : Informations sur le cas test elas2.dgibi

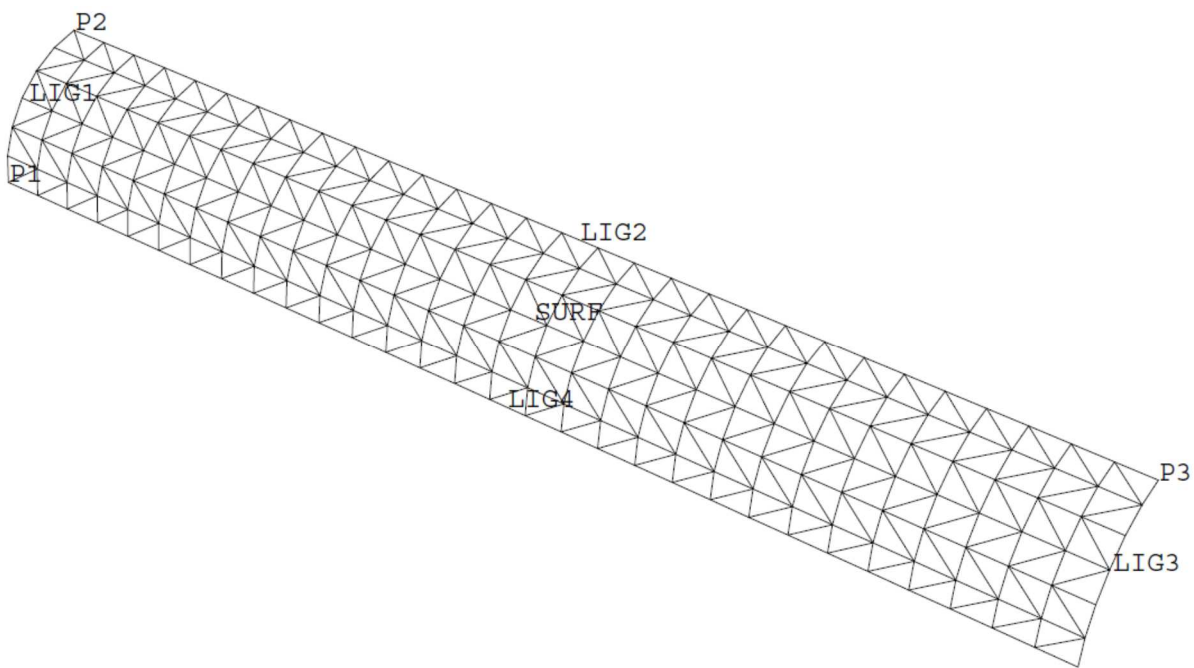


Figure 6 : Maillage du cas-test elas2.dgibi

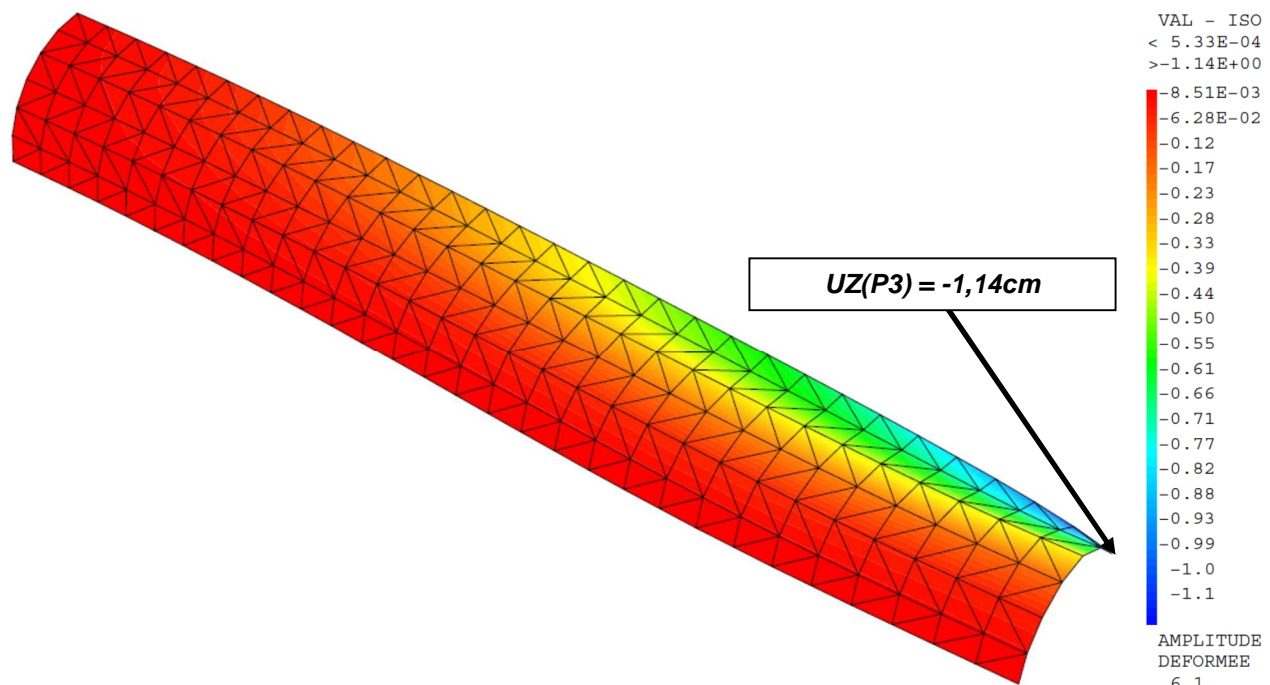


Figure 7 : Isovaleur de la composante UZ du champ de déplacement sur le maillage déformé (x6,1)

# GUIDE DE VALIDATION

## Jeu de donnée :

```

*fichier : elas2.dgibi
*****
** Section : Mecanique Elastique
*****
** Test elas2.dgibi: Jeux de données
*****
* SI GRAPH = N PAS DE GRAPHIQUE AFFICHE
* SINON SI GRAPH DIFFERENT DE N TOUS
* LES GRAPHIQUES SONT AFFICHES

GRAPH = 'N' ;
SAUT PAGE;
SI (NEG GRAPH 'N') ;
OPTI ECHO 1 ;
OPTI TRAC PSC ;
SINO ;
OPTI ECHO 0 ;
FINSI ;

* TEST ELAS2
* Un cylindre est pincé à une de ses extrémités,
* l'autre extrémité étant encastrée.
*
* Pour des raisons de symétrie seul 1/4 de la structure
* a été modélisé.
*
* Les conditions aux limites sont imposées pour
* respecter les symétries.
* Une force ponctuelle est appliquée diamétralement.
*
* Le déplacement en X d'un point de la base est comparé
* au déplacement théorique (déplacement nul puisque
* encastré).
* Le déplacement en Z du point d'application de force
* est comparé à la valeur théorique (-1.140)
*
OPTION DIME 3 ELEM TRI3 ;
TITRE 'CYLINDRE PINCE A BORDS ENCASTRES' ;
TEMPS ;
*-----*
* DEFINITION DE LA GEOMETRIE
*-----*
P1=7 0 0 ;P2=0 0 7 ;C1=0 0 0 ;VECT=0 70 0 ;
LIG1=C 6 P1 C1 P2 ;SURF=LIG1 TRAN 30 VECT ;
LIG1 LIG2 LIG3 LIG4=COTE SURF ;P3=LIG2 POIN FINA ;
*
OEIL1 = 100 100 100;
SI(NEG GRAPH 'N');
    TRAC OEIL1 SURF 'QUAL';
FINSI;
*-----*
* DEFINITION DU MODELE
*-----*
MOD1=MODE SURF MECANIQUE ELASTIQUE DKT ;
MATL=MATE MOD1      YOUN 3.E7   NU 0.3 ;
EPEE=CARA MOD1      EPAI 0.1 ;
MATL=MAT1 ET EPEE;
*
*** CALCUL RIGIDITE ET MASSE ;
*-----*
*
RIG1=RIGI MOD1 MAT1;
*
*-----*
* CONDITIONS AUX LIMITES
*-----*
ENC1=BLOQ LIG4 UZ ;ENC2=BLOQ LIG4 RX ;ENC3=BLOQ LIG4 RY ;
ENC4=BLOQ LIG2 UX ;ENC5=BLOQ LIG2 RY ;ENC6=BLOQ LIG2 RZ ;
ENC7=BLOQ LIG3 UY ;ENC8=BLOQ LIG3 RX ;ENC9=BLOQ LIG3 RZ ;
ENC10=BLOQ LIG1 DEPL ROTA ;
ENC11=ENC1 ET ENC2 ET ENC3 ET ENC4 ET ENC5 ET ENC6 ET
ENC7 ET ENC8 ET ENC9 ET ENC10 ;
*
* FORCES
*
F1=0 0 -2500 ;
EFOR=FORC F1 P3 ;
RIG2=RIG1 ET ENC11;
*
* RESOLUTION ET RESULTATS
*
DE1=RESOU RIG2 EFOR;
DIX = EXTR DE1 UX P1 ;
D3Z = EXTR DE1 UZ P3 ;

```

### 5.2.3 elas3.dgibi

|                              |  |
|------------------------------|--|
| <b>Nom du fichier</b>        | elas3.dgibi  |
| <b>Type de calcul</b>        | Mécanique<br>Elastique<br>3D   |
| <b>Type d'Éléments Finis</b> | DKT  |
| <b>Référence</b>             | Solution analytique  |
| <b>Description</b>           | CYLINDRE PINCE A UNE EXTREMITE ET LIBRE DE L'AUTRE<br><br>Pour des raisons de symétrie, seul $\frac{1}{4}$ de la structure est modélisé. Les conditions limites sont imposées pour respecter les symétries. Une force ponctuelle est appliquée diamétralalement. |
| <b>Objectif</b>              | Déplacement $U_Z$ du point d'application de la force P3 (0 5,175 4,953)<br>$U_z(P3) = -0,452 \text{ cm}$ (Précision relative de 0,04%)   |
| <b>Version de Cast3M</b>     | Du jour  |
| <b>Plateformes testées</b>   | IBM AiX<br>Linux 32-bits<br>Linux 64-bits<br>Windows 32-bits<br>Windows 64-bits<br>MAC OSX 64-bits   |

Tableau 14 : Informations sur le cas test elas3.dgibi

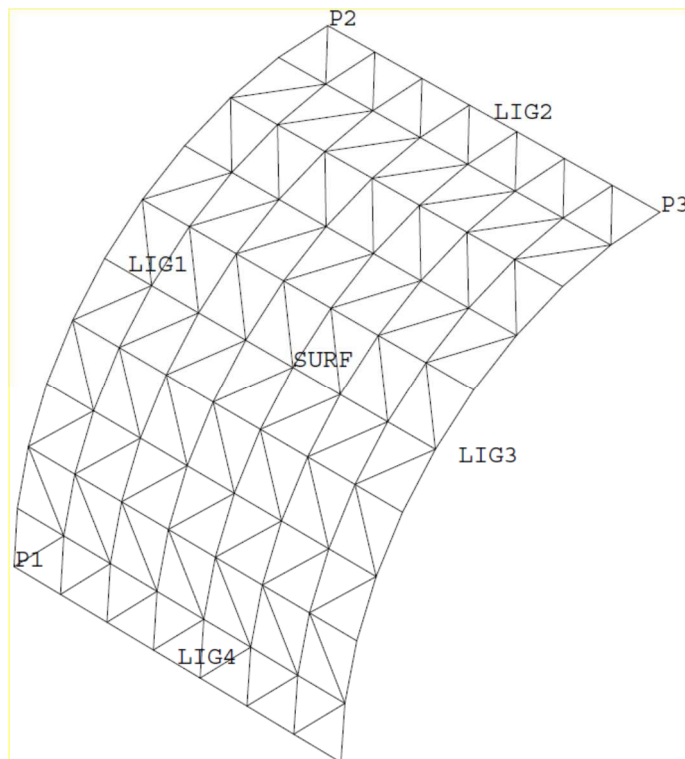


Figure 8 : Maillage d'un quart de cylindre pincé en P3 et libre partout ailleurs

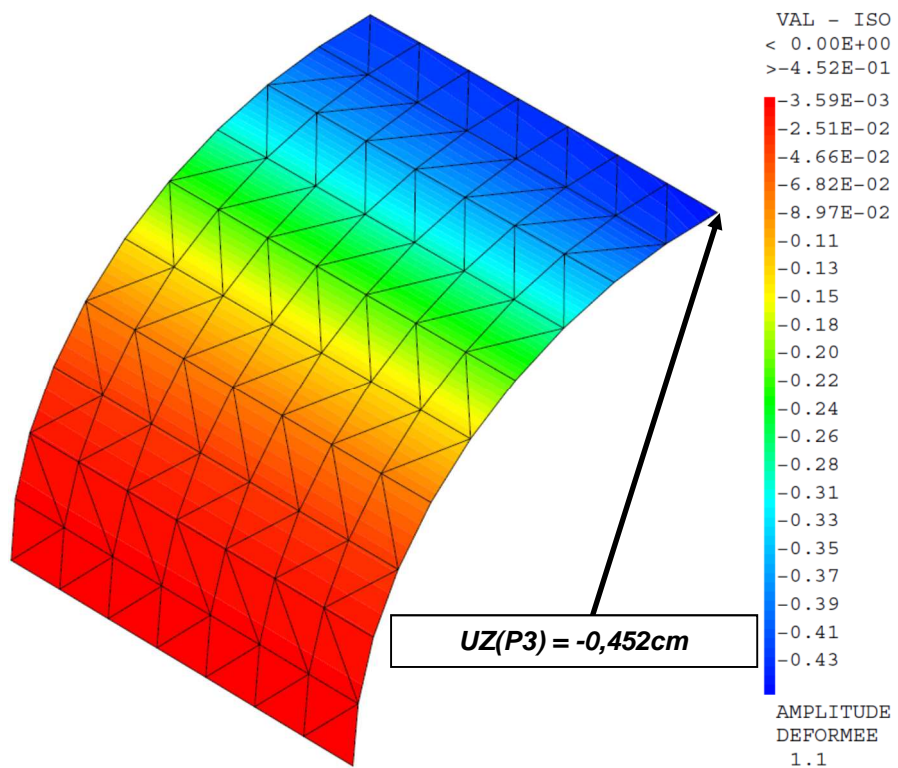


Figure 9 : Isovaleur de la composante UZ du champ de déplacement sur le maillage déformé ( $x1,1$ )

**Jeu de données :**

```

*fichier : elas3.dgibi
*****
* Section : Mecanique Elastique
*****



***** Test elas3.dgibi: Jeux de données *****
* SI GRAPH = N PAS DE GRAPHIQUE AFFICHE
* SINON SI GRAPH DIFFERENT DE N TOUS
* LES GRAPHIQUES SONT AFFICHES

GRAPH = 'N' ;

SAUT PAGE;
SI (NEG GRAPH 'N') ;
  OPTI ECHO 1 ;
  OPTI TRAC PSC ;
SINO ;
  OPTI ECHO 0 ;
FINSI ;

* TEST ELAS
*
* Meme probleme que DFICH10 mais avec une extrémité
* libre au lieu d'être encastrée (la géométrie est
* différente).
*
* Un cylindre est pincé à une extrémité, l'autre reste
* libre.
*
* Pour des raisons de symétrie seul 1/4 de la structure
* est discréétisé.
* Les conditions aux limites respectent cette symétrie.
*
* Une force ponctuelle est appliquée diamétralement.
*
* La déflexion suivant Z au point d'application de la
* force est comparée à la déflexion théorique (-0.452).
*



OPTION DIME 3 ELEM TRI3 ;DENS 0.75 ;
TIIR 'CYLINDRE PINCE A BORDS LIBRES' ;
TEMPS ;

*-----
* DEFINITION DE LA GEOMETRIE
*-----
P1=4.953 0 0 ;P2=0 0 4.953 ;C1=0 0 0 ;VECT=0 5.175 0 ;
LIG1=C P1 C1 P2 ;SURF=LIG1 TRAN VECT ;
LIG1 LIG2 LIG3 LIG4=COTE SURF ;P3=LIG2 POIN FINA ;
LIST P3;

*-----
* TRACE
*-----
OEILL1 = 100 100 100;
SI(NEG GRAPH 'N');
  TRAC OEILL1 SURF 'QUAL';
FINSI;

*-----
* DEFINITION DU MODELE ET DES CARACTERISTIQUES
*-----



MOD1=MODE SURF MECANIQUE ELASTIQUE DKT;
MAT1=MATE MOD1 YOUN 10.586 NU 0.3125 RHO 1. EPAI 0.094 ;

*-----
* CALCUL RIGIDITE ET MASSE :
*-----



RIG1=RIGI MOD1 MAT1;

*-----
* CONDITIONS AUX LIMITES
*-----
ENC1=BLOQ LIG4 UZ ;ENC2=BLOQ LIG4 RX ;ENC3=BLOQ LIG4 RY ;
ENC4=BLOQ LIG2 UX ;ENC5=BLOQ LIG2 RY ;ENC6=BLOQ LIG2 RZ ;
ENC7=BLOQ LIG3 UY ;ENC8=BLOQ LIG3 RX ;ENC9=BLOQ LIG3 RZ ;
ENC10=ENC1 ET ENC2 ET ENC3 ET ENC4 ET ENC5 ET ENC6 ET ENC7 ET ENC8
ET ENC9 ;

*-----
* FORCE
*-----
F1=0 0 -100 ;
EFOR=FORC F1 P3 ;
RIG2=RIG1 ET ENC10;

*-----
* RESOLUTION
*-----




```

```

*-----
DE1 = RESO RIG2 EFOR;
D3Z = EXTR DE1 UZ P3;

*-----*
* RESULTATS (isovaleurs de déplacement en Z)
*-----*
SAUT PAGE ;

SURF1= DEFO SURF DE1;
DZ = EXCO DE1 UZ;
SI(NEG GRAPH 'N');
  TRAC OEILL1 'CACH' SURF1 DZ ;
FINSI;

MESS ' DEPLACEMENT EN Z THEORIQUE : -0.452 ';
MESS ' DEPLACEMENT EN Z CALCULE : ' D3Z ;
TEMPS ;
*----- CODE FONCTIONNEMENT
DZREF=-0.452;
RESI=ABS((D3Z-DZREF)/DZREF);
SI(RESI <EG 4E-4);
  ERRE 0;
SINO;
  ERRE 5;
FINSI;
FIN;


```

**5.2.4 elas4.dgibi**

|                              |   |
|------------------------------|---|
| <b>Nom du fichier</b>        | elas4.dgibi   |
| <b>Type de calcul</b>        | Mécanique<br>Elastique<br>3D  |
| <b>Type d'Éléments Finis</b> | COQ4  |
| <b>Référence</b>             | Test Nafems<br>LE5  |
| <b>Description</b>           | POUTRE A SECTION CARREE CHARGEE EN TORSION<br><br>La poutre est soumise à un couple de torsion de 1200 mN, obtenu par deux forces de 600 N uniformément réparties sur chaque flanc. |
| <b>Objectif</b>              | Contrainte axiale $SM_{xx}$ au point A (2,5 0 0)<br><br>$SM_{xx} = -108 MPa$ (Précision relative de 5%)   |
| <b>Version de Cast3M</b>     | Du jour   |
| <b>Plateformes testées</b>   | IBM AiX<br>Linux 32-bits<br>Linux 64-bits<br>Windows 32-bits<br>Windows 64-bits<br>MAC OSX 64-bits  |

*Tableau 15 : Informations sur le cas test elas4.dgibi*

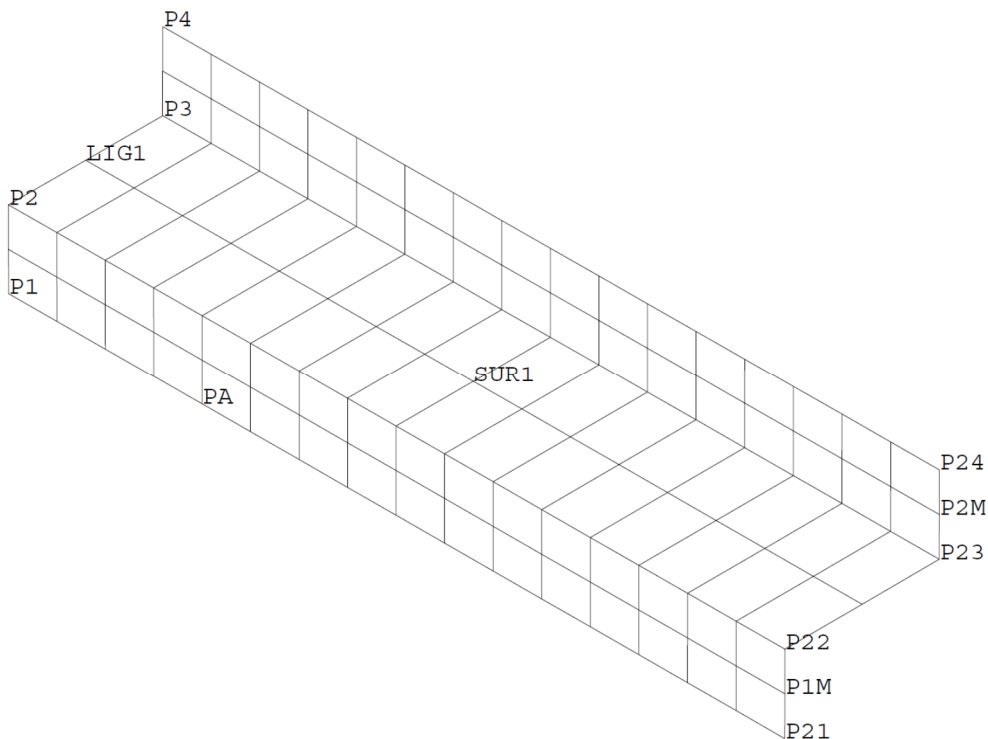


Figure 10 : Maillage du cas-test elas4.dgibi

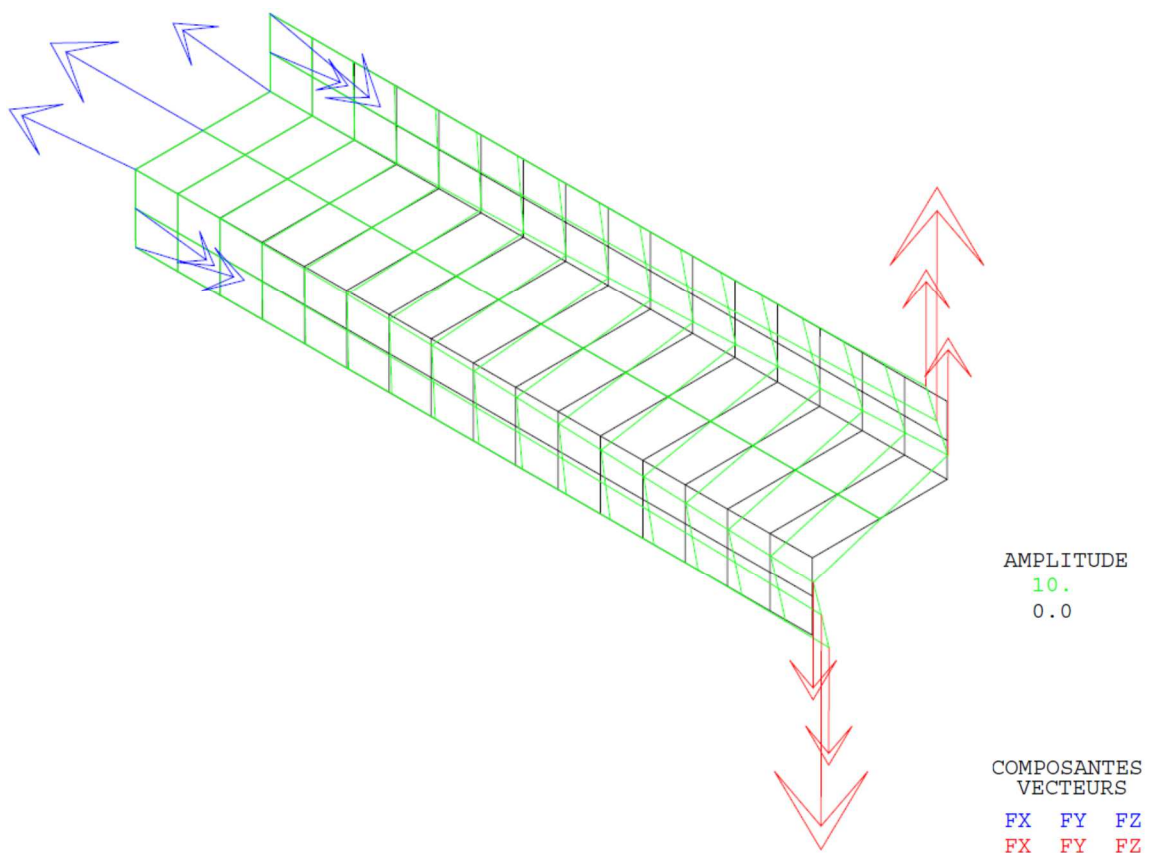


Figure 11 : Tracé du maillage initial (noir) et du maillage déformé (vert, x10) associé aux efforts dus au chargement (flèches rouges) et aux forces de réaction (flèche bleue)

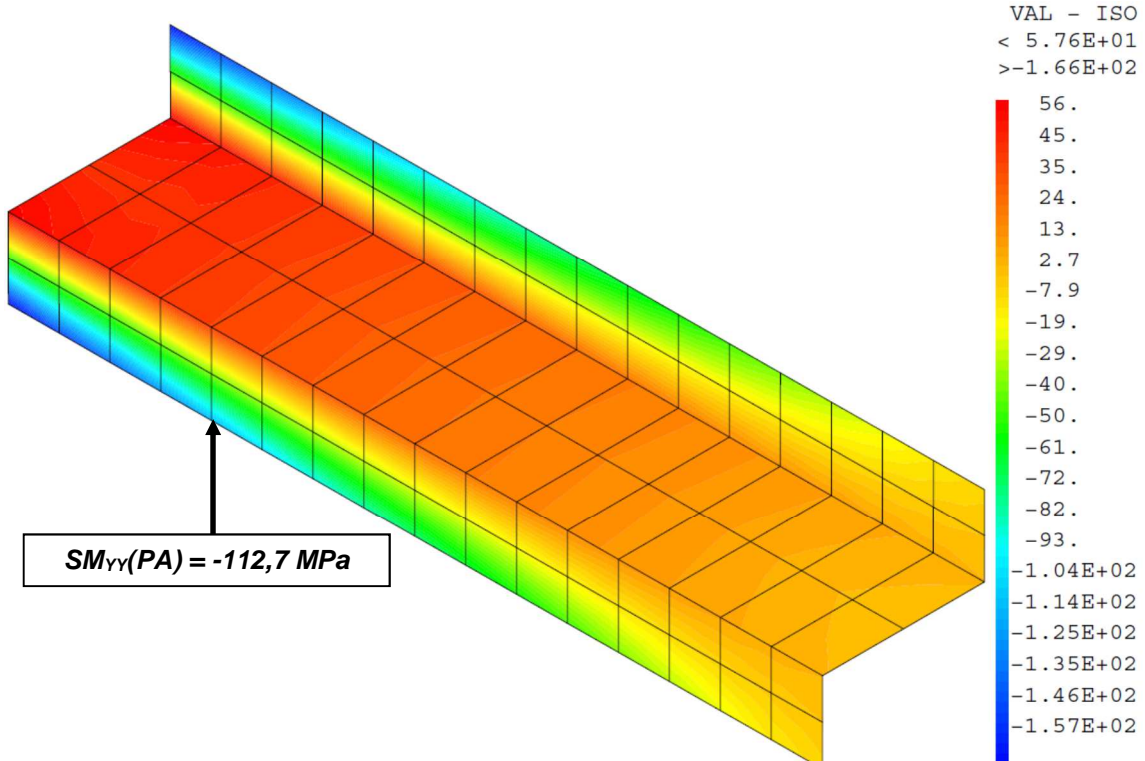


Figure 12 : Champ de contrainte  $SM_{XX}$  projeté aux nœuds

**Jeu de données :**

```

* fichier : elas4.dgibi
*****
* Section : Mecanique Elastique
*****
***** Test elas4.dgibi: Jeux de donnees *****
* SI GRAPH = N PAS DE GRAPHIQUE AFFICHE
* SINON SI GRAPH DIFFERENT DE N TOUS
* LES GRAPHIQUES SONT AFFICHES
GRAPH = 'N' ;

SAUT PAGE;
SI (NEG GRAPH 'N') ;
OPTI ECHO 1 ;
OPTI TRAC PSC ;
SINO ;
OPTI ECHO 0 ;
FINSI ;

SAUT PAGE;
*
* TEST ELAS4
*
* POUTRE A SECTION EN FORME DE "Z" CHARGEÉ EN TORSION
*
* Cas test NAFEMS numero LE5 (Z-section cantilever)
*
* La poutre est mailleé à l'aide d'éléments de
* coques COQ4.
* Le maillage a été affiné car on ne peut utiliser
* l'opérateur CALP avec l'élément COQ8.
*
* La poutre est soumise à un couple de torsion
* de 1200 m.N, obtenu par deux forces de 600 N
* uniformément réparties sur chaque flanc.
*
* On se propose de calculer la contrainte axiale
* de la surface au point A.
*
OPTI DIME 3;
OPTI ELEM QUA4;
*****
* geometrie : maillage
*****
*
* Dimension en mètres
*
* Points
*
OEIL = 1000 -1000 1000;
*
P1 = 0 0 0; P21 = (P1 PLUS (10 0 0));
P2 = 0 0 1; P22 = (P2 PLUS (10 0 0));
P3 = 0 2 1; P23 = (P3 PLUS (10 0 0));
P4 = 0 2 2; P24 = (P4 PLUS (10 0 0));
*
P1M = 10 0 .5; P2M = 10 2 1.5;
*
* Droites et lignes
*
* Remarque : ne pouvant utiliser l'élément COQ8,
* et seulement des COQ4 le maillage a été affiné.
*
N1 = 2;
LIG1 = P1 D N1 P2 D N1 P3 D N1 P4;
*
* Maillage
*
N2 = 16;
SUR1 = LIG1 TRANS N2 (10 0 0);
*
ELIM (SUR1 ET P21 ET P22 ET P23 ET P24 ET P1M ET P2M) 0.001;
*
SI (NEG GRAPH 'N');
TITR 'TEST ELAS4 : MAILLAGE';
TRAC OEIL QUAL SUR1;
FINSI;
*****
* modèle - matériau - caractéristique
* rigidité - conditions aux limites
*****
MODL1 = MODE SUR1 MECANIQUE ELASTIQUE ISOTROPE COQ4;
MATR1 = MATE MODL1 YOUNG 210E9 NU 0.3 EPAT 0.1;
R11 = RIGI MATR1 MODL1;
CL1 = BLOQ DEPL LIG1;
RIG1 = R11 ET CL1;
*****
* Chargement
*****
* Couple de torsion de 1.2e6 N.m appliquée dans la
* section x = 10 m par deux forces uniformément
* réparties égales de 600 N sur chaque flanc.
F1 = 0 0 -150E3;
F1M = 0 0 -300E3;
F2 = 0 0 150E3;
F2M = 0 0 300E3;
*
FORC1 = FORC F1 P21;
FORC2 = FORC F1 P22;
FORC1M = FORC F1M P1M;
FORC3 = FORC F2 P23;
FORC4 = FORC F2 P24;
FORC2M = FORC F2M P2M;
*
CHAI1 = FORC1 ET FORC2 ET FORC3 ET FORC4 ET FORC1M ET
FORC2M;
*****
* resolution : champs de déplacements
* champs de contraintes
*****
DEP1 = RESO RIG1 CHAI1;
*
* Trace facultatif de la déformée et des réactions
SI (NEG GRAPH 'N');
AMPVEC = .5E-6;
REAL1 = REAC DEP1 RIG1;
VECT1 = VECT CHAI1 (AMPVEC * 20) FX FY FZ ROUGE;
VECT2 = VECT REAL1 AMPVEC FX FY FZ BLEU;
DEF0 = DEFO 0. DEP1 SUR1;
DEF1 = DEFO 10. DEP1 SUR1 (VECT1 ET VECT2) VERT;
TITR 'ELAS4 : Déformée, chargement, réactions';
TRAC Oeil SUR1 (DEF0 ET DEF1);
FINSI;
*****
* extraction d'une contrainte
* et comparaison avec solution analytique
*****
* On cherche la contrainte axiale au point A sur la
* surface moyenne.
*
* Calcul des contraintes généralisées dans le repère
* local des éléments
CHAMI = SIGM MODL1 MATR1 DEP1;
*
* Calcul du champ de contraintes au sens des milieux
* continus.
* Pour cela on utilise l'opérateur CALP.
CHAM2 = CALP CHAMI MATR1 MODL1 MOYEN;
CHAM3 = CHAN NOEUD CHAM2 MODL1;
CHPO3 = CHAN CHPO CHAM3 MODL1;
PA = SUR1 POIN PROC (2.5 0 0);
*
* Trace facultatif des contraintes aux noeuds.
*
SI (NEG GRAPH 'N');
TITR 'ELAS4 : Maillage';
TRAC CACH SUR1 'QUAL';
TITR 'ELAS4 : Contraintes Nodales';
TRAC CACH SUR1 ((EXCO CHPO3 SMYY)*1e-6);
FINSI;
*
SMXXA2 = EXTR CHPO3 SMYY PA;
SMXXA2 = SMXXA2 / 1.E6;
SMXXA1 = -108;
ERGXAA = 100 * (ABS ((SMXXA2 - SMXXA1) / SMXXA1));
*****
* affichage des résultats
*****
MESS ' RESULTATS TEST ELAS4 ';
MESS ' ----- ';
SAUT 2 LIGN;
MESS ' On cherche la contrainte axiale sur la surface moyenne';
MESS ' au point A. ';
MESS ' Elle est comparée à une valeur théorique obtenue';
MESS ' analytiquement. ';
SAUT 2 LIGN;
MESS ' Contrainte axiale théorique en A :: SMXXA1 'MPa';
MESS ' Contrainte axiale calculée en A :: SMXXA2 'MPa';
MESS ' Soit un écart de :: ERGXAA %';
SAUT 1 LIGN;
ELSUR1 = NBEL SUR1;
NOSUR1 = NENO SUR1;
*
MESS ' Nombre d'éléments :: ELSUR1;
MESS ' Nombre de noeuds :: NOSUR1;

```

## GUIDE DE VALIDATION

```
*=====
*          code fonctionnement      *
*=====
SAUT 2 LIGNE;
SI (ERGXAA <EG 5);
    ERRE 0;
SINON;
    ERRE 5;
FINSI;

TEMPS;
FIN;
```

### 5.2.5 elas5.dgibi

|                              |   |
|------------------------------|---|
| <b>Nom du fichier</b>        | elas5.dgibi   |
| <b>Type de calcul</b>        | Mécanique<br>Elastique<br>2D-axisymétrique  |
| <b>Type d'Éléments Finis</b> | COQ2  |
| <b>Référence</b>             | Test Nafems<br>LE7  |
| <b>Description</b>           | CITERNE A COUVERCLE SPHERIQUE SOUS PRESSION INTERNE<br><br>La structure est constituée d'un cylindre surmonté d'une demi-sphère.<br><br>Elle est soumise à une pression interne de 1MPa.<br><br>Le problème présentant une symétrie axiale (géométrie et chargement) sera résolu en 2D-axisymétrique. |
| <b>Objectif</b>              | Contrainte axiale $SM_{YY}$ au point D (1 1,4034)<br><br>$SM_{YY}(D) = 25,86 \text{ MPa}$ (Précision relative de 1%)  |
| <b>Version de Cast3M</b>     | Du jour   |
| <b>Plateformes testées</b>   | IBM AiX<br>Linux 32-bits<br>Linux 64-bits<br>Windows 32-bits<br>Windows 64-bits<br>MAC OSX 64-bits  |

Tableau 16 : Informations sur le cas test elas5.dgibi

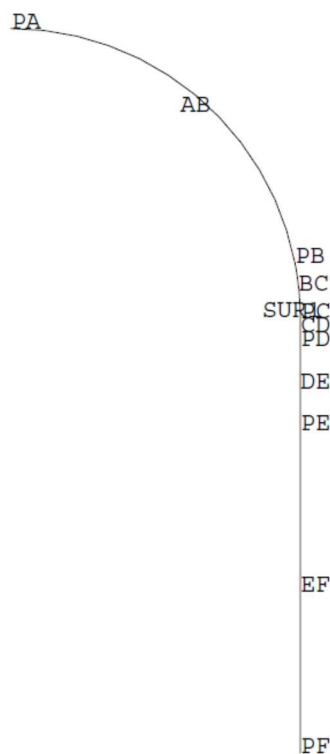


Figure 13 : Maillage de la citerne à couvercle sphérique en 2D-axisymétrique

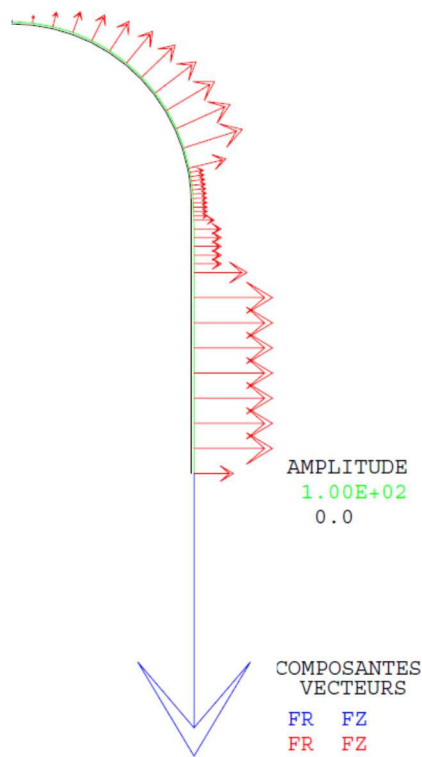


Figure 14 : Tracé du maillage initial (noir) et du maillage déformé (vert, x100) associé aux efforts dus au chargement (flèches rouges) et aux forces de réaction (flèche bleue)

**Jeu de données :**

```

*fichier : elas5.dgibi
*****
* Section : Mecanique Elastique
*****
***** Test elas5.dgibi: Jeux de données *****
*-----*
* CAS TEST DU 91/06/13 PROVENANCE : TEST
*
* SI GRAPH = N PAS DE GRAPHIQUE AFFICHE
* SINON SI GRAPH DIFFERENT DE N TOUS
* LES GRAPHIQUES SONT AFFICHES
*
GRAPH = 'N' ;
*
SAUT PAGE;
SI (NEG GRAPH 'N') ;
OPTI ECHO 1 ;
OPTI TRAC PSC ;
SINO ;
OPTI ECHO 0 ;
FINSI ;
*
SAUT PAGE;
*
* TEST ELAS5
*
* CYLINDRE - SPHERE AXISYMETRIQUE
*
* cas-test NAFEMS : test numero LE7
*
* La structure est constituée d'un cylindre surmonté d'une
* demi-sphère. Elle est soumise à une pression interne de 1MPa.
*
* Le problème présentant une symétrie axiale (géométrie et
* chargement), on se place en mode axisymétrique.
*
* On se propose de calculer la contrainte axiale Smyy sur la
* surface extérieure au point D. La valeur trouvée est ensuite
* comparée à une valeur théorique trouvée analytiquement.
*
*
OPTI DIME 2;
OPTI MODE AXIS;
OPTI ELEM SEG2;
*
***** geometrie : maillage *****
*
* Dimension en metres
*
* Points
*
RO2 = 0.; ZO2 = 1.5; PO2 = RO2 ZO2;
*
RA = 0.; ZA = 2.5; PA = RA ZA;
RB = 0.9814; ZB = 1.6920; PB = RB ZB;
RC = 1.; ZC = 1.5; PC = RC ZC;
RD = 1.; ZD = 1.4034; PD = RD ZD;
RE = 1.; ZE = 1.1136; PE = RE ZE;
RF = 1.; ZF = 0.; PF = RF ZF;
*
* Droites, cercles et lignes
*
* coefficient de finesse du maillage
K = 2;
N1 = 6 * K;
AB = PA CERC N1 PO2 PB;
*
N2 = 4 * K;
BC = PB CERC N2 PO2 PC;
*
N3 = 2 * K;
CD = PC DROI N3 PD;
*
N4 = 3 * K;
DE = PD DROI N4 PE;
*
N5 = 4 * 2;
EF = PE DROI N5 PF;
*
* Maillage
*
SUR1 = AB ET BC ET CD ET DE ET EF;
*
ELIM SUR1 0.001;
*
SI (NEG GRAPH 'N');
TITR 'ELAS5 : MAILLAGE';
TRAC QUAL SUR1;
FINSI;

```

```

ELSUR1 = NBEL SUR1;
NOSUR1 = NENO SUR1;
*
=====
*      modele - affecte - materiau - caracteristique      *
*      rigidite - conditions aux limites                 *
=====
MODL1 = MODE SUR1 MECANIQUE ELASTIQUE ISOTROPE COQ2;
MATR1 = MATE MODL1 YOUN 210E9 NU 0.3 EPAI 0.025;
*
MOP = 'MODE' SUR1 'CHARGEMENT' 'PRESSION' COQ2 ;
MAP = 'MATE' MOP 'PRES' 1.E6 ;
*
MODLT = MODL1 'ET' MOP ;
MATRT = MATR1 'ET' MAP ;
*
RIG1 = RIGI MODLT MATRT;
*
* Conditions aux limites
* - point pa : pas de deplacement radial et pas de rotation,
* - point pf : pas de deplacement vertical.
*
CL1 = BLOQ ROTA PA;
CL2 = BLOQ UR PA;
CL3 = BLOQ UZ PF;
*
RIG1 = RIG1 ET CL1 ET CL2 ET CL3;
*
=====
*      Chargement
=====
*
* Pression interne uniforme de 1e6Pa.
*
CHA1 = 'PRES' MOP MAP ;
*
=====
*      resolution : champs de deplacements
=====
*
DEP1 = RESO RIG1 CHA1;
*
* Trace facultatif de la deforme et des reactions
*
SI (NEG GRAPH 'N');
AMPVEC = .5E-6;
REAL1 = REAC DEP1 RIG1;
VECT1 = VECT CHA1 (AMPVEC * 1) FR FZ ROUGE;
VECT2 = VECT REAL1 AMPVEC FR FZ BLEU ;
DEF0 = DEFO 0. DEP1 SUR1;
DEF1 = DEFO 100. DEP1 SUR1 (VECT1 ET VECT2) VERT;
TITR 'ELASS : DEFORMEE, CHARGEMENT, REACTIONS';
TRAC SUR1 (DEF0 ET DEF1);
FINSI;
*
=====
*      extraction d'une contrainte
=====
*
* On cherche la contrainte axiale sigyy sur la surface exterieure
* au point D.
* Cette valeur est ensuite comparee a la valeur theorique obtenue
* analytiquement.
*
* Calcul du champs de contraintes generalisees.
*
CHAM1 = SIGM MODL1 MATR1 DEP1;
*
* Calcul du champs de contraintes au sens des milieux continus.
* Pour cela on utilise l'operateur CALP .
*
CHAM2 = CALP CHAM1 MATRT MODLT SUPE;
*
* Interpolation des contraintes au noeuds
*
CHAM3 = CHAN NOEUD MODL1 CHAM2;
CHPO3 = CHAN CHPO CHAM3 MODL1;
*
* Extraction de la contrainte smyy au point D : Pour cela on extrait
* la contrainte smxx du repere local des elements qui correspond a la
* contrainte smyy dans le repere global.
*
SMYYD = EXTR CHPO3 SMXX PD;
SMYYD = SMYYD / 1.E6;
*
SMYYD1 = 25.86;
*
* Calcul de l'écart avec la valeur de référence
*
ERGYYD = 100 * (ABS ((SMYYD1 - SMYYD) / SMYYD1));
*
=====
*      affichage des resultats
=====
*
```

## GUIDE DE VALIDATION

```

MESS ' Resultats ELAS5';
MESS ' -----';
SAUT 2 LIGN;
*
MESS '      La valeur cherchée est la contrainte axiale au point D, ';
MESS ' sur la surface extérieure. Elle est comparée à la valeur   ';
MESS ' théorique obtenue analytiquement.';
SAUT 1 LIGN;
MESS ' Contrainte axiale théorique en D :' SMYD1 'MPa';
SAUT 1 LIGN;
MESS ' Contrainte axiale calculée en D :' SMYYD 'MPa';
SAUT 1 LIGN;
MESS '           Soit un écart de :' ERGYYD '%';
SAUT 2 LIGN;
*
SI (K EGA 1);
MESS ' Maillage grossier';
SINON;
MESS ' Maillage fin';
FINSI;
*
MESS ' Nombre d éléments :' ELSUR1;
MESS ' Nombre de noeuds :' NOSUR1;
MESS ' soit ' (NOSUR1 * 3) 'd.d.l.';
*
*=====
*          code fonctionnement
*=====
*
*      L'écart maximum entre valeur théorique et calculée doit être
* inférieure à 1%.
*
SAUT 2 LIGNE;
SI (ERGYYD <EG 1.);
    ERRE 0;
SINON;
    ERRE 5;
FINSI;
*
*=====
*          Temps de calcul et fin
*=====
*
SAUT 1 LIGN;
TEMPS;
SAUT 1 LIGN;
*
FIN;

```

### 5.2.6 elas6.dgibi

|                              |  |
|------------------------------|--|
| <b>Nom du fichier</b>        | elas6.dgibi  |
| <b>Type de calcul</b>        | Mécanique<br>Elastique<br>2D-axisymétrique   |
| <b>Type d'Éléments Finis</b> | COQ2   |
| <b>Référence</b>             | Test Nafems<br>LE8   |
| <b>Description</b>           | CITERNE A COUVERCLE TORIQUE & SPHERIQUE SOUS PRESSION INTERNE<br><br>La structure est constituée d'un cylindre surmonté d'une portion de tore et d'une portion de sphère.<br><br>Elle est soumise à une pression interne de 1MPa.<br><br>Le problème présentant une symétrie axiale (géométrie et chargement) sera résolu en 2D-axisymétrique. |
| <b>Objectif</b>              | Contrainte tangentielle $SM_{TT}$ au point D (0,11 0,55)<br><br>$SM_{TT}(D) = 94,55 \text{ MPa}$ (Précision relative de 2,5%)  |
| <b>Version de Cast3M</b>     | Du jour  |
| <b>Plateformes testées</b>   | IBM AiX<br>Linux 32-bits<br>Linux 64-bits<br>Windows 32-bits<br>Windows 64-bits<br>MAC OSX 64-bits   |

Tableau 17 : Informations sur le cas test elas6.dgibi

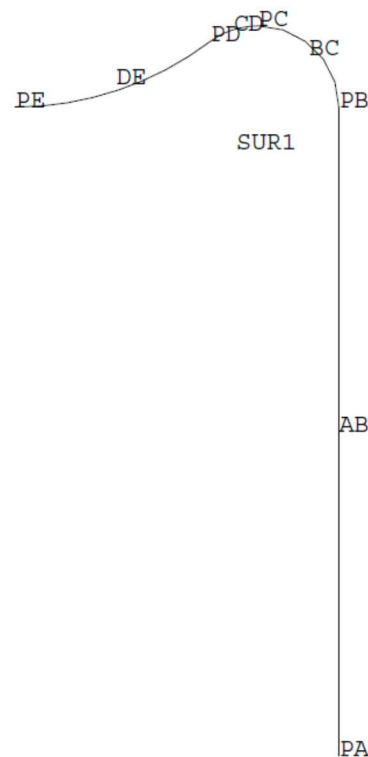


Figure 15 : Maillage de la citerne à couvercle torique et sphérique en 2D-axisymétrique

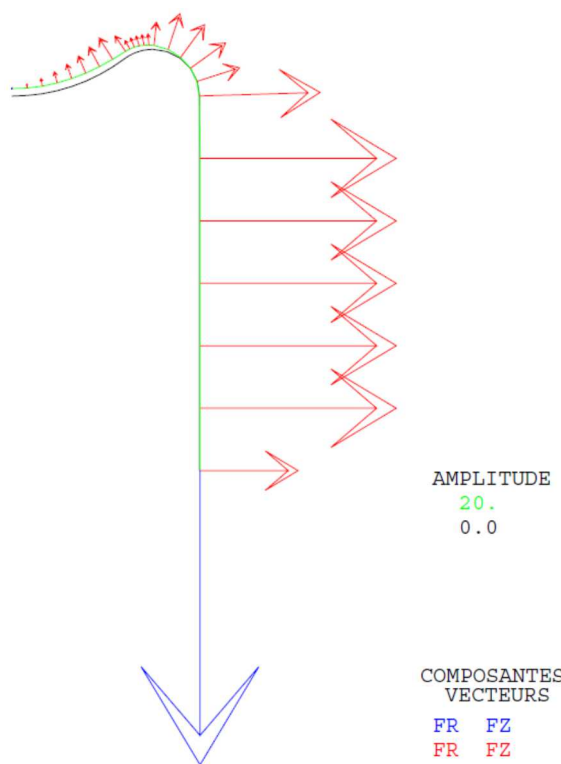


Figure 16 : Tracé du maillage initial (noir) et du maillage déformé (vert, x20) associé aux efforts dus au chargement (flèches rouges) et aux forces de réaction (flèche bleue)

**Jeu de données :**

```

*fichier : elas6.dgibi
*****
* Section : Mecanique Elastique
*****



***** Test elas6.dgibi: Jeux de données *****
*-----*
***** CAS TEST DU 91/06/13 PROVENANCE : TEST

* SI GRAPH = N PAS DE GRAPHIQUE AFFICHE
* SINON SI GRAPH DIFFERENT DE N TOUS
* LES GRAPHIQUES SONT AFFICHES

GRAPH = 'N' ;

SAUT PAGE;
SI (NEG GRAPH 'N') ;
OPTI ECHO 1 ;
OPTI TRAC PSC ;
SINO ;
OPTI ECHO 0 ;
FINSI ;

SAUT PAGE;
*
* TEST ELAS6
*
* COQUE AXISYMETRIQUE
*
* cas-test NAFEMS : test numero LE8
*
* La structure est constituée d'un cylindre surmonté d'une
* partie de tore et d'une partie de sphère. Elle est soumise à
* un pression interne de 1MPa.
*
* Le problème présentant une symétrie axiale (géométrie et
* chargement), on se place en mode axisymétrique.
*
* On se propose de calculer la contrainte tangentielle au
* point D sur la surface extérieure. La valeur trouvée est
* ensuite comparée à une valeur théorique trouvée analytiquement.
*



OPTI DIME 2;
OPTI MODE AXIS;
OPTI ELEM SEG2;

***** geometrie : maillage *****
* Dimension en metres
* Points
*
RO2 = 0.; ZO2 = 0.75; PO2 = RO2 ZO2;
RO1 = 0.25 - 0.0625; ZO1 = 0.5; PO1 = RO1 ZO1;
*
RA = 0.25; ZA = 0.; PA = RA ZA;
RB = 0.25; ZB = 0.5; PB = RB ZB;
RC = 0.25 - 0.0625; ZC = 0.5 + 0.0625; PC = RC ZC;
RD = 0.25 - (0.0625 * (1 + (SIN 36))); ZD = 0.5 + (0.0625 * (COS 36));
PD = RD ZD;
RE = 0.; ZE = 0.5; PE = RE ZE;

* Droites, cercles et lignes

* coefficient de finesse du maillage
K = 1;

SI (K EGA 1);
  TITR 'LE8 : MAILLAGE GROSSIER';
SINO;
  TITR 'LE8 : MAILLAGE FIN';
FINSI;

N1 = 6 * K;
AB = PA DROI N1 PB;
*
N2 = 5 * K;
BC = PB CERC N2 PO1 PC;
*
CD = PC CERC N1 PO1 PD;
*
N3 = 8 * K;
DE = PD CERC N3 PO2 PE;
*
* Maillage
*
SUR1 = AB ET BC ET CD ET DE;

SI (NEG GRAPH 'N');
  TITR 'TEST ELAS6 : MAILLAGE';
  TRAC QUAL SUR1;

```

```

FINSI;
*
ELSUR1 = NBEL SUR1;
NOSUR1 = NENO SUR1;
*=====
*      modele - affecte - materiau - caracteristique
*          rigidite - conditions aux limites
*=====

MODL1 = MODE SUR1 MECANIQUE ELASTIQUE ISOTROPE COQ2;
MATRI = MATE MODL1 YOUN 210E9 NU 0.3 EPAI 0.01;
R11 = RIGI MODL1 MATRI;

* Conditions aux limites
* - point pe : pas de déplacement radial et pas de rotation,
* - point pa : pas de déplacement vertical.

CL1 = BLOQ ROTA PE;
CL2 = BLOQ UR PE;
CL3 = BLOQ UZ PA;
*
CLI1 = CL1 ET CL2 ET CL3;
RIG1 = R11 ET CLI1;
*=====
*      Chargement
*=====
* Pression interne uniforme de 1e6Pa.
*
MOP = 'MODE' SUR1 'CHARGEMENT' 'PRESSION' 'COQ2';
MAP = 'MATE' MOP 'PRES' -1.E6;
CHAL = 'PRES' MOP MAP;

*=====
*      resolution : champs de déplacements
*=====
DEP1 = RESO RIG1 CHAL;
*
* Trace facultatif de la déformée et des réactions
*
SI (NEG GRAPH 'N');
AMPVEC = .4E-6;
REA1 = REAC DEP1 RIG1;
VECT1 = VECT CHAL (AMPVEC * 5) FR FZ ROUGE ;
VECT2 = VECT REA1 (AMPVEC * 5) FR FZ BLEU ;
DEFO = DEFO 0. DEP1 SUR1;
DEF1 = DEFO 20. DEP1 SUR1 (VECT1 ET VECT2) VERT;
TITR 'ELAS6 : DEFORMEE, CHARGEMENT, REACTIONS';
TRAC SUR1 (DEFO ET DEF1);
FINSI;

*=====
*      extraction d'une contrainte
*      et comparaison avec solution analytique
*=====
* On cherche la contrainte tangentielle siégée au noeud pd et
* sur la surface extérieure.
*
* Calcul du champs de contraintes généralisées.
*
CHAM1 = SIGM MODL1 MATRI DEP1;
*
* Calcul du champs de contraintes au sens des milieux continus :
* Utilisation l'opérateur CALP.
*
CHAM2 = CALP CHAM1 MATRI MODL1 INFE;
*
* Interpolation aux noeuds du maillage
*
CHAM3 = CHAN NOEUD MODL1 CHAM2;
CHPO3 = CHAN CHPO MODL1 CHAM3;
*
* Extraction de la contrainte
*
SMITID = EXTR CHPO3 SMYY PD;
SMITID = SMITID / 1.E6;
*
SMITD1 = 94.55;
*
* Calcul de l'écart avec la solution de référence.
*
ERGTTD = 100 * (ABS ((SMITID - SMITD1) / SMITD1));
*
*      affichage des résultats
*=====
MESS ' Resultats du test ELAS6_2 ';
MESS ' ----- ';
SAUT 2 LIGN;
*
MESS ' La valeur cherchée est la contrainte tangentielle au point D,';
MESS
  ' elle est comparée à une valeur théorique obtenue analytiquement.';
saut 1 lign;

```

## GUIDE DE VALIDATION

```
MESS ' Contrainte tangentielle theorique en D :' SMITTD1 'MPa';
saut 1 lign;
MESS ' Contrainte tangentielle calculee en D :' SMITTD 'MPa';
SAUT 1 LIGN;
MESS '           Soit un ecart de :' ERGTTD '%';
SAUT 2 LIGN;
*
SI (K EGA 1);
MESS ' Maillage grossier';
SINON;
MESS ' Maillage fin';
FINSI;
*
MESS '   Nombre d elements :' ELSUR1;
MESS '   Nombre de noeuds :' NOSUR1;
MESS '   soit ' (NOSUR1 * 3) 'd.d.l.';

*=====
*          code fonctionnement
*=====
*   L'ecart maximum entre valeur theorique et calculee doit etre
* inferieure a 1,5%.
*
SAUT 2 LIGNE;
SI (ERGTTD <EG 1.5);
    ERRE 0;
SINON;
    ERRE 5;
FINSI;

*=====
*          Temps de calcul et fin
*=====
SAUT 2 LIGN;
TEMPS;
SAUT 2 LIGN;

FIN;
```

### 5.2.7 elas7.dgibi

|                              |   |
|------------------------------|---|
| <b>Nom du fichier</b>        | elas7.dgibi   |
| <b>Type de calcul</b>        | Mécanique<br>Elastique<br>2D-axisymétrique  |
| <b>Type d'Éléments Finis</b> | COQ2  |
| <b>Référence</b>             | Test Nafems<br>LE9  |
| <b>Description</b>           | CITERNE A COUVERCLE SPHERIQUE<br><br>La structure est constituée d'un cylindre et par une sphère reposant sur un autre cylindre.<br><br>Elle est soumise à une pression interne de 1MPa.<br><br>Le problème présentant une symétrie axiale (géométrie et chargement) sera résolu en 2D-axisymétrique. |
| <b>Objectif</b>              | Contrainte axiale $SM_{ZZ}$ au point C (0,7 1)<br><br>$SM_{ZZ}(C) = -319,9 \text{ MPa}$ (Précision relative de 2,5%)  |
| <b>Version de Cast3M</b>     | Du jour   |
| <b>Plateformes testées</b>   | IBM AiX<br>Linux 32-bits<br>Linux 64-bits<br>Windows 32-bits<br>Windows 64-bits<br>MAC OSX 64-bits  |

Tableau 18 : Informations sur le cas test elas7.dgibi

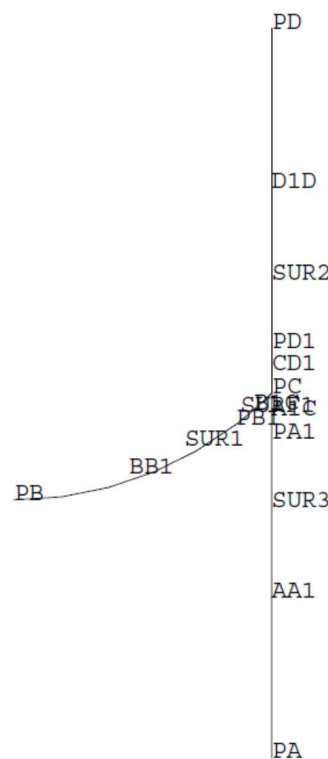


Figure 17 : Maillage de la citerne à couvercle sphérique inversé en 2D-axisymétrique

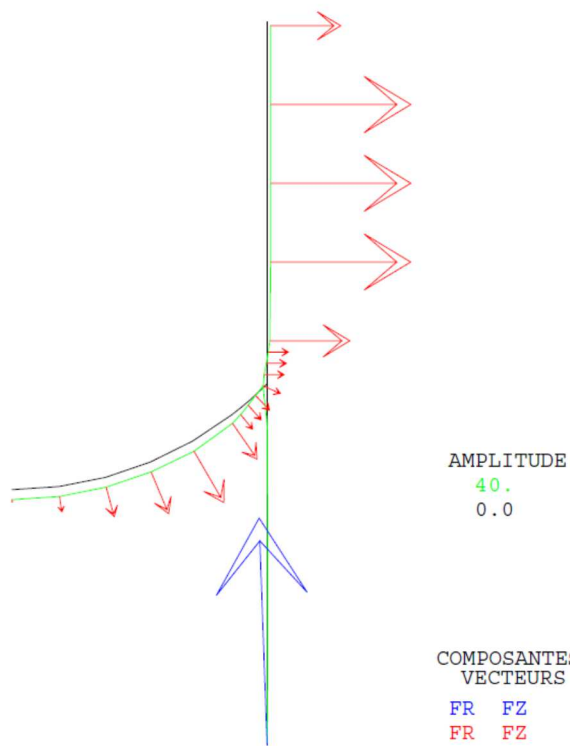


Figure 18 : Tracé du maillage initial (noir) et du maillage déformé (vert, x40) associé aux efforts dus au chargement (flèches rouges) et aux forces de réaction (flèche bleue)

**Jeu de données :**

```

* fichier : elas7.dgibi
*****
* Section : Mecanique Elastique
*****



***** Test elas7.dgibi: Jeux de données *****
* ----- *
* CAS TEST DU 91/06/13 PROVENANCE : TEST

* SI GRAPH = N PAS DE GRAPHIQUE AFFICHE
* SINON SI GRAPH DIFFERENT DE N TOUS
* LES GRAPHIQUES SONT AFFICHES

GRAPH = 'N' ;

SAUT PAGE;
SI (NEG GRAPH 'N') ;
OPTI ECHO 1 ;
OPTI TRAC PSC ;
SINO ;
OPTI ECHO 0 ;
FINSI ;

SAUT PAGE
*
* TEST ELAS7
*
* COQUE AVEC BRANCHEMENT
*
* TEST ELEMENTAIRE NAFEMS : ANALYSE LINEAIRE
* ELASTIQUE
* numero LE9 AXISYMETRIQUE
*
* L'enceinte est constituee par un cylindre et
* par une sphere (demie), reposant sur un cylindre.
* L'enceinte est soumise a une pression interne
* uniforme de 1e6Pa.
* On cherche la contrainte axiale sur la surface
* exterieure du cylindre superieure au point C. La
* contrainte obtenue est comparee au resultat
* theorique.
*
*
OPTI DIME 2;
OPTI MODE AXIS;
OPTI ELEM SEG2;
*
=====
* geometrie : maillage
=====
* Dimension en metres
*
* Points
*
COS75 = COS 7.5; COS375 = COS 37.5; COS45 = COS 45;
SIN75 = SIN 7.5; SIN375 = SIN 37.5; SIN45 = SIN 45;
R = 2 ** -.5;
*
RA = R; ZA = 0.; PA = RA ZA;
RB = 0; ZB = COS45; PB = RB ZB;
RC = R; ZC = 1.; PC = RC ZC;
RD = R; ZD = 2.; PD = RD ZD;
RO = 0; ZO = 1 + COS45; PO = RO ZO;
PA1 = PC PLUS (0 -0.125);
PD1 = PC PLUS (0 0.125);
PB1 = PB PLUS (SIN375 (1 - COS375));
*
* Droites, cercles et lignes
*
* coefficient de finesse du maillage
*
K = 1;
*
SI (K EGA 1);
  TITR 'LE9 : MAILLAGE GROSSIER';
SINO;
  TITR 'LE9 : MAILLAGE FIN';
FINSI;
*
N1 = 4 * K;
AA1 = PA DROI NI PA1;
A1C = PA1 DROI NI PC;
CD1 = PC DROI NI PD1;
D1D = PD1 DROI NI PD;
B1C = PB1 CERC NI PO PC;
*
N2 = 5 * K;
BB1 = PB CERC N2 PO PB1;
*
* Maillage

```

```

SUR1 = BB1 ET B1C;
SUR2 = CD1 ET D1D;
SUR3 = AA1 ET A1C;
SURF1 = SUR1 ET SUR2 ET SUR3;
*
SI (NEG GRAPH 'N');
  TITR 'ELAS7 : MAILLAGE';
  TRAC QUAL SURF1;
FINSI;
*
ELSURF1 = NBEL SURF1;
NOSURF1 = NBNO SURF1;
*
=====
* modele - affecte - materiau - caracteristique
* rigidite - conditions aux limites
=====
*
MODL1 = MODE SUR1 MECANIQUE ELASTIQUE ISOTROPE COQ2;
MODL2 = MODE SUR2 MECANIQUE ELASTIQUE ISOTROPE COQ2;
MODL3 = MODE SUR3 MECANIQUE ELASTIQUE ISOTROPE COQ2;
*
MATR1 = MATE MODL1 YOUN 210E9 NU 0.3 EPAI 0.01;
MATR2 = MATE MODL2 YOUN 210E9 NU 0.3 EPAI 0.01;
MATR3 = MATE MODL3 YOUN 210E9 NU 0.3 EPAI 0.01;
*
RI1 = RIGI MODL1 MATR1;
RI2 = RIGI MODL2 MATR2;
RI3 = RIGI MODL3 MATR3;
*
* Conditions aux limites
* - point pa : encastrement complet.
*
CL1 = BLOQ ROTA DEPL PA;
*
RIG1 = RI1 ET RI2 ET RI3 ET CL1;
*
=====
* Chargement
=====
*
* Pression interne uniforme de 1e6Pa.
*
MOP1 = 'MODE' SUR1 'CHARGEMENT' 'PRESSION' 'COQ2' ;
MAP1 = 'MATE' MOP1 'PRES' -1.E6 ;
CH1 = 'PRES' MOP1 MAP1 ;
MOP2 = 'MODE' SUR2 'CHARGEMENT' 'PRESSION' 'COQ2' ;
MAP2 = 'MATE' MOP2 'PRES' -1.E6 ;
CH2 = 'PRES' MOP2 MAP2 ;
CHA1 = CH1 ET CH2;
*
=====
* resolution : champs de deplacements
=====
*
DEP1 = RESO RIG1 CHA1;
*
* Trace facultatif de la deforme et des reactions
*
SI (NEG GRAPH 'N');
  AMPVEC = .4E-6;
  REA1 = REAC DEP1 RIG1;
  VECT1 = VECT CHA1 (AMPVEC * 1) FR FZ ROUGE;
  VECT2 = VECT REA1 (AMPVEC * 1) FR FZ BLEU ;
  DEFO = DEFO 0. DEP1 SURF1;
  DEF1 = DEFO 40. DEP1 SURF1 (VECT1 ET VECT2) VERT;
  TITR 'ELAS7 : DEFORMEE, CHARGEMENT, REACTIONS';
  TRAC SURF1 (DEF0 ET DEF1);
FINSI;
*
=====
* extraction d'une contrainte
* et comparaison avec solution analytique
=====
*
* On cherche la contrainte axiale sur la surface
* exterieure du cylindre superieure au point C.
*
* Calcul du champs de contraintes generalisees
* uniquement sur le cylindre superieur (sur2).
*
* Reduction du chpoint des deplacements au cylindre
* superieur.
*
DEP2 = REDU DEP1 SUR2;
CHAM1 = SIGM MODL2 MATR2 DEP2;
*
* Calcul du champs de contraintes au sens des milieux
* continus. Pour cela on utilise l'operateur CALP .
*
CHAM2 = CALP CHAM1 MATR2 MODL2 INFE;
*
* Calcul des contraintes aux noeuds du maillage
*
CHAM3 = CHAN NOBUD MODL2 CHAM2;

```

## GUIDE DE VALIDATION

```

CHPO3 = CHAN CHPO MODL2 CHAM3;
*
* Extraction de la contrainte recherchee
*
SMZZC = EXTR CHPO3 SMXX PC;
SMZZC = SMZZC / 1.E6;
*
SMZZC1 = -319.9;
*
* Calcul de l'ecart avec la solution de reference
*
ERGZZC = 100 * (ABS ((SMZZC - SMZZC1) / SMZZC1));
*
*=====
*      affichage des resultats
*=====
*
MESS ' RESULTATS : TEST ELAS7 ';
MESS ' ----- ';
SAUT 2 LIGN;
*
MESS ' On cherche la contrainte axiale sur la surface
exteriere';
MESS ' du cylindre superieure au point C.';
MESS
' Elle est comparee a une valeur theorique obtenue
analytiquement.';
SAUT 1 LIGN;
MESS ' Contrainte axiale theorique en C:' SMZZC1 'MPa';
SAUT 1 LIGN;
MESS ' Contrainte axiale calculee en C :' SMZZC 'MPa';
SAUT 1 LIGN;
MESS
' Soit un ecart de : ' ERGZZC '%';
SAUT 2 LIGN;
*
SI (K EGA 1);
MESS ' MAILLAGE GROSSIER';
SINON;
MESS ' MAILLAGE FIN';
FINSI;
*
MESS ' Nombre d elements :: ELSURF1;
MESS ' Nombre de noeuds :: NOSURF1;
MESS
' soit ' (NOSURF1 * 3) 'd.d.l.';
*
*=====
*      code fonctionnement
*=====
*
* L'ecart maximum entre valeur theorique et calculee
* doit etre inferieure a 2.5%.
*
SAUT 2 LIGN;
SI (ERGZC <EG 2.5);
    ERRE 0;
SINON;
    ERRE 5;
FINSI;
*
*=====
*      Temps de calcul et fin
*=====
*
SAUT 1 LIGN;
TEMPS;
SAUT 1 LIGN;
*
FIN;

```

### 5.2.8 elas8.dgibi

|                              |  |
|------------------------------|--|
| <b>Nom du fichier</b>        | elas8.dgibi  |
| <b>Type de calcul</b>        | Mécanique<br>Elastique<br>2D<br>Contraintes Planes   |
| <b>Type d'Éléments Finis</b> | QUA8   |
| <b>Référence</b>             | Test Nafems<br>LE1<br>MEMBRANE ELIPTIQUE   |
| <b>Description</b>           | Une membrane elliptique, obtenue par projection d'arcs de cercles sur un plan est soumise à une force linéaire sur l'un de ses cotés.<br>Etant donné la symétrie du problème, l'analyse est effectuée en contraintes planes. |
| <b>Objectif</b>              | Contrainte axiale $SM_{YY}$ au point $PD\left(\frac{1}{\sqrt{2}} 1\right)$<br>$SM_{YY}(D) = 92,7 \text{ MPa}$ (Précision relative de 1%)   |
| <b>Version de Cast3M</b>     | Du jour  |
| <b>Plateformes testées</b>   | IBM AiX<br>Linux 32-bits<br>Linux 64-bits<br>Windows 32-bits<br>Windows 64-bits<br>MAC OSX 64-bits   |

Tableau 19 : Informations sur le cas test elas8.dgibi

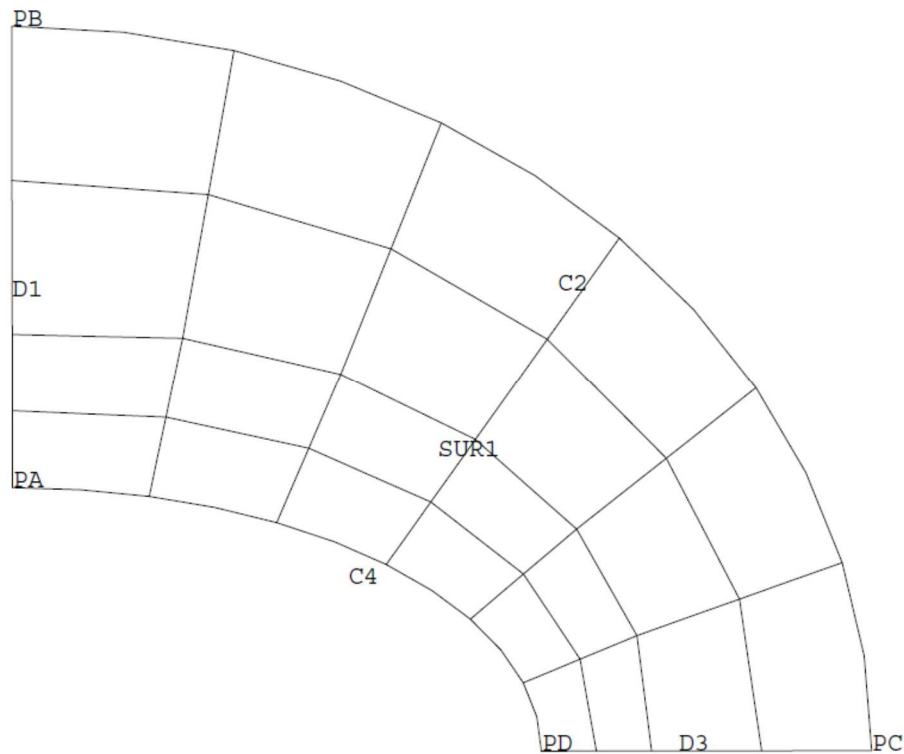


Figure 19 : Maillage du cas-test elas8.dgibi en 2D

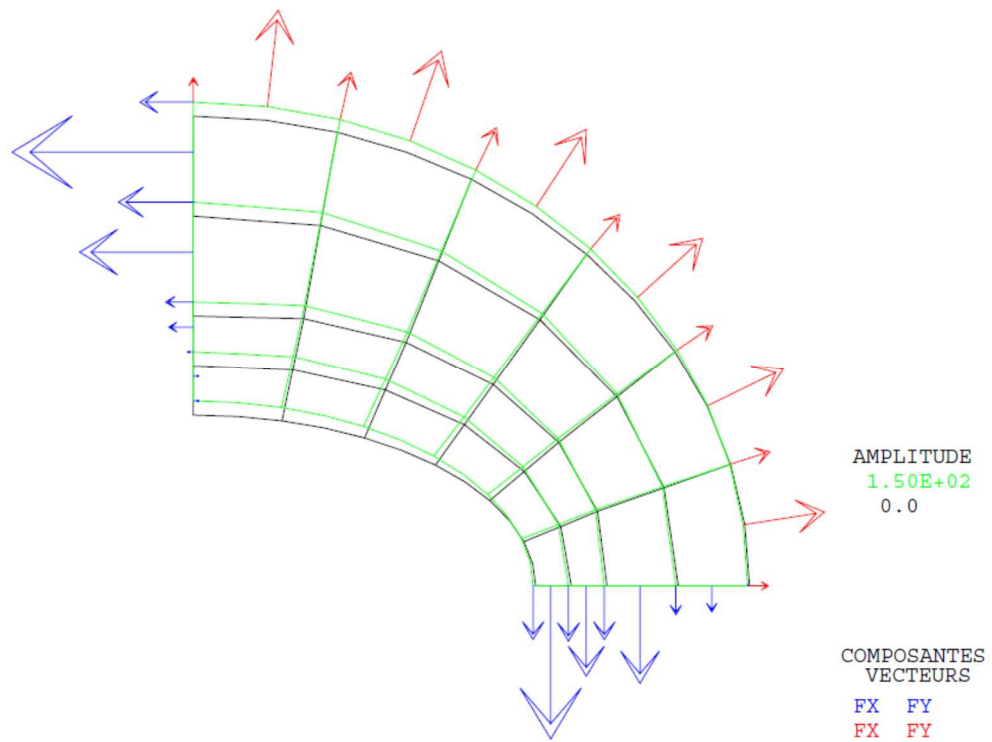


Figure 20 : Tracé du maillage initial (noir) et du maillage déformé (vert, x150) associé aux efforts dus au chargement (flèches rouges) et aux forces de réaction (flèche bleue)

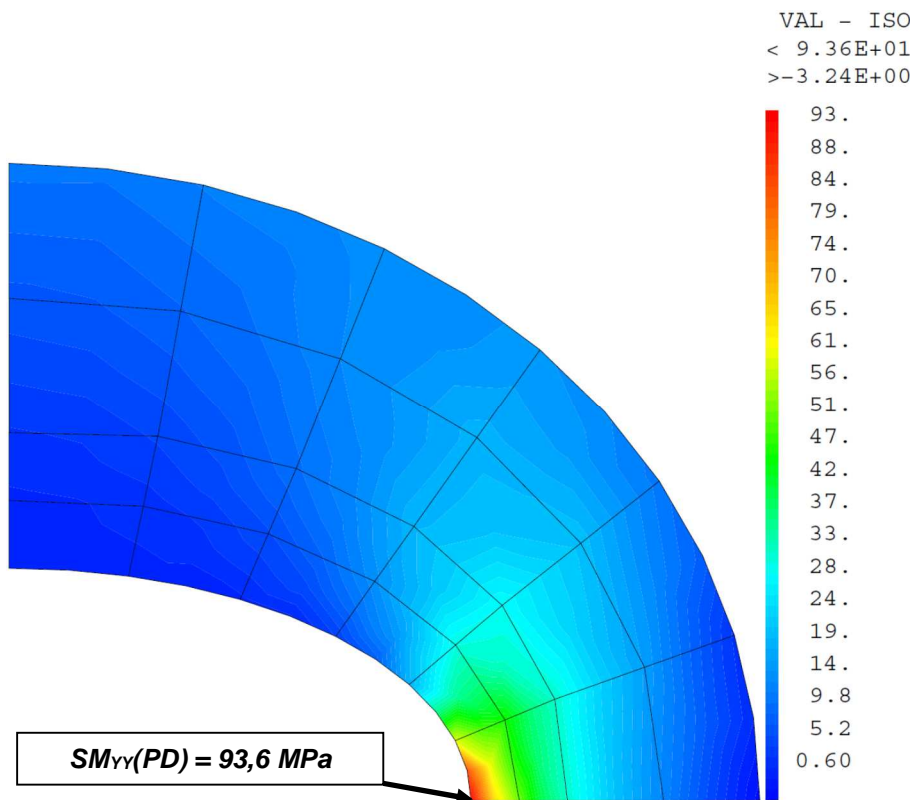


Figure 21 : Champ de contrainte  $SM_{YY}$  projeté aux nœuds

# GUIDE DE VALIDATION

## Jeu de données :

```

* fichier : elas8.dgibi
*****
* Section : Mecanique Elastique
*****
***** Test elas8.dgibi: Jeux de donnees *****
* -----
* CAS TEST DU 91/06/13 PROVENANCE : TEST
***** SI GRAPH = N PAS DE GRAPHIQUE AFFICHE
***** SINON SI GRAPH DIFFERENT DE N TOUS
***** LES GRAPHIQUES SONT AFFICHES
GRAPH = 'N' ;

SAUT PAGE;
SI (NEG GRAPH 'N') ;
    OPTI ECHO 1 ;
    OPTI TRAC PSC ;
SINO ;
    OPTI ECHO 0 ;
FINSI ;

SAUT PAGE;
* -----
* TEST ELAS8
* -----
* MEMBRANE ELLIPTIQUE (Contraintes planes)
* -----
* cas-test NAFEMS : test numero LE1
* -----
* -----
* Une membrane elliptique obtenue par projection
* d'arcs de cercles sur un plan, est soumis a une
* force lineaire sur l'un de ces cotes.
* -----
* Vue les symetries le probleme est traite en
* contraintes planes.
* -----
* On se propose de calculer la contrainte smyy
* au point D.
* -----
OPTI DIME 3;
OPTI ELEM QUA8;
* -----
* geometrie : maillage
* -----
* Dimension en metres
* -----
* Points
* -----
PB = 0. 2.75 0.;
PB1 = 0. 2.75 (((3.25 ** 2) - (2.75 ** 2)) ** 0.5);
PC = 3.25 0. 0. ;
* -----
C1 = PC CERC 6 (0. 0. 0.) PB1;
C2 = C1 PROJ CYLI (0. 0. 1) PLAN (0 0 0) (1 0 0)
(0 1 0);
* -----
PA = 0. 1. 0. ;
PA1 = 0. 1. (((2. ** 2) - (1. ** 2)) ** 0.5);
PD = 2. 0. 0. ;
* -----
C3 = PD CERC 6 (0. 0. 0.) PA1;
C4 = C3 PROJ CYLI (0. 0. 1) PLAN (0 0 0) (1 0 0)
(0 1 0);
* -----
D1 = PA DROI 2 (0. 1.583 0.) DROI 2 PB;
D3 = PC DROI 2 (2.417 0. 0.) DROI 2 PD;
* -----
ELIM (D1 ET C2 ET D3 ET C4) 0.0001;
SUR1 = DALL D1 C2 D3 C4 PLAN;
* -----
SI (NEG GRAPH 'N');
    TITR 'ELAS8 : MAILLAGE';
    TRAC (0 0 1000) QUA SUR1;
FINSI;
* -----
OPTI DIME 2;
OPTI MODE PLAN CONT;
* -----
* modele - affecte - materiau - caracteristique
* -----
* rigidite - conditions aux limites
* -----
MODL1 = MODE SUR1 MECANIQUE ELASTIQUE QUA8;
MATR1 = MATE MODL1 YOUN 210E9 NU 0.3;
RI1 = RIGI MODL1 MATR1;
* -----
* Conditions aux limites
* - droite d1: symetrie par rapport a l'axe des ordo.
* - droite d2: symetrie par rapport a l'axe des absc.
* -----
CL1 = SYMT DEPL ROTA (0 0) (0 1) SUR1 0.0001;
CL2 = SYMT DEPL ROTA (0 0) (1 0) SUR1 0.0001;
* -----
RIG1 = RI1 ET CL1 ET CL2;
* -----
* =====*
* Chargement
* =====*
* -----
* Pression externe uniforme de 10e6Pa.
* -----
CHA1 = PRES MASS MODL1 -10.E6 C2;
* -----
* =====*
* resolution : champs de deplacements
* =====*
* -----
DEP1 = RESO RIG1 CHA1;
* -----
* Trace facultatif de la deforme et des reactions
* -----
SI (NEG GRAPH 'N');
    AMPVEC = 1.E-7;
    REAI = REAC DEP1 RIG1;
    VECT1 = VECT CHA1 AMPVEC FX FY ROUGE;
    VECT2 = VECT REAI AMPVEC FX FY BLEU;
    DEFO = DEFO 0. DEP1 SUR1;
    DEF1 = DEFO 150. DEP1 SUR1 (VECT1 ET VECT2) VERT;
    TITR 'ELAS8 : DEFORMEE, CHARGEMENT, REACTIONS';
    TRAC SUR1 (DEFO ET DEF1);
FINSI;
* -----
* =====*
* champs de contraintes
* =====*
* -----
CHAM1 = SIGM MODL1 MATR1 DEP1;
* -----
* Interpolation aux noeuds du maillage
* -----
CHAM2 = CHAN NOEUD CHAM1 MODL1;
CHP2 = CHAN CHPO CHAM2 MODL1;
* -----
* Trace facultatif des contraintes aux noeuds.
* -----
SI (NEG GRAPH 'N');
    TITR 'ELAS8 : Contraintes Nodales';
    TRAC CACH SUR1 ((EXCO CHP2 SMYY)*1e-6);
FINSI;
* -----
* =====*
* extraction et affichage d'une contrainte
* =====*
* -----
* On cherche la contrainte smyy a point D.
* -----
SMYYD = EXTR CHP2 SMYY PD;SMYYD = SMYYD / 1.E6;
* -----
SMYYD1 = 92.7;
ERG = 100 * (ABS ((SMYYD - SMYYD1) / SMYYD1));
* -----
MESS ' RESULTATS ';
MESS ' ----- ';
SAUT 1 LIGN;
MESS ' CONTRAINTE SMYY THEORIQUE AU POINT D :' SMYYD1
'MPA';
MESS ' CONTRAINTE SMYY CALCULEE AU POINT D :' SMYYD
'MPA';
MESS ' SOIT UN ECART DE :' ERG '%';
SAUT 1 LIGN;
* -----
NENOSUR1 = NBNO SUR1;
NBELSUR1 = NBEL SUR1;
MESS ' NOMBRE D ELEMENTS :' NBELSUR1 'QUA8';
MESS ' NOMBRE DE NOEUDS :' NENOSUR1 ;
SAUT 1 LIGN;
* -----
* =====*
* code fonctionnement
* =====*
* -----
SI (ERG <EG 1.);
    ERRE 0;
SINON;
    ERRE 5;
FINSI;
* -----
SAUT 1 LIGN;
TEMPS;
SAUT 1 LIGN;

```

\*  
FIN;

## 5.2.9 elas9.dgibi

|                              |   |
|------------------------------|---|
| <b>Nom du fichier</b>        | elas9.dgibi   |
| <b>Type de calcul</b>        | Mécanique<br>Elastique<br>3D  |
| <b>Type d'Éléments Finis</b> | CU20  |
| <b>Référence</b>             | Test Nafems<br>LE10   |
| <b>Description</b>           | <p>PLAQUE EPAISSE</p> <p>La structure est une plaque épaisse.</p> <p>Elle est chargée par une pression normale uniforme de 1MPa. sur sa face supérieure et encastrée sur sa face extérieure</p> <p>Seul <math>\frac{1}{4}</math> de la structure est modélisé compte tenu des symétries du problème</p> |
| <b>Objectif</b>              | <p>Contrainte axiale <math>SM_{YY}</math> au point PD (2 0 0)</p> <p><math>SM_{YY}(D) = -5,38 \text{ MPa}</math> (Précision relative de 3%)</p>   |
| <b>Version de Cast3M</b>     | Du jour   |
| <b>Plateformes testées</b>   | IBM AiX<br>Linux 32-bits<br>Linux 64-bits<br>Windows 32-bits<br>Windows 64-bits<br>MAC OSX 64-bits  |

Tableau 20 : Informations sur le cas test elas9.dgibi

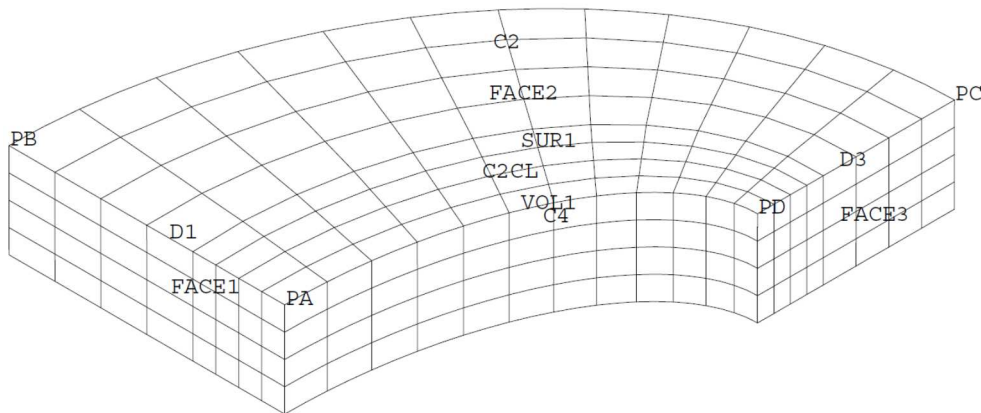


Figure 22 : Maillage du cas-test elas9.dgibi en 3D

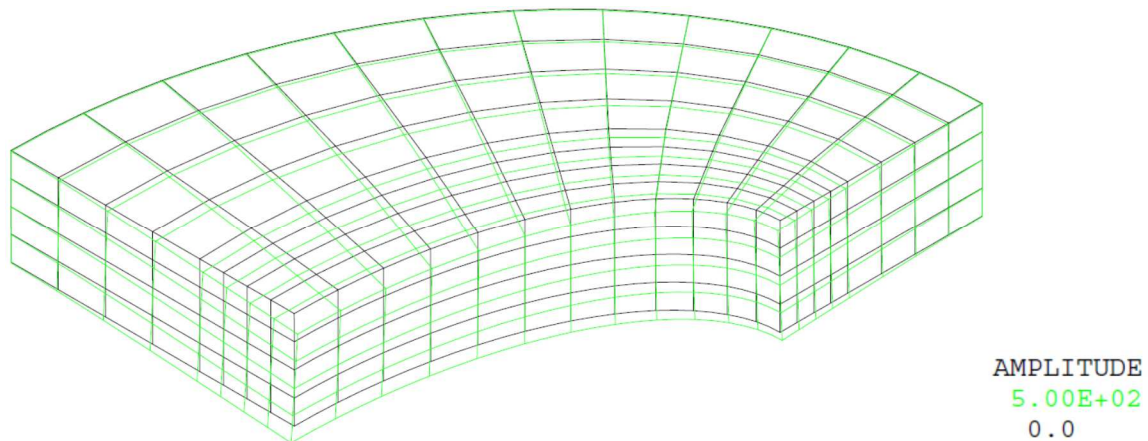


Figure 23 : Tracé du maillage initial (noir) et du maillage déformé (vert, x500)

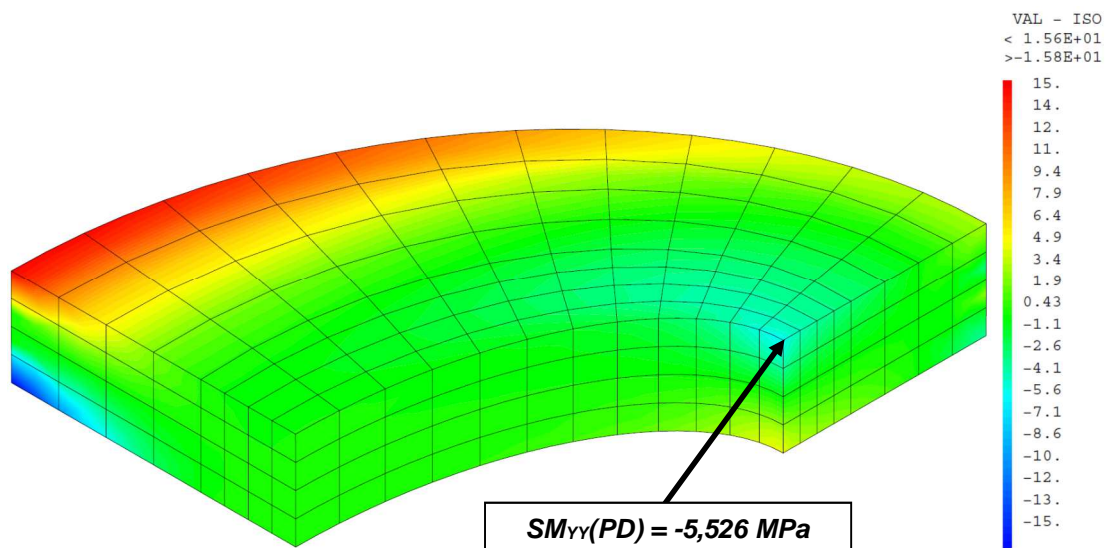


Figure 24 : Champ de contraintes SM<sub>YY</sub> projeté aux nœuds

# GUIDE DE VALIDATION

## Jeu de données :

```

* fichier : elas9.dgibi
*****
* Section : Mecanique Elastique
*****
***** Test elas9.dgibi: Jeux de données *****
* ----- *
***** CAS TEST DU 91/06/13 PROVENANCE : TEST
*****
* POUR CALCUL COMPLET METTRE COMPLET = VRAI;
complet = VRAI;

* SI GRAPH = N PAS DE GRAPHIQUE AFFICHE
* SINON SI GRAPH DIFFERENT DE N TOUS
* LES GRAPHIQUES SONT AFFICHES

GRAPH = 'N' ;

SAUT PAGE;
SI (NEG GRAPH 'N') ;
    OPTI ECHO 1 ;
    OPTI TRAC PSC ;
SINO ;
    OPTI ECHO 0 ;
FINSI ;

SAUT PAGE;
*
* TEST ELAS9
*
* MEMBRANE EPAISSE ELLIPTIQUE CHARGEÉE EN PRESSION
*
* Test NAFEMS numero le10
* Nom : THICK PLATE PRESSURE
*
* La plaque épaisse est maillée à l'aide d'éléments CU20.
* Elle est chargée normalement par une pression de 1 MPa.
* On s'intéresse à la contrainte smyy au point D
*
* La valeur calculée de la contrainte est ensuite comparée
* avec une valeur théorique obtenue avec un maillage plus fin.
*
*
OPTI DIME 3;
OPTI ELEM CU20;
*
***** geometrie : maillage *****
*
* Dimensions en mètres.
*
* Pour obtenir des arcs d'ellipse on projette des arcs de cercle
* sur le plan xOy.
*
* Coefficient de finesse du maillage.
*
si complet;
K = 2;
sinon;
k = 1;
finsi;
*
PB = 0. 2.75 0.;
PB1 = 0. 2.75 ((3.25 ** 2) - (2.75 ** 2)) ** 0.5;
PC = 3.25 0. 0.;
*
C1 = PC CERC (6 * K) (0. 0. 0.) PB1;
C2 = C1 PROJ CYLI (0. 0. 1) PLAN (0 0 0) (1 0 0) (0 1 0);
*
PA = 0. 1. 0.;
PA1 = 0. 1. ((2. ** 2) - (1. ** 2)) ** 0.5;
PD = 2. 0. 0.;
*
C3 = PD CERC (6 * K) (0. 0. 0.) PA1;
C4 = C3 PROJ CYLI (0. 0. 1) PLAN (0 0 0) (1 0 0) (0 1 0);
*
D1 = PA DROI (2 * K) (0. 1.583 0.) DROI (2 * K) PB;
D3 = PC DROI (2 * K) (2.417 0. 0.) DROI (2 * K) PD;
*
ELIM (D1 ET C2 ET D3 ET C4) 0.0001;
SUR1 = DALL D1 C2 D3 C4 PLAN;
*
VOLL1 = SUR1 VOLU (2 * K) TRAN (0. 0. -0.6);
*
* Surfaces et arc d'ellipse pour conditions aux limites
*
FACE1 = D1 TRAN (2 * K) (0. 0. -0.6);
FACE2 = C2 TRAN (2 * K) (0. 0. -0.6);
FACE3 = D3 TRAN (2 * K) (0. 0. -0.6);
C2CL = C2 PLUS (0. 0. -0.3);
*

```

```

ELIM (VOLL1 ET FACE1 ET FACE2 ET FACE3 ET C2CL) 0.0001;
*
SI (NEG GRAPH 'N');
    TITR 'ELAS9 : MAILLAGE';
    TRAC (-1000 -1000 1000) FACE QUAL (COUL VOL1 BLAN);
FINSI;
*
***** modele - materiau - caractéristique *****
* rigide - conditions aux limites
*****
*
MODL1 = MODE VOL1 MECANIQUE ELASTIQUE ISOTROPE CU20;
MATR1 = MATE MODL1 YOUN 2.1E11 NU 0.3;
*
MOP = 'MODE' SUR1 'CHARGEMENT' 'PRESSION' ;
MAP = 'MATE' MOP 'PRES' 1.E6 ;
MODLT = MODL1 ET MOP ;
*
RIG1 = RIGI MODLT (MATR1 ET MAP);
*
***** conditions aux limites *****
*
* - face dans le plan xOz : ux = 0.,
* - face dans le plan yOz : uy = 0.,
* - face elliptique extérieure : ux = uy = 0. et
*   uz = 0. le long de la surface moyenne.
*
CL1 = BLOQ UX FACE1;
CL2 = BLOQ UY FACE3;
CL3 = BLOQ UX FACE2;
CL4 = BLOQ UY FACE2;
CL5 = BLOQ UZ C2CL;
*
RIG1 = RIG1 ET CL1 ET CL2 ET CL3 ET CL4 ET CL5;
*
***** chargement mécanique *****
*
* La plaque est soumise à une pression uniforme normale de 1 MPa
* sur la face supérieure.
*
CHA1 = 'PRES' MOP MAP ;
*
***** calcul du champ de déplacement *****
*
DEP1 = RESO RIG1 CHA1;
*
* Trace facultatif de la déformée.
*
SI (NEG GRAPH 'N');
    DEF0 = DEFO 0. DEP1 VOL1;
    DEF1 = DEFO 5.E2 DEP1 VOL1 VERT;
    TITR 'ELAS9 : DEFORMEE';
    TRAC (-1000 -1000 1000) CACH VOL1 (DEF0 ET DEF1);
FINSI;
*
***** extraction d'une contrainte *****
* et comparaison avec solution analytique
*****
*
* On cherche la contrainte smyy au point D (2. 0. 0.).
*
* Calcul du champ de contraintes.
*
CHAM1 = SIGM MODL1 MATR1 DEP1;
*
* Interpolation aux noeuds du maillage.
*
CHAM2 = CHAN NOEUD MODL1 CHAM1;
CHPO2 = CHAN CHPO MODL1 CHAM2;
*
* Trace facultatif des contraintes aux noeuds.
*
SI (NEG GRAPH 'N');
    TITR 'ELAS9 : Contraintes Nodales';
    TRAC (-1000 -1000 1000) CACH VOL1 ((EXCO CHPO2 SMYY)*1e-6);
FINSI;
*
* Extraction de la contrainte smyy au point D.
*
SMYYD = EXIR CHPO2 SMYY PD;
SMYYD = SMYYD / 1.E6;
*
SMYYD1 = -5.38;
*
* Calcul de l'écart avec la solution de référence.
*
```

```
ERG = 100 * (ABS ((SMYYD1 - SMYYD) / SMYYD1));
*
*=====
*      affichage des resultats
*=====
*
MESS ' RESULTATS ';
MESS ' ----- ';
SAUT 1 LIGN;
*
MESS '   Contrainte theorique SMYYD :' SMYYD1 'MPa';
SAUT 1 LIGN;
MESS '   Contrainte calculee SMYYD :' SMYYD 'MPa';
SAUT 1 LIGN;
MESS '           Soit un ecart de :' ERG '%';
SAUT 1 LIGN;
*
*=====
*      code fonctionnement
*=====
*
si complet; ertes=3.; sinon; ertes=7. ; finsi;
SI (ERG <EG ertes);
    ERRE 0;
SINON;
    ERRE 5;
FINSI;
*
SAUT 1 LIGN;
    TEMPS;
SAUT 1 LIGN;
*
FIN;
```

## 5.2.10 elas10.dgibi

|                              |  |
|------------------------------|--|
| <b>Nom du fichier</b>        | elas10.dgibi   |
| <b>Type de calcul</b>        | Mécanique<br>Elastique<br>3D   |
| <b>Type d'Éléments Finis</b> | CU20   |
| <b>Référence</b>             | Test Nafems<br>LE11  |
| <b>Description</b>           | <p>SOLIDE SOUMIS A UN GRADIENT DE TEMPERATURE</p> <p>La structure est un solide composé de géométries cylindriques, coniques et sphérique soumis à un gradient de température</p> <p>Elle représente une enceinte épaisse, constituée d'une partie sphérique surmontée d'une partie conique, elle-même surmontée d'une partie cylindrique.</p> <p>Elle est soumise à un gradient linéaire de température s'exerçant radialement et axialement. Le champ de température s'exprime comme suit :</p> $T(x, y, z) = \sqrt{(x^2 + y^2)} + z$ <p>Ou, en coordonnées cylindriques :</p> $T(r, \theta, z) = r + z$ <p>Seul <math>\frac{1}{4}</math> de la structure est modélisé compte tenu des symétries du problème</p> |
| <b>Objectif</b>              | Contraction $SM_{zz}$ au point PA (1 0 0)<br>$SM_{zz}(PA) = -105 MPa$ (Précision relative de 2%)   |
| <b>Version de Cast3M</b>     | Du jour  |
| <b>Plateformes testées</b>   | IBM AiX<br>Linux 32-bits<br>Linux 64-bits<br>Windows 32-bits<br>Windows 64-bits<br>MAC OSX 64-bits   |

Tableau 21 : Informations sur le cas test elas10.dgibi

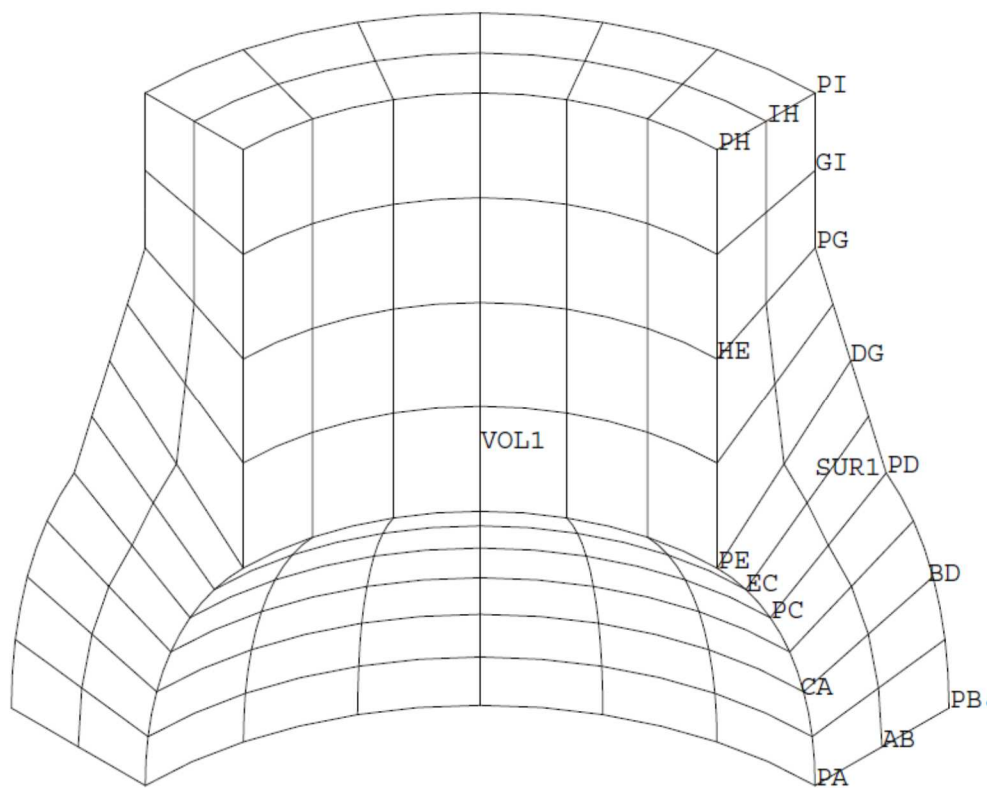


Figure 25 : Maillage du cas-test elas10.dgibi en 3D

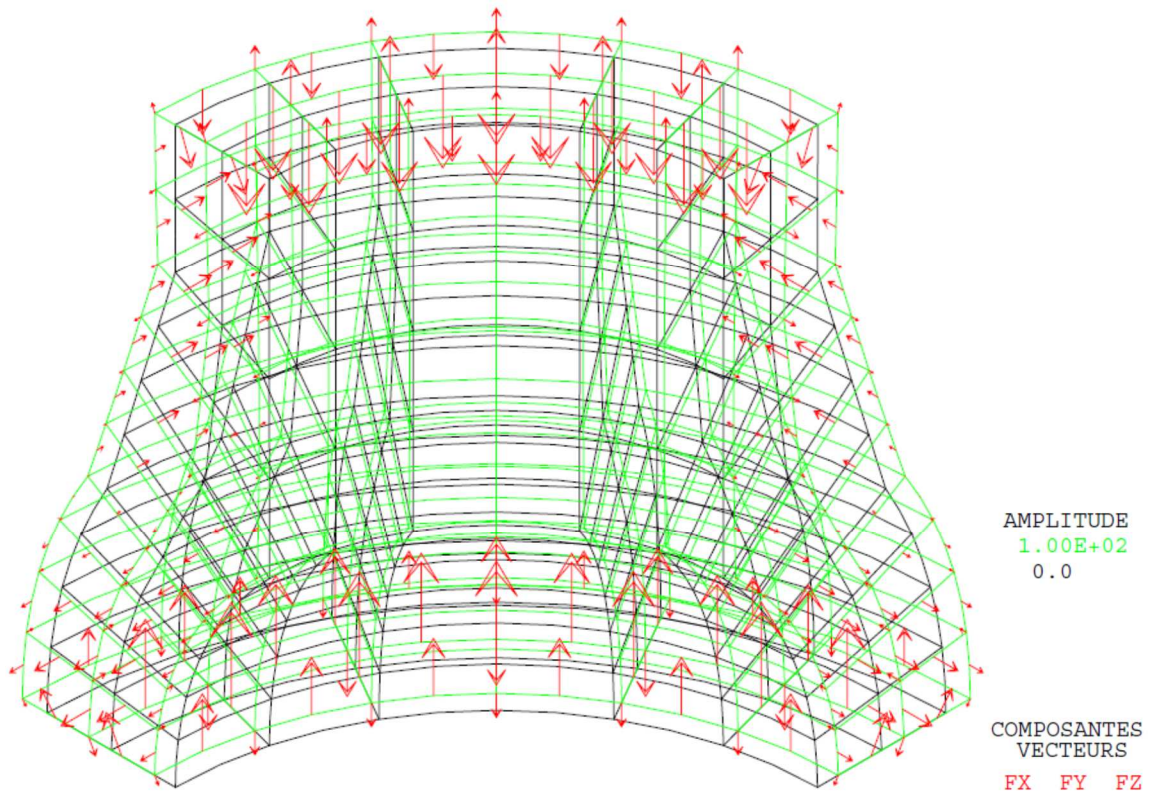


Figure 26 : Tracé du maillage initial (noir) et du maillage déformé (vert, x100) associé aux forces de réaction (flèches rouges)

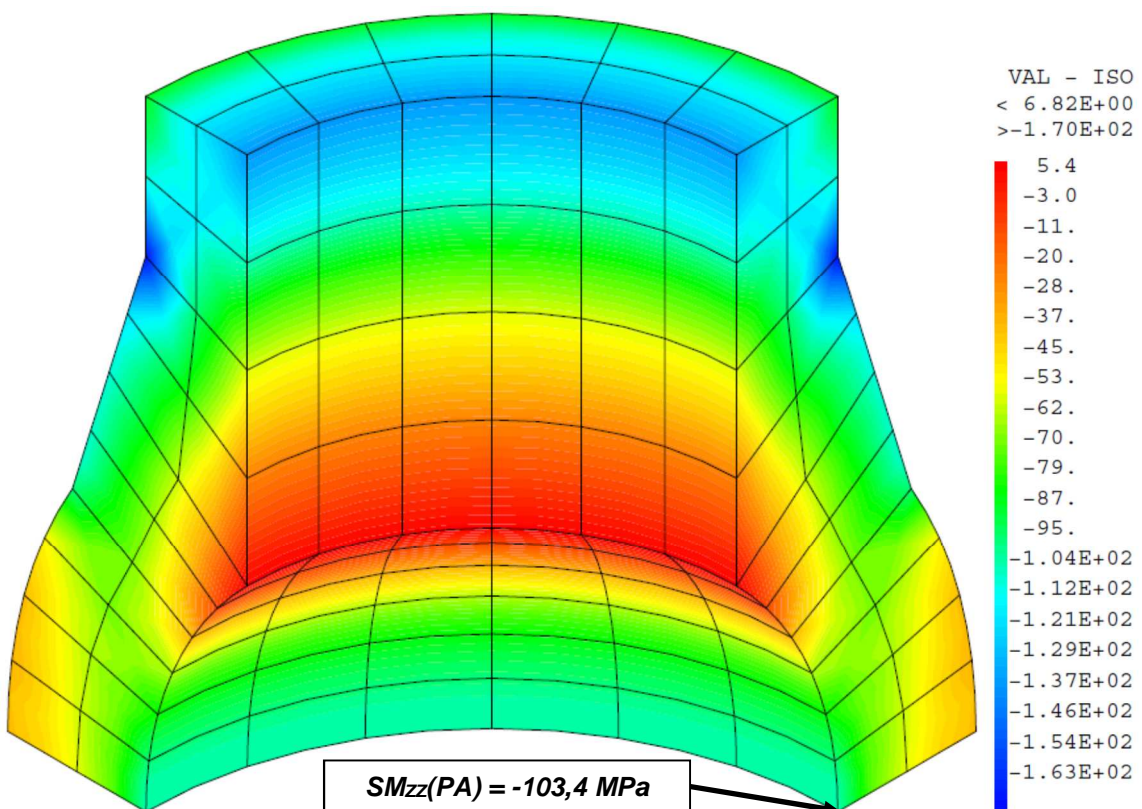


Figure 27 : Champ de contraintes SM<sub>zz</sub> projeté aux nœuds

**Jeu de données :**

```

* fichier : elas10.dgibi
*****
* Section : Mecanique Elastique
*****



***** Test elas10.dgibi: Jeux de données *****
* -----
* CAS TEST DU 91/06/13 PROVENANCE : TEST

* SI GRAPH = N PAS DE GRAPHIQUE AFFICHE
* SINON SI GRAPH DIFFERENT DE N TOUS
* LES GRAPHIQUES SONT AFFICHES

GRAPH = 'N' ;

SAUT PAGE;
SI (NEG GRAPH 'N') ;
OPTI ECHO 1 ;
OPTI TRAC PSC ;
SINO ;
OPTI ECHO 0 ;
FINSI ;

SAUT PAGE;
* TEST ELAS10
* *
* SOLIDE (CYLINDRE - CONE - SPHERE) SOUMIS A UN GRADIENT DE
* TEMPERATURE (Calcul massif 3D).
* *
* Test NAFEMS : numero LE11
* Nom : solid cylinder / taper / sphere temperature
* *
* La structure est une enceinte epaisse. Elle est constituee
* d'une partie spherique surmontee d'une partie conique, elle -
* meme surmontee d'une partie cylindrique.
* *
* Elle est soumis a un gradient lineaire de temperature
* s'exercent radialement et axialement. Le champs de temperature
* s'exprime comme suit :
* *
* T(x,y,z) = (x**2 + y**2)**.5 + z
* ou
* T(r,z) = r + z
* *
* L'ensemble est maille avec des elements massifs CU20. Le
* maillage est obtenue par rotation de 90 degres d'une coupe
* verticale.
* *
* On se propose de calculer la contrainte smyy au point A.
* cette valeur est ensuite comparee avec la valeur de reference
* obtenue a l'aide d'un calcul axisymetrique sur un maillage fin.
* *
* OPTI DIME 3;
OPTI ELEM CU20;
* *
* geometrie : maillage
* *
* Dimension en metres
* *
* Points
* *
PO = 0. 0. 0. ;
Pl = 0. 0. 1. ;
PA = 1. 0. 0. ;
PB = 1.4 0. 0. ;
PE = (1. * (COS 30)) 0. (1. * (SIN 30));
PD = (1.4 * (COS 30)) 0. 0.7;
PC = (COS 30) 0. (SIN 30);
PE = (COS 45) 0. (SIN 45);
PH = 0.7071 0. 1.79;
PI = 1. 0. 1.79;
PG = 1. 0. 1.39;
* *
* Droites, cercles et lignes
* *
* coefficient de finesse du maillage
* *
K = 2;
* *
SI (K EGA 1);
TITR ' : MAILLAGE GROSSIER';
SINON;
TITR ' LE11 : MAILLAGE FIN';
FINSI;
* *
N1 = 1 * K;
AB = PA DROI N1 PB;
GI = PG DROI N1 PI;
* *
EC = PE CERC N1 PO PC;
IH = PI DROI N1 PH;
*
N2 = 2 * K;
BD = PB CERC N2 PO PD;
DG = PD DROI N2 PG;
CA = PC CERC N2 PO PA;
HE = PH DROI N2 PE;
*
* maillage par elements massifs du volume
*
SUR1 = DALL AB (BD ET DG ET GI) IH (HE ET EC ET CA) PLAN;
*
N3 = 3 * K;
VOL1 = SUR1 VOLU N3 ROTA 90 PO P1;
*
SI (NEG GRAPH 'N');
SI (K EGA 1);
TITR 'ELAS10 : MAILLAGE GROSSIER';
SINON;
TITR 'ELAS10 : MAILLAGE FIN';
FINSI;
TRAC (-1000 -1000 1000) FACE QUAL (COUL VOL1 BLAN);
FINSI;
*
ELVOL1 = NBEL VOL1;
NOVOL1 = NBNO VOL1;
*
*=====
* modele - materiau
* caractristique - rigidite
*=====
*
MODL1 = MODE VOL1 MECANIQUE ELASTIQUE ISOTROPE CU20;
MATR1 = MATE MODL1 YOUN 210E9 NU 0.3 ALPH 2.3E-4;
R11 = RIGI MODL1 MATR1;
*
*=====
* Conditions aux limites
*=====
*
* - symtrie par rapport on plan xz,
* - symtrie par rapport au plan yz,
* - deplacement vertical nul pour les faces superieure et inferieure.
*
CL1 = BLOQ UY (FACE 1 VOL1);
CL2 = BLOQ UX (FACE 2 VOL1);
*
* Creation des surfaces inferieure et superieure.
*
SURINF = AB ROTA N3 90 PO P1;
SURSUP = IH ROTA N3 90 PO P1;
*
ELIM (VOL1 ET SURINF ET SURSUP) 0.0001;
*
CL3 = BLOQ UZ (SURINF ET SURSUP);
CL4 = BLOQ RY (SURINF ET SURSUP);
CL5 = BLOQ RX (SURINF ET SURSUP);
*
RIG1 = R11 ET CL1 ET CL2 ET CL3 ET CL4 ET CL5;
*
*=====
* Chargement thermique
*=====
*
* Le solide est soumis a un gradient de temperature lineaire,
* s'appliquant radialement et axialement.
* La temperature est la suivante :
*
* T(x,y,z) = (x**2 + y**2)**.5 + z
* *
* Creation du champs de temperature
* *
CHPX = COOR 1 VOL1;
CHPY = COOR 2 VOL1;
CHPZ = COOR 3 VOL1;
*
CHP1 = CHPX ** 2;
CHP2 = CHPY ** 2;
CHP3 = (CHP1 + CHP2)**.5;
*
CHP4 = CHP3 + CHPZ;
*
* Transformation du sous-type "scal" en sous-type "t" pour chp4
* Utilisation de l'oprateur "vari".
*
LIS10 = PROG 0. 200. ;
LIS20 = PROG 0. 200. ;
EVOL1 = EVOL MANU SCAL LIS10 T LIS20;
CHP5 = VARI CHP4 EVOL1 T;
*
* Creation du champ de contraintes equivalentes
*
CHAM10 = THET MODL1 MATR1 CHP5;

```

## GUIDE DE VALIDATION

```

*
* Creation du champ de forces equivalentes
*
CHAR1 = BSIG MODL1 CHAM10;
*
*=====
*      Resolution : champs de deplacements
*=====
*
DEP1 = RESO RIG1 CHAR1;
*
* Trace facultatif de la deforme et des reactions
*
SI (NEG GRAPH 'N');
AMPVEC = 1.E-7;
REAL1 = REAC DEP1 RIG1;
VECT1 = VECT REAL1 AMPVEC FX FY FZ ROUGE;
DEF0 = DEF0 0. DEP1 VOL1;
DEF1 = DEF0 100. DEP1 VOL1 VECT1 VERT;
TITR 'ELAS10 : DEFORMEE, REACTIONS';
TRAC (-1000 -1000 1000) VOL1 (DEF0 ET DEF1);
FINSI;
*
*=====
*      extraction d'une contrainte
*      et comparaison avec solution analytique
*=====
*
*      On cherche la contrainte tangentielle sigg au noeud pd et
*      sur la surface exterieure.
*
* Calcul du champs de contraintes totales.
*
CHAM1 = SIGM MODL1 MATR1 DEP1;
*
* On retranche les contraintes dites d'origine thermique
*
CHAM1 = CHAM1 - CHAM10;
*
* Interpolation aux noeuds du maillage des contraintes.
*
CHAM2 = CHAN NOEUD MODL1 CHAM1;
CHPO10 = CHAN CHPO MODL1 CHAM2;
*
* Trace facultatif des contraintes aux noeuds.
*
SI (NEG GRAPH 'N');
TITR 'ELAS9 : Contraintes Nodales';
TRAC (-1000 -1000 1000) CACH VOL1 ((EXCO CHPO10 SMZZ)*1e-6);
FINSI;
*
* Extraction de la valeur cherchee.
*
SMZZA = EXTR CHPO10 SMZZ PA;
SMZZA = SMZZA / 1.E6;
*
SMZZA1 = -105;
*
* Calcul de l'écart avec la valeur de référence.
*
ERGZZA = 100 * (ABS ((SMZZA - SMZZA1) / SMZZA1));
*
*=====
*      affichage des résultats
*=====
*
MESS ' RESULTATS ';
MESS ' ----- ';
SAUT 1 LIGN;
*
MESS ' La valeur cherchée est la contrainte verticale au point A,';
MESS
  ' elle est comparée à une valeur théorique obtenue analytiquement.';
SAUT 1 LIGN;
MESS ' Contrainte verticale théorique en A :' SMZZA1 'MPa';
SAUT 1 LIGN;
MESS ' Contrainte verticale calculée en A :' SMZZA 'MPa';
SAUT 1 LIGN;
MESS
  ' Soit un écart de : ' ERGZZA '%';
SAUT 2 LIGN;
*
SI (K EGA 1);
MESS ' MAILLAGE GROSSIER';
SINON;
MESS ' MAILLAGE FIN';
FINSI;
*
SAUT 1 LIGN;
MESS ' NOMBRE D ELEMENTS :: ELVOLL';
MESS ' NOMBRE DE NOEUDS :: NOVOLL';
MESS ' SOIT ' (NOVOLL * 6) 'D.D.L.';
*
*=====
*      code fonctionnement
*=====
*
*      L'écart maximum entre valeur théorique et calculée doit être
* inferieure à 2%.
*
SAUT 1 LIGN;
SI (ERGZZA < EG 2);
  ERRE 0;
SINON;
  ERRE 5;
FINSI;
*
*=====
*      Temps de calcul et fin
*=====
*
SAUT 1 LIGN;
TEMPS;
SAUT 1 LIGN;
FIN;

```

### 5.2.11 elas11.dgibi

|                              |  |
|------------------------------|--|
| <b>Nom du fichier</b>        | elas11.dgibi   |
| <b>Type de calcul</b>        | Mécanique<br>Elastique<br>2D-axisymétrique   |
| <b>Type d'Éléments Finis</b> | QUA8   |
| <b>Référence</b>             | Test Nafems<br>LE11  |
| <b>Description</b>           | <p>SOLIDE SOUMIS A UN GRADIENT DE TEMPERATURE</p> <p>La structure est un solide composé de géométries cylindriques, coniques et sphérique soumis à un gradient de température</p> <p>Elle représente une enceinte épaisse, constituée d'une partie sphérique surmontée d'une partie conique, elle-même surmontée d'une partie cylindrique.</p> <p>Elle est soumise à un gradient linéaire de température s'exerçant radialement et axialement. Le champ de température s'exprime comme suit :</p> <ul style="list-style-type: none"> <li>○ <math>T(x, y, z) = r + z</math></li> </ul> <p>C'est le même test que elas10.dgibi mais en configuration 2D-axisymétrique.</p> |
| <b>Objectif</b>              | Contrainte $SM_{zz}$ au point PA (1 0)<br>$SM_{zz}(PA) = -105 \text{ MPa}$ (Précision relative de 2%)  |
| <b>Version de Cast3M</b>     | Du jour  |
| <b>Plateformes testées</b>   | IBM AiX<br>Linux 32-bits<br>Linux 64-bits<br>Windows 32-bits<br>Windows 64-bits<br>MAC OSX 64-bits   |

Tableau 22 : Informations sur le cas test elas11.dgibi

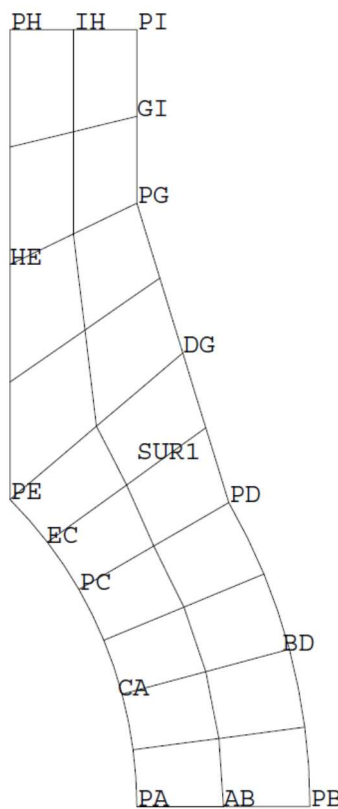


Figure 28 : Maillage du cas-test elas11.dgibi en 2D axisymétrique

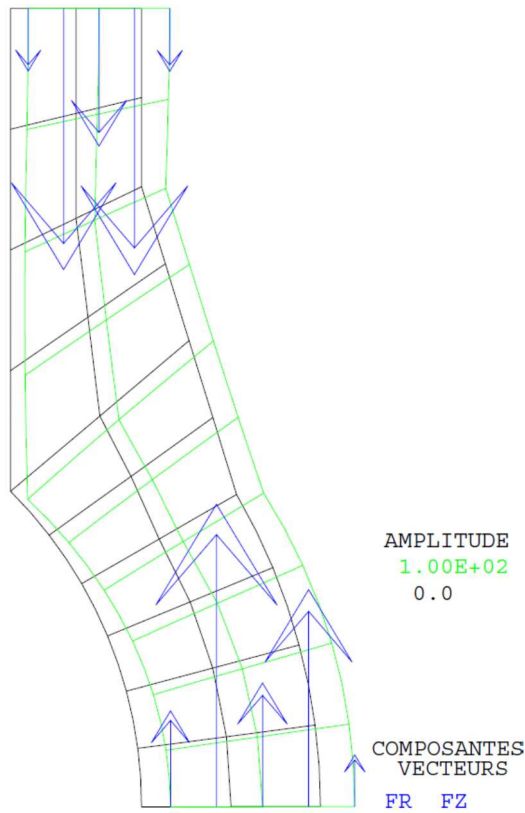


Figure 29 : Tracé du maillage initial (noir) et du maillage déformé (vert, x100) associé aux forces de réaction (flèches bleues)

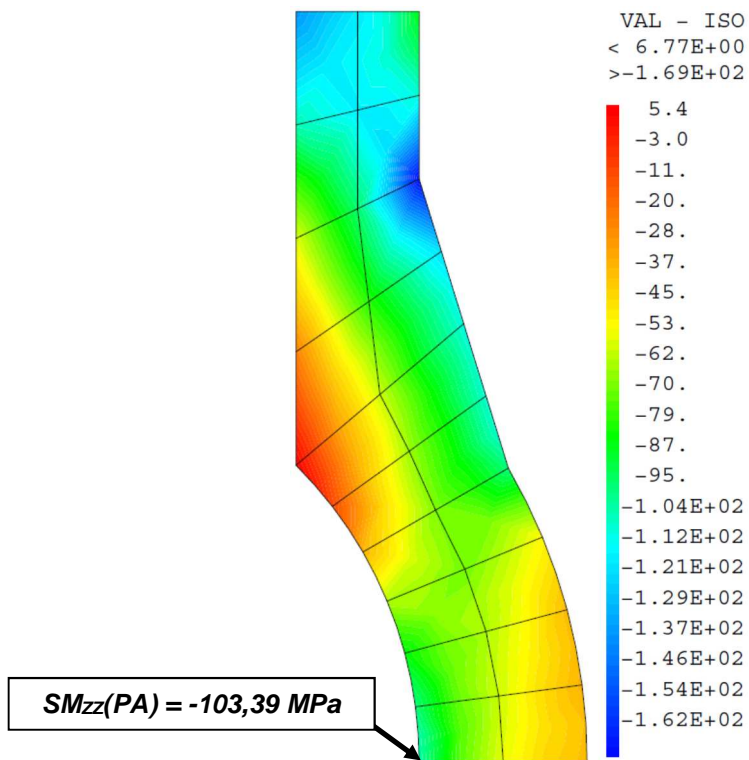


Figure 30 : Champ de contraintes  $SM_{zz}$  projeté aux nœuds

# GUIDE DE VALIDATION

## Jeu de données :

```

* fichier : elas11.dgibi
*****
* Section : Mecanique Elastique
*****
***** Test elas11.dgibi: Jeux de données *****
* ----- *
***** CAS TEST DU 91/06/13 PROVENANCE : TEST
***** SI GRAPH = N PAS DE GRAPHIQUE AFFICHE
***** SINON SI GRAPH DIFFERENT DE N TOUS
***** LES GRAPHIQUES SONT AFFICHES
GRAPH = 'N' ;

SAUT PAGE;
SI (NEG GRAPH 'N') ;
  OPTI ECHO 1 ;
  OPTI TRAC PSC ;
SINO ;
  OPTI ECHO 0 ;
FINSI ;

SAUT PAGE;
* -----
* TEST ELAS11
* -----
* SOLIDE (CYLINDRE - CONE - SPHERE)
* SOUMIS A UN GRADIENT
* DE TEMPERATURE (Calcul axisymetrique 2D).
* -----
* Test NAFEMS : numero LE11
* Nom : solid cylinder / taper / sphere temperature
* -----
* La structure est une enceinte epaisse. Elle est
* constituee d'une partie spherique surmontee d'une
* partie conique, elle - meme surmontee d'une partie
* cylindrique.
* -----
* Elle est soumis a un gradient lineaire de
* temperature s'exercent radialement et axialement.
* Le champs de temperature s'exprime comme suit :
* -----
*   T(x,y,z) = (x**2 + y**2)**.5 + z
*   ou
*   T(r,z) = r + z
* -----
* L'ensemble est maitte avec des elements massifs
* CU20. Le maillage est obtenue par rotation de 90
* degres d'une coupe verticale.
* -----
* On se propose de calculer la contrainte smyy au
* point A. Cette valeur est ensuite comparee avec
* la valeur de reference obtenue a l'aide d'un
* calcul axisymetrique sur un maillage fin.
* -----
* -----
OPTI DIME 2;
OPTI MODE AXIS;
OPTI ELEM QUA8;
* -----
* geometrie : maillage
* -----
* Dimension en metres
* -----
* Points
* PO = 0. 0. ;
P1 = 0. 1. ;
PA = 1. 0. ;
PB = 1.4 0. ;
PE = (1. * (COS 30)) (1. * (SIN 30));
PD = (1.4 * (COS 30)) 0.7;
PC = (COS 30) (SIN 30);
PE = (COS 45) (SIN 45);
PH = 0.7071 1.79;
PI = 1. 1.79;
PG = 1. 1.39;
* -----
* Droites, cercles et lignes
* -----
* coefficient de finesse du maillage
* K = 2;
* -----
NL = 1 * K;
AB = PA DROI NL PB;
GI = PG DROI NL PI;
EC = PE CERC NL PO PC;
IH = PI DROI NL PH;
* -----
* -----
* N2 = 2 * K;
BD = PB CERC N2 PO PD;
DG = PD DROI N2 PG;
CA = PC CERC N2 PO PA;
HE = PH DROI N2 PE;
* -----
* maillage par elements massifs du volume
* -----
SUR1 = DALL AB (BD ET DG ET GI) IH (HE ET EC ET CA)
PLAN;
* -----
SI (NEG GRAPH 'N') ;
  SI (K EGA 1);
    TITR 'ELAS11 : MAILLAGE GROSSIER';
  SINON;
    TITR 'ELAS11 : MAILLAGE FIN';
  FINSI;
  TRAC QUAL SUR1;
FINSI;
* -----
ELSURI = NBEL SUR1;
NOSURI = NENO SUR1;
* -----
* ===== modele - materiau =====
*       caractristique - rigidite
* =====
MODL1 = MODE SUR1 MECANIQUE ELASTIQUE ISOTROPE QUA8;
MATR1 = MATE MODL1 YOUN 210E9 NU 0.3 ALPH 2.3E-4;
RIL1 = RIGI MODL1 MATR1;
* -----
* ===== Conditions aux limites =====
*   - deplacement vertical nul pour les faces superieure
*     et inferieure.
* -----
CL1 = BLOQ UZ AB;
CL2 = BLOQ UZ IH;
* -----
CLI1 = CL1 ET CL2;
RIG1 = RIL1 ET CLI1;
* -----
* ===== Chargement thermique =====
* -----
*   Le solide est soumis a un gradient de temperature
*   lineaire, s'appliquant radialement et axialement.
*   La temperature est la suivante :
* -----
*   T(r,z) = r + z
* -----
* Creation du champs de temperature
* -----
CHPR = COOR 1 SUR1;
CHPZ = COOR 2 SUR1;
* -----
CHP4 = CHPR + CHPZ;
* -----
* Transformation du sous-type "scal" en sous-type "t"
* pour chp4. Utilisation de l'oprateur "vari".
* -----
LIS10 = PROG 0. 200. ;
LIS20 = PROG 0. 200. ;
EVOL1 = EVOL MANU SCAL LIS10 T LIS20;
CHP5 = VARI CHP4 EVOL1 T;
* -----
* Creation du champ de contraintes equivalentes
* -----
CHAM10 = THET MODL1 MATR1 CHP5;
* -----
* Creation du champ de forces equivalentes
* -----
CHAR1 = BSIG MODL1 CHAM10;
* -----
* ===== Resolution : champs de deplacements =====
* -----
DEP1 = RESO RIG1 CHAR1;
* -----
* Trace facultatif de la deforme et des reactions
* -----
SI (NEG GRAPH 'N') ;
  AMPVEC = 1.E-8;
  REAI = REAC DEP1 RIG1;
  VECT1 = VECT REAI AMPVEC FR FZ BLEU;
  DEFO = DEFO 0. DEP1 SUR1;
  DEF1 = DEFO 100. DEP1 SUR1 VECT1 VERT;
  TITR 'ELAS11 ; DEFORMEE, REACTIONS';
  TRAC SUR1 (DEFO ET DEF1);

```

```

FINSI;
*
*=====
*      extraction d'une contrainte      *
*      et comparaison avec solution analytique      *
*=====
*
*      On cherche la contrainte axiale sigzz au noeud A
*
* Calcul du champs de contraintes totales.
*
CHAM1 = SIGM MODL1 MATR1 DEP1;
*
* On retranche les contraintes d'origine thermique
*
CHAM1 = CHAM1 - CHAM10;
*
* Interpolation aux noeuds du maillage.
*
CHAM2 = CHAN NOEUD MODL1 CHAM1;
CHPO10 = CHAN CHPO MODL1 CHAM2;
*
* Trace facultatif des contraintes aux noeuds.
*
SI (NEG GRAPH 'N');
    TITR 'ELAS : Contraintes Nodales';
    TRAC CACH SURI ((EXCO CHPO10 SMZZ)*1e-6);
FINSI;
*
* Extraction de la contrainte recherchée.
*
SMZZA = EXTR CHPO10 SMZZ PA;
SMZZA = SMZZA / 1.E6;
*
SMZZA1 = -105;
*
* Calcul de l'écart avec la solution de référence.
*
ERGZZA = 100 * (ABS ((SMZZA - SMZZA1) / SMZZA1));
*
*=====
*      affichage des résultats      *
*=====
*
MESS ' RESULTATS ';
MESS ' ----- ';
SAUT 1 LIGN;
*
MESS '     La valeur cherchée est la contrainte axiale
au point A,';
MESS
    ' elle est comparée à une valeur théorique obtenue
analytiquement。';
SAUT 1 LIGN;
MESS ' Contrainte verticale théorique en A :: SMZZA1
'MPa';
SAUT 1 LIGN;
MESS ' Contrainte verticale calculée en A :: SMZZA
'MPa';
SAUT 1 LIGN;
MESS '           Soit un écart de :: ERGZZA %';
SAUT 2 LIGN;
*
SI (K EGA 1);
    MESS ' Maillage grossier';
SINON;
    MESS ' Maillage fin';
FINSI;
*
MESS ' Nombre d'éléments :: ELSUR1;
MESS ' Nombre de noeuds :: NOSUR1;
MESS '           Soit :: (NOSUR1 * 3) 'd.d.l.';
*
*=====
*      code fonctionnement      *
*=====
*
*     L'écart maximum entre valeur théorique et
* calculée doit être inférieure à 2%.
*
SAUT 1 LIGNE;
SI (ERGZZA <EG 2);
    ERRE 0;
SINON;
    ERRE 5;
FINSI;
*
*=====
*      Temps de calcul et fin      *
*=====
*
SAUT 1 LIGN;
TEMPS;
SAUT 1 LIGN;
FIN;

```

## 5.2.12 elas12.dgibi

|                              |  |
|------------------------------|--|
| <b>Nom du fichier</b>        | elas12.dgibi   |
| <b>Type de calcul</b>        | Mécanique<br>Elastique<br>3D   |
| <b>Type d'Éléments Finis</b> | POUT   |
| <b>Référence</b>             | Test VPCS<br>SSLL08/90<br>Paris Technique et Vulgarisation, 1958<br>POUTRE EN ARC DE CERCLE ECRASEE  |
| <b>Description</b>           | La structure est composée d'un arc de cercle d'un mètre de rayon moyen, et de section circulaire creuse.<br><br>Le diamètre intérieur est 0,016m, le diamètre extérieur est de 0,02m.<br><br>Une extrémité (point A) est articulée ( $U_a=V_a=0$ ), l'autre extrémité (point B) est bloquée suivant Y ( $V_b=0$ ). La structure est chargée par une force ponctuelle verticale au point C (centre de l'arc). |
| <b>Objectif</b>              | Rotation au point A (-1 0 0) et au point B (1 0 0), ainsi que le déplacement horizontal du point B et vertical du point C (0 1 0).<br><br>$Rot(A) = -3,0774 \cdot 10^{-2} \text{ Rad}$<br>$Rot(B) = +3,0774 \cdot 10^{-2} \text{ Rad}$ (Précision relative de 1%)<br>$U_x(B) = +5,3912 \cdot 10^{-2} \text{ m}$<br>$U_y(C) = -1,9206 \cdot 10^{-2} \text{ m}$  |
| <b>Version de Cast3M</b>     | Du jour  |
| <b>Plateformes testées</b>   | IBM AiX<br>Linux 32-bits<br>Linux 64-bits<br>Windows 32-bits<br>Windows 64-bits<br>MAC OSX 64-bits   |

Tableau 23 : Informations sur le cas test elas12.dgibi

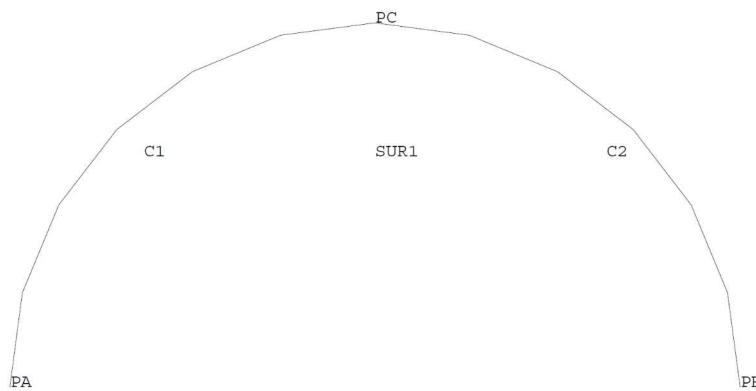


Figure 31 : Maillage du cas-test elas12.dgibi en 3D

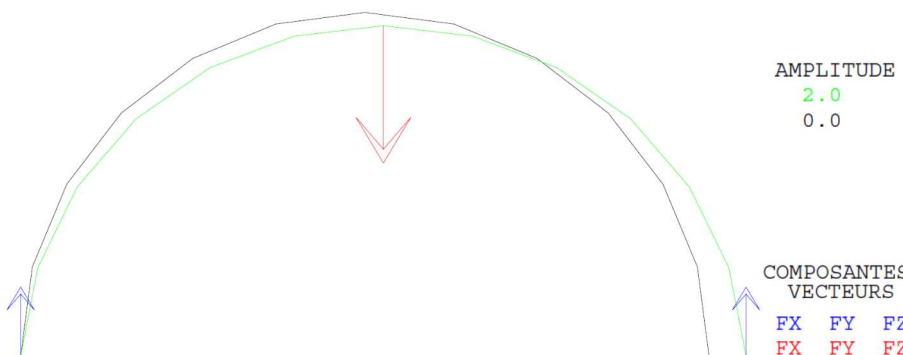


Figure 32 : Tracé du maillage initial (noir) et du maillage déformé (vert, x2) associé aux forces de réaction (flèches bleues) et à l'effort appliqué (flèche rouge).

# GUIDE DE VALIDATION

## Jeu de données :

```

*fichier : elas12.dgibi
*****
* Section : Mecanique Elastique
*****
***** Test elas12.dgibi: Jeux de données *****
* -----
***** CAS TEST DU 91/06/13 PROVENANCE : TEST
*****
* SI GRAPH = N PAS DE GRAPHIQUE AFFICHE
* SINON SI GRAPH DIFFERENT DE N TOUS
* LES GRAPHIQUES SONT AFFICHES
*****
GRAPH = 'N' ;
*****
SAUT PAGE;
SI (NEG GRAPH 'N') ;
    OPTI ECHO 1 ;
    OPTI TRAC PSC ;
SINO ;
    OPTI ECHO 0 ;
FINSI ;
*****
SAUT PAGE;
* -----
* TEST ELAS12
* -----
* ARC MINCE BI-ARTICULE EN FLEXION PLANE
* -----
* Test V.P.C.S. numero SSLL08/90
* -----
* Reference : P. Dellus, Resistance des materiaux,
*               Paris, Technique et Vulgarisation, 1958
* -----
* La structure est composee d'un arc de cercle d'un
* metre de rayon moyen, et de section circulaire creuse
* Le diametre interieur est de 0.016 m, le diametre
* exterieur est de 0.02 m.
* -----
* Une extremite (point A) est articule (UA = VA=0.)
* l'autre extremite (point B) est bloque suivant y
* (VB = 0.). La structure est chargee par une force
* ponctuelle verticale au point C (centre de l'arc).
* -----
* On se propose de calculer les rotations en A et B,
* ainsi que les deplacements horizontal du point B et
* vertical du point C.
* -----
* Les valeurs trouvées sont ensuite comparées aux
* valeurs de référence obtenues par solution
* analytique.
* -----
OPTI DIME 3;
OPTI ELEM SEG2;
*****
***** maillage - geometrie *****
*****
PO = 0. 0. 0. ;
PA = -1. 0. 0. ;
PC = 0. 1. 0. 0. ;
PB = 1. 0. 0. 0. ;
*
C1 = PA CERC 6 PO PC;
C2 = PC CERC 6 PO PB;
*
SUR1 = C1 ET C2;
*
SI (NEG GRAPH 'N');
    TITR 'ELAS12 : MAILLAGE';
    TRAC (0. 0. 1000.) QUAL SUR1;
FINSI;
*****
* calcul de la rigidite
*****
MODL1 = MODE SUR1 MECANIQUE ELASTIQUE ISOTROPE POUT;
MATR1 = MATE MODL1 YOUN 2.E11 NU 0.3 TORS 1000.
        SECT 1.131E-4 INRY 4.637E-9 INRZ 4.637E-9;
RIGI1 = RIGI MODL1 MATR1;
*****
* conditions aux limites
*****
CL1 = BLOQ UX PA;
CL2 = BLOQ UY PA;
CL3 = BLOQ UY PB;
*
CL4 = BLOQ UZ SUR1;
*****
CL5 = BLOQ RX SUR1;
*
RIGI1 = RIGI1 ET CL1 ET CL2 ET CL3 ET CL4 ET CL5;
*
***** chargement *****
*****
CHAR1 = FORC (0. -100 0.) PC;
*****
***** resolution : champs de deplacements *****
*****
DEPL1 = RESO RIGI1 CHAR1;
*
SI (NEG GRAPH 'N');
    TITR 'ELAS12 : DEFORMEE? CHARGEMENT, REACTIONS';
    VECT1 = VECT CHAR1 FX FY FZ 4.E-3 ROUGE;
    REAC1 = REAC RIGI1 DEPL1;
    VECT2 = VECT REAC1 FX FY FZ 4.E-3 BLEU;
    DEFO = DEFO SUR1 DEPL1 0. ;
    DEF1 = DEFO SUR1 DEPL1 2. (VECT1 ET VECT2) VERT;
    TRAC (0. 0. 1000.) SUR1 (DEFO ET DEF1);
FINSI;
*****
***** extraction des resultats *****
*****
* Rotation au noeud A :
RZA1 = -3.0774E-2;
RZA2 = EXTR DEPL1 RZ PA;
ERG1 = 100 * (ABS ((RZA1 - RZA2) / RZA1));
*
* Rotation au noeud B :
RZB1 = 3.0774B-2;
RZB2 = EXTR DEPL1 RZ PB;
ERG2 = 100 * (ABS ((RZB1 - RZB2) / RZB1));
*
* Deplacement vertical du noeud C :
UYC1 = -1.9206E-2;
UYC2 = EXTR DEPL1 UY PC;
ERG3 = 100 * (ABS ((UYC1 - UYC2) / UYC1));
*
* Deplacement horizontal au noeud B :
UXB1 = 5.3912E-2;
UXB2 = EXTR DEPL1 UX PB;
ERG4 = 100 * (ABS ((UXB1 - UXB2) / UXB1));
*****
***** affichage des resultats *****
*****
MESS 'RESULTATS : TEST ELAS12';
MESS '-----';
SAUT LIGN;
*
MESS ' Rotation au noeud A';
MESS ' -----';
MESS '     Valeur theorique :' RZA1 'rad';
MESS '     Valeur calculee :' RZA2 'rad';
MESS '     Ecart   :' ERG1 '%';
SAUT LIGN;
*
MESS ' Rotation au noeud B';
MESS ' -----';
MESS '     Valeur theorique :' RZB1 'rad';
MESS '     Valeur calculee :' RZB2 'rad';
MESS '     Ecart   :' ERG2 '%';
SAUT LIGN;
*
MESS ' Deplacement vertical du noeud C';
MESS ' -----';
MESS '     Valeur theorique :' UYC1 'm';
MESS '     Valeur calculee :' UYC2 'm';
MESS '     Ecart   :' ERG3 '%';
SAUT LIGN;
*
MESS ' Deplacement horizontal au noeud B';
MESS ' -----';
MESS '     Valeur theorique :' UXB1 'm';
MESS '     Valeur calculee :' UXB2 'm';
MESS '     Ecart   :' ERG4 '%';
SAUT LIGN;
*
***** code fonctionnement *****
*****
ERGMAX = MAXI (PROG ERG1 ERG2 ERG3 ERG4);
SI (ERGMAX < EG 5. );
    ERRE 0;
SINON;

```

ERRE 5;  
FINSI;  
SAUT LIGN;  
TEMPS;  
FIN;

## 5.2.13 elas13.dgibi

|                              |   |
|------------------------------|---|
| <b>Nom du fichier</b>        | elas13.dgibi  |
| <b>Type de calcul</b>        | Mécanique<br>Elastique<br>3D  |
| <b>Type d'Éléments Finis</b> | POUT  |
| <b>Référence</b>             | Test VPCS<br>SSLL16/90<br>M.Courtand P.Iæbelle Formulaire du béton armé T.2 Paris Eyrolles 1976<br>POUTRE DROITE ARTICULEE  |
| <b>Description</b>           | La structure est constituée d'une poutre articulée aux extrémités, reposant sur un sol élastique (Elasticité linéaire constante).<br><br>Une force de 10kN verticale est appliquée au point PD (0 0 0). Une force verticale nulle est imposée au point PA (-2,484 0 0). Deux moments contraires axiaux sont appliqués aux nœuds PA (-2,484 0 0) et PB (2,484 0 0) : $\begin{cases} M_z(A) = -15 \text{ kNm} \\ M_z(B) = 15 \text{ kNm} \end{cases}$ |
| <b>Objectif</b>              | Rotation et réaction au point PA, ainsi que la flèche et le moment de flexion au centre de la poutre, point PD<br><br>$Rot(A) = -3.045 \cdot 10^{-3} \text{ rad}$<br>$R(A) = 11674 \text{ N} \quad (\text{Précision relative de } 4\%)$<br>$U_Y(D) = -4.23326 \cdot 10^{-3} \text{ m}$<br>$M_f(D) = 3.384 \cdot 10^4 \text{ Nm}$  |
| <b>Version de Cast3M</b>     | Du jour   |
| <b>Plateformes testées</b>   | IBM AiX<br>Linux 32-bits<br>Linux 64-bits<br>Windows 32-bits<br>Windows 64-bits<br>MAC OSX 64-bits  |

Tableau 24 : Informations sur le cas test elas13.dgibi

PA BDR1 PB

Figure 33 : Maillage du cas-test elas13.dgibi en 3D

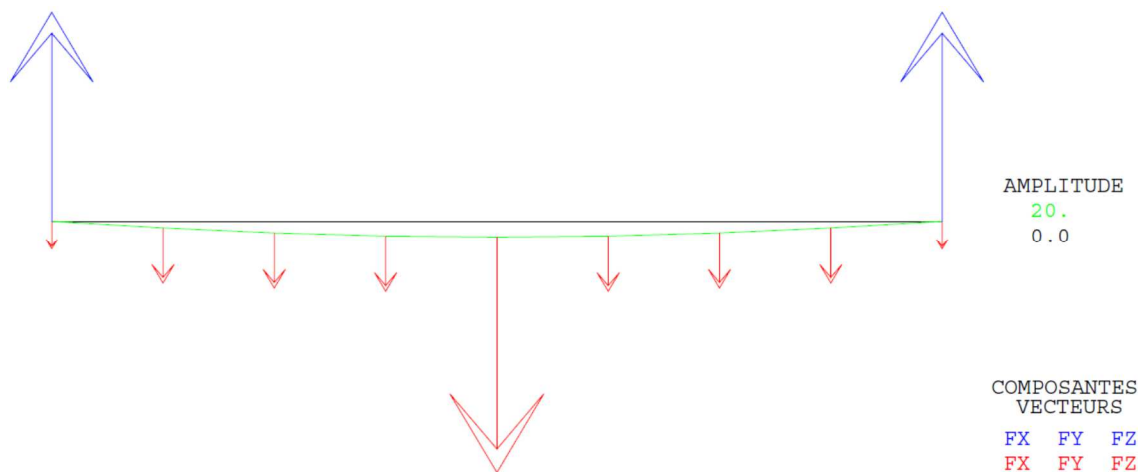


Figure 34 : Tracé du maillage initial (noir) et du maillage déformé (vert, x20) associé aux forces de réaction (flèches bleues) et à l'effort appliqué (flèche rouge).

# GUIDE DE VALIDATION

## Jeu de données :

```

* fichier : elas13.dgibi
*****
* Section : Mecanique Elastique
*****
***** Test elas13.dgibi: Jeux de donnees *****
* -----
***** CAS TEST DU 91/06/13 PROVENANCE : TEST
***** SI GRAPH = N PAS DE GRAPHIQUE AFFICHE
***** SINON SI GRAPH DIFFERENT DE N TOUS
***** LES GRAPHIQUES SONT AFFICHES
GRAPH = 'N' ;

SAUT PAGE;
SI (NEG GRAPH 'N') ;
    OPTI ECHO 1 ;
    OPTI TRAC PSC ;
SINO ;
    OPTI ECHO 0 ;
FINSI ;

SAUT PAGE;
* TEST ELAS13
* POUTRE SUR SOL ELASTIQUE, EXTREMITES ARTICULEES
* Test V.P.C.S. numero SSSL16/89
* Reference : M. Courtand et P. Lebelle, Formulaire du beton arme, T. 2, Paris, Eyrolles, 1976
* La structure est constituee d'une poutre articulee aux extremites et reposant sur un sol elastique.
* On se propose de calculer la rotation et la reaction a une extremite, ainsi que la fleche et le moment de flexion au centre de la poutre.
* Les valeurs trouvées sont ensuite comparees aux valeurs de reference obtenues par solution analytique.
* OPTI DIME 3;
OPTI ELEM SEG2;
* maillage - geometrie
L = PI * (10 ** .5) / 2.;
PA = (-.5 * L) 0. 0. ;
PB = (0.5 * L) 0. 0. ;
SUR1 = PA DROI 8 PB;
PD = SUR1 POIN PROC (0. 0. 0.);
SI (NEG GRAPH 'N');
    TITR 'ELAS13 : MAILLAGE';
    TRAC (0. 0. 1000.) QUAL SUR1;
FINSI;
* calcul de la rigidite
* MODEL1 = MODE SUR1 MECANIQUE ELASTIQUE POUT;
MATR1 = MATE MODEL1 YOUN 2.E11 NU 0.3 TORS 1000.
        SECT 1000 INRY 1.E-4 INRZ 1.E-4;
RIGI1 = RIGI MODEL1 MATR1;
* conditions aux limites
* - Rotule en A et B,
* - Appui continu elastique : sol de raideur lineaire
*   constante : K = 840 000 N/m2 ,
* - Conditions d'un probleme plan.
CL1 = BLOQ UX (PA ET PB);
CL2 = BLOQ UY (PA ET PB);
CL3 = BLOQ UZ SUR1;
CL4 = BLOQ RX SUR1;
NELL = NBEL SUR1;
K = 840000;

KNOEUD = K * L / (2. * NELL);
I = 0;
CLS = APPUI DEPL 0. SUR1;
REPETER BLOC2 NELL;
    I = I + 1;
    POI1 = SUR1 POIN I;
    POI2 = SUR1 POIN (I + 1);
    APP1 = APPUI DEPL KNOEUD POI1;
    APP2 = APPUI DEPL KNOEUD POI2;
    CL5 = CL5 ET APP1 ET APP2;
FIN BLOC2;
*
RIGI1 = RIGI1 ET CL1 ET CL2 ET CL3 ET CL4 ET CL5;
*
* chargement
* - Force ponctuelle verticale de -10000 N au point D,
* - Force lineaire repartie verticale de -5000 N/m,
* - Moments opposes aux extremites de 15000 N.m .
*
CHA1 = FORC (0. -10000. 0.) PD;
FTOTAL = -5000. * L;
FPOINT = FTOTAL / (2. * NELL);
CHA2 = FORC FY 0. PA;
I = 0;
REPETER BLOC1 NELL;
    I = I + 1;
    POI1 = SUR1 POIN I;
    POI2 = SUR1 POIN (I + 1);
    FOR1 = FORC FY FPOINT POI1;
    FOR2 = FORC FY FPOINT POI2;
    CHA2 = CHA2 ET FOR1 ET FOR2;
FIN BLOC1;
*
CHA3 = (MOMENT MZ -15000 PA) ET (MOMENT MZ 15000 PB);
*
CHAR1 = CHA1 ET CHA2 ET CHA3;
*
* resolution : champs de deplacements
*             champ de contraintes
DEPL1 = RESO RIGI1 CHAR1;
*
* Trace facultatif de la deforme
REAC1 = REAC RIGI1 DEPL1;
SI (NEG GRAPH 'N');
    TITR 'ELAS13 : DEFORMEE, CHARGEMENT, REACTIONS';
    VECT1 = VECT CHAR1 1.E-4 FX FY FZ ROUGE;
    VECT2 = VECT REAC1 1.E-4 FX FY FZ BLEU;
    DEF0 = DEFO SUR1 DEPL1 0. ;
    DEF1 = DEFO SUR1 DEPL1 20. (VECT1 ET VECT2) VERT;
    TRAC (0. 0. 1000.) SUR1 (DEF0 ET DEF1);
FINSI;
*
SIGM1 = SIGM MODL1 MATR1 DEPL1;
SIGM2 = CHAN NOEUD MODL1 SIGM1;
SIGM3 = CHAN CHPO MODL1 SIGM2;
*
* extraction des resultats
*
* Rotation du point A :
RZA1 = EXTR DEPL1 RZ PA;
RZA2 = -3.045E-3;
ERG1 = 100 * (ABS ((RZA2 - RZA1) / RZA2));
*
* Reaction au point A :
VA1 = EXTR REAC1 FY PA;
VA2 = 1.1674E4;
ERG2 = 100 * (ABS ((VA2 - VA1) / VA2));
*
* Fleche au point D :
UYD1 = EXTR DEPL1 UY PD;
UYD2 = -4.23326E-3;
ERG3 = 100 * (ABS ((UYD2 - UYD1) / UYD2));
*
* Moment de flexion au point D :
MD1 = EXTR SIGM3 MOMZ PD;
MD2 = 3.3840E4;
ERG4 = 100 * (ABS ((MD1 - MD2) / MD2));
*
* affichage des resultats
MESS 'RESULTATS : TEST ELAS13';
MESS '-----';
SAUT LIGN;

```

```

*
MESS ' Rotation du point A ';
MESS ' ----- ';
MESS '     Valeur theorique :' RZA2 'rad';
MESS '     Valeur calculee :' RZAL 'rad';
MESS '             Ecart :' ERG1 '%';
SAUT LIGN;
*
MESS ' Reaction au point A ';
MESS ' ----- ';
MESS '     Valeur theorique :' VA2 'N';
MESS '     Valeur calculee :' VA1 'N';
MESS '             Ecart :' ERG2 '%';
SAUT LIGN;
*
MESS ' Fleche au point D ';
MESS ' ----- ';
MESS '     Valeur theorique :' UYD2 'm';
MESS '     Valeur calculee :' UYD1 'm';
MESS '             Ecart :' ERG3 '%';
SAUT LIGN;
*
MESS ' Moment de flexion au point D ';
MESS ' ----- ';
MESS '     Valeur theorique :' MD2 'N.m';
MESS '     Valeur calculee :' MD1 'N.m';
MESS '             Ecart :' ERG4 '%';
SAUT LIGN;
*
*+++++* code fonctionnement *+++++*
*+++++* ERGMAX = MAXI (PROG ERG1 ERG2 ERG3 ERG4);
SI (ERGMAX < EG 5.);
    ERRE 0;
SINON;
    ERRE 5;
FINSI;

SAUT 1 LIGN ;
TEMPS;

FIN;

```

**5.2.14 orth6.dgibi**

|                              |   |
|------------------------------|---|
| <b>Nom du fichier</b>        | orth6.dgibi   |
| <b>Type de calcul</b>        | Mécanique<br>Elastique<br>2D<br>Contraintes Planes  |
| <b>Type d'Éléments Finis</b> | QUA4  |
| <b>Référence</b>             | Test NAFEMS<br>SSLS33/90<br>PLAQUE CARREE ENCASTREE   |
| <b>Description</b>           | La plaque est encastrée en déplacement et rotations sur ligne PB-PC.  |
| <b>Objectif</b>              | Déplacements horizontaux et verticaux aux points PA(0,5 0,5), PD(0,5 -0,5) et PE(0 0)<br>$U_x(PA) = 1,1 \cdot 10^{-4} \text{ m}$ $U_y(PA) = -1,31 \cdot 10^{-4} \text{ m}$<br>$U_x(PD) = 9,95 \cdot 10^{-5} \text{ m}$ $U_y(PD) = -7,17 \cdot 10^{-5} \text{ m}$ (Précision relative de 1%)<br>$U_x(PE) = 4,77 \cdot 10^{-5} \text{ m}$ $U_y(PE) = -4,98 \cdot 10^{-5} \text{ m}$ |
| <b>Version de Cast3M</b>     | Du jour   |
| <b>Plateformes testées</b>   | IBM AiX<br>Linux 32-bits<br>Linux 64-bits<br>Windows 32-bits<br>Windows 64-bits<br>MAC OSX 64-bits  |

*Tableau 25 : Informations sur le cas test orth6.dgibi*

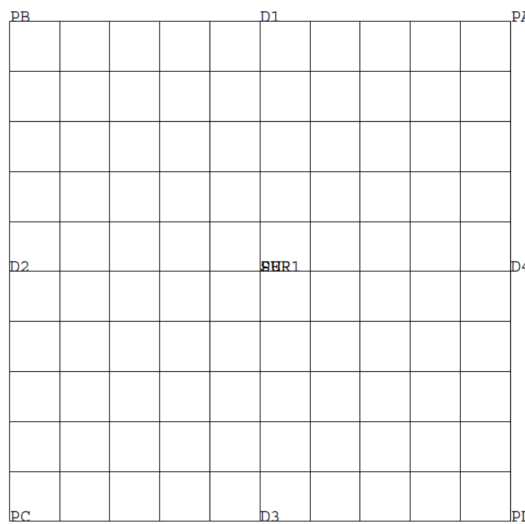


Figure 35 : Maillage du cas-test orth6.dgibi en 2D

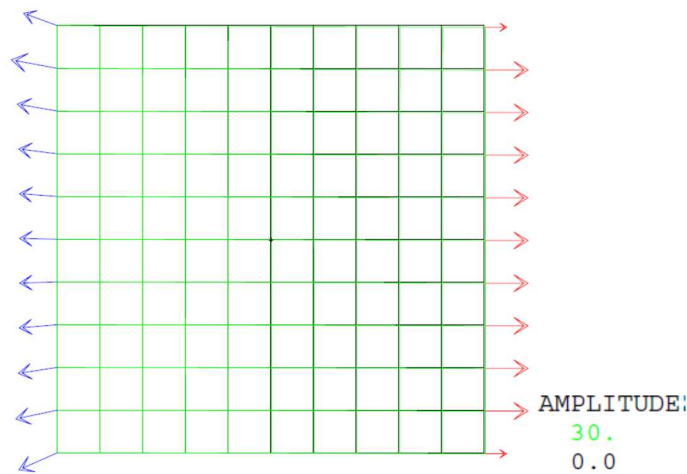


Figure 36 : Tracé du maillage initial (noir) et du maillage déformé (vert, x30) associé aux efforts dus au chargement (flèches rouges) et aux forces de réaction (flèche bleue)

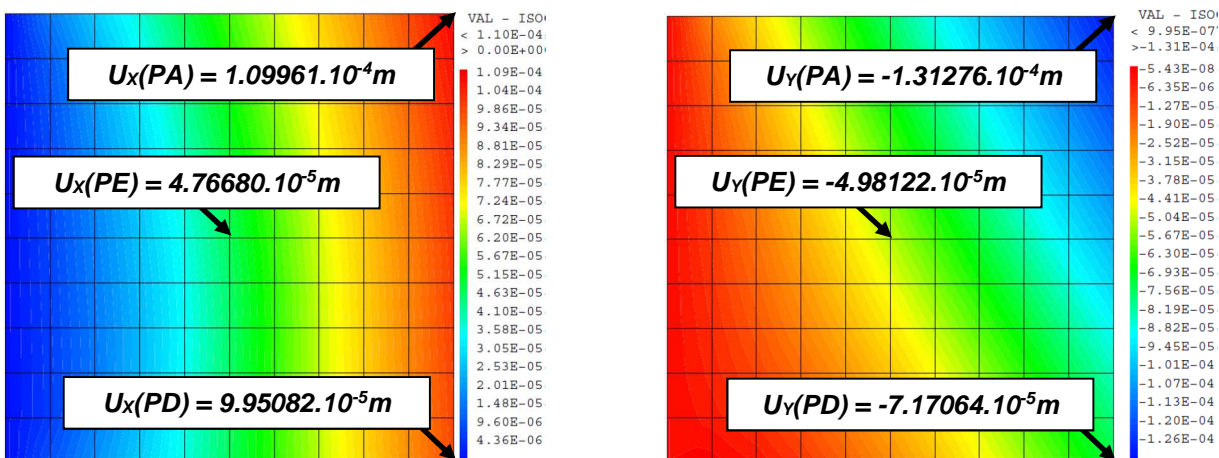


Figure 37 : Champ de déplacement (nodal)  $U_x$  (à gauche) et  $U_y$  (à droite)

# GUIDE DE VALIDATION

## Jeu de données :

```

* fichier : orth6.dgibi
*****
* Section : Mecanique Elastique
*****
* CAS TEST DU 91/06/13 PROVENANCE : TEST
SAUT PAGE;

*****
* TEST ORTH6 *
* PLAQUE CARREE ORTHOTROPE ENCASTREE *
*
* Test V.P.C.S. numero SSLS33/90 *
* Groupe : Statique lineaire *
* Structure assemblee *
*
*****
OPTION ECHO 0;
*
OPTION DIME 2 ELEM QUA4;
OPTION MODE PLAN CONT;
*
GRAPH = 'N';
* GRAPH = 'O';

SAUT PAGE;
SI (NEG GRAPH 'N') ;
OPTI ECHO 1 ;
OPTI TRAC PSC ;
SINO ;
OPTI ECHO 0 ;
FINSI ;

*-----*
*      geometrie : maillage *
*-----*
*
PA = 0.5 0.5;
PB = -0.5 0.5;
PC = -0.5 -0.5;
PD = 0.5 -0.5;
PE = 0. 0.;

D1 = PA DROIT 10 PB;
D2 = PB DROIT 10 PC;
D3 = PC DROIT 10 PD;
D4 = PD DROIT 10 PA;
*
SUR1 = DALLAGE D1 D2 D3 D4 PLAN;
SUR = SUR1 ET PE;
*
ELIM SUR 0.001;
*
SI (NEG GRAPH 'N');
TITRE 'ORTH6 : PLAQUE CARREE ORTHOTROPE';
TRACE SUR 'QUAL';
FINSI ;
*
NENOSUR = NENO SUR1;
NBELSUR = NBEL SUR1;
*
*-----*
*      calcul de la rigidite *
*-----*
*
MOD = MODE SUR1 MECANIQUE ELASTIQUE ORTHOTROPE QUA4;
*
DIR1 = (COS 30.) (SIN 30.);
MAT = MATE MOD DIRE DIR1 YG1 2.5737E10 YG2 7.377E9 YG3 7.377E9
NU12 0.31 NU13 0.31 NU23 0.31 GL2 2.319E9;

* verification graphique de l'orientation :
* 2D massif => 2 vecteurs : V1 et V2
v12 = VLOC MOD MAT;
ve12 = VECT v12 MOD (mots 'V1X' 'V1Y' 'V2X' 'V2Y') 0.02
(mots 'AZUR' 'BRON');

SI (NEG GRAPH 'N');
TITRE 'ORTH6 : V1(AZUR) V2 (JAUNE)';
TRACE ve12 SUR ;
FINSI ;

RI = RIGI MOD MAT ;
*
*-----*
*      conditions aux limites *
*-----*
*
CL = BLOQUE DEPL ROTA D2;
RIG = RI ET CL;
*
*-----*
*      chargement *
*-----*
*
FTOT = 1.E6;
*****
```

NBNOD4 = NENO D4;  
F5 = FTOT / ((2 \* NBNOD4) - 2);  
F50 = F5 0.;  
I = 1;  
NBI = NBNOD4 - 1;  
CHA = FORC (0. 0.) (D4 POIN 1);  
REPETER BLOC1 NBI;  
CHA1 = FORC F50 (D4 POIN I);  
CHA2 = FORC F50 (D4 POIN (I+1));  
CHA = CHA ET CHA1 ET CHA2;  
I = I + 1;  
FIN BLOC1;  
\*-----\*  
\* resolution : calcul elastique \*-----\*

\*-----\*

\* Champs de deplacements \*

DE = RESO RIG CHA;

\*-----\*

\* Contraintes : interpolation aux noeuds du maillage \*

CHAM1 = SIGM MOD MAT DE;  
CHAM2 = CHAN NOEUD MOD CHAM1;  
CHPO1 = CHAN CHPO MOD CHAM2;

\*-----\*

\* Trace facultatif du champ de déplacement.

\*-----\*

SI (NEG GRAPH 'N');  
TITR 'ORTH6 : Deplacements UX';  
TRAC CACH SURI (EXCO DE UX);  
TITR 'ORTH6 : Deplacements UY';  
TRAC CACH SURI (EXCO DE UY);

FINSI;

\*-----\*

\* extraction des resultats \*-----\*

\*-----\*

UA = EXTR DE UX PA; UA1 = 1.10E-4;  
ERGUA = 100 \* (ABS ((UA1 - UA) / UA1));

\*-----\*

UD = EXTR DE UX PD; UD1 = 9.95E-5;  
ERGUD = 100 \* (ABS ((UD1 - UD) / UD1));

\*-----\*

UE = EXTR DE UX PE; UE1 = 4.77E-5;  
ERGUE = 100 \* (ABS ((UE1 - UE) / UE1));

\*-----\*

VA = EXTR DE UY PA; VA1 = -1.31E-4;  
ERGVA = 100 \* (ABS ((VA1 - VA) / VA1));

\*-----\*

VD = EXTR DE UY PD; VD1 = -7.17E-5;  
ERGVD = 100 \* (ABS ((VD1 - VD) / VD1));

\*-----\*

VE = EXTR DE UY PE; VE1 = -4.98E-5;  
ERGVE = 100 \* (ABS ((VE1 - VE) / VE1));

\*-----\*

SMXXE = EXTR CHPO1 SMXX PE;  
SMXXE = SMXXE / 1.E6;  
SMXXE1 = 1.02;  
ERGXX = 100 \* (ABS ((SMXXE1 - SMXXE) / SMXXE1));

\*-----\*

SMYYE = EXTR CHPO1 SMYY PE;  
SMYYE = SMYYE / 1.E6;  
SMYYE = EXTR CHPO1 SMXY PE;  
SMYYE = SMYYE / 1.E6;

\*-----\*

\* affichage des resultats \*-----\*

\*-----\*

\* Trace facultatif de la deformees \*

\*-----\*

SI (NEG GRAPH 'N');  
TITR ' PLAQUE CARREE ORTHOTROPE : DEFORMEE .';  
AMPVEC = 1E-6;  
VECT1= VECT CHA AMPVEC FX FY ROUGE;  
REA2 = REAC DE RIG;  
VECT2= VECT REA2 1e-6 FX FY BLEU;  
DEF0 = DEFO SUR DE 0.;  
DEF1 = DEFO SUR DE 30. (VECT1 ET VECT2) VERT;  
TRAC (DEF0 ET DEF1);

FINSI;

\*-----\*

SAUT LIGN;  
MESS 'Resultats : test orth6.dgibi';  
MESS '-----';  
SAUT 1 LIGN;  
MESS 'Deplacements';  
MESS '-----';  
SAUT 1 LIGN;  
\*
MESS ' Point A :';  
MESS ' -----';

```

SAUT 1 LIGN;
MESS '      Deplacement theorique horizontal : ' UAL 'm';
MESS '      Deplacement calcule horizontal : ' UA 'm';
MESS '              Soit un ecart de : ' ERGUA '%';
SAUT 1 LIGN;
MESS '      Deplacement theorique vertical : ' VAL 'm';
MESS '      Deplacement calcule vertical : ' VA 'm';
MESS '              Soit un ecart de : ' ERGVA '%';
SAUT 1 LIGN;
MESS '      Point D :';
MESS '      -----';
SAUT 1 LIGN;
MESS '      Deplacement theorique horizontal : ' UDL 'm';
MESS '      Deplacement calcule horizontal : ' UD 'm';
MESS '              Soit un ecart de : ' ERGUD '%';
SAUT 1 LIGN;
MESS '      Deplacement theorique vertical : ' VDL 'm';
MESS '      Deplacement calcule vertical : ' VD 'm';
MESS '              Soit un ecart de : ' ERGVD '%';
SAUT 1 LIGN;
MESS '      Point E :';
MESS '      -----';
SAUT 1 LIGN;
MESS '      Deplacement theorique horizontal : ' UEL 'm';
MESS '      Deplacement calcule horizontal : ' UE 'm';
MESS '              Soit un ecart de : ' ERGUE '%';
SAUT 1 LIGN;
MESS '      Deplacement theorique vertical : ' VEL 'm';
MESS '      Deplacement calcule vertical : ' VE 'm';
MESS '              Soit un ecart de : ' ERGVE '%';
SAUT 1 LIGN;
MESS '      Contraintes au point E';
MESS '      -----';
SAUT 1 LIGN;
MESS '      Contrainte theorique horizontale : ' SMXXE1 'MPa';
MESS '      Contrainte calculee horizontale : ' SMXXE 'MPa';
MESS '              Soit un ecart de : ' ERGXX '%';
SAUT 1 LIGN;
MESS '      Contrainte calculee verticale : ' SMYYE 'MPa';
SAUT 1 LIGN;
MESS '      Contrainte calculee de cisaillement : ' SMXYE 'MPa';
SAUT 1 LIGN;
MESS '      Maillage :';
MESS '      -----';
SAUT LIGN;
MESS '      Nombre de noeuds : ' NBNOSUR;
MESS '      Nombre d elements : ' NBELSUR 'QUA4';
SAUT LIGN;
*-----*
*      code fonctionnement          *
*-----*
*-----*
ERGMAX = MAXI ( PROG ERGUA ERGUD ERGUE ERGVA ERGVD ERGVD ERGXX );
*
* Il y a erreur si un des pourcentages ERG* est suprieur 1.%*
*
SAUT 2 LIGN;
SI (ERGMAX <EG 1.0);
    ERRE 0 ;
SINO;
    ERRE 5 ;
FINSI;
*
SAUT 1 LIGN;
TEMPS;
SAUT 1 LIGN;

FIN;

```

## 5.2.15 stru1.dgibi

|                              |   |
|------------------------------|---|
| <b>Nom du fichier</b>        | stru1.dgibi   |
| <b>Type de calcul</b>        | Mécanique<br>Elastique<br>3D  |
| <b>Type d'Éléments Finis</b> | COQ4  |
| <b>Référence</b>             | Etude d'une plaque raidie<br>J.L. BATOZ, J. CHATELAIN, J.P. JAMEUX<br>Bulletin du club SAP, Volume VIII N 1<br>STRUCTURE PLANE AVEC RAIDISSEURS   |
| <b>Description</b>           | Il s'agit d'une plaque rectangulaire de 2m de long, de 1m de large et 0,06m d'épaisseur, raidie à l'aide de 6 raidisseurs de 0,01 m d'épaisseur.<br><br>La plaque supérieure (uniquement) repose simplement sur les quatre cotés et est uniformément chargée. Pour des raisons de symétrie on ne maille que le quart de la structure. |
| <b>Objectif</b>              | Déplacement vertical au milieu de la plaque au point PC (0 0 0) et d'autre part le déplacement minimal (négatif).<br><br>$U_z(PC) = -4,25 \cdot 10^{-4} \text{ m}$ (Précision relative de 5%)<br>$\min(U_z) = -1,26 \cdot 10^{-3} \text{ m}$  |
| <b>Version de Cast3M</b>     | Du jour   |
| <b>Plateformes testées</b>   | IBM AiX<br>Linux 32-bits<br>Linux 64-bits<br>Windows 32-bits<br>Windows 64-bits<br>MAC OSX 64-bits  |

Tableau 26 : Informations sur le cas test stru1.dgibi

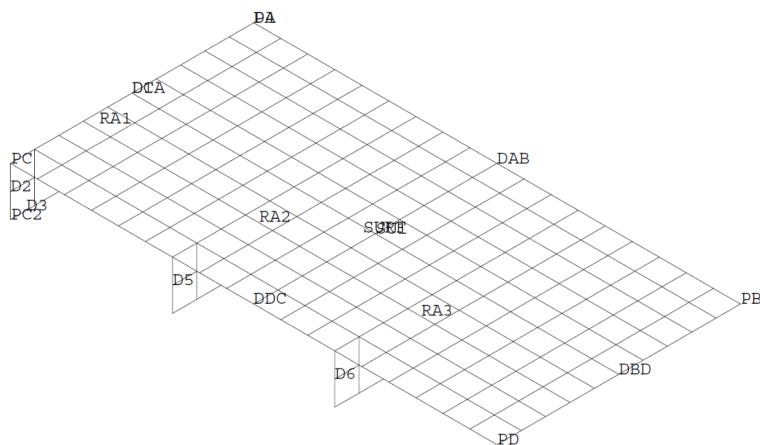


Figure 38 : Maillage du cas-test orth6.dgibi en 2D

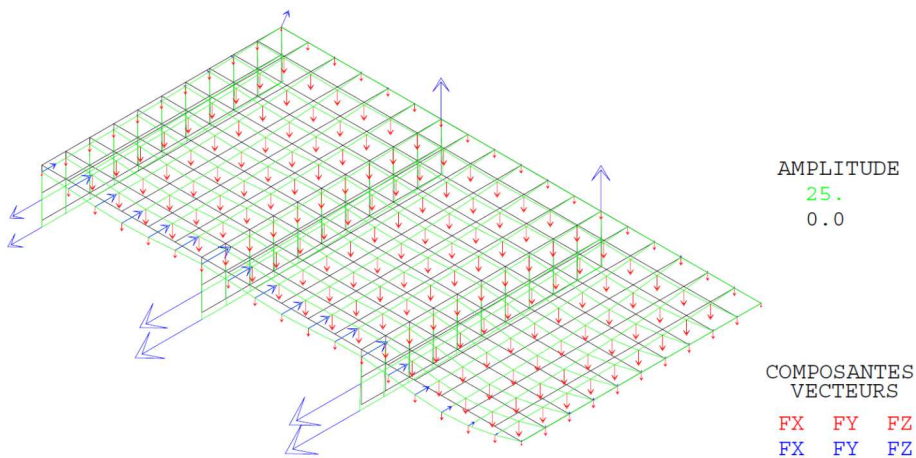


Figure 39 : Tracé du maillage initial (noir) et du maillage déformé (vert, x25) associé aux efforts dus au chargement (flèches rouges) et aux forces de réaction (flèche bleue)

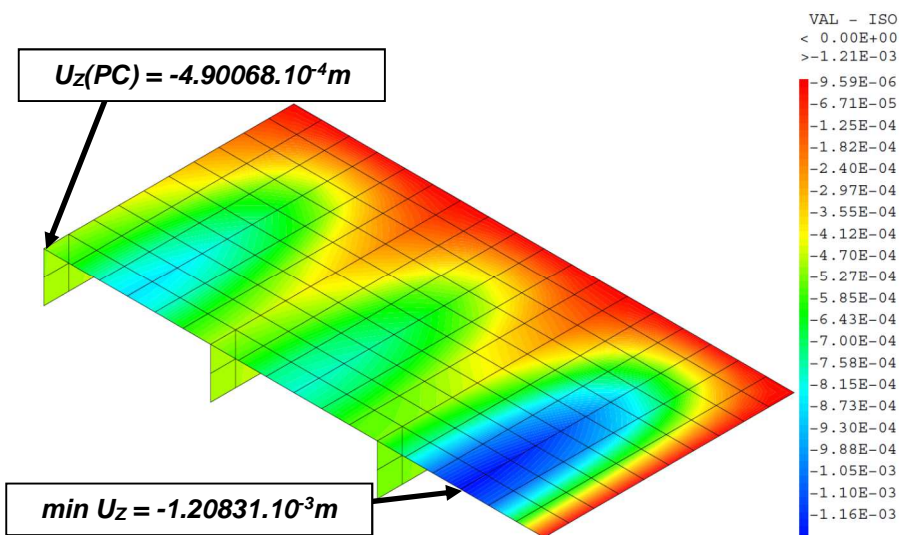


Figure 40 : Champ de déplacement (nodal)  $U_z$

# GUIDE DE VALIDATION

## Jeu de données :

```

* fichier : strul.dgibi
*****+
* Section : Mecanique Endommagement
*****+
* CAS TEST DU 91/06/13 PROVENANCE : TEST
SAUT PAGE;
*****+
* TEST STRU1
* PLAQUE RAIDIE SUR APPUIS SIMPLES, SOUS CHARGE UNIFORMEMENT
* REPARTIE
* La plaque rectangulaire de 2 metre de long, de 1 metre de
large et 0.06 metre d'épaisseur est raidie a l'aide de 6
raidisseurs de 0.01 metre d'épaisseur.
* La plaque superieure (uniquement) repose simplement sur les
quatre cotes et est uniformement chargee.
* Pour des raisons de symetrie on ne maille que le quart de la
structure.
* On se propose de chercher :
- d'une part le deplacement vertical du milieu de la plaque,
- d'autre part le deplacement vertical maximal.
* Ref. : JL. BATOUZ,J.CHATELAIN,JP. JAMEUX
* ETUDE D UNE PLAQUE RAIDIE
* BULLETIN DU CLUB S.A.P - VOLUME VIII, N1
* GRAPH = 'N';
SAUT PAGE;
SI (NEG GRAPH 'N') ;
OPTI ECHO 1 ;
OPTI TRAC PSC ;
SINO ;
OPTI ECHO 0 ;
FINSI ;

SAUT PAGE;
OPTION DIME 3;
OPTION ELEM QUA4;

* QUELQUES DONNEES
* GEOMETRIE
OEIL = 10000 -10000 10000;
*+*****+
*+*****+ GEGOMETRIE +*****+
*+*****+
* PLAQUE SUPERIEURE
* PA = 0 .5 0; PB =1. .5 0; PD = 1. 0 0; PC = 0 0 0;
PF = .6667 0 0; PE = .3333 0 0;
*DAB = PA DROIT 18 PB; DDB = PB DROIT 10 PD;
DDC = PD DROIT 18 PC; DCA = PC DROIT 10 PA;
SU1 = DALLER DAB DBD DDC DCA PLAN;
* RAIDISSEUR CENTRAL
* PA2 = 0 .5 -.1; PC2 = 0 0 -.1;
D1 = PA DROIT 10 PC;
D3 = PC2 DROIT 10 PA2;
D2 = PC DROIT 2 PC2;
D4 = PA2 DROIT 2 PA;
RA1 = DALL D1 D2 D3 D4 PLAN;
* SEGMENTS DE DROITES POUR CONDITIONS DE SYMETRIE
D5 = D2 PLUS (.33333 0 0 .);
D6 = D2 PLUS (.66667 0 0 .);
* RAIDISSEURS 2 ET 3
RA2 = RA1 PLUS (.33333 0 0 );
RA3 = RA1 PLUS (.66667 0 0 );
* SURF = SU1 ET RA1 ET RA2 ET RA3;
* ELIM SURF .0001;
ELIM (SURF ET D1 ET D2 ET D3 ET D4 ET D5 ET D6) .001;
* SI (NEG GRAPH 'N');
TITR ' TEST STRU1 : MAILLAGE';
TRAC CACH Oeil QUAL SURF;
FINSI;
*+
* MODELE
*****+
*+*****+
MODL1 = MODE RA1 MECANIQUE ELASTIQUE ISOTROPE COQ4;
MODL2 = MODE RA2 MECANIQUE ELASTIQUE ISOTROPE COQ4;
MODL3 = MODE RA3 MECANIQUE ELASTIQUE ISOTROPE COQ4;
MODL4 = MODE SU1 MECANIQUE ELASTIQUE ISOTROPE COQ4;
MODL5 = MODL1 ET MODL2 ET MODL3 ET MODL4;
*+
* MATERIAUX - CARACTERISTIQUES
*****+
*+*****+
MATR1 = MATE MODL1 YOUN 2.E11 NU 0.3 EPAI 0.005 EXCEN 0.0025;
MATR2 = MATE MODL2 YOUN 2.E11 NU 0.3 EPAI 0.01 EXCEN 0.0;
MATR3 = MATE MODL3 YOUN 2.E11 NU 0.3 EPAI 0.01 EXCEN 0.0;
MATR4 = MATE MODL4 YOUN 2.E11 NU 0.3 EPAI 0.006 EXCEN 0.0;
MATR5 = MATR1 ET MATR2 ET MATR3 ET MATR4;
*+
* CONDITIONS AUX LIMITES
*****+
*+*****+
CL1 = BLOQUE DAB UZ;
CL2 = BLOQUE DAB RY;
CL3 = BLOQUE DBD UZ;
CL4 = BLOQUE DBD RX;
CL5 = SYMT DEPL ROTA (0 0 0) (0 1 0) (0 0 1) SURF 0.0001;
CL6 = SYMT DEPL ROTA (0 0 0) (1 0 0) (0 0 1) SURF 0.0001;
CL = CL1 ET CL2 ET CL3 ET CL4 ET CL5 ET CL6;
*+
* CHARGEMENT
*****+
*+*****+
MOP = 'MODE' SU1 'CHARGEMENT' 'PRESSION' 'COQ4' ;
MAP = 'MATE' MOP 'PRES' 5E4 'EPAI' 0.006 ;
CHARG = 'PRES' MOP MAP ;
*+
* RESOLUTION - CALCUL ELASTIQUE
*****+
*+*****+
RIG = RIGI MODL5 MATR5;
RIG = RIG ET CL;
*+
DEP = RESO RIG CHARG;
*+
* RESULTATS
*****+
*+*****+
NOSURF = NEBO SURF ;
ELSURF = NBEL SURF ;
*+
SI (NEG GRAPH 'N');
AMPL1 = 1.E-5;
REAL1 = REAC DEP RIG;
VE = VECT REAL1 AMPL1 FX FY FZ BLEU ;
VF = VECT CHARG (AMPL1 * 20) FX FY FZ ROUGE;
VV = VE ET VF;
DEFO = DEFO SURF DEP 0.;
DEF1 = DEFO SURF DEP 25. VV VERT;
TITR 'STRU1 : DEFORMEE, CHARGEMENT, REACTIONS' ;
TRACE OEIL (DEFO ET DEF1);

TITR 'STRU1 : Deplacements UZ';
TRAC CACH SURF (EXCO DEP UZ);

DEF1 = DEFO SURF DEP 25. ROUGE;
OEIL = 0.25 -1.E6 0. ;
TITR 'STRU1 : DEFORMEE';
TRACE OEIL (DEFO ET DEF1);
FINSI;
*+
UZC = EXTR DEP UZ PC ;
UZC1 = -0.475E-3;
ERG1 = ABS ((UZC - UZC1) / UZC1) * 100 ;
*+
DZ = EXCO DEP UZ;
ZMIN = MAXI (ABS (DZ)); ZMIN = -1. * ZMIN;
ZMIN1 = -0.126E-2;
ERG2 = ABS ((ZMIN - ZMIN1) / ZMIN1) * 100 ;
*+
SAUT PAGE ;
SAUT 2 LIGN;
*+
MESS ' RESULTATS ';
MESS ' ----- ';
*+
SAUT 2 LIGN;
MESS ' DEPLACEMENT THEORIQUE AU POINT PC : ' UZC1 'METRES';
MESS ' DEPLACEMENT CALCULE AU POINT PC : ' UZC 'METRES';

```

```

MESS ' SOIT UN Ecart DE : ' ERG1 '%' ;
*
SAUT 2 LIGN;
MESS ' DEPLACEMENT THEORIQUE MAXIMUM (ABS) : ' ZMIN1 'METRES';
MESS ' DEPLACEMENT CALCULE MAXIMUM (ABS) : ' ZMIN 'METRES';
MESS ' SOIT UN Ecart DE : ' ERG2 '%' ;
*
*SAUT 1 LIGNE;
*MESS ' ABSICE DU POINT OU SE TROUVE LE MAXIMUM : ' ;
*MESS ' - ABSICE THEORIQUE : ' XX1 'METRES';
*MESS ' - ABSICE CALCULEE : ' XX 'METRES';
*MESS ' SOIT UN Ecart DE : ' ERG3 '%' ;
*
SAUT 1 LIGNE;
MESS ' Nombre de noeuds : ' NOSURF ;
MESS ' Nombre d elements : ' ELSURF ;
MESS ' Soit ' (NOSURF * 6) 'd.d.l.';
SAUT 1 LIGNE;
*
*+++++ CODE FONCTIONNEMENT *+++++
*+++++ ERGMAX = MAXI (PROG ERG1 ERG2);
*
* Il y a erreur si un des pourcentages ERG* est supérieur 5%
SI (ERGMAX < EG 5.);
    ERRE 0 ;
SINO;
    ERRE 5 ;
FINSI;
*
SAUT 1 LIGN;
TEMPS;
SAUT 1 LIGN;
FIN;

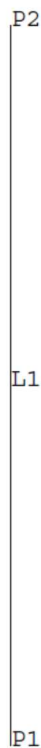
```

## 5.3 FLAMBAGE

### 5.3.1 flam1.dgibi

|                              |   |
|------------------------------|---|
| <b>Nom du fichier</b>        | flam1.dgibi   |
| <b>Type de calcul</b>        | Mécanique<br>Flambement<br>2D<br>Contraintes Planes   |
| <b>Type d'Éléments Finis</b> | COQ2  |
| <b>Référence</b>             | Solution analytique   |
| <b>Description</b>           | VOILE EN FLAMBAGE<br><br>La structure est un voile encastré au point P1 (50 0) sur lequel est appliquée une force parallèlement à sa fibre neutre initialement au point P2 (50 10) et dirigée vers le bas |
| <b>Objectif</b>              | Multiplicateur du chargement pour obtenir le premier mode de flambage<br><br>$M_C = 41,123$ (Précision relative de $1.10^{-3}\%$ )  |
| <b>Version de Cast3M</b>     | Du jour   |
| <b>Plateformes testées</b>   | IBM AiX<br>Linux 32-bits<br>Linux 64-bits<br>Windows 32-bits<br>Windows 64-bits<br>MAC OSX 64-bits  |

Tableau 27 : Informations sur le cas test flam1.dgibi



P2  
L1  
P1

Figure 41 : Maillage du cas-test flam1.dgibi en 2D

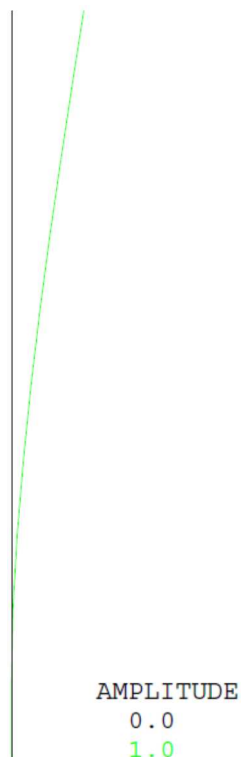


Figure 42 : Tracé du maillage initial (noir) et du maillage déformé (vert, x1)

# GUIDE DE VALIDATION

## Jeu de données :

```

*fichier : flaml.dgibi
*****
* Section : Mecanique Flambage
*****
*      Test Flaml.dgibi: Jeux de données      *
*-----*
*-----*
***** TEST FLAMI
*-----*
*      FLAMBAGE EULERIEN D'UNE POUTRE
*      ENCASTREE A UNE EXTREMITE
*-----*
* Dans cet exemple on se propose d'étudier le flambage
* d'une poutre encastrée à une de ses extrémités et
* soumise à une force parallèle à la poutre et
* appliquée à l'extrémité libre de la poutre.
*-----*
* Le flambage est visualisé en fin de calcul et le
* multiplicateur de chargement calculé est comparé à
* celui obtenu par la théorie (41.123).
***** GRAPH = 'N';
SAUT PAGE;
SI (NEG GRAPH 'N') ;
OPTI ECHO 1 ;
OPTI TRAC PSC ;
SINO ;
OPTI ECHO 0 ;
FINSI ;

SAUT PAGE;

TITRE ' FLAMBAGE D UNE POUTRE ENCASTREE ' ;
OPTI DIME 2 ELEM SEG2 MODE PLAN CONT ;
OPTI EPSI LINEAIRE;

TEMPS ;
*----- DEFINITION DU MAILLAGE -----
*DENSITE 1. ;
P1 = 50. 0. ;
P2 = 50. 10. ;
L1 = P1 D P2 ;
*
SI (NEG GRAPH 'N');
TRAC 'QUAL' L1 ;
FINSI;
*
*----- CREATION DU MODELE ET DE MMODEL -----
*
MOD1 = MODE L1 MECANIQUE ELASTIQUE COQ2;

*
* ----- DEFINITION DES CARACTERISTIQUES -----
* ----- MATERIELLES ET GEOMETRIQUES -----
*
MAT1 = MATE MOD1 YOUN 20000. NU 0.3 ;
CAR1 = CARA MOD1 EPAI 1. ;
MAT1=MAT1 ET CAR1;
*
*----- CALCUL DES RIGIDITES ELEMENTAIRES -----
*----- ET DEFINITIONS DES BLOCAGES -----
*
RIG1 = RIGI MOD1 MAT1 ;
BL1 = BLOQUE DEPL ROTA P1 ;
RIG11 = RIG1 ET BL1;
*
*----- DEFINITION DU CHARGEMENT -----
*
FE1 = FORC ( 0 -1. ) P2 ;
*
*----- RESOLUTION ET CALCUL DES CONTRAINTEES -----
*
DEP1 = RESO RIG11 FE1 ;
SIG1 = SIGM 'LINE' MOD1 MAT1 DEP1 ;
*
*--- CALCUL DE LA MATRICE DES CONTRAINTEES INITIALES ---
*
KS11 = KSIGMA MOD1 SIG1 CAR1 'FLAM' ;
*
*----- INITIALISATION DE LA TABLE -----
*----- EN ENTREE DE LA PROCEDURE FLAMBAGE -----
*
ETAB      = TABLE      ;
ETAB.'CLIM' = BL1 ;
ETAB.'SIG1' = SIG1;
ETAB.'MATE' = MAT1;
ETAB.'LAM1' = 0.001 ;
ETAB.'LAM2' = 100. ;

```

```

ETAB.'NMOD' = 1      ;
ETAB.'OBJM' = MOD1;
*
*----- APPEL A LA PROCEDURE DE FLAMBAGE -----
*
SAUT PAGE ;
STAB = FLAMBAGE ETAB ;
*
*----- RECUPERATION DES RESULTATS -----
*
LA1 = STAB . 1 . LAMB ;
SAUT PAGE ;
*
*----- DESSIN DU MODE DE FLAMBAGE -----
*
M11 = STAB . 1 . DEPL ;
DE = DEFO M11 L1 1. VERT ;
DA = DEFO M11 L1 0. NOIR ;
SI (NEG GRAPH 'N');
TRAC ( DE ET DA ) ;
FINSI;

LREF = 41.123;
ERR=100*(ABS(LREF - LA1)/LREF);
*
MESS ' ' ;
MESS ' ' ;
MESS ' MULTPLICATEUR DU CHARGEMENT ' ;
MESS ' ' ;
MESS ' SOLUTION ANALYTIQUE : ' LREF;
MESS ' SOLUTION CALCULEE : ' LA1 ;
MESS ' SOIT UN Ecart DE : ' ERR '%';

TEMPS ;
*----- CODE DE BON FONCTIONNEMENT -----
SI (ERR < 1e-3);
ERRE 0;
SINON;
ERRE 5;
FINSI;

FIN;

```

### 5.3.2 four1.dgibi

|                              |  |
|------------------------------|--|
| <b>Nom du fichier</b>        | four1.dgibi  |
| <b>Type de calcul</b>        | Mécanique<br>Flambement<br>Fourier<br>2D-axisymétrique   |
| <b>Type d'Éléments Finis</b> | COQ2   |
| <b>Référence</b>             | Solution analytique<br><br>CYLINDRE INFINI SOUMIS A UNE PRESSION EXTERNE<br><br>La structure est un cylindre infini soumis à une pression externe unitaire.<br><br>Une analyse de flambage permet de déterminer la charge critique associée au deuxième mode de Fourier (Pincement) de la structure ( $u = u^* \cos(2\pi \theta)$ )  |
| <b>Description</b>           | Le calcul est fait deux fois en tenant compte : <ul style="list-style-type: none"> <li>• des précontraintes dues à la pression externe</li> <li>• des précontraintes dues à la pression externe et des forces suiveuses (Evolution des efforts de pression avec le déplacement de la structure)</li> </ul> Multiplicateur du chargement pour les deux calculs de charge critique |
| <b>Objectif</b>              | $\begin{cases} M_{C1} = \frac{2}{3} \cdot 10^{-5} & (\text{Précision relative de } 2.10^{-5}\%) \\ M_{C2} = 5 \cdot 10^{-5} \end{cases}$   |
| <b>Version de Cast3M</b>     | Du jour  |
| <b>Plateformes testées</b>   | IBM AIX<br>Linux 32-bits<br>Linux 64-bits<br>Windows 32-bits<br>Windows 64-bits<br>MAC OSX 64-bits   |

Tableau 28 : Informations sur le cas test four1.dgibi

PB

4

3

CYL

2

1

PA

Figure 43 : Maillage éclaté du cas-test four1.dgibi en 2D-axisymétrique

**Jeu de données :**

```

*fichier : four1.dgibi
*****
* Section : Mecanique Fourier
*****
*      Test Four1.dgibi: Jeux de données
*      -----
*      *
*****
```

```

*      Test four1.dgibi: Jeux de données
*      -----
*****
```

```

* SI GRAPH = N PAS DE GRAPHIQUE AFFICHE
* SINON SI GRAPH DIFFERENT DE N TOUS
* LES GRAPHIQUES SONT AFFICHES
```

```

GRAPH = 'N' ;
```

```

SAUT PAGE;
SI (NEG GRAPH 'N') ;
    OPTI ECHO 1 ;
    OPTI TRAC PSC ;
SINO ;
    OPTI ECHO 0 ;
FINSI ;
```

```

SAUT PAGE;
*****
* TEST FOUR1
*
* CYLINCRE INFINI SOUS PRESSION EXTERNE(NU=0)
*
* Soit un cylindre infini soumis à une pression externe
*
* Une analyse de flambage permet de déterminer la charge critique
* associée au deuxième mode de Fourier de la structure :
* (u = u*cos(2*Teta) )
*
* Le calcul est fait deux fois
* 1- Avec les précontraintes dues à la pression externe
* 2- Avec en plus la prise en compte des forces suivantes (Evolution
*    des efforts de pression avec le déplacement de la structure)
*
```

```

*****
TITRE 'CYLINDRE INFINI SOUS PRESSION EXTERNE';
OPTI DIME 2 ELEM SEG2 MODE FOUR 0;
OPTI EPSI LINEAIRE;
```

```

TEMPS ;
```

```

*----- CONSTRUCTION DE LA GEOMETRIE -----
PA=1000. 0.;PB=1000. 100.;PO1=0. 0.;PO2=0. 100.;
CYL = PA D 4 PB;
*
```

```

SI (NEG GRAPH 'N');
TRAC 'QUAL' ECLA ELEM CYL;
FINSI;
*
```

```

MOD1 = MODE CYL MECANIQUE ELASTIQUE COQ2;
```

```

*----- DECLARATION DE FOURIER NOHARM POUR LES OBJETS -----
*----- QUI SERONT UTILISES POUR PLUSIEURS -----
*----- NUMEROS D'HARMONIQUE -----
*
```

```

OPTI MODE FOUR NOHARM;
*
```

```

*----- CONDITIONS AUX LIMITES SYMETRIQUES -----
*
```

```

SYMB = SYMT CYL DEPL ROTA PA PO1 0.5;
SYMH = SYMT CYL DEPL ROTA PB PO2 0.5;
CDL = SYMB ET SYMH;
*
```

```

*----- MATERIAU ET CARACTERISTIQUES -----
*
```

```

MAT = MATE MOD1 YOUN 20000. NU 0. ;
CAR = CARA MOD1 EPAL 1. ;
MAT = MAT ET CAR ;
*
```

```

*----- DECLARATION DE FOURIER MODE 0 -----
*----- POUR LE CALCUL DES CONTRAINTEES -----
*
```

```

OPTI MODE FOUR 0;
MOP = 'MODE' CYL 'CHARGEMENT' 'PRESSION' 'COQ2' ;
MAP = 'MATE' MOP 'PRES' 1. ;
MOD1 = MOD1 ET MOP ; MAT = MAT ET MAP ;
FP = 'PRES' MOP MAP ;
*
```

```

RIG = RIGI MOD1 MAT;
```

```

RIGADD = RIGI UT 1.E-4 PA ;
```

```

AAA = RIG ET CDL ET RIGADD ;
U = RESO AAA FP ;
SIGMA = SIGMA U MOD1 MAT;
*
*----- DECLARATION DE FOURIER MODE 2 -----
*----- POUR L'ANALYSE DE FLAMBAGE -----
*
OPTI MODE FOUR 2;
PP = MANU CHPO CYL 1 P 1. ;
*
MKSII = KSIGMA MOD1 MAT (SIG * -1.) FLAM;
RIG = RIGI MOD1 MAT ;
*
*----- RECHERCHE DE LA 1ERE FREQUENCE PROPRE -----
*
MODF = VIBR PROC (PROG 0.) (RIG ET CDL) MKSII;
LAMBDA1=((TIRE MODF FREQ RANG 1) * PI * 2) ** 2;
ERR1 = 100*(ABS((2E-5/3) - LAMBDA1)/(2E-5/3));

MKP = KP PP MOP FLAM ;
MODF = VIBR PROC (PROG 0.) (RIG ET CDL) (MKSII ET MKP);
LAMBDA2= ((TIRE MODF FREQ RANG 1) * 2 * PI) ** 2;
ERR2 = 100*(ABS(5E-6 - LAMBDA2)/5E-6) ;

SAUT PAGE ;
SAUT 5 LIGN ;
MESS 'K(SIG) SEUL : ON DOIT TROUVER LAMBDA= 6.66E-6' ;
MESS '          LE CALCUL DONNE LAMBDA=' LAMBDA1 ;
MESS '          SOIT UN ECART DE           : ' ERR1 '%' ;
SAUT 2 LIGN ;

MESS 'K(SIG)+K(P) : ON DOIT TROUVER LAMBDA= 5E-6' ;
MESS '          LE CALCUL DONNE LAMBDA=' LAMBDA2 ;
MESS '          SOIT UN ECART DE           : ' ERR2 '%' ;
SAUT 2 LIGN ;

TEMPS ;
*----- CODE DE FONCTIONNEMENT -----
ERRMAX=MAXI (PROG ERR1 ERR2);

SI (ERRMAX < 2e-5 );
    ERRE 0;
SINON ;
    ERRE 5;
FINSI;

FIN;
```

## 5.3.3 four2.dgibi

|                              |  |
|------------------------------|--|
| <b>Nom du fichier</b>        | four2.dgibi  |
| <b>Type de calcul</b>        | Mécanique<br>Flambement<br>Fourier<br>2D-axisymétrique   |
| <b>Type d'Éléments Finis</b> | QUA8   |
| <b>Référence</b>             | Solution analytique  |
| <b>Description</b>           | <p>CYLINDRE INFINI SOUMIS A UNE PRESSION EXTERNE</p> <p>La structure est un cylindre infini soumis à une pression externe unitaire.</p> <p>Une analyse de flambage permet de déterminer la charge critique associée au 10 premiers modes de Fourier de la structure (<math>u = u^* \cos(n^\circ \Theta)</math>)</p> <p>Multiplicateur du chargement pour les deux calculs de charge critique</p> $\begin{cases} M_{C2} = \frac{4}{6} \cdot 10^{-5} \\ M_{C3} = \frac{9}{6} \cdot 10^{-5} \end{cases} \quad \begin{cases} M_{C4} = \frac{16}{6} \cdot 10^{-5} \\ M_{C5} = \frac{25}{6} \cdot 10^{-5} \end{cases} \quad \begin{cases} M_{C6} = \frac{36}{6} \cdot 10^{-5} \\ M_{C7} = \frac{49}{6} \cdot 10^{-5} \end{cases} \quad \begin{cases} M_{C8} = \frac{64}{6} \cdot 10^{-5} \\ M_{C9} = \frac{81}{6} \cdot 10^{-5} \end{cases} \quad \begin{cases} M_{C10} = \frac{100}{6} \cdot 10^{-5} \end{cases}$ <p>(Précision relative de 1%)</p> |
| <b>Version de Cast3M</b>     | Du jour  |
| <b>Plateformes testées</b>   | IBM AiX<br>Linux 32-bits<br>Linux 64-bits<br>Windows 32-bits<br>Windows 64-bits<br>MAC OSX 64-bits   |

Tableau 29 : Informations sur le cas test four2.dgibi

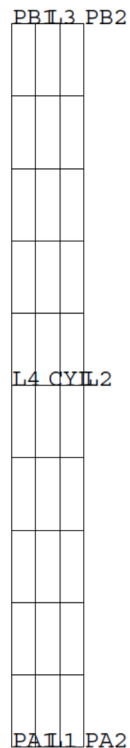


Figure 44 : Maillage éclaté du cas-test four2.dgibi en 2D-axisymétrique

# GUIDE DE VALIDATION

## Jeu de données :

```

* fichier : four2.dgibi
*****
* Section : Mecanique Fourier
*****
* Test Four2.dgibi: Jeux de données *
* ----- *
* ----- *
***** Test four2.dgibi: Jeux de données *
* ----- *
***** SI GRAPH = N PAS DE GRAPHIQUE AFFICHE
* SINON SI GRAPH DIFFERENT DE N TOUS
* LES GRAPHIQUES SONT AFFICHES
GRAPH = 'N' ;
SAUT PAGE;
SI (NEG GRAPH 'N') ;
    OPTI ECHO 1 ;
    OPTI TRAC PSC ;
SINO ;
    OPTI ECHO 0 ;
FINSI ;

SAUT PAGE;
*****
* TEST FOUR2
*
* CYLINDRE INFINI SOUS PRESSION EXTERNE(NU=0)
*
* Soit un cylindre infini soumis a une pression externe.
*
* Une analyse de flambage permet de determiner la charge critique
* associee aux 10 premiers modes de Fourier de la structure :
* (u = u0*cos(2*Teta) )
* (u = u0*cos(3*Teta) )
* (u = u0*cos(4*Teta) )
* (u = u0*cos(5*Teta) )
* ...
* Les elements utilisés sont des éléments massifs.
*
* Comparaison a une solution analytique
*****
*
TITRE 'CYLINDRE INFINI SOUS PRESSION EXTERNE';
OPTI DIME 2 ELEM qua8 MODE FOUR 0;
OPTI EPSI LINEAIRE;
*
*----- CONSTRUCTION DE LA GEOMETRIE -----
*
PA1=999.5 0.;PB1=999.5 10.;PO1=0. 0.;PO2=0. 10.;
PA2=1000.5 0.;PB2=1000.5 10.;
L1 = PA1 DROI 5 PA2;
L2 = PA2 DROI 19 PB2;
L3 = PB2 DROI 5 PB1;
L4 = PB1 DROI 19 PA1;

CYL = DALLER L1 L2 L3 L4 PLAN;
SI (NEG GRAPH 'N');
    TRAC 'QUAL' CYL;
FINSI;

MOD1=MODE CYL MECANIQUE ELASTIQUE qua8;

*
*--- DECLARATION DE FOURIER NOHARM POUR LES OBJETS QUI SERONT UTILISES --
*----- POUR PLUSIEURS NUMEROS D'HARMONIQUE -----
*
OPTI MODE FOUR NOHARM;
*
*
*----- CONDITIONS AUX LIMITES SYMETRIQUES -----
*
SYMB=SYMT CYL DEPL PA1 PO1 0.05;
SYM1=SYMT CYL DEPL PB1 PO2 0.05;
CDL=SYMB ET SYMH;
*
*----- MATERIAU ET CARACTERISTIQUES -----
*
MAT =MATE MOD1 YOUN 20000. NU 0.;

*----- DECLARATION DE FOURIER MODE 0 POUR LE CALCUL DES CONTRAINTEES -----
*
OPTI MODE FOUR 0;

FP=PRES MASS MOD1 1. L2 ;
RIG=RIGI MOD1 MAT;
*
*
AAA = RIG ET CDL et (bloq PA1 UT);
U = RESO AAA FP ;
SIG = SIGMA U MOD1 MAT;

```

## 5.4 PLASTICITÉ

### 5.4.1 plas1.dgibi

|                              |   |
|------------------------------|---|
| <b>Nom du fichier</b>        | plas1.dgibi   |
| <b>Type de calcul</b>        | Mécanique<br>Plastique<br>2D<br>Contraintes Planes  |
| <b>Type d'Éléments Finis</b> | QUA4  |
| <b>Référence</b>             | Solution Analytique   |
| <b>Description</b>           | <p>STRUCTURE PLANE AVEC RAIDISSEURS</p> <p>Une plaque rectangulaire est soumise à une flexion pure. La flexion est imposée par le déplacement des extrémités de la plaque en fonction du temps. Le point A est déplacé selon UX de <math>1.10^{-3}</math>m et le point B selon UX de <math>-1.10^{-3}</math>m.</p> <p>Au premier pas de temps (<math>t=0,02875</math>) la structure se trouve dans le domaine élastique et au deuxième pas de temps (<math>t=0,05</math>) dans le domaine plastique.</p> <p>Moments fléchissants calculés à partir des forces de réaction aux 2 pas de temps :</p> $M_{z1} = 805 \text{ kNm}$ (Précision relative de 1,5%)<br>$M_{z2} = 1074 \text{ kNm}$ |
| <b>Objectif</b>              | Du jour   |
| <b>Version de Cast3M</b>     | IBM AiX<br>Linux 32-bits<br>Linux 64-bits<br>Windows 32-bits<br>Windows 64-bits<br>MAC OSX 64-bits  |
| <b>Plateformes testées</b>   |   |

Tableau 30 : Informations sur le cas test plas1.dgibi

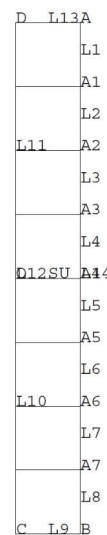


Figure 45 : Maillage du cas-test plas1.dgibi en 2D

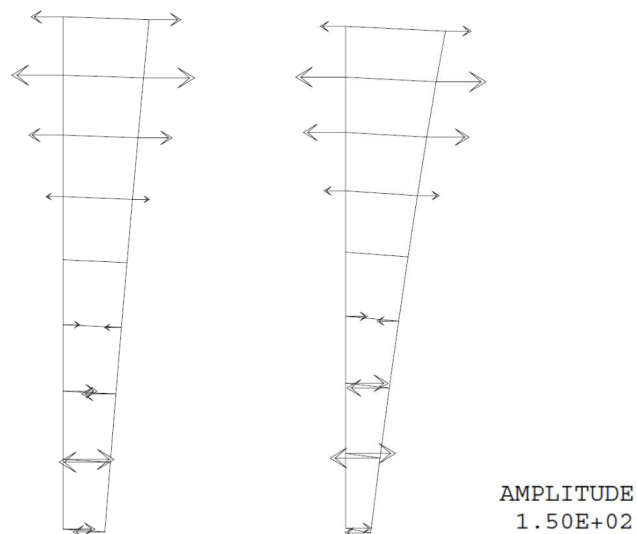


Figure 46 : Tracé du maillage déformé ( $\times 105$ ) au pas de temps 1 ( $t=0,02875$  à gauche) et au pas de temps 2 ( $t=0,05$  à droite). Les forces de réaction (flèche noires) sont également représentées

## Jeu de données :

```

* fichier : plas1.dgibi
*****
* Section : Mecanique Plastique
*****
*           Test Plas1.dgibi: Jeux de données      *
*           -----                                     *
*                                                 *
* CAS TEST DU 91/10/24    PROVENANCE : MILL
* CAS TEST DU 91/10/15    PROVENANCE : SIRU
*****
*           Test plas1.dgibi: Jeux de données      *
*           -----                                     *
*                                                 *
*****
```

\* SI GRAPH = N PAS DE GRAPHIQUE AFFICHE  
\* SINON SI GRAPH DIFFERENT DE N TOUS  
\* LES GRAPHIQUES SONT AFFICHES

GRAPH = 'N' ;  
\* GRAPH = 'O' ;

SAUT PAGE;

\* TEST PLAS1

\* Sortie du domaine élastique et phase plastique  
\* (comportement élasto-plastique parfait)

\* Une plaque rectangulaire est soumise à une flexion  
\* pure. La flexion est imposée par le déplacement des  
\* extrémités de la plaque (voir schéma ci-dessous) en  
\* fonction du temps.

\* Au premier pas de temps (0.02875) on se trouve dans  
\* le domaine élastique et au deuxième pas de temps  
\* (0.05) on se trouve dans le domaine plastique. Au  
\* deux pas de temps, les moments fléchissants calculés  
\* à partir des forces de réaction sont comparés avec  
\* les résultats théoriques.

\*-----

\* D . \_\_\_\_\_. A ----> D1  
\* |  
\* |  
\* | . \_\_\_\_\_. A1  
\* |  
\* | . \_\_\_\_\_. A2  
\* |  
\* | . \_\_\_\_\_. A3  
\* |  
\* O . \_\_\_\_\_. A4  
\* |  
\* | . \_\_\_\_\_. A5  
\* |  
\* | . \_\_\_\_\_. A6  
\* |  
\* | . \_\_\_\_\_. A7  
\* |  
\* C . \_\_\_\_\_. B <---- D2

\*-----

\* LES POINTS A1 A A7 SERVIRONT A FAIRE VARIER LE  
\* DEPLACEMENT IMPOSE LINEAIREMENT DE A (D1) A B (D2)

\*-----

TITRE 'PLAQUE RECTANGULAIRE EN FLEXION PURE' ;  
OPTION ECHO 1 ;  
OPTION DIME 2 ELEM QUA4 MODE PLAN CONT ;  
TEMPS ;  
\*-----  
\*----- Definition de la geometrie -----  
\*-----

O = 0 0 ;  
A = 12.5E-3 50E-3 ;  
B = 12.5E-3 -50E-3 ;  
C = 0 -50E-3 ;  
D = 0 50E-3 ;  
\*  
A1 = 12.5E-3 37.5E-3 ;  
A2 = 12.5E-3 25E-3 ;  
A3 = 12.5E-3 12.5E-3 ;  
A4 = 12.5E-3 0 ;  
A5 = 12.5E-3 -12.5E-3 ;  
A6 = 12.5E-3 -25E-3 ;  
A7 = 12.5E-3 -37.5E-3 ;

```

A7 = 12.5E-3 -37.5E-3 ;
*
L1 = A DROIT 1 A1 ;
L2 = A1 DROIT 1 A2 ;
L3 = A2 DROIT 1 A3 ;
L4 = A3 DROIT 1 A4 ;
L5 = A4 DROIT 1 A5 ;
L6 = A5 DROIT 1 A6 ;
L7 = A6 DROIT 1 A7 ;
L8 = A7 DROIT 1 B ;

L14 = L1 ET L2 ET L3 ET L4 ET L5 ET L6 ET L7 ET L8 ;

L9 = B DROIT 1 C ;
L10 = C DROIT 4 O ;
L11 = O DROIT 4 D ;
L12 = L10 ET L11 ;
L13 = D DROIT 1 A ;
*
SU = L14 L9 L12 L13 DALL PLAN ;
ELIM 0.01 SU ;
SI(NEG GRAPH 'N');
TRACE 'QUAL' SU ;
FINSI;

*----- Définition des conditions aux limites -----
*----- et des déplacements imposés -----
*
CL1 = BLOQ L12 UX ;
CL1B = BLOQ O UY ;
CL2 = BLOQ A UX ;
CL3 = BLOQ B UX ;
CL = CL1 ET CL1B ET CL2 ET CL3 ;
*
D1 = DEPI CL2 1E-3 ;
D2 = DEPI CL3 -1E-3 ;
DEP = D1 ET D2 ;

*-----
* Exemple : EN A1 , D = 7/8 D1 + 1/8 D2
*-----
*
*----- Les déplacements en chaque noeud -----
*----- est une relation linéaire des -----
*----- déplacements des extrémités -----
*----- Crédit de la rigidité correspondante -----
*
R1 = RELA 8 UX A1 - 7 UX A - 1 UX B ;
R2 = RELA 8 UX A2 - 6 UX A - 2 UX B ;
R3 = RELA 8 UX A3 - 5 UX A - 3 UX B ;
R4 = RELA 8 UX A4 - 4 UX A - 4 UX B ;
R5 = RELA 8 UX A5 - 3 UX A - 5 UX B ;
R6 = RELA 8 UX A6 - 2 UX A - 6 UX B ;
R7 = RELA 8 UX A7 - 1 UX A - 7 UX B ;
R = R1 ET R2 ET R3 ET R4 ET R5 ET R6 ET R7 ;
*
*----- Utilisation de la procédure PASAPAS -----
*-- Les objets utilisés par la procédure PASAPAS sont -
*----- définis dans les lignes qui suivent -----
*
MO= MODE SU MECANIQUE ELASTIQUE PLASTIQUE PARFAIT QUA4;

*
*----- Définition du matériau et de la rigidité -----
*----- SIGY est la limite élastique -----
*
MAT1 = MATE MO YOUN 2.1E11 SIGY 483E6 NU 0.3 ;
RI1 = RIGI MO MAT1 ;
RIG1 = RI1 ET CL ET R ;
*
*----- Crédit d'une relation linéaire entre -----
*----- le déplacement et le temps -----
*
LI1 = PROG 0. 1. ;
LI2 = PROG 0. 1. ;
EV = EVOL MANU T LI1 F(T) LI2 ;
*
* Remarque : au temps T, le déplacement vaut F(T)*D .
*
CH1 = CHAR 'DIMP' DEP EV ;
*
*----- Crédit de la liste des pas de calcul -----
*-- 0.02875 est le dernier incrément élastique --
*- 0.05 est un incrément plastique (calcul analytique)
*
LIS1 = PROG 0.02875 0.05 ;
*
*----- Calcul par la procédure PASAPAS -----
*
TAB1 = TABLE 'PASAPAS' ;
TAB1.'BLOCAGES_MECANIQUES' = CL 'ET' R ;
TAB1.'MODELE' = MO ;
TAB1.'CHARGEMENT' = CH1 ;
TAB1.'CARACTERISTIQUES' = MAT1 ;

```

## GUIDE DE VALIDATION

```

TAB1.'TEMPS_CALCULES' = LIS1;

PASAPAS TAB1 ;

*... Test de la procedure EXPLORER ...

* ...en interactif
SI (NEG GRAPH 'N');
    EXPLORER TAB1;
FINSI;

* ...en ps
opti trac PSC;
* par defaut -> contrainte sur maillage deformee d'amplification auto
EXPLORER TAB1;
* reaction puis contrainte sur maillage deformee d'amplification x200
toto = tab1;
toto . 'AMPL' = 200.;
EXPLORER TAB1 (mots 'DEPL' 'REAC' 'VAR') toto;
EXPLORER TAB1 (mots 'DEFL' 'CONT' 'VAR') toto;
* evolution avec le temps de UX en A
toto . 'EVOL' = tab1;
toto . 'EVOL' . 'TYPE' = mot 'TEMP';
toto . 'EVOL' . 'COMP' = mot 'UX';
toto . 'EVOL' . 'POIN' = A;
EXPLORER TAB1 (mots 'DEPL' 'EVOL') toto;
* evolution avec le temps de FY en O
toto . 'EVOL' . 'COMP' = mot 'FY';
toto . 'EVOL' . 'POIN' = O;
EXPLORER TAB1 (mots 'REAC' 'EVOL') toto;
* evolution avec le temps de SMX (zone 1, elem 1, ptg 1)
toto . 'EVOL' . 'COMP' = mot 'SMX';
EXPLORER TAB1 (mots 'CONT' 'EVOL') toto;
* evolution spatiale de FX le long de L14 (ligne A vers B)
toto . 'EVOL' . 'TYPE' = mot 'ESPA';
toto . 'EVOL' . 'COMP' = mot 'FX';
toto . 'EVOL' . 'LIGN' = L14;
EXPLORER TAB1 (mots 'REAC' 'EVOL') toto;

*
*----- calcul et impression des résultats -----
*
REAL1 = REAC RIG1 (TAB1.DEPLACEMENTS.1) ;
REAL2 = REAC RIG1 (TAB1.DEPLACEMENTS.2) ;

R11 = EXTR REAL1 FX A ;
R21 = EXTR REAL2 FX A ;
R12 = EXTR REAL1 FX A1 ;
R22 = EXTR REAL2 FX A1 ;
R13 = EXTR REAL1 FX A2 ;
R23 = EXTR REAL2 FX A2 ;
R14 = EXTR REAL1 FX A3 ;
R24 = EXTR REAL2 FX A3 ;
*
* Pour obtenir les moments fléchissants, les réactions
* - obtenues sont multipliées par leur bras de levier -
*
M1 = (2.E-3)*((0.050*R11)+(0.0375*R12)+(0.025*R13)
+(0.0125*R14)) ;
M2 = (2.E-3)*((0.050*R21)+(0.0375*R22)+(0.025*R23)
+(0.0125*R24)) ;

MR1=805. ;
MR2=1074. ;

RESI1=100. * (ABS((M1-MR1)/MR1));
RESI2=100. * (ABS((M2-MR2)/MR2));

SAUT PAGE ; SAUT 2 LIGN ;

SAUT 1 LIGN ;
MESS 'INCREMENT ELASTIQUE      Theorique : M1= 805 KN ' ;
MESS 'INCREMENT ELASTIQUE      Calcule   : M1= 'M1 'KN' ;
MESS ' SOIT UN ECART DE        : ' RESI1 '%' ;
SAUT 1 LIGN ;
MESS 'INCREMENT PLASTIQUE      Theorique : M2= 1074 KN ' ;
MESS 'INCREMENT PLASTIQUE      Calcule   : M2= 'M2 'KN' ;
MESS ' SOIT UN ECART DE        : ' RESI2 '%' ;
*
TEMPS ;
*       CODE FONCTIONNEMENT
SI((RESI1 <EG 1.5) ET (RESI2 <EG 1.5));
    ERRE 0;
SINO;
    ERRE 5;
FINSI;

FIN ;

```

### 5.4.2 plas2.dgibi

|                              |  |
|------------------------------|--|
| <b>Nom du fichier</b>        | plas2.dgibi  |
| <b>Type de calcul</b>        | Mécanique<br>Plastique<br>2D-axisymétrique   |
| <b>Type d'Éléments Finis</b> | QUA4   |
| <b>Référence</b>             | Solution Analytique  |
| <b>Description</b>           | <p>SPHERE CREUSE SOUMISE A UNE PRESSION INTERNE</p> <p>La structure est une sphère creuse de 1mm de rayon intérieur et 2mm de rayon extérieur. Elle est soumise à une pression interne variable</p> <ul style="list-style-type: none"> <li>• 100MPa à t<sub>1</sub>=0s</li> <li>• 358,9MPa à t<sub>2</sub>=1000s</li> </ul> <p>Cette évolution de la pression entraîne un comportement plastique jusqu'en r=1,5mm.</p> |
| <b>Objectif</b>              | Déplacement radial sur la peau interne de la sphère aux deux instants<br>$\begin{cases} U_r(t_0) = 0,4\mu m \\ U_r(t_1) = 2,83\mu m \end{cases}$ (Précision relative de 3,5%)  |
| <b>Version de Cast3M</b>     | Du jour  |
| <b>Plateformes testées</b>   | IBM AiX<br>Linux 32-bits<br>Linux 64-bits<br>Windows 32-bits<br>Windows 64-bits<br>MAC OSX 64-bits   |

Tableau 31 : Informations sur le cas test plas2.dgibi

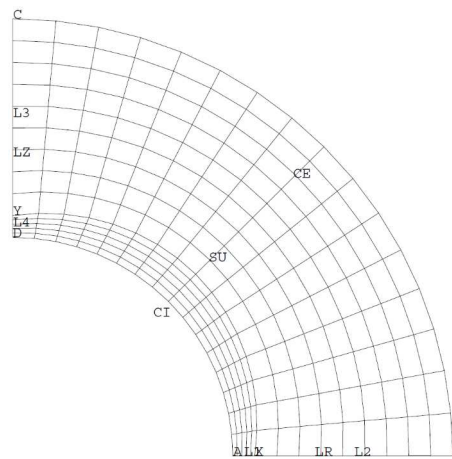


Figure 47 : Maillage du cas-test plas2.dgibi en 2D-axisymétrique

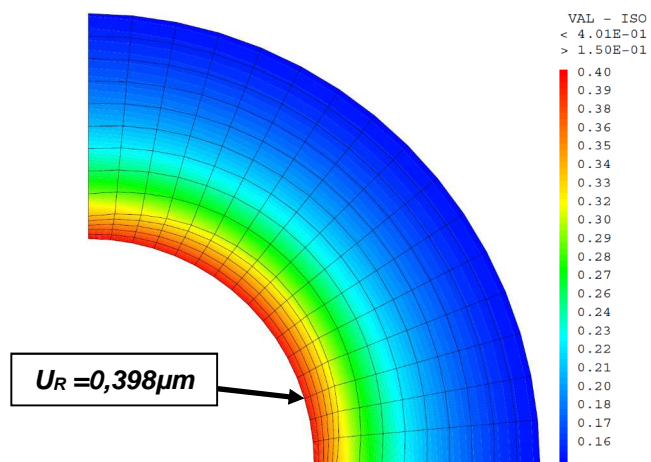


Figure 48 : Tracé du champ de déplacement radial au temps  $t_1$

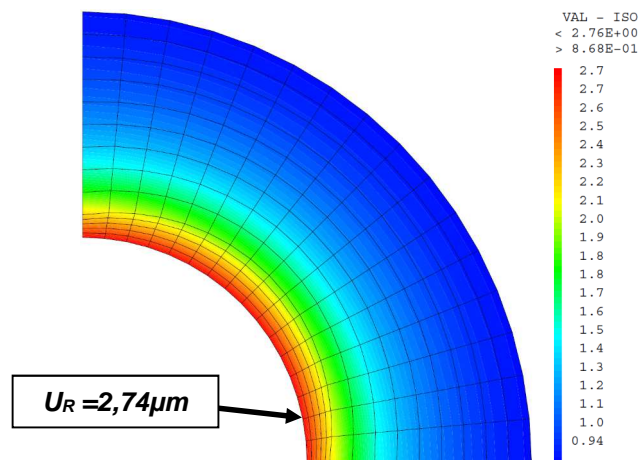


Figure 49 : Tracé du champ de déplacement radial au temps  $t_2$

**Jeu de données :**

```

*fichier : plas2.dgibi
*****
* Section : Mecanique Plastique
*****
*      Test Plas2.dgibi: Jeux de données *
*-----*
*-----*
***** Test plas2.dgibi: Jeux de données *****
*-----*
*-----*
***** SI GRAPH = N PAS DE GRAPHIQUE AFFICHE
* SINON SI GRAPH DIFFERENT DE N TOUS
* LES GRAPHIQUES SONT AFFICHES

GRAPH = 'N' ;

SAUT PAGE;
SI (NEG GRAPH 'N') ;
    OPTI ECHO 1 ;
    OPTI TRAC PSC ;
SINO ;
    OPTI ECHO 0 ;
FINSI ;

SAUT PAGE;
***** TEST PLAS2
*
* Sortie du domaine élastique et phase plastique
* (comportement élasto-plastique parfait)
* Calcul axisymétrique avec prise en compte des
* symétries.
*
* Une sphère de rayon extérieur égal à 2 mm et de rayon
* intérieur égal à 1 mm (centre O et contour ABCD) est
* soumise à une pression interne.
*
* La pression évolue en fonction du temps de 100 MPa à
* 0 s jusqu'à 358.9 MPa à 1000 s.
*
* Cette évolution de la pression entraîne un
* comportement plastique jusqu'en R=1.5 mm.
*
* Les déplacements radiaux à 0 s et à 1000 s
* sont comparés aux valeurs théoriques (0.4 microns
* et 2.83 microns)
*
***** TITRE 'PLAS2 - SPHERE SOUS PRESSION INTERNE';
OPTION DIME 2 ELEM QUA4 MODE AXIS ;
TEMPS ;
*
*----- Définition de la géométrie -----
*
O = 0 0 ;
A = 1E-3 0 ;
B = 2E-3 0 ;
C = 0 2E-3 ;
D = 0 1E-3 ;
*
*-----
* La peau interne est maillée de façon plus fine pour
* un meilleur calcul des contraintes radiales, les
* points X et Y sont introduits à cet effet.
*-----
*
X = 1.1E-3 0 ;
Y = 0 1.1E-3 ;
*
L1 = A DROI 5 X ;
L2 = X DROI 9 B ;
LR = L1 ET L2 ;
CE = CERC 16 B O C ;
L3 = C DROI 9 Y ;
L4 = Y DROI 5 D ;
LZ = L3 ET L4 ;
CI = CERC 16 D O A ;
*
SU = LR CE LZ CI DALL PLAN ;
*
SI (NEG GRAPH 'N');
    TRAC 'QUAL' SU ;
FINSI;
*
*----- Définition des conditions aux limites -----
*----- (conditions de symétrie) -----
*
CL1 = BLOQ LR UZ ;
CL2 = BLOQ LZ UR ;
CL = CL1 ET CL2 ;
*
*----- Utilisation de la procedure PASAPAS -----

```

```

*--- Les objets utilisés par la procédure PASAPAS sont -
*----- définis dans les lignes qui suivent -----
*
MO= MODE SU MECANIQUE ELASTIQUE PLASTIQUE PARFAIT QUA4;
*
*----- SIGY est la limite élastique
*-----*
*----- Définition du matériau -----
*
MAT1 = MATE MO YOUN 2E11 SIGY 300E6 NU 0.3;
*
*----- Définition en Pa de la pression unitaire -----
*
FO = PRES MASS MO 1E6 CI ;
*
*----- au pas de temps T, la pression vaut F(T)*FO
*
LI1 = PROG 0. 1000. ;
LI2 = PROG 0. 1000. ;
EV = EVOL MANU T LI1 F(T) LI2 ;
CHAI = CHAR MECA FO EV ;
*
*--- Liste des pas de calcul, 100. MPa est la pression -
*--- de début de plastification, 358.9 MPa engendre --
*--- un comportement plastique jusqu'en R=1.5 mm ---
*
LIS1 = PROG 100. 358.9 ;
TAB1 = TABLE ;
TAB1.'BLOCAGES_MECANIQUES' = CL;
TAB1.'MODELE' = MO;
TAB1.'CARACTERISTIQUES' = MAT1;
TAB1.'CHARGEMENT' = CHAI;
TAB1.'TEMPS_CALCULES' = LIS1;

PASAPAS TAB1 ;
*
*----- Calcul et impression des résultats -----
*
RE1 = (TAB1.DEPLACEMENTS.1) ;
RE2 = (TAB1.DEPLACEMENTS.2) ;

SI (NEG GRAPH 'N');
* Premier Increment
TITR 'Deplacement Radial apres le premier increment' ;
DEPR = EXCO RE1 'UR';
DEPZ = EXCO RE1 'UZ';
DEPRAD = (((DEPR**2) + (DEPZ**2))**0.5) * 1.e6;
TRAC SU DEPRAD;

TITR 'Deplacement Radial apres le deuxième increment' ;
DEPR = EXCO RE2 'UR';
DEPZ = EXCO RE2 'UZ';
DEPRAD = (((DEPR**2) + (DEPZ**2))**0.5) * 1.e6;
TRAC SU DEPRAD;
FINSI;

*
V1 = EXTR RE1 UR A ;
V1 = 1E6*V1 ;
V2 = EXTR RE2 UR A ;
V2 = 1E6*V2 ;

ERR1 = 100*(ABS(0.4 - V1)/0.4) ;
ERR2 = 100*(ABS(2.83 - V2)/2.83);

SAUT PAGE ; SAUT 2 LIGN ;

MESS 'EN R=1MM : DEPLACEMENT THEORIQUE ET CALCULE' ;
SAUT 2 LIGN ;
MESS 'INCREMENT ELASTIQUE THEORIQUE UR= 0.40 MICRONS' ;
MESS 'INCREMENT ELASTIQUE CALCULE UR= 'V1 'MICRONS' ;
MESS ' SOIT UN ECART DE          ' ERR1 '%' ;
MESS 'INCREMENT PLASTIQUE THEORIQUE UR= 2.83 MICRONS' ;
MESS 'INCREMENT PLASTIQUE CALCULE UR= 'V2 'MICRONS' ;
MESS ' SOIT UN ECART DE          ' ERR2 '%' ;
TEMPS ;
*----- Code de fonctionnement -----
LIST1=PROG ERR1 ERR2;

ERRMAX=MAXI (PROG ERR1 ERR2);

SI (ERRMAX < 3.5);
    ERRE 0;
SINON;
    ERRE 5;
FINSI;

FIN;

```



### 5.4.3 plas4.dgibi

| <b>Nom du fichier</b>        | plas4.dgibi   |       |      |       |    |    |                  |     |       |      |       |                  |     |      |      |      |                  |     |      |      |      |
|------------------------------|---|-------|------|-------|----|----|------------------|-----|-------|------|-------|------------------|-----|------|------|------|------------------|-----|------|------|------|
| <b>Type de calcul</b>        | Mécanique<br>Plastique<br>3D  |       |      |       |    |    |                  |     |       |      |       |                  |     |      |      |      |                  |     |      |      |      |
| <b>Type d'Éléments Finis</b> | CUB8  |       |      |       |    |    |                  |     |       |      |       |                  |     |      |      |      |                  |     |      |      |      |
| <b>Référence</b>             | Solution Analytique   |       |      |       |    |    |                  |     |       |      |       |                  |     |      |      |      |                  |     |      |      |      |
| <b>Description</b>           | <p>CUBE DE 2 ELEMENTS EN TRACTION UNIAXIALE</p> <p>La structure est un cube constitué de 2 éléments soumis à une traction uniaxiale :</p> <ul style="list-style-type: none"> <li>• blocage des déplacements suivant Y et Z</li> <li>• déplacements imposés suivant X sur les surfaces SU1 et SU2</li> </ul> <p>Contraintes SM<sub>xx</sub>, SM<sub>yy</sub> et SM<sub>zz</sub> aux 4 instants de calcul pour le premier point de Gauss du premier élément.</p>  |       |      |       |    |    |                  |     |       |      |       |                  |     |      |      |      |                  |     |      |      |      |
| <b>Objectif</b>              | <table border="1" style="margin-left: auto; margin-right: auto;"> <thead> <tr> <th></th> <th>T1</th> <th>T2</th> <th>T3</th> <th>T4</th> </tr> </thead> <tbody> <tr> <td>SM<sub>xx</sub></td> <td>7,5</td> <td>11,66</td> <td>4,16</td> <td>-3,33</td> </tr> <tr> <td>SM<sub>yy</sub></td> <td>2,5</td> <td>6,66</td> <td>4,16</td> <td>1,66</td> </tr> <tr> <td>SM<sub>zz</sub></td> <td>2,5</td> <td>6,66</td> <td>4,16</td> <td>1,66</td> </tr> </tbody> </table> <p>Contraintes en MPa<br/>(Précision relative de 0,5%)</p> |       | T1   | T2    | T3 | T4 | SM <sub>xx</sub> | 7,5 | 11,66 | 4,16 | -3,33 | SM <sub>yy</sub> | 2,5 | 6,66 | 4,16 | 1,66 | SM <sub>zz</sub> | 2,5 | 6,66 | 4,16 | 1,66 |
|                              | T1  | T2    | T3   | T4    |    |    |                  |     |       |      |       |                  |     |      |      |      |                  |     |      |      |      |
| SM <sub>xx</sub>             | 7,5   | 11,66 | 4,16 | -3,33 |    |    |                  |     |       |      |       |                  |     |      |      |      |                  |     |      |      |      |
| SM <sub>yy</sub>             | 2,5   | 6,66  | 4,16 | 1,66  |    |    |                  |     |       |      |       |                  |     |      |      |      |                  |     |      |      |      |
| SM <sub>zz</sub>             | 2,5   | 6,66  | 4,16 | 1,66  |    |    |                  |     |       |      |       |                  |     |      |      |      |                  |     |      |      |      |
| <b>Version de Cast3M</b>     | Du jour   |       |      |       |    |    |                  |     |       |      |       |                  |     |      |      |      |                  |     |      |      |      |
| <b>Plateformes testées</b>   | IBM AiX<br>Linux 32-bits<br>Linux 64-bits<br>Windows 32-bits<br>Windows 64-bits<br>MAC OSX 64-bits  |       |      |       |    |    |                  |     |       |      |       |                  |     |      |      |      |                  |     |      |      |      |

Tableau 32 : Informations sur le cas test plas4.dgibi

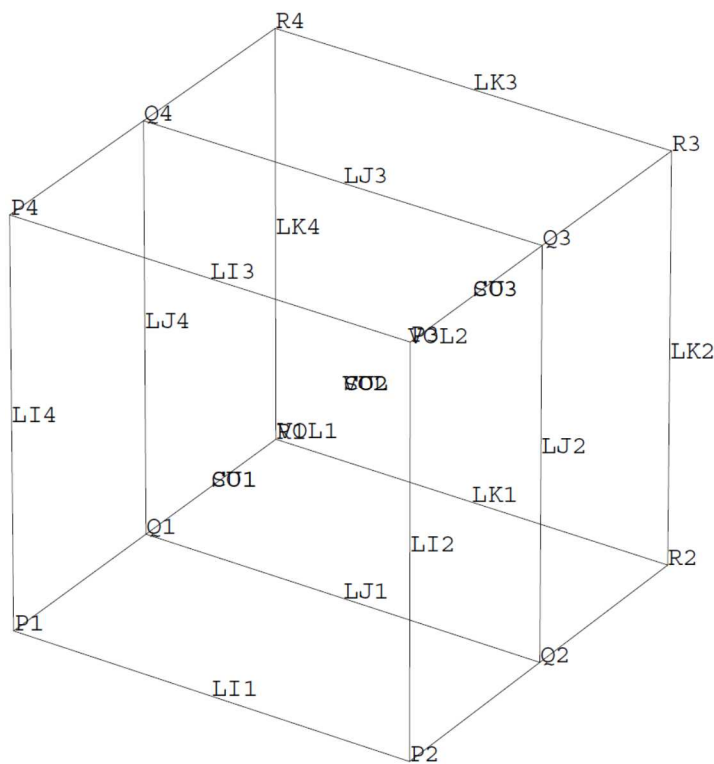


Figure 50 : Maillage du cas-test plas4.dgibi en 3D

**Jeu de données :**

```

* fichier : plas4.dgibi
*****
* Section : Mecanique Plastique
*****
* Test Plas4.dgibi: Jeux de données *
* -----
* -----
* -----



***** CONDITIONS AUX LIMITES
*-----
CL1 = BLOQUE SU3 UX;
CL2 = BLOQUE VOL UY UZ;
CL3 = BLOQUE SU2 UX;
CL4 = BLOQ SU1 UX;
CL = CL1 ET CL2 ET CL3 ET CL4;
*-----
* VALEURS IMPOSEES DES DEPLACEMENTS
*-----
EPS0 = .25E-4;
COEF1 = A * EPS0 * .5;
COEF2 = A * EPS0;
D1 = DEPI CL3 COEF1;
D2 = DEPI CL4 COEF2;
DEP = D1 ET D2;
*-----
***** CALCUL MODELE CARACTERISTIQUES
*-----
MO=MODE VOL MECANIQUE ELASTIQUE PLASTIQUE PARFAIT CUB8;
MAT1 = MATE MO YOUN 2.5E11 SIGY 5.0E6 NU .25;
*-----
***** CHAMPS RELATIFS A L'OPERATEUR NONLIN
*-----
LP1 = PROG 0. 1. 2. 3. 4. ;
LP2 = PROG 0. 1. 2. 1. 0. ;
EV = EVOL MANU T LP1 F(T) LP2;
CHAI = CHAR DIMP DEP EV;
LIS1 = PROG 1. 2. 3. 4. ;
*-----
***** CALCUL NON LINEAIRE
*-----
TAB1 = TABLE;
TAB1.'CARACTERISTIQUES' = MAT1;
TAB1.'CHARGEMENT' = CHAI;
TAB1.'MODELE' = MO;
TAB1.'TEMPS_CALCULES' = LIS1;
TAB1.'BLOCAGES_MECANIQUES' = CL;
PASAPAS TAB1;
*-----
***** EXTRACTION DES RESULTATS
*-----
S11 = TAB1.CONTRAINTE.1;
S12 = TAB1.CONTRAINTE.2;
S13 = TAB1.CONTRAINTE.3;
S14 = TAB1.CONTRAINTE.4;
SXX1 = EXTR S11 SMXX 1 1 1;
SY1 = EXTR S11 SMYY 1 1 1;
SZZ1 = EXTR S11 SMZZ 1 1 1;
SXX2 = EXTR S12 SMXX 1 1 1;
SY2 = EXTR S12 SMYY 1 1 1;
SZZ2 = EXTR S12 SMZZ 1 1 1;
SXX3 = EXTR S13 SMXX 1 1 1;
SY3 = EXTR S13 SMYY 1 1 1;
SZZ3 = EXTR S13 SMZZ 1 1 1;
SXX4 = EXTR S14 SMXX 1 1 1;
SY4 = EXTR S14 SMYY 1 1 1;
SZZ4 = EXTR S14 SMZZ 1 1 1;

SI(NEG GRAPH 'N');
    TTIR 'Contrainte SMYY increment 4 en MPa';
    TRAC Oeil ((EXCO SMYY S14)/le6) MO;
FINSI;
*-----
***** AFFICHAGE DES RESULTATS
*-----
SAUT PAGE;
////////// PARAMETRE D'EVOLUTION T : 1 //////////;
*-----
MESS ' T = 1 ';
MESS ' RESULTATS THEORIQUES : SIGMAXX = 7.5 E6' ;
MESS '                               SIGMAYY = 2.5 E6' ;
MESS '                               SIGMAZZ = 2.5 E6' ;
MESS '                               ' ;
MESS ' RESULTATS CALCULES : SIGMAXX = 'SXX1' ;
MESS '                               SIGMAYY = 'SY1' ;
MESS '                               SIGMAZZ = 'SZZ1' ;
SAUT 1 LIGNE ;

RESX1 = 100 * (ABS((SXX1-7.5e6)/7.5e6));
RESY1 = 100 * (ABS((SY1-2.5e6)/2.5e6));
RESZ1 = 100 * (ABS((SZZ1-2.5e6)/2.5e6));
*-----
////////// PARAMETRE D'EVOLUTION T : 2 //////////;
*-----
MESS ' T = 2 ';
MESS ' RESULTATS THEORIQUES : SIGMAXX = 11.66 E6' ;
MESS '                               SIGMAYY = 6.66 E6' ;
MESS '                               SIGMAZZ = 6.66 E6' ;

```

## GUIDE DE VALIDATION

```

MESS '                                     ' ;
MESS ' RESULTATS CALCULES : SIGMAXX = 'SXX2 ;
MESS '                               SIGMAYY = 'SY2 ;
MESS '                               SIGMAZZ = 'SZZ2 ;
SAUT 1 LIGNE ;
RESX2 = 100 * (ABS((SXX2-11.66e6)/11.66e6));
RESY2 = 100 * (ABS((SY2-6.66e6) /6.66e6 ));
RESZ2 = 100 * (ABS((SZZ2-6.66e6) /6.66e6 ));
*
*////////// PARAMETRE D'EVOLUTION T : 3 //////////;
*-----
MESS '          T = 3 ' ;
MESS ' RESULTATS THEORIQUES : SIGMAXX =  4.16 E6' ;
MESS '                               SIGMAYY =  4.16 E6' ;
MESS '                               SIGMAZZ =  4.16 E6' ;
MESS '                                     ' ;
MESS ' RESULTATS CALCULES : SIGMAXX = 'SXX3 ;
MESS '                               SIGMAYY = 'SY3 ;
MESS '                               SIGMAZZ = 'SZZ3 ;
SAUT 1 LIGNE ;
RESX3 = 100 * (ABS((SXX3-4.16e6) /4.16e6));
RESY3 = 100 * (ABS((SY3-4.16e6) /4.16e6 ));
RESZ3 = 100 * (ABS((SZZ3-4.16e6) /4.16e6 ));

*
*////////// PARAMETRE D'EVOLUTION T : 4 //////////;
*-----
MESS '          T = 4 ' ;
MESS ' RESULTATS THEORIQUES : SIGMAXX = -3.33 E6' ;
MESS '                               SIGMAYY =  1.66 E6' ;
MESS '                               SIGMAZZ =  1.66 E6' ;
MESS '                                     ' ;
MESS ' RESULTATS CALCULES : SIGMAXX = 'SXX4 ;
MESS '                               SIGMAYY = 'SY4 ;
MESS '                               SIGMAZZ = 'SZZ4 ;
SAUT 1 LIGNE ;
TEMPS ;
RESX4 = 100 * (ABS((SXX4+3.33e6) /-3.33e6 ));
RESY4 = 100 * (ABS((SY4-1.66e6) / 1.66e6 ));
RESZ4 = 100 * (ABS((SZZ4-1.66e6) / 1.66e6 ));

*-----
*           CODE DE FONCTIONNEMENT
*-----
RESID=MAXI (PROG RESX1 RESX2 RESX3 RESY1 RESY2 RESY3 RESZ1 RESZ2 RESZ3);

SI(RESID <EG 0.5);
  ERRE 0;
SINO;
  ERRE 5;
FINSI;

FIN;

```

#### 5.4.4 plas5.dgibi

|                              |  |
|------------------------------|--|
| <b>Nom du fichier</b>        | plas5.dgibi  |
| <b>Type de calcul</b>        | Mécanique<br>Plastique<br>2D<br>Contraintes Planes   |
| <b>Type d'Éléments Finis</b> | QUA4   |
| <b>Référence</b>             | Solution Analytique  |
| <b>Description</b>           | PLAQUE CARREE EN DEPLACEMENT IMPOSE<br><br>La structure est une plaque carrée de 1 élément soumise à un déplacement imposé de deux de ces bords (L2 et L3) et encastrée sur les deux autres (L1 et L4)<br><br>Le modèle élasto-plastique de DRUCKER-PRAGER est testé |
| <b>Objectif</b>              | Contraintes SM <sub>xx</sub> , et SM <sub>yy</sub> du premier point de Gauss du premier élément<br>$\sigma = 1,8717 \text{ Ucc}$ (Précision relative de 1.10 <sup>-10</sup> %)   |
| <b>Version de Cast3M</b>     | Du jour  |
| <b>Plateformes testées</b>   | IBM AiX<br>Linux 32-bits<br>Linux 64-bits<br>Windows 32-bits<br>Windows 64-bits<br>MAC OSX 64-bits   |

Tableau 33 : Informations sur le cas test plas5.dgibi

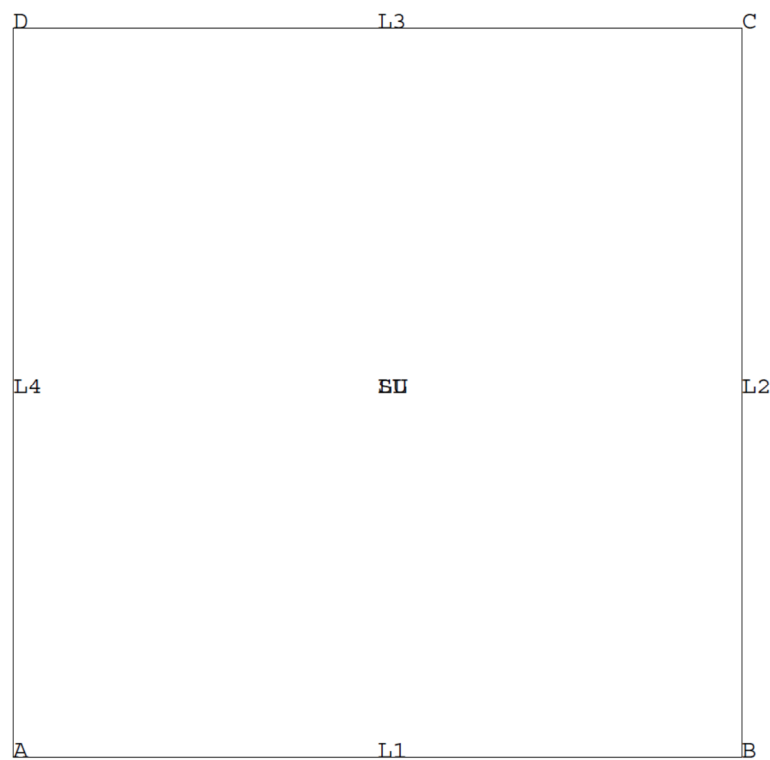


Figure 51 : Maillage du cas-test plas5.dgibi en 2D

**Jeu de données :**

```

* fichier : plas5.dgibi
*****
* Section : Mecanique Plastique
*****
*      Test Plas5.dgibi: Jeux de données      *
*      -----      *
*      *      *
*****  

*      Test plas5.dgibi: Jeux de données      *
*      -----      *
*****  

* SI GRAPH = N PAS DE GRAPHIQUE AFFICHE
* SINON SI GRAPH DIFFERENT DE N TOUS
* LES GRAPHIQUES SONT AFFICHES  

GRAPH = 'N' ;  

SAUT PAGE;  

SI (NEG GRAPH 'N') ;  

    OPTI ECHO 1 ;  

    OPTI TRAC PSC ;  

SINO ;  

    OPTI ECHO 0 ;  

FINSI ;  

SAUT PAGE;  

*****  

* TEST PLAS5
*  

* Sortie du domaine élastique et phase plastique
* (comportement élasto-plastique modèle DRUCKER-PRAGER)
*  

* Une plaque carrée est soumise à un déplacement imposé
* sur deux de ses bords et fixée sur les deux autres.
* On compare les contraintes à la solution exacte.
*  

*****  

*  

*      ^      ^
*      |      | d(t)
*      |      |
*  

*      D ____ C      ----> d(t)
*  

*      |      |
*      A ____ B      ----> d(t)
*  

*  

*****  

TITRE 'PLAQUE CARRE EN BI-TRACTION PURE' ;
OPTION ECHO 0 ;
OPTION DIME 2 ELEM QUA4 MODE PLAN CONT ;
TEMPS ;
*****  

*      DEFINITION DE LA GEOMETRIE
*-----  

A = 0. 0. ;
B = 1.5 0. ;
C = 1.5 1.5 ;
D = 0. 1.5 ;
*  

L1 = A DROIT 1 B ;
L2 = B DROIT 1 C ;
L3 = C DROIT 1 D ;
L4 = D DROIT 1 A ;
LL = L1 ET L2 ET L3 ET L4 ;
SU = SURF LL PLAN ;
SI(NEG GRAPH 'N');
    TRACE QUAL SU ;
FINSI;
*****  

*      DEFINITION DES CONDITIONS AUX LIMITES
*      ET DES DEPLACEMENTS IMPOSES
*-----  

CL4 = BLOQ L4 UX ;
CL2 = BLOQ L2 UX ;
CL3 = BLOQ L3 UY ;
CL1 = BLOQ L1 UY ;
CL = CL1 ET CL2 ET CL3 ET CL4 ;
*  

D3 = DEPI CL3 1.5E-4 ;
D2 = DEPI CL2 1.5E-4 ;
DEP = D2 ET D3 ;
*  

*----- Utilisation de la procédure PASAPAS -----
*-- Les objets utilisés par la procédure PASAPAS sont -
*----- définis dans les lignes qui suivent -----
*  

MO = MODE SU MECANIQUE ELASTIQUE PLASTIQUE
DRUCKER_PRAGER QUA4 ;  

KLL= 3.56 ;  


```

```

ETT= 0.441;
MUU= 1.02 ;
MAT1 = MATE MO YOUN 40000 NU 0.21
ALFA 0.441 BETA 1.02 K 4.1 GAMM 0.441 DELT 1.02 ETA
ETT MU MUU KL KLL H 0. ;
*  

*----- Création d'une relation linéaire entre -----
*----- le déplacement et le temps -----
* Remarque : au temps T, le déplacement vaut F(T)*D .
*  

L11 = PROG 0. 1. 2. 3. 4. 5. ;
L12 = PROG 0. 1. 2. 3. 4. 5. ;
EV = EVOL MANU T L11 F(T) L12 ;
CHA1 = CHAR DIMP DEP EV ;
*  

*----- Création de la liste des pas de calcul -----
*  

LIS1 = PROG 0. 1. 2. ;
TAB1 = TABLE ;
TAB1.'CARACTERISTIQUES' = MAT1;
TAB1.'CHARGEMENT' = CHA1;
TAB1.'MODELE' = MO;
TAB1.'TEMPS_CALCULES' = LIS1;
TAB1.'BLOCAGES_MECANIQUES' = CL;
*  

*----- Calcul par la procédure PASAPAS -----
*  

PASAPAS TAB1;
*  

* recherche des contraintes resultats
* par la procédure PECHE
*  

SIG1 = PECHE TAB1 CONTRAINTEES 1. ;
SIG2 = PECHE TAB1 CONTRAINTEES 2. ;  

SI(NEG GRAPH 'N');
    TTTR 'Contrainte SMYY increment 2 en MPa';
    TRAC (EXCO SMYY SIG2) MO;
FINSI;  

*  

* extraction d'une valeur d'une composante
* en un point de gauss
*  

SXX = EXIR SIG2 'SMXX' 1 1 1 ;
SYY = EXIR SIG2 'SMYY' 1 1 1 ;
*  

* calcul de la valeur th{orique
*  

VALTH = KLL / ( ( 2. * ETT ) + MUU );
RESI1=100 * (ABS((SXX-VALTH)/VALTH));
RESI2=100 * (ABS((SYY-VALTH)/VALTH));
SAUT PAGE ; SAUT 2 LIGN ;
*  

MESS '      CONTRAINTE THEORIQUE
          CONTRAINTEES CALCULEES   ';
SAUT 1 LIGN ;
MESS '      SIG = ' VALTH ' '
      SMXX=' SXX ' SMYY=' SYY ';
MESS ' SOIT UN ECART DE ' RESI1 '% SUR SMXX' ;
MESS ' SOIT UN ECART DE ' RESI2 '% SUR SMYY' ;
*  

TEMPS ;
*      CODE FONCTIONNEMENT
SI((RESI1 <EG 1e-10) ET (RESI2 <EG 1e-10));
    ERRE 0;
SINO;
    ERRE 5;
FINSI;
FIN;
```

## 5.4.5 plas6.dgibi

| <b>Nom du fichier</b>        | plas6.dgibi   |                    |                      |                    |      |      |      |      |        |     |   |            |     |      |      |      |      |      |      |      |        |
|------------------------------|---|--------------------|----------------------|--------------------|------|------|------|------|--------|-----|---|------------|-----|------|------|------|------|------|------|------|--------|
| <b>Type de calcul</b>        | Mécanique<br>Plastique<br>2D<br>Contraintes Planes  |                    |                      |                    |      |      |      |      |        |     |   |            |     |      |      |      |      |      |      |      |        |
| <b>Type d'Éléments Finis</b> | QUA4  |                    |                      |                    |      |      |      |      |        |     |   |            |     |      |      |      |      |      |      |      |        |
| <b>Référence</b>             | Test VPCS numéro SSNPI I/89<br>R.Hill, Mathematical theory of plasticity<br>Oxford Clarendon Press 1950   |                    |                      |                    |      |      |      |      |        |     |   |            |     |      |      |      |      |      |      |      |        |
| <b>Description</b>           | RECTANGLE EN FLEXION PURE<br><br>La structure est un rectangle en flexion pure soumis à un déplacement imposé variant linéairement de $U_A$ à $U_B$ entre les points PA et PB.<br><br>La ligne D3 est bloquée suivant X et le point O est bloqué suivant Y.   |                    |                      |                    |      |      |      |      |        |     |   |            |     |      |      |      |      |      |      |      |        |
| <b>Objectif</b>              | Moment de flexion le long de la ligne D1 dû aux contraintes $SM_{xx}$ pour les 9 incrémentations de déplacement calculées   |                    |                      |                    |      |      |      |      |        |     |   |            |     |      |      |      |      |      |      |      |        |
|                              | <table border="1"> <thead> <tr> <th><math>U_A</math> [mm]</th> <th>2,8.10<sup>-2</sup></th> <th>5.10<sup>-2</sup></th> <th>0,1</th> <th>0,15</th> <th>0,2</th> <th>0,3</th> <th>0,4</th> <th>0,5</th> <th>1</th> </tr> <tr> <th><math>M_f</math> [Nm]</th> <td>805</td> <td>1074</td> <td>1174</td> <td>1193</td> <td>1199</td> <td>1204</td> <td>1205</td> <td>1206</td> <td>1207,5</td> </tr> </thead> </table> <p>(Précision relative de 0,5%)</p> | $U_A$ [mm]         | 2,8.10 <sup>-2</sup> | 5.10 <sup>-2</sup> | 0,1  | 0,15 | 0,2  | 0,3  | 0,4    | 0,5 | 1 | $M_f$ [Nm] | 805 | 1074 | 1174 | 1193 | 1199 | 1204 | 1205 | 1206 | 1207,5 |
| $U_A$ [mm]                   | 2,8.10 <sup>-2</sup>  | 5.10 <sup>-2</sup> | 0,1                  | 0,15               | 0,2  | 0,3  | 0,4  | 0,5  | 1      |     |   |            |     |      |      |      |      |      |      |      |        |
| $M_f$ [Nm]                   | 805   | 1074               | 1174                 | 1193               | 1199 | 1204 | 1205 | 1206 | 1207,5 |     |   |            |     |      |      |      |      |      |      |      |        |
| <b>Version de Cast3M</b>     | Du jour   |                    |                      |                    |      |      |      |      |        |     |   |            |     |      |      |      |      |      |      |      |        |
| <b>Plateformes testées</b>   | IBM AIX<br>Linux 32-bits<br>Linux 64-bits<br>Windows 32-bits<br>Windows 64-bits<br>MAC OSX 64-bits  |                    |                      |                    |      |      |      |      |        |     |   |            |     |      |      |      |      |      |      |      |        |

Tableau 34 : Informations sur le cas test plas6.dgibi



Figure 52 : Maillage du cas-test plas6.dgibi en 2D

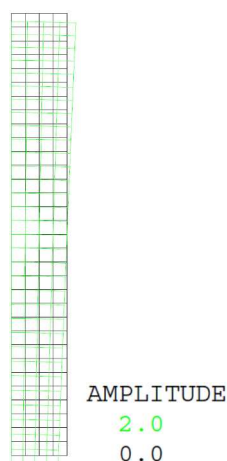


Figure 53 : Tracé du maillage initial (noir) et du maillage déformé (vert, x2) à l'incrément n°9

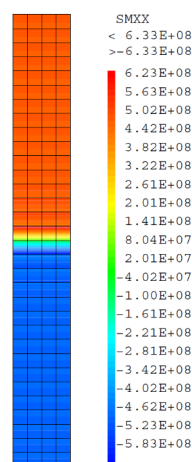


Figure 54 : Champ de contraintes  $SM_{XX}$  à l'incrément n°9

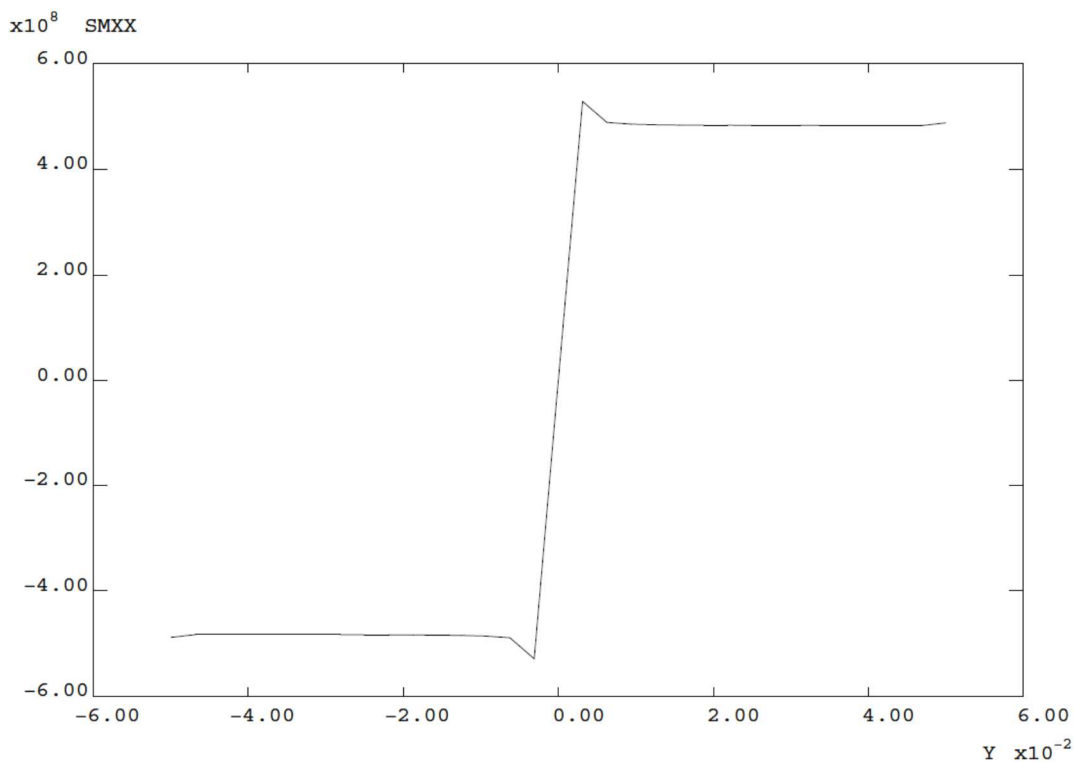


Figure 55 : Evolution de la contrainte  $SM_{XX}$  sur la ligne D1 reliant PA à PB en fonction de la coordonnée Y à l'incrément n°9

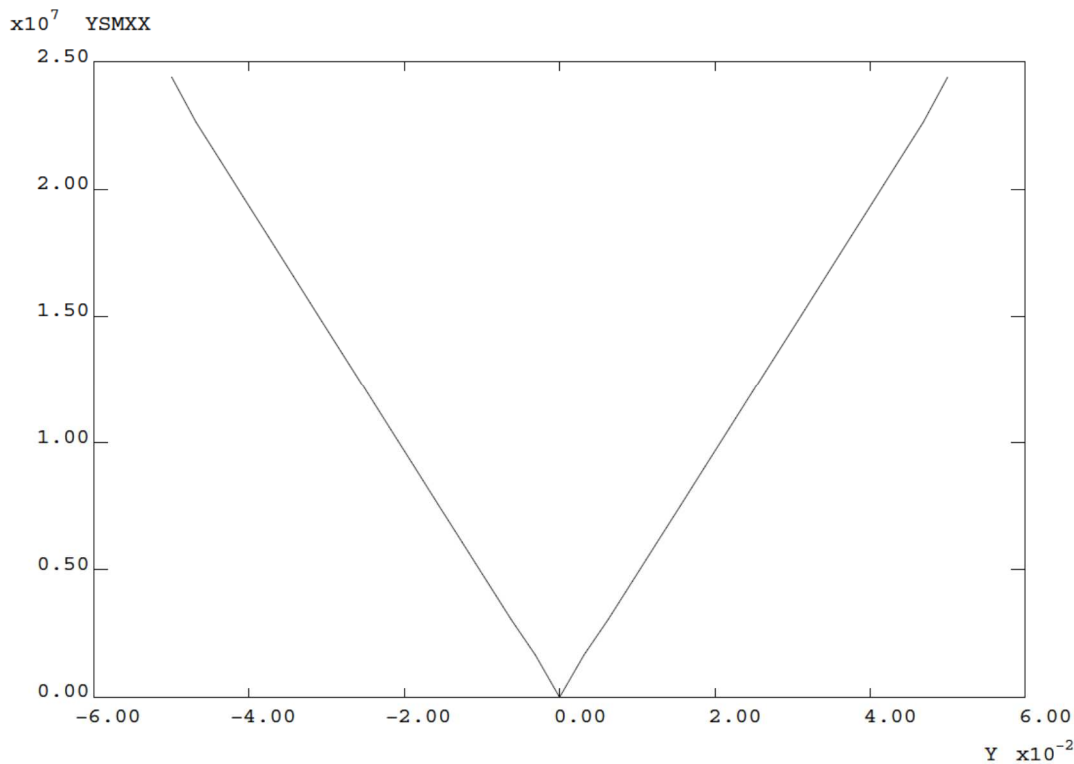


Figure 56 : Evolution du produit de la contrainte  $SM_{XX}$  par la coordonnée Y sur la ligne D1 reliant PA à PB en fonction de la coordonnée Y à l'incrément n°9

**Jeu de données :**

```

* fichier : plas6.dgibi
*****
* Section : Mecanique Plastique
*****
* Test Plas6.dgibi: Jeux de données *
* -----
* -----
* -----
* CAS TEST DU 91/07/23 PROVENANCE : BIRET
*****
* Test plas6.dgibi: Jeux de données *
* -----
* -----
*****
```

\* SI GRAPH = N PAS DE GRAPHIQUE AFFICHE  
\* SINON SI GRAPH DIFFERENT DE N TOUS  
\* LES GRAPHIQUES SONT AFFICHES

GRAPH = 'N' ;

SAUT PAGE;  
SI (NEG GRAPH 'N') ;  
OPTI ECHO 1 ;  
OPTI TRAC PSC ;  
SINO ;  
OPTI ECHO 0 ;  
FINSI ;

SAUT PAGE;

\*\*\*\*\*

\* TEST PLAS6  
\*  
\* RECTANGLE EN FLEXION PURE (CONTRAINTE PLANES,  
\* PLASTICITE PARFAITE)  
\*  
\* Test V.P.C.S. numero SSNP11/89  
\*  
\* References : R. Hill, Mathematical theory of  
\* plasticity, Oxford, Oxford Clarendon Press, 1950.  
\*  
\* Description :  
\* -----  
\*  
\* axe y  
\* |----- A  
\* | / epaisseur a = 12.5 mm  
\* | / hauteur b = 100.0 mm  
\* | /  
\* | /  
\* | /  
\* O -----/----> axe x  
\* | /  
\* | /  
\* | /  
\* |-----  
\* C UB B  
\*  
\* Chargement : Deplacement impose variant  
\* lineairement de UA a -UA entre A et B,  
\* UA croissant jusqu'a : UAnax = 0.5 mm .  
\*  
\* Conditions aux limites :  
\* sur CD : u = 0.  
\* au point O : v = 0.  
\*  
\* Proprietes des materiaux :  
\* Materiel elastique, parfaitement plastique  
\* E = 210 000 MPa , NU = 0.3 , SIGY = 483 MPa  
\*  
\*\*\*\*\*

OPTI DIME 2;  
OPTI MODE PLAN CONT;  
OPTI ELEM QUA4;

GRAPH2 = GRAPH;

TEMPS;

\*\*\*\*\*

\* geometrie : maillage  
\*\*\*\*\*

PA = 12.5E-3 50.E-3;  
PB = 12.5E-3 -50.E-3;  
PC = 0. -50.E-3;  
PD = 0. 50.E-3;

NB1 = 32; NB2 = 4;  
D1 = PA DROI NB1 PB;  
D2 = PB DROI NB2 PC;  
D3 = PC DROI NB1 PD;  
D4 = PD DROI NB2 PA;

SUR1 = DALL D1 D2 D3 D4 PLAN;

```

SI (NEG GRAPH 'N');
TTIR 'PLAS6 : MAILLAGE';
TRAC QUAL SUR1;
FINSI;

NBNO1 = NBNO SUR1;
NEBEL1 = NEBL SUR1;
*****
*      calcul du modele,caracteristiques *
MOD1 = MODE SUR1 MECANIQUE ELASTIQUE PLASTIQUE
PARFAIT;
MAT1 = MATE MOD1 YOUN 2.1E11 NU 0.3 SIGY 483.E6;

*****
```

\* conditions aux limites \*

CL1 = BLOQ UX D3;  
CL2 = BLOQ UX (SUR1 POIN PROC (0. 0.));  
CL3 = BLOQ UX D1;  
CL = CL1 ET CL2 ET CL3;

\* Creation du chpoint de deplacement impose variable :  
\* deplacement impose variant lineairement de u a -u  
\* entre A et B, u croissant jusqu'a 0.5 mm .  
I = 0.;  
LISD1 = PROG 1.;  
REPETER BLOC10 NB1;  
I = I + 1.;  
YY = 1. - (2. \* (I / NB1));  
LISD1 = LISD1 ET (PROG YY);  
FIN BLOC10;

LISD1 = LISD1 \* 1.E-3;  
CHPO1 = MANU CHPO (CHAN 'PO1' D1) 1 UX LISD1;

CHA1 = DEPI CL3 CHPO1;

\* objets relatifs a la procedure PASAPAS \*

TAB1 = TABL ;

\*On prend comme liste des pseudo-temps le deplacement u  
LREEL1= PROG 0.02875 0.05 0.1 0.15 0.2 0.3 0.4 0.5 1.0;

\* Chargement  
EVOL1 = EVOL MANU UA LREEL1 COEFF LREEL1;  
CHAR1 = CHAR DIMP CHA1 EVOL1;

\*\*\*\*\*

\* resolution  
\*\*\*\*\*

TAB1.'CARACTERISTIQUES' = MAT1;  
TAB1.'CHARGEMENT' = CHAR1;  
TAB1.'MODELE' = MOD1;  
TAB1.'TEMPS\_CALCULES' = LREEL1;  
TAB1.'BLOCAGES\_MECANIQUES' = CL;

PASAPAS TAB1;

\*\*\*\*\*

\* extraction des resultats  
\*\*\*\*\*

\* Initialisation  
MOM1 = TABL ;  
LISD2 = LISD1 \* 50.;  
MOM2 = TABL ;  
ERG = TABL ;

MOM2.1 = 805.0; MOM2.2 = 1074.;  
MOM2.3 = 1174.; MOM2.4 = 1193.;  
MOM2.5 = 1199.; MOM2.6 = 1204.;  
MOM2.7 = 1205.; MOM2.8 = 1206.;  
MOM2.9 = 1207.5;

\*Boucle pour chaque pas de chargement : fonction de UA.  
I = 0;  
REPETER BLOC1 9;  
I = I + 1;  
CONT1 = TAB1.CONTRAINTE.I;  
DEPL1 = TAB1.DEPACEMENTS.I;

\* Passage du champs de contrainte en chpoints  
\* (utilisation des nouveaux chameleons)  
CHPO10 = CHAN CHPO MOD1 CONT1;

\* Trace facultatif de la repartition  
\* de la contrainte SMXX  
SI (I EGA 9);
SI (NEG GRAPH2 'N');
TTIR 'PLAS6 : CONTRAINTE SMXX';
BB = EXCO 'SMXX' CONT1;
TRAC BB MOD1;
FINSI;

# GUIDE DE VALIDATION

```

FINSI;
*      Trace facultatif de la deformee
*(verification du chargement)
SI (I EGA 9);
SI (NEG GRAPH2 'N');
TITR 'PLAS6 : DEFORMEE';
DEF0 = DEFO SUR1 DEPL1 0.;
DEF1 = DEFO SUR1 DEPL1 2. VERT;
TRAC SUR1 (DEF0 ET DEF1);
FINSI;
FINSI;

*   Calcul du moment de flexion du aux contraintes
* smxx s'exercent le long de AB.
LIST2 = PROG;
J = 0;
NB = NB1 + 1;
REPETER BLOC4 NB;
J = J + 1;
D = EXTR LISD2 J;
POI1 = SUR1 POIN PROC (12.5E-3 D);
SM = EXTR CHPO10 SMXX POI1;
LIST2 = LIST2 ET (PROG SM);
FIN BLOC4;

LIST3 = LIST2 * LISD2;
TITR 'CONTRAINTE SMXX';
ESMXX = EVOL MANU Y LISD2 SMXX LIST2;
TITR 'PRODUIT Y * SMXX';
EYSMXX = EVOL MANU Y LISD2 YSMXX LIST3;

SI (I EGA 9);
SI (NEG GRAPH2 'N');
DESS ESMXX;
DESS EYSMXX;
FINSI;
MOM1.I = INIT EYSMXX;
MOM1.I = EXTR MOM1.I 1;

MOM1.I = -1.E-3 * MOM1.I;
ERG.I = 100. * (ABS ((MOM1.I - MOM2.I) / MOM2.I));

FIN BLOC1;

***** affichage des resultats *****
MESS 'RESULTATS : PLAS6';
MESS '-----';
SAUT LIGN;

MESS 'Moment de flexion du aux contraintes SMXX
le long de AB.';
MESS '-----';
SAUT LIGN;

MESS ' UAmix = 0.02875 mm :';
MESS '-----';
MESS ' Moment theorique :: MOM1.1 'N.m';
MESS ' Moment calcule :: MOM2.1 'N.m';
MESS ' Soit un ecart de :: ERG.1 %';
SAUT LIGN;

MESS ' UAmix = 0.05 mm :';
MESS '-----';
MESS ' Moment theorique :: MOM1.2 'N.m';
MESS ' Moment calcule :: MOM2.2 'N.m';
MESS ' Soit un ecart de :: ERG.2 %';
SAUT LIGN;

MESS ' UAmix = 0.1 mm :';
MESS '-----';
MESS ' Moment theorique :: MOM1.3 'N.m';
MESS ' Moment calcule :: MOM2.3 'N.m';
MESS ' Soit un ecart de :: ERG.3 %';
SAUT LIGN;

MESS ' UAmix = 0.15 mm :';
MESS '-----';
MESS ' Moment theorique :: MOM1.4 'N.m';
MESS ' Moment calcule :: MOM2.4 'N.m';
MESS ' Soit un ecart de :: ERG.4 %';
SAUT LIGN;

MESS ' UAmix = 0.2 mm :';
MESS '-----';
MESS ' Moment theorique :: MOM1.5 'N.m';
MESS ' Moment calcule :: MOM2.5 'N.m';
MESS ' Soit un ecart de :: ERG.5 %';
SAUT LIGN;

MESS ' UAmix = 0.3 mm :';
MESS '-----';
MESS ' Moment theorique :: MOM1.6 'N.m';
SAUT LIGN;

MESS ' Moment calcule :: MOM2.6 'N.m';
MESS ' Soit un ecart de :: ERG.6 %';
SAUT LIGN;

MESS ' UAmix = 0.4 mm :';
MESS '-----';
MESS ' Moment theorique :: MOM1.7 'N.m';
MESS ' Moment calcule :: MOM2.7 'N.m';
MESS ' Soit un ecart de :: ERG.7 %';
SAUT LIGN;

MESS ' UAmix = 0.5 mm :';
MESS '-----';
MESS ' Moment theorique :: MOM1.8 'N.m';
MESS ' Moment calcule :: MOM2.8 'N.m';
MESS ' Soit un ecart de :: ERG.8 %';
SAUT LIGN;

MESS ' UAmix = 1.0 mm :';
MESS '-----';
MESS ' Moment theorique :: MOM1.9 'N.m';
MESS ' Moment calcule :: MOM2.9 'N.m';
MESS ' Soit un ecart de :: ERG.9 %';
SAUT LIGN;

MESS 'Donnees sur le maillage';
MESS '-----';
MESS ' Nombre d elements :: NBELL 'QUA4';
MESS ' Nombre de noeuds :: NBN01';
SAUT LIGN;

*****
*          code fonctionnement
*****
ERGMAX = MAXI (PROG ERG.1 ERG.2 ERG.3 ERG.4 ERG.5 ERG.6
ERG.7 ERG.8 ERG.9);

SI (ERGMAX < EG 0.5);
ERRE 0;
SINON;
ERRE 5;
FINSI;
SAUT LIGN;

TEMPS;
FIN;

```

### 5.4.6 plas7.dgibi

| <b>Nom du fichier</b>        | plas7.dgibi  |            |                      |     |       |       |       |     |   |             |       |       |       |     |       |       |       |            |                      |   |                 |       |       |
|------------------------------|--|------------|----------------------|-----|-------|-------|-------|-----|---|-------------|-------|-------|-------|-----|-------|-------|-------|------------|----------------------|---|-----------------|-------|-------|
| <b>Type de calcul</b>        | Mécanique<br>Plastique<br>2D<br>Déformations Planes  |            |                      |     |       |       |       |     |   |             |       |       |       |     |       |       |       |            |                      |   |                 |       |       |
| <b>Type d'Éléments Finis</b> | QUA4   |            |                      |     |       |       |       |     |   |             |       |       |       |     |       |       |       |            |                      |   |                 |       |       |
| <b>Référence</b>             | Test VPCS numéro SSNPI I/89<br>R.Hill, Mathematical theory of plasticity<br>Oxford Clarendon Press 1950  |            |                      |     |       |       |       |     |   |             |       |       |       |     |       |       |       |            |                      |   |                 |       |       |
| <b>Description</b>           | RECTANGLE EN FLEXION PURE<br><br>C'est le même calcul que plas6.dgibi mais en déformations planes.<br><br>La structure est un rectangle en flexion pure soumis à un déplacement imposé variant linéairement de $U_A$ à $U_B$ entre les points PA et PB.<br><br>La ligne D3 est bloquée suivant X et le point O est bloqué suivant Y.   |            |                      |     |       |       |       |     |   |             |       |       |       |     |       |       |       |            |                      |   |                 |       |       |
| <b>Objectif</b>              | Moment de flexion le long de la ligne D1 dû aux contraintes $SM_{xx}$ pour les 7 incrément de déplacement calculés<br><br>Contrainte $SM_{xx}$ au point PA pour le premier et le dernier incrément<br><br><table border="1"> <thead> <tr> <th><math>U_A</math> [mm]</th> <th><math>2,94 \cdot 10^{-2}</math></th> <th>0,1</th> <th>0,2</th> <th>0,3</th> <th>0,4</th> <th>0,5</th> <th>1</th> </tr> </thead> <tbody> <tr> <td><math>M_f</math> [kNm]</td> <td>90,57</td> <td>135,2</td> <td>138,4</td> <td>139</td> <td>139,2</td> <td>139,3</td> <td>139,4</td> </tr> </tbody> </table><br><table border="1"> <thead> <tr> <th><math>U_A</math> [mm]</th> <th><math>2,94 \cdot 10^{-2}</math></th> <th>1</th> </tr> </thead> <tbody> <tr> <td><math>SM_{xx}</math> [MPa]</td> <td>543,4</td> <td>557,7</td> </tr> </tbody> </table><br>(Précision relative de 5%) | $U_A$ [mm] | $2,94 \cdot 10^{-2}$ | 0,1 | 0,2   | 0,3   | 0,4   | 0,5 | 1 | $M_f$ [kNm] | 90,57 | 135,2 | 138,4 | 139 | 139,2 | 139,3 | 139,4 | $U_A$ [mm] | $2,94 \cdot 10^{-2}$ | 1 | $SM_{xx}$ [MPa] | 543,4 | 557,7 |
| $U_A$ [mm]                   | $2,94 \cdot 10^{-2}$   | 0,1        | 0,2                  | 0,3 | 0,4   | 0,5   | 1     |     |   |             |       |       |       |     |       |       |       |            |                      |   |                 |       |       |
| $M_f$ [kNm]                  | 90,57  | 135,2      | 138,4                | 139 | 139,2 | 139,3 | 139,4 |     |   |             |       |       |       |     |       |       |       |            |                      |   |                 |       |       |
| $U_A$ [mm]                   | $2,94 \cdot 10^{-2}$   | 1          |                      |     |       |       |       |     |   |             |       |       |       |     |       |       |       |            |                      |   |                 |       |       |
| $SM_{xx}$ [MPa]              | 543,4  | 557,7      |                      |     |       |       |       |     |   |             |       |       |       |     |       |       |       |            |                      |   |                 |       |       |
| <b>Version de Cast3M</b>     | Du jour  |            |                      |     |       |       |       |     |   |             |       |       |       |     |       |       |       |            |                      |   |                 |       |       |
| <b>Plateformes testées</b>   | IBM AiX<br>Linux 32-bits<br>Linux 64-bits<br>Windows 32-bits<br>Windows 64-bits<br>MAC OSX 64-bits   |            |                      |     |       |       |       |     |   |             |       |       |       |     |       |       |       |            |                      |   |                 |       |       |

Tableau 35 : Informations sur le cas test plas7.dgibi



Figure 57 : Maillage du cas-test plas7.dgibi en 2D

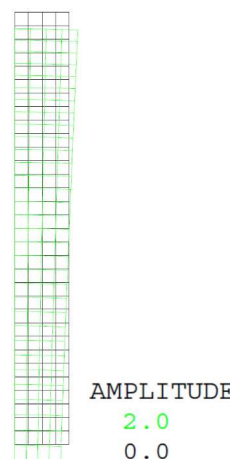


Figure 58 : Tracé du maillage initial (noir) et du maillage déformé (vert, x2) à l'incrément n°7

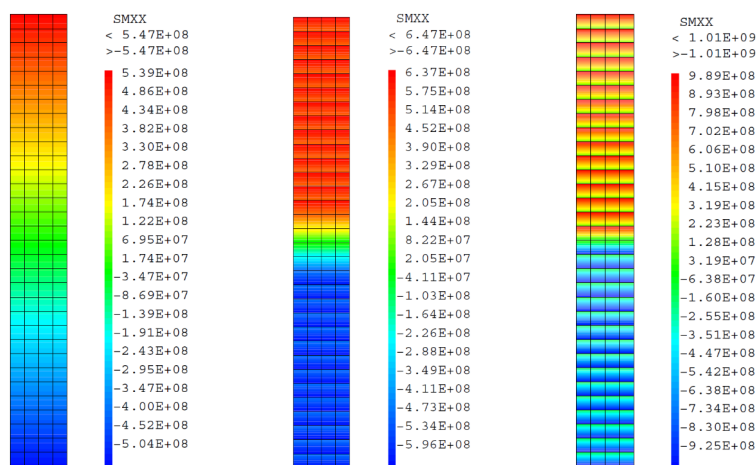


Figure 59 : Champ de contraintes  $SM_{xx}$  à l'incrément n°1 (à gauche) à l'incrément 3 (au milieu) et à l'incrément 7 (à droite)

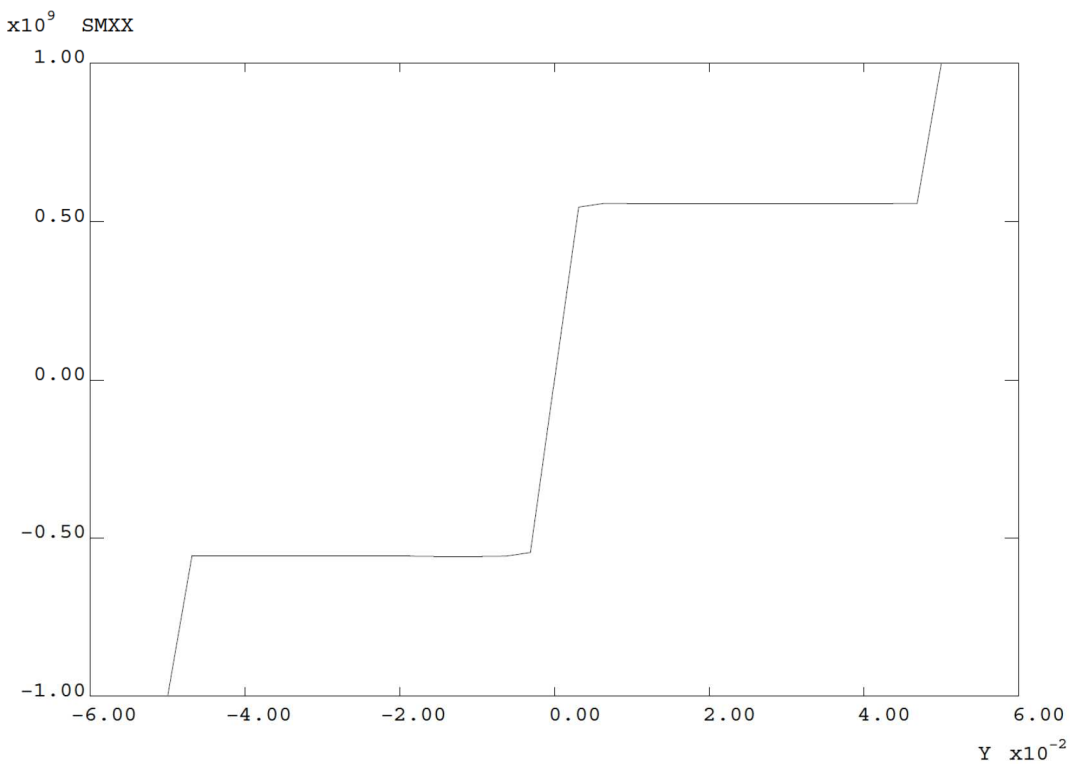


Figure 60 : Evolution de la contrainte  $SM_{xx}$  sur la ligne D1 reliant PA à PB en fonction de la coordonnée Y à l'incrément 7

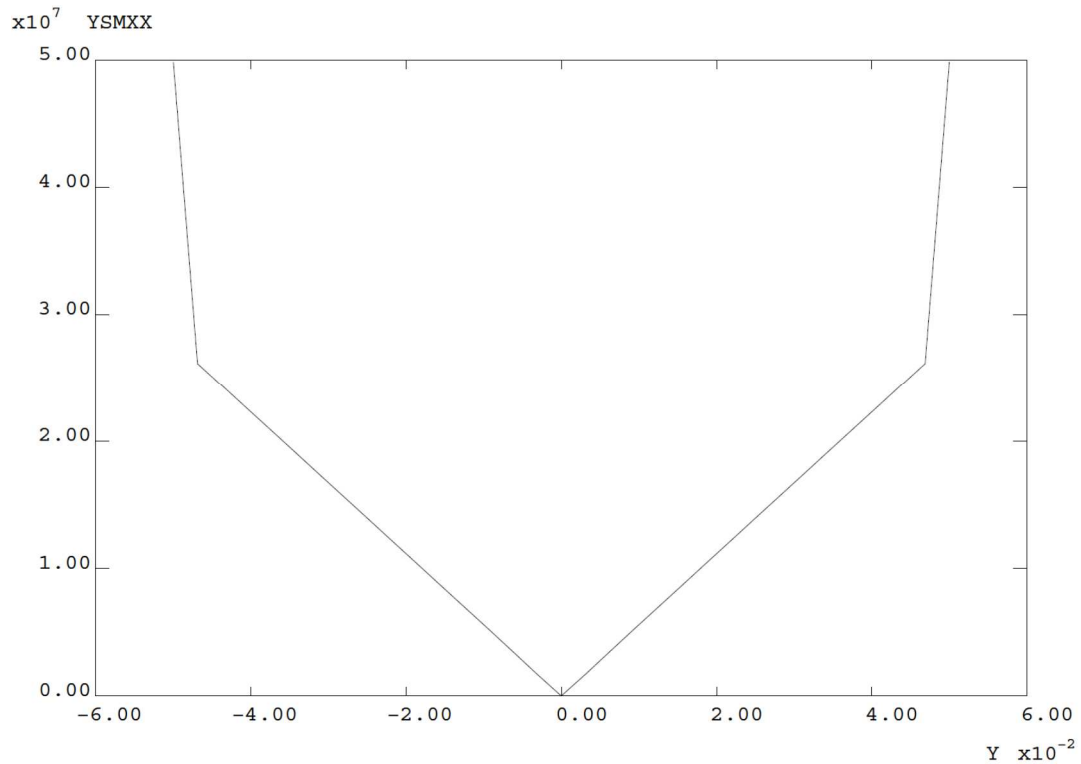


Figure 61 : Evolution du produit de la contrainte  $SM_{xx}$  par la coordonnée Y sur la ligne D1 reliant PA à PB en fonction de la coordonnée Y à l'incrément 7

# GUIDE DE VALIDATION

## Jeu de données :

```

* fichier : plas7.dgibi
*****
* Section : Mecanique Plastique
*****
* Test Plas7.dgibi: Jeux de données      *
* -----                                     *
*                                              *
* CAS TEST DU 91/06/13   PROVENANCE : TEST
*
*****                                         *
* Test plas7.dgibi: Jeux de données      *
* -----                                     *
*****                                         *

* SI GRAPH = N PAS DE GRAPHIQUE AFFICHE
* SINON SI GRAPH DIFFERENT DE N TOUS
* LES GRAPHIQUES SONT AFFICHES

GRAPH = 'N' ;

SAUT PAGE;
SI (NEG GRAPH 'N') ;
  OPTI ECHO 1 ;
  OPTI TRAC X ;
SINO ;
  OPTI ECHO 0 ;
FINSI ;

SAUT PAGE;
*
*****                                         *
* TEST PLAS7
*                                              *
* RECTANGLE EN FLEXION PURE (DEFORMATIONS PLANES,
* PLASTICITE PARFAITE)
*                                              *
* Test V.P.C.S. numero SSNP11/89
*                                              *
* References : R. Hill, Mathematical theory of
* plasticity, Oxford, Oxford Clarendon Press, 1950.
*                                              *
* Description :
* -----
*      axe y
*      D | A
*      |---- UA   epaisseur a = 12.5 mm *
*      |    /     hauteur b = 100.0 mm *
*      |   /
*      |  /
*      | /
*      |/
*      O ----/----> axe x
*      |  /
*      | /
*      |/
*      |
*      C UB   B
*
* Chargement : Deplacement impose variant
* lineariquement de UA a -UA entre A et B,
* UA croissant jusqu'a : UAmax = 0.5 mm .
*
* Conditions aux limites :
*   sur CD : u = 0.
*   au point O : v = 0.
*
* Proprietes des materiaux :
*   Materiel elastique, parfaitement plastique
*   E = 210 000 MPa , NU = 0.3 , SIGY = 483 MPa
*
*****                                         *

* OPTI ECHO 1;
*
OPTI DIME 2;
OPTI MODE PLAN DEFO;
OPTI ELEM QUA4;
*
TEMPS;
*****                                         *
*      geometrie : maillage
*****                                         *
*
PA = 12.5E-3 50.E-3;
PB = 12.5E-3 -50.E-3;
PC = 0.      -50.E-3;
PD = 0.      50.E-3;
*
NB1 = 32; NB2 = 4;
DL = PA DROI NB1 PB;
D2 = PB DROI NB2 PC;
D3 = PC DROI NB1 PD;

```

```

D4 = PD DROI NB2 PA;
*
SUR1 = DALL D1 D2 D3 D4 PLAN;
*
SI (NEG GRAPH 'N');
  TITR 'PLAS7 : MAILLAGE';
  TRAC 'QUAL' SUR1;
FINSI;
*
NBNO1 = NBNO SUR1;
NBEL1 = NBEL SUR1;
*
*****                                         *
*      definition du modele, des caracteristiques
*****                                         *
*
MOD1 = MODE SUR1 MECANIQUE ELASTIQUE PLASTIQUE
  PARFAIT QUA4;
MAT1 = MATE MOD1 YOUN 2.1E11 NU 0.3 SIGY 483.E6;
*
*****                                         *
*      conditions aux limites
*****                                         *
*
CL1 = BLOQ UX D3;
CL2 = BLOQ UY (SUR1 POIN PROC (0. 0.));
CL3 = BLOQ UX D1;
CL = CL1 ET CL2 ET CL3;
*
* Creation du chpoint de deplacement impose variable :
*   deplacement impose variant lineairement de u a -u
*   entre A et B, u croissant jusqu'a 0.5 mm .
*
I = 0;
LISD1 = PROG 1. ;
REPETIR BLOC10 NB1;
  I = I + 1;
  YY = 1. - (2. * (I / NB1));
  LISD1 = LISD1 ET (PROG YY);
FIN BLOC10;
*
LISD1 = LISD1 * 1.E-3;
CHPO1 = MANU CHPO (CHAN 'POI1' D1) 1 UX LISD1;
*
CHAL1 = DEPI CL3 CHPO1;
*
*****                                         *
*      objets relatifs a la procedure PASAPAS
*****                                         *
*
TAB1 = TABLE;
*
*      On prend comme liste des pseudo-temps
*          le deplacement u.
*
LREEL1 = PROG 0.029435 0.1 0.2 0.3 0.4 0.5 1.0;
*
* Chargement
*
EVOL1 = EVOL MANU UA LREEL1 COEFF LREEL1;
CHAR1 = CHAR DIMP CHAL EVOL1;
*
*****                                         *
*      resolution
*****                                         *
*
TAB1.'CARACTERISTIQUES' = MAT1;
TAB1.'CHARGEMENT' = CHAR1;
TAB1.'MODELE' = MOD1;
TAB1.'TEMPS_CALCULES' = LREEL1;
TAB1.'BLOCAGES_MECHANIQUES' = CL;
PASAPAS TAB1;
*
*****                                         *
*      extraction des resultats
*****                                         *
*
* Initialisation
*
MOM1 = TAB1;
LISD2 = LISD1 * 50. ;
MOM2 = TAB1;
ERG = TAB1;
*
MOM2.1 = 90.57;
MOM2.2 = 135.2;
MOM2.3 = 138.4;
MOM2.4 = 139.0;
MOM2.5 = 139.2;
MOM2.6 = 139.3;
MOM2.7 = 139.4;
*
MOM2.8 = 543.4;
MOM2.9 = 557.7;

```

```

*Boucle pour chaque pas de chargement : fonction de UA.
I = 0;
REPETER BLOC1 7;
  I = I + 1;
  CONT1 = TABL1.CONTRAINTE.I;
  DEPL1 = TABL1.DEPPLACEMENTS.I;
  CHPO10 = CHAN CHPO MOD1 CONT1;

*      Trace facultatif de la deforme
*          (verification du chargement)
SI (I EGA 7);
SI (NEG GRAPH 'N');
  TITR 'PLAS7 : DEFORMEE Increment :: I';
  DEF0 = DEFO SUR1 DEPL1 0.;
  DEF1 = DEFO SUR1 DEPL1 2. VERT;
  TRAC SUR1 (DEF0 ET DEF1);

FINSI;
FINSI;

*      Calcul du moment de flexion du aux contraintes
* smxx s'exercent le long de AB.
LIST2 = PROG;
J = 0;
NB = NB1 + 1;
REPETER BLOC4 NB;
  J = J + 1;
  D = EXTR LISD2 J;
  POI1 = SUR1 POIN PROC (12.5E-3 D);
  SM = EXTRA CHPO10 SMXX POI1;
  LIST2 = LIST2 ET (PROG SM);
FIN BLOC4;

LIST3 = LIST2 * LISD2;
TITR 'CONTRAINTE SMXX Increment :: I';
ESMXX = EVOL MANU Y LISD2 SMXX LIST2;
TITR 'PRODUIT Y * SMXX Increment :: I';
EYSMXX = EVOL MANU Y LISD2 YSMXX LIST3;

SI (I EGA 7);
SI (NEG GRAPH 'N');
  DESS ESMXX;
  DESS EYSMXX;
FINSI;

MOM1.I = INTG EYSMXX;
MOM1.I = EXIR MOM1.I 1;
MOM1.I = -1.E-4 * MOM1.I;

* Calcul de l'ecart entre theorie et calcul.
ERG.I = 100. * (ABS ((MOM1.I - MOM2.I) / MOM2.I));

*      Extraction de la contrainte maximale SMXX
*          pour les pas 1 et 7.
SI (I EGA 1);
  MOM1.8 = EXIR CHPO10 SMXX PA;
  MOM1.8 = MOM1.8 / 1.E6;
  ERG.8 = 100. * (ABS ((MOM1.8 - MOM2.8) / MOM2.8));
FINSI;

SI (I EGA 7);
  MOM1.9 = EXIR CHPO10 SMXX (D1 Poin 2);
  MOM1.9 = MOM1.9 / 1.E6;
  ERG.9 = 100. * (ABS ((MOM1.9 - MOM2.9) / MOM2.9));
FINSI;

SI (NEG GRAPH 'N');
  TITR 'SMXX Increment :: I';
  TRAC MOD1 (EXCO CONT1 SMXX);
FINSI;

FIN BLOC1;

*+++++* affichage des resultats *+++++
MESS 'RESULTATS : PLAS7';
MESS '-----';
SAUT LIGN;

MESS 'Moment de flexion du aux contraintes SMXX
le long de AB.';
MESS '-----';
SAUT LIGN;

MESS ' UAmix = 0.029435 mm ::';
MESS ' ----- ::';
MESS ' Moment theorique :: MOM2.1 'kN.m';
MESS ' Moment calcule :: MOM1.1 'kN.m';
MESS ' Soit un ecart de :: ERG.1 %';
SAUT LIGN;

MESS ' UAmix = 0.1 mm ::';
MESS ' ----- ::';
MESS ' Moment theorique :: MOM2.2 'kN.m';
MESS ' Moment calcule :: MOM1.2 'kN.m';

MESS ' Soit un ecart de :: ERG.2 %';
SAUT LIGN;

MESS ' UAmix = 0.2 mm ::';
MESS ' ----- ::';
MESS ' Moment theorique :: MOM2.3 'kN.m';
MESS ' Moment calcule :: MOM1.3 'kN.m';
MESS ' Soit un ecart de :: ERG.3 %';
SAUT LIGN;

MESS ' UAmix = 0.3 mm ::';
MESS ' ----- ::';
MESS ' Moment theorique :: MOM2.4 'kN.m';
MESS ' Moment calcule :: MOM1.4 'kN.m';
MESS ' Soit un ecart de :: ERG.4 %';
SAUT LIGN;

MESS ' UAmix = 0.4 mm ::';
MESS ' ----- ::';
MESS ' Moment theorique :: MOM2.5 'kN.m';
MESS ' Moment calcule :: MOM1.5 'kN.m';
MESS ' Soit un ecart de :: ERG.5 %';
SAUT LIGN;

MESS ' UAmix = 0.5 mm ::';
MESS ' ----- ::';
MESS ' Moment theorique :: MOM2.6 'kN.m';
MESS ' Moment calcule :: MOM1.6 'kN.m';
MESS ' Soit un ecart de :: ERG.6 %';
SAUT LIGN;

MESS ' UAmix = 1.0 mm ::';
MESS ' ----- ::';
MESS ' Moment theorique :: MOM2.7 'kN.m';
MESS ' Moment calcule :: MOM1.7 'kN.m';
MESS ' Soit un ecart de :: ERG.7 %';
SAUT LIGN;

MESS 'Contrainte maximale smox ::';
MESS '----- ::';
SAUT LIGN;
MESS ' UAmix = 0.029435 mm ::';
MESS ' ----- ::';
MESS ' Valeur theorique :: MOM2.8 'MPa';
MESS ' Valeur calculee :: MOM1.8 'MPa';
MESS ' Soit un ecart de :: ERG.8 %';
SAUT LIGN;

MESS ' UAmix = 1.0 mm ::';
MESS ' ----- ::';
MESS ' Valeur theorique :: MOM2.9 'MPa';
MESS ' Valeur calculee :: MOM1.9 'MPa';
MESS ' Soit un ecart de :: ERG.9 %';
SAUT LIGN;

MESS 'Donnees sur le maillage';
MESS '-----';
MESS ' Nombre d elements :: NBELE1 'QUA4';
MESS ' Nombre de noeuds :: NENO1';
SAUT LIGN;

*+++++* code fonctionnement *+++++
*+++++* ERGMAX = MAXI (PROG ERG.1 ERG.2 ERG.3 ERG.4 ERG.5 ERG.6
ERG.7 ERG.8 ERG.9);

SI (ERGMAX < EG 5.0);
  ERRE 0;
SINON;
  ERRE 5;
FINSI;
SAUT LIGN;

TEMPS;
FIN;

```

## 5.4.7 plas8.dgibi

|                              |  |
|------------------------------|--|
| <b>Nom du fichier</b>        | plas8.dgibi  |
| <b>Type de calcul</b>        | Mécanique<br>Plastique<br>3D   |
| <b>Type d'Éléments Finis</b> | DKT  |
| <b>Référence</b>             | Solution analytique  |
| <b>Description</b>           | <p>CONSOLE EN DEPLACEMENT IMPOSE</p> <p>Un déplacement vertical (flèche contrôlée) est appliqué sur l'extrémité libre d'une console. L'autre extrémité est encastrée.</p> <p>L'étude porte sur l'évolution de la force de réaction en fonction de la flèche appliquée. La force doit tendre vers une valeur asymptotique donnée par une expression analytique.</p> |
| <b>Objectif</b>              | <p>Valeur de la force asymptotique lorsque la flèche augmente :</p> $\lim F = \frac{\sigma_Y h^2}{4L}$ <p><math>\sigma_Y</math> Contrainte limite élastique<br/> <math>h</math> Epaisseur de la poutre<br/> <math>L</math> Longueur de la poutre<br/> (Précision relative de 8,5%)</p>   |
| <b>Version de Cast3M</b>     | Du jour  |
| <b>Plateformes testées</b>   | IBM AiX<br>Linux 32-bits<br>Linux 64-bits<br>Windows 32-bits<br>Windows 64-bits<br>MAC OSX 64-bits   |

Tableau 36 : Informations sur le cas test plas8.dgibi

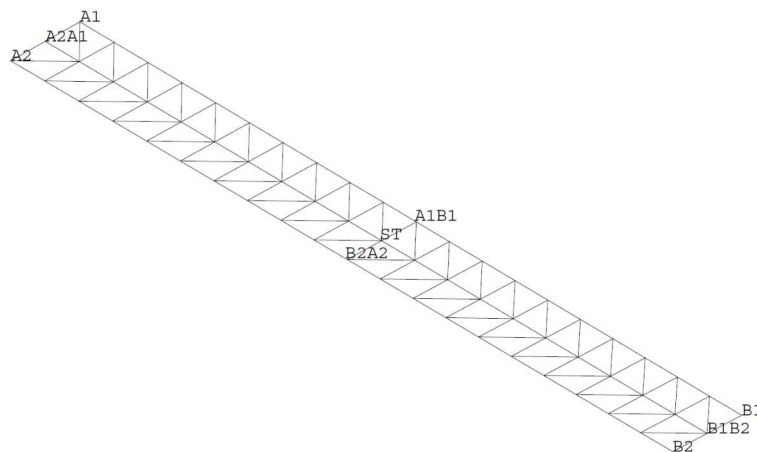


Figure 62 : Maillage du cas-test plas8.dgibi en 2D

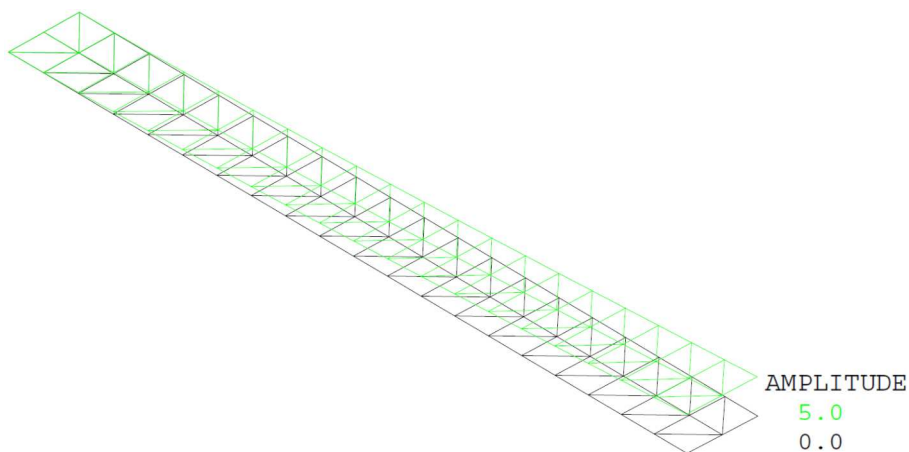


Figure 63 : Tracé du maillage initial (noir) et du maillage déformé (vert, x5) au dernier incrément

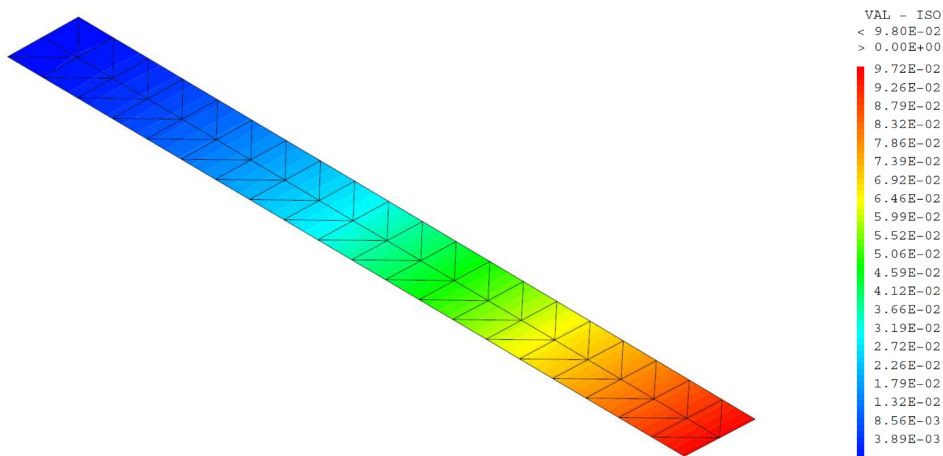


Figure 64 : Champ de déplacement UZ au dernier 'incrément'

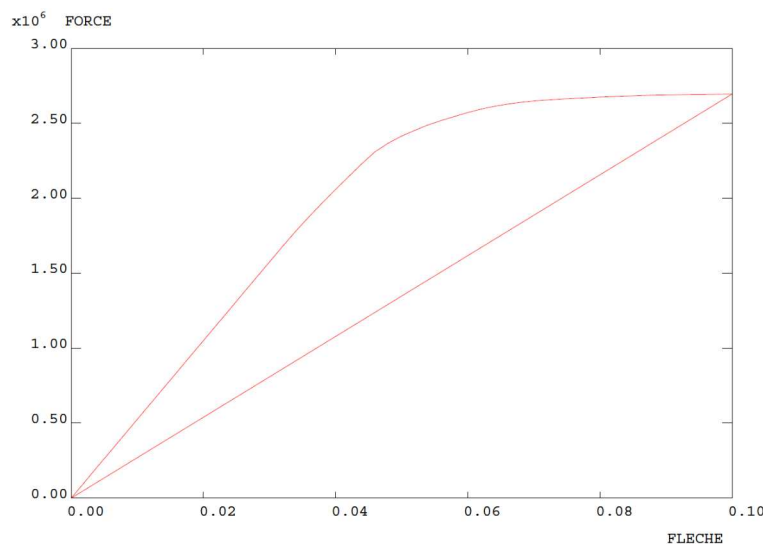


Figure 65 : Evolution de la force en fonction de la flèche au cours des différents incrément de déplacement imposé

**Jeu de données :**

```

* fichier : plas8.dgibi
*****
* Section : Mecanique Plastique
*****
*      Test Plas8.dgibi: Jeux de données      *
*      -----      *
*      *      *
*****  

*      Test plas8.dgibi: Jeux de données      *
*      -----      *
*****  

* POUR CALCUL COMPLET METTRE COMPLET A : VRAI;  

complet = vrai;  

* SI GRAPH = N PAS DE GRAPHIQUE AFFICHE  

* SINON SI GRAPH DIFFERENT DE N TOUS  

* LES GRAPHIQUES SONT AFFICHES  

GRAPH = 'N' ;  

SAUT PAGE;  

SI (NEG GRAPH 'N') ;  

    OPTI ECHO 1 ;  

    OPTI TRAC PSC ;  

SINO ;  

    OPTI ECHO 0 ;  

FINSI ;  

SAUT PAGE;  

*****
* TEST PLAS8
*  

* CONSOLE SOUS CHARGE CONCENTREE
*  

* On impose un deplacement vertical (une fleche) sur
* l'extremite libre d'une console. On etudie
* l'evolution de la force de reaction fonction de la
* fleche. La force doit tendre vers une valeur
* asymptotique donnee par l'expression suivante
* (si on considere la loi elastoplastique parfaite):
*  

* FU = (SIGY*H**2)/(4*L)
*   ou SIGY = contrainte limite elastique
*   H   = l'epaisseur de la poutre
*   L   = longueur de poutre
*  

*****  

OPTI DIME 3 ELEM TRI3 DENS 0.5 ;  

*  

* GEOMETRIE
*  

B   = 1. ;  

L   = 10. ;  

nel = 20;  

A1 = 0. 0. 0. ;  

A2 = 0. B 0. ;  

B1 = L 0. 0. ;  

B2 = L B 0. ;  

A2A1 = DROI 2 A2 A1 ;  

A1B1 = DROI nel A1 B1 ;  

B1B2 = DROI 2 B1 B2 ;  

B2A2 = DROI nel B2 A2 ;  

ST = DALL A2A1 A1B1 B1B2 B2A2 PLAN ;  

OEIL = -100 -100 -100 ;  

SI (NEG GRAPH 'N') ;
    TRAC OEIL 'QUAL' ST ;
FINSI ;  

*  

* INITIALISATION
*  

XABS = PROG ;
FONC1 = PROG ;
EP   = L/10 ;  

*  

* MODELE
*  

MOD1 = MODE ST MECANIQUE ELASTIQUE PLASTIQUE PARFAIT DKT 'INTEGRE' 7 ;  

*  

* MATERIAUX
*  

E   = 2.1E11 ;
SY  = 100.E6;
MAT1 = MATE MOD1 YOUN E NU 0. SIGY SY EPAI EP CALF 1. ;  


```

```

* CONDITIONS AUX LIMITES ET RIGIDITE
*  

RI1  = RIGI MOD1 MAT1 ;
CL1  = BLOQ UX UY UZ RY RZ A2A1 ;
CLDEP = BLOQ UZ B1B2 ;
CL   = CL1 ET CLDEP;
RIT1 = RI1 ET CL;  

*  

* DEPLACEMENT IMPOSE
*  

FDEP = DEPI CLDEP 0.2;  

*  

* PREPARATION POUR PASAPAS
*  

L11 = PROG 0. 1. ;
L12 = PROG 0. 1. ;
EV = EVOL MANU T L11 F(T) L12 ;
CHAI = CHAR DIMP FDEP EV ;
  

si complet;
    LIS1 = PROG 0. PAS 0.01 0.5;
sinon;
    LIS1 = PROG PAS 0.03333 0.1 PAS 0.02 0.16 ;
finsi;  

TAB1 = TABL ;
TAB1.'CARACTERISTIQUES' = MAT1;
TAB1.'CHARGEMENT' = CHAI;
TAB1.'MODELE' = MOD1;
TAB1.'TEMPS_CALCULES' = LIS1;
TAB1.'BLOCAGES_MECANIQUES' = CL ;
TAB1.'PROCESSEURS' = 'MOT' 'COMPORTEMENT';  

*  

* CALCUL
*  

PASAPAS TAB1;  

TEMPS ;  

*  

* POST-TRAITEMENT
*  

NB   = DIME LIS1 ;
XABS = INSER XABS 1 (0.0) ;
FONC1= INSER FONC1 1 (0.0) ;  

REPE BOUC1 NB ;
    ITER1 = &BOUC1 ;
    TT   = EXTR LIS1 ITER1 ;
    DEP  = PECH TAB1 'DEPLACEMENTS' TT ;
    FLECH = EXTR DEP UZ B1 ;
    FF   = REAC DEP RIT1 ;
    FFF  = RESU(REDU FF B1B2) ;
    FORC = EXTR FFF 'FZ' B1 ;
    XABS = INSER XABS ITER1 FLECH ;
    FONC1 = INSER FONC1 ITER1 FORC ;  

SI (ITER1 EGA (NB-1));
    LIST TAB1.'DEPLACEMENTS' ;
    DEF0 = DEFO 0. DEP ST ;
    DEF1 = DEFO 5. DEP ST VERT ;
    SI (NEG GRAPH 'N') ;
        TITR 'DEPLACEMENT UZ';
        TRAC 'CACH' (EXCO DEP UZ) ST ;
        TITR 'DEFORMEE';
        TRAC 'CACH' (DEF0 ET DEF1) ST ;
    FINSI;
    FINBOUC1 ;  

*  

* ON TRACE LA COURBE FORCE-FLECHE
*  

TITR 'FORCE PONCTUELLE FONCTION DE LA FLECHE' ;
EV1 = EVOL ROUGE MANU 'FLECHE' XABS 'FORCE' FONC1 ;  

*  

* CALCUL ANALYTIQUE DE LA VALEUR ASYMPTOTIQUE
*  

si complet;
    FU= (SY * (EP**2))/(4*L) ;
    ERRMAX = 8.5 ;
sinon;
    FU = 1.679E+06;
    ERRMAX = 0.06;
finsi;  

SI(NEG GRAPH 'N');
    DESS EV1 ;
FINSI ;  


```

## GUIDE DE VALIDATION

```
*          CODE FONCTIONNEMENT
*
FC  = RESU(REDU FF B1B2) ;
FCC = EXTR FC 'FZ' B1 ;

RESI= 100 * (ABS((FCC-FU)/FU)) ;

MESS '    Force theorique   :' FU 'N';
MESS '    Force calcule     :' FCC 'N';
MESS '    Soit un ecart de :' RESI '%';

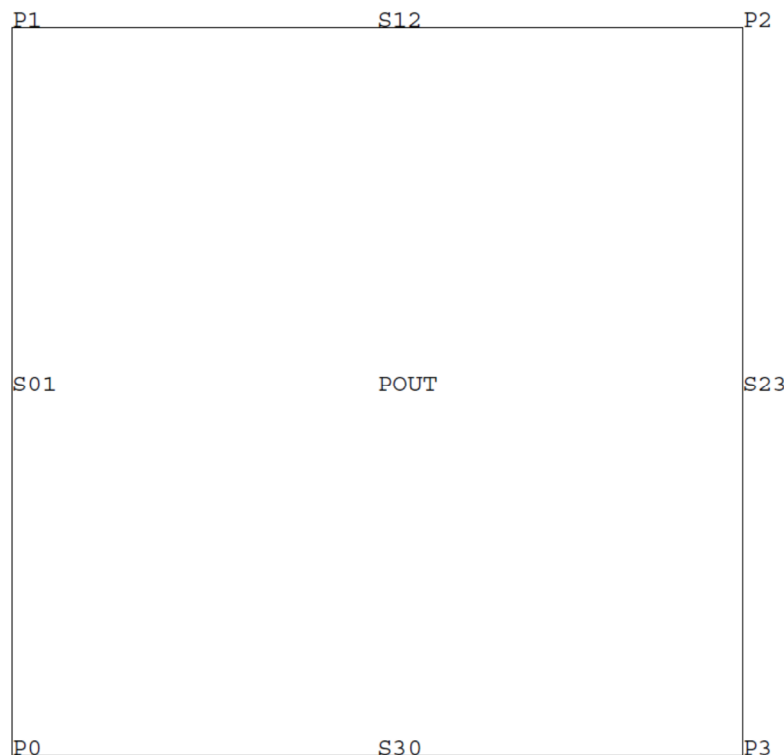
SI (RESI <EG ERRMAX) ;
  ERRE 0 ;
SINO;
  ERRE 5 ;
FINSI;

TEMPS ;
FIN ;
```

#### 5.4.8 vpla3.dgibi

|                              |  |
|------------------------------|--|
| <b>Nom du fichier</b>        | vpla3.dgibi  |
| <b>Type de calcul</b>        | Mécanique<br>Viscoplastique<br>2D-axisymétrique  |
| <b>Type d'Éléments Finis</b> | QUA8   |
| <b>Référence</b>             | Résultat Expérimental<br>RAPPORT DMT/93-434<br>COMPORTEMENT VISCO-PLASTIQUE, MODELE GUIONNET   |
| <b>Description</b>           | La structure est un cylindre creux soumis à pression constante avec une déformation axiale cyclique variant de -0,35% à +0,35%   |
| <b>Objectif</b>              | Comparaison de l'évolution de la contrainte en fonction de la déformation obtenue par le calcul à celle mesurée expérimentalement<br><br>Comparaison de l'évolution de la déformation circonférentielle progressive en fonction du nombre de cycles à celle mesurée expérimentalement<br><br>(Précision Relative de 18%) |
| <b>Version de Cast3M</b>     | Du jour  |
| <b>Plateformes testées</b>   | IBM AiX<br>Linux 32-bits<br>Linux 64-bits<br>Windows 32-bits<br>Windows 64-bits<br>MAC OSX 64-bits   |

Tableau 37 : Informations sur le cas test vpla3.dgibi



*Figure 66 : Maillage du cas-test vpla3.dgibi*

**Jeu de données :**

```

*fichier : vpla3.dgibi
*****
* Section : Mecanique Viscoplastique
*****
*      Test vpla3.dgibi: jeux de données      *
*-----*
*      Test vpla3.dgibi: jeux de données      *
*-----*
***** POUR CALCUL COMPLET METTRE COMPLET À : VRAI;
COMPLET = VRAI;

* SI GRAPH = N PAS DE GRAPHIQUE AFFICHE
* SINON SI GRAPH DIFFERENT DE N TOUS
* LES GRAPHIQUES SONT AFFICHES

GRAPH = 'N' ;

SAUT PAGE;
SI (NEG GRAPH 'N') ;
    OPTI ECHO 1 ;
    OPTI TRAC X ;
SINO ;
    OPTI ECHO 0 ;
FINSI ;

SAUT PAGE;
*-----*
*          TEST VPLA3
*-----*
* SORTIE DU DOMAINE ELASTIQUE ET PHASE VISCO-PLASTIQUE
* COMPORTEMENT VISCO-PLASTIQUE - MODELE GUILONNET - CAS AXISYMETRIQUE
* CYLINDRE CREUX SOUMIS A PRESSION INTERNE CONSTANTE ET
*                      DEFORMATION AXIALE IMPOSEE CYCLIQUE VARIANT DE
*                      0.35% A -0.35%
* COMPARAISON DES BOUCLES SIGMA AXIALE FONCTION DE DEFORMATION AXIALE
* AVEC RESULTATS EXPERIMENTAUX (RAPPORT DMT/93-434)
* COMPARAISON DE LA DEFORMATION CIRCONFERENTIELLE PROGRESSIVE EN
* FONCTION DU NOMBRE DE CYCLES AVEC RESULTATS EXPERIMENTAUX
*-----*
OPTI DIME 2 ELEM QUA8 MODE AXISYMETRIQUE ;

* -----DEFINITION DE LA GEOMETRIE
RAY = 8. ;
EP = 2. ;
LONG = EP ;

P0 = RAY 0. ;
P1 = RAY LONG ;
P2 = (RAY+EP) LONG ;
P3 = (RAY+EP) 0. ;
*
S01 = P0 DROIT 1 P1 ;
S12 = P1 DROIT 1 P2 ;
S23 = P2 DROIT 1 P3 ;
S30 = P3 DROIT 1 P0 ;
POUT= DALL S01 S12 S23 S30 'PLAN' ;

SI (NEG GRAPH 'N') ;
    TRAC 'QUAL' POUT ;
FINSI ;

* -----DEFINITION DES CONDITIONS AUX LIMITES-----
* ----- ET DES DEPLACEMENTS IMPOSES -----
CL1 = BLOQ UZ S12 ;
CL2 = BLOQ UZ S30 ;
CL = CL1 ET CL2 ;

DELTAL=LONG * 0.35E-2;
FL1 = DEPI CL1 DELTAL ;

MO = MODE POUT 'MECANIQUE' 'ELASTIQUE' 'VISCOPLASTIQUE' 'GUILONNET' ;
MA = MATE MO 'YOUN' 192500. 'NU' 0.3 'N' 24 'K' 200.
    'CK' 0. 'R0' 25. 'CD' 0. 'M' 0.8
    'A' 24000. 'A1' 3.3E5 'C' 180. 'C1' 40.
    'G' 0. 'R' 0. 'NN' 0.005 'C2' 40.
    'Q' 1.466 'GL' 0. 'R1' 0. 'BETA' 1.1
    'C0' 180. 'P1MO' 0.00333 ;

* -----CHARGEMENT EN TRACTION/COMPRESION
*      MONTEE EN CHARGE ET 1ER CYCLE
L1 = PROG 0. 1. 3. 5. ;
L2 = PROG 0. 1. -1. 1. ;

*      AU TOTAL 10 CYCLES
SI COMPLET;
REPETER STRU1 9;
NL1 = DIME L1;

X = EXTR NL1 NL1 ;
L1 = L1 ET (PROG (X+2.) (X+4.)) ;
L2 = L2 ET (PROG -1 1) ;
FIN STRU1 ;
FINSI;

EV = EVOL MANU 'T' L1 'FT' L2 ;
CHA1 = CHAR 'DIMP' FL1 EV ;

* -----CHARGEMENT EN PRESSION
MOP = 'MODE' S01 'CHARGEMENT' 'PRESSION' ;
MAP = 'MATE' MOP 'PRES' -21.5 ;
MOTOT = MO 'ET' MOP ;
MATOT = MA ET MAP ;
*
EVPRE = 'EVOL' 'MANU' 'TEMP' ('PROG' 0. 1. 100000.)
    'PRES' ('PROG' 0. 1. 1.) ;
VALP = 'CHAN' 'TYPE' ('EXCO' MAP 'PRES') 'CONTRAINTE' ;
CHA2 = 'CHAR' 'PRES' VALP EVPRE ;

* -----MISE EN CHARGE
LISO = PROG .2 .3 .4 PAS .05 .6 PAS .02 .8 PAS .01 1 ;
SI COMPLET;

* -----PREMIER CYCLE
LIS1 = PROG .2 .01 .02 PAS 0.02 1.1 PAS 0.05 2.9 PAS 0.02 2.98 2.99 3.
    3.01 3.02 PAS 0.02 3.1 PAS 0.05 4.9 PAS 0.02 4.98 4.99 5.;

* -----CYCLE 2 A 10
NLIS = DIME LIS1 ;
LISCITE4=PROG NLIS * 4. ;
LIS2 = LIS1 + LISCITE4 ;
LIS3 = LIS2 + LISCITE4 ;
LIS4 = LIS3 + LISCITE4 ;
LIS5 = LIS4 + LISCITE4 ;
LIS6 = LIS5 + LISCITE4 ;
LIS7 = LIS6 + LISCITE4 ;
LIS8 = LIS7 + LISCITE4 ;
LIS9 = LIS8 + LISCITE4 ;
LIS10= LIS9 + LISCITE4 ;

LIS = LIS0 ET LIS1 ET LIS2 ET LIS3 ET LIS4 ET LIS5 ET LIS6 ET LIS7
    ET LIS8 ET LIS9 ET LIS10;
SINO;
    LIS = LIS0;
FINSI;

TAB = TAB1 ;
TAB.'PRECISION' = 1E-3;
TAB.'BLOCAGES_MECANIQUES' = CL ;
TAB.'CARACTERISTIQUES' = MATOT ;
TAB.'CHARGEMENT' = CHA1 'ET' CHA2 ;
TAB.'TEMPS_CALCULES' = LIS ;
TAB.'MODELE' = MOTOT ;
PASAPAS TAB ;

*-----+
* COMPARAISON DES RESULTATS AVEC RESULTATS EXPERIMENTAUX
*           RAPPORT DMT/93-434
*-----+
J = 0;
PROGSIG = PROG;
PROGEPSS = PROG;
SI COMPLET;
    LECTI = LECT 37 85 133 181 229 277 325 469 517 949 997;
SINO;
    LECTI = LECT 37;
FINSI;

*-----+
* CONTRAINTE AXIALE EN FIN DE MONTEE EN CHARGE
*           EN MILIEU ET FIN DES CYCLES 1 2 ET 3
*-----+
SI COMPLET;
    NFOIS = (DIME LECTI) - 4 ;
SINO;
    NFOIS = 1;
FINSI;
REPETER STRU1 NFOIS;
    J = J + 1;
    I = EXTR LECTI J;
    SIG = TAB.CONTRAINTE.I;
    SIG11 = EXTR SIG SMZ2 1 1 9;
    PROGSIG = PROGSIG ET (PROG SIG11);
FIN STRU1;

*-----+
* DEFORMATION CIRCONFERENTIELLE MOYENNE (EN %) POUR CYCLES 5 ET 10
*-----+
SI COMPLET;
REPETER STRU2 2;
    J = J + 1;
    I1 = EXTR LECTI J ;
    I2 = EXTR LECTI (J+1);
    EPS1 = EPSI MOTOT (TAB.DEPLACEMENTS.I1);

```

## GUIDE DE VALIDATION

```

EPS_2    = EPSI MOTOT (TAB.DEPLACEMENTS.I2);
EPS22_1 = ( (EXTR EPS_1 EPIT 1 1 9) + (EXTR EPS_1 EPIT 1 1 6) +
             (EXTR EPS_1 EPIT 1 1 3) ) / 3. ;
EPS22_2 = ( (EXTR EPS_2 EPIT 1 1 9) + (EXTR EPS_2 EPIT 1 1 6) +
             (EXTR EPS_2 EPIT 1 1 3) ) / 3. ;
EPS22 = (EPS22_1 + EPS22_2) / 2. ;
PROGEPS = PROGEPS ET (PROG EPS22);
J = J + 1;
FIN STRU2;

PROGEPS = 100. * PROGEPS;
FINSI;

*+++++ RESULTATS EXPERIMENTAUX
*      RAPPORT DMT/93-434
*+++++
SI COMPLET;
  PROGSX = PROG 300 -300 330.3 -309.8 345.9 -312.8 351.9 ;
  PROGEX = PROG 0.22 0.2675 ;
SINON;
  PROGSX = PROG 300 ;
FINSI;

*+++++ COMPARAISON
*+++++
ERR_SIG = ABS ( (PROGSIG - PROGSX) / PROGSX ) ;
ERR_SIG = MAXI ERR_SIG ;
MESS 'Erreur sur les Contraintes : ' ERR_SIG ;

SI COMPLET ;
  ERRADM = 0.18 ;

ERR_EPS = ABS ( (PROGEPS - PROGEX) / PROGEX ) ;
ERR_EPS = MAXI ERR_EPS ;
MESS 'Erreur sur les Deformations : ' ERR_EPS ;
SI (ERR_EPS <EG 0.18);
  ERRE 0;
SINON;
  ERRE 5;
FINSI;
SINON;

ERRADM=0.03;
SI (ERR_SIG <EG ERRADM);
  ERRE 0;
SINON;
  ERRE 5;
FINSI;
FINSI;

FIN;

```

## 5.5 DYNAMIQUE

### 5.5.1 dyna6.dgibi

|                              |  |
|------------------------------|--|
| <b>Nom du fichier</b>        | dyna6.dgibi  |
| <b>Type de calcul</b>        | Mécanique<br>Vibration<br>3D   |
| <b>Type d'Éléments Finis</b> | POUT   |
| <b>Référence</b>             | Solution Analytique (Timoshenko)   |
| <b>Description</b>           | <p>MODES DE FLEXION D'UNE POUTRE</p> <p>Cet exemple permet de tester les trois options suivantes de l'opérateur VIBR :</p> <ul style="list-style-type: none"> <li>• Méthode par intervalle (INTERVALLE) : Séparation des modes par dichotomie sur un intervalle donné</li> <li>• Méthode par proximité (PROCHE) : Recherche des modes proches de valeurs données</li> <li>• Méthode de Lanczos (SIMULTANE) : projection sur un sous-espace</li> </ul> <p>Le problème consiste à trouver les fréquences pour le premier et le deuxième mode, d'une poutre encastrée à une extrémité et libre à l'autre.</p> <p>Les valeurs obtenues par les trois méthodes sont comparées aux valeurs théoriques.</p> |
| <b>Objectif</b>              | Fréquences des premier et deuxième modes propres de la poutre :<br>$f_1 = 17,71 \text{ Hz}$ (Précision relative de 1%)<br>$f_2 = 110,98 \text{ Hz}$  |
| <b>Version de Cast3M</b>     | Du jour  |
| <b>Plateformes testées</b>   | IBM AiX<br>Linux 32-bits<br>Linux 64-bits<br>Windows 32-bits<br>Windows 64-bits<br>MAC OSX 64-bits   |

Tableau 38 : Informations sur le cas test dyna6.dgibi

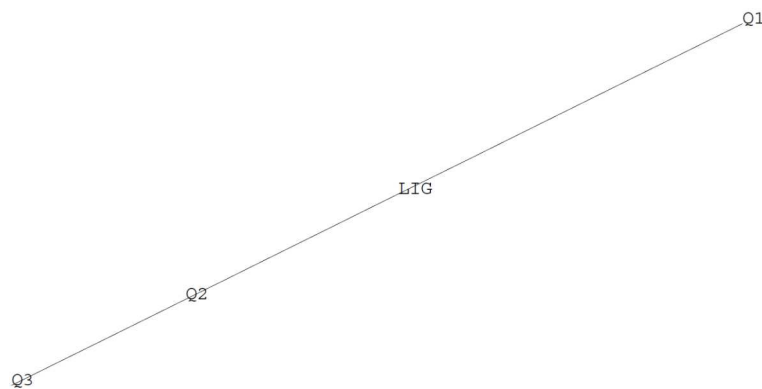


Figure 67 : Maillage du cas-test dyna6.dgibi

## Jeu de données :

```

* fichier : dyna6.dgibi
***** Section : Mecanique Dynamique *****
* Test Dyna6.dgibi: Jeux de données *
* -----
* Test dyna6.dgibi: jeux de données *
* -----
***** SI GRAPH = N PAS DE GRAPHIQUE AFFICHE *****
* SINON SI GRAPH DIFFERENT DE N TOUS *
* LES GRAPHIQUES SONT AFFICHES

GRAPH = 'N' ;

SAUT PAGE;
SI (NEG GRAPH 'N') ;
    OPTI ECHO 1 ;
    OPTI TRAC X ;
SINO ;
    OPTI ECHO 0 ;
FINSI ;

SAUT PAGE;
***** DYNAA6 *****
* CAS TEST OPERATEUR VIBRATION
* MODES DE FLEXION D'UNE POUTRE
* ENCASTREE-LIBRE
*
* Cet exemple permet de tester les trois options
* de l'opérateur VIBR :
*
* - par intervalle (INTERVALLE) o° on sépare les
*   modes par dichotomie sur un intervalle donné
* - par proximité (PROCHE) o° on recherche les
*   modes proches de valeurs données
* - par la méthode de Lanczos (SIMULTANE) o° on
*   projette sur un sous-espace
*
* Le problème consiste à trouver les fréquences pour
* le premier et le deuxième mode, d'une poutre
* encastrée à une extrémité et libre à l'autre.
*
* Les valeurs obtenues par les trois méthodes sont
* comparées aux valeurs théoriques.
*
***** TITR 'FLEXION D UNE POUTRE ENCASTREE-LIBRE';
OPTI DIMP 3 ELEM SEG2 MODE TRID IMPI 0;
OPTI EPSI LINEAIRE;
TEMPS ;
DENSITE 0.1;

*----- MAILLAGE -----
*----- Q2 EST UN NOEUD POUR LE MODE NUMERO 2 -----
Q1 = 0. 0. 0.;Q2 = (2.*0.783) 0. 0. ;Q3 = 2. 0. 0. ;
LIG= Q1 D Q2 D Q3 ;
OEILL1 = 5 5 5 ;

SI(NEG GRAPH 'N');
    TRAC OEILL1 LIG ;
FINSI;

STAN= MODE LIG MECANIQUE POUT ;

*----- MATERIAU ET CARACTERISTIQUES -----
MATPL1=MATE STAN YOUNG 2.E11 NU 0.3 RHO 7800;
CARPL1=CARA STAN SECT 0.01 INRY 6.25E-6 INRZ 1.E-3
        TORS 1.E-2;
MATPL1=MATPL1 ET CARPL1;

*----- RIGIDITE ET MASSE -----
RIGPL1 =RIGI STAN MATPL1;
MASPLA1=MASS STAN MATPL1;

*----- ON BLOQUE Q1 -----
BLOQ1 =BLOQ DEPL ROTA Q1 ;
RIGPLA1=RIGPL1 ET BLOQ1 ;

*
* PREMIERE OPTION (INTERVALLE)
* ON SEPARE LES MODES PAR DICHOTOMIE
* PUIS ON LANCE LES ITERATIONS INVERSES
*
MODPLA1=VIBR INT 10. 120. RIGPLA1 MASPLA1 ;

*
* DEUXIEME OPTION (PROCHE)

```

### 5.5.2 dyna7.dgibi

| <b>Nom du fichier</b>        | dyna7.dgibi   |                       |                       |                      |                      |                         |                          |                         |                           |                            |                            |
|------------------------------|---|-----------------------|-----------------------|----------------------|----------------------|-------------------------|--------------------------|-------------------------|---------------------------|----------------------------|----------------------------|
| <b>Type de calcul</b>        | Mécanique<br>Vibration<br>2D Fourier  |                       |                       |                      |                      |                         |                          |                         |                           |                            |                            |
| <b>Type d'Éléments Finis</b> | LQU4, LSU2  |                       |                       |                      |                      |                         |                          |                         |                           |                            |                            |
| <b>Référence</b>             | Solution Analytique   |                       |                       |                      |                      |                         |                          |                         |                           |                            |                            |
| <b>Description</b>           | <p>MODES DE BALOTTEMENT D'UNE LAME MINCE FLUIDE</p> <p>Cet exemple permet de tester les trois options de l'opérateur VIBR :</p> <ul style="list-style-type: none"> <li>• Méthode par intervalle (INTERVALLE) : Séparation des modes par dichotomie sur un intervalle donné</li> <li>• Méthode par proximité (PROCHE) : Recherche des modes proches de valeurs données</li> <li>• Méthode de Lanczos (SIMULTANE) : projection sur un sous-espace</li> </ul> <p>Le problème consiste à trouver les modes de ballotement d'une lame mince de fluide dans un espace annulaire pour les modes de Fourier 1 et 3</p> <p>La cavité est supposée indéformable, la gravité est prise en compte.</p>  |                       |                       |                      |                      |                         |                          |                         |                           |                            |                            |
| <b>Objectif</b>              | <p>Fréquences en mode de Fourier 1 et 3 :</p> <table border="1" style="width: 100%; border-collapse: collapse;"> <thead> <tr> <th style="text-align: center;"><b>Mode Fourier 1</b></th> <th style="text-align: center;"><b>Mode Fourier 3</b></th> </tr> </thead> <tbody> <tr> <td style="text-align: center;"><math>f_1 = 1 \text{ Hz}</math></td> <td style="text-align: center;"><math>f_1 = 1 \text{ Hz}</math></td> </tr> <tr> <td style="text-align: center;"><math>f_2 = 1,81 \text{ Hz}</math></td> <td style="text-align: center;"><math>f_2 = 18,31 \text{ Hz}</math></td> </tr> <tr> <td style="text-align: center;"><math>f_3 = 3,76 \text{ Hz}</math></td> <td style="text-align: center;"><math>f_3 = 201,72 \text{ Hz}</math></td> </tr> <tr> <td style="text-align: center;">(Précision relative de 1%)</td> <td style="text-align: center;">(Précision relative de 1%)</td> </tr> </tbody> </table> | <b>Mode Fourier 1</b> | <b>Mode Fourier 3</b> | $f_1 = 1 \text{ Hz}$ | $f_1 = 1 \text{ Hz}$ | $f_2 = 1,81 \text{ Hz}$ | $f_2 = 18,31 \text{ Hz}$ | $f_3 = 3,76 \text{ Hz}$ | $f_3 = 201,72 \text{ Hz}$ | (Précision relative de 1%) | (Précision relative de 1%) |
| <b>Mode Fourier 1</b>        | <b>Mode Fourier 3</b>   |                       |                       |                      |                      |                         |                          |                         |                           |                            |                            |
| $f_1 = 1 \text{ Hz}$         | $f_1 = 1 \text{ Hz}$  |                       |                       |                      |                      |                         |                          |                         |                           |                            |                            |
| $f_2 = 1,81 \text{ Hz}$      | $f_2 = 18,31 \text{ Hz}$  |                       |                       |                      |                      |                         |                          |                         |                           |                            |                            |
| $f_3 = 3,76 \text{ Hz}$      | $f_3 = 201,72 \text{ Hz}$   |                       |                       |                      |                      |                         |                          |                         |                           |                            |                            |
| (Précision relative de 1%)   | (Précision relative de 1%)  |                       |                       |                      |                      |                         |                          |                         |                           |                            |                            |
| <b>Version de Cast3M</b>     | Du jour   |                       |                       |                      |                      |                         |                          |                         |                           |                            |                            |
| <b>Plateformes testées</b>   | IBM AiX<br>Linux 32-bits<br>Linux 64-bits<br>Windows 32-bits<br>Windows 64-bits<br>MAC OSX 64-bits  |                       |                       |                      |                      |                         |                          |                         |                           |                            |                            |

Tableau 39 : Informations sur le cas test dyna7.dgibi

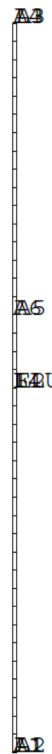


Figure 68 : Maillage du cas-test dyna7.dgibi



## Jeu de données :

```

-----*-----';
MESS ' HARM 1    0.489      *   ' F1 '**' F2 '**' ' F3;
MESS ' HARM 3    0.863      *   ' G1 '**' G2 '**' ' G3;
MESS ' ';
MESS '**';
MESS
***** ON VERIFIE LE CHAMP DE PRESSION AUX POINTS
A1,A5 ET A3';
MESS '**';
MESS '';
MESS
'          ANALYTIQUE      *     INTERVALLE      *     PROCHE
*      SIMULTANE';
MESS
'-----*-----';
MESS 'HARM 1    1.00      *   ' X1 '**' X2 '**' ' X3 ;
MESS 'HARM 1    1.81      *   ' Y1 '**' Y2 '**' ' Y3 ;
MESS 'HARM 1    3.76      *   ' Z1 '**' Z2 '**' ' Z3 ;
MESS 'HARM 3    1.00      *   ' T1 '**' T2 '**' ' T3 ;
MESS 'HARM 3    18.31     *   ' U1 '**' U2 '**' ' U3 ;
MESS 'HARM 3    201.72    *   ' V1 '**' V2 '**' ' V3 ;
TEMPS ;

----- code de bon fonctionnement -----
SAUT 1 PAGE;
ERR = TABLE;
ERR.1 = 100 * (ABS(0.489 -F1)/0.489);
ERR.2 = 100 * (ABS(0.489-F2)/0.489);
ERR.3 = 100 * (ABS(0.489 -F3)/0.489);
ERR.4 = 100 * (ABS(0.863 -G1)/0.863);
ERR.5 = 100 * (ABS(0.863 -G2)/0.863);
ERR.6 = 100 * (ABS(0.863 -G3)/0.863);
ERR.7 = 100 * (ABS(1-X1)/1);
ERR.8 = 100 * (ABS(1-X2)/1);
ERR.9 = 100 * (ABS(1-X3)/1);
ERR.10= 100 * (ABS(1.81 -Y1)/1.81);
ERR.11= 100 * (ABS(1.81 -Y2)/1.81);
ERR.12= 100 * (ABS(1.81 -Y3)/1.81);
ERR.13= 100 * (ABS(3.76 -Z1)/3.76);
ERR.14= 100 * (ABS(3.76 -Z2)/3.76);
ERR.15= 100 * (ABS(3.76 -Z3)/3.76);
ERR.16= 100 * (ABS(1-T1));
ERR.17= 100 * (ABS(1-T2));
ERR.18= 100 * (ABS(1-T3));
ERR.19= 100 * (ABS(18.31 -U1)/18.31);
ERR.20= 100 * (ABS(18.31 -U2)/18.31);
ERR.21= 100 * (ABS(18.31 -U3)/18.31);
ERR.22= 100 * (ABS(201.72-V1)/201.72);
ERR.23= 100 * (ABS(201.72-V2)/201.72);
ERR.24= 100 * (ABS(201.72-V3)/201.72);

I=0;
REPETER BOUC1 24;
I=I+1;
SI (ERR.I <EG 1;
SAUT 1 LIGN;
ERRE 0;
FINSI;
SINON;
MESS 'erreur valeur ' I ' du tableau :' ERR.I;
ERRE 5;
FINSI;
FIN BOUC1;

FIN;

```

### 5.5.3 dyna8.dgibi

|                              |  |
|------------------------------|--|
| <b>Nom du fichier</b>        | dyna8.dgibi  |
| <b>Type de calcul</b>        | Mécanique<br>Vibration<br>3D   |
| <b>Type d'Éléments Finis</b> | CU20   |
| <b>Référence</b>             | Solution Analytique (Timoshenko)   |
| <b>Description</b>           | <p>FREQUENCES PROPRES D'UNE POUTRE-CONSOLE</p> <p>Le problème consiste à trouver les modes propres d'une poutre encastrée à une extrémité (Surface ST) et libre de l'autre</p> <p>Ce test est similaire au test dyna6.dgibi mais les éléments sont des CU20 au lieu de POUT.</p> |
| <b>Objectif</b>              | <p>6 premières fréquences propres :</p> $f_1 = 9,39 \text{ Hz}$<br>$f_2 = 16,78 \text{ Hz}$<br>$f_3 = 52,52 \text{ Hz}$ (Précision relative de 1%)<br>$f_4 = 59,75 \text{ Hz}$<br>$f_5 = 105,0 \text{ Hz}$<br>$f_6 = 129,6 \text{ Hz}$   |
| <b>Version de Cast3M</b>     | Du jour  |
| <b>Plateformes testées</b>   | IBM AiX<br>Linux 32-bits<br>Linux 64-bits<br>Windows 32-bits<br>Windows 64-bits<br>MAC OSX 64-bits   |

Tableau 40 : Informations sur le cas test dyna8.dgibi

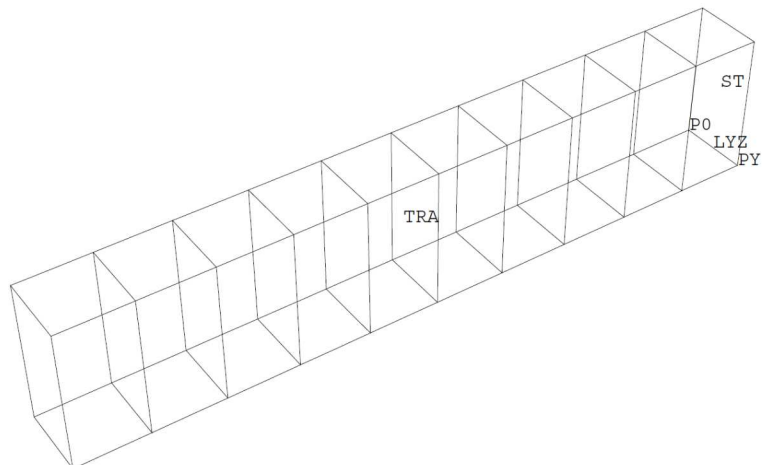


Figure 69 : Maillage du cas-test dyna8.dgibi



## Jeu de données :

```

* fichier : dyna8.dgibi
*****
* Section : Mecanique Dynamique
*****
* Test Dyna8.dgibi: Jeux de données
* -----
* -----
* Test dyna8.dgibi: jeux de données
* -----
* -----
* SI GRAPH = N PAS DE GRAPHIQUE AFFICHE
* SINON SI GRAPH DIFFERENT DE N TOUS
* LES GRAPHIQUES SONT AFFICHES

GRAPH = 'N' ;

SAUT PAGE;
SI (NEG GRAPH 'N') ;
    OPTI ECHO 1 ;
    OPTI TRAC PSC ;
SINO ;
    OPTI ECHO 0 ;
FINSI ;

SAUT PAGE;
***** DYN8A
* CALCUL DES FREQUENCES PROPRES D'UNE POUTRE-CONSOLE
* (COMPARAISON AVEC TIMOSHENKO)
*
* On recherche les fréquences propres d'une poutre encastree a une
* extrémité (surface ST) et libre a l'autre extrémité.
*
* Ce test est similaire au test DYNA6, mais au lieu d'utiliser des
* éléments POUT on utilise ici des éléments massifs CU20.
*
* Les résultats sont comparés aux résultats obtenus par méthode analytique
* que cite dans l'ouvrage de Timoshenko.
*
***** TITR 'FREQUENCES PROPRES D UNE POUTRE-CONSOLE';
OPTI DIME 3 ELEM CU20 ;
OPTI EPSI LINEAIRE;
TEMPS;
*
*----- GEOMETRIE -----
*
P0 = 0 0 0 ;
P10 = 10 0 0 ;
PY = 0 1 0 ;
PZ = 0 0 2 ;
LYZ = P0 DROI 1 PY ;
ST = LYZ TRAN 1 PZ ;
TRA = ST VOLU 10 TRAN P10 ;
*
OEILL1 = 15 15 15 ;
*
SI (NEG GRAPH 'N');
    TRAC 'QUAL' OEILL1 TRA ;
FINSI;
*
*----- MATERIAU -----
*
MM = MODE TRA MECANIQUE CU20 ;

MA = MATE MM YOUN 2.1E11 NU 0.3 RHO 7800 ;
*
*----- CONDITIONS AUX LIMITES, RIGIDITE ET MASSE -----
*
INC = BLOQ DEPL ROTA ST ;
K = RIGI MM MA ;
KT = K ET INC ;
MT = MASS MM MA ;
*
*----- CALCUL DES FREQUENCES PAR INTERVALLE -----
*
* Cette méthode de recherche en trois intervalles est plus rapide que
* la recherche en une seule fois sur l'intervalle 0-150.
*
AUTO0 = VIBR INTERVALLE 0. 50. BASSE 2 KT MT ;
AUTO1 = VIBR INTERVALLE 50. 100. BASSE 2 KT MT ;
AUTO2 = VIBR INTERVALLE 100. 150. BASSE 2 KT MT ;
*
*----- TRACE ET SORTIES -----
*
F1 = (TIRE AUTO0 FREQ NUME 1) ;
F2 = (TIRE AUTO0 FREQ NUME 2) ;
F3 = (TIRE AUTO1 FREQ NUME 1) ;
F4 = (TIRE AUTO1 FREQ NUME 2) ;
F5 = (TIRE AUTO2 FREQ NUME 1) ;

```

```

F6 = (TIRE AUTO2 FREQ NUME 2) ;
*
SAUT PAGE ; SAUT 2 LIGNE ;
*
MESS ' MODE 1      FREQUENCE THEORIQUE 8.391      CALCULEE ' F1 ;
MESS ' MODE 2      FREQUENCE THEORIQUE 16.78       CALCULEE ' F2 ;
MESS ' MODE 3      FREQUENCE THEORIQUE 52.52        CALCULEE ' F3 ;
MESS ' MODE 4      FREQUENCE THEORIQUE 59.75        CALCULEE ' F4 ;
MESS ' MODE 5      FREQUENCE THEORIQUE 105.0       CALCULEE ' F5 ;
MESS ' MODE 6      FREQUENCE THEORIQUE 129.6       CALCULEE ' F6 ;
*
*----- CODE DE FONCTIONNEMENT -----
ERR=TABLE;
ERR.1=100*(ABS(8.391 -F1)/8.391);
ERR.2=100*(ABS(16.78 -F2)/16.78);
ERR.3=100*(ABS(52.52 -F3)/52.52);
ERR.4=100*(ABS(59.75 -F4)/59.75);
ERR.5=100*(ABS(105.0 -F5)/105.0);
ERR.6=100*(ABS(129.6 -F6)/129.6);
I=0;
REPETER BOUC 6;
  I=I+1;
  SI (ERR.I < 1);
    ERRE 0;
  SINON;
    ERRE 5;
  FINSI;
FIN;

TEMPS;

FIN;

```

### 5.5.4 dyna9.dgibi

|                              |   |
|------------------------------|---|
| <b>Nom du fichier</b>        | dyna9.dgibi   |
| <b>Type de calcul</b>        | Mécanique<br>Vibration<br>3D  |
| <b>Type d'Éléments Finis</b> | COQ4  |
| <b>Référence</b>             | VIBRATIONS OF RECTANGULAR AND SHEAR PLATES<br>JOU. OF APPL. MECH. , VOL.18 , 1951<br>FREQUENCES PROPRES D'UNE PLAQUE-CONSOLE  |
| <b>Description</b>           | Le problème consiste à trouver les modes propres d'une plaque encastrée sur le bord L1 et libre sur les 3 autres bords<br><br>Les solutions calcules sont comparées a celles publiées par M.V. BARTON |
| <b>Objectif</b>              | 4 premières fréquences propres :<br><br>$f_1 = 84,6 \text{ Hz}$<br>$f_2 = 363,8 \text{ Hz}$ (Précision relative de 1%)<br>$f_3 = 576,6 \text{ Hz}$<br>$f_4 = 1187 \text{ Hz}$                         |
| <b>Version de Cast3M</b>     | Du jour   |
| <b>Plateformes testées</b>   | IBM AiX<br>Linux 32-bits<br>Linux 64-bits<br>Windows 32-bits<br>Windows 64-bits<br>MAC OSX 64-bits  |

Tableau 41 : Informations sur le cas test dyna9.dgibi

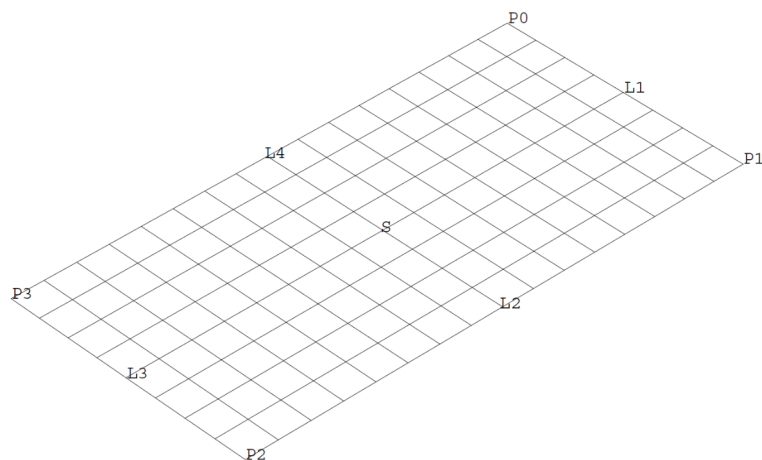


Figure 70 : Maillage du cas-test dyna9.dgibi

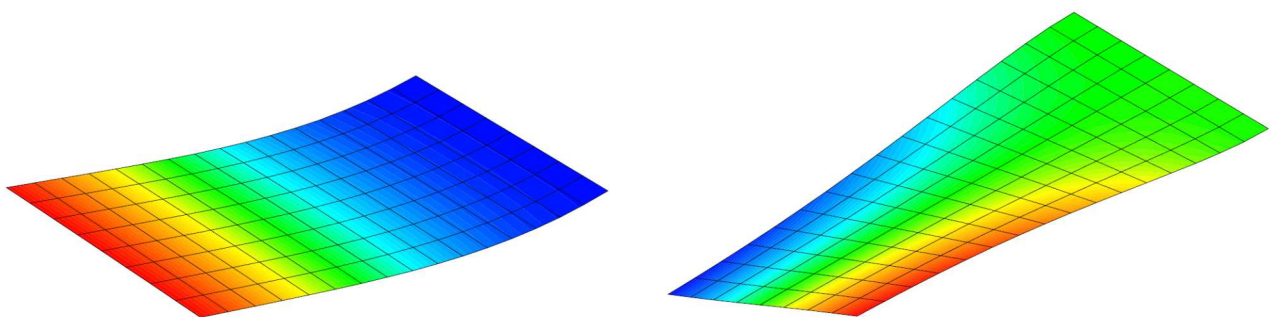


Figure 71 : Déformée modale du mode n° 1 à 83,92Hz (à gauche) et du mode n° 2 à 361,24Hz (à droite)

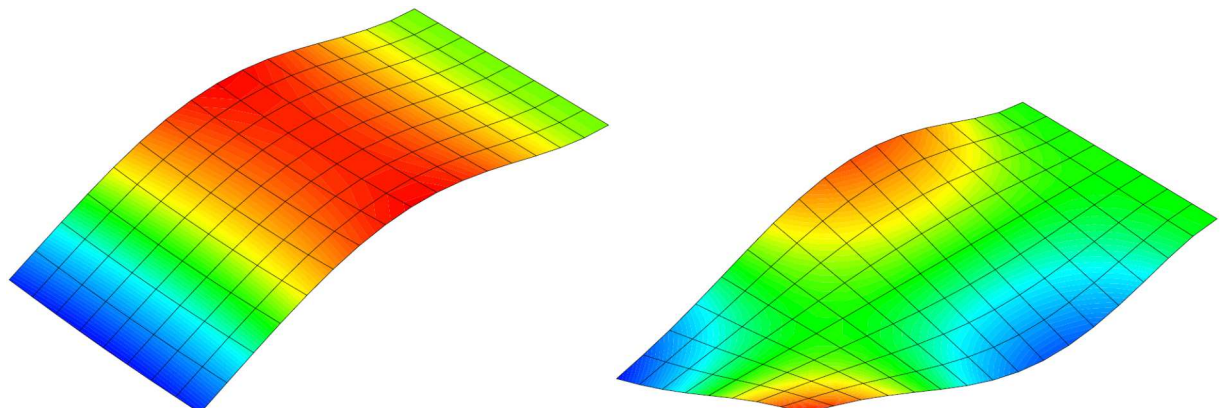


Figure 72 : Déformée modale du mode n° 3 à 527,6Hz (à gauche) et du mode n° 4 à 1184Hz (à droite)

**Jeu de données :**

```

* fichier : dyna9.dgibi
*****
* Section : Mecanique Dynamique
*****
*      Test Dyna9.dgibi: Jeux de données      *
*      -----      *
*      *      *
*****  

*      Test dyna9.dgibi: jeux de données      *
*      -----      *
*****  

* SI GRAPH = N PAS DE GRAPHIQUE AFFICHE
* SINON SI GRAPH DIFFERENT DE N TOUS
* LES GRAPHIQUES SONT AFFICHES  

GRAPH = 'N' ;  

SAUT PAGE;  

SI (NEG GRAPH 'N') ;  

    OPTI ECHO 1 ;  

    OPTI TRAC PSC ;  

SINO ;  

    OPTI ECHO 0 ;  

FINSI ;  

SAUT PAGE;  

*****  

*          DYN9  

*  

*          CALCUL DES FREQUENCES PROPRES D'UNE PLAQUE-CONSOLE  

*  

* Dans cet exemple on calcule les fréquences propres d'une plaque  

* encastree sur un côté et libre sur les trois autres côtés.  

*  

* Les solutions calculées sont comparées à celles publiées par  

* M.V. BARTON dans l'article :  

*  

*          VIBRATIONS OF RECTANGULAR AND SHEAR PLATES  

*          JOU. OF APPL. MECH. , VOL.18 , 1951  

*  

*****  

TITR 'FREQUENCES PROPRES D'UNE PLAQUE CONSOLE' ;  

OPTI DIME 3 ELEM QUA4 ;  

OPTI EPSI LINEAIRE;  

TEMPS ;  

*----- GEOMETRIE -----  

*  

P0 = 0 0 0 ;  

P1 = 0 1 0 ;  

P2 = 2 1 0 ;  

P3 = 2 0 0 ;  

L1 = D 8 P0 P1 ;  

L2 = D 16 P1 P2 ;  

L3 = D 8 P2 P3 ;  

L4 = D 16 P3 P0 ;  

S = L1 L2 L3 L4 DALL PLAN ;  

*  

OEILL1 = 10 10 10 ;  

*  

SI (NEG GRAPH 'N');

```

```

    TRAC 'QUAL' OEILL1 S ;
    FINSI;
*----- MATERIAU -----
*  

MM = MODE S MECANIQUE COQ4 ;  

MA = MATE MM YOUN 30E6 NU 0.3 RHO 7.32E-4 ;
CA = CARA MM EPAI 0.01 ;
MA =MA ET CA;
*----- CONDITIONS AUX LIMITES - CALCUL DES MATRICES -----
*  

INC = BLOQ DEPL ROTA L1 ;
K = RIGI MM MA ;
KT = K ET INC ;
M = MASS MM MA;
*----- CALCUL -----
PROGREF = PROG 84.6 363.8 526.6 1187 ;
PROG1 = PROG 85. 360. 530. 1200. ;
AUTO = VIBR PROCHE PROG1 KT M ;  

*----- TRACE ET SORTIES -----
PROGERR = VIDE 'LISTREEL';
REPE SURMOD (DIME AUTO);
INDICE = &SURMOD ;
FREQEN = (TIRE AUTO FREQ NUME INDICE) ;
FREQREF= EXTR PROGREF INDICE;  

MESS ' MODE ' INDICE
    'FREQUENCE REF : ' (EXTR PROGREF INDICE)
    'FREQUENCE CAL : ' FREQEN ;
MESS ' ERREUR RELATIVE : ' ERREUR ;
DEPLA = (TIRE AUTO DEPL NUME INDICE) ;
DEPLZ = EXCO DEPLA 'UZ';
SI (NEG GRAPH 'N');
    TRAC OEILL1 DEPLZ (DEFO 0.5 DEPLA S);
FINSI;
SAUT 1 LIGNE ;  

ERREUR = 100 * ((ABS(FREQREF -FREQEN) / FREQREF ));  

PROGERR = PROGERR ET (PROG ERREUR);  

FIN SURMOD;  

*----- CODE DE FONCTIONNEMENT -----
ERRMAX = MAXI PROGERR;  

SI (ERRMAX < 1);
    ERRE 0;
SINON;
    ERRE 5;
FINSI;  

TEMPS ;
FIN;

```

## 5.5.5 dyna10.dgibi

|                              |   |   |  |  |
|------------------------------|---|---|--|--|
| <b>Nom du fichier</b>        | dyna10.dgibi  |   |  |  |
| <b>Type de calcul</b>        | Mécanique<br>Vibration<br>2D Fourier  |   |  |  |
| <b>Type d'Éléments Finis</b> | COQ2  |   |  |  |
| <b>Référence</b>             | S. TIMOSHENKO,D. H. YOUNG AND WEAVER,JR.,VIBRATION PROBLEMES IN ENGINEERING ,4TH ED. (NEW YORK :WILEY & SONS,1974) P. 501<br>MODES PROPRES D'UNE PLAQUE CIRCULAIRE, SYMETRIE CYCLIQUE |   |  |  |
| <b>Description</b>           | Le problème consiste à trouver les modes propres d'une plaque circulaire libre<br><br>2 premières fréquences propres pour les 4 premiers modes de Fourier                             |   |  |  |
| <b>Objectif</b>              | <b>Mode Fourier 0</b><br>$f_1 = 446,18 \text{ Hz}$<br>$f_2 = 1893,68 \text{ Hz}$  | <b>Mode Fourier 1</b><br>$f_1 = 1008,78 \text{ Hz}$<br>$f_2 = 2937,86 \text{ Hz}$ | <b>Mode Fourier 2</b><br>$f_1 = 258,14 \text{ Hz}$<br>$f_2 = 1732,43 \text{ Hz}$ | <b>Mode Fourier 2</b><br>$f_1 = 601,23 \text{ Hz}$<br>$f_2 = 2601,11 \text{ Hz}$ |
|                              | (Précision relative de 2,5%)  |   |  |  |
| <b>Version de Cast3M</b>     | Du jour   |   |  |  |
| <b>Plateformes testées</b>   | IBM AIX<br>Linux 32-bits<br>Linux 64-bits<br>Windows 32-bits<br>Windows 64-bits<br>MAC OSX 64-bits  |   |  |  |

Tableau 42 : Informations sur le cas test dyna10.dgibi

P1                            L1                            P2

Figure 73 : Maillage du cas-test dyna10.dgibi

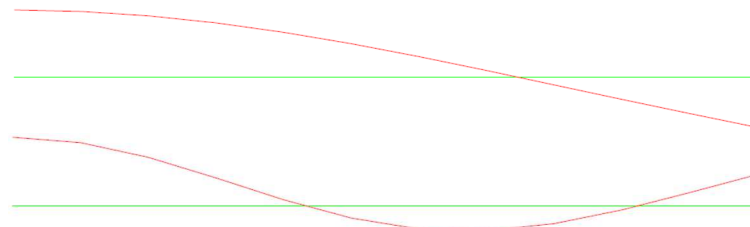


Figure 74 : Mode de Fourier 0 : déformée modale (en vert, x1) de la fréquence propre n° 1 (en haut) et de la fréquence propre n° 2 (en bas)

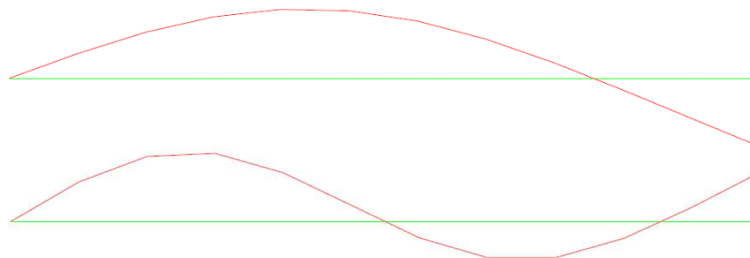


Figure 75 : Mode de Fourier 1 : déformée modale (en vert, x1) de la fréquence propre n° 1 (en haut) et de la fréquence propre n° 2 (en bas)

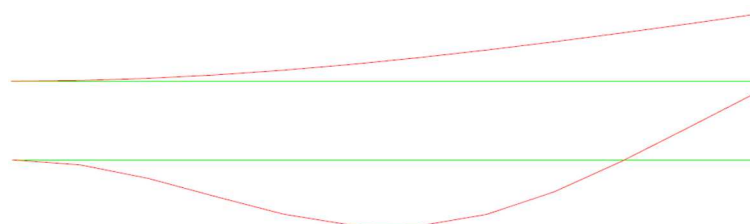


Figure 76 : Mode de Fourier 2 : déformée modale (en vert, x1) de la fréquence propre n° 1 (en haut) et de la fréquence propre n° 2 (en bas)

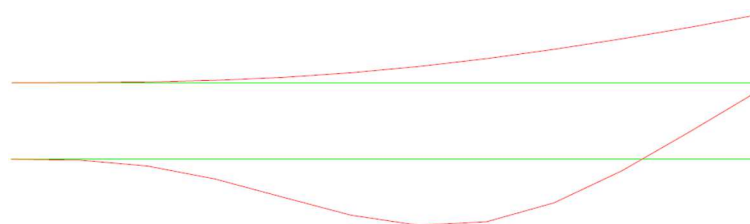


Figure 77 : Mode de Fourier 3 : déformée modale (en vert, x1) de la fréquence propre n° 1 (en haut) et de la fréquence propre n° 2 (en bas)

# GUIDE DE VALIDATION

## Jeu de données :

```

*fichier : dynal0.dgibi
*****
* Section : Mecanique Dynamique
*****
* Test Dynal0.dgibi: Jeux de données *
*-----*
*-----*
*****Test Dynal0.dgibi: jeux de données *****
*-----*
*-----*
*****SI GRAPH = N PAS DE GRAPHIQUE AFFICHE
* SINON SI GRAPH DIFFERENT DE N TOUS
* LES GRAPHIQUES SONT AFFICHES
*-----*
GRAPH = 'N' ;
SAUT PAGE;
SI (NEG GRAPH 'N') ;
OPTI ECHO 1 ;
OPTI TRAC PSC ;
SINO ;
OPTI ECHO 0 ;
FINSI ;

SAUT PAGE;
*****DYNAL0*****;
*****MODES PROPES D'UNE PLAQUE CIRCULAIRE ,SYMETRIE CYCLIQUE
*****DESCRIPTION DU PROBLEME
*****IL S'AGIT DE CALCULER LES FREQUENCES NATURELLES D'UNE PLAQUE
*CIRCULAIRE LIBRE
*****REFERENCE :
*****S. TIMOSHENKO,D. H. YOUNG AND WEAVER,JR.,VIBRATION PROBLEMES IN
* ENGINEERING ,4TH ED. (NEW YORK :WILEY & SONS,1974) P. 501
*****OPTI DIME 2 ELEM QUA4 ;
OPTI EPSI LINEAIRE;
*-----*
* MAILLAGE
P1 = 0. 0. ; P2 = 11. 0. ;
L1 = D 11 P1 P2 ;

SI (NEG GRAPH 'N');
TRAC 'QUAL' L1 ;
FINSI;

OPTI MODE FOUR 0 ;
*-----*
* MODELE
MOD1 = MODELE L1 MECANIQUE ELASTIQUE COQ2 ;
*-----*
* PROPRIETES DE MATERIAUX
MAT1 = MATE MOD1 YOUN 1.E7 NU 0.3 RHO 0.0002588 ;
CAR1 = CARA MOD1 EPAI 0.1 ;
*-----*
* MATRICE DE RIGIDITE
RIG1 = RIGIDITE MOD1 (MAT1 ET CAR1) ;
*-----*
* MATRICE DE MASSE
MAS1 = MASSE MOD1 (MAT1 ET CAR1) ;
*-----*
* CALCUL DES MODES
TAB1 = VIBR 'INTERVALE' 1. 1000.
(RIG1 ) MAS1 'TBAS';
*-----*
* COMPARAISON AVEC LES RESULTATS ANALYTIQUES
TAB2 = TAB1.MODES ;
OMEG1 = (((TAB2.1).FREQUENCE) * 2. ) * PI ;
OMEG1TH = 446.18 ;ER01 =((OMEG1 - OMEG1TH) / (ABS OMEG1TH))*100. ;
OMEG2 = (((TAB2.2).FREQUENCE) * 2. ) * PI ;
OMEG2TH = 1893.68 ;ER02 =((OMEG2 - OMEG2TH) / (ABS OMEG2TH))*100. ;
MESS '        PREMIER MODE      ' ;
MESS 'THEORIQUE ' OMEG1TH 'CASTEM 'OMEG1 '%ERREUR ' ER01 ;
MESS '        DEUXIEME MODE     ' ;
MESS 'THEORIQUE ' OMEG2TH 'CASTEM 'OMEG2 '%ERREUR ' ER02 ;
*-----*
* DEFORMEES
DEF1 = DEFORM (TAB2.1).DEFORMEE_MODAL1 1. ROUG ;
DEF2 = DEFORM (TAB2.2).DEFORMEE_MODAL1 1. ROUG ;
DEF0 = DEFORM (TAB2.1).DEFORMEE_MODAL1 0. VERT ;
SI (NEG GRAPH 'N') ;
TRAC (DEF0 ET DEF1) ;
TRAC (DEF0 ET DEF2) ;
FINSI;

*-----*
* CALCUL DES MODES (MODE FOURIER 1)
OPTIO MODE FOUR 1 ;
RIG1 = RIGIDITE MOD1 (MAT1 ET CAR1) ;
MAS1 = MASSE MOD1 (MAT1 ET CAR1) ;
TAB1 = VIBR 'INTERVALE' 1. 1000.
(RIG1 ) MAS1 'TBAS';
*-----*
* COMPARAISON AVEC LES RESULTATS ANALYTIQUES
TAB2 = TAB1.MODES ;
OMEG1 = (((TAB2.1).FREQUENCE) * 2. ) * PI ;
OMEG1TH = 1008.78 ;ER11 =((OMEG1 - OMEG1TH) / (ABS OMEG1TH))*100 ;
OMEG2 = (((TAB2.2).FREQUENCE) * 2. ) * PI ;
OMEG2TH = 2937.86 ;ER12 =((OMEG2 - OMEG2TH) / (ABS OMEG2TH))*100 ;
MESS '        PREMIER MODE      ' ;
MESS 'THEORIQUE ' OMEG1TH 'CASTEM 'OMEG1 '%ERREUR ' ER11 ;
MESS '        DEUXIEME MODE     ' ;
MESS 'THEORIQUE ' OMEG2TH 'CASTEM 'OMEG2 '%ERREUR ' ER12 ;
*-----*
* DEFORMEES
DEF1 = DEFORM (TAB2.1).DEFORMEE_MODAL1 1. ROUG ;
DEF2 = DEFORM (TAB2.2).DEFORMEE_MODAL1 1. ROUG ;
DEF0 = DEFORM (TAB2.1).DEFORMEE_MODAL1 0. VERT ;
SI (NEG GRAPH 'N') ;
TRAC (DEF0 ET DEF1) ;
TRAC (DEF0 ET DEF2) ;
FINSI;

*-----*
* CALCUL DES MODES (MODE FOURIER 2)
OPTIO MODE FOUR 2 ;
RIG1 = RIGIDITE MOD1 (MAT1 ET CAR1) ;
MAS1 = MASSE MOD1 (MAT1 ET CAR1) ;
TAB1 = VIBR 'INTERVALE' 1. 1000.
(RIG1 ) MAS1 'TBAS';
*-----*
* COMPARAISON AVEC LES RESULTATS ANALYTIQUES
TAB2 = TAB1.MODES ;
OMEG1 = (((TAB2.1).FREQUENCE) * 2. ) * PI ;
OMEG1TH = 258.14 ;ER21 =((OMEG1 - OMEG1TH) / (ABS OMEG1TH))*100 ;
OMEG2 = (((TAB2.2).FREQUENCE) * 2. ) * PI ;
OMEG2TH = 1732.43 ;ER22 =((OMEG2 - OMEG2TH) / (ABS OMEG2TH))*100 ;
MESS '        PREMIER MODE      ' ;
MESS 'THEORIQUE ' OMEG1TH 'CASTEM 'OMEG1 '%ERREUR ' ER21 ;
MESS '        DEUXIEME MODE     ' ;
MESS 'THEORIQUE ' OMEG2TH 'CASTEM 'OMEG2 '%ERREUR ' ER22 ;
*-----*
* DEFORMEES
DEF1 = DEFORM (TAB2.1).DEFORMEE_MODAL1 1. ROUG ;
DEF2 = DEFORM (TAB2.2).DEFORMEE_MODAL1 1. ROUG ;
DEF0 = DEFORM (TAB2.1).DEFORMEE_MODAL1 0. VERT ;
SI (NEG GRAPH 'N') ;
TRAC (DEF0 ET DEF1) ;
TRAC (DEF0 ET DEF2) ;
FINSI;

*-----*
* CALCUL DES MODES (MODE FOURIER 3)
OPTIO MODE FOUR 3 ;
RIG1 = RIGIDITE MOD1 (MAT1 ET CAR1) ;
MAS1 = MASSE MOD1 (MAT1 ET CAR1) ;
TAB1 = VIBR 'INTERVALE' 1. 1000.
(RIG1 ) MAS1 'TBAS';
*-----*
* COMPARAISON AVEC LES RESULTATS ANALYTIQUES
TAB2 = TAB1.MODES ;
OMEG1 = (((TAB2.1).FREQUENCE) * 2. ) * PI ;
OMEG1TH = 601.23 ;ER31 =((OMEG1 - OMEG1TH) / (ABS OMEG1TH))*100 ;
OMEG2 = (((TAB2.2).FREQUENCE) * 2. ) * PI ;
OMEG2TH = 2601.11 ;ER32 =((OMEG2 - OMEG2TH) / (ABS OMEG2TH))*100 ;
MESS '        PREMIER MODE      ' ;
MESS 'THEORIQUE ' OMEG1TH 'CASTEM 'OMEG1 '%ERREUR ' ER31 ;
MESS '        DEUXIEME MODE     ' ;
MESS 'THEORIQUE ' OMEG2TH 'CASTEM 'OMEG2 '%ERREUR ' ER32 ;
*-----*
* DEFORMEES
DEF1 = DEFORM (TAB2.1).DEFORMEE_MODAL1 1. ROUG ;
DEF2 = DEFORM (TAB2.2).DEFORMEE_MODAL1 1. ROUG ;
DEF0 = DEFORM (TAB2.1).DEFORMEE_MODAL1 0. VERT ;
SI (NEG GRAPH 'N') ;
TRAC (DEF0 ET DEF1) ;
TRAC (DEF0 ET DEF2) ;
FINSI;

FIN ;
SI ((MAXI ABS (PROG ER01 ER02 ER11 ER12 ER21 ER22 ER31 ER32)) < 2.5);
ERRE 0;
SINON;
ERRE 5;
FINSI;

```

### 5.5.6 vibr2.dgibi

|                              |  |
|------------------------------|--|
| <b>Nom du fichier</b>        | vibr2.dgibi  |
| <b>Type de calcul</b>        | Mécanique<br>Vibration<br>2D-axisymétrique   |
| <b>Type d'Éléments Finis</b> | QUA8   |
| <b>Référence</b>             | Test NAFEMS<br>Numéro FV42   |
| <b>Description</b>           | <p>MODES PROPS ET FREQUENCE D'UNE SHPERE EPAISSE</p> <p>Calcule des fréquences et modes propres d'une sphère épaisse. Seul les modes de vibration radiales uniformes sont recherchés.</p> <p>Seul un secteur de la sphère est maillé. Pour obtenir les conditions limites correspondantes, on utilise l'opérateur RELA (les nœuds positionnés au même rayon ont le même déplacement radial).</p> |
| <b>Objectif</b>              | <p>5 premières fréquences propres de la sphère</p> <p><math>f_1 = 369,91 \text{ Hz}</math></p> <p><math>f_2 = 838,03 \text{ Hz}</math></p> <p><math>f_3 = 1451,2 \text{ Hz}</math> (Précision relative de 2%)</p> <p><math>f_4 = 2117,0 \text{ Hz}</math></p> <p><math>f_5 = 2795,8 \text{ Hz}</math></p>  |
| <b>Version de Cast3M</b>     | Du jour  |
| <b>Plateformes testées</b>   | IBM AIX<br>Linux 32-bits<br>Linux 64-bits<br>Windows 32-bits<br>Windows 64-bits<br>MAC OSX 64-bits   |

Tableau 43 : Informations sur le cas test vibr2.dgibi

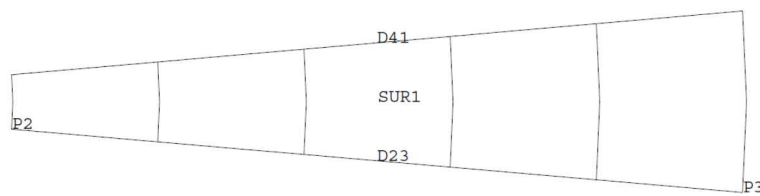


Figure 78 : Maillage du cas-test vibr2.dgibi

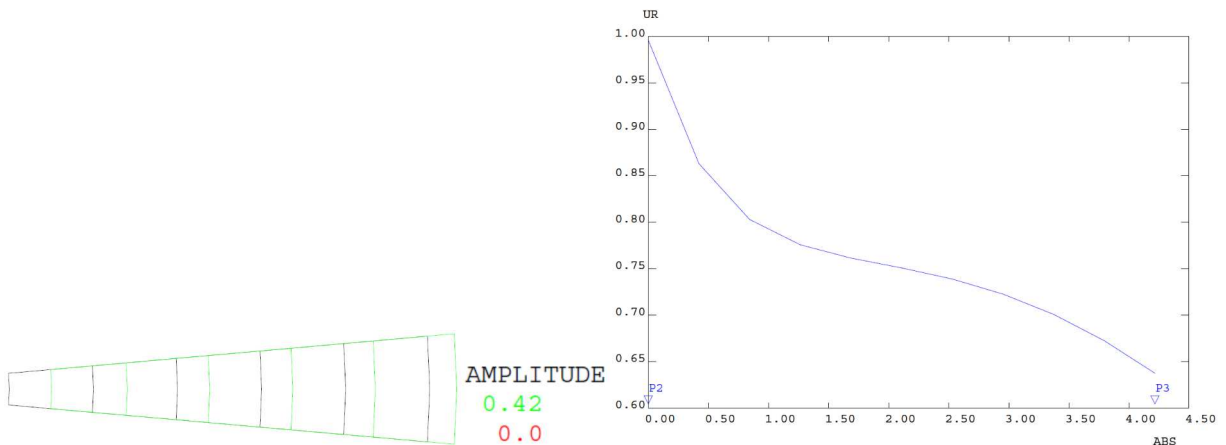


Figure 79 : Déformée modale (en vert, x0,42) de la fréquence propre n° 1 (368,62Hz) et évolution du déplacement radial (en bleu)

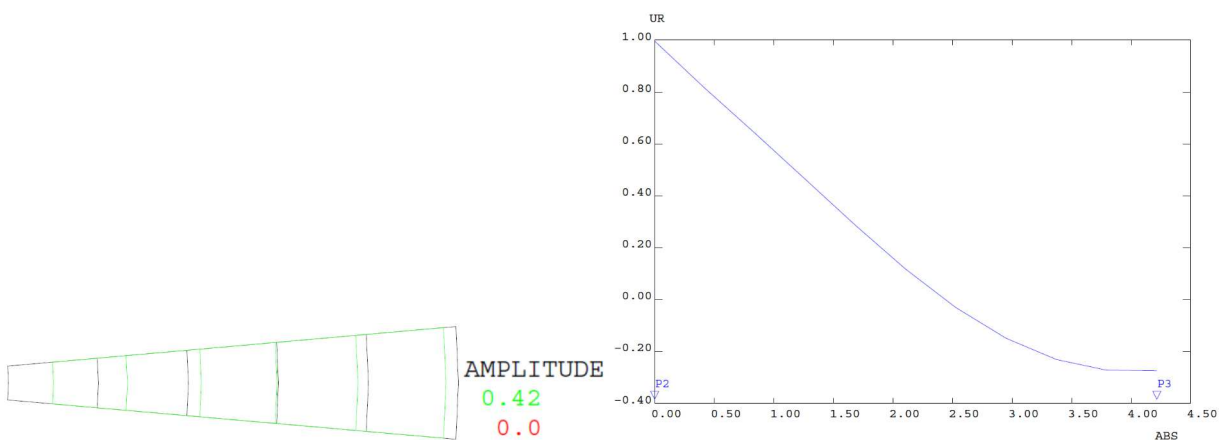


Figure 80 : Déformée modale (en vert, x0,42) de la fréquence propre n° 2 (834,92Hz) et évolution du déplacement radial (en bleu)

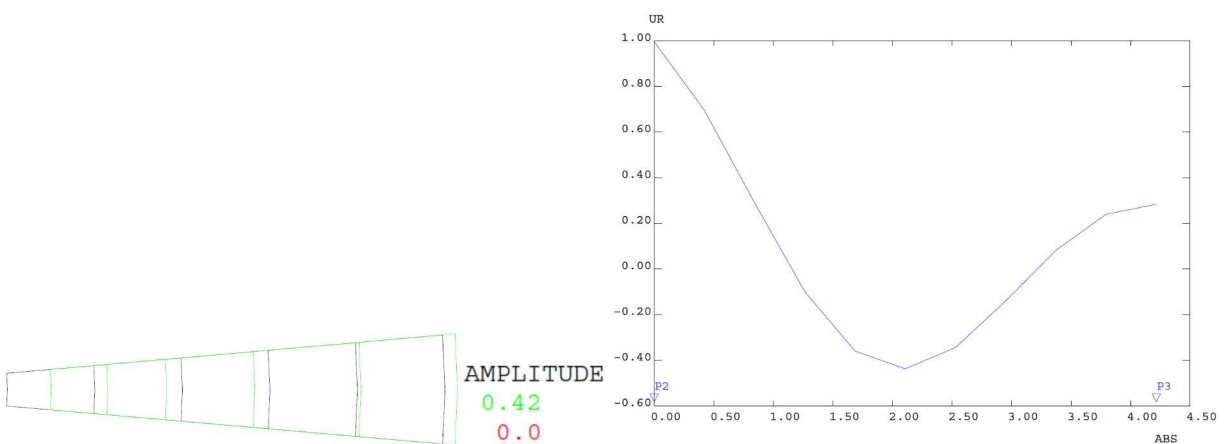


Figure 81 : Déformée modale (en vert, x0,42) de la fréquence propre n° 3 (1447,5Hz) et évolution du déplacement radial (en bleu)

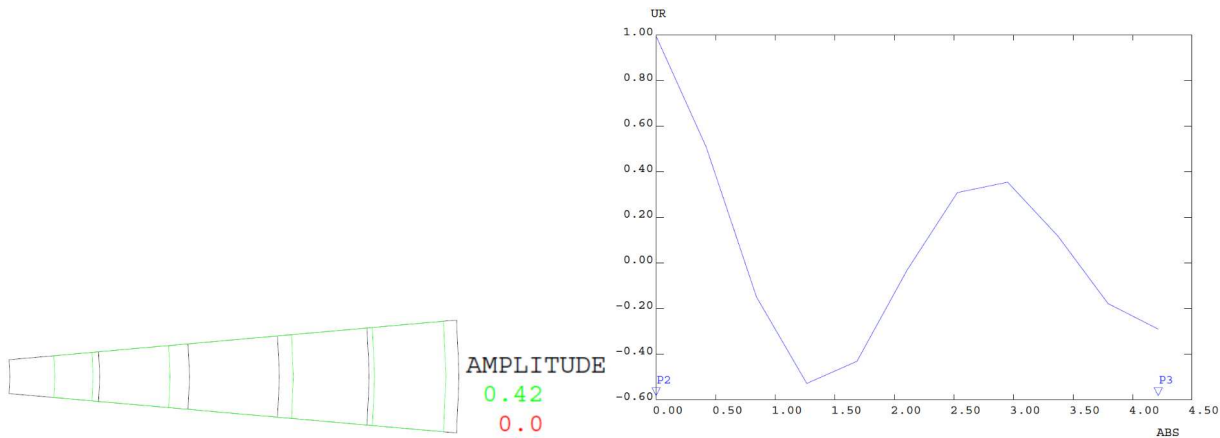


Figure 82 : Déformée modale (en vert, x0,42) de la fréquence propre n° 4 (2123,6Hz) et évolution du déplacement radial (en bleu)

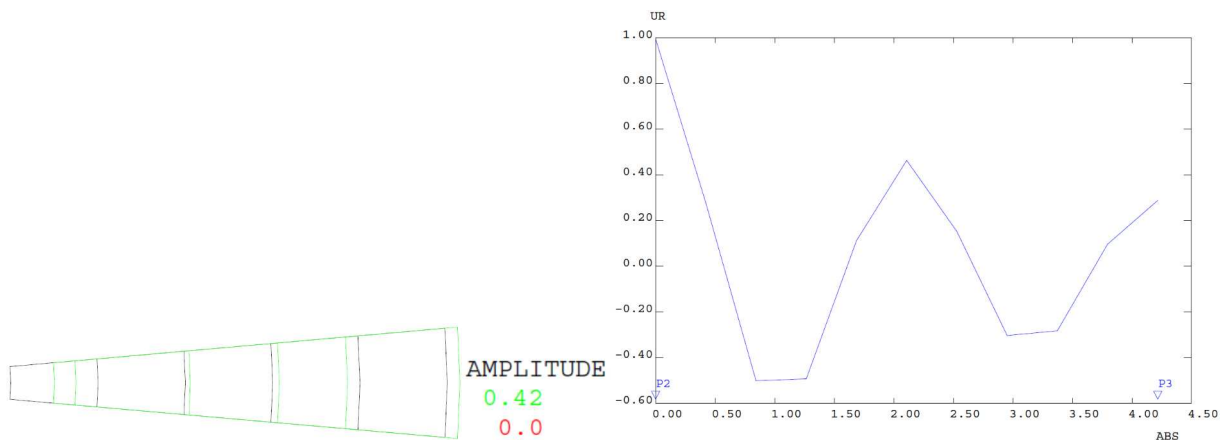


Figure 83 : Déformée modale (en vert, x0,42) de la fréquence propre n° 5 (2841,8Hz) et évolution du déplacement radial (en bleu)



## Jeu de données :

```

* fichier : vibr2.dgibi
***** Section : Mecanique Dynamique *****
*          Test vibr2.dgibi: Jeux de données      *
*          -----                                     *
*          *                                         *
*          -----                                     *
*          Test vibr2.dgibi: jeux de données        *
*          -----                                     *
*          *                                         *
***** SI GRAPH = N PAS DE GRAPHIQUE AFFICHE
* SINON SI GRAPH DIFFERENT DE N TOUS
* LES GRAPHIQUES SONT AFFICHES

GRAPH = 'N' ;

SAUT PAGE;
SI (NEG GRAPH 'N') ;
  OPTI ECHO 1 ;
  OPTI TRAC PSC ;
SINO ;
  OPTI ECHO 0 ;
FINSI ;

SAUT PAGE;
***** VIBR2
***** Mots-clés : Vibrations, calcul modal, axisymetrique
***** TEST VIBR2
***** CAS TEST DU 91/06/13 PROVENANCE : TEST
***** SPHERE EPAISSE : VIBRATION RADIALE UNIFORME
***** Test NAFEMS , test numero fv42
***** On se propose de calculer les fréquences et
modes propres d'une sphère épaisse. On ne s'inté-
resse qu'aux modes de vibration radiale uniforme.
***** On ne maille qu'un secteur de la sphère et l'on
travaille en mode axisymétrique.
***** Pour obtenir les conditions aux limites corres-
pondantes, on utilise l'opérateur RELA (les noeuds
ayant le même rayon ont le même déplacement radial)
*****
OPTI DIME 2;
OPTI MODE AXIS;
OPTI ELEM QUA8;
OPTI EPSI LINEAIRE;

*-----*
*          geometrie - maillage                  *
*-----*
ALPHA = 5.; COSALPHA = COS ALPHA; SINALPHA = SIN ALPHA;
*
P0 = 0. 0. ;
P1 = 1.8 ( 1.8 * SINALPHA);
P2 = 1.8 (-1.8 * SINALPHA);
P3 = 6.0 (-6.0 * SINALPHA);
P4 = 6.0 ( 6.0 * SINALPHA);
*
D23 = P2 DROI 5 P3;
*
SUR1 = D23 ROTA 1 (2 * ALPHA) P0;
D41 = COTE 3 SUR1;
*
ELIM (SUR1 ET D23 ET D41) 0.001;
*
SI (NEG GRAPH 'N');
  TTIR 'VIBR2 : MAILLAGE';
  TRAC 'QUAL' SUR1;
FINSI;
*
*-----*
*          MODE - matériau - rigidité - masse      *
*-----*
MOD1 = MODE SUR1 MECANIQUE QUA8;

MATE = MATE MOD1 YOUN 2.E11 NU 0.3 RHO 8E3;
RIGI = RIGI MOD1 MAT1;
MASI = MASS MOD1 MAT1;
*
FINSI;

```

---

```

*          conditions aux limites
DIR1 = (-1 * SINALPHA) (-1 * COSALPHA);
DIR2 = (-1 * SINALPHA) COSALPHA;
*
CL1 = BLOQ DEPL DIRECTION DIR1 D23;
CL2 = BLOQ DEPL DIRECTION DIR2 D41;
CL11 = CL1 ET CL2;
*
DIR3 = COSALPHA (-1 * SINALPHA);
DIR4 = COSALPHA SINALPHA;
*
LIST1 = LECT 27 22 17 23 18 24 19 25 20 26 21;
LIST2 = LECT 1 6 2 7 3 8 4 9 5 10 11;
*
I = 0;
REPETER BLOC1 11;
  I = I + 1;
  J = EXTR LIST1 I;
  K = EXTR LIST2 I;
  CL3 = RELA 1 DEPL DIRECTION DIR4 (NOEUD J)
        - 1 DEPL DIRECTION DIR3 (NOEUD K);
  CL11 = CL11 ET CL3;
FIN BLOC1;
*
LIST1 = LECT 27 17 18 19 20 21;
LIST2 = LECT 28 12 13 14 15 16;
*
I = 0;
REPETER BLOC2 6;
  I = I + 1;
  J = EXTR LIST1 I;
  K = EXTR LIST2 I;
  CL4 = RELA 1 DEPL DIRECTION DIR4 (NOEUD J)
        - 1 UR (NOEUD K);
  CL11 = CL11 ET CL4;
FIN BLOC2;
*
RIGI = RIGI ET CL11;
*
*-----*
*          calcul des fréquences propres          *
*-----*
*
* Utilisation de l'opérateur VIBR.
*
FRE1 = TABLE;
FRE1.1 = 369.91;
FRE1.2 = 838.03;
FRE1.3 = 1451.2;
FRE1.4 = 2117.0;
FRE1.5 = 2795.8;
*
LIST1 = PROG FRE1.1 FRE1.2 FRE1.3 FRE1.4 FRE1.5;
*
RESUL = VIBR PROC LIST1 RIGI MAS1;
*
*-----*
*          extraction des résultats            *
*-----*
MESS ' RESULTATS FV42.DGIBI';
MESS ' -----';
SAUT 2 LIGN;
MESS ' SPHERE EN VIBRATION RADIALE';
SAUT 2 LIGN;
*
FRE2 = TABLE; ERG = TABLE;
DEF = TABLE; DEF = TABLE; EVO = TABLE;
*
I = 0;
REPETER BLOC3 5;
*
  I = I + 1;
  FRE2.I = TIRE RESUL FREQ RANG I;
  ERG.I = 100 * (ABS ((FRE1.I - FRE2.I) / FRE1.I));
  MESS ' MODE ' I;
  MESS ' -----';
  MESS ' Fréquence propre théorique : ' FRE1.I ' Hz';
  MESS ' Fréquence propre calculée : ' FRE2.I ' Hz';
  MESS ' Soit un écart de : ' ERG.I '%';
  SAUT 1 LIGN;
*
* Trace facultatif des modes propres
*
SI (NEG GRAPH 'N');
  DEP.I = TIRE RESUL DEPL RANG I;
  DEF0 = DEFO SUR1 DEP.I 0. NOIR;
  DEF.I = DEFO SUR1 DEP.I VERT;
  TTIR 'Mode propre : Déplacement radial';
  TRAC (DEFO ET DEF.I);
  EVO.I = EVOL BLEU CHPO DEP.I UR D23;
  DESSIN EVO.I;
FINSI;

```

```
FIN BLOC3;
*
*-----*-----*
*          code fonctionnement      *
*-----*-----*
*
ERGMAX = MAXI (PROG ERG.1 ERG.2 ERG.3 ERG.4 ERG.5);
*
SAUT 2 LIGN;
SI (ERGMAX <EG 2.);
    ERRE 0;
SINON;
    ERRE 5;
FINSI;
*
SAUT 2 LIGN;
TEMPS;
SAUT 2 LIGN;
*
FIN;
```

**5.5.7 vibr3.dgibi**

|                              |   |
|------------------------------|---|
| <b>Nom du fichier</b>        | vibr3.dgibi   |
| <b>Type de calcul</b>        | Mécanique<br>Vibration<br>2D déformation plane  |
| <b>Type d'Éléments Finis</b> | QUA8  |
| <b>Référence</b>             | Test NAFEMS<br>Numéro FV32  |
| <b>Description</b>           | <p>VIBRATION D'UNE POUTRE A SECTION VARIABLE</p> <p>La structure est constituée d'une poutre de section variable. Sa longueur est de 10m, sa plus grande largeur est de 5m et sa plus petite largeur est de 1m.</p> <p>Les vibrations dans le plan XOY sont étudiées.</p> <p>La poutre est bloquée le long de l'axe des ordonnées pour les déplacements UX et UY.</p> |
| <b>Objectif</b>              | <p>6 premières fréquences propres de la sphère</p> $f_1 = 44,623 \text{ Hz}$ $f_2 = 130,03 \text{ Hz}$ $f_3 = 162,70 \text{ Hz}$ (Précision relative de 5,5%) $f_4 = 246,05 \text{ Hz}$ $f_5 = 379,90 \text{ Hz}$ $f_6 = 391,44 \text{ Hz}$   |
| <b>Version de Cast3M</b>     | Du jour   |
| <b>Plateformes testées</b>   | IBM AiX<br>Linux 32-bits<br>Linux 64-bits<br>Windows 32-bits<br>Windows 64-bits<br>MAC OSX 64-bits  |

*Tableau 44 : Informations sur le cas test vibr3.dgibi*

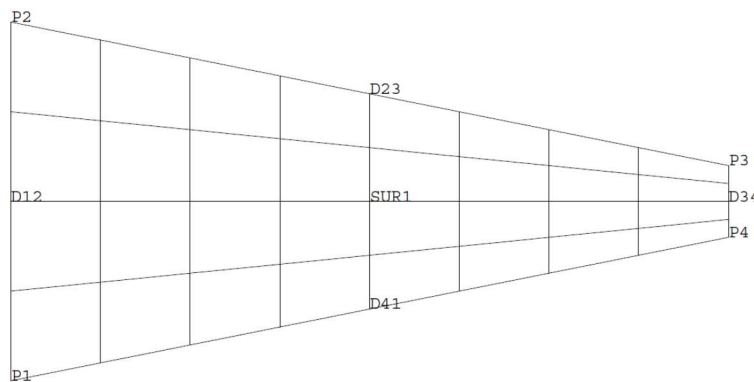


Figure 84 : Maillage du cas-test vibr3.dgibi

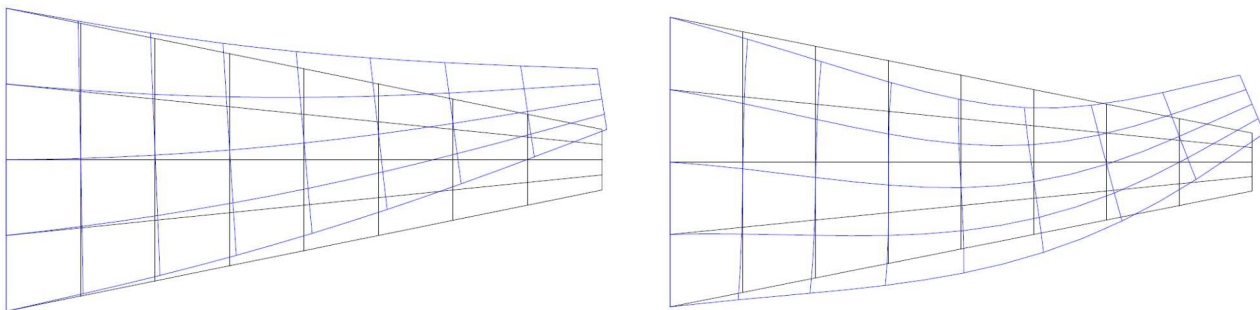


Figure 85 : Déformée modale (en bleu, x1) de la fréquence propre n° 1 (à gauche, 46,71Hz) et de la fréquence propre n° 2 (à droite, 134,29Hz)

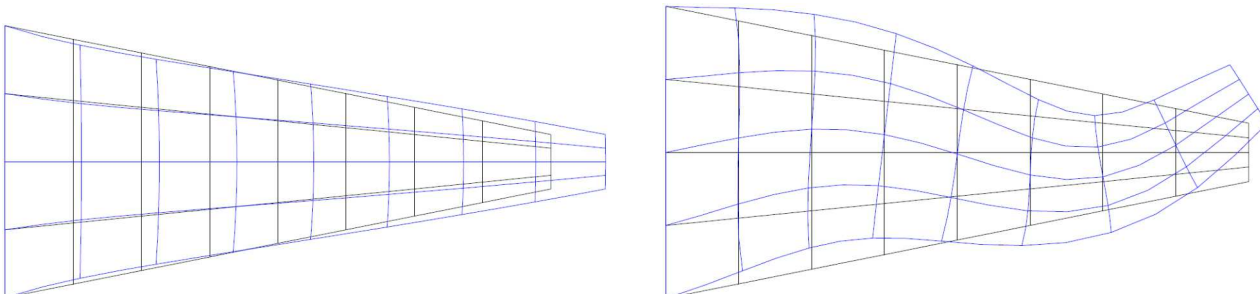


Figure 86 : Déformée modale (en bleu, x1) de la fréquence propre n° 3 (à gauche, 171,26Hz) et de la fréquence propre n° 4 (à droite, 253,11Hz)

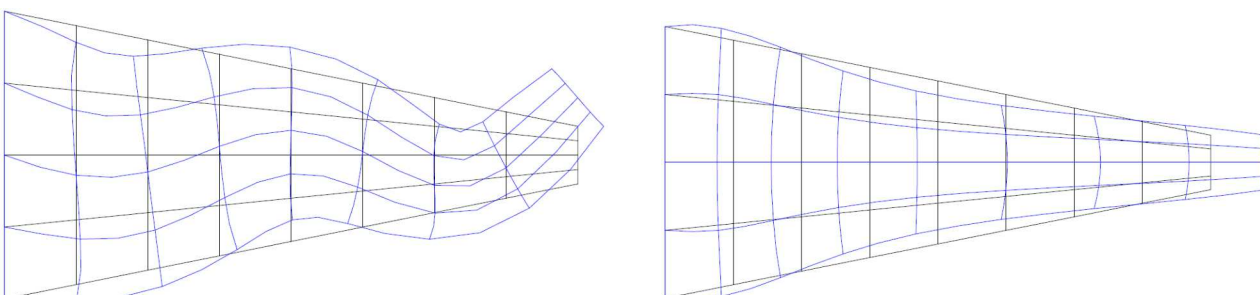


Figure 87 : Déformée modale (en bleu, x1) de la fréquence propre n° 5 (à gauche, 391,33Hz) et de la fréquence propre n° 6 (à droite, 409,57Hz)

# GUIDE DE VALIDATION

## Jeu de données :

```

* fichier : vibr3.dgibi
*****
* Section : Mecanique Dynamique
*****
* Test vibr3.dgibi: Jeux de données *
* ----- *
* ----- *
***** Test vibr3.dgibi: jeux de données *
* ----- *
* ----- *
***** SI GRAPH = N PAS DE GRAPHIQUE AFFICHE
* SINON SI GRAPH DIFFERENT DE N TOUS
* LES GRAPHIQUES SONT AFFICHES
GRAPH = 'N' ;

SAUT PAGE;
SI (NEG GRAPH 'N') ;
    OPTI ECHO 1 ;
    OPTI TRAC PSC ;
SINO ;
    OPTI ECHO 0 ;
FINSI ;

SAUT PAGE;
*****
*          VIBR3
*****
* Mots-clés : Vibrations, calcul modal, 2D
*
* TEST VIBR3
*
* CAS TEST DU 91/06/13 PROVENANCE : TEST
*
* POUTRE DE SECTION VARIABLE : VIBRATION DANS LE PLAN
*
* Test NAFEMS numero fv32
*
* La structure est constituée d'une poutre de section
* variable. Sa longueur est de 10.0 m, sa plus grande largeur
* est de 5.0 m et sa plus petite largeur est de 1.0 m.
*
* On s'intéresse aux vibrations dans le plan xOy, c'est-à-
* dire que le déplacement ux de tous les noeuds est nul. On
* travaille donc en mode plan (dimension 2).
*
* La poutre est bloquée le long de l'axe des ordonnées pour
* les déplacements ux et uy.
*
***** OPTI DIME 2;
OPTI ELEM QUA8;
OPTI EPSI LINEAIRE;

TEMPS;
*****
* geometries et maillages
*****
* Dimensions en mètres
*
* Points
*
P1 = 0. -2.5;
P2 = 0. 2.5;
P3 = 10. 0.5;
P4 = 10. -0.5;
*
* Droites
*
K = 1 ;
N1 = 4 * K; N2 = 8 * K;
*
D12 = P1 DROI N1 P2;
D23 = P2 DROI N2 P3;
D34 = P3 DROI N1 P4;
D41 = P4 DROI N2 P1;
*
SUR1 = DALL D12 D23 D34 D41 PLAN;
*
* Trace facultatif du maillage
*
SI (NEG GRAPH 'N');
    TITR 'VIBR3 : MAILLAGE';
    TRAC 'QUAL' SUR1;
FINSI;
*
***** modl- materiau - rigidite - masse
*****
```

```

*
MOD1 = MODE SUR1 MECANIQUE QUA8;
MAT1 = MATE MOD1 YOUN 2.E11 NU 0.3 RHO 8.E3;
RIG1 = RIGI MOD1 MAT1;
MAS1 = MASS MOD1 MAT1;
*
=====
*           conditions aux limites
=====
*
CL11 = BLOQ DEPL D12;
RIG1 = RIGI ET CL11;
*
=====
*           calcul des fréquences propres
*           et
*           extraction des résultats
=====
*
* Utilisation de l'opérateur VIBR.
*
FRE1 = TABLE;
FRE1.1 = 44.623;
FRE1.2 = 130.03;
FRE1.3 = 162.70;
FRE1.4 = 246.05;
FRE1.5 = 379.90;
FRE1.6 = 391.44;
*
RESUL = VIBR INTERVALLE 40 450 BASSE 6 RIG1 MAS1;
*
=====
*           affiche des résultats
=====
*
MESS ' RESULTATS ';
MESS ' ----- ';
SAUT 1 LIGN;
FRE2 = TABLE; MOD = TABLE; DEF = TABLE; ERG = TABLE;
*
I = 0;
REPETIR BLOC1 6;
    I = I + 1;
    FRE2.I = TIRE RESUL FREQ RANG I;
    ERG.I = 100 * (ABS ((FRE1.I - FRE2.I) / FRE1.I));
    MESS ' MODE ' I;
    MESS ' ----- ';
    MESS ' Fréquence théorique : ' FRE1.I 'Hz';
    MESS ' Fréquence calculée : ' FRE2.I 'Hz';
    MESS ' Soit un écart de : ' ERG.I '%';
    SAUT 1 LIGN;
*
* Extraction et trace des modes propres et calcul des déformées.
* (facultatif)
SI (NEG GRAPH 'N');
    MOD.I = TIRE RESUL DEPL RANG I;
    DEFO = DEFO SUR1 0. MOD.I;
    DEF.I = DEFO SUR1 MOD.I BLEU;
    TITR 'VIBR3 : MODES PROPRES';
    TRAC (DEFO ET DEF.I);
    FINSI;
FIN BLOC1;
*
=====
*           code fonctionnement
=====
*
ERGMAX = MAXI (PROG ERG.1 ERG.2 ERG.3 ERG.4 ERG.5 ERG.6);

SI (ERGMAX < EG 5.5);
    ERRE 0;
SINON;
    ERRE 5;
FINSI;

SAUT 1 LIGN;
TEMPS;
SAUT 1 LIGN;

FIN;
```

### 5.5.8 vibr4.dgibi

|                              |  |
|------------------------------|--|
| <b>Nom du fichier</b>        | vibr4.dgibi  |
| <b>Type de calcul</b>        | Mécanique<br>Vibration<br>3D   |
| <b>Type d'Éléments Finis</b> | COQ8   |
| <b>Référence</b>             | Test NAFEMS<br>Numéro FV22   |
| <b>Description</b>           | <p>VIBRATION D'UNE PLAQUE EPAISSE EN LOSANGE ENCASTREE</p> <p>La structure est constituée d'une plaque bloquée en forme de losange à 45° de 1m d'épaisseur et 10m de longueur.</p> <p>Les conditions aux limites sont les suivantes :</p> <p><math>u_x = u_y = r_z = 0</math> sur tous les nœuds de la plaque</p> <p><math>r_x = r_y = u_z = 0</math> sur tous les bords libres de la plaque</p> <p>Les vibrations suivant UZ sont étudiées.</p> |
| <b>Objectif</b>              | 6 premières fréquences propres de la plaque<br>$f_1 = 133,95 \text{ Hz}$<br>$f_2 = 201,41 \text{ Hz}$<br>$f_3 = 265,81 \text{ Hz}$ (Précision relative de 4,5%)<br>$f_4 = 282,74 \text{ Hz}$<br>$f_5 = 334,45 \text{ Hz}$<br>$f_6 = 386,62 \text{ Hz}$   |
| <b>Version de Cast3M</b>     | Du jour  |
| <b>Plateformes testées</b>   | IBM AiX<br>Linux 32-bits<br>Linux 64-bits<br>Windows 32-bits<br>Windows 64-bits<br>MAC OSX 64-bits   |

Tableau 45 : Informations sur le cas test vibr4.dgibi

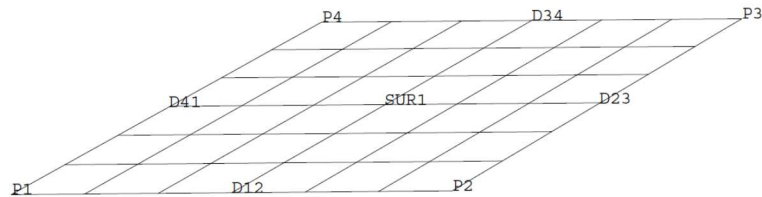


Figure 88 : Maillage du cas-test vibr4.dgibi

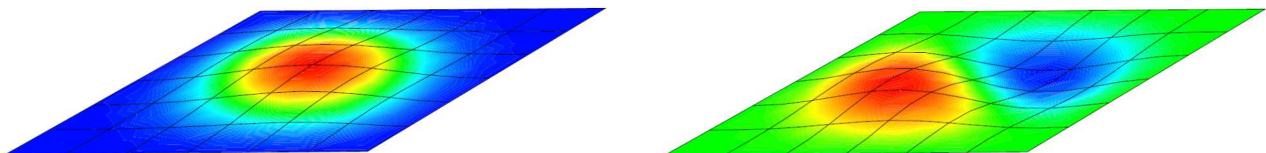


Figure 89 : Déformée modale ( $x0,5$ ) de la fréquence propre n° 1 (à gauche, 133,93Hz) et de la fréquence propre n° 2 (à droite, 203,76Hz)



Figure 90 : Déformée modale ( $x0,5$ ) de la fréquence propre n° 3 (à gauche, 272,61Hz) et de la fréquence propre n° 4 (à droite, 284,20Hz)



Figure 91 : Déformée modale ( $x0,5$ ) de la fréquence propre n° 5 (à gauche, 348,47Hz) et de la fréquence propre n° 6 (à droite, 389,00Hz)

**Jeu de données :**

```

*fichier : vibr4.dgibi
*****
* Section : Mecanique Dynamique
*****



***** Test vibr4.dgibi: jeux de données *****
* SI GRAPH = N PAS DE GRAPHIQUE AFFICHE
* SINON SI GRAPH DIFFERENT DE N TOUS
* LES GRAPHIQUES SONT AFFICHES

GRAPH = 'N' ;

SAUT PAGE;
SI (NEG GRAPH 'N') ;
OPTI TRAC PSC ;
FINSI ;

SAUT PAGE;
***** VIBR4 *****
* Mots-clés : Vibrations, calcul modal, 3D
* TEST VIBR4
* CAS TEST DU 91/06/13 PROVENANCE : TEST
* PLAQUE EPAISSE EN FORME DE LOSANGE
* Test NAFEMS numero fv22
* On cherche les fréquences et modes propres d'une plaque
* en forme de losange d'un metre d'épaisseur.
* Les conditions aux limites imposées (voir dessin) sont
* les suivantes :
* - ux = uy = rz = 0 pour tout les noeuds,
* - uz' = rx' = ry = 0 pour les 4 cotes.
* dessin
* -----
*      axe y'
*           |
*           |
*           | axe x'
*           |
*           |-----> P3
*           |
*           /   /   /
*           |   |   |
*           /   /   /
*           |   |   |
*           /   /   /
*           |-----> axe x
*           |   |   |
*           P1   P2
*           | 10.m  |
* -----
* geometrie - maillage
*-----


ALPHA = 45.; COS = COS ALPHA; SIN = SIN ALPHA;
*
P1 = 0. 0. 0.;
P2 = 10. 0. 0.;
P3 = (10. * (1 + COS)) (10. * SIN) 0. ;
P4 = (10. * COS) (10. * SIN) 0. ;
*
OEIL = 7. -100. 70. ;
*
D12 = P1 DROI 6 P2;
D23 = P2 DROI 6 P3;
D34 = P3 DROI 6 P4;
D41 = P4 DROI 6 P1;
*
SUR1 = DALL D12 D23 D34 D41 PLAN;
*
SI (NEG GRAPH 'N');
  TRAC OEIL 'QUAL' SUR1;
FINSI;
*
```

```

*-----*
*      MODE - materiau - caractéristique
*          rigidite - masse
*-----*
*
MOD1 = MODE SUR1 MECANIQUE COQ8;
MAT1 = MATE MOD1 YOUN 2.E11 NU 0.3 RHO 8.E3;
CAR1 = CARA MOD1 EPAI 1. ;
MAT1 = MAT1 ET CAR1;
RIG1 = RIGI MOD1 MAT1 ;
MAS1 = MASS MOD1 MAT1;
*
*-----*
*      conditions aux limites
*-----*
* - ux = uy = rz = 0 pour tout les noeuds,
* - uz' = rx' = ry' = 0 pour les 4 cotes.

si (faux);

CL1 = BLOQ UX SUR1;
CL2 = BLOQ UY SUR1;
CL3 = BLOQ RZ SUR1;

CL4 = BLOQ UZ (D12 ET D34);
CL5 = BLOQ RX (D12 ET D34);
CL6 = BLOQ RY (D12 ET D34);

DIR1 = COS SIN 0.; DIR2 = (-1 * SIN) COS 0. ;
CL7 = BLOQ UZ (D23 ET D41);
CL8 = BLOQ ROTA DIRECTION DIR1 (D23 ET D41);
CL9 = BLOQ ROTA DIRECTION DIR2 (D23 ET D41);

RIG1 = RIG1 ET CL1 ET CL2 ET CL3 ET CL4 ET CL5
      ET CL6 ET CL7 ET CL8 ET CL9;

sinon;
* CL1 = BLOQ 'UX' 'UY' 'RZ' SUR1;
CL1 = BLOQ 'UX' 'UY' SUR1;
CL2 = BLOQ 'UZ' 'RX' 'RY' (D12 ET D23 ET D34 ET D41);

RIG1 = RIG1 ET CL1 ET CL2 ;

finsi;
*-----*
*      calcul des fréquences propres
*-----*
*
* table des fréquence propres théoriques
FRE1 = TABLE;
FRE1.1 = 133.95;
FRE1.2 = 201.41;
FRE1.3 = 265.81;
FRE1.4 = 282.74;
FRE1.5 = 334.45;
FRE1.6 = 386.62;

* Utilisation de l'opérateur VIBR avec l'option PROCH
* + listreal de 6 valeurs :
* 6 répétitions de la méthode de la puissance inverse avec 6 décalage
* spectral
LIST1 = PROG FRE1.1 FRE1.2 FRE1.3 FRE1.4 FRE1.5 FRE1.6;
RESUL2 = VIBR PROC LIST1 RIG1 MAS1;
* RESUL2 = VIBR PROC (prog 100.) (lect 6) RIG1 MAS1;

* Utilisation de l'opérateur VIBR avec l'option IRAM :
* opti impi 5;
RESUL3 = VIBR IRAM 100. 6 RIG1 MAS1;
* opti impi 0;

*
*-----*
*      extraction des résultats ...
*-----*

*... via la procédure explorer :
*
* il faut une table BASE_MODALTE en entrée d'EXPLORER
* (obtenue directement avec: TVIBR3 = VIBR IRAM 100. 6 RIG1 MAS1 'TBAS';
* ou en effectuant la petite transformation ci-dessous:
TRES3 = TRADUIRE RESUL3;
TVIBR3 = TABL 'BASE_MODALTE';
TVIBR3 . 'MODES' = TRES3;
toto = TABL;
toto . 'MAILLAGE' = SUR1;
* * en interactif
*   OPTI TRAC X ;
* EXPLORER TVIBR3 (mots 'TABL' 'DEF0' 'DEF0') toto;
* +en ps
  OPTI TRAC PSC ;
  EXPLORER TVIBR3 (mots 'TABL' 'DEF0' 'DEF0') toto;
*
*... à la main :
*
```

```

FRE3 = TABLE; ERG3 = TABLE;
FRE2 = TABLE; ERG2 = TABLE;
DEP = TABLE; DEF = TABLE;

OPTI ECHO 0;
MESS ' RESULTATS ';
MESS ' -----';
MESS '      |   Frequence propre en Hz (erreur relative en %) ';
MESS ' Mode | Theorie | VIBR PROCH | VIBR IRAM ';
MESS ' -----';
I = 0;
REPETER BLOC1 6;
  I = I + 1;
  FRE2.I = TIRE RESULT2 FREQ RANG I;
  ERG2.I = 100 * (ABS ((FRE2.I - FRE1.I) / FRE1.I));
  FRE3.I = TIRE RESULT3 FREQ RANG I;
  ERG3.I = 100 * (ABS ((FRE3.I - FRE1.I) / FRE1.I));
  chacha = chah I *5 | FORMAT '(F9.3)' FRE1.I
    '| FORMAT '(F9.3)' FRE2.I | (' FORMAT '(F5.3)' ERG2.I %)'
    '| FORMAT '(F9.3)' FRE3.I | (' FORMAT '(F5.3)' ERG3.I %)';
  MESS chacha;
SI (NEG GRAPH 'N');
  DEP.I = TIRE RESULT2 DEPL RANG I;
  DEPZ = EXCO DEP.I 'UZ';
  DEFO = DEFO SUR1 DEP.I 0. 'NOIR';
  DEF.I = DEFO SUR1 DEP.I 1. 'BLEU';
  TRAC OEIL (DEFO ET DEF.I);
  TRAC OEIL DEPZ SUR1 (DEFO SUR1 DEP.I 0.5 NOIR);
FINSI;
FIN BLOC1;
MESS ' -----';
OPTI ECHO 1;
*
*
*-----*
*       code fonctionnement *
*-----*
*
ERG2MAX = MAXI (PROG ERG2.1 ERG2.2 ERG2.3 ERG2.4 ERG2.5 ERG2.6);
ERG3MAX = MAXI (PROG ERG3.1 ERG3.2 ERG3.3 ERG3.4 ERG3.5 ERG3.6);

SI (ERG2MAX > 4.5);
  MESS 'ERREUR VIBR OPTION PROCHE';
  ERRE 5;
FINSI;
SI (ERG3MAX > 4.5);
  MESS 'ERREUR VIBR OPTION IRAM';
  ERRE 5;
FINSI;
  ERRE 0;

TEMP;
FIN;

```

### 5.5.9 vibr5.dgibi

|                              |  |
|------------------------------|--|
| <b>Nom du fichier</b>        | vibr5.dgibi  |
| <b>Type de calcul</b>        | Mécanique<br>Vibration<br>2D-axisymétrique   |
| <b>Type d'Éléments Finis</b> | QUA8   |
| <b>Référence</b>             | Test NAFEMS<br>Numéro FV22   |
| <b>Description</b>           | VIBRATION D'UNE ENCEINTE CYLINDRIQUE EPAISSE<br><br>La structure est constituée d'une enceinte axisymétrique libre de toute conditions aux limites autre que l'axisymétrie. Les vibrations suivant UR sont étudiées.                         |
| <b>Objectif</b>              | 6 premières fréquences propres de la plaque<br><br>$f_1 = MCR$<br>$f_2 = 243,53 \text{ Hz}$<br>$f_3 = 377,41 \text{ Hz}$ (Précision relative de 0,5%)<br>$f_4 = 394,11 \text{ Hz}$<br>$f_5 = 397,72 \text{ Hz}$<br>$f_6 = 405,28 \text{ Hz}$ |
| <b>Version de Cast3M</b>     | Du jour  |
| <b>Plateformes testées</b>   | IBM AiX<br>Linux 32-bits<br>Linux 64-bits<br>Windows 32-bits<br>Windows 64-bits<br>MAC OSX 64-bits   |

Tableau 46 : Informations sur le cas test vibr5.dgibi

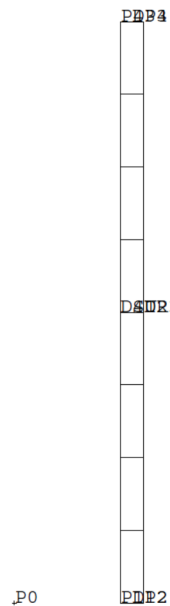


Figure 92 : Maillage du cas-test vibr5.dgibi

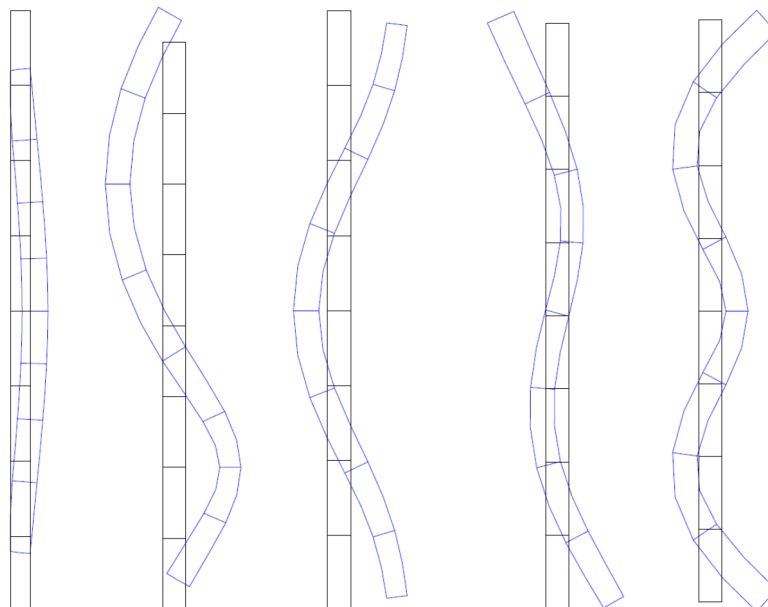


Figure 93 : De gauche à droite, déformée modale ( $x_1$ ) de la fréquence propre n°2 (243,50 Hz), n°3 (377,46 Hz), n°4 (399,30 Hz), n°5 (397,97 Hz) et n°6 (406,44 Hz)

**Jeu de données :**

```

*fichier : vibr5.dgibi
*****
* Section : Mecanique Dynamique
*****



***** Test vibr5.dgibi: jeux de données *****
*-----*
*****



* SI GRAPH = N PAS DE GRAPHIQUE AFFICHE
* SINON SI GRAPH DIFFERENT DE N TOUS
* LES GRAPHIQUES SONT AFFICHES

GRAPH = 'N' ;

SAUT PAGE;
SI (NEG GRAPH 'N') ;
    OPTI ECHO 1 ;
    OPTI TRAC PSC ;
SINO ;
    OPTI ECHO 0 ;
FINSI ;

SAUT PAGE;
***** VIBR5
*****



* Mots-clés : Vibrations, calcul modal, axisymetrique
* TEST VIBR5
* CAS TEST DU 91/06/13 PROVENANCE : TEST
* CYLINDRE LIBRE : VIBRATION AXISYMETRIQUE
* Test NAFEMS numero FV41
* On cherche les fréquences et modes propres d'un cylindre
* libre. Le diamètre interieur du cylindre est de 1.8 m, son
* diamètre extérieur est de 2.2 m et sa hauteur est de 10.0 m
* Les valeurs trouvées sont ensuite comparées aux valeurs
* théoriques.
* Dimensions en mètres
* Points
* P0 = 0. 0. ;
P1 = 1.8 0. ;
P2 = 2.2 0. ;
P3 = 2.2 10. ;
P4 = 1.8 10. ;
* Droites
* N1 = 1; N2 = 8;
D12 = P1 DROI N1 P2;
D23 = P2 DROI N2 P3;
D34 = P3 DROI N1 P4;
D41 = P4 DROI N2 P1;

* SUR1 = DALL D12 D23 D34 D41 PLAN;
* Trace facultatif du maillage
* SI (NEG GRAPH 'N');
    TITR ' FV32 : MAILLAGE';
    TRAC 'QUAL' (SUR1 ET P0);
FINSI;

* MODE - matériau - rigidité - masse
* MOD1 = MODE SUR1 MECANIQUE QUA8;
MAT1 = MATE MOD1 YOUN 2.E11 NU 0.3 RHO 8.E3;
RIG1 = RIGI MOD1 MAT1;
MAS1 = MASS MOD1 MAT1;
* conditions aux limites
*




```

```

***** Pas de conditions autre que la symétrie axiale.
*****



*-----*
*-----*
*-----*
* Utilisation de l'opérateur VIBR. (option PROC)
*-----*



FRE1 = TABLE;
FRE1.1 = 0. ;
FRE1.2 = 243.53;
FRE1.3 = 377.41;
FRE1.4 = 394.11;
FRE1.5 = 397.72;
FRE1.6 = 405.28;

RESUL = VIBR PROC (prog 50) (lect 6) RIG1 MAS1 'IMPR';
*-----*



*-----* affichache des resultats *-----*
*-----*



MESS ' RESULTATS ';
MESS ' ----- ';
SAUT 1 LIGN;
*-----*



FRE2 = TABLE; MOD = TABLE; DEF = TABLE; ERG = TABLE;
*-----*
I = 0;
REPETER BLOC1 6;
    I = I + 1;
    FRE2.I = TIRE RESUL FREQ RANG I;
    MESS ' MODE ' (I + 1);
    MESS ' ----- ';
    MESS ' Fréquence théorique :: FRE1.I 'Hz';
    MESS ' Fréquence calculée :: FRE2.I 'Hz';
    SI (i > 1) ; ERG.I = 100 * (ABS ((FRE1.I - FRE2.I) / FRE1.I));
        MESS ' Soit un écart de : ' ERG.I '%';
    FINSI;
    SAUT 1 LIGN;
*-----* Extraction et trace des modes propres et calcul des déformées.
*-----* (facultatif)
*-----*



SI (NEG GRAPH 'N');
    MOD.I = TIRE RESUL DEPL RANG I;
    DEFO = DEFO SUR1 MOD.I 0. ;
    DEF.I = DEFO SUR1 MOD.I BLEU;
    TRAC (DEF.I ET DEFO);
    FINSI;
FIN BLOC1;
*-----* code fonctionnement *-----*
*-----*



ERGMAX = MAXI (PROG ERG.6 ERG.2 ERG.3 ERG.4 ERG.5);

SI (ERGMAX < EG 0.5);
    ERRE 0;
SINON;
    ERRE 5;
FINSI;

SAUT 1 LIGN;
TEMPS;
SAUT 1 LIGN;

FIN;

```

## 5.5.10 fsi1.dgibi

| <b>Nom du fichier</b>        | fsi1.dgibi  |                    |                      |                    |                      |       |           |        |       |       |           |        |      |       |          |       |       |
|------------------------------|---|--------------------|----------------------|--------------------|----------------------|-------|-----------|--------|-------|-------|-----------|--------|------|-------|----------|-------|-------|
| <b>Type de calcul</b>        | Mécanique<br>Vibration<br>2D Fourier  |                    |                      |                    |                      |       |           |        |       |       |           |        |      |       |          |       |       |
| <b>Type d'Éléments Finis</b> | LQU4, LSU2  |                    |                      |                    |                      |       |           |        |       |       |           |        |      |       |          |       |       |
| <b>Référence</b>             | Validation of CASTEM2000 for fluid structure interaction problems<br>R.RAVI, Rapport C.E.A 91/479<br><b>FREQUENCES PROPRES D'UNE SURFACE LIBRE</b><br>Le problème modélisé est un réservoir d'eau cylindrique de 1,43m de rayon et 1,039m de hauteur. Les fréquences propres de la surface libre (en mode de Fourier n°1) sont calculées et comparées à des valeurs de référence.<br>Les conditions aux limites sur la pression sont les suivantes :  |                    |                      |                    |                      |       |           |        |       |       |           |        |      |       |          |       |       |
| <b>Description</b>           | $\frac{dp}{dy} \Big _{h=0} = 0$ $\frac{dp}{dr} \Big _{r=R} = 0$   |                    |                      |                    |                      |       |           |        |       |       |           |        |      |       |          |       |       |
| <b>Objectif</b>              | 3 premières fréquences propres de la surface libre <table border="1" style="width: 100%; border-collapse: collapse;"> <thead> <tr> <th></th> <th><b>Référence</b></th> <th><b>Cast3M 2016</b></th> <th><b>Ecart Relatif</b></th> </tr> </thead> <tbody> <tr> <td><math>f_1</math></td> <td>0,5278 Hz</td> <td>0,5336</td> <td>1,09%</td> </tr> <tr> <td><math>f_2</math></td> <td>0,9621 Hz</td> <td>0,9783</td> <td>1,7%</td> </tr> <tr> <td><math>f_3</math></td> <td>1,217 Hz</td> <td>1,254</td> <td>3,05%</td> </tr> </tbody> </table> |                    | <b>Référence</b>     | <b>Cast3M 2016</b> | <b>Ecart Relatif</b> | $f_1$ | 0,5278 Hz | 0,5336 | 1,09% | $f_2$ | 0,9621 Hz | 0,9783 | 1,7% | $f_3$ | 1,217 Hz | 1,254 | 3,05% |
|                              | <b>Référence</b>  | <b>Cast3M 2016</b> | <b>Ecart Relatif</b> |                    |                      |       |           |        |       |       |           |        |      |       |          |       |       |
| $f_1$                        | 0,5278 Hz   | 0,5336             | 1,09%                |                    |                      |       |           |        |       |       |           |        |      |       |          |       |       |
| $f_2$                        | 0,9621 Hz   | 0,9783             | 1,7%                 |                    |                      |       |           |        |       |       |           |        |      |       |          |       |       |
| $f_3$                        | 1,217 Hz  | 1,254              | 3,05%                |                    |                      |       |           |        |       |       |           |        |      |       |          |       |       |
| <b>Version de Cast3M</b>     | Du jour   |                    |                      |                    |                      |       |           |        |       |       |           |        |      |       |          |       |       |
| <b>Plateformes testées</b>   | IBM AiX<br>Linux 32-bits<br>Linux 64-bits<br>Windows 32-bits<br>Windows 64-bits<br>MAC OSX 64-bits  |                    |                      |                    |                      |       |           |        |       |       |           |        |      |       |          |       |       |

Tableau 47 : Informations sur le cas test fsi1.dgibi

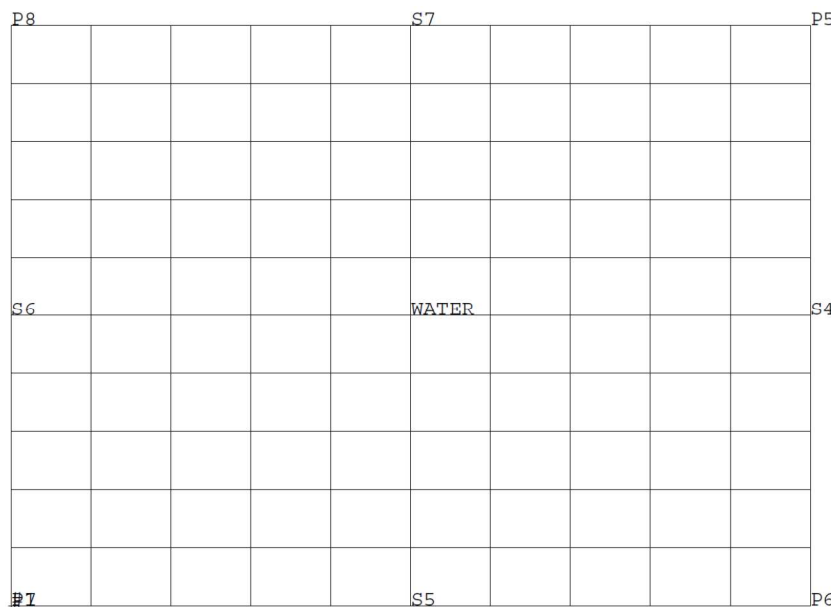


Figure 94 : Maillage du cas-test fsi1.dgibi

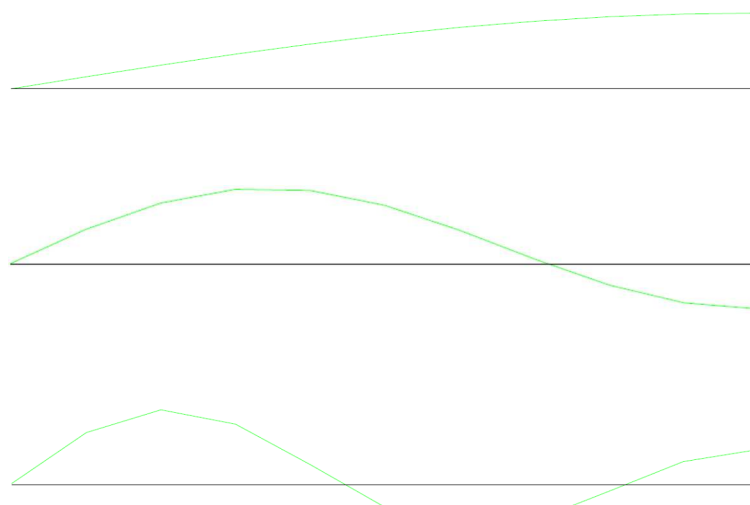


Figure 95 : De haut en bas, tracé du maillage initial (noir) et du maillage de la déformée modale (vert, x0,14) des fréquences propres n°1 (0,5336 Hz), n°2 (0,9783 Hz) et n°3 (1,254 Hz)

# GUIDE DE VALIDATION

## Jeu de données :

```

* fichier : fsil.dgibi
*****
* Section : Fluides Vibration
*****
* CAS TEST DU 91/10/16 PROVENANCE : PETI
* Test fsil.dgibi: Jeux de données
* -----
* -----
* -----
* SI GRAPH = N PAS DE GRAPHIQUE AFFICHE
* SINON SI GRAPH DIFFERENT DE N TOUS
* LES GRAPHIQUES SONT AFFICHES

GRAPH = 'N' ;

SAUT PAGE;
SI (NEG GRAPH 'N') ;
  OPTI ECHO 1 ;
  OPTI TRAC PSC ;
SINO ;
  OPTI ECHO 0 ;
FINSI ;

SAUT PAGE;
*****
*          TEST FSIL
*          CYLINDRICAL FLUID CAVITY WITH FREE
*          SURFACE
* Calculation of the frequencies of free
* surface mode,for m = 1, of cylindrical
* water volume of radius 1.43m and height
* 1.039m
* -----
*          P8 _____ P5
*          |           |
*          |           |
*          |           |
*          |           |
*          |           |
*          |           |
*          P7       P6
* The boundary conditions are
* -----
*          dp   |
*          --- |     = 0
*          dz   | h = 0.
*          *
*          dp   |
*          --- |     = 0
*          dr   | r = R
* -----
TEMPS;

OPTI DIME 2 ;
OPTI MODE FOUR 1;
OPTI ELEM QUA4;
OPTI EPSI LINEAIRE;

*****
*      geometry
*****
* Dimensions en metres
* Points
P5 = 1.43 1.039 ;
P6 = 1.43 0.0 ;
P7 = 0. 0. ;
P8 = 0. 1.039 ;

N1 = 10 ;
S4 = P6 D N1 P5 ; S5 =P7 D N1 P6 ;
S6 = P7 D N1 P8 ; S7 =P8 D N1 P5 ;

WATER = DALL S4 S5 S6 S7 PLAN ;

* OPTIO FOR TRACE

SI (NEG GRAPH 'N');
  TITR ' FSIL : MAILLAGE';
  TRAC QUAL (WATER ET (0 0));
FINSI;
*****
```

```

* MODE - materiau - rigidite - masse      *
*****
MODLIQ1=MODE WATER LIQUIDE LQU4 ;
MODLIQ2=MODE S7    LIQUIDE LSU2 ;

MATLIQ = MATE (MODLIQ1 ET MODLIQ2)
          RHO 1.E3 RORF 1.E3 CSQN 1435.
          CREF 1435. LCAR 1 G 10.0 ;

RIG1 = RIGI (MODLIQ1 ET MODLIQ2) MATLIQ ;
MAS1 = MASS (MODLIQ1 ET MODLIQ2) MATLIQ ;

*****
*          boundary conditions      *
*****
* No explicit boundary condition
* the boundary conditions are natural
*****
* Theoritical values of frequencies

FRE1 = TABLE;
FRE1.1 = 0.5278;
FRE1.2 = 0.9621;
FRE1.3 = 1.2170;
LIST1 = PROG FRE1.1 FRE1.2 FRE1.3 ;

* Theoritical values of mode shapes

S7PRE = TABLE ;
S7PRE.1 = prog 0.0 .15755 .31110 .45677
          .59091 .71018 .81166 .89292
          .95212 .98801 1.0000 ;
S7PRE.2 = prog 0.0 .45137 .80878 1.0000
          .99098 .79310 .45945
          7.13120E-02 -.28176
          -.52329 -.60741 ;
S7PRE.3 = prog 0.0 .67298 1.0000 .83272
          .29951 -.27942 -.58584
          -.48679 -9.75875E-02
          .30721 .47269 ;

*****
* calculation of the frequencies      *
* and
* extraction of some results      *
*****
* Use of the operator VIBR. (option PROC)

RESUL = VIBR PROC LIST1 RIG1 MAS1 ;

*****
*      results
*****
MESS ' RESULTATS ';
MESS ' ----- ';
SAUT 1 LIGN;

FRE2 = TABL;
MOD = TABL;
DEF = TABL;
ERG = TABL;

S70 = CHAN 'POI1' S7 ;

I = 0;
REPETER BLOC1 3;
  I = I + 1;
  FRE2.I = TIRE RESUL FREQ RANG I;
  ERG.I = 100 *
    (ABS ((FRE1.I - FRE2.I) / FRE1.I));

  MOD.I = TIRE RESUL DEPL RANG I;
  PRE1 = REDU MOD.I S7 ;
  PRE2 = EXCO 'P' PRE1 'P' ;
  CHP1 = MANU CHPO S70 1 P S7PRE.I ;
  CHP2 = (PRE2 / (MAXI PRE2 ABS));
  CHP3 = (CHP1 - CHP2) ;
  CHP4 = (CHP1 + CHP2) ;

  MESS ' MODE ' I ;
  MESS ' -----';
  MESS 'Frequence theorique : ' FRE1.I 'Hz';
  MESS 'Frequence calculee : ' FRE2.I 'Hz';
  MESS ' Soit un ecart de : ' ERG.I '%';
  SAUT 1 LIGN;

* mode shape extraction and optional trace

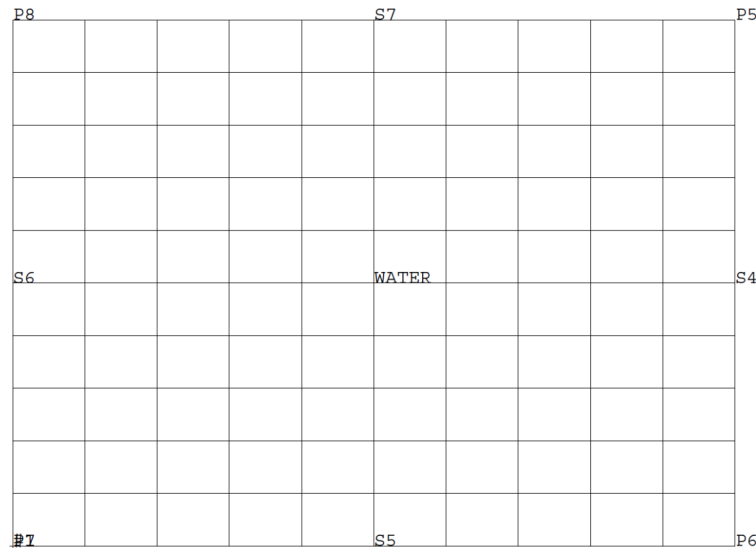
SI (NEG GRAPH 'N');
  DEF0 = DEFO S7 MOD.I 0. ;
  DEF.I = DEFO S7 MOD.I BLEU;
```

```
TRAC (DEF.I ET DEF0);  
FINSI;  
FIN BLOC1;  
  
*=====*  
*      code validation      *  
*=====*  
  
ERGMAX = MAXI (PROG ERG.1 ERG.2 ERG.3 );  
*  
SI (ERGMAX <EG 5.);  
    ERRE 0;  
SINON;  
    ERRE 5;  
FINSI;  
  
SAUT 1 LIGN;  
TEMPS;  
SAUT 1 LIGN;  
  
FIN;
```

## 5.5.11 fsi2.dgibi

| <b>Nom du fichier</b>        | fsi2.dgibi   |                    |                      |                    |                      |       |           |           |       |       |           |           |       |
|------------------------------|--|--------------------|----------------------|--------------------|----------------------|-------|-----------|-----------|-------|-------|-----------|-----------|-------|
| <b>Type de calcul</b>        | Mécanique<br>Vibration<br>2D Fourier   |                    |                      |                    |                      |       |           |           |       |       |           |           |       |
| <b>Type d'Éléments Finis</b> | LQU4   |                    |                      |                    |                      |       |           |           |       |       |           |           |       |
| <b>Référence</b>             | Validation of CASTEM2000 for fluid structure interaction problems<br>R.RAVI, Rapport C.E.A 91/479<br><b>FREQUENCES PROPRES ACOUSTIQUES</b><br>Le problème modélisé est un réservoir d'eau cylindrique de 1,43m de rayon et 1,039m de hauteur. Les fréquences propres acoustiques du volume d'eau (en mode de Fourier n°1) sont calculées et comparées à des valeurs de référence.<br>Les conditions aux limites sur la pression sont les suivantes :                       |                    |                      |                    |                      |       |           |           |       |       |           |           |       |
| <b>Description</b>           | $\frac{dp}{dy} \Big _{h=0} = 0$ $\frac{dp}{dr} \Big _{r=R} = 0$  |                    |                      |                    |                      |       |           |           |       |       |           |           |       |
| <b>Objectif</b>              | Les 2 premières fréquences propres acoustiques du volume fluide <table border="1" style="width: 100%; border-collapse: collapse;"> <thead> <tr> <th></th> <th><b>Référence</b></th> <th><b>Cast3M 2016</b></th> <th><b>Ecart Relatif</b></th> </tr> </thead> <tbody> <tr> <td><math>f_1</math></td> <td>294,06 Hz</td> <td>294,28 Hz</td> <td>0,07%</td> </tr> <tr> <td><math>f_2</math></td> <td>750,56 Hz</td> <td>753,27 Hz</td> <td>0,36%</td> </tr> </tbody> </table> |                    | <b>Référence</b>     | <b>Cast3M 2016</b> | <b>Ecart Relatif</b> | $f_1$ | 294,06 Hz | 294,28 Hz | 0,07% | $f_2$ | 750,56 Hz | 753,27 Hz | 0,36% |
|                              | <b>Référence</b>   | <b>Cast3M 2016</b> | <b>Ecart Relatif</b> |                    |                      |       |           |           |       |       |           |           |       |
| $f_1$                        | 294,06 Hz  | 294,28 Hz          | 0,07%                |                    |                      |       |           |           |       |       |           |           |       |
| $f_2$                        | 750,56 Hz  | 753,27 Hz          | 0,36%                |                    |                      |       |           |           |       |       |           |           |       |
| <b>Version de Cast3M</b>     | Du jour  |                    |                      |                    |                      |       |           |           |       |       |           |           |       |
| <b>Plateformes testées</b>   | IBM AiX<br>Linux 32-bits<br>Linux 64-bits<br>Windows 32-bits<br>Windows 64-bits<br>MAC OSX 64-bits   |                    |                      |                    |                      |       |           |           |       |       |           |           |       |

Tableau 48 : Informations sur le cas test fsi2.dgibi



*Figure 96 : Maillage du cas-test fsi2.dgibi*

**Jeu de données :**

```

* fichier : fsi2.dgibi
*****
* Section : Fluides Vibration
*****
* CAS TEST DU 91/10/04      PROVENANCE : PETI
*****
* Test fsi2.dgibi: jeux de données      *
* -----
*****
```

\* SI GRAPH = N PAS DE GRAPHIQUE AFFICHE  
\* SINON SI GRAPH DIFFERENT DE N TOUS  
\* LES GRAPHIQUES SONT AFFICHES

GRAPH = 'N' ;

SAUT PAGE;  
SI (NEG GRAPH 'N') ;  
 OPTI ECHO 1 ;  
 OPTI TRAC PSC ;  
SINO ;  
 OPTI ECHO 0 ;  
FINSI ;

SAUT PAGE;

\*\*\*\*\*

\* \*  
\* TEST FSI2 \*  
\* \*  
\* CYLINDRICAL FLUID CAVITY WITHOUT \*  
\* FREE SURFACE \*  
\* \*  
\* Calculation of the acoustic frequencies,\*  
\* for m = 1, of cylindrical water volume \*  
\* of radius 1.43m and height 1.039m \*  
\* \*  
\* \*  
\* P8+-----+P5 \*  
\* | | \*  
\* | | \*  
\* | | \*  
\* | | \*  
\* P7+-----+P6 \*  
\* \*  
\* \*  
\* The boundary conditions are \*  
\* \*  
\* dp | \*  
\* --- | = 0 \*  
\* dz | h = 0. \*  
\* \*  
\* dp | \*  
\* --- | = 0 \*  
\* dr | r = R \*  
\*\*\*\*\*

TEMPS;

OPTI DIME 2;  
OPTI MODE FOUR 1;  
OPTI ELEM QUA4;  
OPTI EPSI LINEAIRE;

\*\*\*\*\*

\* geometry \*  
\*\*\*\*\*

\* Dimensions en metres

\* Points

P5 = 1.43 1.039 ;  
P6 = 1.43 0.0 ;  
P7= 0. 0. ;  
P8 = 0. 1.039 ;

N1 = 10 ;  
S4 = P6 D N1 P5 ; S5 =P7 D N1 P6 ;  
S6 = P7 D N1 P8 ; S7 =P8 D N1 P5 ;

WATER = DALL S4 S5 S6 S7 QUELC ;

\* OPTIO FOR TRACE

SI (NEG GRAPH 'N');  
 TITR ' FSI2 : MAILLAGE';  
 TRAC QUAL (WATER ET (0 0));  
FINSI;

\*\*\*\*\*

\* MODE - materiau - rigidite - masse \*  
\*\*\*\*\*

MATLIQ = MATE MODLIQ  
 RHO 1.E3 RORF 1.E3 CSQN 1435.  
 CREF 1435. LCAR 1 G 0.;

RIG1 = RIGI MODLIQ MATLIQ ;  
MAS1 = MASS MODLIQ MATLIQ ;

\*\*\*\*\*

\* boundary conditions \*  
\*\*\*\*\*

\* No explicit boundary condition  
\* the boundary conditions are natural .  
\*\*\*\*\*

\* calculation of the frequencies \*  
\* and \*  
\* extraction of some results \*  
\*\*\*\*\*

\* Use the operator VIBR. (option PROC)

FRE1 = TABLE;  
FRE1.1 = 294.06;  
FRE1.2 = 750.56;  
LIST1 = PROG FRE1.1 FRE1.2 ;

\*  
RESUL = VIBR PROC LIST1 RIG1 MAS1 ;

\*\*\*\*\*

\* results \*  
\*\*\*\*\*

MESS ' RESULTATS ' ;  
MESS ' ----- ' ;  
SAUT 1 LIGN;

FRE2 = TABL;  
MOD = TABL;  
DEF = TABL;  
ERG = TABL;

I = 0;  
REPETER BLOC1 2;  
 I = I + 1;  
 FRE2.I = TIRE RESUL FREQ RANG I;  
 ERG.I = 100 \*  
 (ABS ((FRE1.I - FRE2.I) / FRE1.I));  
 MESS ' MODE ' I ;  
 MESS ' ----- ' ;  
 MESS 'Frequence theorique :' FRE1.I 'Hz';  
 MESS 'Frequence calculee :' FRE2.I 'Hz';  
 MESS ' Soit un ecart de : ' ERG.I '%';  
 SAUT 1 LIGN;  
FIN BLOC1;

\*\*\*\*\*

\* code validation \*  
\*\*\*\*\*

ERGMAX = MAXI (PROG ERG.1 ERG.2 );

SI (ERGMAX < EG 5.);  
 ERRE 0;  
SINON;  
 ERRE 5;  
FINSI;

SAUT 1 LIGN;  
TEMPS;  
SAUT 1 LIGN;

FIN;

### 5.5.12 fsi3.dgibi

| <b>Nom du fichier</b>        | fsi3.dgibi  |                    |                      |                    |                      |       |           |        |      |
|------------------------------|---|--------------------|----------------------|--------------------|----------------------|-------|-----------|--------|------|
| <b>Type de calcul</b>        | Mécanique<br>Vibration<br>2D Fourier  |                    |                      |                    |                      |       |           |        |      |
| <b>Type d'Éléments Finis</b> | LQU4, COQ2, RACO  |                    |                      |                    |                      |       |           |        |      |
| <b>Référence</b>             | Validation of CASTEM2000 for fluid structure interaction problems<br>R.RAVI, Rapport C.E.A 91/479<br><b>FREQUENCES PROPRES D'UN RESERVOIR CYLINDRIQUE</b><br><br>Le problème modélisé est un réservoir d'eau cylindrique en acier de 1,43m de rayon, 1,039m de hauteur et 2mm d'épaisseur. La fréquences propre de la structure (en mode de Fourier n°10) est calculée et comparée à une valeur de référence.<br><br>Les conditions aux limites sur la pression sont les suivantes :  |                    |                      |                    |                      |       |           |        |      |
| <b>Description</b>           | $\frac{dp}{dy} \Big _{h=0} = 0$ $\frac{dp}{dr} \Big _{r=R} = 0$   |                    |                      |                    |                      |       |           |        |      |
| <b>Objectif</b>              | <p>La première fréquence propre du réservoir en mode de Fourier n°10</p> <table border="1" style="width: 100%; border-collapse: collapse;"> <thead> <tr> <th></th> <th style="text-align: center;"><b>Référence</b></th> <th style="text-align: center;"><b>Cast3M 2016</b></th> <th style="text-align: center;"><b>Ecart Relatif</b></th> </tr> </thead> <tbody> <tr> <td style="text-align: center;"><math>f_1</math></td> <td style="text-align: center;">106,64 Hz</td> <td style="text-align: center;">109,54</td> <td style="text-align: center;">2,7%</td> </tr> </tbody> </table> |                    | <b>Référence</b>     | <b>Cast3M 2016</b> | <b>Ecart Relatif</b> | $f_1$ | 106,64 Hz | 109,54 | 2,7% |
|                              | <b>Référence</b>  | <b>Cast3M 2016</b> | <b>Ecart Relatif</b> |                    |                      |       |           |        |      |
| $f_1$                        | 106,64 Hz   | 109,54             | 2,7%                 |                    |                      |       |           |        |      |
| <b>Version de Cast3M</b>     | Du jour   |                    |                      |                    |                      |       |           |        |      |
| <b>Plateformes testées</b>   | IBM AiX<br>Linux 32-bits<br>Linux 64-bits<br>Windows 32-bits<br>Windows 64-bits<br>MAC OSX 64-bits  |                    |                      |                    |                      |       |           |        |      |

Tableau 49 : Informations sur le cas test fsi3.dgibi

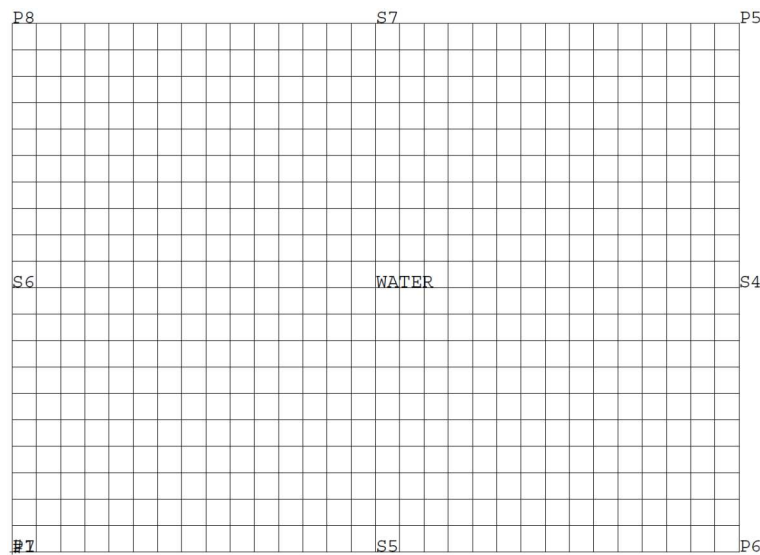


Figure 97 : Maillage du cas-test *fsi3.dgibi*

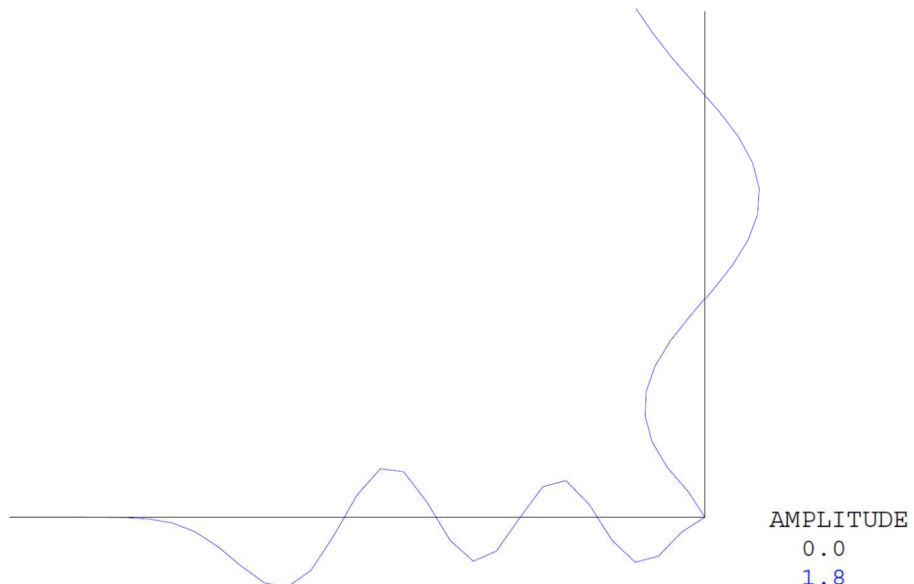


Figure 98 : Tracé du maillage initial (noir) et du maillage de la déformée modale de la fréquence propre n°1 (106,64 Hz) en mode de Fourier n°10 (bleu, x1,8)

**Jeu de données :**

```

* fichier : fsi3.dgibi
*****
* Section : Fluides Vibration
* Section : Mecanique Interaction Fluide Structure
*****
* CAS TEST DU 91/10/04 PROVENANCE : PETI
*****
* Test fsi3.dgibi: jeux de données
* -----
*****
```

\* SI GRAPH = N PAS DE GRAPHIQUE AFFICHE  
\* SINON SI GRAPH DIFFERENT DE N TOUS  
\* LES GRAPHIQUES SONT AFFICHES

GRAPH = 'N' ;

SAUT PAGE;  
SI (NEG GRAPH 'N') ;  
OPTI ECHO 1 ;  
OPTI TRAC X ;  
SINO ;  
OPTI ECHO 0 ;  
FINSI ;

SAUT PAGE;

\*\*\*\*\*

\* TEST FSI3

\* CYLINDRICAL TANK CONTAINING WATER

\* Calculation of the frequencies of  
\* cylindrical tank containing water, for  
\* m = 30. The radius is 1.43m and  
\* height is 1.039m.

\*-----+  
\* P2 +  
\* | \*  
\* fluid | \*  
\* | \*  
\* |-----+ \*  
\* P4 P3 \*  
\*  
\* The boundary condition : p3 is fixed  
\*-----+  
\* dp | \*  
\* --- | = 0. \*  
\* dz | h = 0. , 1.43 \*  
\*-----+  
\* dp | \*  
\* --- | = 0. \*  
\* dr | r = R \*  
\*\*\*\*\*

TEMPS;

OPTI DIME 2;  
OPTI MODE FOUR 10 ;  
OPTI ELEM QUA4;  
OPTI EPSI LINEAIRE;

\*\*\*\*\*

\* geometry

\* Dimensions en metres

\* Points

N1 = 20 ; N2 = 30 ;  
P2 = 1.43 1.039 ;  
P3 = 1.43 0.0 ;  
P4= 0. 0. ;  
P5 = 1.43 1.039 ;  
P6 = 1.43 0.0 ;  
P7= 0. 0. ;  
P8 = 0. 1.039 ;

S2 = P3 D N1 P2 ; S3 =P3 D N2 P4 ;  
S4 = P6 D N1 P5 ; S5 =P7 D N2 P6 ;  
S6 = P7 D N1 P8 ; S7 =P8 D N2 P5 ;

STEEL = S2 ET S3 ;  
WATER = DALL S4 S5 S6 S7 QUELC ;  
RAC1 = RACC 0.002 WATER STEEL ;

\* OPTIO FOR TRACE

SI (NEG GRAPH 'N');

```

TITR 'FSI3 : MAILLAGE';
TRAC QUAL (WATER ET (0 0));
FINSI;

=====
*      MODE - materiau - rigidite - masse *
=====

MODCOQ = MODE STEEL MECANIQUE CO2 ;
MODLIQ = MODE WATER LIQUIDE LQ4 ;
MODRAC = MODE RAC1 MECANIQUE LIQUIDE RACO;

MATCOQ = MATE MODCOQ RHO 7.8E3 YOUN 2.E11
NU 0.3 ;
MATLIQ = MATE (MODLIQ ET MODRAC)
RHO 1.E3 RORF 1.E3 CSQN 1435.
CREF 1435. LCAR 1. G 0.;

CARCOQ = CARA MODCOQ EPAI 0.002;
CARRAC = CARA MODRAC LIQU WATER;
MATCOQ = MATCOQ ET CARCOQ;
MATLIQ = MATLIQ ET CARRAC;

RIG1 = RIGI (MODCOQ ET MODLIQ ET MODRAC)
(MATCOQ ET MATLIQ) ;
MAS1 = MASS (MODCOQ ET MODLIQ ET MODRAC)
(MATCOQ ET MATLIQ) ;

=====
*      boundary conditions
=====

RES1 = BLOQ DEPL ROTA P3 ;
=====
*      theritical value of frequency
=====

FRE1 = 106.64 ;
LIST1 = PROG FRE1 ;

=====
*      calculation of the frequencies
*      and
*      extraction of some results
=====

* Use of the operator VIBR. (option PROC)

RESUL = VIBR PROC LIST1
(RES1 ET RIG1 ) MAS1 ;

=====
*      results
=====

MESS 'RESULTATS';
MESS '-----';
SAUT 1 LIGN;

FRE2 = TIRE RESUL FREQ RANG 1;
ERG = 100 *
(ABS ((FRE1 - FRE2) / FRE1));
MESS 'MODE' 1 ;
MESS '-----';
MESS 'Frequence theorique : ' FRE1 'Hz';
MESS 'Frequence calculee : ' FRE2 'Hz';
MESS 'Soit un ecart de : ' ERG '%';
SAUT 1 LIGN;

* mode shape extraction and optional trace

SI (NEG GRAPH 'N');
MOD = TIRE RESUL DEPL RANG 1;
DEF0 = DEFO STEEL MOD 0. ;
DEF = DEFO STEEL MOD BLEU;
TRAC (DEF ET DEF0);
FINSI;

=====
*      code validation
=====

ERGMAX = ERG ;
SI (ERGMAX < EG 5. );
ERRE 0;
SINON;
ERRE 5;
FINSI;

SAUT 1 LIGN;
TEMPS;
SAUT 1 LIGN;

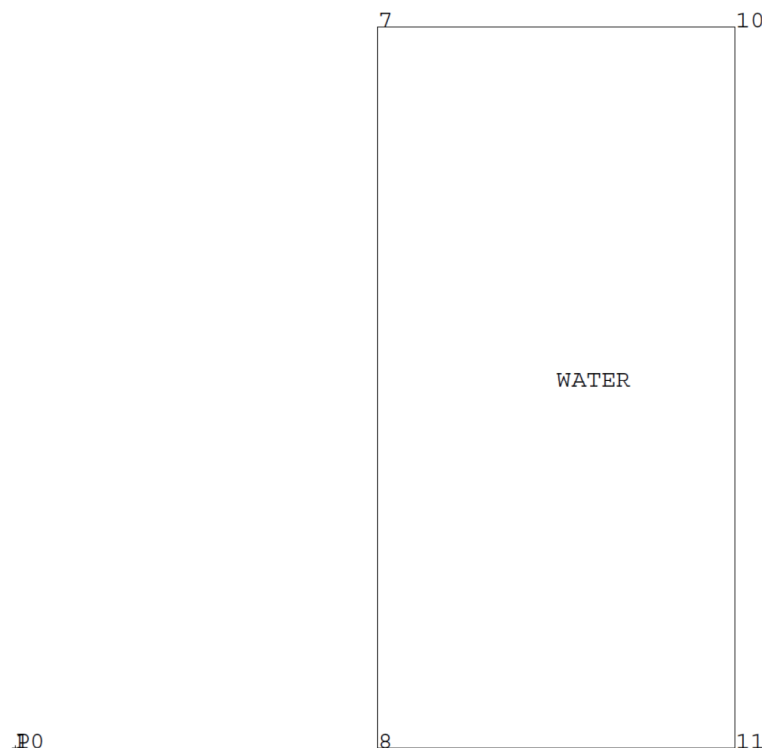
FIN;
```



### 5.5.13 fsi4.dgibi

| <b>Nom du fichier</b>        | fsi4.dgibi   |                    |                      |                    |                      |       |          |  |      |       |           |       |      |
|------------------------------|--|--------------------|----------------------|--------------------|----------------------|-------|----------|--|------|-------|-----------|-------|------|
| <b>Type de calcul</b>        | Mécanique<br>Vibration<br>2D Fourier   |                    |                      |                    |                      |       |          |  |      |       |           |       |      |
| <b>Type d'Éléments Finis</b> | LQU4, COQ2, RAC0   |                    |                      |                    |                      |       |          |  |      |       |           |       |      |
| <b>Référence</b>             | Validation of CASTEM2000 for fluid structure interaction problems<br>R.RAVI, Rapport C.E.A 91/479  |                    |                      |                    |                      |       |          |  |      |       |           |       |      |
| <b>Description</b>           | <p>FREQUENCES PROPRES DE COQUES CONCENTRIQUE</p> <p>Le problème modélisé est constitué de deux coques concentriques en acier de 0,5m de rayon intérieur, 1m de rayon extérieur et 5mm d'épaisseur. Les deux coques sont reliées par une raideur K Les fréquences propres de la structure (en mode de Fourier n°1) sont calculées et comparées à des valeurs de référence.</p> <p>Les conditions aux limites sur la pression sont les suivantes :</p> $\left. \frac{dp}{dy} \right _{\substack{h=0 \\ h=H}} = 0$ $\left. \frac{dp}{dr} \right _{\substack{r=R_{int} \\ r=R_{ext}}} = 0$ |                    |                      |                    |                      |       |          |  |      |       |           |       |      |
| <b>Objectif</b>              | <p>Les 2 premières fréquences propres du système en mode de Fourier n°1</p> <table border="1"> <thead> <tr> <th></th> <th><b>Référence</b></th> <th><b>Cast3M 2016</b></th> <th><b>Ecart Relatif</b></th> </tr> </thead> <tbody> <tr> <td><math>f_1</math></td> <td>18,88 Hz</td> <td></td> <td>1,2%</td> </tr> <tr> <td><math>f_2</math></td> <td>55,278 Hz</td> <td>56,08</td> <td>1,5%</td> </tr> </tbody> </table>   |                    | <b>Référence</b>     | <b>Cast3M 2016</b> | <b>Ecart Relatif</b> | $f_1$ | 18,88 Hz |  | 1,2% | $f_2$ | 55,278 Hz | 56,08 | 1,5% |
|                              | <b>Référence</b>   | <b>Cast3M 2016</b> | <b>Ecart Relatif</b> |                    |                      |       |          |  |      |       |           |       |      |
| $f_1$                        | 18,88 Hz   |                    | 1,2%                 |                    |                      |       |          |  |      |       |           |       |      |
| $f_2$                        | 55,278 Hz  | 56,08              | 1,5%                 |                    |                      |       |          |  |      |       |           |       |      |
| <b>Version de Cast3M</b>     | Du jour  |                    |                      |                    |                      |       |          |  |      |       |           |       |      |
| <b>Plateformes testées</b>   | IBM AiX<br>Linux 32-bits<br>Linux 64-bits<br>Windows 32-bits<br>Windows 64-bits<br>MAC OSX 64-bits   |                    |                      |                    |                      |       |          |  |      |       |           |       |      |

Tableau 50 : Informations sur le cas test fsi4.dgibi



*Figure 99 : Maillage du cas-test fsi4.dgibi*

**Jeu de données :**

```
*****
* Section : Fluides Vibration
* Section : Mecanique Interaction Fluide Structure
*****
* fichier : fsi4.dgibi
*           Test fsi4.dgibi: Jeux de données
*           -----
* CAS TEST DU 91/10/04      PROVENANCE : PETI
*****
* Test fsi4.dgibi: jeux de données
* -----
*****
* SI GRAPH = N PAS DE GRAPHIQUE AFFICHE
* SINON SI GRAPH DIFFERENT DE N TOUS
* LES GRAPHIQUES SONT AFFICHES
*****
GRAPH = 'N' ;

SAUT PAGE;
SI (NEG GRAPH 'N') ;
OPTI ECHO 1 ;
OPTI TRAC X ;
SINO ;
OPTI ECHO 0 ;
FINSI ;

SAUT PAGE;
*****
*          TEST FSI4
*
* CONCENTRIC SHELLS COUPLED BY FLUID
*
* Calculation of the frequencies of two
* concentric shells with springs coupled
* by water in between. The inner radius
* is 0.5m and the outer radius is 1.0m
*
*          P5          P7
*          |          |
*          |          |
*          fluid
*          |          |
*          |          |
*          |          |
*          |          |
*          K  P6   K  P8   K
*
* The boundary conditions are
*
*          dp          |
*          ---|          = 0.
*          dz          | h = 0. , 1.0
*
*          dp          |
*          ---|          = 0.
*          dr          | r = Ri , Ro
*****
TEMPS;

OPTI DIME 2;
OPTI MODE FOUR 1 ;
OPTI ELEM QUA4;
OPTI EPSI LINEAIRE;
*****
*          geometry
*****
* Dimensions en mm
*
* Points
PO = 0. 0. ;
NL1 = 1          ; N2 = 1          ;
P5 = 500.0 1000.0 ; P6 = 500.0 0.0 ;
P7 = 1000. 1000.0 ; P8 = 1000. 0.0 ;
P9 = P5 D NL1 P6 ; S6 = P8 D NL1 P7 ;
STEEL = S5 ET S6 ;
WATER = (S5 PLUS (2.5 0.)) ;
TRAN N2 (495.0 0. ) ;
RAC1 = RACC 3.0    WATER STEEL ;
*
* OPTIO FOR TRACE
SI (NEG GRAPH 'N');
TITR 'FSI4 : MAILLAGE';

```

```

TRAC QUAL (WATER ET P0);
FINSI;

=====
*      modele - affecte - materiel
*      rigidite - masse
=====
MODCOQ = MODE STEEL MECANIQUE COQ2 ;
MODLIQ = MODE WATER LIQUIDE LQ4;
MODRAC = MODE RAC1 MECANIQUE LIQUIDE RACO;
MATCOQ = MATE MODCOQ RHO 8.E-9 YOUN 2.E5
          NU 0.3 ;
MATLIQ = MATE (MODLIQ ET MODRAC)
          RHO 1.E-9 RORF 1.E-9
          CS0N 1435.0E3 CREF 1435.0E3
          LCAR 1000. G 0. ;
CARCOQ = CARA MODCOQ EPAI 5.0 ;
CARRAC = CARA MODRAC LIQU WATER;
MATCOQ = MATCOQ ET CARCOQ;
MATLIQ = MATLIQ ET CARRAC;

K      = 3.7458E4/2.0;
PPNEW = PROG K ( -1*K) ( -1*K) K;
RIG1 = RIGI (MODCOQ ET MODLIQ ET MODRAC)
          (MATCOQ ET MATLIQ) ;
MAS4 = MASS (MODRAC ET MODLIQ )(MATLIQ);

=====
*      boundary conditions
=====
RES1 = BLOQ UZ RT (S5 ET S6) ;
RIG2 = (APPU UR UT K P8 ) ET
          (APPU UR UT K P6 ) ;
RIG3 = ( MANU 'RIGI' type 'RIGIDITE'
          (P6 D 1 P8) (MOTS UR) PPNEW )
          ET ( MANU 'RIGI' type 'RIGIDITE'
          (P6 D 1 P8) (MOTS UT) PPNEW );
RIG4 = RIG1 ET RIG2 ET RIG3;

* theoretical value of frequency
FRE1 = TABLE ;
FRE1.1 = 18.88 ;
FRE1.2 = 55.278;
LIST1 = PROG FRE1.1 FRE1.2 ;
;
=====
*      calculation of the frequencies
*      and
*      extraction of some results
=====
* Use of the operator VIBR. (option PROC)
RESUL = VIBR PROC LIST1
          (RES1 ET RIG4 ) MAS4 ;
=====
*      results
=====
MESS ' RESULTATS ';
MESS ' ----- ';
SAUT 1 LIGN;
FRE2 = TABL;
MOD = TABL;
DEF = TABL;
ERG = TABL;

I = 0;
REPETER BLOC1 2;
I = I + 1;
FRE2.I = TIRE RESUL FREQ RANG I;
ERG.I = 100 *
          (ABS ((PRE1.I - FRE2.I) / PRE1.I));
MESS ' MODE ' I ;
MESS ' -----';
MESS 'Frequence theorique : ' FRE1.I 'Hz';
MESS 'Frequence calculee : ' FRE2.I 'Hz';
MESS ' Soit un ecart de : ' ERG.I '%';
SAUT 1 LIGN;
FIN BLOC1;

=====
*      code validation
=====
ERGMAX = MAXI (PROG ERG.1 ERG.2 );
SI (ERGMAX < EG 5. );
          ERRE 0;
SINON;

```



## GUIDE DE VALIDATION

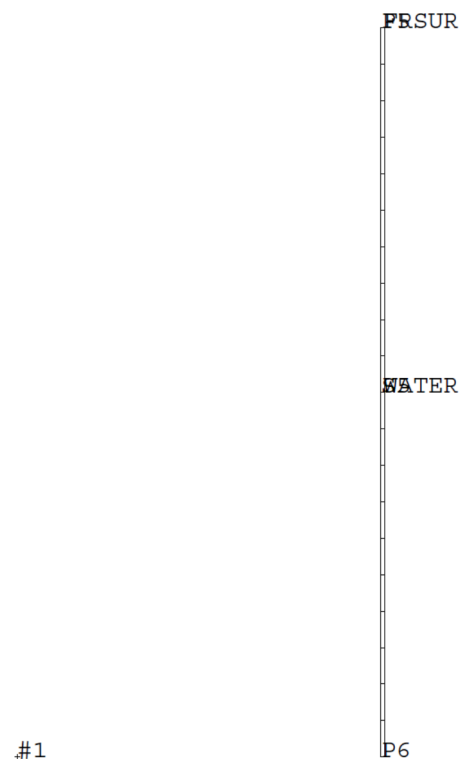
---

```
ERRE 5;  
FINSI;  
  
SAUT 1 LIGN;  
TEMPS;  
SAUT 1 LIGN;  
  
FIN;
```

### 5.5.14 fsi5.dgibi

| <b>Nom du fichier</b>        | fsi5.dgibi  |             |               |             |               |       |           |  |       |
|------------------------------|---|-------------|---------------|-------------|---------------|-------|-----------|--|-------|
| <b>Type de calcul</b>        | Mécanique<br>Vibration<br>2D Fourier  |             |               |             |               |       |           |  |       |
| <b>Type d'Éléments Finis</b> | LQU4, LSU2  |             |               |             |               |       |           |  |       |
| <b>Référence</b>             | Validation of CASTEM2000 for fluid structure interaction problems<br>R.RAVI, Rapport C.E.A 91/479<br><br>FREQUENCES PROPRES D'UNE COUCHE ANNULAIRE D'EAU<br><br>Le problème modélisé est une couche annulaire d'eau avec une surface libre de rayon moyen 0,5m et d'épaisseur 5mm.<br><br>La première fréquence propre de ce système (en mode de Fourier n°1) est calculée et comparée à une valeur de référence. |             |               |             |               |       |           |  |       |
| <b>Description</b>           | Les conditions aux limites sur la pression sont les suivantes :<br><br>$\frac{dp}{dy} \Big _{h=0} = 0$ $\frac{dp}{dr} \Big _{\substack{r=R_{int} \\ r=R_{ext}}} = 0$  |             |               |             |               |       |           |  |       |
| <b>Objectif</b>              | Les 2 premières fréquences propres du système en mode de Fourier n°1 <table border="1" style="margin-left: auto; margin-right: auto;"> <thead> <tr> <th></th> <th>Référence</th> <th>Cast3M 2016</th> <th>Ecart Relatif</th> </tr> </thead> <tbody> <tr> <td><math>f_1</math></td> <td>0,6922 Hz</td> <td></td> <td>0,02%</td> </tr> </tbody> </table>  |             | Référence     | Cast3M 2016 | Ecart Relatif | $f_1$ | 0,6922 Hz |  | 0,02% |
|                              | Référence   | Cast3M 2016 | Ecart Relatif |             |               |       |           |  |       |
| $f_1$                        | 0,6922 Hz   |             | 0,02%         |             |               |       |           |  |       |
| <b>Version de Cast3M</b>     | Du jour   |             |               |             |               |       |           |  |       |
| <b>Plateformes testées</b>   | IBM AiX<br>Linux 32-bits<br>Linux 64-bits<br>Windows 32-bits<br>Windows 64-bits<br>MAC OSX 64-bits  |             |               |             |               |       |           |  |       |

Tableau 51 : Informations sur le cas test fsi5.dgibi



*Figure 100 : Maillage du cas-test fsi5.dgibi*

**Jeu de données :**

```

*fichier : fsi5.dgibi
*****
* Section : Fluides Vibration
* Section : Mecanique Interaction Fluide Structure
*****
* CAS TEST DU 91/10/04      PROVENANCE : PETI
*****
* Test fsi5.dgibi: jeux de données
* -----
*****
```

\* SI GRAPH = N PAS DE GRAPHIQUE AFFICHE  
\* SINON SI GRAPH DIFFERENT DE N TOUS  
\* LES GRAPHIQUES SONT AFFICHES

GRAPH = 'N' ;

SAUT PAGE;  
SI (NEG GRAPH 'N') ;  
OPTI TRAC PSC ;  
FINSI ;

SAUT PAGE;

\*\*\*\*\*

\* TEST FSI5

\* ANNULAR FLUID LAYER WITH FREE SURFACE

\* Calculation of the frequencies of an annular water layer with free surface, for m= 1  
The mean radius is 0.5m and the thickness of annulus is 5mm

\* P5 \_\_\_\_\_

\* | | | | |

\* fluid | | | |

\* | | | | |

\* P6 -----

\* The boundary conditions are

\* dp | \*  
\* --- | = 0. \*  
\* dz | h = 0. \*

\* dp | \*  
\* --- | = 0. \*  
\* dr | r = Ri , Ro \*

\*\*\*\*\*

TEMP ZERO;

OPTI DIME 2;  
OPTI MODE FOUR 1 ;  
OPTI ELEM QUA4;  
OPTI EPSI LINEAIRE;

\*\*\*\*\*

\* Dimensions en metres

\* Points

THICK = 5.0 ;  
N1 = 20 ;  
R = 500. ;  
P5 = (R - (THICK \* 0.5)) 1000.0 ;  
P6 = (R - (THICK \* 0.5)) 0.0 ;

S5=P5 D N1 P6 ;

WATER = S5 TRAN 1 (THICK 0. ) ;  
FRSUR = COTE WATER 4 ;

\* OPTIO FOR TRACE

SI (NEG GRAPH 'N');  
TITR 'FSI5 : MAILLAGE';  
TRAC QUAL (WATER ET (0 0));  
FINSI;

\*\*\*\*\*

\* MODE - materiau - rigidite - masse \*

\*\*\*\*\*

MODLIQ = MODE WATER LIQUIDE LQU4 ;  
MODSUR = MODE FRSUR LIQUIDE LSU2;

```

MATLIQ = MATE (MODLIQ ET MODSUR)
RHO 1.E-9 RORF 1.E-9
CSQN 1435.E3 CREF 1435.E3
LCAR 1000. G 9810.;

RIG1 = RIGI (MODLIQ ET MODSUR) MATLIQ ;
MAS1 = MASS (MODLIQ ET MODSUR) MATLIQ ;

*=====
*          boundary conditions
*=====
* No explicit boundary condition
* the boundary conditions are natural

* theoretical value of frequency
FRE1 = 0.6922;
LIST1 = PROG FRE1 ;
```

\*\*\*\*\*

\* calculation of the frequencies
\* and
\* extraction of some results

\*\*\*\*\*

\* Use of the operator VIBR (option PROC)
RESUL2 = VIBR 'PROC' LIST1 RIG1 MAS1 ;

\* Use of the operator VIBR (option IRAM)
\* opti impi 5;
RESUL3 = VIBR 'IRAM' 0.001 1 RIG1 MAS1 ;  
\* opti impi 0;

\*\*\*\*\*

\* results

\*\*\*\*\*

OPTI ECHO 0;
MESS ' RESULTATS ';
MESS '-----';
MESS ' | Frequence propre en Hz (erreur relative en %) ';
MESS ' Mode | Theorie | VIBR PROCH | VIBR IRAM ';
MESS '-----';

FRE2 = TIRE RESUL2 FREQ RANG 1;
ERG2 = 100 \* (ABS ((FRE1 - FRE2) / FRE1));
FRE3 = TIRE RESUL3 FREQ RANG 1;
ERG3 = 100 \* (ABS ((FRE1 - FRE3) / FRE1));
chacha = chai 1 \*5 ' | FORMAT '(F9.6)' FRE1
' | FORMAT '(F9.6)' FRE2 ' | FORMAT '(F5.3)' ERG2 '%'
' | FORMAT '(F9.6)' FRE3 ' | FORMAT '(F5.3)' ERG3 '%';
MESS chacha;

\* mode shape extraction and optional trace

SI (NEG GRAPH 'N');
MOD2 = TIRE RESUL2 'DEPL' 'RANG' 1;
DEF0 = DEFO FRSUR MOD2 0. ;
DEF2 = DEFO FRSUR MOD2 'BLEU';
TRAC (DEF2 ET DEF0);
DEF3 = DEFO FRSUR MOD3 'ROSE';
TRAC (DEF3 ET DEF0);
FINSI;

MESS '-----';
OPTI ECHO 1;

\*\*\*\*\*

\* code validation
\*=====

ERG2MAX = ERG2 ;
ERG3MAX = ERG3 ;

SI (ERG2MAX > 4.5);
MESS 'ERREUR VIBR OPTION PROCHE';
ERRE 5;
FINSI;

SI (ERG3MAX > 4.5);
MESS 'ERREUR VIBR OPTION IRAM';
ERRE 5;
FINSI;
ERRE 0;

TEMP;

FIN;

## 5.5.15 fsi6.dgibi

| <b>Nom du fichier</b>        | fsi6.dgibi   |             |               |             |               |       |           |  |      |       |           |  |       |       |           |  |       |       |           |  |       |
|------------------------------|--|-------------|---------------|-------------|---------------|-------|-----------|--|------|-------|-----------|--|-------|-------|-----------|--|-------|-------|-----------|--|-------|
| <b>Type de calcul</b>        | Mécanique<br>Vibration<br>3D   |             |               |             |               |       |           |  |      |       |           |  |       |       |           |  |       |       |           |  |       |
| <b>Type d'Éléments Finis</b> | LQU4, LSU2   |             |               |             |               |       |           |  |      |       |           |  |       |       |           |  |       |       |           |  |       |
| <b>Référence</b>             | Validation of CASTEM2000 for fluid structure interaction problems<br>R.RAVI, Rapport C.E.A 91/479<br><b>FREQUENCES D'AGITATION D'UN VOLUME D'EAU</b><br>Le problème modélisé est un volume d'eau parallélépipédique de largeur 0,1m, profondeur 1,58m et de hauteur 0,1m avec une surface libre sur le dessus.<br>Les 4 premières fréquences propres de ce système sont calculées et comparées à des valeurs de référence.<br>Les conditions aux limites sur la pression sont les suivantes :<br>$\frac{dp}{dz} \Big _{z=0} = 0$<br>$\frac{dp}{dx} \Big _{x=0} = 0$<br>$\frac{dp}{dy} \Big _{y=a} = 0$ |             |               |             |               |       |           |  |      |       |           |  |       |       |           |  |       |       |           |  |       |
| <b>Description</b>           | Les 2 premières fréquences propres du système en mode de Fourier n°1   |             |               |             |               |       |           |  |      |       |           |  |       |       |           |  |       |       |           |  |       |
| <b>Objectif</b>              | <table border="1"> <thead> <tr> <th></th> <th>Référence</th> <th>Cast3M 2016</th> <th>Ecart Relatif</th> </tr> </thead> <tbody> <tr> <td><math>f_1</math></td> <td>0,2476 Hz</td> <td></td> <td>0,2%</td> </tr> <tr> <td><math>f_2</math></td> <td>0,3132 Hz</td> <td></td> <td>0,43%</td> </tr> <tr> <td><math>f_3</math></td> <td>0,3993 Hz</td> <td></td> <td>0,82%</td> </tr> <tr> <td><math>f_4</math></td> <td>0,4952 Hz</td> <td></td> <td>0,79%</td> </tr> </tbody> </table>   |             | Référence     | Cast3M 2016 | Ecart Relatif | $f_1$ | 0,2476 Hz |  | 0,2% | $f_2$ | 0,3132 Hz |  | 0,43% | $f_3$ | 0,3993 Hz |  | 0,82% | $f_4$ | 0,4952 Hz |  | 0,79% |
|                              | Référence  | Cast3M 2016 | Ecart Relatif |             |               |       |           |  |      |       |           |  |       |       |           |  |       |       |           |  |       |
| $f_1$                        | 0,2476 Hz  |             | 0,2%          |             |               |       |           |  |      |       |           |  |       |       |           |  |       |       |           |  |       |
| $f_2$                        | 0,3132 Hz  |             | 0,43%         |             |               |       |           |  |      |       |           |  |       |       |           |  |       |       |           |  |       |
| $f_3$                        | 0,3993 Hz  |             | 0,82%         |             |               |       |           |  |      |       |           |  |       |       |           |  |       |       |           |  |       |
| $f_4$                        | 0,4952 Hz  |             | 0,79%         |             |               |       |           |  |      |       |           |  |       |       |           |  |       |       |           |  |       |
| <b>Version de Cast3M</b>     | Du jour  |             |               |             |               |       |           |  |      |       |           |  |       |       |           |  |       |       |           |  |       |
| <b>Plateformes testées</b>   | IBM AiX<br>Linux 32-bits<br>Linux 64-bits<br>Windows 32-bits<br>Windows 64-bits<br>MAC OSX 64-bits   |             |               |             |               |       |           |  |      |       |           |  |       |       |           |  |       |       |           |  |       |

Tableau 52 : Informations sur le cas test fsi6.dgibi

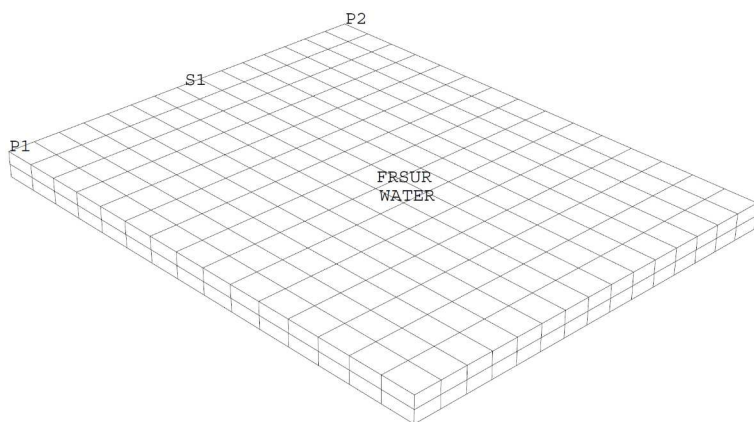


Figure 101 : Maillage du cas-test fsi6.dgibi

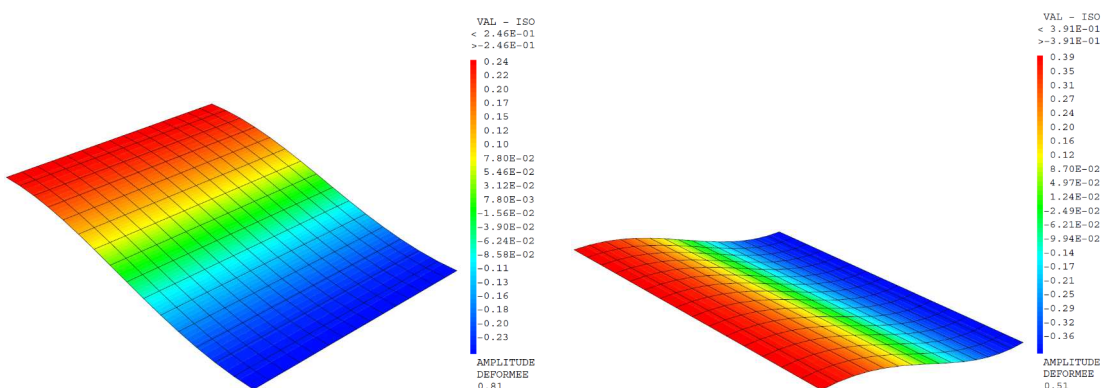


Figure 102 : Déformée modale du mode n° 1 à 0,2471Hz (à gauche) et du mode n° 2 à 0,3119Hz (à droite)

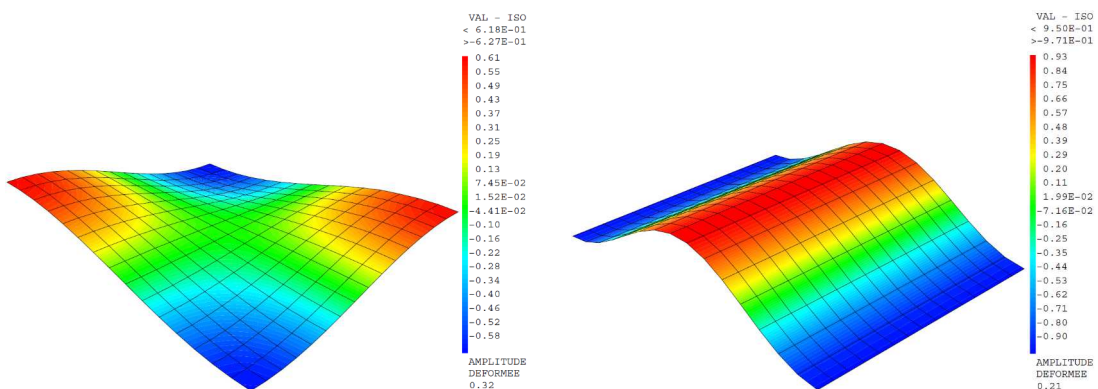


Figure 103 : Déformée modale du mode n° 3 à 0,3960Hz (à gauche) et du mode n° 4 à 0,4913Hz (à droite)



## Jeu de données :

```

* fichier : fsi6.dgibi
***** Section : Fluides Vibration
***** Section : Mecanique Interaction Fluide Structure
***** CAS TEST DU 91/10/04 PROVENANCE : PETI
***** Test fsi6.dgibi: jeux de données
***** SI GRAPH = N PAS DE GRAPHIQUE AFFICHE
***** SINON SI GRAPH DIFFERENT DE N TOUS
***** LES GRAPHIQUES SONT AFFICHES

GRAPH = 'N' ;
SAUT PAGE;
SI (NEG GRAPH 'N') ;
  OPTI ECHO 1 ;
  OPTI TRAC PSC ;
SINO ;
  OPTI ECHO 0 ;
FINSI ;

SAUT PAGE;
***** TEST FSI6
***** PARALLELEPIPEDIQUE FLUID VOLUME WITH
***** FREE SURFACE
***** Calculation of the sloshing frequency
***** of a parallelepipedique fluid volume
***** Height (h) 0.1m length (a) 2m
***** Breadth (b) 1.58m
***** P2
***** / \ / \
*****   /   b / \
*****   /     / |
*****   a     / |
*****   / \ / \
***** P1 / \ / \
*****           h / \
***** The boundary conditions are
***** dp |      = 0.
***** ---| h = 0.
***** dp |      = 0.
***** ---| x = 0 , a
***** dp |      = 0.
***** ---| y = 0 , b
***** TEMPS;
OPTI DIME 3;
OPTI ELEM CUB8;
OPTI EPSI LINEAIRE;
***** geometry
***** Dimensions en metres
***** Points
P1 = 0. 0. 0. ;
P2 = 0. 1.58114 0. ;
EYE = 5. -3. 3. ;
S1 =P1 D 15 P2 ;
FRSUR = S1 TRAN 15 (2. 0. 0.) ;
WATER = FRSUR VOLU TRAN 2 (0. 0. -0.1) ;
* OPTIO FOR TRACE
SI (NEG GRAPH 'N') ;
  TITR ' FS16 : MAILLAGE';
  TRAC QUAL WATER CACH EYE ;
FINSI;

=====
* MODE - materiau - rigidite - masse *
=====

MODLIQ1=MODE WATER LIQUIDE LCU8;
MODLIQ2=MODE FRSUR LIQUIDE LSU4;

MATLIQ = MATE (MODLIQ1 ET MODLIQ2)
  RHO 1.E3 RORF 1.E3
  CSQN 1435. CREF 1435.
  LCAR 1.0 G 9.81 ;

RIG1 = RIGI (MODLIQ1 ET MODLIQ2) MATLIQ ;
MAS1 = MASS (MODLIQ1 ET MODLIQ2) MATLIQ ;

=====
* boundary conditions
=====
* No explicit boundary condition
* the boundary conditions are natural
* Theoritical value of frequency
FRE1 = TABL ;
FRE1.1 = 0.2476;
FRE1.2 = 0.3132;
FRE1.3 = 0.3993;
FRE1.4 = 0.4952;
LIST1 = PROG FRE1.1 FRE1.2 FRE1.3 FRE1.4 ;

=====
* calculation of the frequencies
* and
* extraction of some results
=====
* Use of the operator VIBR. (option PROC)
RESUL = VIBR PROC LIST1 RIG1 MAS1 ;

=====
* results
=====
MESS ' RESULTATS ';
MESS ' ----- ';
SAUT 1 LIGN;

FRE2 = TABL;
MOD = TABL;
DEF = TABL;
ERG = TABL;

I = 0;
REPETER BLOC1 (dime resul);
  I = I + 1;
  FRE2.I = TIRE RESUL FREQ RANG I;
  ERG.I = 100 *
    (ABS ((FRE1.I - FRE2.I) / FRE1.I));
  MESS ' MODE ' I ;
  MESS ' -----';
  MESS ' Frequence theorique :: FRE1.I ' Hz';
  MESS ' Frequence calculee :: FRE2.I ' Hz';
  MESS ' Soit un ecart de : ' ERG.I '%';
  SAUT 1 LIGN;

* mode shape extraction and optional trace
SI (NEG GRAPH 'N');
  MOD.I= TIRE RESUL DEPL RANG I;
  DEFO = DEFO FRSUR MOD.I 0. ;
  DEF.I= DEFO FRSUR MOD.I VERT;
  DEPZ = EXCO MOD.I 'UZ';
  TRAC CACH (DEF.I ET DEFO) EYE CACH ;
  TRAC DEPZ FRSUR
    (DEFO FRSUR MOD.I NOIR) ;
FINSI;
FIN BLOC1;

=====
* code validation
=====
ERGMAX = MAXI
  (PROG ERG.1 ERG.2 ERG.3 ERG.4 ) ;

SI (ERGMAX <EG 5.0);
  ERRE 0;
SINON;
  ERRE 5;

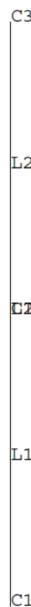
```

```
SAUT 1 LIGN;
TEMPS;
SAUT 1 LIGN;
FIN;
```

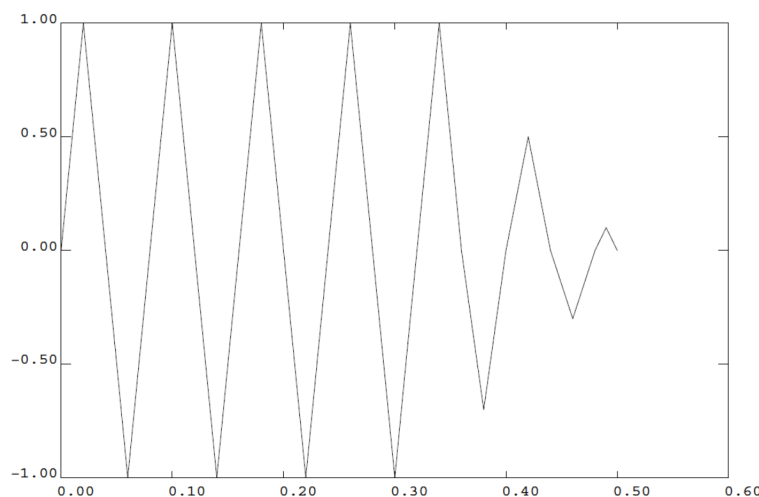
## 5.5.16 sissi.dgibi

| <b>Nom du fichier</b>        | sissi.dgibi  |                            |                      |  |  |                  |                    |                      |           |                            |                            |    |                  |                          |                          |    |
|------------------------------|--|----------------------------|----------------------|--|--|------------------|--------------------|----------------------|-----------|----------------------------|----------------------------|----|------------------|--------------------------|--------------------------|----|
| <b>Type de calcul</b>        | Mécanique<br>Vibration<br>3D   |                            |                      |  |  |                  |                    |                      |           |                            |                            |    |                  |                          |                          |    |
| <b>Type d'Éléments Finis</b> | POUT   |                            |                      |  |  |                  |                    |                      |           |                            |                            |    |                  |                          |                          |    |
| <b>Référence</b>             | Validation of CASTEM2000 for fluid structure interaction problems<br>R.RAVI, Rapport C.E.A 91/479<br><b>FONCTIONNEMENT DE LA PROCEDURE SISSIB.PROCEDUR</b>   |                            |                      |  |  |                  |                    |                      |           |                            |                            |    |                  |                          |                          |    |
| <b>Description</b>           | <p>Ce test permet de s'assurer du bon fonctionnement de la procédure SISSIB.PROCEDUR qui est en charge de calculer la réponse sismique d'une structure à l'aide d'une méthode spectrale.</p> <p>Le problème représente une poutre encastrée composée de 20 éléments finis dont les moments d'inertie IY et IZ sont différents. Un spectre en accélération selon l'axe X est appliqué afin de représenter le séisme.</p>  |                            |                      |  |  |                  |                    |                      |           |                            |                            |    |                  |                          |                          |    |
| <b>Objectif</b>              | <p>Le déplacement <math>U_x</math> et l'accélération <math>\ddot{U}_x</math> au point C3</p> <table border="1" style="width: 100%; border-collapse: collapse;"> <thead> <tr> <th></th> <th><b>Référence</b></th> <th><b>Cast3M 2016</b></th> <th><b>Ecart Relatif</b></th> </tr> </thead> <tbody> <tr> <td><math>U_x(C3)</math></td> <td>8,01914.10<sup>-4</sup>m</td> <td>8,01914.10<sup>-4</sup>m</td> <td>0%</td> </tr> <tr> <td><math>\ddot{U}_x(C3)</math></td> <td>1,2570 m.s<sup>-2</sup></td> <td>1,2570 m.s<sup>-2</sup></td> <td>0%</td> </tr> </tbody> </table> |                            |                      |  |  | <b>Référence</b> | <b>Cast3M 2016</b> | <b>Ecart Relatif</b> | $U_x(C3)$ | 8,01914.10 <sup>-4</sup> m | 8,01914.10 <sup>-4</sup> m | 0% | $\ddot{U}_x(C3)$ | 1,2570 m.s <sup>-2</sup> | 1,2570 m.s <sup>-2</sup> | 0% |
|                              | <b>Référence</b>   | <b>Cast3M 2016</b>         | <b>Ecart Relatif</b> |  |  |                  |                    |                      |           |                            |                            |    |                  |                          |                          |    |
| $U_x(C3)$                    | 8,01914.10 <sup>-4</sup> m   | 8,01914.10 <sup>-4</sup> m | 0%                   |  |  |                  |                    |                      |           |                            |                            |    |                  |                          |                          |    |
| $\ddot{U}_x(C3)$             | 1,2570 m.s <sup>-2</sup>   | 1,2570 m.s <sup>-2</sup>   | 0%                   |  |  |                  |                    |                      |           |                            |                            |    |                  |                          |                          |    |
| <b>Version de Cast3M</b>     | Du jour  |                            |                      |  |  |                  |                    |                      |           |                            |                            |    |                  |                          |                          |    |
| <b>Plateformes testées</b>   | IBM AiX<br>Linux 32-bits<br>Linux 64-bits<br>Windows 32-bits<br>Windows 64-bits<br>MAC OSX 64-bits   |                            |                      |  |  |                  |                    |                      |           |                            |                            |    |                  |                          |                          |    |

Tableau 53 : Informations sur le cas test sissi.dgibi



*Figure 104 : Maillage du cas-test sissi.dgibi*



*Figure 105 : Évolution de la sollicitation en accélération*

**Jeu de données :**

```

* fichier : sissi.dgibi
*****
* Section : Mecanique Dynamique
*****



***** Test sissi.dgibi: jeux de données *****
* -----
*****



* SI GRAPH = N PAS DE GRAPHIQUE AFFICHE
* SINON SI GRAPH DIFFERENT DE N TOUS
* LES GRAPHIQUES SONT AFFICHES

GRAPH = 'N' ;

SAUT PAGE;
SI (NEG GRAPH 'N') ;
    OPTI ECHO 1 ;
    OPTI TRAC PSC ;
SINO ;
    OPTI ECHO 0 ;
FINSI ;

SAUT PAGE;
*****



* Mots-clés : Vibrations, calcul modal,
* poutre, seisme
*
* SISSI
*
* CAS TEST DU 91/06/19 PROVENANCE : PLAF
* CAS TEST DU 91/06/18 PROVENANCE : PLAF
*
* test de la procedure SISSIB
*
* 1 poutre encastree, 20 elements finis,
* IY different de IZ, un spectre
* d'oscillateurs en ACCE direction du
* seisme : X
*
*****



TEMPS ;
OPTI DIME 3 ELEM 'SEG2' ;
OPTI EPSI 'LINEAIRE' ;
*
C1 = 0. 0. 0. ;
C2 = 0. 0. 5. ;
C3 = 0. 0. 10. ;
L1 = DROITE 10 C1 C2 ;
L2 = DROITE 10 C2 C3 ;
LI = L1 ET L2 ;

SI (NEG GRAPH 'N');
    TRAC 'QUAL' LI;
FINSI;

MOD1 = MODE LI MECANIQUE ELASTIQUE POUT ;
CH_MAT = MATE MOD1 YOUNG 2.E11 NU 0.3
        RHO 7800. ;
CH_CAR = CARA MOD1 SECT 0.25 INRY 0.006
        INRZ 0.004 TORS 0.01
        VECT ( 0. 1. 0. ) ;
CH_MAT=CH_MAT et CH_CAR;

RIGI = RIGI CH_MAT MOD1 ;
ENCI = BLOQ C1 DEPL ROTA ;
RIGIFI= RIGI ET ENCI ;

MAS1 = MASS CH_MAT MOD1 ;

* Calcul des premiers modes

L_FREQ = PROG 3.58 4.38 24.09 25.15 ;
MODE_POU = VIBR PROCHE L_FREQ RIGIFI
        MAS1 TBAS ;

* Calcul des contraintes modales
MODE_POU = SIGSOL MOD1 CH_MAT MODE_POU ;

* Calcul des reactions modales
MODE_POU = REAC ENCI MODE_POU ;

ITAB2 = MODE_POU . 'MODES' ;
NB_MODE = ( DIME ITAB2 ) - 2 ;

* Definition du spectre acceleration
LIS_TEMP = PROG 0. PAS 1.E-2 0.50 ;
LIS_ACCE = PROG
    0. 0.5 1. 0.5 0. -0.5 -1. -0.5
    0. 0.5 1. 0.5 0. -0.5 -0.35 -0.7 -0.35
    0. 0.25 0.5 0.25 0. -0.15 -0.3 -0.15
    0. 0.1 0. ;



LIS_CHAR = EVOL MANU LIS_TEMP LIS_ACCE ;
SI (NEG GRAPH 'N');
    TITR 'Changement en Acceleration';
    DESS LIS_CHAR;
FINSI;

LIS_FREQ = PROG 1. PAS 2. 400. ;
LIS_AMOR = PROG 2. 5. 10. 15. ;
LIS_AMOR = LIS_AMOR * 1.e-2 ;
SEISME_X = SPO LIS_CHAR AMOR
    LIS_AMOR 'FREQ'
    LIS_FREQ 'ACCE' ;

BAS_AMOR = PROG 4. 6. 7. 9. ;
BAS_AMOR = BAS_AMOR * 1.e-2 ;

TAB1 = TABL ;
TAB1 . 'STRUCTURE' = MODE_POU ;
TAB1 . 'AMORTISSEMENT' = BAS_AMOR ;

TAB3 = 'TABLE' 'EXCITATION' ;
TAB1 . 'EXCITATION' = TAB3 ;

TAB3 . 1 = 'TABLE' ;
TAB3 . 1 . 'DIRECTION' = 'X' ;
TAB3 . 1 . 'SPECIRE' = SEISME_X ;
TAB3 . 1 . 'AMORTISSEMENT' = LIS_AMOR ;

TAB1 . 'RECOMBINAISON_MODES' = 'SRSS';
TAB1 . 'RECOMBINAISON_DIRECTIONS' =
    'QUADRATIQUE' ;

TAB4 = 'TABLE' 'SORTIES' ;
TAB1 . 'SORTIES' = TAB4 ;
TAB4 . 'DOMAINE' = MOD1 ;
TAB4 . 'DEPLACEMENTS' = VRAI ;
TAB4 . 'CONTRAINTES' = VRAI ;
TAB4 . 'ACCELERATIONS' = VRAI ;

TAB2 = SISSIB TAB1 ;

MESS ' Chpoint de deplacement du point
      C3 issu de SISSIB : ' ;
MESS ' ' ;
CHP_DEP = TAB2 . 'X' . 'DEPLACEMENTS' ;
LIST ( REDU CHP_DEP C3 ) ;
MESS ' Chpoint d acceleration du point
      C3 issu de SISSIB : ' ;
MESS ' ' ;
CHP_ACC = TAB2 . 'X' . 'ACCELERATIONS' ;
LIST ( REDU CHP_ACC C3 ) ;

CHE_CONT = TAB2 . 'X' . 'CONTRAINTES' ;
MAX_CONT = MAXI CHE_CONT ;
MESS ' Valeur maximale des contraintes
      issue de SISSIB =' MAX_CONT ;
MESS ' ' ;

*----- Verification de la procedure -----
*----- Verification du deplacement
*----- Verification de l'acceleration
*----- Verification de la contrainte maximale
*----- calcul de S(N,X,B) -----
TSEIS = TABL ;
NB_AMOR = 'DIME' LIS_AMOR ;
I_MODE = 0 ;
REPETER BOUC1 NB_MODE ;
    I_MODE = I_MODE + 1 ;
    ITAB3 = ITAB2 . I_MODE ;
    F_N = ITAB3 . 'FREQUENCE' ;
    LOG_F_N = LOG F_N ;
    B_N = EXTRAIRES BAS_AMOR I_MODE ;
    P_SPEC = 'PROG' ;
    I_AMOR = 0 ;
    REPETER BOUC10 NB_AMOR ;
        I_AMOR = I_AMOR +' 1 ;
        EVOLS1 = 'EXTR' SEISME_X 'COUR'
            I_AMOR ;
        LISABS1 = 'EXTR' EVOLS1 'ABSC' ;
        LISORD1 = 'EXTR' EVOLS1 'ORDO' ;
        LOG_ABS1 = 'LOG' LISABS1 ;

```

```

LOG_ORD1 = 'LOG' LISORD1 ;
S1 = IPOL LOG_F_N LOG_ABS1 LOG_ORD1 ;
S_1 = 'EXP' S1 ;

P_SPEC = P_SPEC ET ( 'PROG' S_1 ) ;
FIN BOUC10 ;

S_N = 'IPOL' B_N LIS_AMOR P_SPEC ;
TSEIS . I_MODE = S_N ;
FIN BOUC1 ;

I_MODE = 0 ;
ZTRON = 'MANU' 'CHPO' LI 1 'UX' 1. ;
*
REPETER BOUC2 NB_MODE ;
I_MODE = I_MODE + 1 ;
S_I = TSEIS . I_MODE ;
ITAB3 = ITAB2 . I_MODE ;
F_I = ITAB3 .'FREQUENCE' ;
D_I = ITAB3 .'DEFORMEE_MODAL' ;
C_I = ITAB3 .'CONTRAINTE_MODAL' ;
ITAB4=ITAB3 .'DEPLACEMENTS_GENERALISES' ;
Q_I = ITAB4 . 1 ;
M_I = ITAB3 .'MASSE_GENERALISEE' ;
W_I = 2.0 * PI * F_I ;
QSM = Q_I / M_I ;
COEF_I = QSM / ( W_I * W_I ) ;
DEPL_I = COEF_I * S_I * D_I ;
ACCE_I = QSM * S_I * D_I ;
ZTRON = ZTRON - ( QSM * D_I ) ;
CONT_I = COEF_I * S_I * C_I ;
'SI' ( I_MODE 'EGA' 1 ) ;
DEPL_T = DEPL_I ** 2 ;
ACCE_T = ACCE_I ** 2 ;
CONT_T = CONT_I ** 2 ;
'FINSI' ;
DEPL_T = DEPL_T + ( DEPL_I ** 2 ) ;
ACCE_T = ACCE_T + ( ACCE_I ** 2 ) ;
CONT_T = CONT_T + ( CONT_I ** 2 ) ;
'FINSI' ;
FIN BOUC2 ;

LISORD1 = 'EXTR' SEISME_X 'ORDO' 1 ;
NVAL_1 = 'DIME' LISORD1 ;
GAMMA0 = 'EXTR' LISORD1 NVAL_1 ;
ACCE_T = ACCE_T + ( ( GAMMA0 * GAMMA0 ) *
( ZTRON ** 2 ) );

DEPL_T = DEPL_T ** 0.5 ;
ACCE_T = ACCE_T ** 0.5 ;
CONT_T = CONT_T ** 0.5 ;

D_SOM_X = 'EXTR' DEPL_T C3 'UX' ;
A_SOM_X = 'EXTR' ACCE_T C3 'UX' ;
C_MAX = 'MAXI' CONT_T ;

DEP = EXTR CHP_DEP C3 'UX' ;
ACC = EXTR CHP_ACC C3 'UX' ;

MESS '    deplacement du point C3 :';
LIST ( 'REDU' DEPL_T C3 ) ;
SAUTER 2 LIGNES ;
MESS '    acceleration du point C3 :';
LIST ( 'REDU' ACCE_T C3 ) ;
SAUTER 2 LIGNES ;
MESS '    contrainte maximale =' C_MAX ;
SAUTER 2 LIGNES ;

TEMPS ;

*      Code de bon fonctionnement
REF_DEP = D_SOM_X ;
REF_ACC = A_SOM_X ;
REF_CON = C_MAX ;
RES1 = 100 *
(ABS ( ( DEP - REF_DEP ) / REF_DEP )) ;
RES2 = 100 *
(ABS ( ( ACC - REF_ACC ) / REF_ACC )) ;
RES3 = 100 *
(ABS ( ( MAX_CONT - REF_CON ) / REF_CON )) ;
SAUTER 2 LIGNES ;

MESS 'deplacement theorique :' D_SOM_X 'm';
MESS 'deplacement calculee :' DEP 'm';
MESS '    Soit un ecart de : ' RES1 '%';
SAUTER 1 LIGNES ;

MESS 'acceleration theorique:' A_SOM_X 'm';
MESS 'acceleration calculee :' ACC 'm';
MESS '    Soit un ecart de : ' RES2 '%';
SAUTER 1 LIGNES ;

```

```

SI ( RES1 <EG 1. ) ;
ERRE 0 ;
SINON ;
ERRE 5 ;
FINSI ;
SI ( RES2 <EG 1. ) ;
ERRE 0 ;
SINON ;
ERRE 5 ;
FINSI ;
SI ( RES3 <EG 1. ) ;
ERRE 0 ;
SINON ;
ERRE 5 ;
FINSI ;

FIN ;

```

## 5.5.17 plexus1.dgibi

| <b>Nom du fichier</b>        | plexus1.dgibi   |  |                             |                         |
|------------------------------|---|--|-----------------------------|-------------------------|
| <b>Type de calcul</b>        | Mécanique<br>Dynamique<br>2D-axisymétrique  |  |                             |                         |
| <b>Type d'Éléments Finis</b> | COQ2  |  |                             |                         |
| <b>Référence</b>             | Pas de référence  |  |                             |                         |
| <b>Description</b>           | <p>FONCTIONNEMENT DE LA RESTITUTION DE LA BANDE SAUV DE PLEXUS</p> <p>Ce test permet de s'assurer du bon fonctionnement de la restitution de données exportées depuis PLEXUS dans Cast3M via la bande SAUV 'FORMAT' .</p> <p>Le fichier restitué se nomme <code>plexus1.couplage</code>. Il est rappelé à la suite du jeu de données.</p> |  |                             |                         |
| <b>Objectif</b>              | Déplacement radial $U_r$  | du nœud n°5 au pas n°2   | Vitesse verticale $V_z$     | du nœud n°11 au pas n°3 |
|                              | Contrainte $N_{22}$   | du 1 <sup>er</sup> sous paquet du 1 <sup>er</sup> élément pour le 1 <sup>er</sup> point de Gauss |                             |                         |
|                              | <b>Référence</b>  | <b>Cast3M 2016</b>   | <b>Ecart Relatif</b>        |                         |
|                              | $U_r$   | 1,5492.10 <sup>-5</sup> mm   | 1,5492.10 <sup>-5</sup> mm  | 1.10 <sup>-4</sup> %    |
|                              | $V_z$   | 335,39 mm.s <sup>-1</sup>  | 335,39 mm.s <sup>-1</sup>   | 1,2.10 <sup>-3</sup> %  |
|                              | $N_{22}$  | 2,2031.10 <sup>-4</sup> Mpa  | 2,2031.10 <sup>-4</sup> Mpa | 6,7.10 <sup>-4</sup> %  |
| <b>Version de Cast3M</b>     | Du jour   |  |                             |                         |
| <b>Plateformes testées</b>   | IBM AiX<br>Linux 32-bits<br>Linux 64-bits<br>Windows 32-bits<br>Windows 64-bits<br>MAC OSX 64-bits  |  |                             |                         |

Tableau 54 : Informations sur le cas test plexus1.dgibi

**Jeu de données :**

```

* fichier : plexus1.dgibi
*****
* Section : Langage Objets
* Section : Maillage Autres
* Section : Mecanique Elastique
*****
* CAS TEST DU 92/01/16 PROVENANCE : PLA2
*****
* Test plexus1.dgibi: jeux de données *
* -----
*****SI GRAPH = N PAS DE GRAPHIQUE AFFICHE
* SINON SI GRAPH DIFFERENT DE N TOUS
* LES GRAPHIQUES SONT AFFICHES

GRAPH = 'N' ;

SAUT PAGE;
SI (NEG GRAPH 'N') ;
    OPTI ECHO 1 ;
    OPTI TRAC X ;
SINO ;
    OPTI ECHO 0 ;
FINSI ;

SAUT PAGE;

*****
*          PLEXUS1
*          *
*          CAS TEST DE L INTERFACE
*          CASTEM 2000 - PLEXUS
*          *
* Cet exemple permet de tester la
* relecture de la bande CAST3M cree par
* PLEXUS
*****
OPTI REST FORMAT
'/u/castem/divers/plexus1.couplage' ;

TITRE 'TEST NTERFACE CAST3M - PLEXUS';

*-Restitution de la bande cree par PLEXUS
TEMPS ;
REST FORMAT ;

SI (NEG GRAPH 'N');
    TITR 'MAILLAGE TOUT DANS PLEXUS1.DGIBI';
    TRAC 'QUAL' TOUT ;
FINSI;

*      TESTS DES CHPO CREES PAR PLEXUS
*      =====
ND5 = NOEU 5 ;
ND11 = NOEU 11 ;
*
* creation d un chpo de deplacements et
* de vitesses ( 2 et 3eme sauvegarde)

DEPL12 = TABPLEX . 2 . DEPL ;
VITE3 = TABPLEX . 3 . VITE ;

SI (NEG GRAPH 'N');
    TITR 'CHAMP DE DEPLACEMENT au pas 2' ;
    TRAC DEPL12 TOUT ;
    TITR 'CHAMP DE VITESSE au pas 3' ;
    TRAC VITE3 TOUT ;
FINSI;

* extraction du deplacement suivant r pour
* le noeud no 5 et de la vitesse suivant z
* du noeud 11

FD5R = EXTR DEPL2 ND5 UR ;
FV11Z = EXTR VITE3 ND11 UZ ;

*      TESTS DES MCHAML CREES PAR PLEXUS
*      =====
CONT3 = TABPLEX . 3 . CONT ;
EPST2 = TABPLEX . 2 . EPTS ;

* on extrait du champ de contrainte et du
* champ des defo. totales la composante S_2
*(resp. D_1) pour laquelle on change le nom
* de la composante.

CHN22 = EXCO S_2 CONT3 N22 ;
CHD11 = EXCO D_1 EPST2 D11 ;

* on cree un objet de type MODE , un objet
* de type MATE associes a la 1 ere zone du
* maillage ZONE_1

MODL1=MODE ZONE_1 MECANIQUE ELASTIQUE COQ2;
CAR1 =MATE MODL1 'YOUN' 200.E3 'NU' 0.
    'EPAI' 2. 'RHO' 7.8E-9;

* on reduit le nouveau chamelem sur la
* premiere zone du maillage ZONE_1

CHN22R=REDU CHN22 ZONE_1;

* on extrait la composante N22 du 1er
* sous-paquet du 1er element pour le 1er
* point de gauss (dans notre cas le 1er
* noeud : mchaml au noeuds en sortie de
* PLEXUS)

N22_1 = EXTR CHN22R N22 1 1 1 ;
TEMPS ;
VAL1 = 1.5492E-5 ;
VAL2 = 335.39 ;
VAL3 = 2.2031 ;
RESI1 = 100*(ABS((FD5R - VAL1 )/ VAL1 ));
RESI2 = 100*(ABS((FV11Z - VAL2 )/ VAL2 ));
RESI3 = 100*(ABS((N22_1 - VAL3 )/ VAL3 ));

MESS 'deplacement theorique : ' VAL1 'mm';
MESS 'deplacement calculee : ' FD5R 'mm';
MESS ' Soit un ecart de : ' RESI1 '%';
SAUTER 1 LIGNES ;

MESS 'vitesse theorique:' VAL2 'mm/s';
MESS 'vitesse calculee : ' FV11Z 'm/s';
MESS ' Soit un ecart de : ' RESI2 '%';
SAUTER 1 LIGNES ;

MESS 'contrainte theorique:' VAL3 'MPa';
MESS 'contrainte calculee : ' N22_1 'MPa';
MESS ' Soit un ecart de : ' RESI3 '%';
SAUTER 1 LIGNES ;

*      CODE FONCTIONNEMENT
*      -----
SI((RESI1 <EG 1E-2) ET (RESI2 <EG 1E-2) ET
    (RESI3 <EG 1E-2));
    ERRE 0;
SINO;
    ERRE 5;
FINSI;
FIN;
```

## 5.6 MÉCANIQUE DE LA RUPTURE

### 5.6.1 rupt1.dgibi

|                              |  |
|------------------------------|--|
| <b>Nom du fichier</b>        | rupt1.dgibi  |
| <b>Type de calcul</b>        | Mécanique de la rupture<br>2D-axisymétrique  |
| <b>Type d'Eléments Finis</b> | QUA8   |
| <b>Référence</b>             | Test NAFEMS : Ductile Fracture Handbook, A. ZAHOOR, EPRI, 1990 :<br>rupt1<br>Modélisation des structures élastiques dans CASTEM 2000   |
| <b>Description</b>           | Validation du calcul de K (facteur d'intensité de contrainte) par la procédure G_THETA en élasticité linéaire sur un cylindre avec une fissure débouchante circonférentielle |
| <b>Objectif</b>              | Erreur relative < 1% sur K   |
| <b>Version de Cast3M</b>     | CAST3M 2016  |
| <b>Plateformes testées</b>   | IBM AiX<br>Linux 32-bits<br>Linux 64-bits<br>Windows 32-bits<br>Windows 64-bits<br>MAC OSX 64-bits   |

Tableau 55 : Informations sur le cas test rupt1.dgibi



Figure 106 : Maillage du cas-test rupt1.dgibi

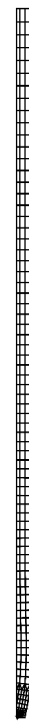


Figure 107 : Déformation du cylindre sous traction uniforme

## GUIDE DE VALIDATION

### Jeu de données :

```

* fichier : rupt1.dgibi
*****
* Section : Mecanique Endommagement
*****
* Test Rupt1.dgibi: Jeux de données
* -----
* *
* OPTION echo 1;
GRAPH = 'N';
SAUT PAGE;
*****
* QUALIFICATION DU CALCUL DE K EN
* ELASTICITE LINEAIRE SUR UN CYLINCRE AVEC
* UNE FISSURE DEBOUCHANTE CIRCONFERENTIELLE
*
* Le calcul est compare a celui obtenu par A ZAHOOR
*****
* R = rayon interne de la tuyauterie (M)
* B = épaisseur de la tuyauterie (M)
* L = longueur de la tuyauterie (M)
* A = longueur de la fissure (M)
* MYOU = module d'Young (Pa)
* TA = chargement appliqué (N)
*** TA = 1.E6;
R = 1.;
B = 0.1;
A = B / 2.;
L = R * 4.;
MYOU = 2.0E11;
*** Maillage
*** OPTION DIME 2 ELEM QUA8 MODE AXIS;
t = a / 100.; densite t ; pf = (a 0.);
c1 = (c (pf moin (t 0.)) pf ( pf plus (0. t)))
    c pf ( pf plus (t 0.));
sf = cout pf c1;
rl = t ; rrl = t;
repetier bhom0 7;
    ri = rl + ( 0.3 * rl );
    rri = rrl + ri; dens ri;
    ci = (c (pf moin (rri 0.)) pf ( pf plus (0. rri)))
        c pf ( pf plus (rri 0.));
    sf = sf et (cout c1 ci);
    c1 = ci ; rl = ri ; rrl = rri;
fin bhom0;
dens (a / 3.);
p0 = (0. 0.) ; p1 = (b 0.);
p2 = p0 plus (0. a) ; p3 = p1 plus (0. a);
pil1 = ci poin 1 ; l1 = pil d p0 ; n = (nbel l1) * -1;
pi2 = ci poin 4 ; l2 = pi2 d n p2;
pi3 = ci poin 10 ; l3 = pi3 d n p3;
pi4 = ci poin 13 ; l4 = pi4 d p1;
ci = inve ci ; ligh = p2 d p3;
sc1 = dall 11 (p0 d p2) (inve l2) (ci ELEM comp pi2 pil1);
sc2 = dall 12 ligh (inve l3) (ci ELEM comp pi3 pi2);
sc3 = dall 13 (p3 d p1) (inve l4) (ci ELEM comp pi4 pi3);
sc = sc1 et sc2 et sc3;
dens (a / 2.);
mrest1 = ligh tran (0. (2.*a)) dini (40*t) dfin (50*t);
l1 = mrest1 cote 3;
YY1 = coor 2 (point l1 init);
l2 = D 3 (B (YY1 + (0.7*a))) (0. (yy1 + (0.7*a)));
S1 = COUT l1 l2;
YY1 = COOR 2 (l2 point init);
mrest2 = l2 tran (0. (L - YY1)) dini (80*t)
        dfin (150*t);
sut = sf et sc et mrest1 et S1 et mrest2;
ELIM 1.E-8 SUT;
DEPL PLUS SUT (R 0.);
L1 = (CONT SUT) ELEM APPU (SUT PON
    DROI (R 0.) ((B + R) 0.) 1.E-8);
L2 = (CONT SUT) ELEM APPU (SUT PON
    DROI ((B + R) 0.) ((B + R) L) 1.E-8);
L3 = (CONT SUT) ELEM APPU (SUT PON
    DROI ((B + R) L) (R L) 1.E-8);
L4 = (CONT SUT) ELEM APPU (SUT PON
    DROI (R L) (R 0.) 1.E-8);
L5 = (CONT SUT) ELEM COMP P1 PF;
SI ( NEG GRAPH 'N' );
TITR 'MAILLAGE DU CYLINDRE';

```

```

TRAC sut;
FINSI;
*****
***** RESOLUTION EN ELASTICITE LINEAIRE
*****
M01 = MODELE SUT MECANIQUE ELASTIQUE
    PLASTIQUE ISOTROPE;
M1 = MATER M01 YOUNG MYOU NU 0.3 TRAC COUTRAC;
RI = (BLOQ UZ L5) ET (RIGI M1 M01);
AIR1 = PI*((R + B)**2.) - (R*R);
FOR1 = PRES 'MASS' M01 (0. - (TA/AIR1)) L3;
DEP1 = RESO FOR1 RI;
SIG1 = SIGMA M01 M1 DEP1;
SI ( NEG GRAPH 'N' );
TITR 'DEFORMATION DU CYLINDRE SOUS TRACTION UNIFORME';
TRAC (DEFO SUT DEP1);
FINSI;
***
*** Solution COD (MM) et K (MPA M^0.5) de castem
*** COD_CAL = (EXTR DEP1 'UZ' P1)*2000.;
SUPTAB = TABLE ;
SUPTAB.'OBJECTIF' = MOT 'J';
SUPTAB.'LEVRE_SUPERIEURE' = 11 diff 15;;
SUPTAB.'FRONT_FISSURE' = PF ;
SUPTAB.'MODELE' = M01;
SUPTAB.'CARACTERISTIQUES' = mal;
SUPTAB.'SOLUTION_RESO' = dep1;
SUPTAB.'CHARGEMENTS_MECHANIQUES' = for1;
SUPTAB.'COUCHE' = 5;
G_THETA SUPTAB;
K_CAL = (MYOU*(SUPTAB.'RESULTATS')/(1 - (0.3**2)))**0.5;
K_CAL = K_CAL*1.E-6;
*** Solution Analytique Zahoor
*** RAP1 = R / B;
SI (RAP1 < 10.); GRANDA = ((0.125*RAP1) - 0.25)**0.25;
FINSI;
SI (RAP1 >EG 10.); GRANDA = ((0.4*RAP1) - 3.00)**0.25;
FINSI;
F = (1.9480*((A/B)**1.5)) + (0.3342*((A/B)**4.2));
F = 1.1 + (GRANDA*F);
SIGT = TA / AIR1;
K_ZAH = SIGT*((PI*A)**0.5)*F;
K_ZAH = K_ZAH*1.E-6;
ERR1 = abs ((K_CAL - K_ZAH)/K_ZAH);
MESS ' Facteur K CASTEM =' K_CAL '(Mpa.M^0.5)';
MESS ' Facteur K ZAHOOR =' K_ZAH '(Mpa.M^0.5)';
MESS ' Erreur relative =' ERR1;
SI (ERR1 < 1.E-2);
    ERRE 0;
SINO;
    ERRE 5;
FINSI;
FIN;

```

### 5.6.2 rupt2.dgibi

|                              |  |
|------------------------------|--|
| <b>Nom du fichier</b>        | rupt2.dgibi  |
| <b>Type de calcul</b>        | Mécanique de la rupture<br>2D  |
| <b>Type d'Eléments Finis</b> | QUA8   |
| <b>Référence</b>             | WILSON et YU dans The use of J-Integral in thermal stress crack problems international Journal of Fracture (1979)  |
| <b>Description</b>           | Validation du calcul de G (taux de restitution d'énergie) par la procédure G_THETA en thermo-élasticité linéaire sur une plaque à fissure latérale, évaluation du facteur de forme |
| <b>Objectif</b>              | Erreur relative < 5% sur le facteur d'intensité des contraintes normalisé  |
| <b>Version de Cast3M</b>     | CAST3M 2016  |
| <b>Plateformes testées</b>   | IBM AiX<br>Linux 32-bits<br>Linux 64-bits<br>Windows 32-bits<br>Windows 64-bits<br>MAC OSX 64-bits   |

Tableau 56 : Informations sur le cas test rupt2.dgibi



Figure 108 : Maillage du cas-test rupt2.dgibi

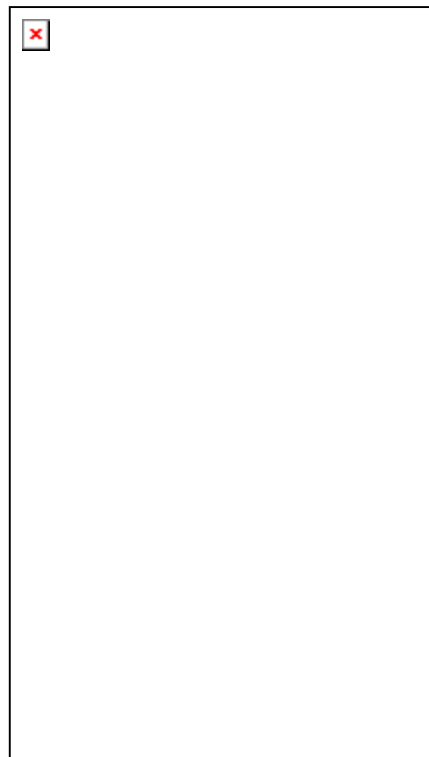


Figure 109 : Contraintes SMYY

**Jeu de données :**

```

* fichier : rupt2.dgibi
*****
* Section : Mecanique Endommagement
*****
* Test Rupt2.dgibi: Jeux de données *
* -----
* -----
* OPTION echo 1 ;
GRAPH = 'N';
SAUT PAGE ;
*
*****
* QUALIFICATION DU CALCUL DE G ;
* EN THERMO-ELASTICITE LINEAIRE ;
* SUR UNE PLAQUE A FISSURE LATERALE ;
* EVALUATION DU FACTEUR DE FORME ;
* ;
* ;
* le calcul est compare a celui obtenu par ;
* WILSON et YU ;
* dans The use of J-Integral in thermal stress crack ;
* problems international Journal of Fracture (1979) ;
* ;
*****
OPTION DIME 2 ELEM QUA8 MODE PLAN DEFO ;
*
*-----
DEFINITION DU MAILLAGE -----
*
a = 100. ; b = 200. ; h = 400. ;t = a / 100. ;
densite t ; pf = (a 0.) ;
cl = (c ( pf moin (t 0.)) pf ( pf plus (0. t))) ;
c pf ( pf plus (t 0.)) ;
sf = cout pf cl;
r1 = t ; rr1 = t ;
repeter bhomo 7;
ri = r1 + ( 0.3 * r1 ) ;
rri = rr1 + ri ;
dens ri ;
ci = ( c ( pf moin (rri 0.)) pf ( pf plus (0. rri))) ;
c pf ( pf plus (rri 0.)) ;
sf = sf et ( cout cl ci ) ;
cl = ci ; r1 = ri ; rr1 = rri ;
fin bhomo ;
dens (a / 3.) ;
p0 = (0. 0.) ; p1 = (b 0.) ;
p2 = p0 plus (0. a) ; p3 = p1 plus (0. a) ;
pil = ci poin 1 ; l1 = pil d p0 ;
n = (nbel l1) * -1 ;
pi2 = ci poin 4 ; l2 = pi2 d n p2 ;
pi3 = ci poin 10 ; l3 = pi3 d n p3 ;
pi4 = ci poin 13 ; l4 = pi4 d p1 ;
ci = inve ci ; ligh = p2 d p3 ;
scl = dall l1 (p0 d p2) (inve l2) (ci ELEM comp pi2 pil1) ;
sc2 = dall l2 ligh (inve l3) (ci ELEM comp pi3 pi2) ;
sc3 = dall l3 (p3 d p1) (inve l4) (ci ELEM comp pi4 pi3) ;
sc = scl et sc2 et sc3 ;
dens (a / 2.) ;
mrest = ligh tran (0. (h - a)) dini (a / 2.) ;
lihaut = mrest cote 3 ;
phd = lihaut poin init ;
ccp = sf et sc et mrest ;
elim ccp 0.001 ;
cccp = cont ccp ;
lifis = cccp ELEM comp pf p0 ;
libas = cccp ELEM comp pl pf ;
*
*-----
CREATION DU MODELE -----
*
objaf = MODE CCP mecanique elastique isotrope ;
*
*-----
DEFINITION DES CARACTERISTIQUES -----
*
*-----
MATERIELLES ET GEOMETRIQUES -----
*
mat = MATE objaf YOUN 2.e4 NU 0.3 ALPH 5.e-6 ;
*
*-----
CALCUL DES RIGIDITES ELEMENTAIRES -----
*
*-----
ET DEFINITION DES BLOCAGES -----
*
rig = rigi objaf mat ;
cdl1 = bloq Uy libas ;
cdl2 = bloq Uy lihaut ;
cdl3 = bloq Ux phd ;
*
*-----
DEFINITION DU CHAMP DE TEMPERATURES -----
*
* -----
* chx = coor 1 CCP ;
* cha = manu chpo CCP 1 scal a ;
* chx = nomc 'T' (chx - cha) ;
* cht = chx * (100. / a) ;
* ch0 = 0 * cht ;
* sigth = thet MAT objaf cht ;
*
* -----
RESOLUTION ET CALCUL DES CONTRAINTEES -----
*
U = reso (rig et cdl1 et cdl2 et cdl3) ;
(bsig objaf sigth) ;
SIG = sigm mat objaf U ;
SIG = SIG - sigth ;
sigy = exco SIG smy ;
SI ( NEG GRAPH 'N' ) ;
TRAC CCP ;
TRAC SIGY OBJAF CCP ;
FINSI ;
*
*-----
INITIALISATION DE LA TABLE EN ENTREE -----
*
DE LA PROCEDURE G_THETA -----
*
SUPTAB = TABLE ;
SUPTAB. 'OBJECTIF' = MOT 'J' ;
SUPTAB. 'LEVRE_SUPERIEURE' = lifis ;
SUPTAB. 'FRONT_FISSURE' = PF ;
SUPTAB. 'MODELE' = objaf ;
SUPTAB. 'CARACTERISTIQUES' = mat ;
SUPTAB. 'SOLUTION RESO' = u ;
SUPTAB. 'TEMPERATURES' = cht ;
SUPTAB. 'COUCHE' = 4 ;
*
*-----
APPEL A LA PROCEDURE G_THETA -----
*
SAUT PAGE ;
G_THETA suptab ;
*
*-----
RECUPERATION DU RESULTAT ET COMPARAISONS -----
*
G = suptab. 'RESULTATS' ;
K = (20000. * G / (1 - (0.3**2)))**0.5 ;
F = K * (1 - 0.3) /
( 20000 * 5.e-6 * 100 * ((100*pi)**0.5)) ;
mess 'taux de restitution energetique G :' G ;
mess 'coefficent d intensite de contrainte K :' K ;
mess 'facteur de forme calcule Fcal :' F ;
mess 'facteur de forme analytique Fthe : 0.514' ;
*
CODE FONCTIONNEMENT ;
RESI = abs (( F - 0.514 ) / 0.514 ) ;
SI (RESI < 5E-2)
ERRE 0 ;
SINO
ERRE 5 ;
FINSI ;
fin;

```

**5.6.3 rupt3.dgibi**

|                              |  |
|------------------------------|--|
| <b>Nom du fichier</b>        | rupt3.dgibi  |
| <b>Type de calcul</b>        | Mécanique de la rupture<br>2D  |
| <b>Type d'Eléments Finis</b> | QUA8   |
| <b>Référence</b>             | ROOKE et CARTWRIGHT dans Compendium of Stress Intensity Factors  |
| <b>Description</b>           | Validation du calcul de G (taux de restitution d'énergie) par la procédure G_THETA en élasticité linéaire sur une plaque à fissure interne |
| <b>Objectif</b>              | Erreur relative < 5% sur le facteur d'intensité des contraintes  |
| <b>Version de Cast3M</b>     | CAST3M 2016  |
| <b>Plateformes testées</b>   | IBM AIX<br>Linux 32-bits<br>Linux 64-bits<br>Windows 32-bits<br>Windows 64-bits<br>MAC OSX 64-bits   |

*Tableau 57 : Informations sur le cas test rupt3.dgibi*

*Figure 110 : Maillage du cas-test rupt3.dgibi*

## Jeu de données :

```

* fichier : rupt3.dgibi
***** Section : Mecanique Endommagement *****
* Test Rupt3.dgibi: Jeux de données *
*-----*
* OPTION echo 1 ;*
GRAPH = 'N' ;*
SAUT PAGE ;*
*-----*
*----- QUALIFICATION DU CALCUL DE G ;*
*----- EN ELASTICITE LINEAIRE SUR ;*
*----- UNE PLAQUE A FISSURE INTERNE ;*
*----- ;*
*----- ;*
* le calcul est compare a celui obtenu par ;*
* ROOKE et CARIWRIGHT ;*
* dans Compendium of Stress Intensity Factors ;*
*----- ;*
*----- ;*
*----- DEFINITION DU MAILLAGE -----;*
*----- ;*
OPTION DIME 2 ELEM QUA8 MODE PLAN DEFO ;*
*----- ;*
*----- ;*
a = 100. ; b = 200. ; h = 600. ;t = a / 100. ;*
densite t ; pf = (a 0.) ;*
c1 = (c ( pf moin (t 0.)) pf ( pf plus (0. t))) ;*
c pf ( pf plus (t 0.)) ;*
sf = cout pf c1; ;*
r1 = t ; rr1 = t ;*
repetier bhomo 7; ;*
    ri = r1 + (0.3 * r1) ;*
    rri = rr1 + ri ;*
    dens ri ;*
    ci = (c ( pf moin (rr1 0.)) pf ( pf plus (0. rr1))) ;*
        c pf ( pf plus (rr1 0.)) ;*
    sf = sf et (cout ci ci) ;*
    c1 = ci : rl = ri ; rr1 = rri ;*
fin bhomo ;*
dens (a / 3.) ;*
p0 = (0. 0.) ; pl = (b 0.) ;*
p2 = p0 plus (0. a) ; p3 = pl plus (0. a) ;*
pi1 = ci poin 1 ; l1 = pi1 d p0 ;*
n = (nbel l1) * -1 ;*
pi2 = ci poin 4 ; l2 = pi2 d n p2 ;*
pi3 = ci poin 10 ; l3 = pi3 d n p3 ;*
pi4 = ci poin 13 ; l4 = pi4 d pl ;*
ci = inve ci ; ligh = p2 d p3 ;*
sc1 = dall l1 (p0 d p2) (inve l2) (ci ELEM comp pi2 pil) ;*
sc2 = dall l2 ligh (inve l3) (ci ELEM comp pi3 pi2) ;*
sc3 = dall l3 (p3 d pl) (inve l4) (ci ELEM comp pi4 pi3) ;*
sc = scl et sc2 et sc3 ;*
dens (a / 2.) ;*
mrest = ligh tran (0. (h - a)) dini (a / 2.) ;*
libaut = mrest cote 3 ;*
phd = libaut poind init ;*
ccp = sf et sc et mrest ;*
elim ccp 0.001 ;*
cccp = cont ccp ;*
lifis = cccp ELEM comp pf p0 ;*
libas = cccp ELEM comp pl pf ;*
licot = ccp poind droit (0. 0.) (0. 100.) 0.001 ;*
licot = cccp elem appuy stric licot ;*
SI ( NEG GRAPH 'N' ) ;*
    TRAC CCP ;*
FINSI ;*
*----- CREATION DU MODELE -----;*
*----- ;*
objaf = MODE ccp mecanique elastique isotrope ;*
*----- ;*

```

```

----- DEFINITION DES CARACTERISTIQUES -----
----- MATERIELLES ET GEOMETRIQUES -----
*
mat = MATE objaf YOUN 2.e4 NU 0.3
*
----- CALCUL DES RIGIDITES ELEMENTAIRES -----
----- ET DEFINITION DES BLOCAGES -----
*
rig = rigi objaf mat
cdl1 = bloc Ux licot
cdl2 = bloc Uy libas
*
----- DEFINITION DU CHARGEMENT -----
*
F = pres mass objaf -1. lihaut
*
----- RESOLUTION ET CALCUL DES CONTRAINTES -----
*
U = reso (rig et cdl1 et cdl2 ) F
SIG = sigm mat objaf U
*
----- INITIALISATION DE LA TABLE EN ENTREE -----
----- DE LA PROCEDURE G_THETA -----
*
Suptab = TABLE ;
Suptab.'OBJECTIF' = MOT 'J';
Suptab.'LEVRE_SUPERIEURE' = lifis;
Suptab.'FRONT_FISSURE' = PF ;
Suptab.'MODELE' = objaf;
Suptab.'CARACTERISTIQUES' = mat;
Suptab.'SOLUTION_RESO' = u;
Suptab.'CHARGEMENTS_MECHANIQUES' = F;
Suptab.'COUCHE' = 4;
*
----- APPEL A LA PROCEDURE G_THETA -----
*
SAUT PAGE
G_THETA suptab
*
----- RECUPERATION DU RESULTAT ET COMPARAISONS -----
*
G = suptab.'RESULTATS'
Kth = 20.8426
K = (20000. * G / (1 - (0.3**2)))**0.5
mess '
mess '
mess 'taux de restitution energetique G :' G
mess 'solution calculee Kcal :' K
mess 'solution analytique Kthe :' Kth
*
         CODE FONCTIONNEMENT
RESI = abs (( k - Kth ) / Kth )
SI (RESI < 5E-2)
    ERRE 0
SINO
    ERRE 5
FINSI
fin;

```

### 5.6.4 rupt4.dgibi

|                              |   |
|------------------------------|---|
| <b>Nom du fichier</b>        | rupt4.dgibi   |
| <b>Type de calcul</b>        | Mécanique de la rupture<br>2D   |
| <b>Type d'Eléments Finis</b> | QUA8  |
| <b>Référence</b>             | ROOKE et CARTWRIGHT dans Compendium of Stress Intensity Factors   |
| <b>Description</b>           | Validation du calcul de G (taux de restitution d'énergie) par la procédure G_THETA en élasticité linéaire sur une plaque à fissure interne soumise à une pression constante |
| <b>Objectif</b>              | Erreur relative < 5% sur le facteur d'intensité des contraintes   |
| <b>Version de Cast3M</b>     | CAST3M 2016   |
| <b>Plateformes testées</b>   | IBM AiX<br>Linux 32-bits<br>Linux 64-bits<br>Windows 32-bits<br>Windows 64-bits<br>MAC OSX 64-bits  |

Tableau 58 : Informations sur le cas test rupt4.dgibi

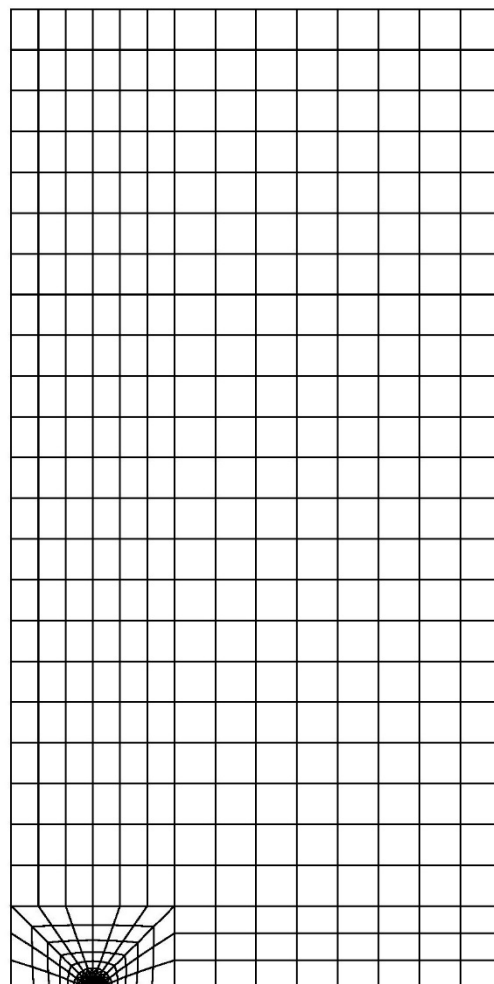


Figure 111 : Maillage du cas-test rupt4.dgibi

**Jeu de données :**

```

* fichier : rupt4.dgibi
*****
* Section : Mecanique Endommagement
*****
*      Test Rupt4.dgibi: Jeux de données
*      -----
*      *
OPTION echo 1
GRAPH = 'N'
SAUT PAGE
*
*****
*      QUALIFICATION DU CALCUL DE G
*      EN ELASTICITE LINEAIRE SUR
*      UNE PLAQUE A FISSURE INTERNE
*      SOUMISE A UNE PRESSION CONSTANTE
*      *
*      *
* le calcul est compare a celui obtenu par
* ROOKE et CANTWRIGHT
* dans Compendium of Stress Intensity Factors
*      *
*****
OPTION DIME 2 ELEM QUA8 MODE PLAN DEFO
*
*----- DEFINITION DU MAILLAGE -----
*
a = 100. ; b = 200. ; h = 1200.
m = 600 ; t = a / 100
densite t ; pf = (a 0.)
cl = (c ( pf moin (t 0.)) pf ( pf plus (0. t)))
    c pf ( pf plus (t 0.))
sf = cout pf cl;
r1 = t ; rr1 = t
repeter bhomo 7;
    ri = r1 + ( 0.3 * r1 )
    rri = rr1 + ri
    dens ri
    ci = ( c ( pf moin (rri 0.)) pf ( pf plus (0. rri)))
        c pf ( pf plus (rri 0.))
    sf = sf et ( cout cl ci )
    cl = ci ; r1 = ri ; rr1 = rri
fin bhomo
dens (a / 3.)
p0 = (0. 0.) ; p1 = (b 0.)
p2 = p0 plus (0. a) ; p3 = p1 plus (0. a)
pil = ci poin 1 ; l1 = pil d p0
n = (nbel l1) * -1
pi2 = ci poin 4 ; l2 = pi2 d n p2
pi3 = ci poin 10 ; l3 = pi3 d n p3
pi4 = ci poin 13 ; l4 = pi4 d p1
ci = inve ci ; ligh = p2 d p3
scl = dall l1 (p0 d p2) (inve l2) (ci ELEM comp pi2 pil1)
sc2 = dall l2 ligh (inve l3) (ci ELEM comp pi3 pi2)
sc3 = dall l3 (p3 d p1) (inve l4) (ci ELEM comp pi4 pi3)
sc = scl et sc2 et sc3
dens (a / 2.)
ligh1 = p1 d p3
mrest1 = ligh1 tran ((m-b) 0.) dini (a/2.)
ala = mrest1 cote 3
al = mrest1 cote 2
mrest = ligh tran (0. (h - a)) dini (a / 2.)
mrest2 = al tran (0. (h - a)) dini (a / 2.)
lihaut1= mrest cote 3
lihaut = mrest cote 3
lihaut2= mrest2 cote 3
lihaut = lihaut1 et lihaut2
ccp = sf et sc et mrest et mrest1 et mrest2
elim ccp 0.001
cccp = cont ccp
pj = ala poin fina
lifis = cccp ELEM comp pf p0
libas = cccp ELEM comp pj pf
licot = ccp poin droi (0. 0.) (0. 100.) 0.001
licot = ccp elem appuy stric licot
SI ( NEG GRAPH 'N' )
    TRAC CCP
FINSI
*

```

```

*----- CREATION DU MODELE -----
objaf = MODE CCP mecanique elastique isotrope
*
*----- DEFINITION DES CARACTERISTIQUES -----
*----- MATERIELLES ET GEOMETRIQUES -----
mat = MATE objaf YOUN 2.e4 NU 0.3
*
*----- CALCUL DES RIGIDITES ELEMENTAIRES -----
*----- ET DEFINITION DES BLOCAGES -----
rigi = rigi objaf mat
cdll1 = bloc Uy libas
cdl2 = bloc Ux licot
*
*----- DEFINITION DU CHARGEMENT -----
Fp = pres mass objaf 1. lifis
*
*----- RESOLUTION ET CALCUL DES CONTRAINTEES -----
U = reso (rigi et cdll1 et cdl2 ) Fp
SIG = sigm mat objaf U
*
*----- INITIALISATION DE LA TABLE EN ENTREE -----
*----- DE LA PROCEDURE G_THETA -----
Suptab = TABLE ;
Suptab. 'OBJECTIF' = MOT 'J';
Suptab. 'LEVRE_SUPERIEURE' = lifis;
Suptab. 'FRONT_FISSURE' = PF ;
Suptab. 'MODELE' = objaf;
Suptab. 'CARACTERISTIQUES' = mat;
Suptab. 'SOLUTION_RESO' = ui;
Suptab. 'CHARGEMENTS_MECHANIQUES' = Fp;
Suptab. 'COUCHE' = 4;
*
*----- APPEL A LA PROCEDURE G_THETA -----
SAUT PAGE
G_THETA suptab
*
*----- RECUPERATION DU RESULTAT ET COMPARAISONS -----
*
G = suptab. 'RESULTATS'
Kth = 17.7245
K = (20000. * G / (1 - (0.3**2)))**0.5
mess ' '
mess ' '
mess 'taux de restitution energetique G :' G
mess 'solution calculee Kcal :' K
mess 'solution analytique Kthe :' Kth
*
CODE FONCTIONNEMENT
RESI = abs (( k - Kth ) / Kth )
SI (RESI < 5E-2)
    ERRE 0
SINO
    ERRE 5
FINSI
fin;

```

### 5.6.5 rupt5.dgibi

|                              |   |
|------------------------------|---|
| <b>Nom du fichier</b>        | rupt5.dgibi   |
| <b>Type de calcul</b>        | Mécanique de la rupture<br>2D-axisymétrique   |
| <b>Type d'Eléments Finis</b> | QUA8  |
| <b>Référence</b>             | ROOKE et CARTWRIGHT dans Compendium of Stress Intensity Factors   |
| <b>Description</b>           | Validation du calcul de G (taux de restitution d'énergie) par la procédure G_THETA en élasticité linéaire sur un tube à fissure interne soumise à une pression linéaire |
| <b>Objectif</b>              | Erreur relative < 5% sur le facteur d'intensité des contraintes   |
| <b>Version de Cast3M</b>     | CAST3M 2016   |
| <b>Plateformes testées</b>   | IBM AIX<br>Linux 32-bits<br>Linux 64-bits<br>Windows 32-bits<br>Windows 64-bits<br>MAC OSX 64-bits  |

Tableau 59 : Informations sur le cas test rupt5.dgibi



*Figure 112 : Maillage du cas-test rupt5.dgibi*



## Jeu de données :

```

*----- DEFINITION DES CARACTERISTIQUES -----
*----- MATERIELLES ET GEOMETRIQUES -----
*
mat = MATE objaf YOUN 2.e4 NU 0.3
*
*----- CALCUL DES RIGIDITES ELEMENTAIRES -----
*----- - ET DEFINITION DES BLOCAGES -----
*
rig = rigi objaf mat
cdl1 = bloc Uz libas
cdl2 = bloc Uz lihaut
*
*----- DEFINITION DU CHARGEMENT -----
*
pchx = coor 1 lifis
pcha = manu chpo lifis 1 scal a
pchx = nomc 'P' (pcha - pchx)
pcht = pchx * (1/a)
pch0 = pcht *0.
Fp = pres mass objaf pcht
*
*----- RESOLUTION ET CALCUL DES CONTRAINTES -----
*
U = reso (rig et cdl1 et cdl2 ) Fp
SIG = sigm mat objaf U
*
*----- INITIALISATION DE LA TABLE EN ENTREE -----
*----- DE LA PROCEDURE G_THETA -----
*
Suptab = TABLE ;
Suptab.'OBJECTIF' = MOT 'J';
Suptab.'LEVRE_SUPERIEURE' = lifis;
Suptab.'FRONT_FISSURE' = PF ;
Suptab.'MODELE' = objaf;
Suptab.'CARACTERISTIQUES' = mat;
Suptab.'SOLUTION_RESO' = u;
Suptab.'CHARGEMENTS_MECHANIQUES' = Fp;
Suptab.'COUCHE' = 4;
*
*----- APPEL A LA PROCEDURE G_THETA -----
*
SAUT PAGE
G_THETA suptab
*
*----- RECUPERATION DU RESULTAT ET COMPARAISONS -----
*
G = suptab.'RESULTATS'
Kth = 2.4215
K = (20000. * G / (1 - (0.3**2)))**0.5
mess '
mess '
mess 'taux de restitution energetique G :: G
mess 'solution calculee Kcal :: K
mess 'solution analytique Kthe :: Kth
*
        CODE FONCTIONNEMENT
RESI = abs (( k - Kth ) / Kth )
SI (RESI < 5E-2)
    ERRE 0
SINO
    ERRE 5
FINSI
fin:

```

### 5.6.6 rupt6.dgibi

|                              |   |
|------------------------------|---|
| <b>Nom du fichier</b>        | rupt6.dgibi   |
| <b>Type de calcul</b>        | Mécanique de la rupture<br>3D   |
| <b>Type d'Eléments Finis</b> | CU20  |
| <b>Référence</b>             | Solution analytique   |
| <b>Description</b>           | Calcul de K (facteur d'intensité de contraintes) par la méthode des déplacements (procédure SIF) et par la méthode de l'intégrale J (procédure G_THETA) pour une fissure circulaire plane dans un milieu infini chargé en traction uniforme.<br><br>Hauteur du cylindre : 200 mm<br>Rayon : 100 mm<br>Rayon de fissure : 8 mm<br>Contrainte uniforme : 200 daN / mm <sup>2</sup><br>Modélisation : tranche de 15° de la ½ hauteur du cylindre                         |
| <b>Objectif</b>              | Pour la procédure SIF :<br><ul style="list-style-type: none"> <li>- erreur relative sur K &lt; 5,5% pour le nœud 1 du front de fissure</li> <li>- erreur relative sur K &lt; 11% pour le nœud 2 du front de fissure</li> </ul><br>Pour la procédure G_THETA :<br><ul style="list-style-type: none"> <li>- erreur relative sur K &lt; 0,9% pour le nœud 1 du front de fissure</li> <li>- erreur relative sur K &lt; 0,8% pour le nœud 2 du front de fissure</li> </ul> |
| <b>Version de Cast3M</b>     | CAST3M 2016   |
| <b>Plateformes testées</b>   | IBM AiX<br>Linux 32-bits<br>Linux 64-bits<br>Windows 32-bits<br>Windows 64-bits<br>MAC OSX 64-bits  |

Tableau 60 : Informations sur le cas test rupt6.dgibi

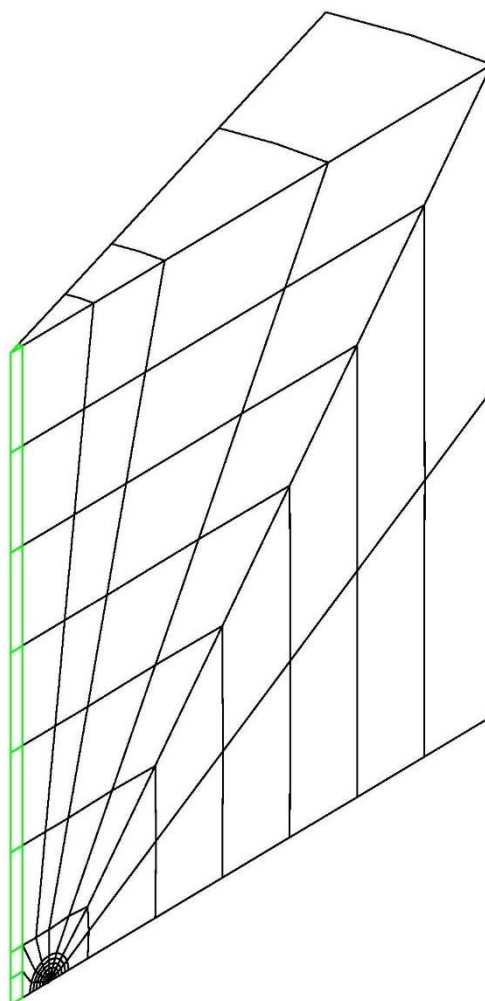


Figure 113 : Maillage du cas-test rupt6.dgibi

**Jeu de données :**

```

*fichier : rupt6.dgibi
*****
* Section : Mecanique Endommagement
*****
* Test Rupt6.dgibi: Jeux de données
* -----
* -----
*****CALCUL DU FACTEUR D'INTENSITE DE CONTRAINTE *****
*** PAR LA METHODE DES DEPLACEMENTS ET PAR LA *****
*** METHODE G_THETA POUR UNE FISSURE CIRCULAIRE *****
*** PLANE DANS UN MILIEU INFINI CHARGE EN *****
*** TRACTION UNIFORME *****
*** HAUTEUR DU CYLINDRE : 200 mm ; *****
*** RAYON : 100 mm *****
*** RAYON DE FISSURE : 8 mm ; *****
*** CONTRAINTE UNIFORME : 200 daN / mm2 *****
*** MODELISATION : TRANCHE DE 15° DE LA 1/2 *****
*** HAUTEUR DU CYLINDRE *****
*****option echo 1 dime 3 elem cu20 mode trid ; *****

*****MAILLAGE *****
dens 0.5 ; 
oeilz = -500 500 -500 ; 
oeilx = -500 00 00 ; 
a0 = 8 ; 
c0 = 16. ; 
b0 = 100. ; 
p0 = 0 0 0 ; 
pa = a0 0 0 ; 
pb = 0 a0 0 ; 
pa1 =(1.5*a0) 0 0 ; 
pa0 =(0.5*a0) 0 0 ; 
pb0 = 0 (0.5*a0) 0 ; 
pb1 = 0 (1.5*a0) 0 ; 

*nbrz nombre d'element autour du front de fissure;
nbrz = 6 ; 

*MAILLAGE DU FRONT DE FISURE ; 

pbz= (0. a0 (0.5*a0)) ; 
pbz1=(0. (a0 *(1.- (0.5 / nbrz))) 0.) ; 
pbz2=(0. a0 (0.5*a0/ nbrz)) ; 
pbz3=(0. (a0 *(1.+ (0.5 / nbrz))) 0.) ; 
aa = a0*0.5 * (2**-0.5) ; 
pmil= 0. (a0 + aa) aa ; 
pmi2= 0. (a0 - aa) aa ; 

cc11a = c (2) pbl pb pmil ; 
cc11b = c (2) pmil pb pbz ; 
cc11 = cc11a et cc11b ; 

cc12a = c (2) pbz pb pmil2 ; 
cc12b = c (2) pmil2 pb pb0 ; 
cc12 = cc12a et cc12b ; 

cc1 = cc11 et cc12 ; 

cc21 = c (4) pbz1 pb pbz2 ; 
cc22 = c (4) pbz2 pb pbz3 ; 
cc2 = cc21 et cc22 ; 

ligz = d (nbrz - 1) pb0 pbz1 ; 
ligz1= d (nbrz - 1) pbz3 pb1 ; 
ligz2= d (nbrz - 1) pbz pbz2 ; 
scz1 = dall cc11 ligz2 cc22 ligz1 ; 
scz2 = dall cc12 ligz cc21 (inve ligz2) ; 

scz1=scz1 et (cout cc22 pb) ; 
scz2=scz2 et (cout cc21 pb) ; 
scz = scz1 et scz2 ; 
elim (scz1 et scz2) 0.001 ; 

* SURFACE YZ ; 
pfinay = 0. b0 0. ; 
pfinaz = 0. 2.5 b0 ; 
pfinayz= 0. b0 b0 ; 
pinter = 0. (2*c0) b0 ; 
pp = 0. a0 a0 ; 
pz = 0. 2.5 a0 ; 
p00= 0. 2.5 0. ; 
ppp= 0. (2*a0) 0. ; 
ppyz= 0. (2*a0) a0 ; 

10a= d (1) pbl ppp ; 
10b= d (6) ppp pfinay ; 
10 = 10a et 10b ; 
11 = d (2) pfinay pfinayz ; 
11bisa = d (6) pfinayz ppz ; 
11bisb = d (1) ppz pmil ; 
11bis = 11bisa et 11bisb ; 
12 = d (2) pfinayz pinter ; 

13a = d (6) pinter pp ; 
13b = d (1) pp pbz ; 
13 = 13a et 13b ; 
zaa = dall (inve cc11a) 10 11 11bis ; 
zab = dall 11bis cc11b (inve 13) (inve 12) ; 
za = zaa et zab ; 

g2= d (1) pb0 p00 ; 
g3= d (2) p00 pz ; 
g4= d (2) pz pp ; 
zb = dall (g4 et g3) g2 cc12 13b ; 

h1 = d (2) pinter pfina ; 
h2 = d (6) pfina pz ; 
zc = dall h2 g4 13a h1 ; 

scr1 = h2 et (inve g3) ; 

*CREATION DU VOLUME ; 
scr1 = scr1 rota 1 (15) (0. 0 -500) (0 0 500.) coul roug ; 

geol = za volu 1 'ROTA' (15) (0. 0. -500) (0. 0. 500.) ; 
geo2 = (zb et zc) volu 1 'ROTA' (15) (0. 0. -500) (0. 0. 500.) ; 
geo3 = scz1 volu 1 'ROTA' (15) (0. 0. -500) (0. 0. 500.) ; 
geo4 = scz2 volu 1 'ROTA' (15) (0. 0. -500) (0. 0. 500.) ; 
i = face 3 geo3 ; 
i = i et (face 3 geo4) ; 

ppp = i poin cylin (0 0 -100) (0 0 100) pb ; 
aa0= elem i appu larg pppp ; 
aa1= poin aa0 plan p0 (0. 100 0.) (100 0 0) ; 
cfis = elem aa0 appu stric aa1 ; 
a1 = enve geo3 ; 
a2 = enve geo4 ; 
aa1= poin a1 plan p0 (0. 100 0.) (100 0 0) ; 
aa2= poin a2 plan p0 (0. 100 0.) (100 0 0) ; 
aa11 = elem a1 appu stric a11 ; 
aa21 = elem a2 appu stric a22 ; 
aa12 = cont a11 ; 
aa22 = cont a21 ; 
elim (aa12 et aa22) 0.001 ; 
cfissure = elem aa12 appu stric aa22 ; 

geo = geol et geo2 et geo3 et geo4 ; 
elim (geo et scr1 et cfissure et cfis) 0.001 ; 

*FINITION DU MAILLAGE ; 
*pres de l axe z ; 
c1 = cote (2) scr1 ; 
pfi = c1 poin final ; 
c1x = droi (1) pfi p0 ; 
b1 = droi (1) p00 p0 ; 

su0 = surf ( c1x et c1 et b1) plane ; 
sul = su0 volu (2) tran (0. 0. a0) ; 
ss = su0 plus (0. 0. b0) ; 
su2= ss volu (6) tran (0. 0. (a0 - b0)) ; 
su = sul et su2 coul vert ; 

*le cylindre en entier ; 
cub = geo et su ; 
elim cub 0.001 ; 
cub = rege cub ; 
tot = enve cub ; 

*surface yz ; 
poyz = poin tot plan p0 (0. 100 100) (0. 0. 100) ; 
suryz = elem tot appu stric poyz ; 

*surface z=100 ; 
poz100= poin tot plan (0. 0. 100) (100 0. 100) (0. 100 100) ; 
surzz = elem tot appu stric poz100 ; 

*surfacy xy ; 
poxy = poin tot plan p0 (0. 100 0.) (100 0 0) ; 
surxy= elem tot appu stric poxy ; 
az = geo2 et geo4 et su ; 
az = enve az ; 
aze= az poin plan p0 (0. 100 0.) (100 0 0) ; 
aze=elem az appu stric aze ; 
co = cont aze ; 
aze = surxy incl aze ; 
facxy = surxy diff aze ; 

-----CONDITION DE SYMETRIE----- ; 
p = ((-1 * b0 * (sin 15)) (b0 * (cos 15)) 0.); 

```

## GUIDE DE VALIDATION

```

cond1 =synt depl p0 (0. 0. b0) p cub 0.01;
cond2 =synt depl p0 pfinay pfinayz          suryz;
cond3 =synt depl p0 (b0 b0 0.) (b0 0. 0.) facxy;
condit = cond1 et cond2 et cond3           ;
*----- CREATION DU MODELE -----;

affe1 = MODE geo1 mecanique elastique isotrope;
affe2 = MODE geo2 mecanique elastique isotrope;
affe3 = MODE geo3 mecanique elastique isotrope;
affe4 = MODE geo4 mecanique elastique isotrope;
affe5 = MODE su  mecanique elastique isotrope;

affetot = affe1 et affe2 et
          affe3 et affe4 et affe5           ;
*-----DEFINITION DU MATERIAU -----;

mate1 = MATE affe1
        young 20000.
        nu     0.3           ;
mate2 = MATE affe2
        young 20000.
        nu     0.3           ;
mate3 = MATE affe3
        young 20000.
        nu     0.3           ;
mate4 = MATE affe4
        young 20000.
        nu     0.3           ;
mate5 = MATE affe5
        young 20000.
        nu     0.3           ;
matot = mate1 et mate2 et
        mate3 et mate4 et mate5           ;
*-----RIGIDITE-----;

rig1 = (rigidite matot affetot) et condit   ;
rig2 = bloque uz surzz                      ;
fol  = depi rig2 1.                          ;
*-----RESOLUTION ET CONTRAINTES-----;
dep = resou (rig1 et rig2) fol           ;
sig = sigma matot affetot dep           ;
*----CALCUL DU FACTEUR D'INTENSITE DE CONTRAINTES---*
*---initialisations des paramètres de procedure---*
SUPTAB = TABLE;
SUPTAB.'MAILLAGE' = cub;
SUPTAB.'PSFL1' = P0;
SUPTAB.'FRIFISS' = elem aa12 appu stri aa22;

*----APPEL DE LA PROCEDURE SIF -----*
SIF SUPTAB MATOT dep;

*----APPEL DE LA PROCEDURE G_THETA -----*
TABG1 = TABLE;
TABG1.'OBJECTIF' = MOT 'J';
TABG1.'COUCHE' = 3;
TABG1.'FRONT_FISSURE' = cfissure;
TABG1.'LEVRE_SUPERIEURE' = aa21 ;
TABG1.'MODELE' = affetot;
TABG1.'SOLUTION_RESO' = dep;
TABG1.'CHARGEMENTS_MECANIQUES' = fol;
TABG1.'CARACTERISTIQUES' = matot;
G_THETA TABG1;
SAUT 1 LIGNE;

```

```

***** DEPOUILLEMENT PROCEDURE SIF *****
T = INDEX (SUPTAB.K1);
MESS 'K1 NOEUD 1 DU FRONT DE FISSURE (NOEUD SOMMET) : '
      SUPTAB.K1.(T.1);
MESS 'K1 NOEUD 2 DU FRONT DE FISSURE (NOEUD MILIEU) : '
      SUPTAB.K1.(T.2);
*-----TEST D'ERREUR-----*
EC1 = ((SUPTAB.K1.(T.1)) - 638.47) /
      (SUPTAB.K1.(T.1)) * 100;
EC2 = ((SUPTAB.K1.(T.2)) - 638.47) /
      (SUPTAB.K1.(T.2)) * 100;

SI ((EC1 < 5.5) ET (EC2 < 11)) ;
  MESS 'PROCEDURE <SIF> ERR 0';
  ERRE 0;
SINON;
  MESS 'PROCEDURE <SIF> ERR 5';
  ERRE 5;
FINSI;
***** DEPOUILLEMENT PROCEDURE G_THETA *****
TBG = TABG1.'RESULTATS';
IND1 = INDE TBG;
GSOM = TBG.(IND1.1);
GMIL = TBG.(IND1.2);
EPRI = 20000. / 0.91;
KSOM = (GSOM * EPRI) ** 0.5;
KMIL = (GMIL * EPRI) ** 0.5;
SAUT 1 LIGNE;
MESS 'K1 NOEUD 1 DU FRONT DE FISSURE (NOEUD SOMMET) : '
      KSOM;
MESS 'K1 NOEUD 2 DU FRONT DE FISSURE (NOEUD MILIEU) : '
      KMIL;
*-----TEST D'ERREUR-----*
EC1 = ABS (((KSOM - 638.47) / KSOM) * 100);
EC2 = ABS (((KMIL - 638.47) / KMIL) * 100);

SI ((EC1 < 0.9) ET (EC2 < 0.8)) ;
  MESS 'PROCEDURE <G_THETA> ERR 0';
  ERRE 0;
SINON;
  MESS 'PROCEDURE <G_THETA> ERR 5';
  ERRE 5;
FINSI;
FIN;

```

### 5.6.7 rupt7.dgibi

|                              |   |
|------------------------------|---|
| <b>Nom du fichier</b>        | rupt7.dgibi   |
| <b>Type de calcul</b>        | Mécanique de la rupture<br>2D   |
| <b>Type d'Eléments Finis</b> | QUA8  |
| <b>Référence</b>             | Solution de référence donnée par : tada, stress analysis handbook, 1973 + isida,ijf(7),301-316,1971 facteur de forme  |
| <b>Description</b>           | Calcul de K1 et K2 (facteurs d'intensité de contraintes) par la méthode des déplacements (procédure SIF) et par la méthode de l'intégrale J (procédure G_THETA) pour une plaque avec fissure rectiligne inclinée chargée en traction uniforme.<br><br>Demi-largeur de la plaque : b=125 mm<br>Longueur : 2*h=250 mm<br>Longueur de fissure : 50 mm<br>Angle / ox : 45°<br>Contrainte uniforme : 10 N/m <sup>2</sup><br><br>Pour la procédure SIF :<br>- erreur relative sur K1 < 3%<br>- erreur relative sur K2 < 9%<br><br>Pour la procédure G_THETA :<br>- erreur relative sur K1 < 1%<br>- erreur relative sur K2 < 6% |
| <b>Version de Cast3M</b>     | CAST3M 2016   |
| <b>Plateformes testées</b>   | IBM AiX<br>Linux 32-bits<br>Linux 64-bits<br>Windows 32-bits<br>Windows 64-bits<br>MAC OSX 64-bits  |

Tableau 61 : Informations sur le cas test rupt7.dgibi

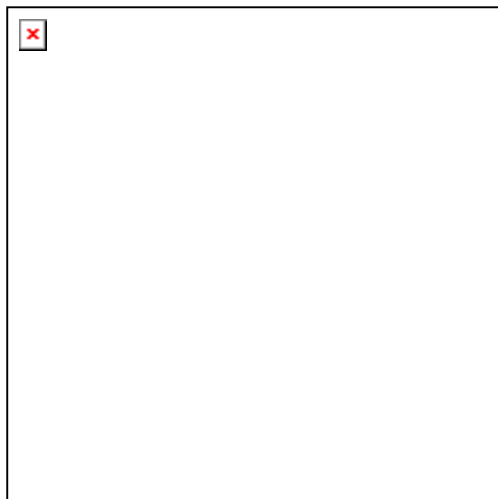


Figure 114 : Maillage du cas-test rupt7.dgibi

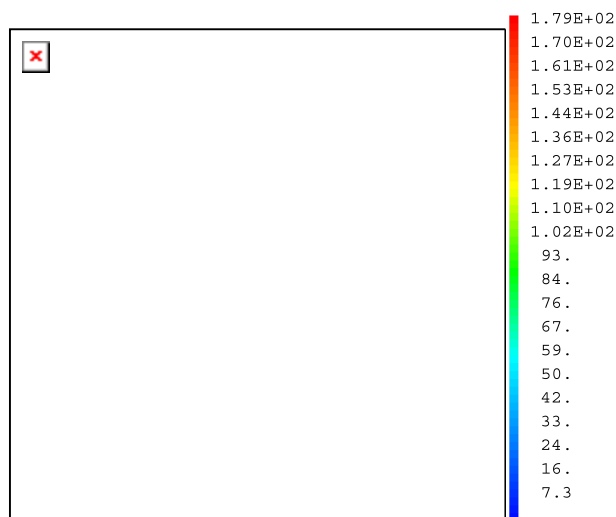


Figure 115 : Contraintes de Von Mises

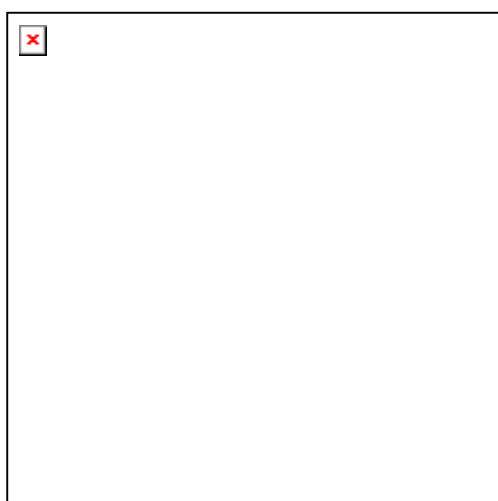


Figure 116 : Déformée (amplitude: 20)

**Jeu de données :**

```

*fichier : rupt7.dgibi
*****
* Section : Mecanique Endommagement
*****
*opti echo 0;
*****
*      Test Rupt7.dgibi: Jeux de données
*-----
*      ****
***** CALCUL DU FACTEUR D'INTENSITE DE
***** CONTRAINTE D'UNE PLAQUE AVEC FISSURE
***** RECTILIGNE INCLINEE
***** CHARGE EN TRACTION UNIFORME
***** PAR SIF (interpolation des deplacements)
***** ET PAR G_THETA (methode integrale)
*****
***** SOLUTION DE REFERENCE DONNE PAR :
***** [TADA, STRESS ANALYSIS HANDBOOK,1973]
***** +[ISIDA,LTF(7),301-316,1971] facteur de forme **
*****
***** demi-LARGEUR DE LA PLAQUE : b=125 mm ;
***** LONGUEUR : 2*h=250 mm
***** LONGUEUR DE FISSURE : 50 mm ;
***** ANGLE / OX : 45°
***** CONTRAINTE UNIFORME : 10 N/m2
*****
***** -----
*opti dime 2 elem qua8 mode plan defo echo 1;
*graph=faux;
graph=vrai;
opti trac psc eptr 5;
*-----DEFINITION DU MAILLAGE-----;
*
*geometrie
b = 0.125;
h = 0.125;
alphal = 45.;
*alphal = 30.;
*alphal = 20.;
a = 0.050;
ax = 0.050 * (sin alphal);
ay = 0.050 * (cos alphal);
*points
p0=0. 0.;
p1=h 0.;
p2=p1 plus (0. 0.);
p3=0. b;
pf=p1 plus (ax ay);
p4=(p1 plus (ax 0.)) plus (0. b);p5=(2.*h) b;
*zone pointe de fissure
i=0;
pd = (prog 1. 2.5 5. 9. 13. 19. 25.) *1.E-3 ;
cim1=pf;cim2=pf;cim3=pf;cim41=pf;cim42=pf;
plfim1=pf;plfim2=pf;pim2=pf;
repetir bbbb 7;
    i= i + 1;
    v=extr pd i;
    pil=pf moin (v 0.);pi2=pf plus (0. v);
    pi3=pf plus (v 0.);pi4=pf moin (0. v);
*    ci4=cerc 2 pi4 pf pil;
*    plfil =pf moin ((v * (sin alphal)) (v * (cos alphal)));
    plfil2=plfil plus (0. 0.);
    n=2;si ((i ega 6 ) ou (i ega 7));n=4;finsi;
    si(alphal < 40.); m = n ;
    sinon;           m = n / 2;
    fins;
    cil=cerc n pil pf pi2;
    ci2=cerc n pi2 pf pi3;
    ci3=cerc n pi3 pf pi4;
    ci41=cerc m pi4 pf plfil;
    ci42=cerc m plfil2 pf pil;
    sui1=cout cim1 cil;
    sui2=cout cim2 ci2;
    sui3=cout cim3 ci3;
    sui41=cout cim41 ci41;
    sui42=cout cim42 ci42;
    elim 1.E-6 (sui42 et sui1);
    elim 1.E-6 (sui1 et sui2 et sui3 et sui41);
    lfil=(cont sui41) ELEM comp plfim1 plfil;
    lfil2=(cont sui42) ELEM comp plfim2 plfil2;
    lhi=pim2 d 1 pi2;
    cim1=cil;cim2=ci2;cim3=ci3;cim41=ci41;cim42=ci42;
    plfim1=plfil;plfim2=plfil2;pim2=pi2;
    sut1=sui42 et sui1;
    sut2=sui2 et sui3 et sui41;
    si (i ega 1);
        sut1=sut1;sut2=sut2;lf1=lf1;lf2=lf2;lhi=lhi;
    sinon;
        sut1=sut1 et sut1;
        sut2=sut2 et sut2;
    finsi;
    lfil1=lf1 et lfil1;lf2=lf2 et lfil2;lhi=lhi et lhi;
    finsi;
*   trac (sutt1 et (coul sutt2 vert));
fin bbbb;
*zone exterieure gauche
lg=p0 d 5 p3;
lhc=p4 d 3 pi2;
lig1=lg et (p3 d 8 p4) et lhc;
lig1=lig1 et (inve cil) et ci42;
lig1=lig1 et (plfil2 d 2 pi2);
nbh = 6;
lig1=lig1 et (pi2 d nbh p0);
sul=surf lig1 plan;
obj1=sul et sutt1;
elim 1.E-6 obj1;
*zone exterieure droite
ld=p2 d 5 p5;
lig2=ld et (p5 d 8 p4) et lhc;
lig2=lig2 et ci2 et ci3 et ci41;
lig2=lig2 et (plfil1 d 2 pi1);
lig2=lig2 et (p11 d nbh p2);
su2=surf lig2 plan;
obj2=su2 et sutt2;
elim 1.E-6 obj2;
*recup des levres de fissures
perobj1 = inve ( cont sutt1);
lifis1 = (perobj1 ELEM comp pf plfil2) coul rose;
elfis1 = lifis1 elem 'APPU' 'LARG' pf;
elfis1 = lifis1 elem 'APPU' 'LARG' elfis1;
elfis1 = ordo elfis1;
ptfis1 = poin elfis1 2;
vfis1 = pf moin ptfis1;
vfis1 = vfis1 / (nom vfis1);
vfislok = pf moin plfil2;
vfislok=vfislok / (nom vfislok);
psc1 = abs (psca vfis1 vfislok);
si (psc1 < 0.99);
    lifis1 = (perobj1 ELEM comp plfil2 pf) coul rose;
fins;
*recup des levres de fissures
perobj2 = inve ( cont sutt2);
lifis2 = (perobj2 ELEM comp pf plfil1) coul vert;
elfis2 = lifis2 elem 'APPU' 'LARG' pf;
elfis2 = lifis2 elem 'APPU' 'LARG' elfis2;
elfis2 = ordo elfis2;
ptfis2 = poin elfis2 2;
vfis2 = pf moin ptfis2;
vfis2 = vfis2 / (nom vfis2);
vfis2ok = pf moin plfil2;
vfis2ok=vfis2ok / (nom vfis2ok);
psc2 = abs (psca vfis2 vfis2ok);
si (psc2 < 0.99);
    lifis2 = (perobj2 ELEM comp plfil1 pf) coul rose;
fins;
*symetrie
obj1tmp obj2tmp lgtmp ldtmp
    = syme obj1 obj2 lg ld 'DROIT' p0 p2;
obj2s obj1s lds lgs
    = syme obj1tmp obj2tmp lgtmp ldtmp 'DROIT' p11 (p11 moin (0. b));
ELIM 1.E-6 obj1s obj1;
ELIM 1.E-6 obj2s obj2;
ELIM 1.E-6 lgs obj1s;
ELIM 1.E-6 lds obj2s;
ELIM 1.E-6 lgs lg;
ELIM 1.E-6 lds ld;
*assemblage
obj = (obj1 et obj2 et obj1s et obj2s);
ld= (ld et lds) coul roug;
lg= (lg et lgs) coul bleu;

-----DEFINITION DU MATERIAU-----
*
* objaf = modl obj MECANIQUE ELASTIQUE ISOTROPE;
phi0 = PSIP obj lifis1 ;
phi0 = CHAN 'CHAM' phi0 obj;
obj1tot = phi0 ELEM 'SUPERIEUR' 1.E-4;
obj2tot = (obj DIFF obj1tot) coul BLEU;
trac (obj1tot et obj2tot);
mess (nbel obj) ((nbel obj1tot) + (nbel obj2tot));
mod1tot = mode obj1tot MECANIQUE ELASTIQUE ISOTROPE;
mod2tot = mode obj2tot MECANIQUE ELASTIQUE ISOTROPE;
objaf =mod1tot et mod2tot;
*
mat = mate objaf youn 20000 nu 0.3;
*
-----MATRICE DE RIGIDITE-----
*
rig=rigi mat objaf;
*
-----DEFINITION DU CHARGEMENT-----
*
cdl=(bloq ux uy p0) et (bloq uy p2);
sxcl = 10. ;
f1=pres mass objaf lg (-1.*sxcl);
f2=pres mass objaf ld (-1.*sxcl);

```

```

*
*-----RESOLUTION ET CONTRAINIES-----
*
u=reso (rig et cdl) (f1 et f2);
sig=sigm mat objaf u;

si(graph);
  vf12 = vect (f1 et f2) 'FORC';
  trac vf12 obj ;
  trac sig objaf (defo u obj 20) ;
  trac (obj et lifis1 et lifis2) (defo u obj 20);
fins;

*opti trac x;
*---CALCUL DU FACTEUR D'INTENSITE DE CONTRAINTES---
*---APPEL DE LA PROCEDURE SIF -----
SIFTAB = TABL;
SIFTAB.'MODMIXTE' = VRAI;
SIFTAB.'LIFIS1' = lifis2;
SIFTAB.'LIFIS2' = lifis1;
SIFTAB.'FRIFISS' = pf;
SIF SIFTAB MAT U;
K1MOY = SIFTAB.K1;
K2MOY = SIFTAB.K2;

*---APPEL DE LA PROCEDURE G_THETA -----
GTAB = TABL;
GTAB . 'OBJECTIF' = MOT 'DECOUPLAGE';
GTAB . 'FRONI_FISSURE' = pf;
GTAB . 'LEVRE_SUPERIEURE' = lifis1;
GTAB . 'LEVRE_INFERIEURE' = lifis2;
GTAB . 'COUCHE' = 4;
GTAB . 'SOLUTION_RESO' = u;
GTAB . 'CARACTERISTIQUES' = mat;
GTAB . 'MODELE' = objaf;
GTAB . 'CHARGEMENTS_MECANIQUES' = (f1 et f2) ;
G_THETA GTAB;
K1G = GTAB . 'RESULTATS' . 'I';
K2G = GTAB . 'RESULTATS' . 'II';

*-----DEPOUILLEMENT -----
*pour a/b=0.4 et b/h=1, on a:
Fac1 = 1.216;
*solution infinie:
K0inf = sxsl * ((a*pi)**0.5) * (cos alphal);
*solution de reference
Klref = K0inf * (cos alphal) * Fac1;
K2ref = K0inf * (sin alphal) * Fac1;

*ecarts relatif (%)
EC1 = (abs (1. - (abs (K1MOY / K1REF)))) * 100;
EC2 = (abs (1. - (abs (K2MOY / K2REF)))) * 100;
EC3 = (abs (1. - (abs (K1G / K1REF)))) * 100;

EC4 = (abs (1. - (abs (K2G / K2REF)))) * 100;

*messages
mess '-----';
mess (chai '          Kl      K2      ');
mess (chai 'reference   ' Klref ' ' K2ref );
mess (chai ' SIF      ' K1MOY ' ' K2MOY );
mess (chai ' G_THETA   ' K1G ' ' K2G );
mess '-----';
mess (chai 'erreur relative (%) Kl      K2      ');
mess (chai ' SIF      ' EC1 ' ' EC2 );
mess (chai ' G_THETA   ' EC3 ' ' EC4 );
mess '-----';

*opti donn 5;
GTAB . 'MODELES_COMPOSITES' = TABL;
GTAB . 'MODELES_COMPOSITES' . 1 = mod1tot;
GTAB . 'MODELES_COMPOSITES' . 2 = mod2tot;
G_THETA GTAB;
K1Gc = GTAB . 'RESULTATS' . 'I';
K2Gc = GTAB . 'RESULTATS' . 'II';
mess (chai ' G_THETA composite   ' K1Gc ' ' K2Gc );

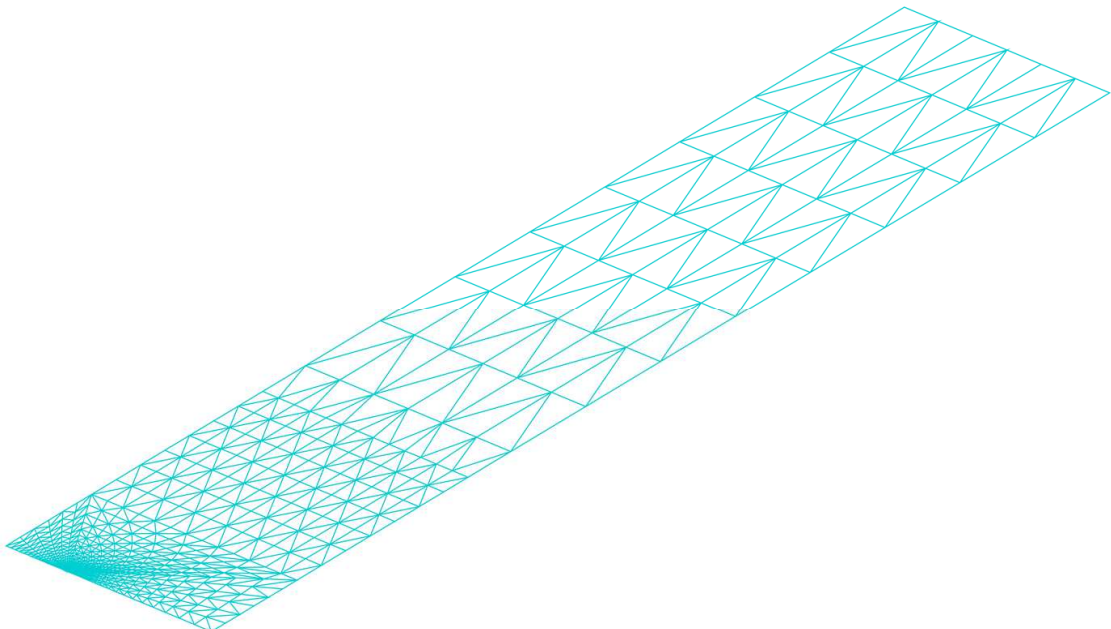
*OPTI DONN 5 trac X;
*-----MESSAGE D'ERREUR-----
SI ((EC1 < 3.) ET (EC2 < 9.) ET (EC3 < 1.) ET (EC4 < 6.));
  MESS 'ERR 0';
  ERRE 0;
SINON;
  MESS 'ERR 5';
  ERRE 5;
FINSI;
*-----*
fin ;

```

## 5.6.8 rupt8.dgibi

|                              |  |
|------------------------------|--|
| <b>Nom du fichier</b>        | rupt8.dgibi  |
| <b>Type de calcul</b>        | Mécanique de la rupture<br>3D  |
| <b>Type d'Eléments Finis</b> | DKT  |
| <b>Référence</b>             | Compendium of STRESS INTENSITY FACTORS by Rooke & Cartwright.<br>Section Plates and Shells "Central crack in a finite width plate : uniform bending moment"  |
| <b>Description</b>           | Validation de la procédure G_THETA en cas d'une plaque en traction pure<br><br>GEOMETRIE :<br>Longueur de la fissure : $2a = 2 \times 0.30$ M<br>Longueur de la plaque : $2b = 2 \times 1.00$ M<br>Hauteur de la plaque : $2h = 2 \times 5.25$ M<br>Epaisseur de la plaque : $e = 0.001$ M<br>MATERIAU :<br>Module d'Young : $E = 2.E11$<br>Coefficient de poisson : $\nu = 0.3$<br>CHARGEMENT :<br>Traction pure : $\sigma = 5.E6$ N/M <sup>2</sup> |
| <b>Objectif</b>              | Erreur relative < 5% sur le facteur d'intensité des contraintes  |
| <b>Version de Cast3M</b>     | CAST3M 2016  |
| <b>Plateformes testées</b>   | IBM AiX<br>Linux 32-bits<br>Linux 64-bits<br>Windows 32-bits<br>Windows 64-bits<br>MAC OSX 64-bits   |

Tableau 62 : Informations sur le cas test rupt8.dgibi



*Figure 117 : Maillage du cas-test rupt8.dgibi*

**Jeu de données :**

```

* fichier : rupt8.dgibi
*****
* Section : Mecanique Endommagement
*****
* Test Rupt8.dgibi: Jeux de données
* -----
* -----
* -----
*****
```

\* VALIDATION DE LA METHODE G\_THETA EN CAS  
\* D'UNE PLAQUE EN TRACTION PURE. SOLUTION  
\* DE REFERENCE : Compendium of STRESS INTENSITY  
\* FACTORS by Rocke & Cartwright. Section Plates  
\* and Shells "Central crack in a finite width  
\* plate : uniform bending moment"

\* GEOMETRIE :

\* longueur de la fissure : 2a = 2 x 0.30 M  
\* longueur de la plaque : 2b = 2 x 1.00 M  
\* Hauteur de la plaque : 2h = 2 x 5.25 M  
\* Epaisseur de la plaque : e = 0.001 M

\* MATERIAU :

\* Module d'Young : E = 2.E11  
\* Coefficient de poisson : NU = 0.3

\* CHARGEMENT :

\* Traction pure : SIG = 5.E6 N/M2

\* SOLUTION ANALYTIQUE :

\* Le taux de restitution d'energie : G = 129.5

\*\*\*\*\*

```

opti echo 1;
OPTI DIME 3 ELEM TRI3 DENS 1. ;
N4 = 6; N8 = 13;
N12 = (N4 + N8)*(-1);
O1 = 0. 0. 1000. ;
ADIM = 0.3; BDIM = 1.; TAFIS = ADIM / 33. ;
HH1 = BDIM / 2.0;
P1 = 0. 0. 0.; P2 = BDIM 0. 0.; P3 = ADIM 0. 0. ;
P3G = (ADIM - TAFIS) 0. 0.; P3D = (ADIM + TAFIS) 0. 0. ;
ALF1 = ATG HH1 ADIM; ALF2 = ATG HH1 (BDIM - ADIM);
X1 = TAFIS * (COS ALF1); Y1 = TAFIS * (SIN ALF1);
P31 = (ADIM - X1) Y1 0. ;
X1 = TAFIS * (COS ALF2); Y1 = TAFIS * (SIN ALF2);
P32 = (ADIM + X1) Y1 0. ;
C1 = C N4 P3G P3 P31; C2 = C N8 P31 P3 P32;
C3 = C N4 P32 P3 P3D;
SUI1 = COUT (C1 ET C2 ET C3) P3;
P4 = 0. HH1 0.; P5 = BDIM HH1 0. ;
L1 = D N4 P1 P4 DINI (2.0*TAFIS) DFIN (8.0*TAFIS);
L2 = D N12 P2 P31 DINI (9.0*TAFIS) DFIN (0.3*TAFIS);
L3 = D N12 P1 P3G DINI (3.0*TAFIS) DFIN (1.5*TAFIS);
L4 = D N8 P4 P5 ;
L5 = D N12 P5 P32 DINI (14.0*TAFIS) DFIN (0.3*TAFIS);
L6 = D N4 P2 P5 DINI (2.0*TAFIS) DFIN (10.0*TAFIS);
L7 = D N12 P2 P3D DINI (10.0*TAFIS) DFIN (1.5*TAFIS);
SU2 = DALL L1 L3 C1 L2;
SU3 = DALL L2 L4 L5 C2;
SU4 = DALL L6 L5 C3 L7;
SU5 = L4 TRAN 7 (0. (1.0*BDIM) 0. );
L8 = COTE 3 SU5; Y1 = COOR 2 (POINT L8 FINA);
P6 = 0. (Y1 + (BDIM/4.)) 0. ;
P7 = BDIM (Y1 + (BDIM/4.)) 0. ;
L9 = D N4 P7 P6;
SU6 = COUT L8 L9;
SU7 = L9 TRAN 8 (0. (3.5*BDIM) 0. );
L10 = COTE 3 SU7; Y1 = COOR 2 (POINT L10 FINA);
L11 = D 1 P3 P3D;
SUT = COUL TURQ (SUI1 ET SU2 ET SU3 ET SU4 ET SU5 ET
        SU6 ET SU7);
ELIM 1.E-8 SUT;
L1 = (CONT SUT) ELEM APPU (SUT POIN
        DROI (0. 0. 0.) (BDIM 0. 0.) 1.E-8);
L2 = (CONT SUT) ELEM APPU (SUT POIN
        DROI (BDIM 0. 0.) (BDIM Y1 0.) 1.E-8);
L3 = (CONT SUT) ELEM APPU (SUT POIN
        DROI (BDIM Y1 0.) (0. Y1 0.) 1.E-8);
L4 = (CONT SUT) ELEM APPU (SUT POIN
        DROI (0. Y1 0.) (0. 0. 0.) 1.E-8);
PINI3 = POIN L3 INIT; PFIN3 = POIN L3 FINA;
PMIL3 = (CHAN POI1 L3) DIFF (PINI3 ET PFIN3);
MOEXT = 1. / ((NENO L3) - 1);
MOMIL = MOEXT * (NENO PMIL3);
*****
***** SOLUTION CONTRAINTE ET DEPLACEMENT
*****
EPAI_T = 0.001;
NB_MUL = 21;
```

```

EPAI_C = EPAI_T * 1.E-6;
EPAI_I = (EPAI_T * (2*NB_MUL)) / (NB_MUL - 1);
ELEFIS = SUT ELEM APPU LARG P3;
ELEFIS = SUT ELEM APPU LARG ELEFIS;
ELEFIS = SUT ELEM APPU LARG ELEFIS;
TBPAI = TABLE; TBEXCE = TABLE;
REPETER BC_MUL1 ((2*NB_MUL) - 1);
III = (&BC_MUL1 - NB_MUL) / 2. ;
TBEXCE.&BC_MUL1 = (EPAI_I + EPAI_C)*III;
SI (EGA 0. ((&BC_MUL1/2.) - (&BC_MUL1/2)) 1.E-10);
TBPAI.&BC_MUL1 = EPAI_I;
SINON;
    TBPAI.&BC_MUL1 = EPAI_C;
FINSI;
FIN BC_MUL1;
REPETER BC_MUL2 ((2*NB_MUL) - 1);
SI (EGA &BC_MUL2 1);
MOD_MUL = MODE ELEFIS MECANIQUE ELASTIQUE
        DKT CONS (CHAI &BC_MUL2);
MAT_MUL = MATE MOD_MUL YOUN 2.E11 NU 0.3
        EPAI TBPAI.&BC_MUL2 EXCE TBEXCE.&BC_MUL2;
SINON;
    MOD_MUL = MODE ELEFIS MECANIQUE ELASTIQUE
        DKT CONS (CHAI &BC_MUL2);
    MAT_MUL = MATE MOD_MUL YOUN 2.E11 NU 0.3
        EPAI TBPAI.&BC_MUL2 EXCE TBEXCE.&BC_MUL2;
    MOD_MUL = MOD_MUL ET MOD_MUL;
    MAT_MUL = MAT_MUL ET MOD_MUL;
FINSI;
FIN BC_MUL2;
MOD_R = MODE (SUT DIFF ELEFIS) MECANIQUE ELASTIQUE DKT;
MAT_R = MATE MOD_R YOUN 2.E11 NU 0.3 EPAI EPAI_T;
M01 = MOD_MUL ET MOD_R;
MA1 = MAT_MUL ET MAT_R;
BL1 = BL0Q UX RX (L7 ET L11);
BL2 = BL0Q UX RX L4;
BL3 = BL0Q UZ RX L3;
RI = BL1 ET BL2 ET BL3 ET (RIGI MA1 M01);
FO2 = ((FORC FY MOEXT (PINI3 ET PFIN3)) ET
        (FORC FY MOMIL PMIL3))*5.e3;
FO3 = FO2;
DEPTO = RESO RI FO3 ;
REATO = REAC DEPTO RI;
SIGTO = SIGMA MA1 M01 DEPTO ;
*****
```

SUPTAB = TABLE ;  
SUPTAB.'OBJECTIF' = MOT 'J';  
SUPTAB.'LEVRE\_SUPERIEURE' = (cont sut) ELEM comp p3 p1;  
SUPTAB.'FRONT\_FISSURE' = P3 ;  
SUPTAB.'MODELE' = M01;  
SUPTAB.'CARACTERISTIQUES' = MA1;  
SUPTAB.'SOLUTION\_RESO' = DEPTO;  
SUPTAB.'CHARGEMENTS\_MECHANIQUES' = FO3;  
SUPTAB.'ELEMENT\_MULTICOUCHE' = ELEFIS ELEM 1;  
SUPTAB.'COUCHE' = 7;  
G\_THETA SUPTAB;  
\* RECUPERATION DU RESULTAT ET COMPARAISONS ELEMENT 25 ;  
\* ;  
G = SUPTAB.'RESULTATS'. 'GLOBAL' ;  
Kth = 50.1E5 ;  
K = (2.E11 \* G)\*\*0.5 ;  
mess ' ' ;  
mess ' ' ;  
mess 'taux de restitution energetique G :' G ;  
mess 'solution calculee Kcal :' K ;  
mess 'solution analytique Kthe :' Kth ;  
\* CODE FONCTIONNEMENT ;  
RESI = abs (( k - Kth ) / Kth ) ;  
SI (RESI < 5E-2) ;  
 ERRE 0 ;  
SINO ;  
 ERRE 5 ;  
FINSI ;  
\*RECUPERATION DU RESULTAT ET COMPARAISONS ELEMENT 117 ;  
\* ;  
SUPTAB.'ELEMENT\_MULTICOUCHE' = ELEFIS ELEM 117;  
G\_THETA SUPTAB;  
G = SUPTAB.'RESULTATS'. 'GLOBAL' ;  
Kth = 50.1E5 ;  
K = (2.E11 \* G)\*\*0.5 ;  
mess ' ' ;  
mess 'taux de restitution energetique G :' G ;  
mess 'solution calculee Kcal :' K ;  
mess 'solution analytique Kthe :' Kth ;  
\* CODE FONCTIONNEMENT ;  
RESI = abs (( k - Kth ) / Kth ) ;  
SI (RESI < 5E-2) ;  
 ERRE 0 ;  
SINO ;  
 ERRE 5 ;  
FINSI ;  
\*RECUPERATION DU RESULTAT ET COMPARAISONS ELEMENT 118 ;  
\* ;  
SUPTAB.'ELEMENT\_MULTICOUCHE' = ELEFIS ELEM 118;

```
G_THETA SUPTAB;
G = SUPTAB.'RESULTATS'.'GLOBAL';
Kth = 50.1E5;
K = (2.E11 * G)**0.5;
mess ' ' ;
mess ' ' ;
mess 'taux de restitution energetique G :' G ;
mess 'solution calculee Kcal :' K ;
mess 'solution analytique Kthe :' Kth ;
* CODE FONCTIONNEMENT
RESI = abs (( k - Kth ) / Kth );
SI (RESI < 5E-2)
    ERRE 0
SINO
    ERRE 5
FINSI
FIN;
```

### 5.6.9 rupt9.dgibi

|                              |   |
|------------------------------|---|
| <b>Nom du fichier</b>        | rupt9.dgibi   |
| <b>Type de calcul</b>        | Mécanique de la rupture<br>2D   |
| <b>Type d'Eléments Finis</b> | QUA8  |
| <b>Référence</b>             | Compendium of STRESS INTENSITY FACTORS by Rooke & Cartwright.   |
| <b>Description</b>           | Validation des procédures G_THETA et T_PITETA pour une plaque en traction pure.<br><br>GEOMETRIE :<br>Longueur de la plaque : 250. MM<br>Largeur de la plaque : 100. MM<br>Longueur de la fissure : 50. MM<br>Inclinaison de la fissure : 45.0 degrés<br>MATERIAU :<br>Module d'Young : 2.E5 MPa<br>Coefficient de poisson : 0.3<br>CHARGEMENT :<br>Traction pure : 1.0 daN/MM**2 |
| <b>Objectif</b>              | Erreur relative sur les facteurs d'intensité des contraintes K1 et K2 < 2%  |
| <b>Version de Cast3M</b>     | CAST3M 2016   |
| <b>Plateformes testées</b>   | IBM AiX<br>Linux 32-bits<br>Linux 64-bits<br>Windows 32-bits<br>Windows 64-bits<br>MAC OSX 64-bits  |

Tableau 63 : Informations sur le cas test rupt9.dgibi



*Figure 118 : Maillage du cas-test rupt9.dgibi*

## Jeu de données :

```

* fichier : rupt9.dgibi
***** Section : Mecanique Endommagement *****
* Test Rupt9.dgibi: Jeux de données *
* -----
* *
* VALIDATION DES PROCEDURE G_THETA ET T_PITETA *
* D'UNE PLAQUE EN TRACTION PURE. SOLUTION *
* DE REFERENCE : Compendium of STRESS INTENSITY *
* FACTORS by Rooke & Cartwright. *
* *
* GEOMETRIE : *
* *
* longueur de la plaque : 250. MM *
* largeur de la plaque : 100. MM *
* longeur de la fissure : 50. MM *
* Inclinaison de la fissure : 45.0 degrés *
* *
* MATERIAU : *
* *
* Module d'Young : 2.E5 MPa *
* Coefficient de poisson : 0.3 *
* *
* CHARGEMENT : *
* *
* Traction pure : 1.0 daN/MM**2 *
* *
* SOLUTION ANALYTIQUE : *
* *
* Les facteurs d'intensité de contraintes *
* K1 = 150.37 daN/mm**(-3/2) *
* K2 = -71.4 daN/mm**(-3/2) *
* *
***** OPTION' 'DIME' 2 'ELEM' 'QUA8'
      'MODE' 'PLAN' 'DEFO'
      'ECHO' 1 ;
*** Erreur géométrique pour les éliminations
*** Plus petite que la fissure !
egeom = 1.D-6 ;
*** DD : Ouverture initiale de la fissure
*** DD = 1.D-3 ;
ddsur2 = DD '/'. 2.0D0 ;
p11 = (125.D0 '-' ddsur2) 0.D0 ;
p12 = (125.D0 '+' ddsur2) 0.D0 ;
p0 = 25.D0 0.D0 ;
p2 = 275.D0 0.D0 ;
p3 = 25.D0 100.D0 ;
ppp = 125.D0 0.D0 ;
L = 50.D0 ; theta = 45.D0 ;
cth = 'COS' theta ;
sth = 'SIN' theta ;
tth = sth '/' cth ;
pf1 = ppp 'PLUS' (L '** (cth sth)) ;
p4 = ((100.D0 '/' tth) '+' 125.D0) 100.D0 ;
p5 = 275.D0 100.D0 ;

***** CONSTRUCTION DU MAILLAGE *
* AUTOUR DE LA POINTE DE FISSURE *
***** pd = 'PROG' 1.D0 2.5D0 5.D0 9.D0 13.D0 19.D0 25.D0 ;
cim1 = pf1 ; cim2 = pf1 ; cim3 = pf1 ;
cim12 = pf1 ;
plfim1 = pf1 ; plfim2 = pf1 ; pim3 = pf1 ;
plfim1 = pf1 'MOIN' (xx2 myy2) ;
plfim2 = pf1 'PLUS' (xx2 myy2) ;
'SI' (&bbb ' >EG' 6) ;
n = 4 ;
'SINON' ;
n = 2 ;
'FINSI' ;
***** c11 = 'CERCLE' n plfil pf1 pi2 ;
c12 = 'CERCLE' n pi2 pf1 pi3 ;
c13 = 'CERCLE' n pi3 pf1 pi4 ;

```

```

ci12 = 'CERCLE' n pi4 pf1 plfi2 ;
su11 = 'COUTURE' cim11 c11 ;
su12 = 'COUTURE' cim2 c12 ;
su13 = 'COUTURE' cim3 c13 ;
su12 = 'COUTURE' cim2 c12 ;
'ELIMINATION' egeom (su11 'ET' su12) ;
'ELIMINATION' egeom (su12 'ET' su13) ;
*****
cim12 = c11 ; cim2 = c12 ; cim3 = c13 ;
cim12 = c12 ; plfim1 = plf1 ;
plfim2 = plfi2 ; pim3 = pi3 ;
sut1 = 'ET' su11 su12 ;
sut2 = 'ET' su13 su12 ;
'SI' (&bbb0 'EGA' 1) ;
sut1 = sut1 ;
sut2 = sut2 ;
'SINON' ;
sut1 = 'ET' sut1 sut1 ;
sut2 = 'ET' sut2 sut2 ;
'FINSI' ;
'FIN' bbbb ;
'OUBLIER' cim11 ; 'OUBLIER' cim2 ; 'OUBLIER' cim3 ;
'OUBLIER' cim12 ;
'OUBLIER' plfim1 ; 'OUBLIER' plfim2 ; 'OUBLIER' pim3 ;
'MENAGE' ;

*****
* CONSTRUCTION DU MAILLAGE TOTAL
*****
lg = 'DROIT' 6 p0 p3 ;
ld = 'DROIT' 6 p2 p5 ;
lhc = 'DROIT' -5 p4 pi3 'DINI' 65 'DFIN' 50 ;
ligl1 = 'ET' lg ('ET' ('DROIT' 13 p3 p4) lhc) ;
ligl1 = 'ET' ligl1 ('INVERSE' ('ET' ci2 ci11)) ;
ligl1 = 'ET' ligl1 ('ET' ('DROIT' 3 plfil p11)
('DROIT' 6 p11 p0)) ;
sul = 'SURFACE' ligl1 'PLANE' ;
obj1 = 'ET' sul sut1 ;
*
lig2 = 'ET' ld ('ET' ('DROIT' 3 p5 p4) lhc) ;
lig2 = 'ET' lig2 ('ET' ci3 ci12) ;
lig2 = 'ET' lig2 ('ET' ('DROIT' 3 plfi2 p12)
('DROIT' -9 p12 p2 'DINI' 40
'DFIN' 50)) ;
su2 = 'SURFACE' lig2 'PLANE' ;
obj2 = 'ET' su2 sut2 ;
*
obj = 'ET' obj1 obj2 ;
'ELIMINATION' egeom obj ;
cobj = 'CONTOUR' obj ;
*
* Levres de la fissure
*
ls = cobj 'ELEM' 'COMP' p11 pf1 ;
li = cobj 'ELEM' 'COMP' pf1 p12 ;
*-----DEFINITION DU MATERIAU-----
objmod = 'MODELISER' obj 'MECANIQUE' 'ELASTIQUE'
'ISOTROPE' ;
objmat = 'MATERIAU' objmod 'YOUN' 2.D5 'NU' 0.3D0 ;
*-----MATRICE DE RIGIDITE-----
rig = 'RIGIDITE' objmat objmod ;
*-----CONDITIONS AUX LIMITES-----
cal = 'ET' ('BLOQUE' 'UX' 'UY' p0)
('BLOQUE' 'UY' p2) ;
rigtot = 'ET' rig cal ;
*-----DEFINITION DU CHARGEMENT-----
f1 = 'PRES' 'MASS' objmod -10.D0 lg ;
f2 = 'PRES' 'MASS' objmod -10.D0 ld ;
f0 = 'ET' f1 f2 ;
*-----RESOLUTION ET CONTRAINTEES-----
u0 = 'RESO' rigtot f0 ;
sig0 = 'SIGMA' objmod objmat u0 ;

*****
** fabrication de déplacements THETA et PI ***
*****
SUPTAB = 'TABLE' ;
SUPTAB . 'OBJECTIF' = MOT 'DECOUPLAGE' ;
SUPTAB . 'LEVRE_SUPERIEURE' = ls ;
SUPTAB . 'LEVRE_INFERIEURE' = li ;
SUPTAB . 'FRONT_FISSURE' = pf1 ;
SUPTAB . 'MODELE' = objmod ;
SUPTAB . 'CARACTERISTIQUES' = objmat ;
SUPTAB . 'SOLUTION_RESO' = u0 ;
SUPTAB . 'CHARGEMENTS_MECANIQUES' = f0 ;
SUPTAB . 'COUCHE' = 6 ;
G_THETA SUPTAB ;

*****
***** Affichage des résultats *****
*****

K1 = SUPTAB . 'RESULTATS' . 'I' ;

```

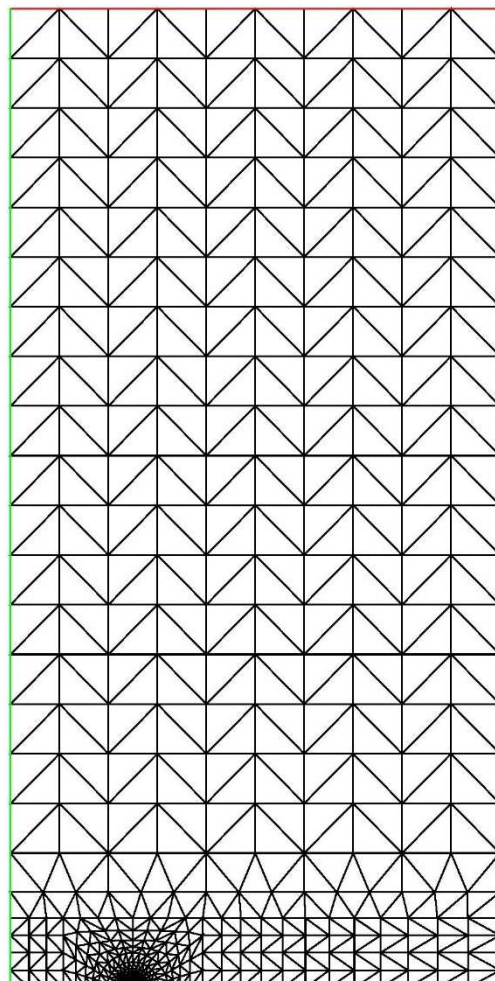
## GUIDE DE VALIDATION

```
K2 = SUPTAB . 'RESULTATS' . 'II' ;
'MESSAGE' 'K1 = ' K1 'K2 = ' K2 ;
ER1 = 'ABS' (((K1 '-' 150.37D0) //' 150.37D0) '*' 100.D0) ;
ER2 = 'ABS' (((K2 '+' 71.4D0) //' 71.4D0) '*' 100.D0) ;
'MESSAGE' 'ER1 = ' ER1 'ER2 = ' ER2 ;
'SI' ((ER1 '>' 2.D0) 'OU' (ER2 '>' 2.D0)) ;
'ERREUR' 5 ;
'SINON' ;
'ERREUR' 0 ;
'FINSI' ;
'FIN' ;
```

### 5.6.10 rupt10.dgibi

|                              |   |
|------------------------------|---|
| <b>Nom du fichier</b>        | rupt10.dgibi  |
| <b>Type de calcul</b>        | Mécanique de la rupture<br>2D   |
| <b>Type d'Eléments Finis</b> | COQ3  |
| <b>Référence</b>             | Compendium of STRESS INTENSITY FACTORS by Rooke & Cartwright.<br>Section Plates and Shells "Central crack in a finite width plate : uniform bending moment"   |
| <b>Description</b>           | Validation de la méthode des déplacements (procédure SIF) dans le cas d'une plaque en flexion pure.<br><br>GEOMETRIE :<br>Longueur de la fissure : $2a = 2 \times 17.5$ MM<br>Largeur de la plaque : $2b = 2 \times 70$ MM<br>Hauteur de la plaque : $2h = 2 \times 280$ MM<br>Epaisseur de la plaque : $e = 0.7$ MM<br>MATERIAU :<br>Module d'Young : $E = 200000$ MPa<br>Coefficient de poisson : $\nu = 0.3$<br>CHARGEMENT :<br>Flexion pure : $M = 114.3$ N.MM<br>soit $\sigma_{IG} = 10$ MPa |
| <b>Objectif</b>              | Erreur relative < 2% sur le facteur d'intensité des contraintes   |
| <b>Version de Cast3M</b>     | CAST3M 2016   |
| <b>Plateformes testées</b>   | IBM AiX<br>Linux 32-bits<br>Linux 64-bits<br>Windows 32-bits<br>Windows 64-bits<br>MAC OSX 64-bits  |

Tableau 64 : Informations sur le cas test rupt10.dgibi



*Figure 119 : Maillage du cas-test rupt10.dgibi*

**Jeu de données :**

```

*fichier : rupt10.dgibi
*****
* Section : Mecanique Endommagement
*****



*****VALIDATION DE LA METHODE DES DEPLACEMENTS *****
*DANS LE CAS D'UNE PLAQUE EN FLEXION PURE.
*SOLUTION DE REFERENCE :
* Compendium of STRESS INTENSITY FACTORS
* by Rocke & Cartwright. Section Plates
* and Shells "Central crack in a finite width
* plate : uniform bending moment"
* *
* *
* GEOMETRIE :
* longueur de la fissure : 2a = 2 x 17.5 MM
* largeur de la plaque : 2b = 2 x 70 MM
* Hauteur de la plaque : 2h = 2 x 280 MM
* Epaisseur de la plaque : e = 0.7 MM
* *
* MATERIAU :
* Module d'Young : E = 200000 MPa
* Coefficient de poisson : NU = 0.3
* *
* CHARGEMENT :
* Flexion pure : M = 114.3 N.MM
* soit SIGf=10MPa
* *
* SOLUTION ANALYTIQUE :
* Fact d'int. de contr : KI = 30.349 MPa(MM)**0.5
* *
*****SAISIE DES PARAMETRES DE MAILLAGE *****
* Epaisseur de l'eprouvette
epal = .7;
* ----- A/W :
rap1 = 0.25 ;
* ----- H/W :
rap2 = 4. ;
* ----- W :
w = 70. ;
* largeur de bande deposee (pour un metal biphase)
ldep = 10. ;
*eprouvette SENB ou CCP ? (val = 0 ou val = 1) ;
val = 1 ;
*taille de maille en pointe de fissure
tm = .2 ;
*nombre de decoupe sur 45 degres ;
n = 4 ;
*introduction d'un pave de quadrangle en pointe de fissure ?
*(non : rep = 0 oui : rep = 1)
rep = 1 ;
***** parametres intermediaires *****
*****lcritw = (w * (1. - rap1)) ;
lcrita = w * rap1 ;
*demis-cote du carre
c = mini (prog (w / 5.) ldep lcrita lcritw) ;
*rayon du disque
r = c / 2. ;

*densite en peripherie de disque
te = r / 10. ;
te = 1.5 * ((pi * r) / (4. * n)) ;

*densite au premier arc
si (ega rep 1) ;
ta = tm * 2. ;
sinon ;
ta = tm ;
finsi ;

*****MAILLAGE *****
*** partie circulaire autour de la pointe de fissure ***
*-----*
p0 = 0. 0. ;
p1 = (rap1 * w) 0. ;
dens ta ;
si (rep ega 0) ;
p2 = p1 plus (tm 0.) ;
sinon ;
p2 = p1 plus ((tm * n * 2.) 0.) ;
si ((tm * n * 2.) > r) ;
nc = r / 2. ;
opti echo 0 ;
mess 'Le produit (tm * n) doit etre inferieur a' nc ;
opti echo 1 ;
opti donn 5 ;
finsi ;
finsi ;
dens te ;
p10 = p1 plus (r 0.) ;

ligam0 = p2 d p10 ;

su21 = ligam0 rota n 45. p1 ;
l21 = su21 cote 4 ;
c21 = su21 cote 2 ;
su22 = (su21 cote 3) rota n 45. p1 ;
l22 = su22 cote 2 ;
c22 = su22 cote 4 ;
su23 = (su22 cote 3) rota n 45. p1 ;
l23 = su23 cote 4 ;
c23 = su23 cote 2 ;
su24 = (su23 cote 3) rota n 45. p1 ;
l24 = su24 cote 2 ;
c24 = su24 cote 4 ;

rac = l21 et l22 et l23 et l24 ;
su2 = su21 et su22 et su23 et su24 ;

si (ega rep 0) ;
su0 = cout p1 rac ;
su01 = chan su0 ligne ;
p01 = (p1 plus p2) / 2. ;
lig0 = su01 elem appuye strictement (p1 et (su0 poin proc p01
et p2) ;
ligam0 = ligam0 et lig0 ;
l1 = ligam0 ;
sinon ;
dens tm ;
qad = p1 plus ((tm * n) 0.) ;
qag = p1 moin ((tm * n) 0.) ;
basd = p1 d n qad ;
basg = p1 d n qag ;
bas = ordo (basg et basd) ;
pave = bas trans n (0. (tm * n)) ;
copav1 = pave cote 2 ;
copav2 = pave cote 3 ;
copav3 = pave cote 4 ;
copav = copav1 et copav2 et copav3 ;
dec = (enti (n / 1.2)) * (-1) ;
joncd = qad d p2 ;
joneg = qag d (su24 poin proc qag) ;
sujon = dall copav joncd rac joneg plan ;
su0 = sujon et pave ;
l1ig0 = basd et joncd ;
ligam0 = ligam0 et l1ig0 ;
l1 = ligam0 ;
finsi ;

*** carre exterieur autour du fond de fissure ***
*-----*
dens (2. * te) ;
p0b = p1 plus (c 0.) ;
p0h = p1 plus (c c) ;
pnh = p1 plus (0. c) ;

```

```

pgh = pl plus (((-1 * c) c) ;
pgb = pl plus (((-1 * c) 0.) ;

card = pdb d n pdh ;
carhd = pdh d n phh ;
carhg = phh d n pgh ;
carg = pgh d n pgb ;

decc = ((-1 * (enti ((c - r) / (1. * te)))) - 1 ;

diad = (c21 poin initial) d decc pdb ;
diadh = (c22 poin final) d decc pdh ;
diam = (c23 poin initial) d decc phh ;
diagh = (c24 poin final) d decc pgh ;
diag = (c24 poin initial) d decc pgb ;

su3 = dall c21 diadh card diad plan;
su4 = (dall c22 diam carhd diadh plan) et
      (dall c23 diagh carhg diam plan) ;
su5 = dall c24 diag carg diagh plan;

carre = su0 et su2 et su3 et su4 et su5 ;
ligam1 = ligam0 et diad ;

*-----
*** partie metal depose *
*-----


clcritw = (c < (lcritw + 0.01)) et (c > (lcritw - 0.01)) ;
lcritia = (c < (lcrita + 0.01)) et (c > (lcrita - 0.01)) ;
cldep = (c < (ldep + 0.01)) et (c > (ldep - 0.01)) ;

si ((non clcritw) et (non lcritia)) ;
* mess 'cas general' ;

vtl = 0. (ldep - c) ;
vtg = (((-1 * (lcrita - c)) 0.) ;
vtd = (lcritw - c) 0. ;
nfl = enti ((ldep - c) / (mesu (carhd elem 1) long)) ;
nfg = enti ((lcrita - c) / (mesu (carg elem 1) long)) ;
nfd = enti ((lcritw - c) / (mesu (card elem 1) long)) ;
si (nfg ega 0) ;
  nfg = 1 ;
su7 = carg tran nfg vtg ;
sinon ;
  densi = (mesu (carg elem 1) long) ;
  densf = densi * (1 + (nfg / 20.)) ;
  su7 = carg tran 'DINI' densi 'DFIN' densf vtg ;
finsi ;
si (nfd ega 0) ;
  nfd = 1 ;
  su6 = card tran nfd vtd ;
sinon ;
  densi = (mesu (card elem 1) long) ;
  densf = densi * (1 + (nfd / 20.)) ;
  su6 = card tran 'DINI' densi 'DFIN' densf vtd ;
finsi ;
18 = (su7 cote 4) et (su6 cote 2) et carhd et carhg ;
18 = ordo 18 ;
si (cldep) ;
* mess 'cas critique ldep' ;
  mdep = carre et su6 et su7 ;
  18b = inve 18 ;
  ligam = ligam1 et (su6 cote 4) ;
  lsym1 = (su7 cote 3) ;
sinon ;
  si (nfl ega 0) ;
    nfl = 1 ;
    su8 = 18 tran nfl vtl ;
  sinon ;
    densi = (mesu (carhd elem 1) long) ;
    densf = densi * (1 + (nfl / 10.)) ;
    su8 = 18 tran 'DINI' densi 'DFIN' densf vtl ;
  finsi ;
  mdep = carre et su6 et su8 ;
  18b = su8 cote 3 ;
  ligam = ligam1 et (su6 cote 4) ;
  lsym1 = (su8 cote 2) et carg ;
  finsi ;
finsi ;

*-----
*** partie metal de base *
*-----


18b = ordo 18b ;
ppi = 18b poin initial ;pf = 18b poin final ;
lu = (mesu 18b long) / (nbel 18b) * 1.2 ;
fronl = (ppi plus (0. lu)) d (enti ((nbel 18b) / 1.5)) ;
(pf plus (0. lu)) ;
lub = (mesu fronl long) / (nbel fronl) * 1.2 ;
pib = fronl poin initial ;pfb = fronl poin final ;
fron2 = (pib plus (0. lub)) d (enti ((nbel fronl) / 1.5)) ;
(pf plus (0. lub)) ;

join1 = cout 18b fronl ;
join2 = cout fronl fron2 ;
join = join1 et join2 ;
join1 = chan join ligne ;
joinp = join1 poin droit p0 (p0 plus (0. 10.)) (tm / 10.) ;
lsym2 = join1 elem appuye strictement joinp ;

lrest = ((w * rap2) / 2.) - (ldep + lu + lub) ;
vt = 0. lrest ;
le = mesu (fron2 elem 1) long ;
corp = fron2 tran (enti (lrest / le)) vt ;
lsym3 = corp cote 2 ;

pinif = ligam poin initial;

*-----
*particularite pour un CCP *
*-----


si (val ega 1) ;
mbas = corp et join ;

```

```

*plan verticale de symetrie
lsym = lsym1 et lsym2 et lsym3 ;
lsym = lsym coul vert ;
*face de chargement
schar = corp cote 3 ;
schar = schar coul roug ;
*ligament
ligam = ligam coul bleu ;
*maillage complet
ccp = mbas et mdep ;
tirr 'eprouvette CCP' ;
* trac (ccp et ligam et lsym et schar) ;
finsi ;

*-----*
*particularite pour un SENB *
*-----*

si (val ega 0) ;
lresid = corp cote 3 ;
resid = lresid tran 1 (0. le) ;
mbas = corp et join et resid ;
*appui
pap = p0 plus (0. ((rap2 / 2.) * w)) ;
pap = mbas poin proc pap ;
pap = manu pap poil vert ;
*point d'application de la force
pchar = p0 plus (w 0.) ;
pchar = mdep poin proc pchar ;
pchar = manu pchar poil roug ;
*ligament
ligam = ligam coul bleu ;
*maillage complet
senb = mbas et mdep ;
tirr 'eprouvette SENB' ;
trac (senb et ligam et pap et pchar) ;
finsi ;
*
*trac (cont ccp);
*
* FIN DE LA DEFINITION DE LA GEOMETRIE
*
*
opti dime 3 mode trid;
*
* Definition des modeles et du materiau
*
M01 = MODELE CCP MECANIQUE ELASTIQUE COQ3;
MA0 = MATER M01 YOUNG 2.E11 NU 0.3 EPAI epal;
RIG0 = RIGI M01 MA0;
*
* Definition des conditions aux limites
*
BL1 = BLOQ UY RX ligam;
BL2 = BLOQ UX RY lsym;
BL3 = BLOQ UZ schar;
RIG1 = RIG0 ET BL1 ET BL2 ET BL3;
*
* Chargement : Moment de flexion
*
pinich = schar poin initial;

*finch = schar poin final;
schar=schar chan poil;
PMILCH = schar diff (pinich et pfinch);
MOEXT = 10.* (w * (epal** 2) / 3. / 2.) / ((NBNO schar) - 1);
MOMIL = MOEXT * (NBNO PMILCH);
FO1 = (MOME MX MOEXT (PINICH ET PFINCH)) ET (MOME MX MOMIL PMILCH);
*
* Resolution
*
DEP1 = RESO RIG1 FO1;
*
* Calcul du facteur d'intensite de contrainte
*
pfisin = lsym poin init;
ct1 = cont ccp;
psup = (ct1 diff (ligam et lsym)) poin droi pfisin pl;
ct2 = chan 'SEG2' ct1;
lifisl1 = ct2 elem appu stri psup;
*
SUPTAB = TABLE;
SUPTAB.'MODMIXT' = FAUX;
SUPTAB.'LIFIS1' = lifisl1;
SUPTAB.'FRIFISS' = pl;
SUPTAB.'MEMBRANE' = FAUX;
SUPTAB.'FLEXION' = VRAI;
SUPTAB.'EPAI' = EPA1;
*
KITH = 30.3486;
*
SIF SUPTAB MA0 DEP1;
KIMOY = SUPTAB.K1.TOTAL;
MESS ' K1 analytique      = 'KITH;
MESS ' K1 calcule par SIF = 'KIMOY;
err1 = 100.* (KITH - KIMOY)/KITH;err1=abs err1;
mess ' Erreur : 'err1' en %';
*
SI (err1 < 2.) ;
MESS 'PROCEDURE <SIF> ERR 0';
ERRE 0;
SINON;
MESS 'PROCEDURE <SIF> ERR 5';
ERRE 5;
FINSI;
fin;

```

**5.6.11 rupt11.dgibi**

|                              |   |
|------------------------------|---|
| <b>Nom du fichier</b>        | rupt11.dgibi  |
| <b>Type de calcul</b>        | Mécanique de la rupture<br>2D   |
| <b>Type d'Eléments Finis</b> | QUA8  |
| <b>Référence</b>             | ISIDA, On the tension of a strip with a central elliptical hole.<br>Tran. Jap. Soc. Mec. Engng., vol. 21 (1955).<br>Validation des procédures G_THETA et T_PITETA pour une plaque en traction pure.   |
| <b>Description</b>           | GEOMETRIE :<br>Longueur totale de la plaque : 700 MM<br>Largeur totale de la plaque : 200 MM<br>Longueur totale de la fissure : 100 MM<br>MATERIAU :<br>Module d'Young : 19775 Kgf/mm <sup>2</sup><br>Coefficient de poisson : 0,3<br>CHARGEMENT :<br>Traction pure : 100 Kgf/mm <sup>2</sup> |
| <b>Objectif</b>              | Erreur relative sur le taux de restitution d'énergie G < 0.65%<br>Erreur relative sur la dérivé seconde de l'énergie dG/da < 0.5%   |
| <b>Version de Cast3M</b>     | CAST3M 2016   |
| <b>Plateformes testées</b>   | IBM AiX<br>Linux 32-bits<br>Linux 64-bits<br>Windows 32-bits<br>Windows 64-bits<br>MAC OSX 64-bits  |

*Tableau 65 : Informations sur le cas test rupt11.dgibi*

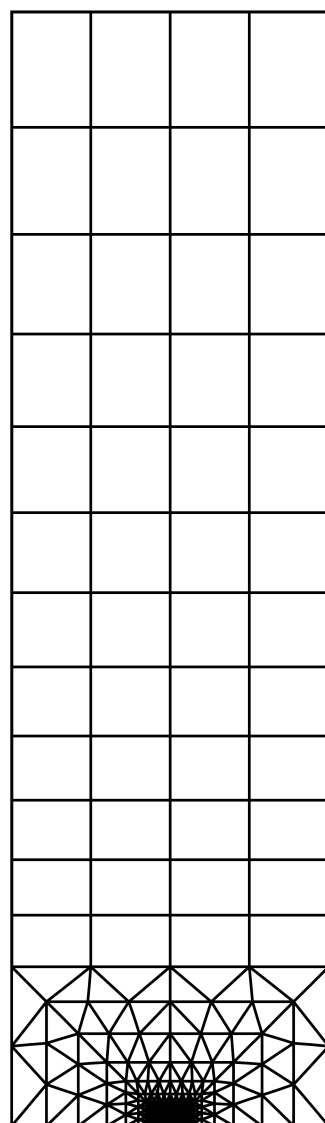


Figure 120 : Maillage du cas-test rupt11.dgibi

# GUIDE DE VALIDATION

## Jeu de données :

```

* fichier : rupt11.dgibi
*****
* Section : Mecanique Endommagement
*****
***** VALIDATION DES PROCEDURES GITETA ET T_PITETA *****
* PAR UNE PLAQUE EN TRACTION PURE. SOLUTION
* DE REFERENCE : ISIDA, On the tension of a
* strip with a central elliptical hole.
* Tran. Jap. Soc. Mec. Engng., vol. 21 (1955).
* GEOMETRIE :
* longueur totale de la plaque : 700 MM
* largeur totale de la plaque : 200 MM
* longueur totale de la fissure : 100 MM
* MATERIAU :
* Module d'Young : 19775 Kgf/mm2
* Coefficient de poisson : 0,3
* CHARGEMENT :
* Traction pure : 100 Kgf/mm2
* SOLUTION ANALYTIQUE :
* Le taux de restitution d'énergie (G_THETA) :
* G = 102,23 Kgf/mm
* La dérivée seconde de l'énergie (T_PITETA) :
* dG/dα = 3,650 Kgf/mm2
* DEEP PRMAIL P0*POINT LI11*MAILLAGE LI12*MAILLAGE LI13*MAILLAGE
  LI14*MAILLAGE NVTAI*FLOTTANT NDC*ENTIER;
P21=P0 MOIN (NVTAI 0.);P22=P21 PLUS (0. NVTAI);
P23=P22 PLUS (NVTAI 0.);P24=P23 PLUS (NVTAI 0.);
P25=P24 MOIN (0. NVTAI);
LI21=P21 D NDC P22;LI22=P22 D NDC P23;
LI23=P23 D NDC P24;LI24=P24 D NDC P25;
SU21=COUT LI11 LI12;SU22=COUT LI12 LI22;
SU23=COUT LI13 LI23;SU24=COUT LI14 LI24;
SUT=SU21 ET SU22 ET SU23 ET SU24;
FINP LI21 LI22 LI23 LI24 SUT;
OPTI DIME 2 ELEM QUAS MODE PLAN DEFO;
opti epsilon lineaire;
PB=50. 0.; VTAI=0.5; TVTAI=TABLE;
***** MAILLAGE CARRE EN POINTE DE FISSURE *****
CVTAI=10. * VTAI; TVTAI=TABLE; TNDC=TABLE;
TVTAI.1= 12. * VTAI; TNDC.1=8;
TVTAI.2= 15. * VTAI; TNDC.2=6;
TVTAI.3= 20. * VTAI; TNDC.3=5;
TVTAI.4= 28. * VTAI; TNDC.4=4;
TVTAI.5= 40. * VTAI; TNDC.5=3;
TVTAI.6= 58. * VTAI; TNDC.6=3;
TVTAI.7= 78. * VTAI; TNDC.7=3;
TVTAI.8=100. * VTAI; TNDC.8=2;
P11=PB MOIN (CVTAI 0.); P12=P11 PLUS (0. CVTAI );
MCARR1=(P11 D 10 P12) TRAN 10 (CVTAI 0. );
MCARR2=(INVE (COTE 3 MCARR1)) TRAN 10 (CVTAI 0. );
MCARRO=MCARR1 ET MCARR2;
PB=MCARRO POIN PROCH PB;
MFOND=MCARRO;
***** ON ELARGIT ET ON MET A LA PLACE DE SUPISS *****
LI11=COTE 1 MCARR1;LI12=COTE 2 MCARR1;
LI13=COTE 2 MCARR2;LI14=COTE 3 MCARR2;
I=0;
REPETER BCOU (DIME TVTAI);
  I=I + 1;
  NVTAI=TVTAI.I;NDC=TNDC.I;
  LI11 LI12 LI13 LI14 SUT2=PRMAIL PB LI11 LI12 LI13 LI14 NVTAI NDC;
  MFOND=MFOND ET SUT2;
  FIN BCOU;
ELIM 0.01 MFOND;
SUT = (LI12 ET LI13) TRAN -12 DINI 8 DFIN 30 (0. (350. - 50.));
SUT = SUT ET MFOND;
CSUT = CONT SUT;
ELIM 0.01 SUT;
***** PREPARATION POUR CALCUL SUR MAILLES 1MM *****
LICOT=CSUT ELEM COMP (SUT POIN PROC (0. 350.)) (SUT POIN PROC (0. 0.));
LIGAM=CSUT ELEM COMP (SUT POIN PROC (50. 0.)) (SUT POIN PROC (100. 0.));
LIFIS=CSUT ELEM COMP (SUT POIN PROC (0. 0.)) (SUT POIN PROC (50. 0.));
***** LIHAU=CSUT ELEM COMP (SUT POIN PROC (100. 350.))
  (SUT POIN PROC (0. 350.));
OB1= modeli sut mecanique elastique;
MA1=MATE OB1 YOUN 19775. NU 0.3 ALPHA 1.5E-5;
R11=RIGI MA1 OB1;
CDL1=(BLOQ UX LICOT) ET (BLOQ UY LIGAM);
F01=PRES MASS OB1 -100. LIHAU;
U=RESO (R11 ET CDL1) F01;
SIG=SIGM MA1 U OB1;
titr 'Fissure deformee sous la pression';
vecl=vect fol fx fy 0.01 roug;
*trac (defo sut u vec1) face (cont sut);
***** Solution analytique *****
COE1 = (0.91/19775.)*100.*100.*pi;
COE2 = pi*50./200;
COS1 = cos (COE2*180./pi); SIN1 = sin (COE2*180./pi);
G_ANA = COE1*50.*/(1./COS1);
DGDA_ANA = COE1*((1./COS1) + (COE2*SIN1/(COS1*COS1)));
***** Appel à la procédure G_THETA *****
TAB = TABLE ;
TAB.'MAILLAGE' = SUT;
TAB.'FISSURE' = LIFIS;
TAB.'FONDFISS' = PB;
AFF = TABLE; AFF.1 = OB1;
TAB2=TABLE;
TAB2.'DEPLACEMENT'=U;
TAB2.'CONTRAINTE'=SIG;

SUPTAB = TABLE ;
SUPTAB.'OBJECTIF' = MOT 'J';
SUPTAB.'LEVRE_SUPERIEURE' = lifis;
SUPTAB.'FRONT_FISSURE' = PB ;
SUPTAB.'MODELE' = ob1;
SUPTAB.'CARACTERISTIQUES' = mal;
SUPTAB.'SOLUTION_RESO' = u;
SUPTAB.'CHARGEMENTS_MECANIQUES' = F01;
i = 5;
repeter bbbb 1;
  i = i + 1;
  SUPTAB.'COUCHE' = i;
  G_THETA SUPTAB;
  G_NUM = SUPTAB.'RESULTATS';
  ERR1 = (ABS ((G_NUM - G_ANA)/G_ANA))*100. ;
  MESS 'G_NUM =' G_NUM 'Erreur =' (CHAI ERR1 ' %');
fin bbbb;
***** Appel à la procédure T_PITETA *****
SUPTAB.'OBJECTIF' = MOT 'DJ/DA';
SUPTAB.'BLOCAGES_MECANIQUES'=CDL1 ;
i = 5;
repeter bbbb 1;
  i = i + 1;
  SUPTAB.'COUCHE' = i;
  G_THETA SUPTAB;
  DGDA_NUM = SUPTAB.'RESULTATS';
  ERR2 = (ABS ((DGDA_NUM - DGDA_ANA)/DGDA_ANA))*100. ;
  MESS 'DGDA_NUM =' DGDA_NUM 'Erreur =' (CHAI ERR2 ' %');
fin bbbb;
***** Arrêt du calcul *****
SI ((ERR1 > 0.65) OU (ERR2 > 0.5));
  ERRE 5;
SINO;
  ERRE 0;
FINSI;
FIN;
```

### 5.6.12 rupt12.dgibi

|                              |  |
|------------------------------|--|
| <b>Nom du fichier</b>        | rupt12.dgibi   |
| <b>Type de calcul</b>        | Mécanique de la rupture<br>2D  |
| <b>Type d'Eléments Finis</b> | TRI6   |
| <b>Référence</b>             | Formulation B Prabel   |
| <b>Description</b>           | <p>Validation de la procédure G_THETA en dynamique.<br/>Plaque en traction pure avec chargement 'f(t)'.</p> <p>GEOMETRIE :<br/>Longueur de la plaque : 40 mm<br/>Largeur de la plaque : 104 mm<br/>Longueur de la fissure : 24 mm</p> <p>MATERIAU :<br/>Module d'Young : 7.561 daN/mm<sup>2</sup><br/>Coefficient de poisson : 0,286<br/>Masse volumique : 2.45E-6 kg/mm<sup>3</sup></p> |
| <b>Objectif</b>              | Erreur relative < 1% sur le facteur d'intensité des contraintes pour tous les instants   |
| <b>Version de Cast3M</b>     | CAST3M 2016  |
| <b>Plateformes testées</b>   | IBM AiX<br>Linux 32-bits<br>Linux 64-bits<br>Windows 32-bits<br>Windows 64-bits<br>MAC OSX 64-bits   |

Tableau 66 : Informations sur le cas test rupt12.dgibi

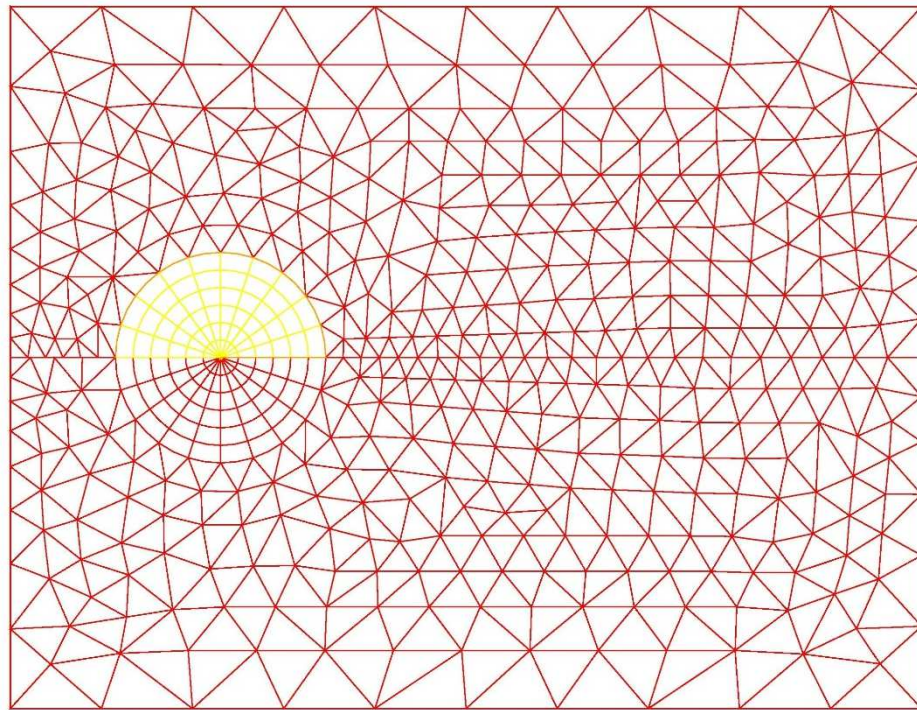


Figure 121 : Maillage du cas-test rupt12.dgibi

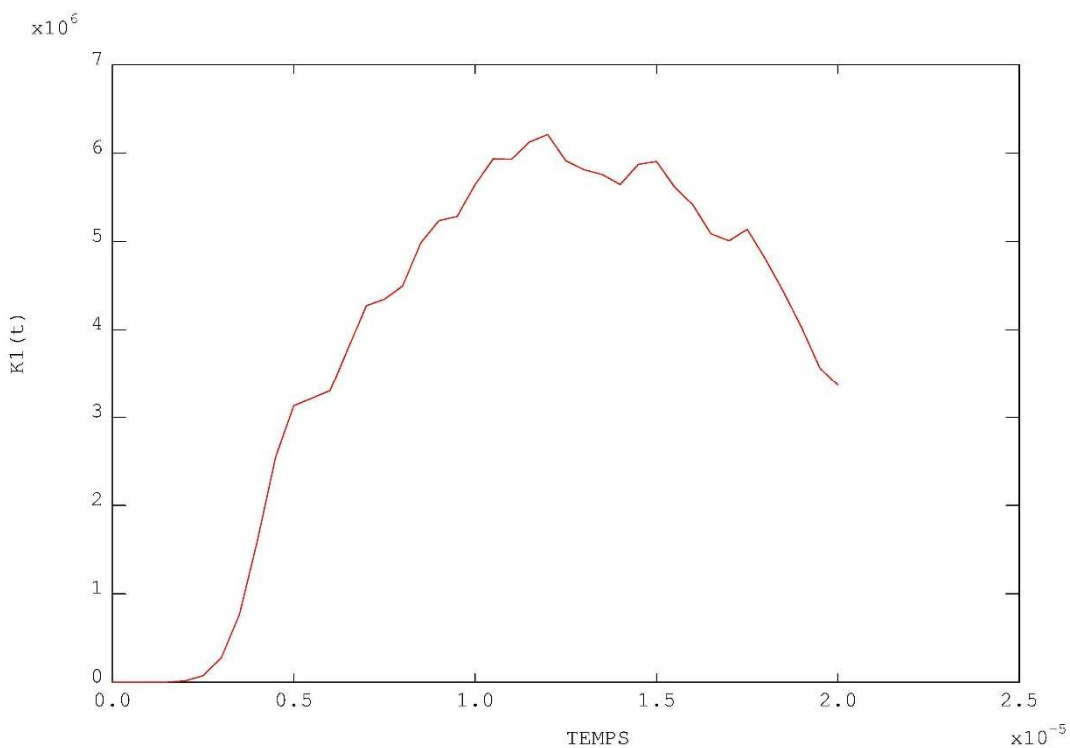


Figure 122 : Facteur K1 fonction du temps

## Jeu de données :

```

* fichier : rupt12.dgibi
***** Section : Mecanique Endommagement *****
OPTION ECHO 1 ;
complet = faux;
* complet = vrai;
*
***** pour calcul complet mettre complet à : vrai;
*****
*
* VALIDATION DE LA PROCEDURE
* G_THETA EN DYNAMIQUE.
*
* PLAQUE EN TRACTION PURE AVEC
* CHARGEMENT 'f(t)'
*
*-----*
* GEOMETRIE :
* Longueur de la plaque : 40 mm
* Largeur de la plaque : 104 mm
* Longueur de la fissure : 24 mm
*
* MATERIAU :
* Module d'Young : 7.561 daN mm^(-2)
* Coefficient de poisson : 0,286
* Masse volumique : 2.45E-6 kg/mm^(-3)
*
***** CONSTRUCTION DU MAILLAGE (RAYONNANT) *****
*-----*
OPTI echo 1 ;
OPTION DIME 2 ELEM TRI6 MODE PLAN DEFORMATION ;
graph= 'N' ;
*-----*
*-----*
* CONSTRUCTION DU MAILLAGE (RAYONNANT) *
*-----*
A = 0. 0. ; B = 52. 0. ;
C = 52. 40. ; D = 0. 40. ;
P1 = 0. 20. ; P2 = 0. 20. ;
P3 = 12. 20. ; P5 = 52. 20. ;
P4 = 6. 20. ;
*
SS COUR1 11 12 13 14 LVD LVG = @rayo P3 P4 6 ;
P4 = L1 POINT 'INITIAL' ;
P6 = L4 POIN 'INITIAL' ;
P7 = L3 POIN 'INITIAL' ;
P7 = L2 POIN 'INITIAL' ;
*1ER CONTOUR
AB = DROI A B 'DINI' 5. 'DFINI' 5. ;
BP5 = DROI B P5 'DINI' 5. 'DFINI' 2. ;
P5P7 = DROI P5 P7 'DINI' 2. 'DFINI' 1. ;
P4P2 = DROI P4 P2 'DINI' 2. 'DFINI' 1. ;
P2A = DROI P2 A 'DINI' 1. 'DFINI' 5. ;
*2EM CONTOUR
P1D = DROI P1 D 'DINI' 1. 'DFINI' 5. ;
DC = DROI D C 'DINI' 5. 'DFINI' 5. ;
CP5 = DROI C P5 'DINI' 5. 'DFINI' 2. ;
P6P1 = DROI P6 P1 'DINI' 1. 'DFINI' 1. ;
*
CT2 = P4P2 ET P2A ET AB ET BP5 ET P5P7 ET L1 ET L2 ET L3
CT3 = P6P1 ET P1D ET DC ET CP5 ET P5P7 ET L3
MAIL1 = SURF CT2 PLANE ;
MAIL2 = SURF CT3 PLANE ;
MAIL = MAIL1 ET MAIL2 ET SS ;
SI ( ega graph 'O') ;
TRAC MAIL ;
finsi;
*-----*
* LEVRES SUP ET INF DE LA FISSURE
LSUP = LVD ;
LINF = LVG ;
*-----*
* CONSTRUCTION DU MODEL
*-----*
YOUN = 7.561E7;
NU1 = 0.286 ;
RH1 = 2.45E-6;
MO=MODE MAIL MECANIQUE ELASTIQUE ISOTROPE;
MAT = MATE MO YOUN YOUN NU NU1 RHO RH1;
*-----*
* RIGIDITE
*-----*
RIG1 = RIGIDITE MO MAT;
*-----*
* CONDITIONS AUX LIMITES ;
*-----*
c11 = bloque UX P1D ;
c12 = bloque UX P2A ;
c14 = bloque UX CP5 ;
c15 = bloque UX BP5 ;
CL3 = BLOQUE UY P5 ;
CLT = CL1 ET CL2 ET CL3 ET CL4 ET CL5 ;
*-----*
*-----*
* Procedure PASAPAS DYNAMIQUE
*-----*

```

```

*-----*
* Matrices de rigidite et de masse
RIG1 = RIG1 ET CLT;
MAST = MASS MO MAT ;
*-----*
* Instant de calcul
*
    TI = 0. ;
si complet;
TF = 20E-6; NP1 = 40 ;
sinon;
tf = ( 20e-6 / 40 ) * 6 ; npl= 6;
finsi;
DT = (TF - TI) / NP1 ;
*-----*
TITRE ' CHARGEMENT : IMPACT DE 0.4E3 ' ;
*-----*
F0 = 0.4E6 ;
L_TEMPS = PROG 0.0 'PAS' DT 'NPAS' (NP1+1);
L_TEMP2 = PROG 0.0 'PAS' DT 'NPAS' NP1 ;
F_TEMPS = PROG ( NP1 + 2 )*F0 ;
*
EVO_FORC = EVOL MANU 'temps' L_TEMPS 'f(t)' F_TEMPS ;
CH1_FORC = PRES 'MASS' MO -1. AB ;
CH3_FORC = PRES 'MASS' MO -1. DC ;
CHP_FORC = CH1_FORC ET CH3_FORC ;
CHARG_T = CHARG 'MECCA' CHP_FORC EVO_FORC;
*
FR_COUP = 0.25 /DT ;
TAB_DYN = TABLE ;
TAB_DYN.DYNAMIQUE = VRAI;
TAB_DYN.MODELE = MO;
TAB_DYN.CARACTERISTIQUES = MAT;
TAB_DYN.BLOCAGES_MECHANIQUES = CLT;
TAB_DYN.CHARGEMENT = CHARG_T;
TAB_DYN.TEMPS_CALCULES = L_TEMP2;
PASAPAS TAB_DYN;

***** tracés *****
SI ( ega graph '0');
trac (vect CHP_FORC 'FORC' 'BLEU') MAIL;
dess EVO_FORC;
isosig2 = prog 0. PAS 0.25E6 5E6;
ntemp2 = dime L_TEMP2;
itemp2 = -1;
repe BDEF0 ntemp2;
    itemp2 = itemp2 + 1;
    temp2 = extr L_TEMP2 (itemp2 + 1);
    u2t = TAB_DYN . DEPLACEMENTS . itemp2;
    sig2t = EXCO 'SMYY' (TAB_DYN . CONTRAINTE . itemp2
    trac sig2t MO (DEFO u2t MAIL 10) isosig2
        'TITR' (chai 'u(t=' temp2 's)' 'NCL';
    xpause = 0.;
    repe bpause 1000;
        xpause = xpause + 1. ;
    fin bpause;
fin BDEF0;
finsi;

*opti donn 5 ;
*-----*
* CALCUL DE G PAR LA METHODE G_THETA
*
*-----*
SUPTAB = TABL ;
SUPTAB.'OBJECTIF' = MOT 'J_DYNA';
SUPTAB.'LEVRE_SUPERIEURE' = LSUP;
SUPTAB.'LEVRE_INFERIEURE' = LINF;
SUPTAB.'FRONT_FISSURE' = P3 ;
SUPTAB.'SOLUTION_PASAPAS' = TAB_DYN;
SUPTAB.'COUCHE' = 3;
*-----*
* Appel DE la procedure G_THETA
*-----*
    G_THETA SUPTAB;
*-----*
* Evolution de G en fonction du temps.
*-----*
SI ( ega graph '0');
    DESS SUPTAB . 'EVOLUTION_RESULTATS' ;
finsi;

*-----*
* Calcul de K
*-----*
ab1 = EXTR (SUPTAB.EVOLUTION_RESULTATS) ABSC;
ORD1 = EXTR (SUPTAB.EVOLUTION_RESULTATS) ORDO;
ORD2 = ((ORD1 * YOUL) /(1 - (0.286**2)))**0.5 ;
K1 = EVOL MANU 'TEMPS' AB1 'K1(t)' ORD2;
SI ( ega graph '0');
    DESS K1 ;
finsi;

```

## GUIDE DE VALIDATION

```
*****
***** SOLUTION ANALYTIQUE *****
*****
*anciennes valeurs de reference (formulation Attigui)
*li2 = prog 82275 2701582 4420771 5525946 ;
*nouvelles valeurs de reference (formulation B Prabel)
KREF = prog 74056. 3.12957E+06 4.34363E+06 5.64263E+06;

***RECUPERATION DU RESULTAT ET COMPARAISONS***
ERRIMAX = prog;
si complet; nfois = 4;
sinon; nfois = 1;
finsi;
I = 1;
REPETER BOU1 nfois;
  I = I + 5;
  J = &BOU1;
  K1REF = extr KREF J ;
  KLCAL = extr ord2 I;
  ERR1 = abs ((KLCAL - K1REF)/K1REF);
  MESS (CHAI 'I=' I ' K1REF=' KEXP ' KLAL='K_CAL
        ' Erreur relative =' ERR1);
  ERRIMAX = ERRIMAX et ERR1;
FIN BOU1;
*LIST ERRIMAX;

ERR1 = maxi ERRIMAX;

***** SI (ERR1 < 5.E-2);
SI (ERR1 < 1.E-2);
  ERRE 0;
SINO;
  ERRE 5;
FINSI;
FIN;
```

### 5.6.13 rupt13.dgibi

|                              |   |
|------------------------------|---|
| <b>Nom du fichier</b>        | rupt13.dgibi  |
| <b>Type de calcul</b>        | Mécanique de la rupture<br>3D   |
| <b>Type d'Eléments Finis</b> | COQ4  |
| <b>Référence</b>             |   |
| <b>Description</b>           | Test de la procédure G_THETA pour le calcul du taux de restitution d'énergie G dans l'épaisseur de la coque                                       |
| <b>Objectif</b>              | Erreur relative sur G <ul style="list-style-type: none"> <li>- &lt; 6,5% à mi-épaisseur</li> <li>- &lt; 9,7% à un quart de l'épaisseur</li> </ul> |
| <b>Version de Cast3M</b>     | CAST3M 2016   |
| <b>Plateformes testées</b>   | IBM AiX<br>Linux 32-bits<br>Linux 64-bits<br>Windows 32-bits<br>Windows 64-bits<br>MAC OSX 64-bits  |

Tableau 67 : Informations sur le cas test rupt13.dgibi



*Figure 123 : Maillage du cas-test rupt13.dgibi*

**Jeu de données :**

```

*fichier : rupt13.dgibi
*****
* Section : Mecanique Endommagement
*****
OPTION echo 1 ; ; ; ; ;
GRAPH = 'N' ; ; ; ; ;
SAUT PAGE ; ; ; ; ;
*
** LE TAUX G DANS L'EPAILLAGE : NOUVELLE TECHNIQUE
** ICOQU = 1 ELEMENTS 'DKT'
** ICOQU = 2 ELEMENTS 'DST'
** ICOQU = 3 ELEMENTS 'COQ6'
** ICOQU = 4 ELEMENTS 'COQ4'
** ICOQU = 5 ELEMENTS 'COQ8'

** ICHAR = 1 FLEXION PURE
** ICHAR = 2 FLEXION + MEMBRANE
** ICHAR = 3 FORCE SUR LA FISSURE
** ICHAR = 4 CHARGEMENTS MECANIQUES
** ICHAR = 5 CHARGEMENTS 3 + 4

** IMATE = 1 ELASTICITE
** IMATE = 2 ELASTO PLASTICITE

** IELEM = NUMERO DE L'ELEMENT PROCHE DE LA FISSURE
*****
* SAISIE DES PARAMETRES DE MAILLAGE *
*****
* CHOIX DES CHAMPS SINGULIERS

IELEM = 53;
*
* TYPE DE CHARGEMENT
ICHAR = 1;
*
* TYPE DE MATERIAU
IMATE = 1;
*
* EPAILLAGE TOTALE DE L'EPROUVEtte
EPAI_T = .7 * 40;
*
* TYPE D'ELEMENTS DE COQUE
ICOQU = 4;
*
* NOMBRE DE MULTICOUCHES
NB_MUL = 21;
*
* EPAILLAGE DE LA COUCHE POUR DETERMINER LE RAPPORT D'ENERGIE
EPAI_C = EPAI_T * 1.E-6;
*
* ----- A/W :
RAP1 = 0.25 ;
*
* ----- H/W :
RAP2 = 4. ;
*
* ----- W :
W = 70. ;
*
* LARGEUR DE BANDE DEPOSEE (POUR UN METAL BIPHASE)
LDEP = 10. ;
*
* EPROUVEtte SENB OU CCP ? (VAL = 0 OU VAL = 1) ;
VAL = 1 ;
*
* TAILLE DE MAILLE EN POINTE DE FISSURE
TM = .2 ;
*
* NOMBRE DE DECOUPE SUR 45 DEGRES ;
N = 4 ;
*****
***** ELEMENTS ET FORMULATIONS *****
*****
SI (EGA ICOQU 1);
MOT_E = TEXT 'TRI3'; REP = 0 ; MOT_S = TEXT 'SEG2';
MOT_F1 = TEXT 'DKT'; MOT_F2 = TEXT '      ';
FINSI;
SI (EGA ICOQU 2);
MOT_E = TEXT 'TRI3'; REP = 0 ; MOT_S = TEXT 'SEG2';
MOT_F1 = TEXT 'DST'; MOT_F2 = TEXT '      ';
FINSI;
FINSI;
SI (EGA ICOQU 3);
MOT_E = TEXT 'TRI6'; REP = 0 ; MOT_S = TEXT 'SEG3';
MOT_F1 = TEXT 'COQ6'; MOT_F2 = TEXT '      ';
FINSI;
SI (EGA ICOQU 4);
MOT_E = TEXT 'QUA4'; REP = 1 ; MOT_S = TEXT 'SEG2';
MOT_F1 = TEXT 'COQ4'; MOT_F2 = TEXT 'DST';
FINSI;
SI (EGA ICOQU 5);
MOT_E = TEXT 'QUA8'; REP = 1 ; MOT_S = TEXT 'SEG3';
MOT_F1 = TEXT 'COQ8'; MOT_F2 = TEXT 'COQ6';
FINSI;
FINSI;
*****
***** PARAMETRES INTERMEDIAIRES *****
*****
LCRITW = (W * (1. - RAP1)) ;
LCRITA = W * RAP1 ;
*DEMI-COTE DU CARRE
C = MINI (PROG (W / 5.) LDEP LCRITA LCRITW) ;
*RAYON DU DISQUE
R = C / 2. ;
*DENSITE EN PERIPHERIE DE DISQUE
*TE = R / 10. ;
TE = 1.5 * ((PI * R) / (4. * N)) ;
*DENSITE AU PREMIER ARC
SI (EGA REP 1);
TA = TM * 2. ;
SINON ;
TA = TM ;
FINSI ;
*MOMENT D'INERTIE
IX = W * (EPAI_T ** 3) / 12;
*****
* MAILLAGE *
*****
*---*
*** PARTIE CIRCULAIRE AUTOUR DE LA POINTE DE FISSURE ***
*---*
OPTI ECHO 1 DIME 2 ELEM MOT_E ;
P0 = 0. 0. ;
P1 = (RAP1 * W) 0. ;
DENS TA ;
SI (REP EGA 0) ;
P2 = P1 PLUS (TM 0.) ;
SINON ;
P2 = P1 PLUS ((TM * N * 2.) 0.) ;
SI ((TM * N * 2.) > R) ;
NC = R / 2. ;
OPTI ECHO 0 ;
MESS 'LE PRODUIT (TM * N) DOIT ETRE INFERIEUR A' NC ;
OPTI ECHO 1 ;
FINSI ;
FINSI ;
DENS TE ;
P10 = P1 PLUS (R 0.) ;
LIGAM0 = P2 D P10 ;

SU21 = LIGAM0 ROTA N 45. P1 ;
L21 = SU21 COTE 4 ;
C21 = SU21 COTE 2 ;
SU22 = (SU21 COTE 3) ROTA N 45. P1 ;
L22 = SU22 COTE 2 ;
C22 = SU22 COTE 4 ;
SU23 = (SU22 COTE 3) ROTA N 45. P1 ;
L23 = SU23 COTE 4 ;
C23 = SU23 COTE 2 ;
SU24 = (SU23 COTE 3) ROTA N 45. P1 ;
L24 = SU24 COTE 2 ;
C24 = SU24 COTE 4 ;

RAC = L21 ET L22 ET L23 ET L24 ;
SU2 = SU21 ET SU22 ET SU23 ET SU24 ;

SI (EGA REP 0) ;
SU0 = COUT P1 RAC ;
SU0L = CHAN SU0 LIGNE ;
P01 = (P1 PLUS P2) / 2. ;
LIGO = SU0L ELEM APPUYE STRICTEMENT (P1 ET (SU0 P0IN PROC P01)
ET P2) ;
LIGAM0 = LIGAM0 ET LIGO ;
L1 = LIGAM0 ;
SINON ;
DENS TM ;
QAD = P1 PLUS ((TM * N) 0.) ;

```

## GUIDE DE VALIDATION

```

QAG = P1 MOIN ((TM * N) 0.) ;
BASD = P1 D N QAD ;
BASG = P1 D N QAG ;
BAS = ORDO (BASG ET BASD) ;
PAVE = BAS TRANS N (0. (TM * N)) ;
COPAV1 = PAVE COTE 2 ;
COPAV2 = PAVE COTE 3 ;
COPAV3 = PAVE COTE 4 ;
COPAV = COPAV1 ET COPAV2 ET COPAV3 ;
DEC = (ENTI (N / 1.2)) * (-1) ;
JONCG = QAD D P2 ;
JONCG = QAG D (SU24 POIN PROC QAG) ;
SUON = DALL COPAV JONCG RAC JONCG PLAN ;
SUO = SUON ET PAVE ;
LIGO = BASD ET JONCG ;
LIGAMO = LIGAMO ET LIGO ;
L1 = LIGAMO ;
FINSI ;

*-----
*** CARRE EXTERIEUR AUTOUR DU FOND DE FISSURE ***
*-----


DENS (2. * TE) ;
PDB = P1 PLUS (C 0.) ;
PDH = P1 PLUS (C C) ;
PMH = P1 PLUS (0. C) ;
PGH = P1 PLUS (((-1) * C) C) ;
PGB = P1 PLUS (((-1) * C) 0.) ;

CARD = PDB D N PDH ;
CARHD = PDH D N PMH ;
CARHG = PMH D N PGH ;
CARG = PGH D N PGB ;

DECC = ((-1) * (ENTI ((C - R) / (1. * TE)))) - 1 ;

DIAD = (C21 POIN INITIAL) D DECC PDB ;
DIADH = (C22 POIN FINAL) D DECC PDH ;
DIAM = (C23 POIN INITIAL) D DECC PMH ;
DIAGH = (C24 POIN FINAL) D DECC PGH ;
DIAG = (C24 POIN INITIAL) D DECC PGB ;

SU3 = DALL C21 DIADH CARD DIAD PLAN;
SU4 = (DALL C22 DIAM CARHD DIADH PLAN) ET
(DALL C23 DIAGH CARHG DIAM PLAN) ;
SU5 = DALL C24 DIAG CARG DIAGH PLAN ;

CARRE = SU0 ET SU2 ET SU3 ET SU4 ET SU5 ;
LIGAM1 = LIGAMO ET DIAD ;

*-----
*** PARTIE METAL DEPOSE ***
*-----


CLCRITW = (C < (LCRITW + 0.01)) ET (C > (LCRITW - 0.01)) ;
CLCRITA = (C < (LCRITA + 0.01)) ET (C > (LCRITA - 0.01)) ;
CLDEP = (C < (LDEP + 0.01)) ET (C > (LDEP - 0.01)) ;

SI ((NON CLCRITW) ET (NON CLCRITA)) ;
* MESS 'CAS GENERAL' ;

VIL = 0. (LDEP - C) ;
VTG = (((-1) * (LCRITA - C)) 0.) ;
VID = (LCRITW - C) 0. ;
NFL = ENTI ((LDEP - C) / (MESU (CARHD ELEM 1) LONG)) ;
NFG = ENTI ((LCRITA - C) / (MESU (CARG ELEM 1) LONG)) ;
NFD = ENTI ((LCRITW - C) / (MESU (CARD ELEM 1) LONG)) ;
SI (NFG EGA 0) ;
NFG = 1 ;
SU7 = CARG TRAN NFG VTG ;
SINON ;
DENSI = (MESU (CARG ELEM 1) LONG) ;
DENSF = DENSI * (1 + (NFG / 20.)) ;
SU7 = CARG TRAN 'DINI' DENSI 'DFIN' DENSF VTG ;
FINSI ;
SI (NFD EGA 0) ;
NFD = 1 ;
SU6 = CARD TRAN NFD VID ;
SINON ;
DENSI = (MESU (CARD ELEM 1) LONG) ;
DENSF = DENSI * (1 + (NFD / 20.)) ;
SU6 = CARD TRAN 'DINI' DENSI 'DFIN' DENSF VID ;
FINSI ;
L8 = (SU7 COTE 4) ET (SU6 COTE 2) ET CARHD ET CARHG ;
L8 = ORDO L8 ;
SI (CLDEP) ;
* MESS 'CAS CRITIQUE LDEP' ;
MDEP = CARRE ET SU6 ET SU7 ;
LBB = INVE L8 ;
LIGAM = LIGAM1 ET (SU6 COTE 4) ;
LSYMI = (SU7 COTE 3) ;
SINON ;
SI (NFL EGA 0) ;
NFL = 1 ;
SU8 = L8 TRAN NFL VIL ;
SINON ;
DENSI = (MESU (CARHD ELEM 1) LONG) ;
DENSF = DENSI * (1 + (NFL / 10.)) ;
SU8 = L8 TRAN 'DINI' DENSI 'DFIN' DENSF VIL ;
FINSI ;
MDEP = CARRE ET SU7 ET SU8 ;
L8B = SU8 COTE 3 ;
LIGAM = LIGAM1 ;
LSYMI = (SU7 COTE 3) ET (SU8 COTE 4) ;
FINSI ;
FINSI ;

SI (CLCRITA) ;
* MESS 'CAS CRITIQUE A' ;
VIL = 0. (LDEP - C) ;
VTT = (LCRITW - C) 0. ;
NFL = ENTI ((LDEP - C) / (MESU (CARHD ELEM 1) LONG)) ;
NFT = ENTI ((LCRITW - C) / (MESU (CARD ELEM 1) LONG)) ;
SI (NFT EGA 0) ;
NFT = 1 ;
SU6 = CARD TRAN NFL VTT ;
SINON ;
DENSI = (MESU (CARD ELEM 1) LONG) ;
DENSF = DENSI * (1 + (NFT / 20.)) ;
SU6 = CARD TRAN 'DINI' DENSI 'DFIN' DENSF VTT ;
FINSI ;
L8 = (SU6 COTE 2) ET CARHD ET CARHG ;
L8 = ORDO L8 ;
SI (CLDEP) ;
* MESS 'CAS CRITIQUE LDEP ET LCRITA' ;
MDEP = CARRE ET SU6 ;
L8B = L8 ;
LIGAM = LIGAM1 ET (SU6 COTE 4) ;
LSYMI = CARG ;
SINON ;
SI (NFL EGA 0) ;
NFL = 1 ;
SU8 = L8 TRAN NFL VIL ;
SINON ;
DENSI = (MESU (CARHD ELEM 1) LONG) ;
DENSF = DENSI * (1 + (NFL / 10.)) ;
SU8 = L8 TRAN 'DINI' DENSI 'DFIN' DENSF VIL ;
FINSI ;
MDEP = CARRE ET SU6 ET SU8 ;
L8B = SU8 COTE 3 ;
L8B = INVE L8B ;
LIGAM = LIGAM1 ET (SU6 COTE 4) ;
LSYMI = (SU8 COTE 2) ET CARG ;
FINSI ;
FINSI ;

L8B = ORDO L8B ;
PPI = L8B POIN INITIAL ;PF = L8B POIN FINAL ;
LU = (MESU L8B LONG) / (NBEL L8B) * 1.2 ;
FRON1 = (PPI PLUS (0. LU)) D (ENTI ((NBEL L8B) / 1.51)) ;
(PF PLUS (0. LU)) ;
LUB = ((MESU FRON1 LONG) / (NBEL FRON1)) * 1.2 ;

```

```

PIB = FRON1 POIN INITIAL ;PFB = FRON1 POIN FINAL ;
FRON2 = (PIB PLUS (0. LUB)) D (ENTI ((NBEL FRON1) / 1.51))
 (PFB PLUS (0. LUB)) ;

JOIN1 = COUT L8B FRON1 ;
JOIN2 = COUT FRON1 FRON2 ;
JOIN = JOIN1 ET JOIN2 ;
JOINL = CHAN JOIN LIGNE ;
JOINP = JOINL POIN DROIT P0 (P0 PLUS (0. 10.)) (TM / 10.) ;
LSYM2 = JOINL ELEM APPUYE STRICTEMENT JOINP ;
LSYM1 = JOINL ELEM APPUYE STRICTEMENT JOINP ;

LREST = ((W * RAP2) / 2.) - (LDEP + LU + LUB) ;
VT = 0. LREST ;
LE = MESU (FRON2 ELEM 1) LONG ;
CORP = FRON2 TRAN (ENTI (LREST / LE)) VT ;
LSYM3 = CORP COTE 2 ;
PINIF = LIGAM POIN INITIAL;

*-----*
*PARTICULARITE POUR UN CCP *
*-----*

SI (VAL EGA 1) ;
MBAS = CORP ET JOIN ;
*PLAN VERTICALE DE SYMETRIE
LSYM = LSYM1 ET LSYM2 ET LSYM3 ;
LSYM = LSYM COUL VERT ;
*FACE DE CHARGEMENT
SCHAR = CORP COTE 3 ;
SCHAR = SCHAR COUL ROUG ;
*LIGAMENT
LIGAM = LIGAM COUL BLEU ;
*MAILLAGE COMPLET
CCP = MBAS ET MDEP ;
TITR 'EPROUVEILLE CCP' ;
* TRAC (CCP ET LIGAM ET LSYM ET SCHAR) ;
FINSI ;

*-----*
*PARTICULARITE POUR UN SENB *
*-----*

SI (VAL EGA 0) ;
LRESID = CORP COTE 3 ;
RESID = LRESID TRAN 1 (0. LE) ;
MBAS = CORP ET JOIN ET RESID ;
*APPUI
PAP = P0 PLUS (0. ((RAP2 / 2.) * W)) ;
PAP = MBAS POIN PROC PAP ;
PAP = MANU PAP POI1 VERT ;
*POINT D'APPLICATION DE LA FORCE
PCHAR = P0 PLUS (W 0.) ;
PCHAR = MDEP POIN PROC PCHAR ;
PCHAR = MANU PCHAR POI1 ROUG ;
*LIGAMENT
LIGAM = LIGAM COUL BLEU ;
*MAILLAGE COMPLET
SENB = MBAS ET MDEP ;
TITR 'EPROUVEILLE SENB' ;
TRAC (SENB ET LIGAM ET PAP ET PCHAR) ;
FINSI ;
*PFISIN = LSYM POIN INIT;
CT1 = CONT CCP;
PSUP = (CT1 DIFF (LIGAM ET LSYM)) POIN DROI PFISIN P1;
CT2 = CHAN MOT_S CT1;
LIFISI = CT2 ELEM APPU STRI PSUP;
LLBB = ORDO (LIGAM ET LIFISI); LLBB = INVE LLBB;
CCP = ORIE CCP ;
*
* PREMIERE COUCHE D'ELEMENT AUTOUR DE LA FISSURE
*
ELEFIS = CCP ELEM MOT_E IELEM;
*
* FIN DE LA DEFINITION DE LA GEOMETRIE
*
OPTI DIME 3 MODE TRID;
*
* COURBE DE TRACTION
*
YOUN1 = 2.E05;
NU1 = 0.3;
ALPH1 = 1.E-6;
YIEL1 = 4.E02;
ALPH1 = 0.5;
NEXPOL = 7;
SIG0 = 1.E02;
EPS0 = SIG0 / YOUN1;
LSIGM = PROG 0. SIG0;
LEPSI = PROG 0. EPS0;
NPoin = 50;
EPSTOT = 5. ;
SS1 = (EPSTOT*YOUN1/YIEL1/ALPH1)**(1./NEXPOL);
SS1 = YIEL1 * SS1 / NPoin;
REPETER BC1 NPoin;
SIG1 = SS1*&BC1;

SI (< SIG1 SIG0); ITER BC1; FINSI;
EPS1 = (((SIG1*YIEL1)**(NEXPOL - 1))*ALPH1) + 1. ;
EPS1 = EPS1 * SIG1 / YOUN1;
LSIGM = LSIGM ET (PROG SIG1);
LEPSI = LEPSI ET (PROG EPS1);
FIN BC1;
TRAC1 = EVOL MANU 'EPSI' LEPSI 'SIGM' LSIGM;
SI (EGA IMATE 2); DESS TRAC1; FINSI;
*
* EPAISSEUR ET EXCENTREMENT
*
EPAI_I = (EPAI_T - (EPAI_C*NB_MUL))/(NB_MUL - 1);
TBEPAI = TABLE; TBEXCE = TABLE;
REPETER BC_MUL1 ((2*NB_MUL) - 1);
III = (&BC_MUL1 - NB_MUL) / 2. ;
TBEXCE.&BC_MUL1 = (EPAI_I + EPAI_C)*III;
SI (EGA 0. ((&BC_MUL1/2.) - (&BC_MUL1/2)) 1.E-10);
TBEPAI.&BC_MUL1 = EPAI_I;
SINON;
TBEPAI.&BC_MUL1 = EPAI_C;
FINSI;
FIN BC_MUL1;
*
* DEFINITION DES MODELES ET DU MATERIAU
*
SI (EGA IMATE 1);
MPL1 = TEXT ' ' ; MIR1 = TEXT ' ' ; MTR2 = TEXT ' ' ;
FINSI;
SI (EGA IMATE 2);
MPL1 = TEXT 'PLASTIQUE'; MIR1 = TEXT 'TRAC'; MTR2 = TRAC1;
EVOL = EVOL MANU 'Temps' (PROG 0 1.E10) 'F(t)' (PROG 0 1.E10);
FINSI;
REPETER BC_MUL2 ((2*NB_MUL) - 1);
SI (EGA &BC_MUL2 1);
MOD_MUL = MODE ELEFIS MECANIQUE ELASTIQUE
MPL1 MOT_F1 MOT_F2 CONS (CHAI &BC_MUL2);
MAT_MUL = MATE MOD_MUL YOUN YOUN1 NU NU1 ALPH ALPH1 MIR1
MTR2 EPAI TBEPAI.&BC_MUL2 EXCE TBEXCE.&BC_MUL2;
SINON;
MOD_MUL1 = MODE ELEFIS MECANIQUE ELASTIQUE
MPL1 MOT_F1 MOT_F2 CONS (CHAI &BC_MUL2);
MAT_MUL1 = MATE MOD_MUL1 YOUN YOUN1 NU NU1 ALPH ALPH1 MIR1
MTR2 EPAI TBEPAI.&BC_MUL2 EXCE TBEXCE.&BC_MUL2;
MOD_MUL = MOD_MUL ET MOD_MUL1;
MAT_MUL = MAT_MUL ET MAT_MUL1;
FINSI;
FIN BC_MUL2;
MOD_R = MODE (CCP DIFF ELEFIS) MECANIQUE ELASTIQUE MPL1 MOT_F1 MOT_F2;
MAT_R = MATE MOD_R YOUN YOUN1 NU NU1 ALPH ALPH1 MIR1 MTR2 EPAI EPAI_T;
M01 = MOD_MUL ET MOD_R;
M01 = MAT_MUL ET MAT_R;
RIGO = RIGI M01 M01;
*
* DEFINITION DES CONDITIONS AUX LIMITES
*
BL1 = BLOQ UY RX RZ LIGAM;
BL2 = BLOQ UX RY RZ LSYM;
BL3 = BLOQ UZ SCHAR;
BLT = BL1 ET BL2 ET BL3;
*
* CHARGEMENT : MOMENT DE FLEXION
*
SIGMAX = 10. ;
MOMTOT = SIGMAX * (W * (EPAI_T ** 2) / 6.);
ROTATI = (MOMTOT / (YOUN1 * IX)) * (2 * W);
PINICH = SCHAR POIN INITIAL;
PFINCH = SCHAR POIN FINAL;
SCHAR = SCHAR CHAN POI1;
PMILCH = SCHAR DIFF (PINICH ET PFINCH);
MOEXT = MOMTOT / ((NENO SCHAR) - 1);
MOMIL = MOEXT * (NENO PMILCH);
F01 = (MOME MX MOEXT (PINICH ET PFINCH)) ET (MOME MX MOMIL PMILCH);
FYTOT = SIGMAX * W * EPAI_T;
FYEXT = FYTOT / ((NENO SCHAR) - 1);
FYMIL = FYEXT * (NENO PMILCH);
F02 = (FORC FY FYEXT (PINICH ET PFINCH)) ET (FORC FY FYMIL PMILCH);
LFOR1 = LIFISI ELEM APPU LARG P1;
LFOR1 = LIFISI ELEM APPU LARG LFOR1;
LFOR1 = LIFISI ELEM APPU LARG LFOR1;
FO3 = FORC (0 1000. 800.) (LIFISI DIFF LFOR1);
EVI = EVOL MANU 'XL' (PROG 0 70) (PROG -0.0005 0);
TEMP1 = VARI EVI (COOR 1 CCP) 'T';
TEMP2 = VARI EVI (COOR 1 CCP) 'TINF';
TEMP3 = VARI EVI (COOR 1 CCP) 'TSUP';
TT = TEMP1 ET TEMP2 ET TEMP3;
SIGT1 = THET TT M01 MA0;
FO4 = BSIG SIGT1 M01 MA0 ;
SI (EGA ICHAR 1); FOEXT = F01; FINSI;
SI (EGA ICHAR 2); FOEXT = F01 ET F02; FINSI;
SI (EGA ICHAR 3); FOEXT = F03; FINSI;
SI (EGA ICHAR 4); FOEXT = F04; FINSI;
SI (EGA ICHAR 5); FOEXT = F04 ET F03; FINSI;
*
* RESOLUTION
*
SI (EGA IMATE 1);

```

## GUIDE DE VALIDATION

```

DEPL = RESO (RIGO ET BLT) FOEXT;
FINSI;
SI (EGA IMATE 2);
SI (EGA ICHAR 4); FOEXT = FOEXT * 0.; FINSI;
TBTEMP = TABLE;
TBTEMP.0 = TT * 0.; TBTEMP.1 = TT * 2.; TBTEMP.2 = TT * 5.;
TBTEMP.3 = TT * 8.; TBTEMP.4 = TT * 12.; TBTEMP.5 = TT * 20.;
TBTIME = TABLE;
TBTIME.0 = 0.; TBTIME.1 = 0.5; TBTIME.2 = 1.3;
TBTIME.3 = 3.6; TBTIME.4 = 4.7; TBTIME.2 = 8.;
CHA1 = (CHAR 'MECA' EVO1 FOEXT) ET (CHAR 'T' TBTIME TBTEMP);
LIST1 = PROG 1. 3. 5;
TABTOUT = TABLE;
TABTOUT.BLOCAGES_MECANIQUES = BLT;
TABTOUT.CARACTERISTIQUES = MA0;
TABTOUT.MODELE = M01;
TABTOUT.CHARGEMENT = CHA1;
TABTOUTTEMPS_CALCULES = LIST1;
TABTOUT.MAXITERATION = 99;
PASAPAS TABTOUT;
FINSI;
*****
***** SOLUTION NUMERIQUE DE G (PROCEDURE G_THETA)
*****
SUPTAB = TABLE;
SUPTAB.'OBJECTIF' = MOT 'J';
SUPTAB.'LEVRE_SUPERIEURE' = LIFISI;
SUPTAB.'FRONT_FISSURE' = P1;
SUPTAB.'ELEMENT_MULTICOUCHE' = ELEFIS ;
*
SI (EGA IMATE 1);
SUPTAB.'SOLUTION_RESO' = DEPL;
SUPTAB.'CARACTERISTIQUES' = MA0;
SUPTAB.'MODELE' = M01;
SUPTAB.'CHARGEMENTS_MECANIQUES' = FOEXT;
SI ((EGA ICHAR 4) OU (EGA ICHAR 5));
SUPTAB.'TEMPERATURES' = (TEMP1 ET TEMP2 ET TEMP3);
SI (EGA ICHAR 4);
SUPTAB.'CHARGEMENTS_MECANIQUES' = FOEXT *0. ;
FINSI;
SI (EGA ICHAR 5);
SUPTAB.'CHARGEMENTS_MECANIQUES' = FO3;
FINSI;
FINSI;
FINSI;
SI (EGA IMATE 2);
SUPTAB.'SOLUTION_PASAPAS' = TABTOUT;
FINSI;

```

---

```

FINSI;
NBOUCH = 1; PC = PROG; PG = PROG;
*****
REPETER SU01 NBOUCH;
SUPTAB.'COUCHE' = 6 ;
G_THETA SUPTAB;
FIN SU01;
G_COQUE = EXTR SUPTAB.EPAISSEUR_RESULTATS ORDO;
COQUE05 = EXTR G_COQUE 21;
COQUE025 = EXTR G_COQUE 16;
mess ' ' ;
mess ' ' ;
mess ' ' ;
mess ' Integral J par elements coques en peau (z=h/2) :' COQUE05 ;
mess ' Solution SIF par elements massifs en peau : 1.77858E-02 ' ;
mess ' ' ;
mess ' Integral J par elements coques a z=h/4 :' COQUE025 ;
mess ' Solution SIF par elements massifs a z=h/4 : 4.38290E-03 ' ;
*CODE FONCTIONNEMENT ;
ERR1 = ABS ((COQUE05 - 1.77858E-02)/1.77858E-02);
ERR2 = ABS ((COQUE025 - 4.38290E-03)/4.38290E-03);
mess ' ' ;
SI ((ERR1 < 6.5E-2) et (ERR2 < 9.7E-2)) ;
ERRE 0 ;
SINO ;
ERRE 5 ;
FINSI ;
fin;

```

## 5.6.14 rupt14-weib.dgibi

|                              |  |
|------------------------------|--|
| <b>Nom du fichier</b>        | rupt14-weib.dgibi  |
| <b>Type de calcul</b>        | Mécanique de la rupture<br>2D mode axisymétrique<br>3D   |
| <b>Type d'Eléments Finis</b> | 2D : QUA8<br>3D : CU20   |
| <b>Référence</b>             |  |
| <b>Description</b>           | Test du critère de Weibull (calcul par la procédure CRITLOC) pour un cylindre en traction modelisé en axisymétrique et en 3D.<br>Les résultats 2D axi et 3D sont comparés entre eux. |
| <b>Objectif</b>              | Écart relatif entre calcul 2D axi et 3D < 10% sur la contrainte de Weibull   |
| <b>Version de Cast3M</b>     | CAST3M 2016  |
| <b>Plateformes testées</b>   | IBM AiX<br>Linux 32-bits<br>Linux 64-bits<br>Windows 32-bits<br>Windows 64-bits<br>MAC OSX 64-bits   |

Tableau 68 : Informations sur le cas test rupt14-weib.dgibi

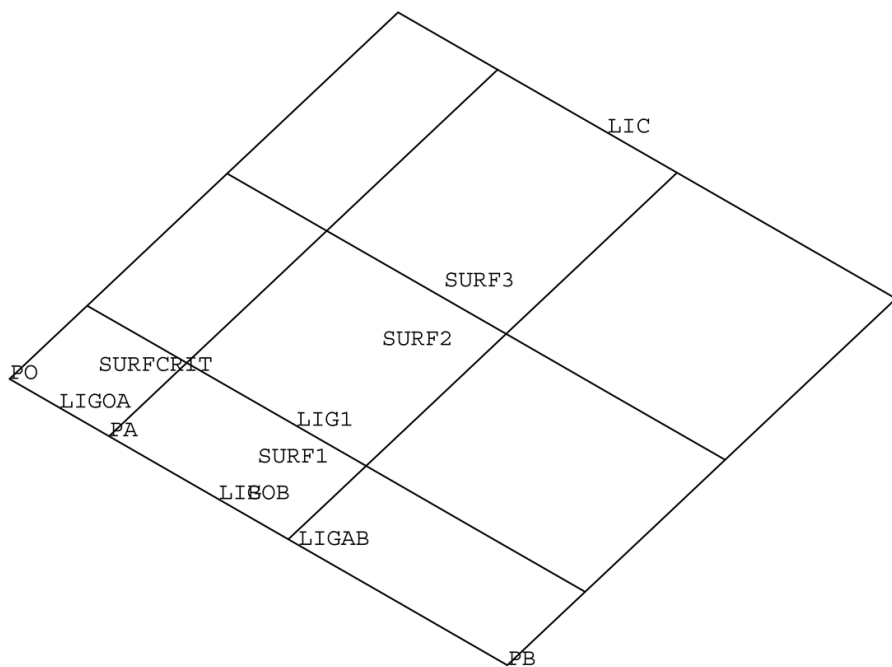


Figure 124 : Maillage du cas-test rupt14-weib.dgibi en 2D

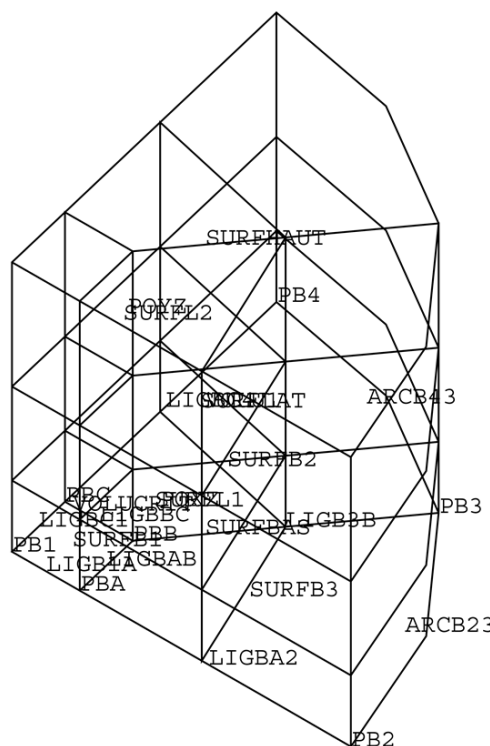


Figure 125 : Maillage du cas-test rupt14-weib.dgibi en 3D

## Jeu de données :

```

* fichier : rupt14-weib.dgibi
***** Section : Mecanique Endommagement *****
*-----*
*-----*
*      Test du critère de Weibull pour un cylindre
*      en traction modelisé en axisymétrique et en 3D
*-----*
*-----*
*-----*
*      opti echo 1      ; monop=faux;
*                  paramètres pour calculer sigma w
m = 22. ; v0 = 0.000125 ; sigu = 2530. ; ic = 1. ; n = 2.
*-----*
*-----*
*-----*
*      MODELE AXISYMETRIQUE
*-----*
*-----*
*-----*
*      Maillage
*-----*
*      opti elem qua8 dime 2 mode axis
*-----*
*      densites utilisees
l1 = 0.25 ;d1 = 50e-3 ; d2 = 120e-3 ; d11 = d1/10.
*-----*
*      coordonnees des points
po = 0. 0. ; pb = l1 0. ; pc = 0. d1 ; pd = 0. l1
pa = d1 0.
*-----*
*      definition des lignes
ligoa = droi po pa 1
ligab = droi pa pb 'DINI' 0.08 'DFIN' 0.12
ligob = ligoa et ligab
surf1 = ligob tran 1 pc
*-----*
lig1 = cote 3 surf1
*-----*
*      création de la surface
surf3 = lig1 tran 'DINI' 0.08 'DFIN' 0.12 (0. (l1-d1))
surf2 = surf1 et surf3
*-----*
*      extraction des lignes
lib = cote 1 surf2
lic = cote 3 surf2
*-----*
elim surf2 1e-3
*-----*
*      création du modèle
*-----*
modl = mode surf2 mecanique elastique plastique
*-----*
*      définition du matériau
*-----*
*      courbe de traction
peps = prog 0. 0.0026 0.0027 0.0030 0.0035 0.0045 0.0065 0.0085
      0.0105 0.0125 0.0176 0.0227 0.0329
psig = prog 0. 503. 503. 503. 503. 503. 503. 503. 503. 516. 538.
      557. 594.
tracevt = evol manu 'eps' peps 'sig' psig
*-----*
matl = mate modl youn (503./0.0026) nu 0.3 tract tracevt
*-----*
*      rigidité
*-----*
cdl0 = bloq uz lib
cdl2 = bloq uz lic
depl = depi cdl2 4e-3
forcevt = evol manu abs (prog 0. 1.) ord (prog 0. 1.)
fol = char 'DIMP' depi forcevt
*-----*
*      définition de la table d'entrée
*-----*
tabl = table
tabl.caracteristiques = matl
tabl.modele = modl
tabl.bloccages_mecaniques = cdl0 et cdl2
tabl.chargement = fol
tabl.temps_calcules = (prog 0. pas 0.5 1.)
*-----*
*-----*
*      procédure de calcul
*-----*
IMASAU=tabl;
tabl !MPS SAUVEGARDES'=IMASAU;
```

```

IMASAU .'DEF10' =VRAI;
IMASAU .'DEFIN'=VRAI;
tabl.'NB_EL_PARA'= 2;
pasapas tabl
*
*****
* Calcul de la contrainte de Weibull axi
*****
*
* zone du criterie
surfcrit = elem surf2 1
zonel = redu modl surfcrit;
*
enttabl = table
enttabl.'XMULT' = 2.
enttabl.'OBJMO' = zonel
enttabl.'WEIBULL' = vrai
enttabl.'INONL' = tabl
enttabl.'M' = m ; enttabl.'V0' = v0 ; enttabl.'SIGU' = sigu
enttabl.'IC' = ic ; enttabl.'N' = n
enttabl.'TEMPER' = 0
*
sortabl = critloc enttabl;
*
sigwaxi = (sortabl.'SIGW').1.
*
*****
* MODELE 3D
*
*****
* Maillage
*
*****  

opti dime 3 elem cu20 mode trid
*
* variables
al = 2**(-0.5)
l1 = 50e-3 ; l2 = 250e-3 ; oeil = 2 -1000 300
*
* coordonnees des points
pbl = 0. 0. 0. ; pba = 11 0. 0. ; pbc = 0. 11 0.
pbb = 11 11 0. ; pb2 = 12 0. 0. ; pb3 = (l2*al) (l2*al) 0.
pb4 = 0. 12 0. ; ph1 = 0. 0. 12
*
* densites utilisees
d1 = 80e-3 ; d2 = 120e-3
*
* definition des lignes
ligbla = droit 1 pbl pba
ligbab = droit 1 pba pbb
ligbbc = droit 1 pbb pbc
ligbcl = droit 1 pbc pbl
ligba2 = droit pba pb2 dini 1 dfin d2
ligb3b = droit 2 pb3 pbb
ligbc4 = droit pbc pb4 dini 1 dfin d2
arcb23 = cerc 1 pb2 pbl pb3
arcb43 = cerc 1 pb4 pbl pb3
*
* definition de la surface du bas
surfbl1 = dall ligbla ligbab ligbbc ligbcl plan
surfbl2 = dall ligbab3b ligbbc ligbc4 arcb43 plan
surfbl3 = dall ligba2 arcb23 ligb3b ligbab plan
surfbas = surfbl1 et surfbl2 et surfbl3
*
* creation du volume
volul = surfbas volu dini l1 dfin d2 tran ph1
surfhaul = face 2 volul
surflat = face 3 volul
*
* extraction des surfaces laterales
*surface oxzz
poxz = poin surflat plan pbl (2. 0. 2.) (0. 0. 2.) (1e-3)
surfll1 = elem surflat appu strict poxz
*surface poyz
poyz = poin surflat plan pbl pb4 ph1 (1e-3)
surfll2 = elem surflat appu strict poyz
*
elim volul (1e-3)
elim (surfbas et surfhaul et surfll1 et surfll2) (1e-3)
*
*****
* conditions de symetrie
*****
condil1 = symt dep1 pbl ph1 pb2 volul (1e-3)
condi2 = symt dep1 pbl ph1 pb4 volul (1e-3)
condi3 = symt dep1 pbl pb2 pb4 volul (1e-3)
condit = condil1 et condi2 et condi3
*
*****
* creation du modele
*****
mod2 = MODE volul mecanique elastique plastique
*
```

## GUIDE DE VALIDATION

```
*****
* definition du materiau *
*****
mate2 = MATE mod2 young (503./0.0026) nu 0.3 tract tracevt ; *
***** rigidite *****
rigl = b1og uz surfbas ;*
rigl = condit et b1ol ;*
rig2 = b1og uz surfhaut ;*
rigt = rigl et rig2 ;*
dep2 = depi rig2 (4e-3) ;*
forcevt = evol manu abs (prog 0. 1.) ord (prog 0. 1.) ;*
fo2 = char 'DIMP' dep2 forcevt ;*
***** definition de la table d'entree *****
tab2 = table ;*
tab2.'CARACTERISTIQUES' = mate2 ;*
tab2.'MODELE' = mod2 ;*
tab2.'BLOCAGES_MECANIQUES' = rigt ;*
tab2.'CHARGEMENT' = fo2 ;*
tab2.'TEMPS_CALCULES' = (prog 0. pas 0.5 1.) ;*
***** procedure de calcul ;*
IMASAU=table;
tab2 . 'MES_SAUVAGEARDES'=IMASAU;
IMASAU .'DEFTO'=VRAI;
IMASAU .'DEFIN'=VRAI;

pasapas tab2 ;*
***** Calcul de la contrainte de Weibull 3D *****
* zone du criterie *
volucrit = volul elem contenant pbl ;*
zone2 = redu mod2 volucrit;
```

---

```
*****
* enttab2 = table ;*
enttab2.'XMULT' = 8. ;*
enttab2.'OBJMO' = zone2 ;*
enttab2.'WEIBULL' = vrai ;*
enttab2.'TNONL' = tab2 ;*
enttab2.'M' = m ; enttab2.'V0' = v0 ; enttab2.'SIGU' = sigu ;*
enttab2.'IC' = ic ; enttab2.'N' = n ;*
enttab2.'TEMPER' = 0 ;*
sortab2 = critloc enttab2 ;*
sigw3d = (sortab2.'SIGW').1. ;*
***** Test d'erreur *****
ecart = ( abs(sigwaxi-sigw3d) ) / sigwaxi ;*
mess 'ecart relatif : ' (ecart*100.) '%';*
si (ecart < 0.1) erre 0 ;*
sinon erre 5 ;*
finsi ;*
fin ;-----
```

**5.6.15 rupt15-rice.dgibi**

|                              |  |
|------------------------------|--|
| <b>Nom du fichier</b>        | rupt15-rice.dgibi  |
| <b>Type de calcul</b>        | Mécanique de la rupture<br>2D mode axisymétrique<br>3D   |
| <b>Type d'Eléments Finis</b> | 2D : QUA8<br>3D : CU20   |
| <b>Référence</b>             |  |
| <b>Description</b>           | Test du critère de Rice (calcul par la procédure CRITLOC) pour un cylindre en traction modelisé en 2D axisymétrique et en 3D.<br>Les résultats 2D axi et 3D sont comparés entre eux. |
| <b>Objectif</b>              | Écart relatif < 10% sur le taux de tri-axialité des contraintes  |
| <b>Version de Cast3M</b>     | CAST3M 2016  |
| <b>Plateformes testées</b>   | IBM AiX<br>Linux 32-bits<br>Linux 64-bits<br>Windows 32-bits<br>Windows 64-bits<br>MAC OSX 64-bits   |

Tableau 69 : Informations sur le cas test rupt15-rice.dgibi

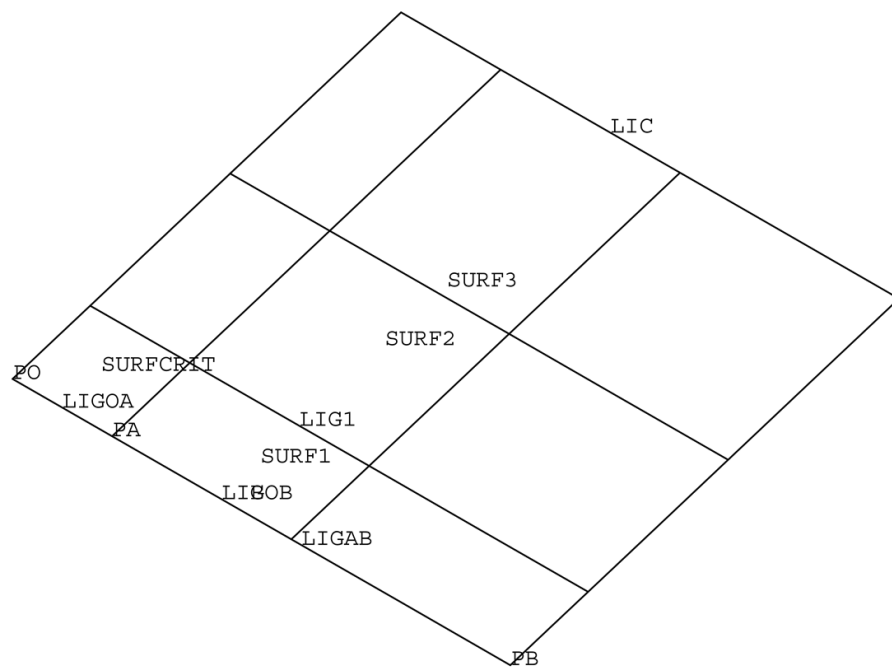


Figure 126 : Maillage du cas-test *rupt15-rice.dgibi* en 2D

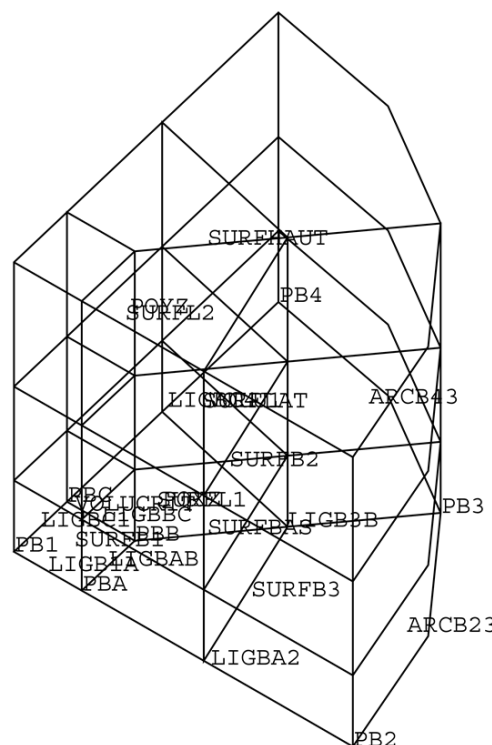


Figure 127 : Maillage du cas-test *rupt15-rice.dgibi* en 3D

## Jeu de données :

```

* fichier : rupt15-rice.dgbi
***** Section : Mecanique Endommagement *****
*-----*
*-----*
*      Test du critère de Rice pour un cylindre
*      en traction modelisé en axisymétrique et en 3D
*-----*
*-----*
*
*-----*
*-----*
*      opti echo 1 ;;
*      paramètres du modèle
alpha = 0.283 ; beta = 1.5 ; epsc = 1.d-6 ;;
*-----*
*-----*
*      MODELE AXISYMETRIQUE
*-----*
*-----*
*-----*
*      Maillage
*-----*
*-----*
opti elem qua8 dime 2 mode axis ;;
*-----*
*      densites utilisees
l1 = 1. ; dl = 0.2 ; d2 = 0.65 ; d11 = dl/10. ;;
*-----*
*      coordonnees des points
po = 0. 0. ; pb = l1 0. ; pc = 0. dl ; pd = 0. 11 ;;
pa = dl 0. ;;
*-----*
*      definition des lignes
ligoa = droi po pa 1 ;;
ligab = droi pa pb dini 0.45 dfin d2 ;;
ligob = ligoa et ligab ;;
surf1 = ligob tran 1 pc ;;
*-----*
lig1 = cote 3 surf1 ;;
*-----*
*      création de la surface
surf3 = lig1 tran 'DINI' 0.45 'DFIN' d2 (0. (l1-dl)) ;;
surf2 = surf1 et surf3 ;;
*-----*
*      extraction des lignes
lib = cote 1 surf2 ;;
lic = cote 3 surf2 ;;
*-----*
elim surf2 1e-3 ;;
*-----*
*      création du modèle
modl = mode surf2 mecanique elastique plastique ;;
*-----*
*-----*
*      définition du matériau
*-----*
*-----*
*      courbe de traction
peps = prog 0. 0.0026 0.0027 0.0030 0.0035 0.0045 0.0065 0.0085
      0.0105 0.0125 0.0176 0.0227 0.0329 ;;
psig = prog 0. 503. 503. 503. 503. 503. 503. 503. 516. 538.
      557. 594. ;;
tracevt = evol manu 'eps' peps 'sig' psig ;;
*-----*
matl = mate modl youn (503./0.0026) nu 0.3 tract tracevt ;;
*-----*
*-----*
*      rigidité
*-----*
cdl0 = bloq uz lib ;;
cdl2 = bloq uz lic ;;
depl = depi cdl2 2e-2 ;;
forcevt = evol manu abs (prog 0. 1.) ord (prog 0. 1.) ;;
fol = char 'DIMP' depl forcevt ;;
*-----*
*      définition de la table d'entrée
*-----*
tbl1 = table ;;
tbl1.caracteristiques = matl ;;
tbl1.modele = modl ;;
tbl1.bloquages_mecaniques = cdl0 et cdl2 ;;
tbl1.chargement = fol ;;
tbl1.temps_calcules = (prog 0. pas 0.5 1.) ;;
*-----*
*-----*
*      procédure de calcul
*-----*
TMASAU=table; ;;
tbl1. 'MBS_SAUVAGEARDES'=TMASAU;

```

```

TMASAU .'DEFTO'='VRAI';
TMASAU .'DEFIN'='VRAI';
pasapas tab1
*
*****
***** Calcul du taux de croissance axi *****
*****
* zone du criterie
surfcrit = elem surf2 1
zonel = redu modl surfcrit
*
enttab1 = table
enttab1.'OBJMO' = zonel
enttab1.'RICE' = vrai
enttab1.'TNOL' = tabl
enttab1.'EPSILON' = vrai ; enttab1.'ALPHA' = alpha
enttab1.'BETA' = beta ; enttab1.'EPSC' = epsc
*
sortabl = critloc enttab1
*
tauxaxi = ((sortabl.'RAPPORT').1.)
taxipbl = extr tauxaxi scal 1 1 1
*
*****
***** MODELE 3D *****
*****
* Maillage
*
opti dime 3 elem cu20 mode trid
*
* variables
a1 = 2**(-0.5)
l1 = 0.2 ; l2 = 1. ; oeil = 2 -1000 300
*
* coordonnees des points
pb1 = 0. 0. 0. ; pba = 11 0. 0. ; pbc = 0. 11 0.
pbb = 11 11 0. ; pb2 = 12 0. 0. ; pb3 = (12*a1) (12*a1) 0.
pb4 = 0. 12 0. ; ph1 = 0. 0. 12
*
* densites utilisees
d1 = 0.45 ; d2 = 0.65
*
* definition des lignes
ligbla = droit 1 pb1 pba
ligbab = droit 1 pba pbb
ligbbc = droit 1 pbb pbc
ligbc1 = droit 1 pbc pb1
ligba2 = droit pba pb2 dini d1 dfin d2
ligb3b = droit 2 pb3 pbb
ligbc4 = droit pbc pb4 dini d1 dfin d2
arcb23 = cerc 1 pb2 pb1 pb3
arcb43 = cerc 1 pb4 pb1 pb3
*
* definition de la surface du bas
surfbl1 = dall ligbla ligbab ligbbc ligbc1 plan
surfbl2 = dall ligbab ligbbc ligbc4 arcb43 plan
surfbl3 = dall ligba2 arcb23 ligb3b ligbab plan
surfbas = surfbl1 et surfbl2 et surfbl3
*
* creation du volume
volul = surfbas volu dini l1 dfin d2 tran ph1
surfhaul = face 2 volul
surflat = face 3 volul
*
* extraction des surfaces laterales
*surface oxz
poxz = poin surflat plan pb1 (2. 0. 2.) (0. 0. 2.) (1e-3)
surfll1 = elem surflat appu strict poxz
*surface poyz
poyz = poin surflat plan pb1 pb4 ph1 (1e-3)
surfll2 = elem surflat appu strict poyz
*
elim volul (1e-3)
elim (surfbas et surfhaul et surfll1 et surfll2) (1e-3)
*
*****
* conditions de symetrie
*****
condil1 = symt depr pb1 ph1 pb2 volul (1e-3)
condil2 = symt depr pb1 ph1 pb4 volul (1e-3)
condil3 = symt depr pb1 pb2 pb4 volul (1e-3)
condit = condil1 et condil2 et condil3
*
*****
* creation du modele
*****
mod2 = MODE volul mecanique elastique plastique
*
*****
* definition du materiau
*****

```

## GUIDE DE VALIDATION

```
*****
*
mate2 = MATE mod2 young (503./0.0026) nu 0.3 tract tracevt ; *
*****
*          rigidite *
*****
blo1 = bloc uz surfbas ; *
rigl = condit et blo1 ; *
rig2 = bloc uz surfhaut ; *
rigt = rigl et rig2 ; *
dep2 = depi rig2 (2e-2) ; *
forcevt = evol manu abs (prog 0. 1.) ord (prog 0. 1.) ; *
fo2 = char 'DIMP' dep2 forcevt ; *
*****
*          definition de la table d'entree *
*****
tab2 = table ; *
tab2.'CARACTERISTIQUES' = mate2 ; *
tab2.'MODELE' = mod2 ; *
tab2.'BLOCAGES_MECANIQUES' = rigt ; *
tab2.'CHARGEMENT' = fo2 ; *
tab2.'TEMPS_CALCULES' = (prog 0. pas 0.5 1.) ; *
*****
*          procedure de calcul ; *
*****
TMASAU=table;
tab2 . 'MBS_SAUVAGEARDES'=TMASAU;
TMASAU .'DEFTO'=VRAI;
TMASAU .'DEFIN'=VRAI;
pasapas tab2 ; *
*****
*          Calcul du taux de croissance 3D *
*****
*          zone du criterie *
```

```
volucrit = volul elem 1 ; *
zone2 = redu mod2 volucrit ; *
enttab2 = table ; *
enttab2.'OBJMO' = zone2 ; *
enttab2.'RICE' = vrai ; *
enttab2.'TNONL' = tab2 ; *
enttab2.'EPSILON' = vrai ; enttab2.'ALPHA' = alpha ; *
enttab2.'BETA' = beta ; enttab2.'EPSC' = epsc ; *
sortab2 = critloc enttab2 ; *
taux3d = ((sortab2.'RAPPORT').1.) ; *
t3dpbl = extr taux3d scal 1 1 1 ; *
*****
*          Comparaison des resultats *
*****
ecart = ( abs(taxipbl-t3dpbl) ) / taxipbl ; *
mess 'ecart relatif : ' (ecart*100.) '%' ; *
si (ecart < 0.1) erre 0 ; *
sinon erre 5 ; *
finsi ; *
fin ; *
-----
```

### 5.6.16 rupt16-weib.dgibi

|                              |   |
|------------------------------|---|
| <b>Nom du fichier</b>        | rupt16-weib.dgibi   |
| <b>Type de calcul</b>        | Mécanique de la rupture<br>2D mode axisymétrique  |
| <b>Type d'Eléments Finis</b> | QUA8  |
| <b>Référence</b>             |   |
| <b>Description</b>           | Test du critère de Weibull (calcul par la procédure CRITLOC) pour un cylindre en traction modelisé en axisymétrique.<br>On compare les résultats en prenant sigu constante ou bien une évolution constante. |
| <b>Objectif</b>              | Écart relatif < 10% sur la contrainte de Weibull  |
| <b>Version de Cast3M</b>     | CAST3M 2016   |
| <b>Plateformes testées</b>   | IBM AiX<br>Linux 32-bits<br>Linux 64-bits<br>Windows 32-bits<br>Windows 64-bits<br>MAC OSX 64-bits  |

Tableau 70 : Informations sur le cas test rupt16-weib.dgibi

|    |                     |                |             |
|----|---------------------|----------------|-------------|
|    |                     | LTC            |             |
|    |                     | SURF3          |             |
|    |                     | SURF2          |             |
|    |                     | LIG1           |             |
| PO | SURFCRIT<br>LTGOAPA | SURF1<br>LTBOB | LIGAB<br>PB |

Figure 128 : Maillage du cas-test rupt16-weib.dgibi

## Jeu de données :

```

* fichier : rupt16-weib.dgibi
***** Section : Mecanique Endommagement *****
*-----*
*-----*
*      Test du critère de Weibull pour un cylindre
*      en traction modelisé en axisymétrique
*      sigu constante ou évolution constante
*-----*
*-----*
*-----*
* opti echo 1
*          paramètres pour calculer la contrainte de Weibull
m = 22. ; v0 = 0.000125 ; ic = 1. ; n = 2.
*sigu = cste
sigul = 2530.
*sigu = evol_cste
ltel = prog -1000. 1000. ; lsigu = prog 2530. 2530.
sigu2 = evol manu 'temper' ltel 'sigu' lsigu
*
***** MODELE AXISYMETRIQUE *****
*-----*
* Maillage
*-----*
opti elem qua8 dime 2 mode axis
*
*      densites utilisees
l1 = 0.25 ; d1 = 50e-3 ; d2 = 120e-3 ; d11 = d1/10.
*
*      coordonnees des points
po = 0. 0. ; pb = 11 0. ; pc = 0. d1 ; pd = 0. l1
pa = d1 0.
*
*      definition des lignes
ligoa = droi po pa 1
ligab = droi pa pb 'DINI' 0.08 'DFIN' 0.12
ligob = ligoa et ligab
surf1 = ligob tran 1 pc
*
lig1 = cote 3 surf1
*
*      création de la surface
surf3 = lig1 tran 'DINI' 0.08 'DFIN' 0.12 (0. (l1-d1))
surf2 = surf1 et surf3
*
*      extraction des lignes
lib = cote 1 surf2
lic = cote 3 surf2
*
elim surf2 1e-3
*
***** cr閐ation du mod le *****
modl = mode surf2 mecanique elastique plastique
*
***** d閞inition du mat閞iau *****
*
*      courbe de traction
peps = prog 0. 0.0026 0.0027 0.0030 0.0035 0.0045 0.0065 0.0085
      0.0105 0.0125 0.0176 0.0227 0.0329 ;
psig = prog 0. 503. 503. 503. 503. 503. 503. 503. 516. 538.
      557. 594.
tracevt = evol manu 'eps' peps 'sig' psig
*
matl = mate modl youn (503./0.0026) nu 0.3 tract tracevt
alpha 1.e-5
*
***** rigidit  *****
*
cdl0 = bloq uz lib
cdl2 = bloq uz lic
depl = depi cdl2 4e-3
forcevt = evol manu abs (prog 0. 1.) ord (prog 0. 1.)
char1 = char 'DIMP' depl forcevt
*
tabtps = table ;
tabtps. 0 = 0. ;
tabtps. 1 = 1. ;

```

```

tabT = table ;
tabT. 0 = manu 'CHPO' surf2 1 'T' 100. ;
tabT. 1 = manu 'CHPO' surf2 1 'T' -100. ;

char2 = CHAR 'T' tabtps tabT ;

*****
*           definition de la table d'entree
*****
tabl = table ;
tabl.caracteristiques = mat1 ;
tabl.modele = modl ;
tabl.blocages_mecaniques = cdl0 et cdl2 ;
tabl.chargement = char1 et char2 ;
tabl.temps_calcules = (prog 0. pas 0.5 1.) ;
tabl.talpha_reference = 20. ;
*
*****
*           procedure de calcul
*****
IMASAU=table ;
tabl . 'MES_SAUVAGEARDES'=IMASAU;
IMASAU .'DEFTO'=VRAI;
IMASAU .'DEFIN'=VRAI;
pasapas tabl
*
*****
*           Calcul de la contrainte de Weibull axi
*****
*sigu est une constante
*
*           zone du critere
surfcrit = elem surf2 1 ;
zonel = redu modl surfcrit ;
*
enttabl = table
enttabl.'XMULT' = 2. ;
enttabl.'OBJMO' = zonel ;
enttabl.'WEIBULL' = vrai ;
enttabl.'INONL' = tabl ;
enttabl.'M' = m ; enttabl.'V0' = v0 ; enttabl.'SIGU' = sigul ;
enttabl.'IC' = ic ; enttabl.'N' = n ;
enttabl.'TEMPER'= 0 ;
*
sortabl = critloc enttabl ;
*
sigwl = (sortabl.'SIGW').1. ;
*
*****
*           Calcul de la contrainte de Weibull axi
*****
*sigu est une evolution constante
*
*           zone du critere
surfcrit = elem surf2 1 ;
zonel = redu modl surfcrit ;
*
enttab2 = table
enttab2.'XMULT' = 2. ;
enttab2.'OBJMO' = zonel ;
enttab2.'WEIBULL' = vrai ;
enttab2.'INONL' = tabl ;
enttab2.'M' = m ; enttab2.'V0' = v0 ; enttab2.'SIGU' = sigu2 ;
enttab2.'IC' = ic ; enttab2.'N' = n ;
enttab2.'TEMPER'= 1 ;
enttab2.'TEREF'= 150. ;
*
sortab2 = critloc enttab2 ;
*
sigw2 = (sortab2.'SIGW').1. ;
*
*****
*           Test d'erreur
*****
ecart = ( abs(sigwl-sigw2) ) / sigwl ;
mess 'ecart relatif : ' (ecart*100.) '%'
si (ecart < 0.1 )
    erre 0
sinon
    erre 5
finsi
*
fin

```

**5.6.17 rupt17.dgibi**

|                              |   |
|------------------------------|---|
| <b>Nom du fichier</b>        | rupt17.dgibi  |
| <b>Type de calcul</b>        | Mécanique de la rupture<br>2D   |
| <b>Type d'Eléments Finis</b> | QUA8  |
| <b>Référence</b>             |   |
| <b>Description</b>           | Calcul de l'intégrale J avec la procédure G_THETA en thermoplasticité pour fissure proche (ou sur) interface liaison bimétallique.            |
| <b>Objectif</b>              | Les valeurs de J au dernier pas de temps doivent rester comprises entre 70 et 80 quel que soit le nombre de couches utilisées pour le calcul. |
| <b>Version de Cast3M</b>     | CAST3M 2016   |
| <b>Plateformes testées</b>   | IBM AIX<br>Linux 32-bits<br>Linux 64-bits<br>Windows 32-bits<br>Windows 64-bits<br>MAC OSX 64-bits  |

*Tableau 71 : Informations sur le cas test rupt17.dgibi*



Figure 129 : Maillage du cas-test rupt17.dgibi

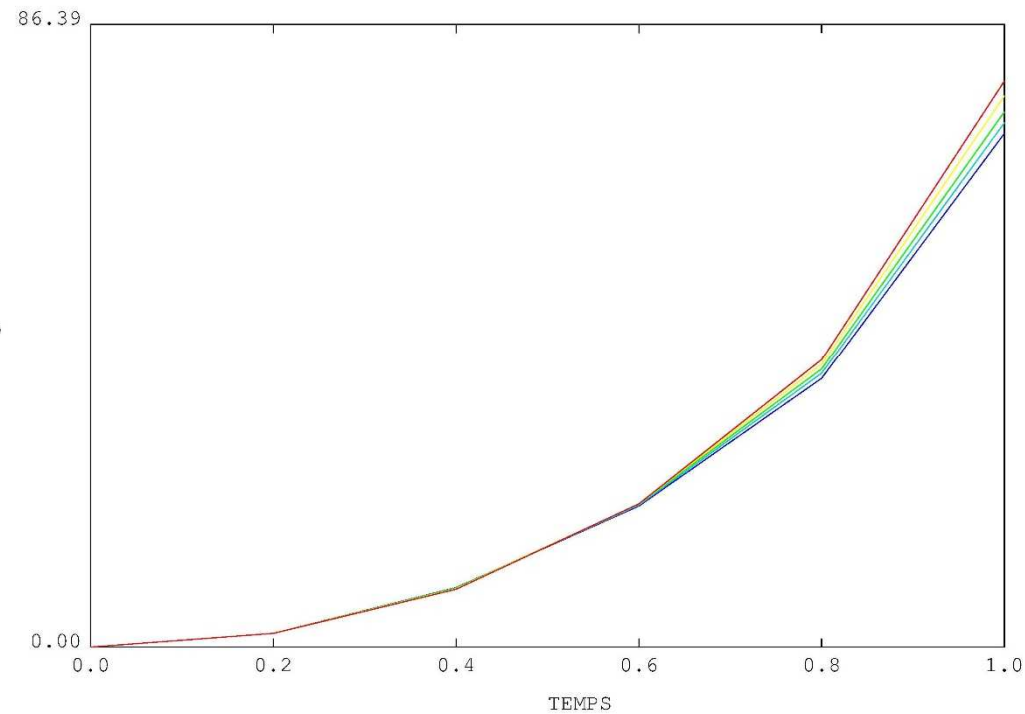


Figure 130 : Evolution de  $J$  en fonction du temps

**Jeu de données :**

```

* fichier : rupt17.dgibi
*****
* Section : Mecanique Endommagement
*****
***** Creation du jeu de donnees *****
*
* rupt17.dgibi
*
* CAS TEST SUR LE CALCUL DE J EN THERMOPLASTICITE
* POUR FISSURE PROCHE (ou SUR) INTERFACE LIAISON BIMETALLIQUE
*
* CREATION : BP, 11 Aout 2011
* MODIFS :
*
* REM : - la presence de decharges induit une legere dependance au contour
*       - fissure parallele a l'interface => pas besoin du MODELES_COMPOSITES'
*
***** Options de calcul et de tracés *****
*** Options de calcul et de tracés

OPTI DIME 2 ELEM QUA8 MODE plan defo ;

*deformation lineaire
OPTI 'EPSI' 'LINEAIRE';

*calcul elastique?
* calel = vrai ;
calel = faux ;

* Complet => modif de la finesse du maillage + du pas de chargement
COMPLET = faux;
* COMPLET = vrai;

* options de tracé
GRAPH = vrai;
opti 'TRAC' 'PSC' 'EPTR' 5;

***** Géométrie *****
dxelim = 1e-6 ;
h = 100. ;
W = 100. ;
hint = 50. ;
hfis = 34. ;
* hfis = 50. ;
* avec hfis = 50., on a la fissure dans l'interface (à tester + tard)
asW = 0.5 ;

*** Données matériau *****
--- Données de l'acier inox 304L (20 et 350°C)
lt11 = prog 20. 350. ;
le1 = prog 197. 172. ;
evEl = evol manu 'T' lt11 'YOUN' (1E1*1e3) ;
* lep201 = prog 0. 0.0006935 0.00104 0.00140
0.00198 0.00305 0.00511 0.00716 0.0112 0.0163 0.0315
0.0516 0.1020 0.152 0.303 0.503 1.004 5.006 ;
ls1201 = prog 0. 136.6 165.6 178.0 192.5 207.0
219.4 227.7 240.1 254.6 287.7 323.2 391.8 456.2 545.3
630.4 767.5 1212.0 ;
ta201 = evol manu lep201 lsi1201 ;
* le3501 = prog 0. 0.0006347 0.00087 0.00119
0.00171 0.00274 0.00478 0.00682 0.0109 0.0159 0.0311
0.0513 0.1017 0.152 0.303 0.503 1.004 5.006 ;
ls3501 = prog 0. 109.2 115.6 118.1 121.9 127.0
134.6 141.0 151.1 161.3 189.2 221.8 290.5 354.8 443.9
529.0 666.1 1110.6 ;
ta3501 = evol manu le3501 ls3501 ;
* CTrac1 = NUAGE 'COMP' 'T' 20. 350.
'COMP' 'TRAC' ta201 ta3501 ;

--- Données des aciers 16 et 18MND5 (20 - 350°C)
lt12 = prog 20. 350. ;
le2 = prog 204. 180. ;
evE2 = evol manu 'T' lt12 'YOUN' (1E2*1e3) ;
* dans le cas COMPLET pb avec la pente de ls1202
* lep202 = prog 0. 0.001691 0.001891 0.00219 0.00269
* 0.00369 0.00569 0.00769 0.00969 0.0117 0.0168 0.0219
* 0.0320 0.0421 0.0522 0.0623 0.0723 0.0823 0.0924
* 0.102 0.303 1.00 5.00 ;
* lsi202 = prog 0. 345 345 345 345 345 345 345 345 355.4
* 372.6 386.4 410.6 434.2 448.1 461.2 470.8 477.7
* 484.6 491.6 570.9 671.5 834.2 ;
* lep202 = prog 0. 0.001691 0.00969 0.0117 0.0168 0.0219
* 0.0320 0.0421 0.0522 0.0623 0.0723 0.0823 0.0924
* 0.102 0.303 1.00 5.00 ;
* lsi202 = prog 0. 300. 320. 330. 345. 355.4
372.6 386.4 410.6 434.2 448.1 461.2 470.8 477.7
484.6 491.6 570.9 671.5 834.2 ;
ta202 = evol manu lep202 lsi202 ;
* le3502 = prog 0. 0.001423 0.001679 0.00206 0.0026
0.00366 0.00573 0.00778 0.00983 0.0119 0.0169 0.0220
0.0321 0.0422 0.0523 0.0623 0.0724 0.0824 0.0925
0.102 0.303 1.00 5.00 ;
ls3502 = prog 0. 256.2 266.1 281.0 290.0 299.0 310.9
319.9 328.9 334.9 349.8 364.8 385.7 400.2 412.3 422.9
429.0 435.0 441.0 447.0 509.0 586.7 709.3 ;
ta3502 = evol manu le3502 ls3502 ;
* CTrac2 = NUAGE 'COMP' 'T' 20. 350.
'COMP' 'TRAC' ta202 ta3502 ;

si(GRAPH);
  dess ((coul ta201 bleu) et (ta3501 coul roug)
        et (coul ta202 turq) et (ta3502 coul rose));
  dess ((coul ta201 bleu) et (ta3501 coul roug)
        et (coul ta202 turq) et (ta3502 coul rose))
    'XBOR' 0. 0.02;
fins;

***** Maillage *****
si(COMPLET); nW = 50 ;
sino;           nW = 24;
fins;
nhF = enti (nW * (h - hint) / h) ;
P1 = 0. (-0.5 * h) ;
P2 = W (-0.5 * h) ;
ll1 = P1 d nW p2 ;

si (hfis ega hint) ;
  nhA = enti (nW * hint / h) ;
  SA = ll1 tran nhA (0. hint) ;
  l2 = ll1 plus (0. hint) ;
  SF = ll2 tran nhF (0. (h - hint)) ;
  pfis = ll2 point proc ((asW * W) (hint - (0.5 * h))) ;
  p3 = ll2 point proc (W (hint - (0.5 * h))) ;
  llig = ll2 elem comp pfis p3 ;
  elim dxelim (llig et SA) ;
  l3 = ll1 plus (0. h) ;
  elim dxelim (SF et l3) ;
  levF = diff ll2 llig ;
  levA = levF plus (0. 0.) ;
  elim dxelim (SA et levA) ;
sinon ;
  nhA = enti (nW * hfis / h) ;
  SA1 = ll1 tran nhA (0. hfis) ;
  l2 = ll1 plus (0. hfis) ;
  SA2 = ll2 tran (nhF - nhA) (0. (hint - hfis)) ;
  l4 = ll1 plus (0. hint) ;
  SF = ll4 tran nhF (0. (h - hint)) ;
  pfis = ll4 point proc ((asW * W) (hint - (0.5 * h))) ;
  p3 = ll4 point proc (W (hint - (0.5 * h))) ;
  llig = ll4 elem comp pfis p3 ;
  elim dxelim (llig et SA1) ;
  l3 = ll1 plus (0. h) ;
  elim dxelim (SF et l3) ;
  levF = diff ll4 llig ;
  levA = levF plus (0. 0.) ;
  elim dxelim (SA1 et levA) ;
  elim dxelim (SA2 et SF) ;
  SA = SA1 et SA2 ;
finsi ;

plaq = (SA coul bleu) et (SF coul roug) ;
si(GRAPH);trac plaq ;fins;

*** MODELE MECANIQUE *****
--- Modèle elastique ou elasto plastique ?
si calel ;
  mo316 = MODELE sa MECANIQUE ELASTIQUE ISOTROPE ;
  mo508 = MODELE sf MECANIQUE ELASTIQUE ISOTROPE ;
  ma316 = materiau mo316 young evEl nu 0.3 alph 1E-5 ;
  ma508 = materiau mo508 young evE2 nu 0.3 alph 1E-5 ;
sinon ;
  mo316 = MODELE sa MECANIQUE ELASTIQUE plastique ;
  mo508 = MODELE sf MECANIQUE ELASTIQUE plastique ;

```

```

ma316 = materiau mo316 young evE1 nu 0.3 alph 1E-5 trac CTrac1 ;
ma508 = materiau mo508 young evE2 nu 0.3 alph 1E-5 trac CTrac2 ;
finsi ;
mo = mo316 et mo508 ;
ma = ma316 et ma508 ;

* ----- CONDITIONS LIMITES
cd1 = blocq 11 UY ;
cd2 = RELA ENSE UY 13 ;
cd3 = blocq pfis UX ;
cdl = cd1 et cd2 et cd3 ;

*----- Chargement
lx1 = prog 0. 1. ;
ly1 = prog 0. 1. ;
ev1 = evol manu lx1 ly1 ;
PRES1 = PRES MASS mo (-100.) 13 ;
*PRES1 = PRES MASS mo dxelim 13 ;
CHAP = CHAR MECA PRES1 ev1 ;

* ----- Définition de la température
Ti = 20. ; Tf = 350. ;
chT1 = manu cpho plaq 1 'T' Ti ;
chx = plaq coor 1 ;
chT2 = chT1 - (nomc 'T' (chx / W * (Ti - Tf))) ;
TT1 = table ; TT1 . 0 = 0. ; TT1 . 1 = 1. ;
TT2 = table ; TT2 . 0 = chT1 ; TT2 . 1 = chT2 ;
CHAT = CHAR 'T' TT1 TT2 ;

* si (COMPLET); tcha = prog 0. 0.1 pas 0.05 1. ;
si (COMPLET); tcha = prog 0. pas 0.05 1. ;
sino; tcha = prog 0. pas 0.20 1. ;
fins;

***** PROCEDURE PAS A PAS
TAB2 = TABLE;
TAB2.'MODELE' = mo ;
TAB2.'CARACTERISTIQUES' = ma ;
TAB2.'BLOCAGES_MECANIQUES' = cd1 ;
TAB2.'CHARGEMENT'= CHAP et CHAT ;
TAB2.'TEMPS_CALCULES' = tcha ;

PASAPAS TAB2 ;

si(GRAPH);

ii = (dime tcha) - 1 ;
def = defo tab2.deplacements.ii plaq ;
trac chT2 def 'TITR' 'T et deformee finale';

si (non cale);
var2 = TAB2 . 'VARIABLES_INTERNES' . ii;
var2prg = (prog 0.) et (exp ((prog -3. PAS 0.1 -1.) * (log 10.)));
trac var2 mo def var2prg 'TITR' 'variables_internes finales';
fins;

fins;

***** CALCUL DU TAUX DE RESTITUTION D'ENERGIE
---- boucle sur les contours lnc -----
si(COMPLET);
lnc = lect 1 2 3 5 7 8 9 11 ;
lcoul = mots VIOL BLEU TURQ VERT OLIV JAUN ORAN ROUG;
sino;
lnc = lect 1 2 3 5 7 ;
lcoul = mots BLEU TURQ VERT JAUN ROUG;
fins;
nlc = dime lnc ; i = 0 ;
tath = table ;
lJM = prog ;
tath.0 = tcha ;

repetier bloc1 nlc ;
i = i + 1 ;

ncou = extr lnc i;
SUPTAB = TABLE ;
SUPTAB.'OBJECTIF'= 'J';
SUPTAB.'LEVRE_SUPERIEURE' = levF ;
SUPTAB.'LEVRE_INFERIEURE' = levA;
SUPTAB.'COUCHE' = ncou ;
SUPTAB.'FRONT_FISSURE' = pfis ;
SUPTAB.'SOLUTION_PASAPAS' = TAB2;
G_THETA SUPTAB ;

dess suptab.EVOLUTION_RESULTATS
'TITR' (chai i 'couche' ncou'(G_THETA'));

mocoull = extr lcoul i;
si(ega i 1);
evotot = coul suptab.EVOLUTION_RESULTATS mocoull;
sino;
evotot = evotot et (coul suptab.EVOLUTION_RESULTATS mocoull);
fins;

tath.i = extr (suptab.EVOLUTION_RESULTATS) ordo ;
Jmaxi = extr tath.i (dime tath.i);
lJM = lJM et Jmaxi ;

fin bloc1 ;
---- fin de boucle sur les contours lnc -----

lel = W / nW ;
ewJ = evol 'BLEU' manu 'dimcouche' (lel*lnc) 'J' lJM ;
dess (ewJ) 'TITR' (chai 'stabilite de J');

ybor0 = 0. ;
ybor1 = maxi (extr evJ 'ORDO');
ybor1 = (1.1 * ybor1);
tdess1 = tabl;
tdess1 . 1 = mot 'MARQ PLUS';
dess evJ 'YBOR' ybor0 ybor1 tdess1
'TITR' (chai 'stabilite de J');

dess evotot 'YBOR' ybor0 ybor1 'TITR' (chai 'evolution de J');

* opti donn 5 trac X ;

***** TEST DE BON FONCTIONNEMENT
*** TEST DE BON FONCTIONNEMENT

* valeurs testees
Jmaxl = maxi lJM; Jminl = mini lJM;
mess 'Jmaxl Jminl=' Jmaxl Jminl;

* bornes de references (au 11 aout 2011)
si(COMPLET); Jmax0 = 75.; Jmin0 = 65. ;
sino; Jmax0 = 80.; Jmin0 = 70. ;
fins;

*test
SI ((Jmaxl < Jmax0) et (Jminl > Jmin0));
ERRE 0;
SINON;
ERRE 5;
FINSI;

FIN ;

```

**5.6.18 rupt18.dgibi**

|                              |  |
|------------------------------|--|
| <b>Nom du fichier</b>        | rupt18.dgibi   |
| <b>Type de calcul</b>        | Mécanique de la rupture<br>2D axisymétrique  |
| <b>Type d'Eléments Finis</b> | QUA4   |
| <b>Référence</b>             | Solution analytique  |
| <b>Description</b>           | Calcul de l'intégrale J avec G_THETA sous plusieurs chargements :<br><ul style="list-style-type: none"> <li>- chargement en traction</li> <li>- chargement avec pression sur lèvres</li> <li>- chargement thermique</li> </ul> |
| <b>Objectif</b>              | <ul style="list-style-type: none"> <li>- Erreur relative J Traction &lt; 0.5%</li> <li>- Erreur relative J Pression &lt; 0.5%</li> <li>- Erreur relative J Thermique &lt; 0.2%</li> </ul>                                      |
| <b>Version de Cast3M</b>     | CAST3M 2016  |
| <b>Plateformes testées</b>   | IBM AiX<br>Linux 32-bits<br>Linux 64-bits<br>Windows 32-bits<br>Windows 64-bits<br>MAC OSX 64-bits   |

*Tableau 72 : Informations sur le cas test rupt18.dgibi*

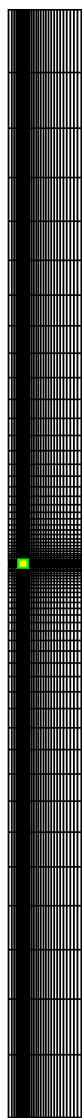


Figure 131 : Maillage du cas-test *rupt18.dgibi*

# GUIDE DE VALIDATION

## Jeu de données :

```

* fichier : rupt18.dgibi
opti epsi lineaire ;
*****
* Section : Mecanique Endommagement
*****



***** Test rupt18.dgibi: Jeux de données *****
* -----
***** CAS TEST DU 15/12/15 PROVENANCE : TEST

*Cas test de validation pour le calcul de J sous plusieurs chargement
*avec les procedures g_theta.procedur et g_calcul.procedur
*
*- chargement en traction
*- chargement avec pression sur levres
*- chargement thermique

*Calcul en dimension 2 avec des elements QUA4 sur un maillage complet
*non symetrique

opti dime 2 elem qua4 mode axis echo 0 ;

* ig1 : mettre a vrai pour activer traces
ig1      = faux ;

***** Données paramétriques :
***** a : profondeur de la fissure *
* t : epaisseur du tube *
* ri, re : rayon interne/externe *
* h : hauteur du tube *

h = 1. ;
t = 60.e-3 ;
a = t/5 ;
ri = t*5;
re = ri+t;

*COORDONNEE DE LA POINTE DE LA FISSURE
pf = (a + ri) 0. ;

*NOMBRE D'ELEMENTS AUTOUR DE LA POINTE DE LA FISSURE (1 et 2 COUT)
n_fiss = 10 ;

*TAILLE D'UN ELEMENT DE LA 1ERE ET 2EME COUTURE*
t_el = 200e-6 ; t_el2 = 400e-6 ;
*Facteur d'agrandissement de la taille du derafinement
tt_el2 = 4.*t_el2 ;

*LONGUEUR DE LA 1ERE ET 2EME COUTURE*
lc1 = n_fiss * t_el ; lc2 = t_el2 * n_fiss;

*NIVEAU DE CHARGEMENT
p0T = -400. ; p0P = 400. ; dt0 = 300.;

=====
* DEBUT DU MAILLAGE
=====

***** 1ERE COUTURE *****
***** (Autour de la pointe de la fissure) *****

plchd = pf plus (lc1 0.) ;
plchd = pf plus (lc1 lc1) ;
pf1 = pf plus (0. lc1) ;
plchg = pf1 moin (lc1 0.) ;
plchd = pf moin (lc1 0.) ;

dlch = droi (2*n_fiss) plchd plchd;
dlcg = droi (n_fiss) plchd plchd ;
dlcd = droi (n_fiss) plchd plchd ;
dlcbg = droi (n_fiss) plchd pf ;
dlcbd = droi (n_fiss) pf plchd ;

cout1 = regl n_fiss dlch (dlcbg et dlcbd) ;
cout1 = coul jaun cout1 ;

***** 2EME COUTURE *****
***** (Autour de la pointe de la fissure) *****
***** Partie au-dessus de la fissure *****

p2cbd = pf plus (lc2 0.) ;
p2chd = pf plus (lc2 lc2) ;
pf2 = pf plus (0. lc2) ;
plchd = pf2 moin (lc2 0.) ;

```

```

p2cbg = pf moin (lc2 0.) ;
d2ch = droi (2*n_fiss) p2chd p2chd;
d2cg = droi (n_fiss) p2cbg p2chd ;
d2cd = droi (n_fiss) p2cbd p2chd ;

cout2 = regl n_fiss (dlcd et dlch et dlcg) (d2cd et d2ch et d2cg) ;
cout2 = coul vert cout2 ;

coutlet2 = cout1 et cout2;

***** DERAFINEMENT DES COUTURES *****
***** Partie au-dessus de la fissure *****
-----( DERAF A 4 ELEMENT )-----
pid1 = p2chd moin (0. tt_el2) ;
pid2 = pid1 plus (0. t_el2) ;
pid3 = pid2 plus (0. t_el2) ;
pid4 = pid3 plus (0. t_el2) ;
pid5 = pid4 plus (0. t_el2) ;
pid6 = pid2 moin (t_el2 0.) ;
pid7 = pid3 moin (t_el2 0.) ;
pid8 = pid4 moin (t_el2 0.) ;
pid9 = pid1 moin (tt_el2 0.) ;
pid10 = pid3 moin (tt_el2 0.) ;
pid11 = pid5 moin (tt_el2 0.) ;

did1 = droi 1 pid1 pid2 ;
did2 = droi 1 pid2 pid3 ;
did3 = droi 1 pid3 pid4 ;
did4 = droi 1 pid4 pid5 ;
did5 = droi 1 pid9 pid6 ;
did6 = droi 1 pid6 pid7 ;
did7 = droi 1 pid7 pid8 ;
did8 = droi 1 pid11 pid8 ;
did9 = droi 1 pid10 pid7 ;

sil = (regl 1 did1 did5) et (regl 1 did2 did6) et
      (regl 1 did3 did7) et (regl 1 did4 (inve did8)) et
      (regl 1 did8 did9) et (regl 1 did9 did5) ;
elim sil 1.e-5 ;

----- ( DERAF A 3 ELEMENT )-----
pad1 = pf moin (lc2 0.) ;
pad2 = pad1 plus (0. t_el2) ;
pad3 = pad2 plus (0. t_el2) ;
pad4 = pad3 plus (0. t_el2) ;
pad5 = pad2 moin (t_el2 0.) ;
pad6 = pad3 moin (t_el2 0.) ;
pad7 = pad1 moin (tt_el2 0.) ;
pad8 = pad4 moin (tt_el2 0.) ;

dad1 = droi 1 pad1 pad2 ;
dad2 = droi 1 pad2 pad3 ;
dad3 = droi 1 pad3 pad4 ;
dad4 = droi 1 pad7 pad5 ;
dad5 = droi 1 pad5 pad6 ;
dad6 = droi 1 pad6 pad8 ;

sal = (regl 1 dad1 dad4) et (regl 1 dad2 dad5) et
      (regl 1 dad3 dad6) et (regl 1 dad4 (inve dad6));
saal = sal ;
repe i0 1 ;
ssal = sal plus ( 0. (3.*&i0*t_el2)) ;
fin i0 ;
sal = sal et ssal ;
elim sal 1.e-5 ;

----- PARTIE GAUCHE -----
sig = sal et sil ; elim sig 1.e-5 ;

----- PARTIE DROITE -----
sid = sig syme droi ((coor 1 pf) 0.) ((coor 1 pf) lc2) ;
elim sid 1.e-5 ;

----- PARTIE HAUTE -----
*lignes diagonales pour la symetrie
p_diagod = p2chd plus (lc1 lc1);
p_diago = p2chd moin (lc1 0.);
p_diagog = p_diago plus (0. lc1);

d_diagog = droi 1 plchd p_diagog;
d_diagod = droi 1 plchd p_diagod;

sihg = sig syme droi plchd p_diagog ;
elim sihg 1.e-5 ;
sihd = sid syme droi plchd p_diagod ;
elim sihd 1.e-5 ;

sih = sihd et sihg ; elim sih 1.e-5 ;

----- PARTIE COIN -----

```

```

dg = droi 1 pid11 p2chg;
dcg = dg tran 1 (0. tt_el2);
dcd = dcg syme droi ((coor 1 pf) 0.) ((coor 1 pf) lc2) ;
sic = dcd et dcg; elim sic 1.e-5;
cout3 = sig et sid et sih et sic ; elim cout3 1.e-5 ;

cout_tot = cout1 et cout2 et cout3;
elim dlcbd cout_tot 1.e-5;

***** RESTE DU MAILLAGE *****
***** Partie au-dessus de la fissure *****

*Partie de gauche
*-----
pt1 = mini (coor 1 cout_tot) 0.;
pt2 = (mini (coor 1 cout_tot)) (maxi (coor 2 cout_tot));
pt_partg = cout3 poin droit pt1 pt2 1.e-5 ;
d_partg = (cont cout_tot) elem appuye strictement pt_partg ;
p_ri = ri 0;
pg = d_partg tran
((coor 1 p_ri)-(mini(coor 1 cout_tot))) 0.) dini 1.6e-3 dfin 3.2e-3;

*Partie de droite
*-----
pt3 = maxi (coor 1 cout_tot) 0.;
pt4 = (maxi (coor 1 cout_tot)) (maxi (coor 2 cout_tot));
pt_partd = cout_tot poin droit pt3 pt4 1.e-5 ;
d_partd = (cont cout_tot) elem appuye strictement pt_partd ;
p_re = re 0;
pd = d_partd tran
((coor 1 p_re)-(maxi(coor 1 cout_tot))) 0.) dini 1.6e-3 dfin 3.2e-3;
bas_cout = pg et pd et cout_tot ; elim bas_cout 1.e-5;

*Partie du haut
*-----
p5 = (mini (coor 1 bas_cout)) (maxi (coor 2 bas_cout));
p6 = (maxi (coor 1 bas_cout)) (mini (coor 2 bas_cout));
pt_parth = bas_cout poin droit p5 p6 1.e-5 ;
d_partd = (cont bas_cout) elem appuye strictement pt_parth ;
ph = d_partd tran (0. ((h/2.) - (maxi(coor 2 bas_cout)))) dini 1.6e-3 dfin t ;

*Structure haute
*-----
stru_hau = ph et bas_cout ; elim stru_hau 1.e-5 ;

*Structure basse
*-----
p7 = (mini (coor 1 bas_cout)) (mini (coor 2 bas_cout));
p8 = (maxi (coor 1 bas_cout)) (mini (coor 2 bas_cout));

stru_bas = stru_hau syme droit pf p8;
elim stru_bas 1.e-5;

pa = stru_hau poin proc (ri 0.);
pb = stru_hau poin proc (re 0.);
pad = stru_bas poin proc (ri 0.);

lig1 = (cont stru_hau) elem compris plcbd pb;

*Structure totale
***** s0 = stru_bas et stru_hau; elim stru_bas (dlcbd et lig1) 1.e-5;
***** DEFINITION DES LEVRES
lvsup = (cont stru_hau) elem compris pa pf ;
pff = (cont stru_bas) POINT PROC pf;
lvinf = (cont stru_bas) elem compris pad pff;
lvinf = INVE lvinf;
*lvsup = lvsup coul roug ; lvinf = lvinf coul bleu;

*Definition des bords
*bord haut
l_hau = cote 3 ph;

*bord gauche
p_gau = s0 poin droit (ri (mini (coor 2 s0)))
(ri (maxi (coor 2 s0))) 1.e-5 ;
l_gau = (cont s0) elem appuye strictement p_gau ;

*bord droit
p_droi = s0 poin droit (re (mini (coor 2 s0)))
(re (maxi (coor 2 s0))) 1.e-5 ;
l_droi = (cont s0) elem appuye strictement p_droi ;

*bord bas
p_bas = s0 poin droit (ri (mini(coor 2 s0)))
(re (mini(coor 2 s0))) 1.e-5;
l_bas = (cont s0) elem appuye strictement p_bas ;
si ig1 ;

trac S0 titr ' Maillage ' ;
fins ;

=====
***** FIN DU MAILLAGE *****
=====

*PARTIE CALCULS
*=====
***** PROPRIETE MATERIAUX A 300C
E0 = 185e3; nu0 = 0.3; alfa0 = 13.08e-6;

mo0 = mode s0 mecanique elastique isotrope ;
ma0 = mate mo0 YOUN E0 nu nu0 alph alfa0 ;
rg0 = rigi mo0 ma0 ;

*CONDITIONS AUX LIMITES
*Blocages
c11 = bloc uz l_bas ;
c12 = rela ense uz l_hau ;
c10 = c11 et c12;

*Traction uniaxiale (via un modele de pression)
moph = MODE l_hau 'CHARGEMENT' 'PRESSION' 'CONS' 'HAUT' ;

*Pression sur les levres (via un modele de pression)
mpl = MODE (lvsup ET lvinf) 'CHARGEMENT' 'PRESSION' 'CONS' 'LEVRES' ;

*Elevation de temperature
chr = ((s0 coor 1) - ri) / (re - ri) ;
cht0 = nomc 'T' (dt0 * chr);

***** SOLUTIONS ANALYTIQUES
* Fonctions d'influence
i0 = 1.211 ;
i1 = 0.718 ;

*Contraintes imposées pour le gradient de temperature
sig0 = ((E0*alfa0*dt0)/(1-nu0)) * (ri/(3*t)) *
((2*(re**2))/(ri*(re+ri)) - 1);
sig1 = -1. * ((E0*alfa0*dt0)/(1-nu0));

* J analytiques
JT = (1-(nu0**2)) * ((i0*(-1.*pOT)*((pi*a)**(1./2.)))**2) / E0;
JP = (1-(nu0**2)) * ((i0*(-1.*pOP)*((pi*a)**(1./2.)))**2) / E0;
JTH = (1-(nu0**2)) *
(((i0*sig0)+(i1*sig1*(a/t)))*((pi*a)**(1./2.))) **2)/E0;

***** CALCUL ELASTIQUE AVEC RESO - CALCUL DE J ELASTIQUE
***** Construction des second membres
maph = MATE moph 'PRES' pOT ;
fOT = BSIG moph maph ;
mapl = MATE mpl 'PRES' pOP ;
fOP = BSIG mpl mapl ;
sgth0 = THET mo0 ma0 cht0 ;
fOTH = BSIG mo0 sgth0 ;

* RESOLUTION ELASTIQUE DES 3 PROBLEMES
utestT utestP utestTH = RESO (rg0 ET cl0) fOT fOP fOTH;
mena ;

*PROCEDURE G_THETA
*cas 1 : traction seule
tabJel = table ;
tabJel . 'MODELE' = mo0 ET moph ;
tabJel . 'CARACTERISTIQUES' = ma0 ET maph ;
tabJel . 'BLOCAGES_MECHANIQUES' = c10 ;
tabJel . 'SOLUTION_RESO' = utestT ;
tabJel . 'OBJECTIF' = MOT 'J' ;
tabJel . 'LEVRE_SUPERIEURE' = lvsup ;
tabJel . 'LEVRE_INFERIEURE' = lvinf ;
tabJel . 'FRONT_FISSURE' = pf ;
tabJel . 'COUCHE' = 5 ;
g_theta tabJel ;
JelT1 = tabJel.resultats ;

*cas 2 : pression sur les levres
tabJel . 'MODELE' = mo0 ET mpl ;
tabJel . 'CARACTERISTIQUES' = ma0 ET mapl ;

```

```

tabJel . 'SOLUTION_RESO'          = utestP ;
g_theta tabJel ;
JelP1 = tabJel.resultats ;

*cas 3 : gradient de temperature
tabJel . 'MODELE'                 = mo0 ;
tabJel . 'CARACTERISTIQUES'       = ma0 ;
tabJel . 'TEMPERATURES'           = cht0 ;
tabJel . 'SOLUTION_RESO'          = utestTH ;
g_theta tabJel ;
JelTH1 = tabJel.resultats ;

*Erreurs sur J : solution analytique VS calcul RESO + G_THETA
errT1 = ((JelT1-JT)/JT)*100. ;
errP1 = ((JelP1-JP)/JP)*100. ;
errTH1 = ((JelTH1-JTH)/JTH)*100.;

*****
* CALCUL ELASTIQUE AVEC PASAPAS - CALCUL DE J ELASTIQUE
***** 

* Chargements de pression (obligatoires si modele de pression)
evph = EVOL 'MANU' 'TEMP' (PROG 0. 1. 2. 3.)
          'PRES' (PROG 0. 1. 0. 0.) ;
chapH = CHAR 'PRES' (CHAN 'TYPE' maph 'CONTRAINTES') evph ;
evpl = EVOL 'MANU' 'TEMP' (PROG 0. 1. 2. 3.)
          'PRES' (PROG 0. 0. 1. 0.) ;
chapL = CHAR 'PRES' (CHAN 'TYPE' mapl 'CONTRAINTES') evpl ;

* Chargement thermique
chath = CHAR 'T' cht0 (EVOL 'MANU' (PROG 0. 1. 2. 3.)
                      (PROG 0. 0. 0. 1.)) ;

*RESOLUTION AVEC PASAPAS DES 3 PROBLEMES (UN A CHAQUE PAS DE TEMPS)
*AU PAS 1 : Traction seule
*AU PAS 2 : Pression sur les levres
*AU PAS 3 : Gradient de temperature
tabT = TABL ;
tabT . 'MODELE' = mo0 ET moph ET mopl ;
tabT . 'CARACTERISTIQUES' = ma0 ET maph ET mapl ;
tabT . 'BLOCAGES_MECHANIQUES' = cl0 ;
tabT . 'CHARGEMENT' = chapH ET chapL ET chath ;
tabT . 'TEMPS_CALCULES' = PROG 1. 2. 3. ;
PASAPAS tabT ;

*PROCEDURE G_THETA POUR LES 3 PROBLEMES (UN A CHAQUE PAS DE TEMPS)
tabJel = TABL ;
tabJel . 'SOLUTION_PASAPAS'        = tabT ;
tabJel . 'OBJECTIF'               = MOT 'J' ;

```

---

```

tabJel . 'LEVRE_SUPERIEURE'      = lvsup ;
tabJel . 'LEVRE_INFERIEURE'      = lvinf ;
tabJel . 'FRONT_FISSURE'         = pf ;
tabJel . 'COUCHE'                = 5 ;
g_theta tabJel ;
JelT2 = tabJel.resultats.1 ;
JelP2 = tabJel.resultats.2 ;
JelTH2 = tabJel.resultats.3 ;
*Erreurs sur J : solution analytique VS calcul PASAPAS + G_THETA
errT2 = ((JelT2-JT)/JT)*100. ;
errP2 = ((JelP2-JP)/JP)*100. ;
errTH2 = ((JelTH2-JTH)/JTH)*100.;

*****
* AFFICHAGE DES RESULTATS ET DES ERREURS
***** 

SAUT 5 'LIGNE' ;
mess 'Solution Theorique'        : ' JT JP JTH ;
mess ;
mess 'Solution MEF (RESO)'       : ' JelT1 JelP1 JelTH1 ;
mess 'Erreur en %'              : ' errT1 errP1 errTH1 ;
mess ;
mess 'Solution MEF (PASAPAS)'    : ' JelT2 JelP2 JelTH2 ;
mess 'Erreur en %'              : ' errT2 errP2 errTH2 ;

* Test sur les erreurs
errT = MAXI 'ABS' (PROG errT1 errT2) ;
si ((abs errT) > 0.5) ;
  erre 'Erreur sur le calcul de JelT' ;
fins ;
errP = MAXI 'ABS' (PROG errP1 errP2) ;
si ((abs errP) > 0.5) ;
  erre 'Erreur sur le calcul de JelP' ;
fins ;
errTH = MAXI 'ABS' (PROG errTH1 errTH2) ;
si ((abs errTH) > 0.2) ;
  erre 'Erreur sur le calcul de JelTH' ;
fins ;

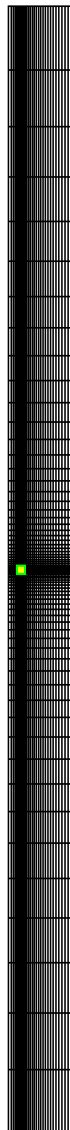
FIN ;

```

**5.6.19 rupt19.dgibi**

|                              |  |
|------------------------------|--|
| <b>Nom du fichier</b>        | rupt19.dgibi   |
| <b>Type de calcul</b>        | Mécanique de la rupture<br>2D axisymétrique  |
| <b>Type d'Eléments Finis</b> | QUA8   |
| <b>Référence</b>             | Solution analytique  |
| <b>Description</b>           | Calcul de l'intégrale J avec G_THETA sous plusieurs chargements :<br><ul style="list-style-type: none"> <li>- chargement en traction</li> <li>- chargement avec pression sur lèvres</li> <li>- chargement thermique</li> </ul> |
| <b>Objectif</b>              | <ul style="list-style-type: none"> <li>- Erreur relative J Traction &lt; 0.3%</li> <li>- Erreur relative J Pression &lt; 0.3%</li> <li>- Erreur relative J Thermique &lt; 0.4%</li> </ul>                                      |
| <b>Version de Cast3M</b>     | CAST3M 2016  |
| <b>Plateformes testées</b>   | IBM AiX<br>Linux 32-bits<br>Linux 64-bits<br>Windows 32-bits<br>Windows 64-bits<br>MAC OSX 64-bits   |

Tableau 73 : Informations sur le cas test rupt19.dgibi



*Figure 132 : Maillage du cas-test rupt19.dgibi*

**Jeu de données :**

```

* fichier : rupt19.dgibi
*****
* Section : Mecanique Endommagement
*****



***** Test rupt19.dgibi: Jeux de données *****
*-----*
* CAS TEST DU 15/12/15 PROVENANCE : TEST

*Cas test de validation pour le calcul de J sous plusieurs chargement
*avec les procedures g_theta.procedur et g_calcul.procedur
*
*- chargement en traction
*- chargement avec pression sur levres
*- chargement thermique

*Calcul en dimension 2 avec des elements QUA8 sur un maillage complet
*non symetrique

opti dime 2 elem qua8 mode axis echo 0 ;

* ig1 : mettre a vrai pour activer traces
ig1      = faux ;

***** Données paramétriques :
***** a : profondeur de la fissure *
* t : épaisseur du tube *
* ri, re : rayon interne/externe *
* h : hauteur du tube *

h = 1. ;
t = 60.e-3 ;
a = t/5 ;
ri = t*5;
re = ri+t;

*COORDONNEE DE LA POINTE DE LA FISSURE
pf = (a + ri) 0. ;

*NOMBRE D'ELEMENTS AUTOUR DE LA POINTE DE LA FISSURE (1 et 2 COUT)
n_fiss = 10 ;

*TAILLE D'UN ELEMENT DE LA 1ERE ET 2EME COUTURE*
t_el = 200e-6 ; t_el2 = 400e-6 ;
*Facteur d'agrandissement de la taille du derafinement
tt_el2 = 4.*t_el2 ;

*LONGUEUR DE LA 1ERE ET 2EME COUTURE*
lcl = n_fiss * t_el ; lc2 = t_el2 * n_fiss;

*NIVEAU DE CHARGEMENT
p0T = -400. ; p0P = 400. ; dt0 = 300. ;

***** DEBUT DU MAILLAGE
***** 1ERE COUTURE *****
***** (Autour de la pointe de la fissure) *****

plcbd = pf plus (lcl 0.) ;
plchd = pf plus (lcl lcl) ;
pfl = pf plus (0. lcl) ;
plchg = pfl moin (lcl 0.) ;
plcbg = pf moin (lcl 0.) ;

dlch = droi (2*n_fiss) plchd plchd;
dlcg = droi (n_fiss) plcbg plchd ;
dlcd = droi (n_fiss) plcbd plchd ;
dlcgb = droi (n_fiss) plcbg pf ;
dlcbd = droi (n_fiss) pf plcbd ;

cout1 = regl n_fiss dlch (dlcgb et dlcbd) ;
cout1 = coul jaun cout1 ;

***** 2EME COUTURE *****
***** (Autour de la pointe de la fissure) *****
***** Partie au-dessus de la fissure *****

p2cbd = pf plus (lc2 0.) ;
p2chd = pf plus (lc2 lc2) ;
pf2 = pf plus (0. lc2) ;

```

```

p2chg = pf2 moin (lc2 0.) ;
p2cbg = pf moin (lc2 0.) ;

d2ch = droi (2*n_fiss) p2chd p2chd;
d2cg = droi (n_fiss) p2cbg p2chd ;
d2cd = droi (n_fiss) p2cbd p2chd ;

cout2 = regl n_fiss (dlcd et dlch et dlcg) (d2cd et d2ch et d2cg) ;
cout2 = coul vert cout2 ;

coutlet2 = cout1 et cout2;

***** DERAFINEMENT DES COUTURES *****
***** Partie au-dessus de la fissure *****
***** ( DERAFA 4 ELEMENT ) ----

pid1 = p2chd moin (0. tt_el2) ;
pid2 = pid1 plus (0. t_el2) ;
pid3 = pid2 plus (0. t_el2) ;
pid4 = pid3 plus (0. t_el2) ;
pid5 = pid4 plus (0. t_el2) ;
pid6 = pid2 moin (t_el2 0.) ;
pid7 = pid3 moin (t_el2 0.) ;
pid8 = pid4 moin (t_el2 0.) ;
pid9 = pid1 moin (tt_el2 0.) ;
pid10 = pid3 moin (tt_el2 0.) ;
pid11 = pid5 moin (tt_el2 0.) ;

did1 = droi 1 pid1 pid2 ;
did2 = droi 1 pid2 pid3 ;
did3 = droi 1 pid3 pid4 ;
did4 = droi 1 pid4 pid5 ;
did5 = droi 1 pid9 pid6 ;
did6 = droi 1 pid6 pid7 ;
did7 = droi 1 pid7 pid8 ;
did8 = droi 1 pid11 pid8 ;
did9 = droi 1 pid10 pid7 ;

sil = (regl 1 did1 did5) et (regl 1 did2 did6) et
      (regl 1 did3 did7) et (regl 1 did4 (inve did8)) et
      (regl 1 did8 did9) et (regl 1 did9 did5) ;
elim sil 1.e-5 ;

***** ( DERAFA 3 ELEMENT ) ----

pad1 = pf moin (lc2 0.) ;
pad2 = pad1 plus (0. t_el2) ;
pad3 = pad2 plus (0. t_el2) ;
pad4 = pad3 plus (0. t_el2) ;
pad5 = pad2 moin (t_el2 0.) ;
pad6 = pad3 moin (t_el2 0.) ;
pad7 = pad1 moin (tt_el2 0.) ;
pad8 = pad4 moin (tt_el2 0.) ;

dad1 = droi 1 pad1 pad2 ;
dad2 = droi 1 pad2 pad3 ;
dad3 = droi 1 pad3 pad4 ;
dad4 = droi 1 pad7 pad5 ;
dad5 = droi 1 pad5 pad6 ;
dad6 = droi 1 pad6 pad8 ;

sal = (regl 1 dad1 dad4) et (regl 1 dad2 dad5) et
      (regl 1 dad3 dad6) et (regl 1 dad4 (inve dad6));
saal = sal ;
repe i0 1 ;
ssal = sal plus ( 0. (3.*&i0*t_el2)) ;
fin i0 ;
sal = sal et ssal ;
elim sal 1.e-5 ;

***** PARTIE GAUCHE -----
sig = sal et sil ; elim sig 1.e-5 ;

***** PARTIE DROITE -----
sid = sig syme droi ((coor 1 pf) 0.) ((coor 1 pf) lc2) ;
elim sid 1.e-5 ;

***** PARTIE HAUTE -----
*lignes diagonales pour la symetrie
p_diagon = p2chd plus (lcl lcl);
p_diago = p2chd moin (lcl 0.);
p_diagon = p_diago plus (0. lcl);

d_diagon = droi 1 plchd p_diagon;
d_diagon = droi 1 plchd p_diagon;

sihg = sig syme droi plchd p_diagon ;
elim sihg 1.e-5 ;
sidi = sid syme droi plchd p_diagon ;
elim sihd 1.e-5 ;

```

# GUIDE DE VALIDATION

```

sih = sihd et sihg ; elim sih 1.e-5 ;
*----- PARTIE COIN -----
dg = droi 1 pid11 p2chg;
dg = dg tran 1 (0. tt_el2);
dcd = dg syme droi ((coor 1 pf) 0.) ((coor 1 pf) lc2) ;
sic = dcd et dg; elim sic 1.e-5;
cout3 = sig et sid et sih et sic ; elim cout3 1.e-5 ;

cout_tot = cout1 et cout2 et cout3;
elim dlcdbd cout_tot 1.e-5 ;

***** RESTE DU MAILLAGE *****
***** Partie au-dessus de la fissure *****
***** Partie de gauche *****
pt1 = mini (coor 1 cout_tot) 0. ;
pt2 = (mini (coor 1 cout_tot)) (maxi (coor 2 cout_tot));
pt_partg = cout3 poin droit pt1 pt2 1.e-5 ;
d_partg = (cont cout_tot) elem appuye strictement pt_partg ;
p_ri = ri 0. ;
pg = d_partg tran
((coor 1 p_ri)-(mini(coor 1 cout_tot))) 0.) dini 1.6e-3 dfin 3.2e-3;

***** Partie de droite *****
pt3 = maxi (coor 1 cout_tot) 0. ;
pt4 = (maxi (coor 1 cout_tot)) (maxi (coor 2 cout_tot));
pt_partd = cout_tot poin droit pt3 pt4 1.e-5 ;
d_partd = (cont cout_tot) elem appuye strictement pt_partd ;
p_re = re 0. ;
pd = d_partd tran
((coor 1 p_re)-(maxi(coor 1 cout_tot))) 0.) dini 1.6e-3 dfin 3.2e-3;
bas_cout = pg et pd et cout_tot ; elim bas_cout 1.e-5 ;

***** Partie du haut *****
p5 = (mini (coor 1 bas_cout)) (maxi (coor 2 bas_cout));
p6 = (maxi (coor 1 bas_cout)) (maxi (coor 2 bas_cout));
pt_parth = bas_cout poin droit p5 p6 1.e-5 ;
d_parth = (cont bas_cout) elem appuye strictement pt_parth ;
ph = d_parth tran (0. ((h/2.) - (maxi(coor 2 bas_cout)))) ;
dini 1.6e-3 dfin t ;

***** Structure haute *****
stru_hau = ph et bas_cout ; elim stru_hau 1.e-5 ;

***** Structure basse *****
p7 = (mini (coor 1 bas_cout)) (mini (coor 2 bas_cout));
p8 = (maxi (coor 1 bas_cout)) (mini (coor 2 bas_cout));

stru_bas = stru_hau syme droit pf p8;
elim stru_bas 1.e-5;

pa = stru_hau poin proc (ri 0.);
pb = stru_hau poin proc (re 0.);
pad = stru_bas poin proc (ri 0.);

ligl = (cont stru_hau) elem compris plcbd pb;

***** Structure totale *****
s0 = stru_bas et stru_hau; elim stru_bas (dlcbd et ligl) 1.e-5;
***** DEFINITION DES LEVRES *****
lvsup = (cont stru_hau) elem compris pa pf ;
pff = (cont stru_bas) POINT PROC pf;
lvinf = (cont stru_bas) elem compris pad pff;
lvinf = INVE lvinf;
*lvsup = lvsup coul roug ; lvinf = lvinf coul bleu;

***** Definition des bords *****
*bord haut
l_hau = cote 3 ph;

*bord gauche
p_gau = s0 poin droit (ri (mini (coor 2 s0)))
(ri (maxi (coor 2 s0))) 1.e-5 ;
l_gau = (cont s0) elem appuye strictement p_gau ;

*bord droit
p_droi = s0 poin droit (re (mini (coor 2 s0)))
(re (maxi (coor 2 s0))) 1.e-5 ;
l_droi = (cont s0) elem appuye strictement p_droi ;

*bord bas
p_bas = s0 poin droi (ri (mini(coor 2 s0)))
(re (mini(coor 2 s0))) 1.e-5;
l_bas = (cont s0) elem appuye strictement p_bas ;

```

```

si igl ;
trac S0 titr ' Maillage ' ;
fins ;

=====
*****
*****
*****
* FIN DU MAILLAGE
*****
*****
*****

=====
*****
*****
*****
* PARTIE CALCULS
*****
*****

* PROPRIETE MATERIAUX A 300°C
E0 = 185e3; nu0 = 0.3; alfa0 = 13.08e-6;

mo0 = mode s0 mecanique elastique isotrope ;
ma0 = mate mo0 YOUN E0 nu nu0 alph alfa0 ;
rg0 = rigi mo0 ma0 ;

*CONDITIONS AUX LIMITES
*Blocages
c1l = bloc uz l_bas ;
c12 = rela ense uz l_hau ;
c10 = c1l et c12;

*Traction uniaxiale (via un modele de pression)
moph = MODE l_hau 'CHARGEMENT' 'PRESSION' 'CONS' 'HAUT' ;

*Pression sur les levres (via un modele de pression)
mopl = MODE (lvsup ET lvinf) 'CHARGEMENT' 'PRESSION' 'CONS' 'LEVRES' ;

*Elevation de temperature
chr = ((s0 coor 1) - ri) / (re - ri) ;
cht0 = nomc 'T' (dt0 * chr);

*****
* SOLUTIONS ANALYTIQUES
*****
*Fonctions d'influence
i0 = 1.211 ;
i1 = 0.718 ;

*Contraintes imposées pour le gradient de temperature
sig0 = ((E0*alfa0*dt0)/(1-nu0)) * (ri/(3*t)) *
((2*(re**2))/(ri*(re+ri)) - 1);
sig1 = -1. * ((E0*alfa0*dt0)/(1-nu0));

* J analytiques
JT = (1-(nu0**2)) * ((i0*(-1.*p0T)*((pi*a)**(1./2.)))**2) / E0;
JP = (1-(nu0**2)) * ((i0*(-1.*p0P)*((pi*a)**(1./2.)))**2) / E0;
JTH = (1-(nu0**2)) *
(((i0*sig0)+(i1*sig1*(a/t)))*((pi*a)**(1./2.))) **2)/E0;

***** CALCUL ELASTIQUE AVEC RESO - CALCUL DE J ELASTIQUE *****
***** Construction des second membres
maph = MATE moph 'PRES' p0T ;
f0T = BSIG moph maph ;
mapl = MATE mapl 'PRES' p0P ;
f0P = BSIG mapl mapl ;
sgth0 = THET mo0 ma0 cht0 ;
f0TH = BSIG mo0 sgth0 ;

* RESOLUTION ELASTIQUE DES 3 PROBLEMES
utestT utestP utestTH = RESO (rg0 ET c10) f0T f0P f0TH;
mena ;

*PROCEDURE G_THETA
*cas 1 : traction seule
tabJel = table ;
tabJel . 'MODELE' = mo0 ET moph ;
tabJel . 'CARACTERISTIQUES' = ma0 ET maph ;
tabJel . 'BLOCAGES_MECANIQUES' = c10 ;
tabJel . 'SOLUTION_RESO' = utestT ;
tabJel . 'OBJECTIF' = MOT 'J' ;
tabJel . 'LEVRE_SUPERIEURE' = lvsup ;
tabJel . 'LEVRE_INFERIEURE' = lvinf ;
tabJel . 'FRONT_FISSURE' = pf ;
tabJel . 'COUCHE' = 5 ;
g_theta tabJel ;
JelT1 = tabJel.resultats ;

*cas 2 : pression sur les levres
tabJel . 'MODELE' = mo0 ET mopl;
tabJel . 'CARACTERISTIQUES' = ma0 ET mapl ;
tabJel . 'SOLUTION_RESO' = utestP ;

```

```

g_theta tabJel ;
JelP1 = tabJel.resultats ;

*cas 3 : gradient de temperature
tabJel . 'MODELE' = mo0 ;
tabJel . 'CARACTERISTIQUES' = ma0 ;
tabJel . 'TEMPERATURES' = cht0 ;
tabJel . 'SOLUTION_RESO' = utestTH ;
g_theta tabJel ;
JelTH1 = tabJel.resultats ;

*Erreurs sur J : solution analytique VS calcul RESO + G_THETA
errT1 = ((JelT1-JT)/JT)*100. ;
errP1 = ((JelP1-JP)/JP)*100. ;
errTH1 = ((JelTH1-JTH)/JTH)*100. ;

*****
* CALCUL ELASTIQUE AVEC PASAPAS - CALCUL DE J ELASTIQUE
*****


* Chargements de pression (obligatoires si modele de pression)
evph = EVOL 'MANU' 'TEMP' (PROG 0. 1. 2. 3.)
          'PRES' (PROG 0. 1. 0. 0.) ;
chaph = CHAR 'PRES' (CHAN 'TYPE' maph 'CONTRAINTE') evph ;
evpl = EVOL 'MANU' 'TEMP' (PROG 0. 1. 2. 3.)
          'PRES' (PROG 0. 0. 1. 0.) ;
chapl = CHAR 'PRES' (CHAN 'TYPE' mapl 'CONTRAINTE') evpl ;

* Chargement thermique
chath = CHAR 'T' cht0 (EVOL 'MANU' (PROG 0. 1. 2. 3.)
          (PROG 0. 0. 0. 1.)) ;

*RESOLUTION AVEC PASAPAS DES 3 PROBLEMES (UN A CHAQUE PAS DE TEMPS)
*AU PAS 1 : Traction seule
*AU PAS 2 : Pression sur les levres
*AU PAS 3 : Gradient de temperature
tabT = TABL ;
tabT . 'MODELE' = mo0 ET moph ET mopl ;
tabT . 'CARACTERISTIQUES' = ma0 ET maph ET mapl ;
tabT . 'BLOCAGES_MECANIQUES' = c10 ;
tabT . 'CHARGEMENT' = chaph ET chapl ET chath ;
tabT . 'TEMPS_CALCULES' = PROG 1. 2. 3. ;
PASAPAS tabT ;

*PROCEDURE G_THETA POUR LES 3 PROBLEMES (UN A CHAQUE PAS DE TEMPS)
tabJel = TABL ;
tabJel . 'SOLUTION_PASAPAS' = tabT ;

tabJel . 'OBJECTIF' = MOT 'J' ;
tabJel . 'LEVRE_SUPERIEURE' = lvsup ;
tabJel . 'LEVRE_INFERIEURE' = lvinf ;
tabJel . 'FRONT_FISSURE' = pf ;
tabJel . 'COUCHE' = 5 ;
g_theta tabJel ;
JelT2 = tabJel.resultats.1 ;
JelP2 = tabJel.resultats.2 ;
JelTH2 = tabJel.resultats.3 ;
*Erreurs sur J : solution analytique VS calcul PASAPAS + G_THETA
errT2 = ((JelT2-JT)/JT)*100. ;
errP2 = ((JelP2-JP)/JP)*100. ;
errTH2 = ((JelTH2-JTH)/JTH)*100. ;

***** 
* AFFICHAGE DES RESULTATS ET DES ERREURS
***** 
SAUT 5 'LIGNE' ;
mess 'Solution Theorique' : ' JT JP JTH' ;
mess ;
mess 'Solution MEF (RESO)' : ' JelT1 JelP1 JelTH1' ;
mess 'Erreur en %' : ' errT1 errP1 errTH1' ;
mess ;
mess 'Solution MEF (PASAPAS)' : ' JelT2 JelP2 JelTH2' ;
mess 'Erreur en %' : ' errT2 errP2 errTH2' ;

* Test sur les erreurs
errT = MAXI 'ABS' (PROG errT1 errT2) ;
si ((abs errT) > 0.3) ;
  erre 'Erreur sur le calcul de JelT' ;
fins ;
errP = MAXI 'ABS' (PROG errP1 errP2) ;
si ((abs errP) > 0.3) ;
  erre 'Erreur sur le calcul de JelP' ;
fins ;
errTH = MAXI 'ABS' (PROG errTH1 errTH2) ;
si ((abs errTH) > 0.4) ;
  erre 'Erreur sur le calcul de JelTH' ;
fins ;

FIN ;

```

**5.6.20 rupt20.dgibi**

|                              |  |
|------------------------------|--|
| <b>Nom du fichier</b>        | rupt20.dgibi   |
| <b>Type de calcul</b>        | Mécanique de la rupture<br>3D  |
| <b>Type d'Eléments Finis</b> | CUB8   |
| <b>Référence</b>             | Solution analytique  |
| <b>Description</b>           | Calcul de l'intégrale J avec G_THETA sous plusieurs chargements :<br><ul style="list-style-type: none"> <li>- chargement en traction</li> <li>- chargement avec pression sur lèvres</li> <li>- chargement thermique</li> </ul> |
| <b>Objectif</b>              | <ul style="list-style-type: none"> <li>- Erreur relative J Traction &lt; 0.5%</li> <li>- Erreur relative J Pression &lt; 0.5%</li> <li>- Erreur relative J Thermique &lt; 0.2%</li> </ul>                                      |
| <b>Version de Cast3M</b>     | CAST3M 2016  |
| <b>Plateformes testées</b>   | IBM AiX<br>Linux 32-bits<br>Linux 64-bits<br>Windows 32-bits<br>Windows 64-bits<br>MAC OSX 64-bits   |

*Tableau 74 : Informations sur le cas test rupt20.dgibi*

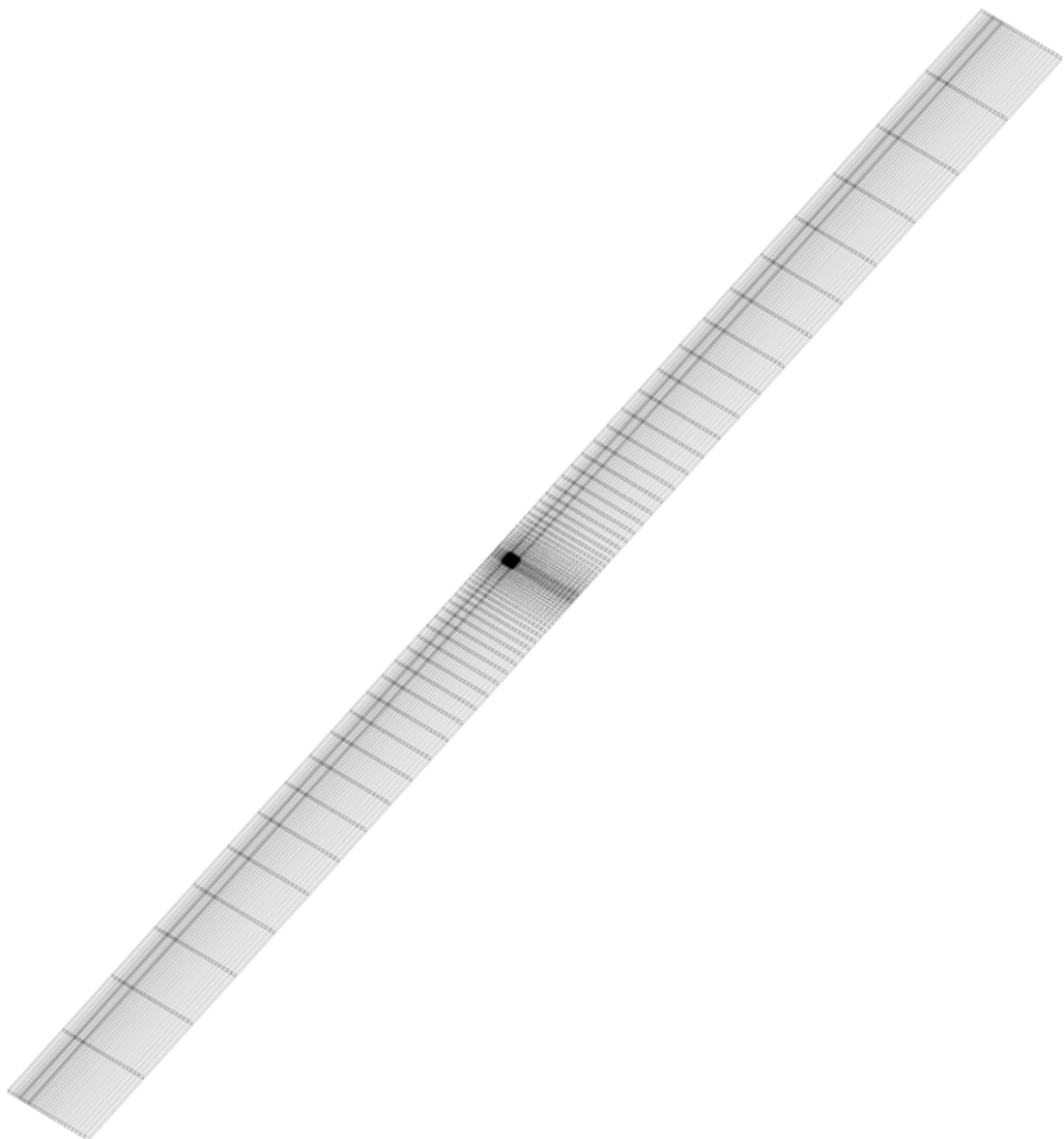


Figure 133 : Maillage du cas-test rupt20.dgibi



## Jeu de données :

```

* fichier : rupt20.dgibi
opti epsi lineaire ;
***** Section : Mecanique Endommagement *****
***** CAS TEST DU 15/12/15 PROVENANCE : TEST

*Cas test de validation pour le calcul de J sous plusieurs chargement
*avec les procedures g_theta.procedur et g_calcul.procedur
*
*- chargement en traction
*- chargement avec pression sur levres
*- chargement thermique

*Calcul en dimension 3 avec des elements CUB8 sur un maillage complet
*non symetrique

opti dime 3 elem cub8 echo 0 ;
*****
*Donnees parametriques :
*****
* a : profondeur de la fissure *
* t : epaisseur du tube *
* ri, re : rayon interne/externe *
* h : hauteur du tube *

h = 1. ;
t = 60.e-3 ;
a = t / 5. ;
ri = t * 5. ;
re = ri + t ;

*NB D'ELEMENT ET LE DEGREE DE REVOLUTION
nl = 1;
deg1 = 0.5 ;

*POINTS POUR L'AXE DE REVOLUTION
p0 = (0. 0. 0.);
py = (0. 1. 0.);

*COORDONNEE DE LA POINTE DE LA FISSURE
pf = (a + ri) 0. 0.;

*NOMBRE D'ELEMENTS AUTOUR DE LA POINTE DE LA FISSURE (1 et 2 COUT)
nfiss = 10;

*TAILLE D'UN ELEMENT DE LA 1ERE ET 2EME COUTURE*
tel = 200e-6 ; tel2 = 400e-6 ;
*Facteur d'agrandissement de la taille du derafinement
ttel2 = 4.*tel2 ;

*LONGUEUR DE LA 1ERE ET 2EME COUTURE*
lcl = nfiss * tel ; lc2 = tel2 * nfiss;

*NIVEAU DE CHARGEMENT
p0T = -400. ; p0P = 400. ; dt0 = 300.;

*=====
*+-----+
*+-----+ DEBUT DU MAILLAGE
*+-----+
*=====

***** 1ERE COUTURE *****
***** (Autour de la pointe de la fissure) *****

plcbd = pf plus (lcl 0. 0.) ;
plchd = pf plus (lcl lcl 0.) ;
pfl = pf plus (0. lcl 0.) ;
plchq = pfl moin (lcl 0. 0.) ;
plcbg = pf moin (lcl 0. 0.) ;

dlch = droi (2*nfiss) plchq plchd;
dlcq = droi (nfiss) plcbg plchq ;
dlcd = droi (nfiss) plcbd plchd ;
dlcgb = droi (nfiss) plcbg pf ;
dlcbd = droi (nfiss) pf plcbd ;

coutl = regl nfiss dlch (dlcgb et dlcbd) ;
*coutl = coul jaun coutl ;

***** 2EME COUTURE *****
***** (Autour de la pointe de la fissure) *****
***** Partie au-dessus de la fissure *****
```

```

p2cbd = pf plus (lc2 0. 0.) ;
p2chd = pf plus (lc2 lc2 0.) ;
pf2 = pf plus (0. lc2 0.) ;
p2chg = pf2 moin (lc2 0. 0.) ;
p2cbg = pf moin (lc2 0. 0.) ;

d2ch = droi (2*nfiss) p2chg p2chd;
d2cg = droi (nfiss) p2cbg p2chg ;
d2cd = droi (nfiss) p2cbd p2chd ;

cout2 = regl nfiss (dlcd et dlch et dlcg) (d2cd et d2ch et d2cg) ;
*cout2 = coul vert cout2 ;

coutlet2 = cout1 et cout2;

***** DERAFINEMENT DES COUTURES *****
***** Partie au-dessus de la fissure *****
*****-----( DERAF A 4 ELEMENT )-----****

pid1 = p2chg moin (0. ttel2 0.) ;
pid2 = pid1 plus (0. tel2 0.) ;
pid3 = pid2 plus (0. tel2 0.) ;
pid4 = pid3 plus (0. tel2 0.) ;
pid5 = pid4 plus (0. tel2 0.) ;
pid6 = pid2 moin (tel2 0. 0.) ;
pid7 = pid3 moin (tel2 0. 0.) ;
pid8 = pid4 moin (tel2 0. 0.) ;
pid9 = pid1 moin (ttel2 0. 0.) ;
pid10 = pid3 moin (ttel2 0. 0.) ;
pid11 = pid5 moin (ttel2 0. 0.) ;

did1 = droi 1 pid1 pid2 ;
did2 = droi 1 pid2 pid3 ;
did3 = droi 1 pid3 pid4 ;
did4 = droi 1 pid4 pid5 ;
did5 = droi 1 pid9 pid6 ;
did6 = droi 1 pid6 pid7 ;
did7 = droi 1 pid7 pid8 ;
did8 = droi 1 pid11 pid8 ;
did9 = droi 1 pid10 pid7 ;

sil = (regl 1 did1 did5) et (regl 1 did2 did6) et
      (regl 1 did3 did7) et (regl 1 did4 (inve did8)) et
      (regl 1 did8 did9) et (regl 1 did9 did5) ;
elim sil 1.e-5 ;

*trac sil;

*****-----( DERAF A 3 ELEMENT )-----****

pad1 = pf moin (lc2 0. 0.) ;
pad2 = pad1 plus (0. tel2 0.) ;
pad3 = pad2 plus (0. tel2 0.) ;
pad4 = pad3 plus (0. tel2 0.) ;
pad5 = pad2 moin (tel2 0. 0.) ;
pad6 = pad3 moin (tel2 0. 0.) ;
pad7 = pad1 moin (ttel2 0. 0.) ;
pad8 = pad4 moin (ttel2 0. 0.) ;

dad1 = droi 1 pad1 pad2 ;
dad2 = droi 1 pad2 pad3 ;
dad3 = droi 1 pad3 pad4 ;
dad4 = droi 1 pad7 pad5 ;
dad5 = droi 1 pad5 pad6 ;
dad6 = droi 1 pad6 pad8 ;

sal = (regl 1 dad1 dad4) et (regl 1 dad2 dad5) et
      (regl 1 dad3 dad6) et (regl 1 dad4 (inve dad6));
saal = sal ;
repeat i0 1 ;
ssal = sal plus ( 0. (3.*&i0*tel2) 0.) ;
fin i0 ;
sal = sal et ssal ;
elim sal 1.e-5 ;

*trac sal;

*****----- PARTIE GAUCHE -----
sig = sal et sil ; elim sig 1.e-5 ;

*****----- PARTIE DROITE -----
sid = sig syme droi ((coor 1 pf) 0. 0.) ((coor 1 pf) lc2 0.) ;
elim sid 1.e-5 ;

*****----- PARTIE HAUTE -----
*p lignes diagonales pour la symetrie
p_diagon = p2chd plus (lc1 lc1 0.);
p_diago = p2chg moin (lc1 0. 0.);
p_diagog = p_diago plus (0. lc1 0.);

d_diagon = droi 1 plchq p_diagon;
d_diago = droi 1 plchd p_diago;
```

```

sihg = sig syme droi plchq p_diagog ;
elim sihg 1.e-5 ;
sihd = sid syme droi plchd p_diagod ;
elim sihd 1.e-5 ;

sih = sihd et sihg ; elim sih 1.e-5 ;

*trac sih;

----- PARTIE COIN -----

dg = droi 1 pid11 p2chg;
dcg = dg tran 1 (0. ttel2 0.);
dcd = dcg syme droi ((coor 1 pf) 0. 0.) ((coor 1 pf) lc2 0.) ;
sic = dcd et dcg; elim sic 1.e-5;
cout3 = sig et sid et sih et sic ; elim cout3 1.e-5 ;

couttot = cout1 et cout2 et cout3;
elim dlcbd couttot 1.e-5 ;

***** RESTE DU MAILLAGE *****
***** Partie au-dessus de la fissure *****

*Partie de gauche
-----
ptl = mini (coor 1 couttot) 0. 0. ;
pt2 = (mini (coor 1 couttot)) (maxi (coor 2 couttot)) 0. ;
ptpartg = cout3 poing droit pt1 pt2 1.e-5 ;
d_partg = (cont couttot) elem appuye strictement ptpartg ;
pri = ri 0. 0. ;
pg = d_partg tran
(((coor 1 pri)-(mini(coor 1 couttot))) 0. 0.) dini 1.6e-3 dfin 3.2e-3;

*Partie de droite
-----
pt3 = maxi (coor 1 couttot) 0. 0. ;
pt4 = (maxi (coor 1 couttot)) (maxi (coor 2 couttot)) 0. ;
ptpartd = couttot poing droit pt3 pt4 1.e-5 ;
dpartd = (cont couttot) elem appuye strictement ptpartd ;
pre = re 0. 0. ;
pd = dpartd tran
(((coor 1 pre)-(maxi(coor 1 couttot))) 0. 0.) dini 1.6e-3 dfin 3.2e-3;
bascout = pg et pd et couttot ; elim bascout 1.e-5 ;

*Partie du haut
-----
p5 = (mini (coor 1 bascout)) (maxi (coor 2 bascout)) 0. ;
p6 = (maxi (coor 1 bascout)) (maxi (coor 2 bascout)) 0. ;
pt_parth = bascout poing droit p5 p6 1.e-5 ;
dpartd = (cont bascout) elem appuye strictement pt_parth ;
ph = dpartd tran 0. ((h/2.) - (maxi(coor 2 bascout))) 0. )
dini 1.6e-3 dfin t;

*Lèvre et Ligament sur partie haute
-----
struhau = ph et bascout ;
pri = struhau poing proc (ri 0. 0. ) ;
pre = struhau poing proc (re 0. 0. ) ;
prh = struhau poing proc (re (0.5 * h) 0. ) ;
ll1 = struhau poing droit pri pre 1e-7 ;
ll2 = (cont struhau) elem appuye strictement ll1 ;
llvsup = ll2 elem comp pri pf ;
llig = ll2 elem comp pre pf ;

*Structure haute
-----
vhau = struhau volu nl rota deg1 p0 py ;
levsup = llvsup rota nl deg1 p0 py ;
slig = llig rota nl deg1 p0 py ;
elim (vhau et slig et levsup)1.e-7 ;

*Structure basse
-----
pri2 = pri plus (0. 0. 1.) ;
vbav = vhau syme plan pri pri2 pre ;
levinf = levsup plus (0. 0. 0.) ;
levinf = INVE levinf ;
elim (vbav et levinf et slig) 1.e-7 ;

***** bord haut
zm = maxi (coor 2 vhau) ;
sab5 = POIN vhau PLAN (0. zm 0.) (0. zm 1.)(1. zm 0.) 1e-6;
sursup = ELEM (ENVE vhau) APPU SIRIC sab5;
sursup = INVE sursup;

*Surface bas
zm = mini (coor 2 vbav) ;
sab6 = POIN vbav PLAN (0. zm 0.) (0. zm 1.)(1. zm 0.) 1e-6;
surbas = ELEM (ENVE vbav) APPU STRIC sab6;

*Trois points sur la surface f2
zm = mini (vhau coor 3) ;

```

```

PC = vhau poing proc (ri 0. zm) ;
PD = vhau poing proc (re 0. zm) ;
PE = vhau poing proc (ri (h / 2.) zm) ;

*TRAC (VBAS et VHAU);

=====
***** FIN DU MAILLAGE *****
=====

* PROPRIETE MATERIAUX A 300°C
E0 = 185e3; nu0 = 0.3; alfa0 = 13.08e-6;

v0 = vbav et vhau;
FRONT = (cont levsup) elem appuye strictement slig ;

mo0 = mode v0 mecanique elastique isotrope ;
ma0 = mate mo0 YOUN E0 nu nu0 alph alfa0 ;
rg0 = rigi mo0 ma0 ;

*CONDITIONS AUX LIMITES
*Blocages
c11 = bloc uy surbas ;
c12 = rela ense uy sursup ;
c13 = v0 symt dep1 pri pre prh 1.e-6 ;
c14 = v0 symt dep1 PC PD PE 1.e-6 ;
c10 = c11 et c12 et c13 et c14 ;

*Traction uniaxiale (via un modele de pression)
moph = MODE sursup 'CHARGEMENT' 'PRESSION' 'CONS' 'HAUT' ;

*Pression sur les levres (via un modele de pression)
mopl = MODE (levsup ET levinf) 'CHARGEMENT' 'PRESSION' 'CONS' 'LEVRES' ;

*Elevation de temperature
chr = ((v0 coor 1) - ri) / (re - ri) ;
cht0 = nmc 'T' (dt0 * chr);

***** SOLUTIONS ANALYTIQUES *****
*Fonctions d'influence
i0 = 1.211 ;
il1 = 0.718 ;

*Contraintes imposées pour le gradient de température
sig0 = ((E0*alfa0*dt0)/(1-nu0)) * (ri/(3*t)) *
((2*(re**2))/(ri*(re+ri)) - 1);
sig1 = -1. * ((E0*alfa0*dt0)/(1-nu0));

* J analytiques
JT = (1-(nu0**2)) * (((i0*(-1.*p0T)*((pi*a)**(1./2.)))**2) / E0;
JP = (1-(nu0**2)) * (((i0*(-1.*p0P)*((pi*a)**(1./2.)))**2) / E0;
JTH = (1-(nu0**2)) *
(((i0*sig0)+( il1*sig1*(a/t)))*((pi*a)**(1./2.))) **2)/E0;

* CALCUL ELASTIQUE AVEC RESO - CALCUL DE J ELASTIQUE
*****
* Construction des second membres
maph = MATE moph 'PRES' p0T ;
f0T = BSIG moph maph ;
mapl = MATE mopl 'PRES' p0P ;
f0P = BSIG mopl mapl ;

sgth0 = THET mo0 ma0 cht0 ;
f0TH = BSIG mo0 sgth0 ;

* RESOLUTION ELASTIQUE DES 3 PROBLEMES
utestT utestP utestTH = RESO (rg0 ET cl0) f0T f0P f0TH;
mena ;

*PROCEDURE G_THETA
*cas 1 : traction seule
tabJel = table ;
tabJel . 'MODELE' = mo0 ET moph ;
tabJel . 'CARACTERISTIQUES' = ma0 ET maph ;
tabJel . 'BLOCAGES_MECHANIQUES' = c10 ;
tabJel . 'SOLUTION_RESO' = utestT ;
tabJel . 'OBJECTIF' = MOT 'J' ;

```

## GUIDE DE VALIDATION

```

tabJel . 'LEVRE_SUPERIEURE'      = levsup ;
tabJel . 'LEVRE_INFERIEURE'      = levinf ;
tabJel . 'FRONT_FISSURE'          = FRONT ;
tabJel . 'COUCHE'                = 5 ;
g_theta tabJel ;
JelT1 = tabJel.resultats.global ;

*cas 2 : pression sur les levres
tabJel . 'MODELE'                = mo0 ET mopl ;
tabJel . 'CARACTERISTIQUES'       = ma0 ET mapl ;
tabJel . 'SOLUTION_RESO'          = utestP ;
g_theta tabJel ;
JelP1 = tabJel.resultats.global ;

*cas 3 : gradient de temperature
tabJel . 'MODELE'                = mo0 ;
tabJel . 'CARACTERISTIQUES'       = ma0 ;
tabJel . 'TEMPERATURES'           = cht0 ;
tabJel . 'SOLUTION_RESO'          = utestTH ;
g_theta tabJel ;
JelTH1 = tabJel.resultats.global ;

*Erreurs sur J entre la solution analytique et le MEF
errT1 = ((JelT1-JT)/JT)*100. ;
errP1 = ((JelP1-JP)/JP)*100. ;
errTH1 = ((JelTH1-JTH)/JTH)*100. ;

*****
* CALCUL ELASTIQUE AVEC PASAPAS - CALCUL DE J ELASTIQUE
*****



* Chargements de pression (obligatoires si modele de pression)
evph = EVOL 'MANU' 'TEMP' (PROG 0. 1. 2. 3.)
    'PRES' (PROG 0. 1. 0. 0.) ;
chaph = CHAR 'PRES' (CHAN 'TYPE' maph 'CONTRAINIES') evph ;
evpl = EVOL 'MANU' 'TEMP' (PROG 0. 1. 2. 3.)
    'PRES' (PROG 0. 0. 1. 0.) ;
chapl = CHAR 'PRES' (CHAN 'TYPE' mapl 'CONTRAINIES') evpl ;
* Chargement thermique
chath = CHAR 'T' cht0 (EVOL 'MANU' (PROG 0. 1. 2. 3.)
    (PROG 0. 0. 0. 1.)) ;

*RESOLUTION AVEC PASAPAS DES 3 PROBLEMES (UN A CHAQUE PAS DE TEMPS)
*AU PAS 1 : Traction seule
*AU PAS 2 : Pression sur les levres
*AU PAS 3 : Gradient de temperature
tabT = TABL ;
tabT . 'MODELE' = mo0 ET moph ET mopl ;
tabT . 'CARACTERISTIQUES' = ma0 ET maph ET mapl ;
tabT . 'BLOCAGES_MECAHIQUES' = cl0 ;
tabT . 'CHARGEMENT' = chaph ET chapl ET chath ;
tabT . 'TEMPS_CALCULES' = PROG 1. 2. 3. ;
PASAPAS tabT ;

*PROCEDURE G_THETA POUR LES 3 PROBLEMES (UN A CHAQUE PAS DE TEMPS)
*ATTENTION, IL FAUT RETIRER LE CHARGERMENT MECA DE PRESSION SUR LES
*LEVRES ET UTILISER LE CHARGERMENT PLEV
*PROCEDURE G_THETA POUR LES 3 PROBLEMES (UN A CHAQUE PAS DE TEMPS)
tabJel = TABL ;
tabJel . 'SOLUTION_PASAPAS'        = tabT ;
tabJel . 'OBJECTIF'               = MOT 'J' ;
tabJel . 'LEVRE_SUPERIEURE'         = levsup ;
tabJel . 'LEVRE_INFERIEURE'         = levinf ;
tabJel . 'FRONT_FISSURE'            = FRONT ;
tabJel . 'COUCHE'                  = 5 ;
g_theta tabJel ;
JelT2 = tabJel.resultats. 1 . global ;
JelP2 = tabJel.resultats. 2 . global ;
JelTH2 = tabJel.resultats. 3 . global ;
*Erreurs sur J : solution analytique VS calcul PASAPAS + G_THETA
errT2 = ((JelT2-JT)/JT)*100. ;
errP2 = ((JelP2-JP)/JP)*100. ;
errTH2 = ((JelTH2-JTH)/JTH)*100. ;

*****AFFICHAGE DES RESULTATS ET DES ERREURS*****
SAUT 5 'LIGNE' ;
mess 'Solution Theorique' : ' JT JP JTH ;
mess ;
mess 'Solution MEF (RESO)' : ' JelT1 JelP1 JelTH1 ;
mess 'Erreur en %' : ' errT1 errP1 errTH1 ;
mess ;
mess 'Solution MEF (PASAPAS)' : ' JelT2 JelP2 JelTH2 ;
mess 'Erreur en %' : ' errT2 errP2 errTH2 ;

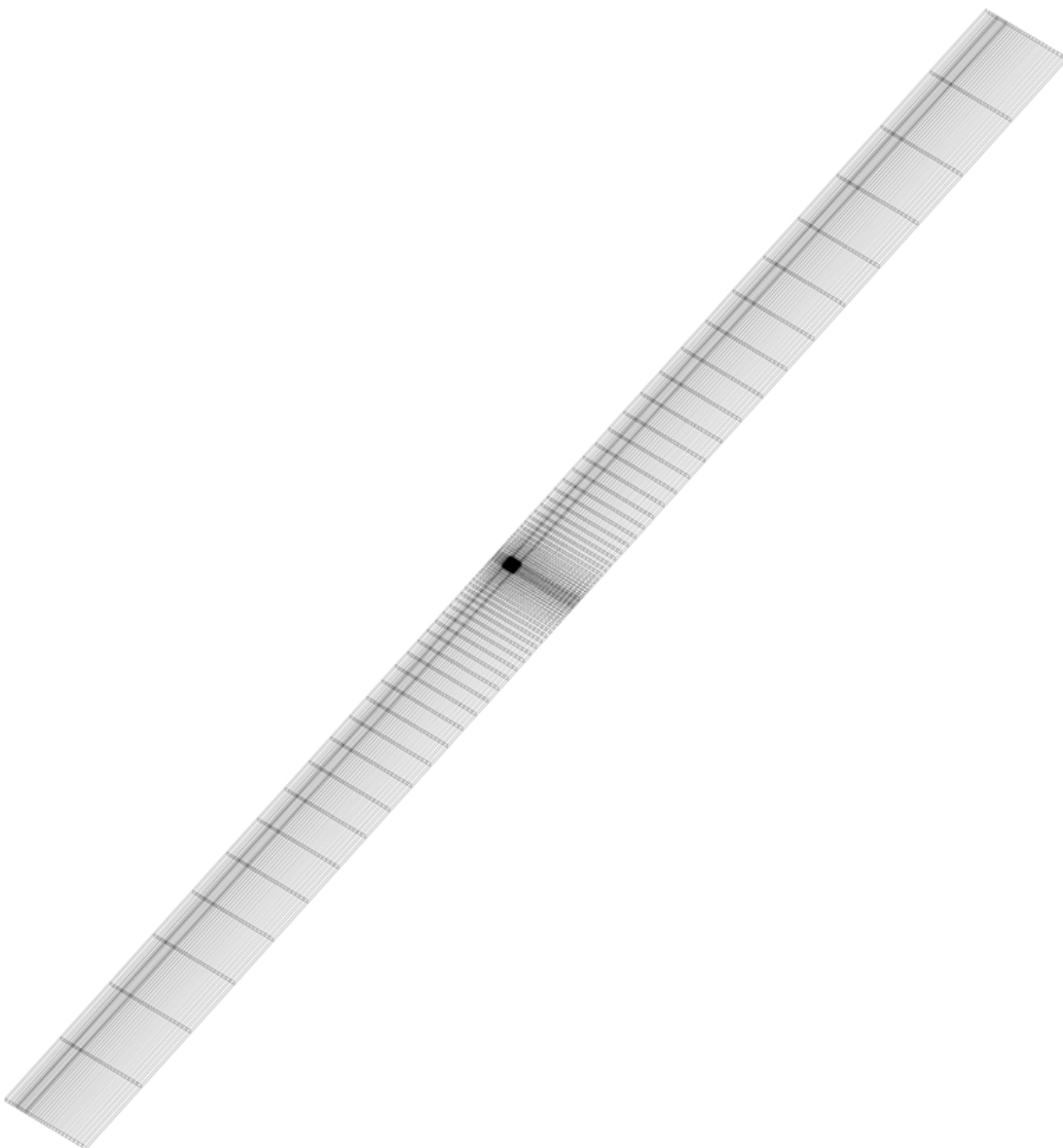
* Test sur les erreurs
errT = MAXI 'ABS' (PROG errT1 errT2) ;
si ((abs errT) > 0.5) ;
    erre 'Erreur sur le calcul de Jelt' ;
fins ;
errP = MAXI 'ABS' (PROG errP1 errP2) ;
si ((abs errP) > 0.5) ;
    erre 'Erreur sur le calcul de Jelp' ;
fins ;
errTH = MAXI 'ABS' (PROG errTH1 errTH2) ;
si ((abs errTH) > 0.2) ;
    erre 'Erreur sur le calcul de JelTH' ;
fins ;
FIN ;

```

### 5.6.21 rupt21.dgibi

|                              |  |
|------------------------------|--|
| <b>Nom du fichier</b>        | rupt21.dgibi   |
| <b>Type de calcul</b>        | Mécanique de la rupture<br>3D  |
| <b>Type d'Eléments Finis</b> | CU20   |
| <b>Référence</b>             | Solution analytique  |
| <b>Description</b>           | Calcul de l'intégrale J avec G_THETA sous plusieurs chargements :<br><ul style="list-style-type: none"> <li>- chargement en traction</li> <li>- chargement avec pression sur lèvres</li> <li>- chargement thermique</li> </ul> |
| <b>Objectif</b>              | <ul style="list-style-type: none"> <li>- Erreur relative J Traction &lt; 1.0%</li> <li>- Erreur relative J Pression &lt; 1.0%</li> <li>- Erreur relative J Thermique &lt; 0.6%</li> </ul>                                      |
| <b>Version de Cast3M</b>     | CAST3M 2016  |
| <b>Plateformes testées</b>   | IBM AiX<br>Linux 32-bits<br>Linux 64-bits<br>Windows 32-bits<br>Windows 64-bits<br>MAC OSX 64-bits   |

Tableau 75 : Informations sur le cas test rupt21.dgibi



*Figure 134 : Maillage du cas-test rupt21.dgibi*

**Jeu de données :**

```

*fichier : rupt21.dgibi
*****
* Section : Mecanique Endommagement
*****



***** Test rupt21.dgibi: Jeux de données *****
*-----*
* CAS TEST DU 15/12/15 PROVENANCE : TEST

*Cas test de validation pour le calcul de J sous plusieurs chargement
*avec les procédures g_theta.procedur et g_calcul.procedur
*
*- chargement en traction
*- chargement avec pression sur levres
*- chargement thermique

*Calcul en dimension 3 avec des éléments CU20 sur un maillage complet
*non symétrique

opti dime 3 elem cu20 echo 0 ;
*****
*Données paramétriques :
*****
*a : profondeur de la fissure *
*t : épaisseur du tube *
*ri, re : rayon interne/externe *
*h : hauteur du tube *

h = 1. ;
t = 60.e-3 ;
a = t / 5. ;
ri = t * 5. ;
re = ri + t;

*NB D'ELEMENT ET LE DEGRE DE REVOLUTION
nl = 1;
degl = 0.5 ;

*POINTS POUR L'AXE DE REVOLUTION
p0 = (0. 0. 0.);
py = (0. 1. 0.);

*COORDONNÉE DE LA POINTE DE LA FISSURE
pf = (a + ri) 0. 0.;

*NOMBRE D'ELEMENTS AUTOUR DE LA POINTE DE LA FISSURE (1 et 2 COUT)
nfiss = 10;

*TAILLE D'UN ELEMENT DE LA 1ERE ET 2EME COUTURE*
tel = 200e-6 ; tel2 = 400e-6 ;
*Facteur d'agrandissement de la taille du derafinement
ttel2 = 4.*tel2 ;

*LONGUEUR DE LA 1ERE ET 2EME COUTURE*
lcl = nfiss * tel ; lc2 = tel2 * nfiss;

*NIVEAU DE CHARGEMENT
pOT = -400. ; pOP = 400. ; dt0 = 300.;

=====
*DEBUT DU MAILLAGE
=====

***** 1ERE COUTURE *****
*(Autour de la pointe de la fissure) *****

plcbd = pf plus (lcl 0. 0.) ;
plchd = pf plus (lcl lcl 0.) ;
pf1 = pf plus (0. lcl 0.) ;
plchg = pf1 moin (lcl 0. 0.) ;
plcbg = pf moin (lcl 0. 0.) ;

dlch = droi (2*nfiss) plchd plchd;
dlcg = droi (nfiss) plcbg plchd ;
dlcd = droi (nfiss) plcbd plchd ;
dlcbg = droi (nfiss) plcbg pf ;
dlcbd = droi (nfiss) pf plcbd ;

cout1 = regl nfiss dlch (dlcby et dlcbd) ;
*cout1 = coul jaun cout1 ;

***** 2EME COUTURE *****
*(Autour de la pointe de la fissure) *****
*Partie au-dessus de la fissure *****
*****
```

```

p2cbd = pf plus (lc2 0. 0.) ;
p2chd = pf plus (lc2 lc2 0.) ;
pf2 = pf plus (0. lc2 0.) ;
p2chg = pf2 moin (lc2 0. 0.) ;
p2cbg = pf moin (lc2 0. 0.) ;

d2ch = droi (2*nfiss) p2chd p2chd;
d2cg = droi (nfiss) p2cbg p2chd ;
d2cd = droi (nfiss) p2cd p2chd ;

cout2 = regl nfiss (dlcd et dlch et dlcg) (d2cd et d2ch et d2cg) ;
*cout2 = coul vert cout2 ;

coutlet2 = cout1 et cout2;

***** DERAFINEMENT DES COUTURES *****
***** Partie au-dessus de la fissure *****
*****



-----( DERAF A 4 ELEMENT )-----

pid1 = p2chd moin (0. ttel2 0.) ;
pid2 = pid1 plus (0. tel2 0.) ;
pid3 = pid2 plus (0. tel2 0.) ;
pid4 = pid3 plus (0. tel2 0.) ;
pid5 = pid4 plus (0. tel2 0.) ;
pid6 = pid2 moin (tel2 0. 0.) ;
pid7 = pid3 moin (tel2 0. 0.) ;
pid8 = pid4 moin (tel2 0. 0.) ;
pid9 = pid1 moin (ttel2 0. 0.) ;
pid10 = pid3 moin (ttel2 0. 0.) ;
pid11 = pid5 moin (ttel2 0. 0.) ;

did1 = droi 1 pid1 pid2 ;
did2 = droi 1 pid2 pid3 ;
did3 = droi 1 pid3 pid4 ;
did4 = droi 1 pid4 pid5 ;
did5 = droi 1 pid5 pid6 ;
did6 = droi 1 pid6 pid7 ;
did7 = droi 1 pid7 pid8 ;
did8 = droi 1 pid11 pid8 ;
did9 = droi 1 pid10 pid7 ;

sil1 = (regl 1 did1 did5) et (regl 1 did2 did6) et
      (regl 1 did3 did7) et (regl 1 did4 (inve did8)) et
      (regl 1 did8 did9) et (regl 1 did9 did5) ;
elim sil1 1.e-5 ;

*trac sil1;

-----( DERAF A 3 ELEMENT )-----


pad1 = pf moin (lc2 0. 0.) ;
pad2 = pad1 plus (0. tel2 0.) ;
pad3 = pad2 plus (0. tel2 0.) ;
pad4 = pad3 plus (0. tel2 0.) ;
pad5 = pad2 moin (tel2 0. 0.) ;
pad6 = pad3 moin (tel2 0. 0.) ;
pad7 = pad1 moin (ttel2 0. 0.) ;
pad8 = pad4 moin (ttel2 0. 0.) ;

dad1 = droi 1 pad1 pad2 ;
dad2 = droi 1 pad2 pad3 ;
dad3 = droi 1 pad3 pad4 ;
dad4 = droi 1 pad7 pad5 ;
dad5 = droi 1 pad5 pad6 ;
dad6 = droi 1 pad6 pad8 ;

sal = (regl 1 dad1 dad4) et (regl 1 dad2 dad5) et
      (regl 1 dad3 dad6) et (regl 1 dad4 (inve dad6));
saal = sal ;
repe i0 1 ;
ssal = sal plus ( 0. (3.*&i0*tel2) 0.) ;
fin i0 ;
sal = sal et ssal ;
elim sal 1.e-5 ;

*trac sal;

----- PARTIE GAUCHE -----
sig = sal et sil ; elim sig 1.e-5 ;

----- PARTIE DROITE -----
sid = sig syme droi ((coor 1 pf) 0. 0.) ((coor 1 pf) lc2 0.) ;
elim sid 1.e-5 ;

----- PARTIE HAUTE -----
*lignes diagonales pour la symetrie
p_diagon = p2chd plus (lcl lcl 0. );
p_diago = p2chd moin (lcl 0. 0. );
p_diagog = p_diago plus (0. lcl 0. );
```

# GUIDE DE VALIDATION

```

d_diagog = droi 1 plchq p_diagog;
d_diagod = droi 1 plchd p_diagod;

sihg = sig syme droi plchq p_diagog ;
elim sihg 1.e-5 ;
sihd = sig syme droi plchd p_diagod ;
elim sihd 1.e-5 ;

sih = sihd et sihg ; elim sih 1.e-5 ;

*trac sih;

*----- PARTIE COIN -----

dg = droi 1 pid11 p2chq;
dg = dg tran 1 (0. ttel2 0.);
dcd = dg syme droi ((coor 1 pf) 0. 0.) ((coor 1 pf) lc2 0.);
sic = dcd et dg; elim sic 1.e-5;
cout3 = sig et sid et sih et sic ; elim cout3 1.e-5;

couttot = cout1 et cout2 et cout3;
elim dlcbd couttot 1.e-5;

***** RESTE DU MAILLAGE *****
***** Partie au-dessus de la fissure *****
*****
```

\*Partie de gauche

```

pt1 = mini (coor 1 couttot) 0. 0.;
pt2 = (mini (coor 1 couttot)) (maxi (coor 2 couttot)) 0. ;
ptpartg = cout3 pain droit pt1 pt2 1.e-5 ;
d_partg = (cont couttot) elem appuye strictement ptpartg ;
pri = ri 0. 0. ;
pg = d_partg tran
((coor 1 pri)-(mini(coor 1 couttot))) 0. 0.) dini 1.6e-3 dfin 3.2e-3;
```

\*Partie de droite

```

pt3 = maxi (coor 1 couttot) 0. 0. ;
pt4 = (maxi (coor 1 couttot)) (maxi (coor 2 couttot)) 0. ;
ptpartd = couttot pain droit pt3 pt4 1.e-5 ;
dpartd = (cont couttot) elem appuye strictement ptpartd ;
pre = re 0. 0. ;
pd = dpartd tran
((coor 1 pre)-(maxi(coor 1 couttot))) 0. 0.) dini 1.6e-3 dfin 3.2e-3;
bascout = pg et pd et couttot ; elim bascout 1.e-5 ;
```

\*Partie du haut

```

p5 = (mini (coor 1 bascout)) (maxi (coor 2 bascout)) 0. ;
p6 = (maxi (coor 1 bascout)) (maxi (coor 2 bascout)) 0. ;
pt_parth = bascout pain droit p5 p6 1.e-5 ;
dpartd = (cont bascout) elem appuye strictement pt_parth ;
ph = dpartd tran (0. ((h/2.) - (maxi(coor 2 bascout))) 0. )
dini 1.6e-3 dfin t;
```

\*Lèvre et Ligament sur partie haute

```

struhau = ph et bascout ;
pri = struhau pain proc (ri 0. 0.) ;
pre = struhau pain proc (re 0. 0.) ;
prh = struhau pain proc (re (0.5 * h) 0.) ;
l11 = struhau pain droit pri pre le-7 ;
l12 = (cont struhau) elem appuye strictement l11 ;
llvsup = l12 elem comp pri pf ;
llig = l12 elem comp pre pf ;
```

\*Structure haute

```

vhau = struhau volu nl rota degl p0 py ;
levsup = llvsup rota nl degl p0 py ;
slig = llig rota nl degl p0 py ;
elim (vhau et slig et levsup)1.e-7 ;
```

\*Structure basse

```

pri2 = pri plus (0. 0. 1.) ;
vbau = vhau syme plan pri pri2 pre ;
levinf = levsup plus (0. 0. 0.) ;
levinf = INVE levinf ;
elim (vbau et levinf et slig) 1.e-7 ;
```

\*\*\*\*\*

\*bord haut

```

zm = maxi (coor 2 vhau) ;
sab5 = POIN vhau PLAN (0. zm 0.) (0. zm 1.)(1. zm 0.) 1e-6;
sursup = ELEM (ENVE vhau) APPU STRIC sab5;
sursup = INVE sursup;
```

\*Surface bas

```

zm = mini (coor 2 vbau) ;
sab6 = POIN vbau PLAN (0. zm 0.) (0. zm 1.)(1. zm 0.) 1e-6;
surbas = ELEM (ENVE vbau) APPU STRIC sab6;
```

\*Trois points sur la surface f2

```

zm = mini (vhau coor 3) ;
PC = vhau poin proc (ri 0. zm) ;
PD = vhau poin proc (re 0. zm) ;
PE = vhau poin proc (ri (h / 2.) zm) ;

*TRAC (VBAS et VHAU);

=====
=====
* FIN DU MAILLAGE
=====
=====
```

\*----- PARTIE CALCULS -----\*

\* PROPRIETE MATERIAUX A 300°C

```

E0 = 185e3; nu0 = 0.3; alfa0 = 13.08e-6;
```

v0 = vbau et vhau;
FRONT = (cont levsup) elem appuye strictement slig ;

mo0 = mode v0 mecanique elastique isotrope ;
mo0 = mate mo0 YOUNG E0 nu nu0 alph alfa0 ;
rg0 = rigi mo0 mo0 ;

\*CONDITIONS AUX LIMITES

\*Blocages

```

c11 = blosq uy surbas ;
c12 = rela ensu uy sursup ;
c13 = v0 symt depl pri pre prh 1.e-6 ;
c14 = v0 symt depl PC PD PE 1.e-6 ;
c10 = c11 et c12 et c13 et c14 ;
```

\*Traction uniaxiale (via un modele de pression)

```

moph = MODE sursup 'CHARGEMENT' 'PRESSION' 'CONS' 'HAUT' ;
```

\*Pression sur les levres (via un modele de pression)

```

mopl = MODE (levsup ET levinf) 'CHARGEMENT' 'PRESSION' 'CONS' 'LEVRES' ;
```

\*Elevation de temperature

```

chr = ((v0 coor 1) - ri) / (re - ri) ;
cht0 = nomc 'T' (dt0 * chr);
```

\*\*\*\*\* SOLUTIONS ANALYTIQUES \*\*\*\*\*

\*Fonctions d'influence

```

i0 = 1.211 ;
i1 = 0.718 ;
```

\*Contraintes imposées pour le gradient de température

```

sig0 = ((E0*alfa0*dt0)/(1-nu0)) * (ri/(3*t)) *
(2*(re**2))/(ri*(re+i)) - 1;
sig1 = -1. * ((E0*alfa0*dt0)/(1-nu0));
```

\* J analytiques

```

JT = (1-(nu0**2)) * ((i0*(-1.*p0T)*(pi*a)**(1./2.))**2) / E0;
JP = (1-(nu0**2)) * ((i0*(-1.*p0P)*(pi*a)**(1./2.))**2) / E0;
JTH = (1-(nu0**2)) *
(((i0*sig0)+(i1*sig1*(a/t)))*((pi*a)**(1./2.))) **2/E0;
```

\* CALCUL ELASTIQUE AVEC RESO - CALCUL DE J ELASTIQUE

\* Construction des second membres

```

maph = MATE moph 'PRES' p0T ;
f0T = BSIG moph maph ;
mapl = MATE mopl 'PRES' p0P ;
f0P = BSIG mopl mapl ;
```

sgth0 = THET mo0 ma0 cht0 ;
f0TH = BSIG mo0 sgth0 ;

\* RESOLUTION ELASTIQUE DES 3 PROBLEMES

```

utestT utestP utestTH = RESO (rg0 ET c10) f0T f0P f0TH;
mena ;
```

\*PROCEDURE G\_THETA

\*cas 1 : traction seule

|                                 |                 |
|---------------------------------|-----------------|
| tabJel = table ;                |                 |
| tabJel . 'MODELE'               | = mo0 ET moph ; |
| tabJel . 'CARACTERISTIQUES'     | = ma0 ET maph ; |
| tabJel . 'BLOCAGES_MECHANIQUES' | = c10 ;         |
| tabJel . 'SOLUTION_RESO'        | = utestT ;      |
| tabJel . 'OBJECTIF'             | = MOT 'J' ;     |
| tabJel . 'LEVRE_SUPERIEURE'     | = levsup ;      |

```

tabJel . 'LEVRE_INFERIEURE'      = levinf ;
tabJel . 'FRONT_FISSURE'         = FRONT ;
tabJel . 'COUCHE'                = 5 ;
g_theta tabJel ;
JelT1 = tabJel.resultats.global ;

*cas 2 : pression sur les levres
tabJel . 'MODELE'                = mo0 ET mopl ;
tabJel . 'CARACTERISTIQUES'       = ma0 ET mapl ;
tabJel . 'SOLUTION_RESO'         = utesP ;
g_theta tabJel ;
JelP1 = tabJel.resultats.global ;

*cas 3 : gradient de temperature
tabJel . 'MODELE'                = mo0 ;
tabJel . 'CARACTERISTIQUES'       = ma0 ;
tabJel . 'TEMPERATURES'          = cht0 ;
tabJel . 'SOLUTION_RESO'         = utesTH ;
g_theta tabJel ;
JelTH1 = tabJel.resultats.global ;

*Erreurs sur J entre la solution analytique et le MEF
errT1 = ((JelT1-JT)/JT)*100. ;
errP1 = ((JelP1-JP)/JP)*100. ;
errTH1 = ((JelTH1-JTH)/JTH)*100. ;

*****
* CALCUL ELASTIQUE AVEC PASAPAS - CALCUL DE J ELASTIQUE
***** 

* Chargements de pression (obligatoires si modele de pression)
evph = EVOL 'MANU' 'TEMP' (PROG 0. 1. 2. 3.)
           'PRES' (PROG 0. 1. 0. 0.) ;
chaph = CHAR 'PRES' (CHAN 'TYPE' maph 'CONTRAINTE') evph ;
evpl = EVOL 'MANU' 'TEMP' (PROG 0. 1. 2. 3.)
           'PRES' (PROG 0. 0. 1. 0.) ;
chapl = CHAR 'PRES' (CHAN 'TYPE' mapl 'CONTRAINTE') evpl ;
 
* Chargement thermique
chath = CHAR 'T' cht0 (EVOL 'MANU' (PROG 0. 1. 2. 3.)
           (PROG 0. 0. 0. 1.)) ;

*RESOLUTION AVEC PASAPAS DES 3 PROBLEMES (UN A CHAQUE PAS DE TEMPS)
*AU PAS 1 : Traction seule
*AU PAS 2 : Pression sur les levres
*AU PAS 3 : Gradient de temperature
tabT = TABL ;
tabT . 'MODELE' = mo0 ET moph ET mopl ;
tabT . 'CARACTERISTIQUES' = ma0 ET maph ET mapl ;
tabT . 'BLOCAGES_MECANIQUES' = cl0 ;
tabT . 'CHARGEMENT' = chaph ET chapl ET chath ;
tabT . 'TEMPS_CALCULES' = PROG 1. 2. 3. ;
PASAPAS tabT ;

*PROCEDURE G_THETA POUR LES 3 PROBLEMES (UN A CHAQUE PAS DE TEMPS)
*ATTENTION, IL FAUT RETIRER LE CHARGEMENT MECA DE PRESSION SUR LES
*LEVRES ET UTILISER LE CHARGEMENT PLEV
*PROCEDURE G_THETA POUR LES 3 PROBLEMES (UN A CHAQUE PAS DE TEMPS)
tabJel = TABL ;
tabJel . 'SOLUTION_PASAPAS'      = tabT ;
tabJel . 'OBJECTIF'              = MOT 'J' ;
tabJel . 'LEVRE_SUPERIEURE'       = levsup ;
tabJel . 'LEVRE_INFERIEURE'       = levinf ;
tabJel . 'FRONT_FISSURE'          = FRONT ;
tabJel . 'COUCHE'                 = 5 ;
g_theta tabJel ;
JelT2 = tabJel.resultats. 1 . global ;
JelP2 = tabJel.resultats. 2 . global ;
JelTH2 = tabJel.resultats. 3 . global ;
*Erreurs sur J : solution analytique VS calcul PASAPAS + G_THETA
errT2 = ((JelT2-JT)/JT)*100. ;
errP2 = ((JelP2-JP)/JP)*100. ;
errTH2 = ((JelTH2-JTH)/JTH)*100. ;

*****
* AFFICHAGE DES RESULTATS ET DES ERREURS
***** 

SAUT 5 'LIGNE' ;
mess 'Solution Theorique'      : ' JT JP JTH ;
mess ' ;
mess 'Solution MEF (RESO)'      : ' JelT1 JelP1 JelTH1 ;
mess 'Erreur en %'              : ' errT1 errP1 errTH1 ;
mess ' ;
mess 'Solution MEF (PASAPAS)'    : ' JelT2 JelP2 JelTH2 ;
mess 'Erreur en %'              : ' errT2 errP2 errTH2 ;

* Test sur les erreurs
errT = MAXI 'ABS' (PROG errT1 errT2) ;
si ((abs errT) > 0.3) ;
  erre 'Erreur sur le calcul de JelT' ;
fins ;
errP = MAXI 'ABS' (PROG errP1 errP2) ;
si ((abs errP) > 0.3) ;
  erre 'Erreur sur le calcul de JelP' ;
fins ;
errTH = MAXI 'ABS' (PROG errTH1 errTH2) ;
si ((abs errTH) > 0.4) ;
  erre 'Erreur sur le calcul de JelTH' ;
fins ;

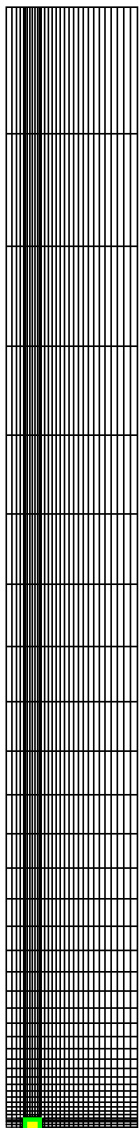
FIN ;

```

**5.6.22 rupt22.dgibi**

|                              |  |
|------------------------------|--|
| <b>Nom du fichier</b>        | rupt22.dgibi   |
| <b>Type de calcul</b>        | Mécanique de la rupture<br>2D axisymétrique  |
| <b>Type d'Eléments Finis</b> | QUA4   |
| <b>Référence</b>             | Solution analytique  |
| <b>Description</b>           | Calcul de l'intégrale J avec G_THETA sous plusieurs chargements :<br><ul style="list-style-type: none"> <li>- chargement en traction</li> <li>- chargement avec pression sur lèvres</li> <li>- chargement thermique</li> </ul> |
| <b>Objectif</b>              | <ul style="list-style-type: none"> <li>- Erreur relative J Traction &lt; 0.6%</li> <li>- Erreur relative J Pression &lt; 0.6%</li> <li>- Erreur relative J Thermique &lt; 0.2%</li> </ul>                                      |
| <b>Version de Cast3M</b>     | CAST3M 2016  |
| <b>Plateformes testées</b>   | IBM AiX<br>Linux 32-bits<br>Linux 64-bits<br>Windows 32-bits<br>Windows 64-bits<br>MAC OSX 64-bits   |

*Tableau 76 : Informations sur le cas test rupt22.dgibi*



*Figure 135 : Maillage du cas-test rupt22.dgibi*

# GUIDE DE VALIDATION

## Jeu de données :

```

* fichier : rupt22.dgibi
opti epsi lineaire ;
*****
* Section : Mecanique Endommagement
*****



***** Test rupt22.dgibi: Jeux de données *****
* -----
***** CAS TEST DU 15/12/15 PROVENANCE : TEST

*Cas test de validation pour le calcul de J sous plusieurs chargement
*avec les procedures g_theta.procedur et g_calcul.procedur
*
*- chargement en traction
*- chargement avec pression sur levres
*- chargement thermique

*Calcul en dimension 2 avec des elements QUA4 sur un maillage complet
*symetrique

opti dime 2 elem qua4 mode axis echo 0 ;

* ig1 : mettre a vrai pour activer traces
ig1      = faux ;

***** Données paramétriques :
***** a : profondeur de la fissure *
* t : epaisseur du tube *
* ri, re : rayon interne/externe *
* h : hauteur du tube *

h = 1. ;
t = 60.e-3 ;
a = t/5 ;
ri = t*5;
re = ri+t;

*COORDONNEE DE LA POINTE DE LA FISSURE
pf = (a + ri) 0. ;

*NOMBRE D'ELEMENTS AUTOUR DE LA POINTE DE LA FISSURE (1 et 2 COUT)
n_fiss = 10 ;

*TAILLE D'UN ELEMENT DE LA 1ERE ET 2EME COUTURE*
t_el = 200e-6 ; t_el2 = 400e-6 ;
*Facteur d'agrandissement de la taille du derafinement
tt_el2 = 4.*t_el2 ;

*LONGUEUR DE LA 1ERE ET 2EME COUTURE*
lc1 = n_fiss * t_el ; lc2 = t_el2 * n_fiss;

*NIVEAU DE CHARGEMENT
p0T = -400. ; p0P = 400. ; dt0 = 300.;

=====
* DEBUT DU MAILLAGE
=====

***** 1ERE COUTURE *****
***** (Autour de la pointe de la fissure) *****

plchd = pf plus (lc1 0.) ;
plchd = pf plus (lc1 lc1) ;
pf1 = pf plus (0. lc1) ;
plchg = pf1 moin (lc1 0.) ;
plchd = pf moin (lc1 0.) ;

dlch = droi (2*n_fiss) plchd plchd;
dlcg = droi (n_fiss) plchd plchd ;
dlcd = droi (n_fiss) plchd plchd ;
dlcbg = droi (n_fiss) plchd pf ;
dlcbd = droi (n_fiss) pf plchd ;

cout1 = regl n_fiss dlch (dlcbg et dlcbd) ;
cout1 = coul jaun cout1 ;

***** 2EME COUTURE *****
***** (Autour de la pointe de la fissure) *****
***** Partie au-dessus de la fissure *****

p2cbd = pf plus (lc2 0.) ;
p2chd = pf plus (lc2 lc2) ;
pf2 = pf plus (0. lc2) ;
plchd = pf2 moin (lc2 0.) ;

```

```

p2cbg = pf moin (lc2 0.) ;
d2ch = droi (2*n_fiss) p2chd p2chd;
d2cg = droi (n_fiss) p2cbg p2chd ;
d2cd = droi (n_fiss) p2cbd p2chd ;

cout2 = regl n_fiss (dlcd et dlch et dlcg) (d2cd et d2ch et d2cg) ;
cout2 = coul vert cout2 ;

coutlet2 = cout1 et cout2;

***** DERAFINEMENT DES COUTURES *****
***** Partie au-dessus de la fissure *****
-----( DERAF A 4 ELEMENT )-----
pid1 = p2chd moin (0. tt_el2) ;
pid2 = pid1 plus (0. t_el2) ;
pid3 = pid2 plus (0. t_el2) ;
pid4 = pid3 plus (0. t_el2) ;
pid5 = pid4 plus (0. t_el2) ;
pid6 = pid2 moin (t_el2 0.) ;
pid7 = pid3 moin (t_el2 0.) ;
pid8 = pid4 moin (t_el2 0.) ;
pid9 = pid1 moin (tt_el2 0.) ;
pid10 = pid3 moin (tt_el2 0.) ;
pid11 = pid5 moin (tt_el2 0.) ;

did1 = droi 1 pid1 pid2 ;
did2 = droi 1 pid2 pid3 ;
did3 = droi 1 pid3 pid4 ;
did4 = droi 1 pid4 pid5 ;
did5 = droi 1 pid9 pid6 ;
did6 = droi 1 pid6 pid7 ;
did7 = droi 1 pid7 pid8 ;
did8 = droi 1 pid11 pid8 ;
did9 = droi 1 pid10 pid7 ;

sil = (regl 1 did1 did5) et (regl 1 did2 did6) et
      (regl 1 did3 did7) et (regl 1 did4 (inve did8)) et
      (regl 1 did8 did9) et (regl 1 did9 did5) ;
elim sil 1.e-5 ;

----- ( DERAF A 3 ELEMENT )-----
pad1 = pf moin (lc2 0.) ;
pad2 = pad1 plus (0. t_el2) ;
pad3 = pad2 plus (0. t_el2) ;
pad4 = pad3 plus (0. t_el2) ;
pad5 = pad2 moin (t_el2 0.) ;
pad6 = pad3 moin (t_el2 0.) ;
pad7 = pad1 moin (tt_el2 0.) ;
pad8 = pad4 moin (tt_el2 0.) ;

dad1 = droi 1 pad1 pad2 ;
dad2 = droi 1 pad2 pad3 ;
dad3 = droi 1 pad3 pad4 ;
dad4 = droi 1 pad7 pad5 ;
dad5 = droi 1 pad5 pad6 ;
dad6 = droi 1 pad6 pad8 ;

sal = (regl 1 dad1 dad4) et (regl 1 dad2 dad5) et
      (regl 1 dad3 dad6) et (regl 1 dad4 (inve dad6));
saal = sal ;
repe i0 1 ;
ssal = sal plus ( 0. (3.*&i0*t_el2)) ;
fin i0 ;
sal = sal et ssal ;
elim sal 1.e-5 ;

----- PARTIE GAUCHE -----
sig = sal et sil ; elim sig 1.e-5 ;

----- PARTIE DROITE -----
sid = sig syme droi ((coor 1 pf) 0.) ((coor 1 pf) lc2) ;
elim sid 1.e-5 ;

----- PARTIE HAUTE -----
*lignes diagonales pour la symetrie
p_diagod = p2chd plus (lc1 lc1);
p_diago = p2chd moin (lc1 0.);
p_diagog = p_diago plus (0. lc1);

d_diagog = droi 1 plchd p_diagog;
d_diagod = droi 1 plchd p_diagod;

sihg = sig syme droi plchd p_diagog ;
elim sihg 1.e-5 ;
sihd = sid syme droi plchd p_diagod ;
elim sihd 1.e-5 ;

sih = sihd et sihg ; elim sih 1.e-5 ;

----- PARTIE COIN -----

```

```

dg = droi 1 pid11 p2chg;
dcg = dg tran 1 (0. tt_el2);
dcd = dcg syme droi ((coor 1 pf) 0.) ((coor 1 pf) lc2) ;
sic = dcd et dcg; elim sic 1.e-5;
cout3 = sig et sid et sih et sic ; elim cout3 1.e-5 ;

cout_tot = cout1 et cout2 et cout3;
elim dlcbd cout_tot 1.e-5;

***** RESTE DU MAILLAGE *****
***** Partie au-dessus de la fissure *****

*Partie de gauche
*-----
pt1 = mini (coor 1 cout_tot) 0. ;
pt2 = (mini (coor 1 cout_tot)) (maxi (coor 2 cout_tot));
pt_partg = cout3 poin droit pt1 pt2 1.e-5 ;
d_partg = (cont cout_tot) elem appuye strictement pt_partg ;
p_ri = ri 0. ;
pg = d_partg tran
(((coor 1 p_ri)-(mini(coor 1 cout_tot))) 0.) dini 1.6e-3 dfin 3.2e-3;

*Partie de droite
*-----
pt3 = maxi (coor 1 cout_tot) 0. ;
pt4 = (maxi (coor 1 cout_tot)) (maxi (coor 2 cout_tot));
pt_partd = cout_tot poin droit pt3 pt4 1.e-5 ;
d_partd = (cont cout_tot) elem appuye strictement pt_partd ;
p_re = re 0. ;
pd = d_partd tran
(((coor 1 p_re)-(maxi(coor 1 cout_tot))) 0.) dini 1.6e-3 dfin 3.2e-3;
bas_cout = pg et pd et cout_tot ; elim bas_cout 1.e-5 ;

*Partie du haut
*-----
p5 = (mini (coor 1 bas_cout)) (maxi (coor 2 bas_cout));
p6 = (maxi (coor 1 bas_cout)) (maxi (coor 2 bas_cout));
pt_parth = bas_cout poin droit p5 p6 1.e-5 ;
d_partd = (cont bas_cout) elem appuye strictement pt_parth ;
ph = d_partd tran (0. ((h/2.) - (maxi(coor 2 bas_cout)))) dini 1.6e-3 dfin t ;

*Structure totale
***** LEVRE SUPERIEUR *****
***** Definition des bords
***** FIN DU MAILLAGE
***** PARTIE CALCULS
***** PROPRIETE MATERIAUX A 300°C
E0 = 185e3; nu0 = 0.3; alfa0 = 13.08e-6;

mo0 = mode s0 mecanique elastique isotrope ;
ma0 = mate mo0 YOUN E0 nu nu0 alph alfa0 ;
rg0 = rigi mo0 ma0 ;

*CONDITIONS AUX LIMITES
*Blocages
cl1 = bloc uz l_bas ;
cl2 = rela ense uz l_hau ;

```

```

c10 = cl1 et cl2;

*Traction uniaxiale (via un modele de pression)
moph = MODE l_hau 'CHARGEMENT' 'PRESSION' 'CONS' 'HAUT' ;
*moph = MODE l_hau 'CHARGEMENT' 'PRESSION' 'CONS' 'LEVRES' ;

*Elevation de temperature
chr = ((s0 coor 1) - ri) / (re - ri) ;
cht0 = nomc 'T' (dt0 * chr);

***** SOLUTIONS ANALYTIQUES
*Fonctions d'influence
i0 = 1.211 ;
il = 0.718 ;

*Contraintes imposées pour le gradient de température
sig0 = ((E0*alfa0*dt0)/(1-nu0)) * (ri/(3*t)) *
((2*(re**2))/(ri*(re-ri)) - 1);
sig1 = -1. * ((E0*alfa0*dt0)/(1-nu0));

* J analytiques
JT = (1-(nu0**2)) * ((i0*(-1.*pOT)*((pi*a)**(1./2.)))**2) / E0;
JP = (1-(nu0**2)) * ((i0*(-1.*pOP)*((pi*a)**(1./2.)))**2) / E0;
JTH = (1-(nu0**2)) *
(((i0*sig0)+(il*sig1*(a/t)))*((pi*a)**(1./2.))) **2/E0;

***** CALCUL ELASTIQUE AVEC RESO - CALCUL DE J ELASTIQUE
***** Construction des second membres
maph = MATE moph 'PRES' pOT ;
fOT = BSIG maph maph ;
mapl = MATE mapl 'PRES' pOP ;
fOP = BSIG mapl mapl ;
sgth0 = THET mo0 mo0 cht0 ;
fOTH = BSIG mo0 sgth0 ;

* RESOLUTION ELASTIQUE DES 3 PROBLEMES
utestT utestP utestTH = RESO (rg0 ET c10) fOT fOP fOTH;
mena ;

*PROCEDURE G_THETA
*cas 1 : traction seule
tabJel = table ;
tabJel . 'MODELE' = mo0 ET moph ;
tabJel . 'CARACTERISTIQUES' = ma0 ET maph ;
tabJel . 'BLOCAGES_MECANIQUES' = c10 ;
tabJel . 'SOLUTION_RESO' = utestT ;
tabJel . 'OBJECTIF' = MOT 'J' ;
tabJel . 'LEVRE_SUPERIEURE' = lvsup ;
tabJel . 'FRONT_FISSURE' = pf ;
tabJel . 'COUCHE' = 5 ;
q_theta tabJel ;
JelT1 = tabJel.resultats ;

*cas 2 : pression sur les levres
tabJel . 'MODELE' = mo0 ET mopl ;
tabJel . 'CARACTERISTIQUES' = ma0 ET mapl ;
tabJel . 'SOLUTION_RESO' = utestP ;
q_theta tabJel ;
JelP1 = tabJel.resultats ;

*cas 3 : gradient de température
tabJel . 'MODELE' = mo0 ;
tabJel . 'CARACTERISTIQUES' = ma0 ;
tabJel . 'TEMPERATURES' = cht0 ;
tabJel . 'SOLUTION_RESO' = utestTH ;
q_theta tabJel ;
JelTH1 = tabJel.resultats ;

*Erreurs sur J : solution analytique VS calcul RESO + G_THETA
errT1 = ((JelT1-JT)/JT)*100. ;
errP1 = ((JelP1-JP)/JP)*100. ;
errTH1 = ((JelTH1-JTH)/JTH)*100. ;

***** CALCUL ELASTIQUE AVEC PASAPAS - CALCUL DE J ELASTIQUE
***** Chargements de pression (obligatoires si modele de pression)
evph = EVOL 'MANU' 'TEMP' (PROG 0. 1. 2. 3.)
'PRES' (PROG 0. 1. 0. 0.) ;
chaph = CHAR 'PRES' (CHAN 'TYPE' maph 'CONTRAINTE') evph ;
evpl = EVOL 'MANU' 'TEMP' (PROG 0. 1. 2. 3.)
'PRES' (PROG 0. 0. 1. 0.) ;
chap1 = CHAR 'PRES' (CHAN 'TYPE' mapl 'CONTRAINTE') evpl ;

```

```

* Chargement thermique
chath = CHAR 'T' cht0 (EVOL 'MANU' (PROG 0. 1. 2. 3.)
                           (PROG 0. 0. 0. 1.)) ;

*RESOLUTION AVEC PASAPAS DES 3 PROBLEMES (UN A CHAQUE PAS DE TEMPS)
*AU PAS 1 : Traction seule
*AU PAS 2 : Pression sur les levres
*AU PAS 3 : Gradient de temperature
tabT = TABL ;
tabT . 'MODELE' = mo0 ET moph ET mopl ;
tabT . 'CARACTERISTIQUES' = ma0 ET maph ET mapl ;
tabT . 'BLOCAGES_MECHANIQUES' = cl0 ;
tabT . 'CHARGEMENT' = chaph ET chapl ET chath ;
tabT . 'TEMPS_CALCULES' = PROG 1. 2. 3. ;
PASAPAS tabT ;

*PROCEDURE G_THETA POUR LES 3 PROBLEMES (UN A CHAQUE PAS DE TEMPS)
tabJel = TABL ;
tabJel . 'SOLUTION_PASAPAS'      = tabT ;
tabJel . 'OBJECTIF'              = MOT 'J' ;
tabJel . 'LEVRE_SUPERIEURE'       = lvsup ;
tabJel . 'FRONT_FISSURE'         = pf ;
tabJel . 'COUCHE'                = 5 ;
g_theta tabJel ;
JelT2 = tabJel.resultats.1 ;
JelP2 = tabJel.resultats.2 ;
JelTH2 = tabJel.resultats.3 ;
*Erreurs sur J : solution analytique VS calcul PASAPAS + G_THETA
errT2 = ((JelT2-JT)/JT)*100. ;
errP2 = ((JelP2-JP)/JP)*100. ;
errTH2 = ((JelTH2-JTH)/JTH)*100. ;

***** AFFICHAGE DES RESULTATS ET DES ERREURS *****
SAUT 5 'LIGNE' ;
mess 'Solution Theorique'      : ' JT JP JTH' ;
mess ;
mess 'Solution MEF (RESO)'     : ' JelT1 JelP1 JelTH1' ;
mess 'Erreur en %'              : ' errT1 errP1 errTH1' ;
mess ;
mess 'Solution MEF (PASAPAS)'   : ' JelT2 JelP2 JelTH2' ;
mess 'Erreur en %'              : ' errT2 errP2 errTH2' ;

* Test sur les erreurs
errT = MAXI 'ABS' (PROG errT1 errT2) ;
si ((abs errT) > 0.5) ;
  erre 'Erreur sur le calcul de JelT' ;
fins ;
errP = MAXI 'ABS' (PROG errP1 errP2) ;
si ((abs errP) > 0.5) ;
  erre 'Erreur sur le calcul de JelP' ;
fins ;
errTH = MAXI 'ABS' (PROG errTH1 errTH2) ;
si ((abs errTH) > 0.2) ;
  erre 'Erreur sur le calcul de JelTH' ;
fins ;

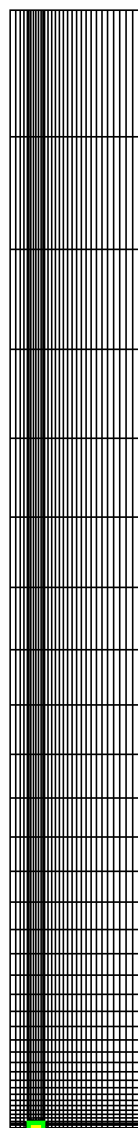
FIN ;

```

### 5.6.23 rupt23.dgibi

|                              |  |
|------------------------------|--|
| <b>Nom du fichier</b>        | rupt23.dgibi   |
| <b>Type de calcul</b>        | Mécanique de la rupture<br>2D axisymétrique  |
| <b>Type d'Eléments Finis</b> | QUA8   |
| <b>Référence</b>             | Solution analytique  |
| <b>Description</b>           | Calcul de l'intégrale J avec G_THETA sous plusieurs chargements :<br><ul style="list-style-type: none"> <li>- chargement en traction</li> <li>- chargement avec pression sur lèvres</li> <li>- chargement thermique</li> </ul> |
| <b>Objectif</b>              | <ul style="list-style-type: none"> <li>- Erreur relative J Traction &lt; 0.3%</li> <li>- Erreur relative J Pression &lt; 0.3%</li> <li>- Erreur relative J Thermique &lt; 0.4%</li> </ul>                                      |
| <b>Version de Cast3M</b>     | CAST3M 2016  |
| <b>Plateformes testées</b>   | IBM AiX<br>Linux 32-bits<br>Linux 64-bits<br>Windows 32-bits<br>Windows 64-bits<br>MAC OSX 64-bits   |

Tableau 77 : Informations sur le cas test rupt23.dgibi



*Figure 136 : Maillage du cas-test rupt23.dgibi*

**Jeu de données :**

```

* fichier : rupt23.dgibi
*****
* Section : Mecanique Endommagement
*****



***** Test rupt23.dgibi: Jeux de données *****
*-----*
* CAS TEST DU 15/12/15 PROVENANCE : TEST

*Cas test de validation pour le calcul de J sous plusieurs chargement
*avec les procedures g_theta.procedur et g_calcul.procedur
*
*- chargement en traction
*- chargement avec pression sur levres
*- chargement thermique

*Calcul en dimension 2 avec des elements QUA8 sur un maillage complet
*symetrique

opti dime 2 elem qua8 mode axis echo 0 ;

* ig1 : mettre a vrai pour activer traces
ig1      = faux ;

***** Données paramétriques :
***** a : profondeur de la fissure *
* t : épaisseur du tube *
* ri, re : rayon interne/externe *
* h : hauteur du tube *

h = 1. ;
t = 60.e-3 ;
a = t/5 ;
ri = t*5;
re = ri+t;

*COORDONNEE DE LA POINTE DE LA FISSURE
pf = (a + ri) 0. ;

*NOMBRE D'ELEMENTS AUTOUR DE LA POINTE DE LA FISSURE (1 et 2 COUT)
n_fiss = 10 ;

*TAILLE D'UN ELEMENT DE LA 1ERE ET 2EME COUTURE*
t_el = 200e-6 ; t_el2 = 400e-6 ;
*Facteur d'agrandissement de la taille du derafinement
tt_el2 = 4.*t_el2 ;

*LONGUEUR DE LA 1ERE ET 2EME COUTURE*
lcl = n_fiss * t_el ; lc2 = t_el2 * n_fiss;

*NIVEAU DE CHARGEMENT
p0T = -400. ; p0P = 400. ; dt0 = 300. ;

***** DEBUT DU MAILLAGE
***** 1ERE COUTURE *****
***** (Autour de la pointe de la fissure) *****

plcbd = pf plus (lcl 0.) ;
plchd = pf plus (lcl lcl) ;
pfl = pf plus (0. lcl) ;
plchg = pfl moin (lcl 0.) ;
plcbg = pf moin (lcl 0.) ;

dlch = droi (2*n_fiss) plchd plchd;
dlcg = droi (n_fiss) plcbg plchd ;
dlcd = droi (n_fiss) plcbd plchd ;
dlcgb = droi (n_fiss) plcbg pf ;
dlcbd = droi (n_fiss) pf plcbd ;

cout1 = regl n_fiss dlch (dlcgb et dlcbd) ;
cout1 = coul jaun cout1 ;

***** 2EME COUTURE *****
***** (Autour de la pointe de la fissure) *****
***** Partie au-dessus de la fissure *****

p2cbd = pf plus (lc2 0.) ;
p2chd = pf plus (lc2 lc2) ;
pf2 = pf plus (0. lc2) ;

```

```

p2chg = pf2 moin (lc2 0.) ;
p2cbg = pf moin (lc2 0.) ;

d2ch = droi (2*n_fiss) p2chd p2chd;
d2cg = droi (n_fiss) p2cbg p2chd ;
d2cd = droi (n_fiss) p2cbd p2chd ;

cout2 = regl n_fiss (dlcd et dlch et dlcg) (d2cd et d2ch et d2cg) ;
cout2 = coul vert cout2 ;

coutlet2 = cout1 et cout2;

***** DERAFINEMENT DES COUTURES *****
***** Partie au-dessus de la fissure *****
***** ( DERAFA 4 ELEMENT ) ----

pid1 = p2chd moin (0. tt_el2) ;
pid2 = pid1 plus (0. t_el2) ;
pid3 = pid2 plus (0. t_el2) ;
pid4 = pid3 plus (0. t_el2) ;
pid5 = pid4 plus (0. t_el2) ;
pid6 = pid2 moin (t_el2 0.) ;
pid7 = pid3 moin (t_el2 0.) ;
pid8 = pid4 moin (t_el2 0.) ;
pid9 = pid1 moin (tt_el2 0.) ;
pid10 = pid3 moin (tt_el2 0.) ;
pid11 = pid5 moin (tt_el2 0.) ;

did1 = droi 1 pid1 pid2 ;
did2 = droi 1 pid2 pid3 ;
did3 = droi 1 pid3 pid4 ;
did4 = droi 1 pid4 pid5 ;
did5 = droi 1 pid9 pid6 ;
did6 = droi 1 pid6 pid7 ;
did7 = droi 1 pid7 pid8 ;
did8 = droi 1 pid11 pid8 ;
did9 = droi 1 pid10 pid7 ;

sil = (regl 1 did1 did5) et (regl 1 did2 did6) et
      (regl 1 did3 did7) et (regl 1 did4 (inve did8)) et
      (regl 1 did8 did9) et (regl 1 did9 did5) ;
elim sil 1.e-5 ;

***** ( DERAFA 3 ELEMENT ) ----

pad1 = pf moin (lc2 0.) ;
pad2 = pad1 plus (0. t_el2) ;
pad3 = pad2 plus (0. t_el2) ;
pad4 = pad3 plus (0. t_el2) ;
pad5 = pad2 moin (t_el2 0.) ;
pad6 = pad3 moin (t_el2 0.) ;
pad7 = pad1 moin (tt_el2 0.) ;
pad8 = pad4 moin (tt_el2 0.) ;

dad1 = droi 1 pad1 pad2 ;
dad2 = droi 1 pad2 pad3 ;
dad3 = droi 1 pad3 pad4 ;
dad4 = droi 1 pad7 pad5 ;
dad5 = droi 1 pad5 pad6 ;
dad6 = droi 1 pad6 pad8 ;

sal = (regl 1 dad1 dad4) et (regl 1 dad2 dad5) et
      (regl 1 dad3 dad6) et (regl 1 dad4 (inve dad6));
saal = sal ;
repe i0 1 ;
ssal = sal plus ( 0. (3.*&i0*t_el2)) ;
fin i0 ;
sal = sal et ssal ;
elim sal 1.e-5 ;

***** PARTIE GAUCHE -----
sig = sal et sil ; elim sig 1.e-5 ;

***** PARTIE DROITE -----
sid = sig syme droi ((coor 1 pf) 0.) ((coor 1 pf) lc2) ;
elim sid 1.e-5 ;

***** PARTIE HAUTE -----
*lignes diagonales pour la symetrie
p_diagon = p2chd plus (lcl lcl);
p_diago = p2chd moin (lcl 0.);
p_diagon = p_diago plus (0. lcl);

d_diagon = droi 1 plchd p_diagon;
d_diagon = droi 1 plchd p_diagon;

sihg = sig syme droi plchd p_diagon ;
elim sihg 1.e-5 ;
sidi = sid syme droi plchd p_diagon ;
elim sihg 1.e-5 ;

```

# GUIDE DE VALIDATION

```

sih = sihd et sihg ; elim sih 1.e-5 ;
*----- PARTIE COIN -----
dg = droi 1 pid11 p2chg;
dg = dg tran 1 (0. tt_el2);
dcd = dg syme droi ((coor 1 pf) 0.) ((coor 1 pf) lc2) ;
sic = dcd et dg; elim sic 1.e-5;
cout3 = sig et sid et sih et sic ; elim cout3 1.e-5 ;

cout_tot = cout1 et cout2 et cout3;
elim dlcbbd cout_tot 1.e-5 ;

***** RESTE DU MAILLAGE *****
***** Partie au-dessus de la fissure *****
***** Solutions Analytiques *****
* Fonctions d'influence
i0 = 1.211 ;
i1 = 0.718 ;

*Contraintes imposées pour le gradient de température
sig0 = ((E0*alpha0*dt0)/(1-nu0)) * (ri/(3*t)) *
((2*(re**2))/(ri*(re+ri)) - 1);
sigl = -1. * ((E0*alpha0*dt0)/(1-nu0));

* J analytiques
JT = (1-(nu0**2)) * ((i0*(-1.*p0T)*((pi*a)**(1./2.)))**2) / E0;
JP = (1-(nu0**2)) * ((i0*(-1.*p0P)*((pi*a)**(1./2.)))**2) / E0;
JTH = (1-(nu0**2)) *
(((i0*sig0)+(i1*sigl*(a/t)))*((pi*a)**(1./2.))) **2)/E0;

***** CALCUL ELASTIQUE AVEC RESO - CALCUL DE J ELASTIQUE *****
* Construction des second membres
maph = MATE moph 'PRES' p0T ;
f0T = BSIG moph maph ;
mapl = MATE mapl 'PRES' p0P ;
f0P = BSIG mapl mapl ;
sgth0 = THET mo0 ma0 cht0 ;
f0TH = BSIG mo0 sgth0 ;

* RESOLUTION ELASTIQUE DES 3 PROBLEMES
utestT utestP utestTH = RESO (rg0 ET c10) f0T f0P f0TH;
mena ;

*PROCEDURE G_THETA
*cas 1 : traction seule
tabJel = table ;
tabJel . 'MODELE' = mo0 ET moph ;
tabJel . 'CARACTERISTIQUES' = ma0 ET maph ;
tabJel . 'BLOCAGES_MECHANIQUES' = c10 ;
tabJel . 'SOLUTION_RESO' = utestT ;
tabJel . 'OBJECTIF' = MOT 'J' ;
tabJel . 'LEVRE_SUPERIEURE' = lvsup ;
tabJel . 'FRONT_FISSURE' = pf ;
tabJel . 'COUCHE' = 5 ;
g_theta tabJel ;
JelT1 = tabJel.resultats ;

*cas 2 : pression sur les levres
tabJel . 'MODELE' = mo0 ET mopl ;
tabJel . 'CARACTERISTIQUES' = ma0 ET mapl ;
tabJel . 'SOLUTION_RESO' = utestP ;
g_theta tabJel ;
JelP1 = tabJel.resultats ;

*cas 3 : gradient de température
tabJel . 'MODELE' = mo0 ;
tabJel . 'CARACTERISTIQUES' = ma0 ;
tabJel . 'TEMPERATURES' = cht0 ;
tabJel . 'SOLUTION_RESO' = utestTH ;
g_theta tabJel ;
JelTH1 = tabJel.resultats ;

*Erreurs sur J : solution analytique VS calcul RESO + G_THETA
errT1 = ((JelT1-JT)/JT)*100.;
errP1 = ((JelP1-JP)/JP)*100.;
errTH1 = ((JelTH1-JTH)/JTH)*100.;

***** CALCUL ELASTIQUE AVEC PASAPAS - CALCUL DE J ELASTIQUE *****
* Chargements de pression (obligatoires si modèle de pression)
evph = EVOL 'MANU' 'TEMP' (PROG 0. 1. 2. 3.)
'PRES' (PROG 0. 1. 0. 0.) ;
chaph = CHAR 'PRES' (CHAN 'TYPE' maph 'CONTRAINTE') evph ;
evpl = EVOL 'MANU' 'TEMP' (PROG 0. 1. 2. 3.)
'PRES' (PROG 0. 0. 1. 0.) ;
chapl = CHAR 'PRES' (CHAN 'TYPE' mapl 'CONTRAINTE') evpl ;
* Chargement thermique

```

```

chath = CHAR 'T' cht0 (EVOL 'MANU' (PROG 0. 1. 2. 3.)
                      (PROG 0. 0. 0. 1.)) ;

*RESOLUTION AVEC PASAPAS DES 3 PROBLEMES (UN A CHAQUE PAS DE TEMPS)
*AU PAS 1 : Traction seule
*AU PAS 2 : Pression sur les levres
*AU PAS 3 : Gradient de temperature
tabT = TABL ;
tabT . 'MODELE' = mo0 ET moph ET mopl ;
tabT . 'CARACTERISTIQUES' = ma0 ET maph ET mapl ;
tabT . 'BLOCAGES_MECANIQUES' = c10 ;
tabT . 'CHARGEMENT' = chap0 ET chap1 ET chath ;
tabT . 'TEMPS_CALCULES' = PROG 1. 2. 3. ;
PASAPAS tabT ;

*PROCEDURE G_THETA POUR LES 3 PROBLEMES (UN A CHAQUE PAS DE TEMPS)
tabJel = TABL ;
tabJel . 'SOLUTION_PASAPAS'      = tabT ;
tabJel . 'OBJECTIF'              = MOT 'J' ;
tabJel . 'LEVRE_SUPERIEURE'       = lvsup ;
tabJel . 'FRONT_FISSURE'          = pf ;
tabJel . 'COUCHE'                = 5 ;
g_theta tabJel ;
JelT2 = tabJel.resultats.1 ;
JelP2 = tabJel.resultats.2 ;
JelTH2 = tabJel.resultats.3 ;
*Erreurs sur J : solution analytique VS calcul PASAPAS + G_THETA
errT2 = ((JelT2-JT)/JT)*100. ;
errP2 = ((JelP2-JP)/JP)*100. ;
errTH2 = ((JelTH2-JTH)/JTH)*100. ;

```

```

*****
* AFFICHAGE DES RESULTATS ET DES ERREURS
*****
SAUT 5 'LIGNE' ;
mess 'Solution Theorique      : ' JT JP JTH ;
mess ;
mess 'Solution MEF (RESO)     : ' JelT1 JelP1 JelTH1 ;
mess 'Erreur en %              : ' errT1 errP1 errTH1 ;
mess ;
mess 'Solution MEF (PASAPAS)   : ' JelT2 JelP2 JelTH2 ;
mess 'Erreur en %              : ' errT2 errP2 errTH2 ;

* Test sur les erreurs
errT = MAXI 'ABS' (PROG errT1 errT2) ;
si ((abs errT) > 0.3) ;
  erre 'Erreur sur le calcul de JelT' ;
fins ;
errP = MAXI 'ABS' (PROG errP1 errP2) ;
si ((abs errP) > 0.3) ;
  erre 'Erreur sur le calcul de JelP' ;
fins ;
errTH = MAXI 'ABS' (PROG errTH1 errTH2) ;
si ((abs errTH) > 0.4) ;
  erre 'Erreur sur le calcul de JelTH' ;
fins ;

FIN ;

```

**5.6.24 rupt24.dgibi**

|                              |  |
|------------------------------|--|
| <b>Nom du fichier</b>        | rupt24.dgibi   |
| <b>Type de calcul</b>        | Mécanique de la rupture<br>3D  |
| <b>Type d'Eléments Finis</b> | CUB8   |
| <b>Référence</b>             | Solution analytique  |
| <b>Description</b>           | Calcul de l'intégrale J avec G_THETA sous plusieurs chargements :<br><ul style="list-style-type: none"> <li>- chargement en traction</li> <li>- chargement avec pression sur lèvres</li> <li>- chargement thermique</li> </ul> |
| <b>Objectif</b>              | <ul style="list-style-type: none"> <li>- Erreur relative J Traction &lt; 0.5%</li> <li>- Erreur relative J Pression &lt; 0.5%</li> <li>- Erreur relative J Thermique &lt; 0.2%</li> </ul>                                      |
| <b>Version de Cast3M</b>     | CAST3M 2016  |
| <b>Plateformes testées</b>   | IBM AiX<br>Linux 32-bits<br>Linux 64-bits<br>Windows 32-bits<br>Windows 64-bits<br>MAC OSX 64-bits   |

Tableau 78 : Informations sur le cas test rupt24.dgibi

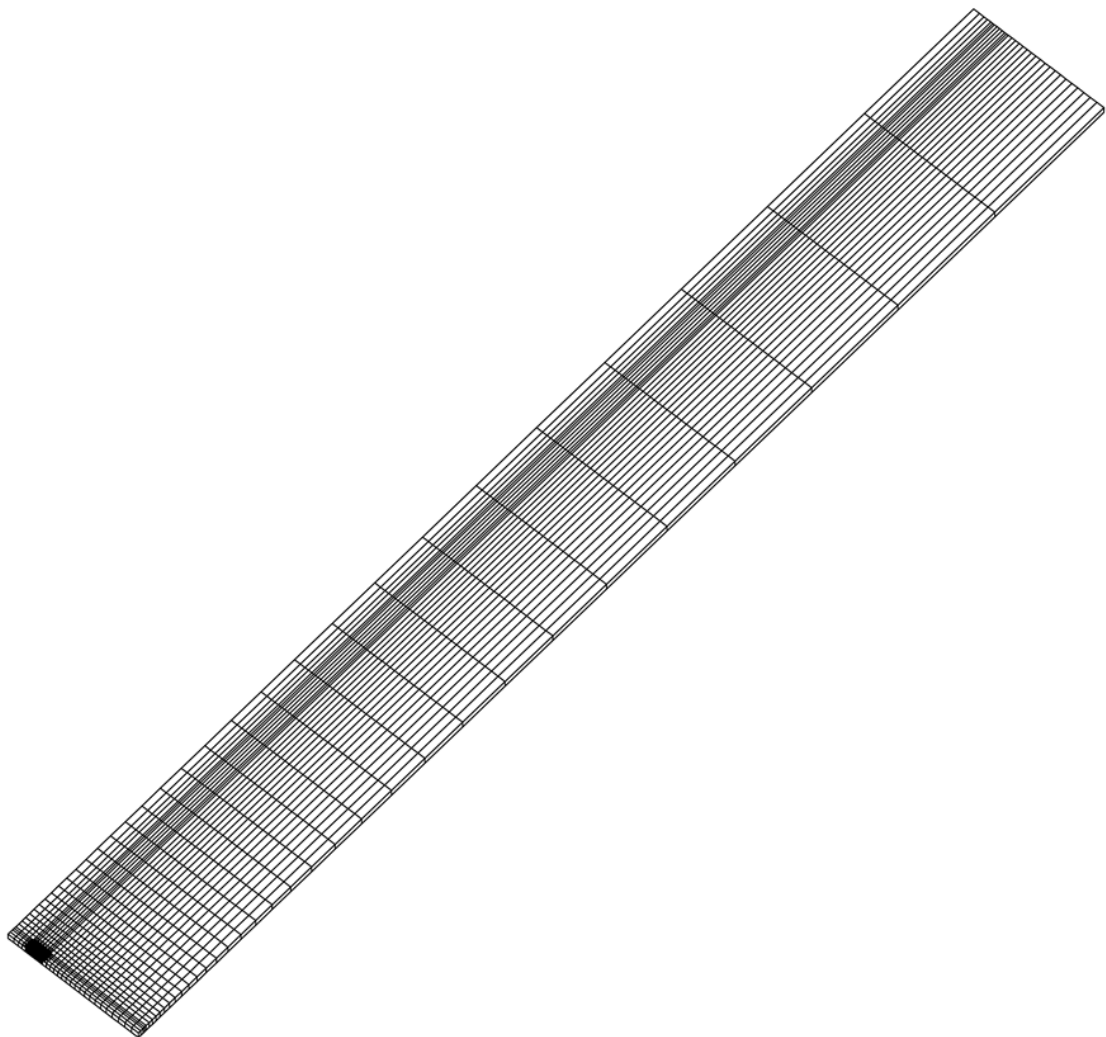


Figure 137 : Maillage du cas-test rupt24.dgibi

# GUIDE DE VALIDATION

## Jeu de données :

```

* fichier : rupt24.dgibi
opti epsi lineaire ;
*****
* Section : Mecanique Endommagement
*****



***** Test rupt24.dgibi: Jeux de données *****
* -----
* -----
***** CAS TEST DU 15/12/15 PROVENANCE : TEST

*Cas test de validation pour le calcul de J sous plusieurs chargement
*avec les procedures g_theta.procedur et g_calcul.procedur
*
*- chargement en traction
*- chargement avec pression sur levres
*- chargement thermique

*Calcul en dimension 3 avec des elements CUB8 sur un maillage complet
*symetrique

opti dime 3 elem cub8 echo 0 ;
*****
*Données paramétriques :
*****
* a : profondeur de la fissure *
* t : epaisseur du tube *
* ri, re : rayon interne/externe *
* h : hauteur du tube *

h = 1. ;
t = 60.e-3 ;
a = t / 5. ;
ri = t * 5. ;
re = ri + t;

*POINTS POUR L'AXE DE REVOLUTION
p0 = (0. 0. 0.);
py = (0. 1. 0.);

*COORDONNEE DE LA POINTE DE LA FISSURE
pf = (a + ri) 0. 0.;

*NOMBRE D'ELEMENTS AUTOUR DE LA POINTE DE LA FISSURE (1 et 2 COUT)
nfiss = 10;

*TAILLE D'UN ELEMENT DE LA 1ERE ET 2EME COUTURE*
tel = 200e-6 ; tel2 = 400e-6 ;
*Facteur d'agrandissement de la taille du derafinement
ttel2 = 4.*tel2 ;

*LONGUEUR DE LA 1ERE ET 2EME COUTURE*
lcl1 = nfiss * tel ; lcl2 = tel2 * nfiss;

*NIVEAU DE CHARGEMENT
p0T = -400. ; p0P = 400. ; dt0 = 300.;

=====
*+
* DEBUT DU MAILLAGE
*+
=====

***** 1ERE COUTURE *****
***** (Autour de la pointe de la fissure) *****

plchd = pf plus (lcl1 0. 0.) ;
plchd = pf plus (lcl1 lcl1 0.) ;
pf1 = pf plus (0. lcl1 0.) ;
plchg = pf1 moin (lcl1 0. 0.) ;
plchg = pf moin (lcl1 0. 0.) ;

dlch = droi (2*nfiss) plchg plchd;
dlcg = droi (nfiss) plcbg plchg ;
dlcd = droi (nfiss) plcbd plchd ;
dlcbg = droi (nfiss) plcbg pf ;
dlcbd = droi (nfiss) pf plcbd ;

cout1 = regl nfiss dlch (dlcbg et dlcbd) ;
*cout1 = coul jaun cout1 ;

***** 2EME COUTURE *****
***** (Autour de la pointe de la fissure) *****
***** Partie au-dessus de la fissure *****

p2cbd = pf plus (lcl2 0. 0.) ;
p2chd = pf plus (lcl2 lcl2 0.) ;
pf2 = pf plus (0. lcl2 0.) ;
p2chg = pf2 moin (lcl2 0. 0.) ;

```

```

p2cbg = pf moin (lcl2 0. 0.) ;
d2ch = droi (2*nfiss) p2chbg p2chd;
d2cg = droi (nfiss) p2cbg p2chg ;
d2cd = droi (nfiss) p2cbd p2chd ;

cout2 = regl nfiss (dlcd et dlch et dlcg) (d2cd et d2ch et d2cg) ;
*cout2 = coul vert cout2 ;

coutlet2 = cout1 et cout2;

***** DERAFINEMENT DES COUTURES *****
***** Partie au-dessus de la fissure *****
-----(( DERAF A 4 ELEMENT )-----)

pid1 = p2chbg moin (0. ttel2 0.) ;
pid2 = pid1 plus (0. ttel2 0.) ;
pid3 = pid2 plus (0. ttel2 0.) ;
pid4 = pid3 plus (0. ttel2 0.) ;
pid5 = pid4 plus (0. ttel2 0.) ;
pid6 = pid2 moin (ttel2 0. 0.) ;
pid7 = pid3 moin (ttel2 0. 0.) ;
pid8 = pid4 moin (ttel2 0. 0.) ;
pid9 = pid1 moin (ttel2 0. 0.) ;
pid10 = pid3 moin (ttel2 0. 0.) ;
pid11 = pid5 moin (ttel2 0. 0.) ;

did1 = droi 1 pid1 pid2 ;
did2 = droi 1 pid2 pid3 ;
did3 = droi 1 pid3 pid4 ;
did4 = droi 1 pid4 pid5 ;
did5 = droi 1 pid9 pid6 ;
did6 = droi 1 pid6 pid7 ;
did7 = droi 1 pid7 pid8 ;
did8 = droi 1 pid11 pid8 ;
did9 = droi 1 pid10 pid7 ;

sil1 = (regl 1 did1 did5) et (regl 1 did2 did6) et
      (regl 1 did3 did7) et (regl 1 did4 (inve did8)) et
      (regl 1 did8 did9) et (regl 1 did9 did5) ;
elim sil1 1.e-5 ;

-----(( DERAF A 3 ELEMENT )-----)

pad1 = pf moin (lcl2 0. 0.) ;
pad2 = pad1 plus (0. ttel2 0.) ;
pad3 = pad2 plus (0. ttel2 0.) ;
pad4 = pad3 plus (0. ttel2 0.) ;
pad5 = pad2 moin (ttel2 0. 0.) ;
pad6 = pad3 moin (ttel2 0. 0.) ;
pad7 = pad1 moin (ttel2 0. 0.) ;
pad8 = pad4 moin (ttel2 0. 0.) ;

dad1 = droi 1 pad1 pad2 ;
dad2 = droi 1 pad2 pad3 ;
dad3 = droi 1 pad3 pad4 ;
dad4 = droi 1 pad7 pad5 ;
dad5 = droi 1 pad5 pad6 ;
dad6 = droi 1 pad6 pad8 ;

sal1 = (regl 1 dad1 dad4) et (regl 1 dad2 dad5) et
      (regl 1 dad3 dad6) et (regl 1 dad4 (inve dad6));
saal1 = sal1 ;
repe i0 1 ;
ssal1 = sal plus (0. (3.*&i0*tel2) 0.) ;
fin i0 ;
sal = sal et ssal1 ;
elim sal 1.e-5 ;

----- PARTIE GAUCHE -----
sig = sal et sil1 ; elim sig 1.e-5 ;

----- PARTIE DROITE -----
sid = sig syme droi ((coor 1 pf) 0. 0.) ((coor 1 pf) lcl2 0.) ;
elim sid 1.e-5 ;

----- PARTIE HAUTE -----
*lignes diagonales pour la symetrie
p_diagod = p2chd plus (lcl1 lcl1 0. );
p_diago = p2chbg moin (lcl1 0. 0. );
p_diagog = p_diago plus (0. lcl1 0. );

d_diagog = droi 1 plchg p_diagog;
d_diagod = droi 1 plchd p_diagod;

sihg = sig syme droi plchg p_diagog ;
elim sihg 1.e-5 ;
sihd = sid syme droi plchd p_diagod ;
elim sihd 1.e-5 ;

sih = sihd et sihg ; elim sih 1.e-5 ;

----- PARTIE COIN -----

```

```

dg = droi 1 pid11 p2chng;
dgc = dg tran 1 (0. ttel2 0.);
dcd = dgc syme droi ((coor 1 pf) 0. 0.) ((coor 1 pf) lc2 0.) ;
sic = dcd et dgc; elim sic 1.e-5;
cout3 = sig et sid et sih et sic ; elim cout3 1.e-5 ;

couttot = cout1 et cout2 et cout3;
elim dlcbd couttot 1.e-5 ;

***** RESTE DU MAILLAGE *****
***** Partie au-dessus de la fissure *****

*Partie de gauche
*-----
pt1 = mini (coor 1 couttot) 0. 0.;
pt2 = (mini (coor 1 couttot)) (maxi (coor 2 couttot)) 0. ;
ptpartg = cout3 poin droit pt1 pt2 1.e-5 ;
d_partg = (cont couttot) elem appuye strictement ptpartg ;
pri = ri 0. 0. ;
pg = d_partg tran
(((coor 1 pri)-(mini(coor 1 couttot))) 0. 0.) dini 1.6e-3 dfin 3.2e-3;

*Partie de droite
*-----
pt3 = maxi (coor 1 couttot) 0. 0. ;
pt4 = (maxi (coor 1 couttot)) (maxi (coor 2 couttot)) 0. ;
ptpartd = couttot poin droit pt3 pt4 1.e-5 ;
dpartd = (cont couttot) elem appuye strictement ptpartd ;
pre = re 0. 0. ;
pd = dpartd tran
(((coor 1 pre)-(maxi(coor 1 couttot))) 0. 0.) dini 1.6e-3 dfin 3.2e-3;
bascout = pg et pd et couttot ; elim bascout 1.e-5 ;

*Partie du haut
*-----
p5 = (mini (coor 1 bascout)) (maxi (coor 2 bascout)) 0. ;
p6 = (maxi (coor 1 bascout)) (maxi (coor 2 bascout)) 0. ;
pt_parth = bascout poin droit p5 p6 1.e-5 ;
dpartd = (cont bascout) elem appuye strictement pt_parth ;
ph = dpartd tran (0. ((h/2.) - (maxi(coor 2 bascout))) 0.)
dini 1.6e-3 dfin t;

*Structure totale EN AXI
*-----
s0 = ph et bascout ; elim s0 1.e-5 ;
***** Structure totale EN 3D
***** v0 = s0 volu nl rota degl p0 py ; elim v0 1.e-5 ;
***** f1 f2 f3 = face v0;
f1 = f1 coul bleu;
f2 = f2 coul roug;

* Creation des surfaces inferieure et superieure.
surliga = lbas rota nl degl p0 py;
sursup = lhau rota nl degl p0 py;
surlev = lvsup rota nl degl p0 py;

*Definition du front de fissure
pfx1 = (coor 1 pf)*(cos (-1.*degl));
pfx3 = (coor 1 pf)*(sin (-1.*degl));
pfx = pfx1 0. pfx3;
frfiss = cerc nl pf p0 pfx;
frfiss = frfiss coul cyan;

elim (v0 et surliga et sursup et surlev et
pfx et frfiss et f1 et f2) 1.e-5;

*Trois points sur la surface f2
zm = mini (f2 coor 3) ;
PC = f2 poin proc (ri 0. zm) ;
PD = f2 poin proc (re 0. zm) ;
PE = f2 poin proc (ri (h / 2.) zm) ;
=====
```

```

***** FIN DU MAILLAGE *****
***** PARTIE CALCULS *****
* PROPRIETE MATERIAUX A 300°C
E0 = 185e3; nu0 = 0.3; alfa0 = 13.08e-6;
mo0 = mode v0 mecanique elastique isotrope ;
ma0 = mate mo0 YOUN E0 nu nu0 alph alfa0 ;
rg0 = rigi mo0 ma0 ;

*CONDITIONS AUX LIMITES
*Blocages
c11 = bloc uy surliga ;
c12 = rela ense uy sursup ;
c13 = bloc uz fl ;
c14 = v0 symt depr PC PD PE 1.e-5 ;
c10 = c11 et c12 et c13 et c14 ;

*Traction uniaxiale (via un modele de pression)
moph = MODE sursup 'CHARGEMENT' 'PRESSION' 'CONS' 'HAUT' ;

*Pression sur les levres (via un modele de pression)
mpl = MODE surlev 'CHARGEMENT' 'PRESSION' 'CONS' 'LEVRES' ;

*Elevation de temperature
chx = ((v0 coor 1) - ri) / (re - ri) ;
cht0 = nomc 'T' (dt0 * chx);

***** SOLUTIONS ANALYTIQUES *****
*Fonctions d'influence
i0 = 1.211 ;
i1 = 0.718 ;

*Contraintes imposées pour le gradient de temperature
sig0 = ((E0*alfa0*dt0)/(1-nu0)) * (ri/(3*t)) *
((2*(re**2))/(ri*(re+ri)) - 1);
sig1 = -1. * ((E0*alfa0*dt0)/(1-nu0));

* J analytiques
JT = (1-(nu0**2)) * (((i0*(-1.*p0T)*((pi*a)**(1./2.)))**2) / E0;
JP = (1-(nu0**2)) * (((i0*(-1.*p0P)*((pi*a)**(1./2.)))**2) / E0;
JTH = (1-(nu0**2)) *
(((i0*sig0)+ (i1*sig1*(a/t)))*((pi*a)**(1./2.))) **2)/E0;

***** CALCUL ELASTIQUE AVEC RESO - CALCUL DE J ELASTIQUE *****
* Construction des second membres
maph = MATE moph 'PRES' p0T ;
f0T = BSIG moph maph ;
mpl = MATE mpl 'PRES' p0P ;
f0P = BSIG mpl mpl ;

sgth0 = THET mo0 ma0 cht0 ;
f0TH = BSIG mo0 sgth0 ;

* RESOLUTION ELASTIQUE DES 3 PROBLEMES
utestT utestP utestTH = RESO (rg0 ET c10) f0T f0P f0TH;
mena ;

*PROCEDURE G_THETA
*cas 1 : traction seule
tabJel = table ;
tabJel . 'MODELE' = mo0 ET moph ;
tabJel . 'CARACTERISTIQUES' = ma0 ET maph ;
tabJel . 'BLOCAGES_MECANIQUES' = c10 ;
tabJel . 'SOLUTION_RESO' = utestT ;
tabJel . 'OBJECTIF' = MOT 'J' ;
tabJel . 'LEVRE_SUPERIEURE' = surlev ;
tabJel . 'FRONT_FISSURE' = frfiss ;
tabJel . 'COUCHE' = 5 ;
g_theta tabJel ;
JelT1 = tabJel.resultats.global ;

*cas 2 : pression sur les levres
tabJel . 'MODELE' = mo0 ET mpl ;
tabJel . 'CARACTERISTIQUES' = ma0 ET mapl ;
```

## GUIDE DE VALIDATION

```

tabJel . 'SOLUTION_RESO'          = utestP ;
g_theta tabJel ;
JelP1 = tabJel.resultats.global ;

*cas 3 : gradient de temperature
tabJel . 'MODELE'                 = mo0 ;
tabJel . 'CARACTERISTIQUES'       = ma0 ;
tabJel . 'TEMPERATURES'           = cht0 ;
tabJel . 'SOLUTION_RESO'          = utestTH ;
g_theta tabJel ;
JelTH1 = tabJel.resultats.global ;

*Erreurs sur J entre la solution analytique et le MEF
errT1 = ((JelT1-JT)*100. ;
errP1 = ((JelP1-JP)/JP)*100. ;
errTH1 = ((JelTH1-JTH)/JTH)*100. ;

*****CALCUL ELASTIQUE AVEC PASAPAS - CALCUL DE J ELASTIQUE*****
*****CALCUL ELASTIQUE AVEC PASAPAS - CALCUL DE J ELASTIQUE*****

* Chargements de pression (obligatoires si modèle de pression)
evph = EVOL 'MANU' 'TEMP' (PROG 0. 1. 2. 3.)
          'PRES' (PROG 0. 1. 0. 0.) ;
chapH = CHAR 'PRES' (CHAN 'TYPE' mapH 'CONTRAINIES') evph ;

evpl = EVOL 'MANU' 'TEMP' (PROG 0. 1. 2. 3.)
          'PRES' (PROG 0. 0. 1. 0.) ;
chapL = CHAR 'PRES' (CHAN 'TYPE' mapL 'CONTRAINIES') evpl ;

* Chargement thermique
chath = CHAR 'T' cht0 (EVOL 'MANU' (PROG 0. 1. 2. 3.)
                      (PROG 0. 0. 0. 1.)) ;

*RESOLUTION AVEC PASAPAS DES 3 PROBLEMES (UN A CHAQUE PAS DE TEMPS)
*AU PAS 1 : Traction seule
*AU PAS 2 : Pression sur les lèvres
*AU PAS 3 : Gradient de température
tabT = TABL ;
tabT . 'MODELE' = mo0 ET moph ET mopl ;
tabT . 'CARACTERISTIQUES' = ma0 ET mapH ET mapL ;
tabT . 'BLOCAGES_MECAHIQUES' = cl0 ;
tabT . 'CHARGEMENT' = chapH ET chapL ET chath ;
tabT . 'TEMPS_CALCULES' = PROG 1. 2. 3. ;
PASAPAS tabT ;

*PROCEDURE G_THETA POUR LES 3 PROBLEMES (UN A CHAQUE PAS DE TEMPS)
*ATTENTION, IL FAUT RETIRER LE CHARGEMENT MECA DE PRESSION SUR LES
*LEVRES ET UTILISER LE CHARGEMENT PLEV
*PROCEDURE G_THETA POUR LES 3 PROBLEMES (UN A CHAQUE PAS DE TEMPS)

tabJel = TABL ;
tabJel . 'SOLUTION_PASAPAS'      = tabT ;
tabJel . 'OBJECTIF'              = MOT 'J' ;
tabJel . 'LEVRE_SUPERIEURE'       = surlev ;
tabJel . 'FRONT_FISSURE'         = frfiss ;
tabJel . 'COUCHE'                = 5 ;
g_theta tabJel ;
JelT2 = tabJel.resultats. 1 . global ;
JelP2 = tabJel.resultats. 2 . global ;
JelTH2 = tabJel.resultats. 3 . global ;
*Erreurs sur J : solution analytique VS calcul PASAPAS + G_THETA
errT2 = ((JelT2-JT)/JT)*100. ;
errP2 = ((JelP2-JP)/JP)*100. ;
errTH2 = ((JelTH2-JTH)/JTH)*100. ;

*****
* AFFICHAGE DES RESULTATS ET DES ERREURS
*****
SAUT 5 'LIGNE' ;
mess 'Solution Theorique'        : ' JT JP JTH' ;
mess ;
mess 'Solution MEF (RESO)'       : ' JelT1 JelP1 JelTH1' ;
mess 'Erreur en %'               : ' errT1 errP1 errTH1' ;
mess ;
mess 'Solution MEF (PASAPAS)'    : ' JelT2 JelP2 JelTH2' ;
mess 'Erreur en %'               : ' errT2 errP2 errTH2' ;

* Test sur les erreurs
errT = MAXI 'ABS' (PROG errT1 errT2) ;
si ((abs errT) > 0.5) ;
  erre 'Erreur sur le calcul de JelT' ;
fins ;
errP = MAXI 'ABS' (PROG errP1 errP2) ;
si ((abs errP) > 0.5) ;
  erre 'Erreur sur le calcul de JelP' ;
fins ;
errTH = MAXI 'ABS' (PROG errTH1 errTH2) ;
si ((abs errTH) > 0.2) ;
  erre 'Erreur sur le calcul de JelTH' ;
fins ;

FIN ;

```

### 5.6.25 rupt25.dgibi

|                              |  |
|------------------------------|--|
| <b>Nom du fichier</b>        | rupt25.dgibi   |
| <b>Type de calcul</b>        | Mécanique de la rupture<br>3D  |
| <b>Type d'Eléments Finis</b> | CU20   |
| <b>Référence</b>             | Solution analytique  |
| <b>Description</b>           | Calcul de l'intégrale J avec G_THETA sous plusieurs chargements :<br><ul style="list-style-type: none"> <li>- chargement en traction</li> <li>- chargement avec pression sur lèvres</li> <li>- chargement thermique</li> </ul> |
| <b>Objectif</b>              | <ul style="list-style-type: none"> <li>- Erreur relative J Traction &lt; 0.6%</li> <li>- Erreur relative J Pression &lt; 0.6%</li> <li>- Erreur relative J Thermique &lt; 0.4%</li> </ul>                                      |
| <b>Version de Cast3M</b>     | CAST3M 2016  |
| <b>Plateformes testées</b>   | IBM AiX<br>Linux 32-bits<br>Linux 64-bits<br>Windows 32-bits<br>Windows 64-bits<br>MAC OSX 64-bits   |

Tableau 79 : Informations sur le cas test rupt25.dgibi

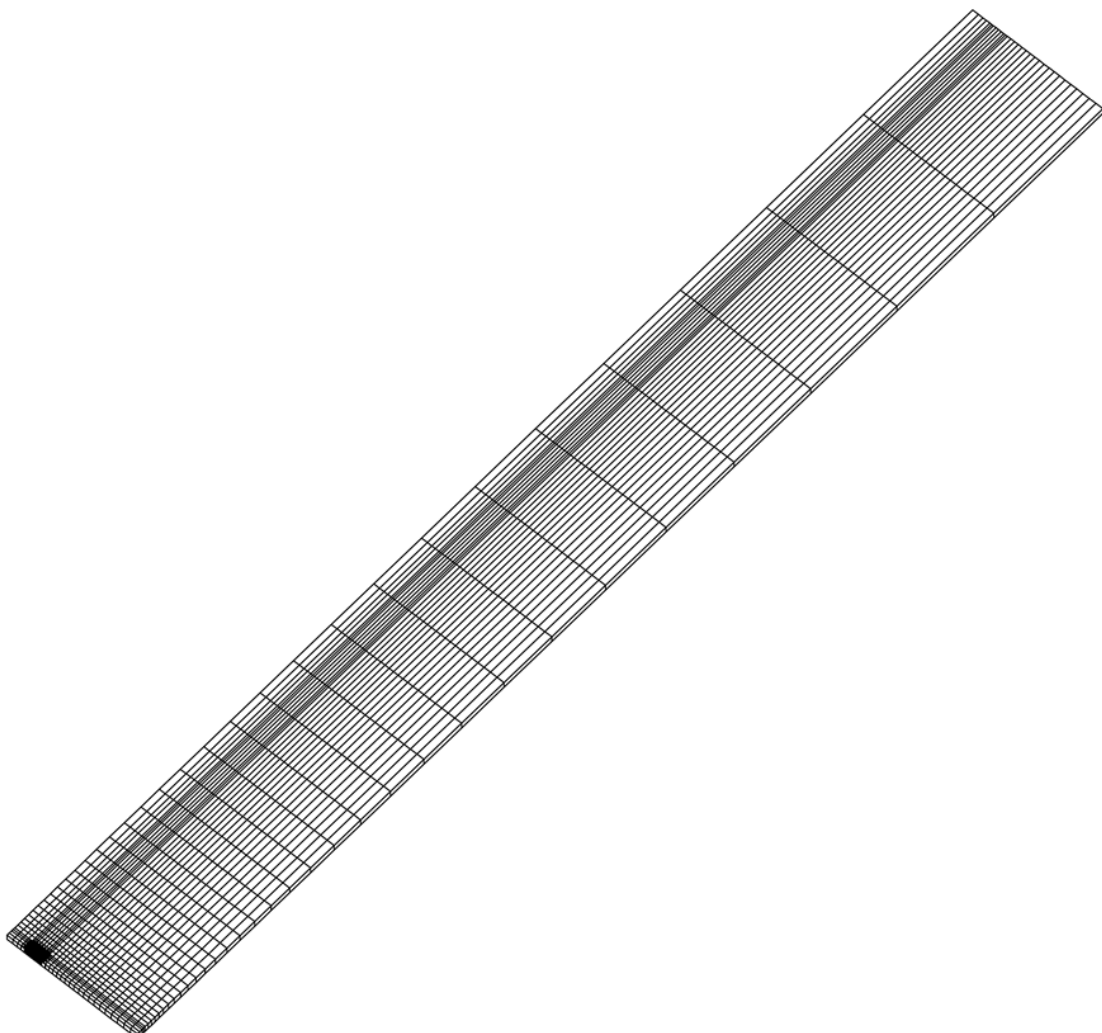


Figure 138 : Maillage du cas-test rupt25.dgibi

**Jeu de données :**

```

* fichier : rupt25.dgibi
*****
* Section : Mecanique Endommagement
*****  

*****  

* Test rupt25.dgibi: Jeux de données *
* -----
*  

*****  

* CAS TEST DU 15/12/15 PROVENANCE : TEST  

*Cas test de validation pour le calcul de J sous plusieurs chargement
*avec les procédures g_theta.procedur et g_calcul.procedur
*  

*- chargement en traction
*- chargement avec pression sur levres
*- chargement thermique  

*Calcul en dimension 3 avec des éléments CU20 sur un maillage complet
*symétrique  

opti dime 3 elem cu20 echo 0 ;
*****  

*Données paramétriques :
*****  

* a : profondeur de la fissure *
* t : épaisseur du tube *
* ri, re : rayon interne/externe *
* h : hauteur du tube *

h = 1. ;
t = 60.e-3 ;
a = t / 5. ;
ri = t * 5. ;
re = ri + t ;

*POINTS POUR L'AXE DE REVOLUTION
p0 = (0. 0. 0.);
py = (0. 1. 0.);

*COORDONNÉE DE LA POINTE DE LA FISSURE
pf = (a + ri) 0. 0.;

*NOMBRE D'ELEMENTS AUTOUR DE LA POINTE DE LA FISSURE (1 et 2 COUT)
nfiss = 10;

*TAILLE D'UN ELEMENT DE LA 1ERE ET 2EME COUTURE*
tel = 200e-6 ; tel2 = 400e-6 ;
*Facteur d'agrandissement de la taille du derafinement
ttel2 = 4.*tel2 ;

*LONGUEUR DE LA 1ERE ET 2EME COUTURE*
lcl = nfiss * tel ; lc2 = tel2 * nfiss;

*NIVEAU DE CHARGEMENT
p0T = -400. ; p0P = 400. ; dt0 = 300.;

*****  

***** DEBUT DU MAILLAGE
*****  

***** (Autour de la pointe de la fissure) *****  

*****  

plcbd = pf plus (lcl 0. 0. );
plchd = pf plus (lcl lcl 0. );
pfl = pf plus (0. lcl 0. );
plchq = pfl moin (lcl 0. 0. );
plcbg = pf moin (lcl 0. 0. );

dlch = droi (2*nfiss) plchq plchd;
dlcg = droi (nfiss) plcbg plchq ;
dlcd = droi (nfiss) plcbd plchd ;
dlcgb = droi (nfiss) plcbg pf ;
dlcbd = droi (nfiss) pf plcbd ;

cout1 = regl nfiss dlch (dlcgb et dlcbd) ;
*coul1 = coul jaun cout1 ;

*****  

***** 2EME COUTURE *****
***** (Autour de la pointe de la fissure) *****
***** Partie au-dessus de la fissure *****
*****  

p2cbd = pf plus (lc2 0. 0. );
p2chd = pf plus (lc2 lc2 0. );
pf2 = pf plus (0. lc2 0. );

```

```

p2chq = pf2 moin (lc2 0. 0.) ;
p2cbg = pf moin (lc2 0. 0.) ;

d2ch = droi (2*nfiss) p2chq p2chd;
d2cg = droi (nfiss) p2cbg p2chq ;
d2cd = droi (nfiss) p2cbd p2chd ;

cout2 = regl nfiss (dlcd et dlch et dlcg) (d2cd et d2ch et d2cg) ;
*coul2 = coul vert cout2 ;

coutlet2 = cout1 et cout2;

***** DERAFINEMENT DES COUTURES *****
***** Partie au-dessus de la fissure *****
*****  

-----( DERAF A 4 ELEMENT )-----  

pid1 = p2chq moin (0. ttel2 0.) ;
pid2 = pid1 plus (0. tel2 0.) ;
pid3 = pid2 plus (0. tel2 0.) ;
pid4 = pid3 plus (0. tel2 0.) ;
pid5 = pid4 plus (0. tel2 0.) ;
pid6 = pid2 moin (tel2 0. 0.) ;
pid7 = pid3 moin (tel2 0. 0.) ;
pid8 = pid4 moin (tel2 0. 0.) ;
pid9 = pid1 moin (ttel2 0. 0.) ;
pid10 = pid3 moin (ttel2 0. 0.) ;
pid11 = pid5 moin (ttel2 0. 0.) ;

did1 = droi 1 pid1 pid2 ;
did2 = droi 1 pid2 pid3 ;
did3 = droi 1 pid3 pid4 ;
did4 = droi 1 pid4 pid5 ;
did5 = droi 1 pid9 pid6 ;
did6 = droi 1 pid6 pid7 ;
did7 = droi 1 pid7 pid8 ;
did8 = droi 1 pid11 pid8 ;
did9 = droi 1 pid10 pid7 ;

sil = (regl 1 did1 did5) et (regl 1 did2 did6) et
      (regl 1 did3 did7) et (regl 1 did4 (inve did8)) et
      (regl 1 did8 did9) et (regl 1 did9 did5) ;
elim sil 1.e-5 ;

-----( DERAF A 3 ELEMENT )-----  

pad1 = pf moin (lc2 0. 0.) ;
pad2 = pad1 plus (0. tel2 0. ) ;
pad3 = pad2 plus (0. tel2 0. ) ;
pad4 = pad3 plus (0. tel2 0. ) ;
pad5 = pad2 moin (tel2 0. 0.) ;
pad6 = pad3 moin (tel2 0. 0.) ;
pad7 = pad1 moin (ttel2 0. 0.) ;
pad8 = pad4 moin (ttel2 0. 0.) ;

dad1 = droi 1 pad1 pad2 ;
dad2 = droi 1 pad2 pad3 ;
dad3 = droi 1 pad3 pad4 ;
dad4 = droi 1 pad7 pad5 ;
dad5 = droi 1 pad5 pad6 ;
dad6 = droi 1 pad6 pad8 ;

sal = (regl 1 dad1 dad4) et (regl 1 dad2 dad5) et
      (regl 1 dad3 dad6) et (regl 1 dad4 (inve dad6));
saal = sal ;
repe i0 1 ;
ssal = sal plus ( 0. (3.*&i0*tel2) 0. ) ;
fin i0 ;
sal = sal et ssal ;
elim sal 1.e-5 ;

----- PARTIE GAUCHE -----
sig = sal et sil ; elim sig 1.e-5 ;

----- PARTIE DROITE -----
sid = sig syme droi ((coor 1 pf) 0. 0.) ((coor 1 pf) lc2 0. ) ;
elim sid 1.e-5 ;

----- PARTIE HAUTE -----
*lignes diagonales pour la symetrie
p_diagon = p2chd plus (lcl lcl 0. );
p_diago = p2chq moin (lcl 0. 0. );
p_diagog = p_diago plus (0. lcl 0. );

d_diagon = droi 1 plchq p_diagon;
d_diago = droi 1 plchd p_diago;

sihg = sig syme droi plchq p_diagon;
elim sihg 1.e-5 ;
sihd = sid syme droi plchd p_diago ;
elim sihd 1.e-5 ;

```

# GUIDE DE VALIDATION

```

sih = sihd et sihg ; elim sih 1.e-5 ;
*----- PARTIE COIN -----
dg = droi 1 pid11 p2chg;
dg = dg tran 1 (0. ttel2 0.);
dcd = dg syme droi ((coor 1 pf) 0. 0.) ((coor 1 pf) lc2 0.) ;
sic = dcd et dg; elim sic 1.e-5;
cout3 = sig et sid et sih et sic ; elim cout3 1.e-5 ;

couttot = cout1 et cout2 et cout3;
elim dlcd0 couttot 1.e-5 ;

***** RESTE DU MAILLAGE *****
***** Partie au-dessus de la fissure *****

*Partie de gauche
*-----
pt1 = mini (coor 1 couttot) 0. 0. ;
pt2 = (mini (coor 1 couttot)) (maxi (coor 2 couttot)) 0. ;
ptpartg = cout3 pain droit pt1 pt2 1.e-5 ;
d_partg = (cont couttot) elem appuye strictement ptpartg ;
pri = ri 0. 0. ;
pg = d_partg tran
((coor 1 pri)-(mini(coor 1 couttot))) 0. 0.) dini 1.6e-3 dfin 3.2e-3;

*Partie de droite
*-----
pt3 = maxi (coor 1 couttot) 0. 0. ;
pt4 = (maxi (coor 1 couttot)) (maxi (coor 2 couttot)) 0. ;
ptpartd = couttot pain droit pt3 pt4 1.e-5 ;
dpartd = (cont couttot) elem appuye strictement ptpartd ;
pre = re 0. 0. ;
pd = dpartd tran
((coor 1 pre)-(maxi(coor 1 couttot))) 0. 0.) dini 1.6e-3 dfin 3.2e-3;
bascout = pg et pd et couttot ; elim bascout 1.e-5 ;

*Partie du haut
*-----
p5 = (mini (coor 1 bascout)) (maxi (coor 2 bascout)) 0. ;
p6 = (maxi (coor 1 bascout)) (maxi (coor 2 bascout)) 0. ;
pt_parth = bascout pain droit p5 p6 1.e-5 ;
dpartd = (cont bascout) elem appuye strictement pt_parth ;
ph = dpartd tran (0. ((h/2.) - (maxi(coor 2 bascout))) 0.) dini 1.6e-3 dfin t;

*Structure totale EN AXI
*-----
s0 = ph et bascout ; elim s0 1.e-5 ;
*Definition des bords du maillage AXI
lhau = cote 3 ph;
lbas = (cont s0) elem compris pf pb ;
pgau = s0 pain droit (ri (mini (coor 2 s0)) 0.)
(ri (maxi (coor 2 s0)) 0.) 1.e-5 ;
lgau = (cont s0) elem appuye strictement pgau ;

n1 = 1;
degl = 0.5 ;

*Structure totale EN 3D
*-----
v0 = s0 volu nl rota degl p0 py ; elim v0 1.e-5 ;
*----- f1 f2 f3 = face v0;
f1 = f1 coul bleu;
f2 = f2 coul roug;

* Creation des surfaces inferieure et superieure.
surliga = lbas rota n1 degl p0 py;
sursup = lhau rota n1 degl p0 py;
surlev = lvsup rota n1 degl p0 py;

*Defintion du front de fissure
pfxl = (coor 1 pf)*(cos (-1.*degl));
pfx3 = (coor 1 pf)*(sin (-1.*degl));
pfx = pfxl 0. pfx3;
frfiss = cerc n1 pf p0 pfx;
frfiss = frfiss coul cyan;

elim (v0 et surliga et sursup et surlev et
pfx et frfiss et f1 et f2) 1.e-5;

*Trois points sur la surface f2
zm = mini (f2 coor 3) ;
PC = f2 pain proc (ri 0. zm) ;
PD = f2 pain proc (re 0. zm) ;
PE = f2 pain proc (ri (h / 2.) zm) ;

```

```

*=====
***** FIN DU MAILLAGE *****
*=====
*----- PARTIE CALCULS -----
* PROPRIETE MATERIAUX A 300°C
E0 = 185e3; nu0 = 0.3; alfa0 = 13.08e-6;
mo0 = mode v0 mecanique elastique isotrope ;
ma0 = mate mo0 YOUNG E0 nu nu0 alph alfa0 ;
rg0 = rigi mo0 ma0 ;

*CONDITIONS AUX LIMITES
*Blocages
c11 = bloc uy surliga ;
c12 = rela ense uy sursup ;
c13 = bloc uz f1 ;
c14 = v0 syme depl PC PD PE 1.e-5 ;
c10 = c11 et c12 et c13 et c14 ;

*Traction uniaxiale (via un modele de pression)
moph = MODE sursup 'CHARGEMENT' 'PRESSION' 'CONS' 'HAUT' ;
mopl = MODE surlev 'CHARGEMENT' 'PRESSION' 'CONS' 'LEVRES' ;
*Elevation de temperature
chx = ((v0 coor 1) - ri) / (re - ri) ;
cht0 = nomc 'T' (dt0 * chx);

***** SOLUTIONS ANALYTIQUES *****
*Fonctions d'influence
i0 = 1.211 ;
i1 = 0.718 ;

*Contraintes imposées pour le gradient de température
sig0 = ((E0*alfa0*dt0)/(1-nu0)) * (ri/(3*t)) *
((2*(re**2))/(ri*(re+ri)) - 1);
sig1 = -1. * ((E0*alfa0*dt0)/(1-nu0));

* J analytiques
JT = (1-(nu0**2)) * ((i0*(-1.*p0T)*((pi*a)**(1./2.)))**2) / E0;
JP = (1-(nu0**2)) * ((i0*(-1.*p0P)*((pi*a)**(1./2.)))**2) / E0;
JTH = (1-(nu0**2)) *
(((i0*sig0)+(i1*sig1*(a/t)))*((pi*a)**(1./2.))) **2)/E0;

***** CALCUL ELASTIQUE AVEC RESO - CALCUL DE J ELASTIQUE *****
* Construction des second membres
maph = MATE moph 'PRES' p0T ;
f0T = BSIG moph maph ;
mapl = MATE mopl 'PRES' p0P ;
f0P = BSIG mopl mapl ;

sgth0 = THET mo0 ma0 cht0 ;
f0TH = BSIG mo0 sgth0 ;

* RESOLUTION ELASTIQUE DES 3 PROBLEMES
utestT utestP utestTH = RESO (rg0 ET c10) f0T f0P f0TH;
mena ;

*PROCEDURE G_THETA
*cas 1 : traction seule
tabJel = table ;
tabJel . 'MODELE' = mo0 ET moph ;
tabJel . 'CARACTERISTIQUES' = mo0 ET mapl ;
tabJel . 'BLOCAGES_MECANIQUES' = c10 ;
tabJel . 'SOLUTION_RESO' = utestT ;
tabJel . 'OBJECTIF' = MOT 'J' ;
tabJel . 'LEVRE_SUPERIEURE' = surlev ;
tabJel . 'FRONT_FISSURE' = frfiss ;
tabJel . 'COUCHE' = 5 ;
g_theta tabJel ;
JelT1 = tabJel.resultats.global ;

*cas 2 : pression sur les levres
tabJel . 'MODELE' = mo0 ET mopl ;
tabJel . 'CARACTERISTIQUES' = ma0 ET mapl ;
tabJel . 'SOLUTION_RESO' = utestP ;

```

```

g_theta tabJel ;
JelP1 = tabJel.resultats.global ;

*cas 3 : gradient de temperature
tabJel . 'MODELE'           = mo0 ;
tabJel . 'CARACTERISTIQUES' = ma0 ;
tabJel . 'TEMPERATURES'     = cht0 ;
tabJel . 'SOLUTION_RESO'    = utestTH ;
g_theta tabJel ;
JelTH1 = tabJel.resultats.global ;

*Erreurs sur J entre la solution analytique et le MEF
errT1 = ((JelT1-JT)/JT)*100. ;
errP1 = ((JelP1-JP)/JP)*100. ;
errTH1 = ((JelTH1-JTH)/JTH)*100. ;

*****
* CALCUL ELASTIQUE AVEC PASAPAS - CALCUL DE J ELASTIQUE
*****


* Chargements de pression (obligatoires si modele de pression)
evph = EVOL 'MANU' 'TEMP' (PROG 0. 1. 2. 3.)
          'PRES' (PROG 0. 1. 0. 0.) ;
chaph = CHAR 'PRES' (CHAN 'TYPE' maph 'CONTRAINTE') evph ;

evpl = EVOL 'MANU' 'TEMP' (PROG 0. 1. 2. 3.)
          'PRES' (PROG 0. 0. 1. 0.) ;
chapl = CHAR 'PRES' (CHAN 'TYPE' mapl 'CONTRAINTE') evpl ;

* Chargement thermique
chath = CHAR 'T' cht0 (EVOL 'MANU' (PROG 0. 1. 2. 3.)
                      (PROG 0. 0. 0. 1.)) ;

*RESOLUTION AVEC PASAPAS DES 3 PROBLEMES (UN A CHAQUE PAS DE TEMPS)
*AU PAS 1 : Traction seule
*AU PAS 2 : Pression sur les levres
*AU PAS 3 : Gradient de temperature
tabT = TABL ;
tabT . 'MODELE' = mo0 ET moph ET mopl ;
tabT . 'CARACTERISTIQUES' = ma0 ET maph ET mapl ;
tabT . 'BLOCAGES_MECAHIQUES' = c10 ;
tabT . 'CHARGEMENT' = chapl ET chapl ET chath ;
tabT . 'TEMPS_CALCULES' = PROG 1. 2. 3. ;
PASAPAS tabT ;

*PROCEDURE G_THETA POUR LES 3 PROBLEMES (UN A CHAQUE PAS DE TEMPS)
*ATTENTION, IL FAUT RETIRER LE CHARGEMENT MECA DE PRESSION SUR LES
*LEVRES ET UTILISER LE CHARGEMENT PLEV
*PROCEDURE G_THETA POUR LES 3 PROBLEMES (UN A CHAQUE PAS DE TEMPS)

*****



tabJel = TABL ;
tabJel . 'SOLUTION_PASAPAS'      = tabT ;
tabJel . 'OBJECTIF'              = MOT 'J' ;
tabJel . 'LEVRE_SUPERIEURE'      = surlev ;
tabJel . 'FRONT_FISSURE'         = frfiss ;
tabJel . 'COUCHE'                = 5 ;
g_theta tabJel ;
JelT2 = tabJel.resultats. 1 . global ;
JelP2 = tabJel.resultats. 2 . global ;
JelTH2 = tabJel.resultats. 3 . global ;
*Erreurs sur J : solution analytique VS calcul PASAPAS + G_THETA
errT2 = ((JelT2-JT)/JT)*100. ;
errP2 = ((JelP2-JP)/JP)*100. ;
errTH2 = ((JelTH2-JTH)/JTH)*100. ;

*****



* AFFICHAGE DES RESULTATS ET DES ERREURS
*****


SAUT 5 'LIGNE' ;
mess 'Solution Theorique' : ' JT JP JTH ;
mess ;
mess 'Solution MEF (RESO)' : ' JelT1 JelP1 JelTH1 ;
mess 'Erreur en %' : ' errT1 errP1 errTH1 ;
mess ;
mess 'Solution MEF (PASAPAS)' : ' JelT2 JelP2 JelTH2 ;
mess 'Erreur en %' : ' errT2 errP2 errTH2 ;

* Test sur les erreurs
errT = MAXI 'ABS' (PROG errT1 errT2) ;
si ((abs errT) > 0.3) ;
erre 'Erreur sur le calcul de JelT' ;
fins ;
errP = MAXI 'ABS' (PROG errP1 errP2) ;
si ((abs errP) > 0.3) ;
erre 'Erreur sur le calcul de JelP' ;
fins ;
errTH = MAXI 'ABS' (PROG errTH1 errTH2) ;
si ((abs errTH) > 0.4) ;
erre 'Erreur sur le calcul de JelTH' ;
fins ;

FIN ;

```

**5.6.26 rupt26.dgibi**

|                              |  |
|------------------------------|--|
| <b>Nom du fichier</b>        | rupt26.dgibi   |
| <b>Type de calcul</b>        | Mécanique de la rupture<br>3D  |
| <b>Type d'Eléments Finis</b> | CU20   |
| <b>Référence</b>             | Solution analytique  |
| <b>Description</b>           | Calcul de l'intégrale J avec G_THETA sous plusieurs chargements :<br>- chargement en traction<br>- chargement avec pression sur lèvres (avec plusieurs types d'éléments sur le maillage de la fissure) |
| <b>Objectif</b>              | Écart relatif < 1% entre les résultats des 2 calculs   |
| <b>Version de Cast3M</b>     | CAST3M 2016  |
| <b>Plateformes testées</b>   | IBM AiX<br>Linux 32-bits<br>Linux 64-bits<br>Windows 32-bits<br>Windows 64-bits<br>MAC OSX 64-bits   |

*Tableau 80 : Informations sur le cas test rupt26.dgibi*

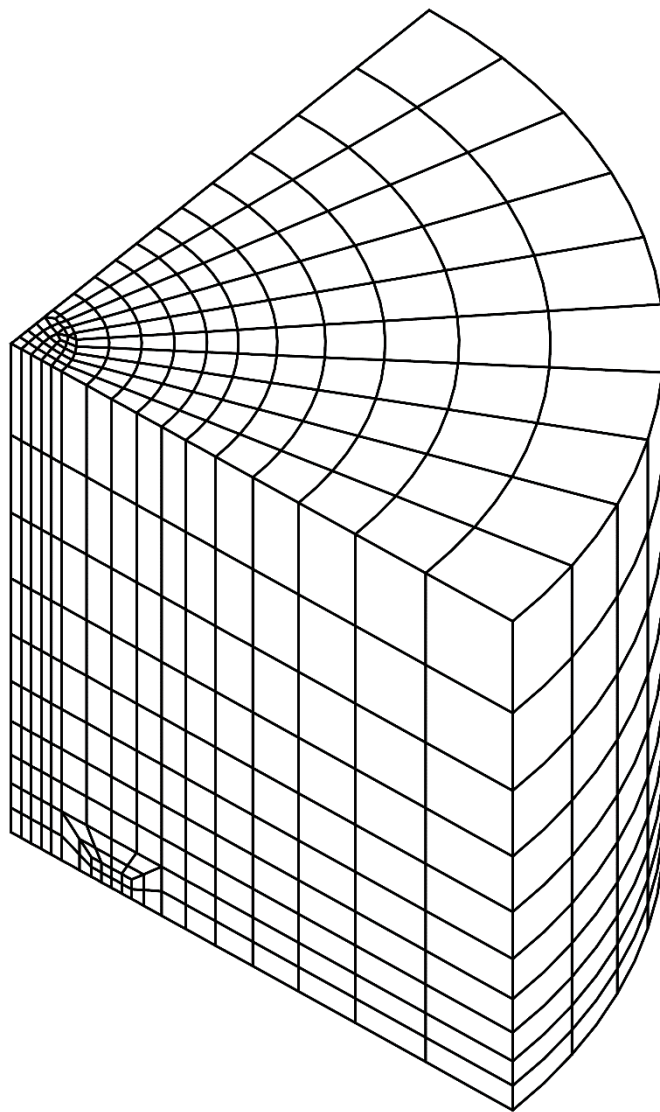


Figure 139 : Maillage du cas-test rupt26.dgibi

# GUIDE DE VALIDATION

## Jeu de données :

```

*fichier : rupt26.dgibi
*****
* Section : Mecanique Endommagement
*****
***** Test rupt26.dgibi: Jeux de données *****
*-----*
***** Cas test de validation pour le calcul de J sous plusieurs chargement
*avec les procedures g_theta.procedur et g_calcul.procedur
*-
*- chargement avec pression sur levres avec plusieurs types d elements
* sur le maillage de la fissure
*Calcul en dimension 3 avec des elements CU20 et PRI15 sur un maillage
*complet symetrique

* DONNEES GEOMETRIQUES
*-----
opti dime 3 elem cu20 echo 0;
zz = 1e-6;

aa = 2.; Rsa = 5. ;
*
R = Rsa * aa ;
dda = aa / 40. ;
*
* ----- MAILLAGE
*
pfond = aa 0. 0. ;
np = 4; nt = 10 ;
p1 = pfond plus ((np*dda) 0. 0.) ;
p2 = p1 plus (0. 0. (np*dda)) ;
p4 = pfond moin ((np*dda) 0. 0.) ;
p3 = p4 plus (0. 0. (np*dda)) ;
ss1 = (p1 d np pfond d np p4) tran np (0. 0. (np*dda)) ;
p5 = pfond plus ((aa / 2.) 0. 0.) ;
p6 = p5 plus (0. 0. (aa / 2.)) ;
p8 = pfond moin ((aa / 2.) 0. 0.) ;
p7 = p8 plus (0. 0. (aa / 2.)) ;
l11 = p1 d np p2 d (2*np) p3 d np p4 ;
l12 = p5 d np p6 d (2*np) p7 d np p8 ;
ss2 = l11 regl 112 dini dda dfin (aa/.) ;
dx = R - (1.5 * aa) ;
ss3 = (p5 d np p6) tran (dx 0. 0.) dini (aa/4.) dfin aa ;
ss4 = ss1 et ss2 et ss3 ; elim zz ss4 ;
vv1 = ss4 volu nt rota 90. (0. 0. 0.) (0. 0. 1.) ;
pc = 0. 0. 0. ;
p9 = 0. (aa / 2.) 0. ;
nq = 4 ;
l13 = (p8 c nt pc p9) et (p9 d nq pc d nq p8) ;
ss5 = surf l13 plane ;
vv2 = ss5 volu tran np (0. 0. (aa / 2.)) ;
elim zz (vv1 et vv2) ;

ss6 = (vv1 et vv2) poing plan p6 p7 (0. 1. (aa / 2.)) zz ;
ss7 = (enve (vv1 et vv2)) elem appuye strictement ss6 ;
dz = R - (0.5 * aa) ;
vv3 = ss7 volu tran (0. 0. dz) dini (aa/4.) dfin aa ;

vtot = vv1 et vv2 et vv3 ;

*----- Lignes et surfaces nommées
ss0 = vtot poing plan pc p8 p9 zz ;
ssl = (enve vtot) elem appuye strictement ss0 ;
chx = ssl coor 1; chy = ssl coor 2 ;
chr = ((chx ** 2) + (chy ** 2)) ** 0.5 ;
chrr = chan chan chr ssl ;
sulev = chrr elem infe (aa - zz) ;
sulig = diff ssl sulev ;
ffis = (cont sulev) elem appuye strictement sulig ;

ss0 = vtot poing plan pc p8 p7 zz ;
symp = (enve vtot) elem appuye strictement ss0 ;
ss0 = vtot poing plan pc p9 (0. 0. 1.) zz ;
symp = (enve vtot) elem appuye strictement ss0 ;
ss0 = vtot point plan (0. 0. R) (1. 0. R) (0. 1. R) zz ;
ssup = (enve vtot) elem appuye strictement ss0 ;
***** Model mecanique et parametres materiau
EI20 = 197000. ; ALI20 = 15.54E-6 ;
mo2 = MODE vtot MECANIQUE ELASTIQUE ISOTROPE ;
ma2 = MATE mo2 'YOUN' EI20 'NU' 0.3 'ALPH' ALI20 ;
r11 = RIGI mo2 ma2 ;
*--- Conditions aux limites
* Blocages
cdl = BLOQ symp 'UX' ;
cd2 = BLOQ symy 'UY' ;
cd3 = BLOQ sulig 'UZ' ;
cdl = cdl ET cd2 ET cd3 ;
*Traction uniaxiale (via un modele de pression)
pp = 100. ;
moph = MODE ssup 'CHARGEMENT' 'PRESSION' 'CONS' 'HAUT' ;
*Pression sur les levres (via un modele de pression)
mopl = MODE sulev 'CHARGEMENT' 'PRESSION' 'CONS' 'LEVRES' ;
*
* Construction des second membres
maph = MATE moph 'PRES' pp ;
effN = BSIG moph maph ;
mapl1 = MATE mopl 'PRES' pp ;
ff0 = BSIG mopl mapl1 ;
zer1 = ZERO mopl 'RIGIDITE' ;
chx chy chz = COOR zer1 ;
chr = (((chx ** 2) + (chy ** 2)) ** 0.5) / aa ;
*ch2 = pp * ((1. - (chr ** 2)) ** 0.5) ;
ch2 = pp * (chr ** 2) ;
mapl2 = MATE mopl 'PRES' ch2 ;
ff2 = BSIG mopl mapl2 ;
*
*--- 11 - RESOLUTION
depN dep0 dep2 = RESO (r11 ET cdl) effN ff0 ff2 ;
*
*--- 12 - Calcul de J pour les trois conditions aux limites
*-----
EE = EI20 / 910. ; rpa = (3.1416 * aa / 1000.) ** 0.5 ;
* cas 1 : traction seule
Suptab = TABLE;
Suptab.'MODELE' = mo2 ET moph ;
Suptab.'CARACTERISTIQUES' = ma2 ET maph ;
Suptab.'BLOCAGES_MECHANIQUES' = cdl ;
Suptab.'OBJECTIF' = 'J' ;
Suptab.'LEVRE_SUPERIEURE' = sulev ;
Suptab.'COUCHE' = 4 ;
Suptab.'FRONT_FISSURE' = ffis ;
Suptab.'SOLUTION_RESO' = depN ;
G_THETA Suptab ;
Jc0 = suptab.resultats.global ;
kc0 = (Jc0 * EE) ** 0.5 ;
ic0 = kc0 / rpa / pp ;
*
* cas 2 : pression uniforme sur les levres
Suptab.'MODELE' = mo2 ET mopl ;
Suptab.'CARACTERISTIQUES' = ma2 ET mapl1 ;
Suptab.'SOLUTION_RESO' = dep0 ;
G_THETA Suptab ;
Jc1 = suptab.resultats.global ;
kc1 = (Jc1 * EE) ** 0.5 ;
ic1 = kc1 / rpa / pp ;
*
* cas 3 : pression parabolique sur les levres
Suptab.'MODELE' = mo2 ET mopl ;
Suptab.'CARACTERISTIQUES' = ma2 ET mapl2 ;
Suptab.'SOLUTION_RESO' = dep2 ;
G_THETA Suptab ;
Jc2 = suptab.resultats.global ;
kc2 = (Jc2 * EE) ** 0.5 ;
ic2 = kc2 / rpa / pp ;
*
*----- CALCUL DE L'ERREUR
*-----> Les 2 resultats doivent être identiques
*-----> et converger vers la solution d'Irwin : 2/Pi
*-----> Le resultat ic2 doit lui converger vers 4/(3.Pi)
err0 = ABS (100. * ((ic0 * pi / 2.) - 1.)) ;
err1 = ABS (100. * ((ic1 * pi / 2.) - 1.)) ;
err2 = ABS (100. * ((ic2 * 3. * pi / 4.) - 1.)) ;
*
*----- AFFICHAGE DES RESULTATS ET DES ERREURS
*-----> SAUT 5 'LIGNE'
mess 'Erreurs en % : ' err0 err1 err2 ;
mess ;
SI (err0 > 0.6) ;
  ERRE 'Erreur sur le calcul de Jc0' ;
FINS ;
SI (err1 > 0.6) ;
  ERRE 'Erreur sur le calcul de Jc1' ;
FINS ;
SI (err2 > 0.4) ;
  ERRE 'Erreur sur le calcul de Jc2' ;
FINS ;
FIN;

```



## 6. THERMIQUE

### 6.1 RÉGIME PERMANENT LINÉAIRE

#### 6.1.1 ther1.dgibi

| <b>Nom du fichier</b>        | ther1.dgibi  |             |                      |             |               |                          |       |       |                      |                          |        |        |                      |                            |      |          |    |
|------------------------------|--|-------------|----------------------|-------------|---------------|--------------------------|-------|-------|----------------------|--------------------------|--------|--------|----------------------|----------------------------|------|----------|----|
| <b>Type de calcul</b>        | Thermique<br>Conduction<br>Convection<br>Statique<br>2D  |             |                      |             |               |                          |       |       |                      |                          |        |        |                      |                            |      |          |    |
| <b>Type d'Éléments Finis</b> | QUA4, TRI3   |             |                      |             |               |                          |       |       |                      |                          |        |        |                      |                            |      |          |    |
| <b>Référence</b>             | Solution analytique  |             |                      |             |               |                          |       |       |                      |                          |        |        |                      |                            |      |          |    |
| <b>Description</b>           | <p>CONDITIONS AUX LIMITES DE CONDUCTION THERMIQUE</p> <p>Ce test permet de vérifier le bon fonctionnement des divers opérateurs thermiques pour les matériaux isotropes.</p> <ul style="list-style-type: none"> <li>- Matériau isotrope: Une plaque est soumise à une température imposée à une de ses extrémités et successivement à une condition de convection forcée, une condition de flux imposé et à une condition de source volumique imposée.</li> </ul> <p>Température au point D2 (1,5 6) dans les différentes conditions :</p> <table border="1"> <thead> <tr> <th></th> <th>Référence</th> <th>Cast3M 2016</th> <th>Ecart Relatif</th> </tr> </thead> <tbody> <tr> <td><math>T_{D2}</math> (<i>conv</i>)</td> <td>100°C</td> <td>100°C</td> <td><math>1,4 \cdot 10^{-14}</math></td> </tr> <tr> <td><math>T_{D2}</math> (<i>flux</i>)</td> <td>11,2°C</td> <td>11,2°C</td> <td><math>1,6 \cdot 10^{-14}</math></td> </tr> <tr> <td><math>T_{D2}</math> (<i>source</i>)</td> <td>11°C</td> <td>11,332°C</td> <td>3%</td> </tr> </tbody> </table> |             | Référence            | Cast3M 2016 | Ecart Relatif | $T_{D2}$ ( <i>conv</i> ) | 100°C | 100°C | $1,4 \cdot 10^{-14}$ | $T_{D2}$ ( <i>flux</i> ) | 11,2°C | 11,2°C | $1,6 \cdot 10^{-14}$ | $T_{D2}$ ( <i>source</i> ) | 11°C | 11,332°C | 3% |
|                              | Référence  | Cast3M 2016 | Ecart Relatif        |             |               |                          |       |       |                      |                          |        |        |                      |                            |      |          |    |
| $T_{D2}$ ( <i>conv</i> )     | 100°C  | 100°C       | $1,4 \cdot 10^{-14}$ |             |               |                          |       |       |                      |                          |        |        |                      |                            |      |          |    |
| $T_{D2}$ ( <i>flux</i> )     | 11,2°C   | 11,2°C      | $1,6 \cdot 10^{-14}$ |             |               |                          |       |       |                      |                          |        |        |                      |                            |      |          |    |
| $T_{D2}$ ( <i>source</i> )   | 11°C   | 11,332°C    | 3%                   |             |               |                          |       |       |                      |                          |        |        |                      |                            |      |          |    |
| <b>Version de Cast3M</b>     | Du jour  |             |                      |             |               |                          |       |       |                      |                          |        |        |                      |                            |      |          |    |
| <b>Plateformes testées</b>   | IBM AiX<br>Linux 32-bits<br>Linux 64-bits<br>Windows 32-bits<br>Windows 64-bits<br>MAC OSX 64-bits   |             |                      |             |               |                          |       |       |                      |                          |        |        |                      |                            |      |          |    |

Tableau 81 : Informations sur le cas test ther1.dgibi

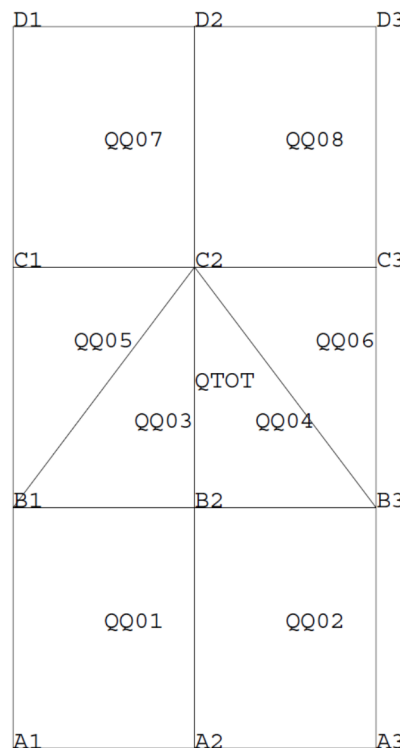


Figure 140 : Maillage du cas-test ther1.dgibi

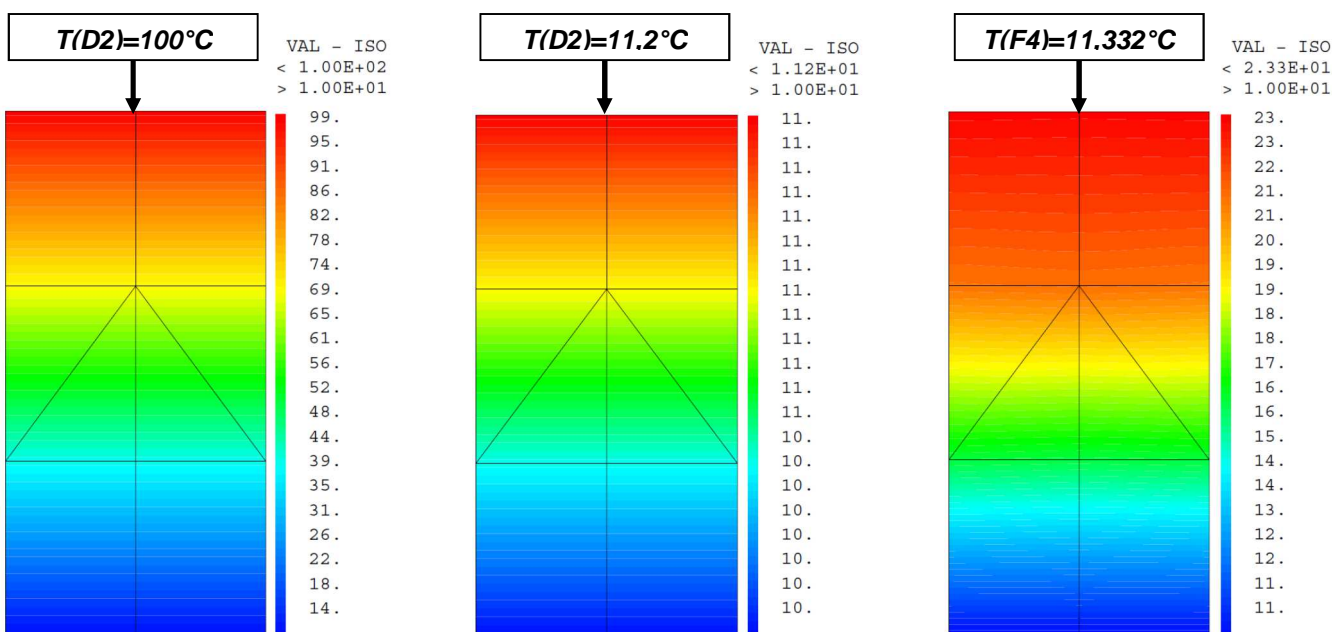


Figure 141 : De gauche à droite : Champ de température avec la condition aux limites de convection, de flux imposé et avec source volumique imposée

# GUIDE DE VALIDATION

## Jeu de données :

```

*fichier : ther1.dgibi
*****
* Section : Thermique Convection
*****
***** Test ther1.dgibi: jeux de données *****
* SI GRAPH = N PAS DE GRAPHIQUE AFFICHE
* SINON SI GRAPH DIFFERENT DE N TOUS
* LES GRAPHIQUES SONT AFFICHES

GRAPH = 'N' ;

SAUT PAGE;
SI (NEG GRAPH 'N') ;
OPTI ECHO 1 ;
OPTI TRAC PSC ;
SINO ;
OPTI ECHO 0 ;
FINSI ;

SAUT PAGE;
*-----*
*          THER1           *
*-----*
* TEST DES CL DE TEMPERATURE POUR      *
*     LES ELEMENTS QUA4 ET TRI3         *
*     BIDIMENSIONNELS                  *
*-----*
*-----*
* TEMPERATURE IMPOSEE + CONVECTION   *
*         + FLUX                      *
*         + SOURCE                     *
*-----*
* Ce test permet de vérifier le bon    *
* fonctionnement des divers          *
* opérateurs thermiques de CAST3M    *
*-----*
* Une plaque rectangulaire constituée   *
* d'éléments QUA4 et TRI3 est soumise à  *
* une température imposée à une de ses   *
* extrémités et successivement à une      *
* condition de convection forcée, à une   *
* condition de flux imposé et à une       *
* condition de source volumique imposée.  *
*-----*
* Les résultats sont présentés sous forme *
* d'isotempératures (elles doivent être   *
* parallèles aux deux faces supérieure et  *
* inférieure de la plaque) et par la        *
* valeur de la température obtenue à la    *
* face inférieure de la plaque (la         *
* température est imposée sur la surface   *
* supérieure).                            *
*-----*
*----- OPTIONS GENERALES DE CALCUL -----*
TTIR (CHAI 'C.L. DE TEMPERATURE - ELEMENTS'
      'TRI3 ET QUA4') ;
OPTION DIME 2 ELEM QUA4 ;

TEMPS ;

*- CREATION DE LA GEOMETRIE:      *
*   POINTS SUPPORTS DES ELEMENTS - *

A1 = 0. 0. ;A2 = 1.5 0. ;A3 = 3. 0. ;
B1 = 0. 2. ;B2 = 1.5 2. ;B3 = 3. 2. ;
C1 = 0. 4. ;C2 = 1.5 4. ;C3 = 3. 4. ;
D1 = 0. 6. ;D2 = 1.5 6. ;D3 = 3. 6. ;

*- CREATION DES QUADRANGLES ET TRIANGLES -*
QQ01 = MANU QUA4 A1 A2 B2 B1 ;
QQ02 = MANU QUA4 A2 A3 B3 B2 ;
QQ03 = MANU TRI3 B1 B2 C2 ;
QQ04 = MANU TRI3 B2 B3 C2 ;
QQ05 = MANU TRI3 B1 C2 C1 ;
QQ06 = MANU TRI3 B3 C3 C2 ;
QQ07 = MANU QUA4 C1 C2 D2 D1 ;
QQ08 = MANU QUA4 C2 C3 D3 D2 ;

QTOT = QQ01 ET QQ02 ET QQ03 ET QQ04 ET QQ05
      ET QQ06 ET QQ07 ET QQ08 ;

SI(NEG GRAPH 'N');
TRACE 'QUAL' QTOT ;
FINSI;

QSOUR = QQ07 ET QQ08 ;

DD1 = D 1 D3 D2 ;
DD2 = D 1 D2 D1 ;

L_SUP = DD1 ET DD2 ;
DD3 = D 1 A3 A2 ;
DD4 = D 1 A2 A1 ;
L_INF = DD3 ET DD4 ;

*--- DONNEES DU PROBLEME DE THERMIQUE ---*
*----- MODELISATION -----*
MOD1 = MODE QTOT THERMIQUE ISOTROPE ;
MOD2 = MODE L_SUP THERMIQUE CONVECTION ;
*DONNEES DES CARACTERISTIQUES DU MATERIAU
KCOND = 100. ;
MAT1 = MATE MOD1 'K' KCOND ;

HCONV = 15. ;
MAT2 = MATE MOD2 'H' HCONV ;

*- CREATION DES MATRICES DE CONDUCTIVITE -*
CND1 = CONDUCTIVITE MOD1 MAT1 ;
CND2 = CONDUCTIVITE MOD2 MAT2 ;

*- TEMPERATURES IMPOSEES: BLOQUE + DEPI --*
BB1 = BLOQUE L_INF 'T' ;
T0 = 10. ;
EE1 = DEPI BB1 T0. ;

*- FLUX EQUIVALENTS A LA CONDITION DE
*           CONVECTION -*

CNV1 = CONVECTION MOD2 MAT2 'T' 200. ;

*----- FLUX IMPOSE -----*
FLU1 = FLUX MOD1 20. L_SUP ;

*----- SOURCE DE CHALEUR -----*
VALQ = 10 ;
S1 = SOURCE MOD1 VALQ QSOUR ;

*- ASSEMBLAGE DES TERMES DE CONDUCTIVITE -*
CCC1 = CND1 ET CND2 ET BB1 ;
CCC2 = CND1 ET BB1 ;

*-ASSEMBLAGE DES TERMES DE FLUX EQUIVALENTS
FFF1 = EE1 ET CNV1 ;
FFF2 = EE1 ET FLU1 ;
FFF3 = EE1 ET S1 ;

*- 1ERE RESOLUTION : CONVECTION -----*
CCC1bis = 'KOPS' 'RIMA' CCC1 ;
CCC1bis = 'KOPS' 'CHANINCO' CCC1bis
          ('MOTS' 'T' 'LX') ('MOTS' 'T' 'LX')
          ('MOTS' 'Q' 'FLX') ('MOTS' 'T' 'LX') ;
CCC1bis = kops TRANSPOS CCC1bis;
FFF1bis = 'NOMC' FFF1 ('MOTS' 'Q' 'FLX')
          ('MOTS' 'T' 'LX')
          'NATURE' 'DISCRET' ;

rv='EQEX' ;
rv . 'METHINV' . 'TYPINV' = 5 ;
rv . 'METHINV' . 'IMPINV' = 2 ;
rv . 'METHINV' . 'MATASS' = CCC1bis ;
rv . 'METHINV' . 'MAPREC' = CCC1bis ;
chterlb = 'KRES' CCC1bis 'TYPI'
          (rv . 'METHINV') 'SMER' FFF1bis ;

CHTER1 = RESO CCC1 FFF1 ;
MESS 'Ecart entre les deux solveurs :'
MESS ('MAXI' ('-' chterlb chter1) 'ABS') ;

*- 2EME RESOLUTION : FLUX -----*
CHTER2 = RESO CCC2 FFF2 ;

*- 3EME RESOLUTION: SOURCE -----*
CHTER3 = RESO CCC2 FFF3 ;

*- POST-TRAITEMENT: TRACE DES CHAMPS ---*
*             RESULTATS             *
*- ET CALCUL DES VALEURS CARACTERISTIQUES *
TTIR 'ELEMENTS TRI3 ET QUA4 : CONVECTION';
SI(NEG GRAPH 'N');
TRAC QTOT CHTER1 ;
FINSI;
TTIR 'ELEMENTS TRI3 ET QUA4 : FLUX IMPOSE';
SI(NEG GRAPH 'N');
TRAC QTOT CHTER2 ;
FINSI;
TTIR 'ELEMENTS TRI3 ET QUA4 : SOURCE';
SI(NEG GRAPH 'N');
TRAC QTOT CHTER3 ;
FINSI;

T1 = EXTR CHTER1 T D2 ;

```

```
T2 = EXTR CHTER2 T D2 ;
T3 = EXTR CHTER3 T D2 ;

TEMPS ;

* CODE DE FONCTIONNEMENT
TREF1 = 100. ;
TREF2 = 11.2;

* Calcul de la température en D2
TREF3 = T0 - ( (VALQ / (2. * KCOND)) *
(
((COOR 2 D2)**2) -
(2*(COOR 2 D2)*(COOR 2 D2))+((COOR 2 C2)**2)
);
);

RESI1=100. * (ABS((T1-TREF1)/TREF1));
RESI2=100. * (ABS((T2-TREF2)/TREF2));
RESI3=100. * (ABS((T3-TREF3)/TREF3));

* TEST CONVECTION
MESS 'Temperature theorique :' TREF1 '°C';
MESS 'Temperature calculee :' T1 '°C';
MESS ' Soit un ecart de : ' RESI1 '%';
SAUTER 1 LIGNES ;

* TEST FLUX
MESS 'Temperature theorique :' TREF2 '°C';
MESS 'Temperature calculee :' T2 '°C';
MESS ' Soit un ecart de : ' RESI2 '%';
SAUTER 1 LIGNES ;

* TEST SOURCE
MESS 'Temperature theorique :' TREF3 '°C';
MESS 'Temperature calculee :' T3 '°C';
MESS ' Soit un ecart de : ' RESI3 '%';
SAUTER 1 LIGNES ;

RESITOT = PROG RESI1 RESI2 RESI3;
SI((MAXI RESITOT) <EG 5.);
ERRE 0;
SINO;
ERRE 5;
FINSI;
FIN;
```

## 6.1.2 ther1bis.dgibi

| <b>Nom du fichier</b>        | ther1bis.dgibi   |                    |                      |                    |                      |          |       |         |       |
|------------------------------|--|--------------------|----------------------|--------------------|----------------------|----------|-------|---------|-------|
| <b>Type de calcul</b>        | Thermique<br>Conduction<br>Convection<br>Stationnaire<br>2D  |                    |                      |                    |                      |          |       |         |       |
| <b>Type d'Éléments Finis</b> | QUA4   |                    |                      |                    |                      |          |       |         |       |
| <b>Référence</b>             | Solution analytique<br>$\begin{cases} T_{S1}(z) = \frac{Q}{k}(b-a)z + T_0 \\ T_{S2}(z) = -\frac{Q}{2k}(z^2 - 2bz + a^2) + T_0 \end{cases}$ <p>avec <math>\begin{cases} a = \ AB\  \\ b = \ BC\  \end{cases}</math></p>   |                    |                      |                    |                      |          |       |         |       |
| <b>Description</b>           | PROBLEME DE THERMIQUE AVEC SOURCE VOLUMIQUE DE CHALEUR<br><br>Le problème représente une plaque soumise à une température imposée T0 sur L1 et possède une condition de source volumique imposée sur S2.   |                    |                      |                    |                      |          |       |         |       |
| <b>Objectif</b>              | Température au point C2 (3 6) :<br><table border="1" style="width: 100%; border-collapse: collapse;"> <thead> <tr> <th></th> <th style="text-align: center;"><b>Référence</b></th> <th style="text-align: center;"><b>Cast3M 2016</b></th> <th style="text-align: center;"><b>Ecart Relatif</b></th> </tr> </thead> <tbody> <tr> <td style="text-align: center;"><math>T_{C2}</math></td> <td style="text-align: center;">110°C</td> <td style="text-align: center;">110,8°C</td> <td style="text-align: center;">0,72%</td> </tr> </tbody> </table> |                    | <b>Référence</b>     | <b>Cast3M 2016</b> | <b>Ecart Relatif</b> | $T_{C2}$ | 110°C | 110,8°C | 0,72% |
|                              | <b>Référence</b>   | <b>Cast3M 2016</b> | <b>Ecart Relatif</b> |                    |                      |          |       |         |       |
| $T_{C2}$                     | 110°C  | 110,8°C            | 0,72%                |                    |                      |          |       |         |       |
| <b>Version de Cast3M</b>     | Du jour  |                    |                      |                    |                      |          |       |         |       |
| <b>Plateformes testées</b>   | IBM AiX<br>Linux 32-bits<br>Linux 64-bits<br>Windows 32-bits<br>Windows 64-bits<br>MAC OSX 64-bits   |                    |                      |                    |                      |          |       |         |       |

Tableau 82 : Informations sur le cas test ther1bis.dgibi

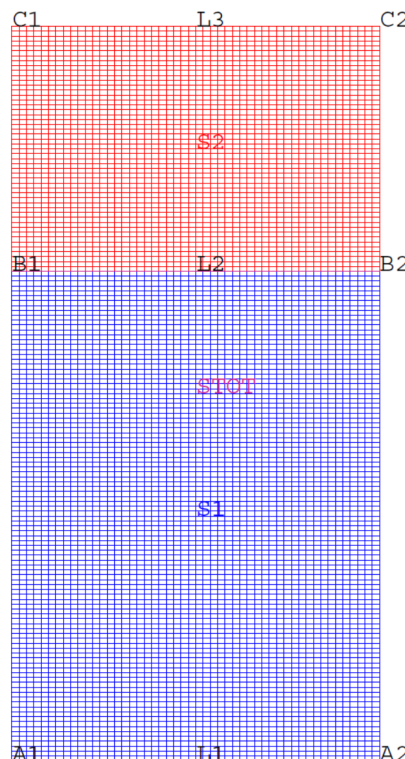


Figure 142 : Maillage du cas-test ther1bis.dgibi

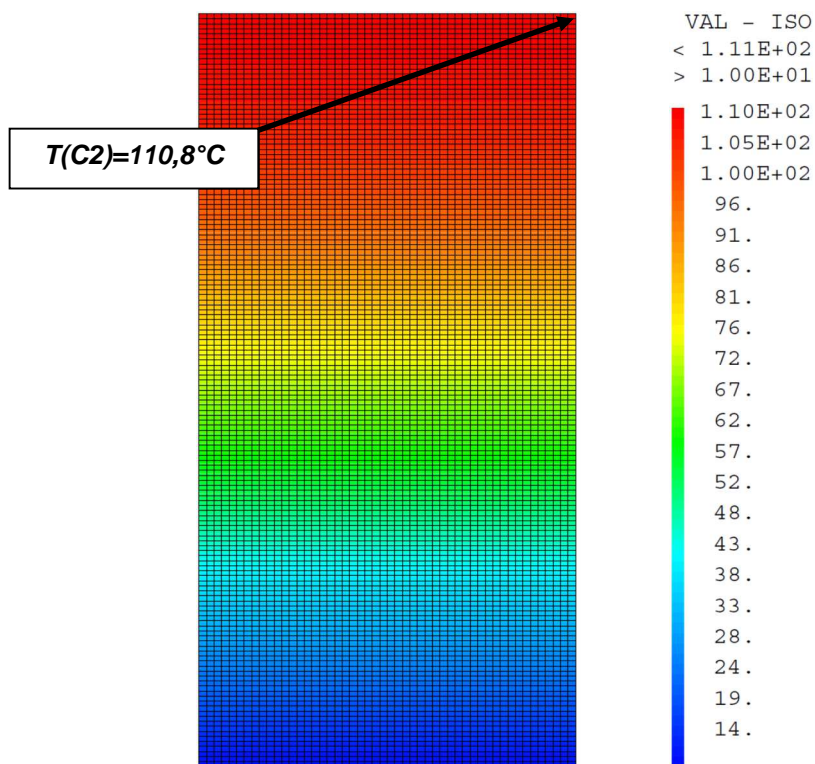


Figure 143 : Champ de température solution

# GUIDE DE VALIDATION

## Jeu de données :

```

*fichier : therlbis.dgibi
*****
* Section : Thermique Convection
*****



***** Test therlbis.dgibi: jeux de données *****
* SI GRAPH = N PAS DE GRAPHIQUE AFFICHE
* SINON SI GRAPH DIFFERENT DE N TOUS
* LES GRAPHIQUES SONT AFFICHES

GRAPH = 'N' ;

SAUT PAGE;
SI (NEG GRAPH 'N') ;
OPTI ECHO 1 ;
OPTI TRAC PSC ;
SINO ;
OPTI ECHO 0 ;
FINSI ;

SAUT PAGE;
*----- THERLBIS -----
* TEST D'UN PROBLEME DE DIFFUSION
* AVEC UNE TEMPERATURE IMPOSEE
* ET UNE SOURCE REPARTIE
*-----
* TEMPERATURE IMPOSEE + SOURCE
* Ce test permet de vérifier le bon
* fonctionnement des divers
* opérateurs thermiques de CAST3M
* Une plaque rectangulaire constituée
* d'éléments QUA4 est soumise à
* une température imposée à une de ses
* extrémités et une condition de source
* volumique imposée sur une partie
* Les résultats sont comparés à la
* solution analytique du problème
*-----
*----- OPTIONS GENERALES DE CALCUL -----
OPTI DIME 2 ELEM QUA4 ;

TEMPS ;
*- CREATION DE LA GEOMETRIE:      *
*   POINTS SUPPORTS DES ELEMENTS - *
A1 = 0. 0. ;A2 = 3. 0. ;
B1 = 0. 4. ;B2 = 3. 4. ;
C1 = 0. 6. ;C2 = 3. 6. ;

*- CREATION DES LIGNES -*
L1 = D 50 A1 A2;
L2 = D 50 B1 B2;
L3 = D 50 C1 C2;

*- CREATION DES SURFACES -*
S1 = (REGL 100 L1 L2) COUL BLEU;
S2 = (REGL 50 L2 L3) COUL ROUG;

STOT = S1 ET S2;

SI(NEG GRAPH 'N');
    TRACE 'QUAL' STOT ;
FINSI;

*--- DONNEES DU PROBLEME DE THERMIQUE ----*
*----- MODELISATION -----*
MOD1 = MODE STOT THERMIQUE ISOTROPE ;
*DONNEES DES CARACTERISTIQUES DU MATERIAU

KCOND = 100. ;
MAT1 = MATE MOD1 'K' KCOND ;
CND1 = CONDUCTIVITE MOD1 MAT1 ;

*- CREATION DES MATRICES DE CONDUCTIVITE -*
BB1 = BLOQUE L1 'T' ;
TO = 10. ;
EE1 = DEPI BB1 TO. ;

```

```

*----- SOURCE DE CHALEUR -----*
VALQ = 1000. ;
S1 = SOURCE MOD1 VALQ S2 ;

*- ASSEMBLAGE DES TERMES DE CONDUCTIVITE -*
CCC = CND1 ET BB1 ;

*- ASSEMBLAGE DES TERMES DE FLUX EQUIVALENTS
FFF = EE1 ET S1 ;

*----- RESOLUTION -----*
CHTER = RESO CCC FFF ;

*--- POST-TRAITEMENT: TRACE DES CHAMPS ---*
*   RESULTATS
*- ET CALCUL DES VALEURS CARACTERISTIQUES *

TITR 'TEMPERATURE' ;
SI(NEG GRAPH 'N');
    TRACER STOT CHTER ;
FINSI;

T = EXTR CHTER T C2 ;

TEMPS ;

* CODE DE FONCTIONNEMENT

* Calcul de la température en C2
TREF = T0 - ( (VALQ / (2. * KCOND)) *
    (
        ((COOR 2 C2)**2) -
        (2*(COOR 2 C2)*(COOR 2 C2))+
        ((COOR 2 B2)**2)
    )
);

RESI1=100. * (ABS((T-TREF)/TREF));

* TEST SOURCE
MESS 'Temperature theorique : ' TREF '°C';
MESS 'Temperature calculee : ' T '°C';
MESS ' Soit un ecart de : ' RESI1 '%';
SAUTER 1 LIGNES ;

RESITOT = PROG RESI1 ;
SI((MAXI RESITOT) <EG 1.);
    ERRE 0;
SINO;
    ERRE 5;
FINSI;
FIN;
```

### 6.1.3 ther2.dgibi

| <b>Nom du fichier</b>        | ther2.dgibi  |             |                       |             |               |            |           |           |                       |            |          |          |       |            |          |          |                       |
|------------------------------|--|-------------|-----------------------|-------------|---------------|------------|-----------|-----------|-----------------------|------------|----------|----------|-------|------------|----------|----------|-----------------------|
| <b>Type de calcul</b>        | Thermique<br>Conduction<br>Convection<br>Stationnaire<br>2D axisymétrique  |             |                       |             |               |            |           |           |                       |            |          |          |       |            |          |          |                       |
| <b>Type d'Éléments Finis</b> | QUA4   |             |                       |             |               |            |           |           |                       |            |          |          |       |            |          |          |                       |
| <b>Référence</b>             | <p>Solution analytique dans 3 cas différents (Flux fixe, source de chaleur volumique et flux convectif à la surface vers un thermostat extérieur)</p> $T_1(r) = T_i + \frac{\phi \cdot R_e}{k} \ln\left(\frac{r}{R_i}\right)$ $T_2(r) = T_i + \frac{Q}{2k} \cdot \left( R_e^2 \ln\left(\frac{r}{R_i}\right) - \frac{1}{2} \cdot (r^2 - R_i^2) \right)$ $T_3(r) = T_i + \frac{h \cdot (T_{R_e} - T_{ext}) \cdot R_e}{k} \ln\left(\frac{r}{R_i}\right)$ <p>avec <math>T_{R_e} = \frac{k \cdot T_1 + h \cdot R_e \ln\left(\frac{R_e}{R_i}\right) \cdot T_{ext}}{k + h \cdot R_e \ln\left(\frac{R_e}{R_i}\right)}</math></p>   |             |                       |             |               |            |           |           |                       |            |          |          |       |            |          |          |                       |
| <b>Description</b>           | <p>PROBLEME DE THERMIQUE AVEC CONDITIONS AUX LIMITES DIVERSES</p> <p>Le problème représente un anneau conduisant la chaleur avec un coefficient de conduction thermique k. Dans les trois cas une température <math>T_i</math> est appliquée sur le rayon intérieur <math>R_i</math> de l'anneau. Les chargements des 3 cas sont présentés ci-dessous :</p> <ul style="list-style-type: none"> <li>1- Flux constant imposé au rayon extérieur <math>R_e</math> de l'anneau</li> <li>2- Source de chaleur volumique Q appliquée dans tout l'anneau</li> <li>3- Flux convectif imposé au rayon extérieur <math>R_e</math> de l'anneau avec le coefficient d'échange h et une température extérieure <math>T_{ext}</math>.</li> </ul> <p>Température au point de rayon maximal</p> <table border="1"> <thead> <tr> <th></th> <th>Référence</th> <th>Cast3M 2016</th> <th>Ecart Relatif</th> </tr> </thead> <tbody> <tr> <td><math>T_1(R_e)</math></td> <td>0,57152°C</td> <td>0,57152°C</td> <td><math>6,3 \cdot 10^{-4}\%</math></td> </tr> <tr> <td><math>T_2(R_e)</math></td> <td>1510,9°C</td> <td>1505,3°C</td> <td>0,37%</td> </tr> <tr> <td><math>T_3(R_e)</math></td> <td>122,69°C</td> <td>122,68°C</td> <td><math>4,1 \cdot 10^{-3}\%</math></td> </tr> </tbody> </table> |             | Référence             | Cast3M 2016 | Ecart Relatif | $T_1(R_e)$ | 0,57152°C | 0,57152°C | $6,3 \cdot 10^{-4}\%$ | $T_2(R_e)$ | 1510,9°C | 1505,3°C | 0,37% | $T_3(R_e)$ | 122,69°C | 122,68°C | $4,1 \cdot 10^{-3}\%$ |
|                              | Référence  | Cast3M 2016 | Ecart Relatif         |             |               |            |           |           |                       |            |          |          |       |            |          |          |                       |
| $T_1(R_e)$                   | 0,57152°C  | 0,57152°C   | $6,3 \cdot 10^{-4}\%$ |             |               |            |           |           |                       |            |          |          |       |            |          |          |                       |
| $T_2(R_e)$                   | 1510,9°C   | 1505,3°C    | 0,37%                 |             |               |            |           |           |                       |            |          |          |       |            |          |          |                       |
| $T_3(R_e)$                   | 122,69°C   | 122,68°C    | $4,1 \cdot 10^{-3}\%$ |             |               |            |           |           |                       |            |          |          |       |            |          |          |                       |
| <b>Version de Cast3M</b>     | Du jour  |             |                       |             |               |            |           |           |                       |            |          |          |       |            |          |          |                       |
| <b>Plateformes testées</b>   | IBM AiX<br>Linux 32-bits<br>Linux 64-bits<br>Windows 32-bits<br>Windows 64-bits<br>MAC OSX 64-bits   |             |                       |             |               |            |           |           |                       |            |          |          |       |            |          |          |                       |

Tableau 83 : Informations sur le cas test ther2.dgibi

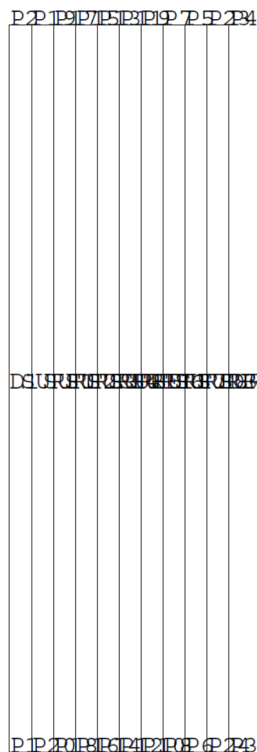


Figure 144 : De gauche à droite, maillages des trois configurations du cas-test ther2.dgibi

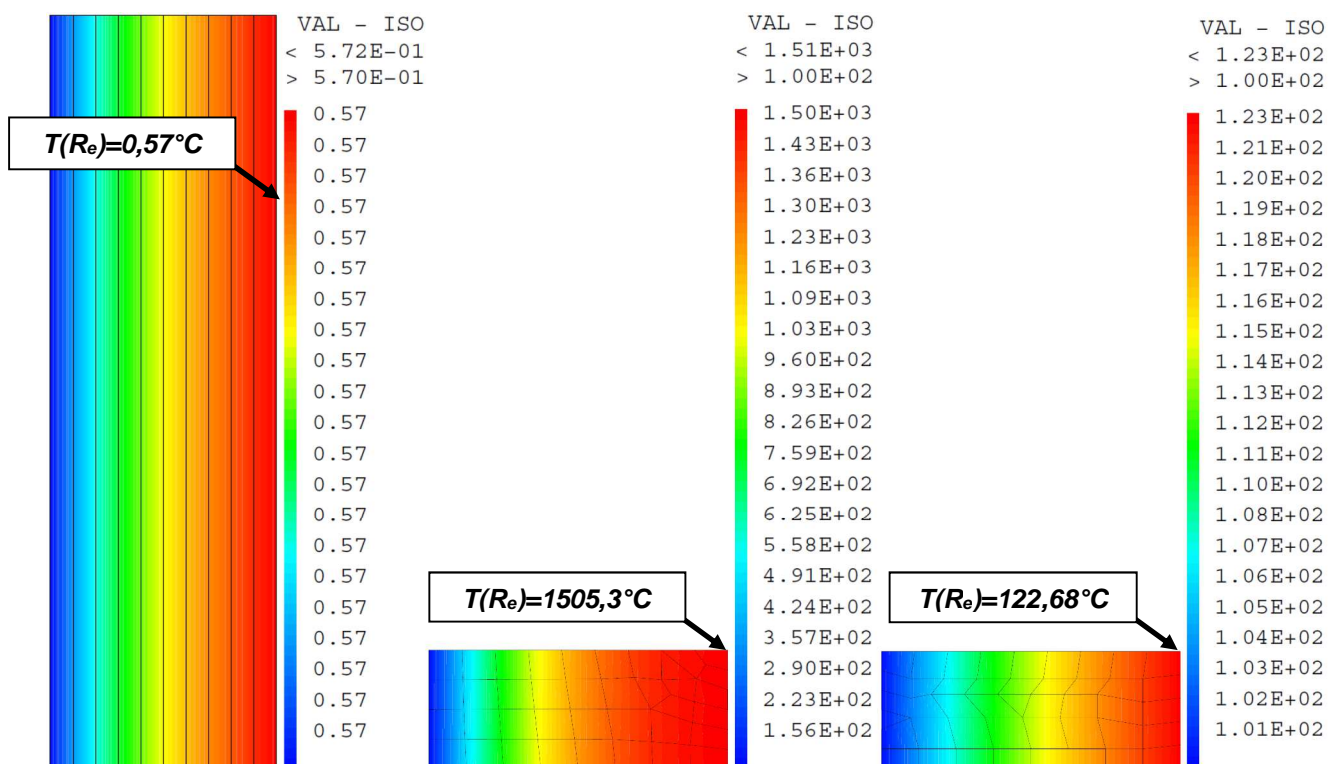


Figure 145 : De gauche à droite : Champ de température avec la condition aux limites de flux imposé, avec source volumique imposée et de convection imposée

**Jeu de données :**

```

*fichier : ther2.dgibi
*****
* Section : Thermique Convection
*****



***** Test ther2.dgibi: jeux de données *****
* ----- *
*****



* SI GRAPH = N PAS DE GRAPHIQUE AFFICHE
* SINON SI GRAPH DIFFERENT DE N TOUS
* LES GRAPHIQUES SONT AFFICHES

GRAPH = 'N' ;

SAUT PAGE;
SI (NEG GRAPH 'N') ;
  OPTI ECHO 1 ;
  OPTI TRAC PSC ;
SINO ;
  OPTI ECHO 0 ;
FINSI ;

SAUT PAGE;
*-----*
*          THER2      *
*-----*
*      TEST DES CL DE TEMPERATURE      *
*      EN MODE AXISYMETRIQUE      *
*-----*
*-----*
*      TEMPERATURE IMPOSEE + CONVECTION      *
*          + FLUX      *
*          + SOURCE      *
*-----*
* Comme dans le test THER1, cet exemple      *
* permet de tester les conditions aux      *
* limites de température en calcul      *
* axisymétrique.      *
*-----*
* Trois cas sont envisagés ici :      *
* - un tube épais soumis à une      *
* température imposée et à un flux      *
* imposé      *
* - un tube épais soumis à une      *
* température imposée et à une source      *
* volumique de chaleur      *
* - un tube épais soumis à une      *
* température imposée et à une convection forcée
*-----*
*--- 1er problème
*-----*
*--- Description :
*-----*
* établir le champ de température dans
* un tube épais soumis à une condition
* de température imposée et à un flux
* imposé
*-----*
*--- Description de la géométrie :
*-----*
* | axe de symétrie
* .
* |
* . | [Diagramme d'un tube cylindrique avec un axe de symétrie vertical. Les parois sont marquées avec K=130. à l'intérieur et TI=0.57, RI=0.0515, F=0.72, RE=0.2015 à l'extérieur.]
* . |
* . | K=130.
* . |
* . | TI=0.57   F=0.72
* . | RI=0.0515 RE=0.2015
*-----*
*--- Commentaires :
*-----*
* le problème est à symétrie de révolution
* température imposée sur la paroi interne
* (TI=0.57)
* flux imposé sur la paroi externe
* (F=0.72)
* conductibilité isotrope
* (K=130)
*-----*
*--- Solution analytique :
*-----*
* T(R) = TI + LOG(R/RI) * (F * RE)/K
* Le test est réalisé en T(R=Re)
*-----*

```

```

*-----*
TITR 'THER2 - C.L. TEMPERATURE -
CALCUL AXISYMETRIQUE';
OPTI DIME 2 ELEM QUA4 MODE AXIS ;
TEMPS ;

*--- CREATION DE LA GEOMETRIE:
P1 = 0.0515 0. ;P20 = 0.0665 0. ;
P19 = 0.0665 0.5 ;P2 = 0.0515 0.5 ;
P18 = 0.0815 0. ;P17 = 0.0815 0.5 ;
P16 = 0.0965 0. ;P15 = 0.0965 0.5 ;
P14 = 0.1115 0. ;P13 = 0.1115 0.5 ;
P12 = 0.1265 0. ;P11 = 0.1265 0.5 ;
P10 = 0.1415 0. ;P9 = 0.1415 0.5 ;
P8 = 0.1565 0. ;P7 = 0.1565 0.5 ;
P6 = 0.1715 0. ;P5 = 0.1715 0.5 ;
P24 = 0.1865 0. ;P23 = 0.1865 0.5 ;
P4 = 0.2015 0.5 ;P3 = 0.2015 0. ;

SURF1 = MANUEL QUA4 P1 P20 P19 P2 ;
SURF2 = MANUEL QUA4 P20 P18 P17 P19 ;
SURF3 = MANUEL QUA4 P18 P16 P15 P17 ;
SURF4 = MANUEL QUA4 P16 P14 P13 P15 ;
SURF5 = MANUEL QUA4 P14 P12 P11 P13 ;
SURF6 = MANUEL QUA4 P12 P10 P9 P11 ;
SURF7 = MANUEL QUA4 P10 P8 P7 P9 ;
SURF8 = MANUEL QUA4 P8 P6 P5 P7 ;
SURF9 = MANUEL QUA4 P6 P24 P23 P5 ;
SURF10 = MANUEL QUA4 P24 P3 P4 P23 ;
SURF11 = SURF1 ET SURF2 ET SURF3 ET SURF4
ET SURF5 ET SURF6 ET SURF7
ET SURF8 ET SURF9 ET SURF10;

D1 = DROITE 1 P1 P2 ;
D3 = DROITE 1 P3 P4 ;

*--- DONNEES DU PROBLEME DE THERMIQUE:
MOD1 = MODE SURF11 THERMIQUE ISOTROPE ;

*--- CARACTERISTIQUES DU MATERIAU:
KC = 130. ;
MAT1 = MATE MOD1 K KC ;

*--- MATRICE DE CONDUCTIVITE:
CND1 = CONDUCTIVITE MOD1 MAT1 ;

*--- TEMPERATURES IMPOSEES: BLOQUE + DEPI
B1 = BLOQUE T D1 ;
TI = 0.57 ;
E1 = DEPI B1 TI ;

*--- FLUX IMPOSE:
F = 0.72;
F1 = FLUX MOD1 F D3 ;

*--- ASSEMBLAGE:
RIG1 = CND1 ET B1 ;
FF1 = E1 ET F1 ;

*--- RESOLUTION:
CHTER1 = RESO RIG1 FF1 ;
TETA1 = EXTR CHTER1 T P3 ;

SI(NEG GRAPH 'N');
  TRAC 'QUAL' SURF11 ;
  TRAC CHTER1 SURF11 ;
FINSI;

*--- TEST DE NON REGRESSION:
R = COOR 1 P3;
RI = COOR 1 P1;
RE = COOR 1 P4;

TREF1 = TI +((LOG (R/RI)) * (F * RE) / KC);
RESI1=100. * (ABS((TETA1-TREF1)/TREF1));

MESS 'Temperature theorique : ' TREF1' C';
MESS 'Temperature calculee : ' TETA1' C';
MESS ' Soit un ecart de : ' RESI1 '%';
RESITOT = PROG RESI1 ;

SAUTER 1 LIGNES ;

*--- 2eme problème
*-----*
* établir le champ de température dans un
* tube épais soumis à une condition de
* température imposée ainsi qu'à une source
* volumique
*-----*
*--- Description de la géométrie :

```

```

* | Y (axe de symétrie)
* |
* . | Q=20. K=1.
* . |
* | TI=100. F=0.
* | RI=6. RE=16.
* |
* --- Commentaires :
* 
* Le problème est à symétrie de révolution.
* Température sur la paroi interne (TI=100)
* Flux imposé sur la paroi externe (F=0)
* ( DT / DN = 0 )
* Source volumique imposée (Q=20)
* Conductibilité isotrope (K=1)
* 
* --- Solution analytique :
* 
* T(R) = TI - (Q/4K)*(R**2-RI**2) +
* (Q*RE/2)*RE*LOG(R/RI)
* 
* Le test est réalisé en T(R=Re)
* 
* --- CREATION DE LA GEOMETRIE:
* 
P1 = 6 0 ;
P2 = 16 0 ;
P3 = 16 4 ;
P4 = 6 4 ;
D1 = DROITE 8 P1 P2 ;
D2 = DROITE 6 P2 P3 ;
D3 = DROITE 9 P3 P4 ;
D4 = DROITE 4 P4 P1 ;
LIG1 = D1 ET D2 ET D3 ET D4 ;
SURF1 = SURFACE LIG1 PLANE ;

* --- DONNEES DU PROBLEME DE THERMIQUE:
* --- MODELISATION:
MOD1 = MODE SURF1 THERMIQUE ISOTROPE ;

* --- CARACTERISTIQUES DU MATERIAU:
KC = 1. ;
MAT1 = MATE MOD1 K KC ;

* --- MATRICE DE CONDUCTIVITE:
CND1 = COND MOD1 MAT1 ;

* --- TEMPERATURES IMPOSEES: BLOQUE + DEPI
B1 = BLOQUE T D4 ;
TI = 100. ;
E1 = DEPI B1 TI ;

* --- FLUX IMPOSE:
E2 = FLUX MOD1 0. D2 ;

* --- SOURCE VOLUMIQUE:
Q = 20. ;
E3 = SOURCE MOD1 Q SURF1 ;

* --- ASSEMBLAGE PREMIER ET SECONDE MEMBRE:
RIG1 = CND1 ET B1 ;
FF1 = E1 ET E2 ET E3 ;

* --- RESOLUTION:
CHTER2 = RESO RIG1 FF1 ;
TETA2 = EXTR CHTER2 T P3 ;

SI(NEG GRAPH 'N');
  TRAC 'QUAL' SURF1 ;
  TRAC CHTER2 SURF1 ;
FINSI;

* --- TEST DE NON REGRESSION:
R = COOR 1 P3;
RI = COOR 1 P1;
RE = COOR 1 P3;

C1 = Q * (RE**2)/(2*KC);
TREF2=TI +
((Q /(2*KC)) *
(((RI**2) - (RE**2))/2 +
((RE**2) * (LOG (RE/RI)))) ) ;

RESI2=100. * (ABS((TETA2-TREF2)/TREF2));

MESS 'Temperature theorique :' TREF2' C';
MESS 'Temperature calculee :' TETA2' C';
MESS ' Soit un ecart de : ' RESI2 '%';
RESITOT = RESITOT ET (PROG RESI2) ;
SAUT 1 LIGN;

* SAUTER 1 LIGNES :
* -----
*--- 3eme problème
* 
*--- Description du problème :
* 
* établir le champ de température dans
* un tube épais soumis à une condition
* interne de température ainsi qu'à une
* convection sur sa paroi externe
* 
*--- Données du problème :
* 
* Conductibilité isotrope du matériau
* (K=8)
* Coefficient d'échange en convection
* (HC=5)
* Température imposée sur la paroi
* interne (TI=100)
* Température du milieu extérieur
* (TE=125)
* 
*--- Solution :
* Comparaison à la solution analytique
*-----CREATION DE LA GEOMETRIE:
* - rayon intérieur RI = 6.
* - rayon extérieur RE = 16.
* - hauteur H = 4.
* - surface interne : D4
* - surface externe : D2

P1 = 6 0 ;
P2 = 16 0 ;
P3 = 16 4 ;
P4 = 6 4 ;
D1 = DROITE 8 P1 P2 ;
D2 = DROITE 5 P2 P3 ;
D3 = DROITE 9 P3 P4 ;
D4 = DROITE 6 P4 P1 ;
LIG1 = D1 ET D2 ET D3 ET D4 ;
SURF1 = SURF LIG1 PLANE ;

* --- DONNEES DU PROBLEME DE THERMIQUE:
* --- MODELISATION:
MOD1 = MODE SURF1 THERMIQUE ISOTROPE ;
MOD2 = MODE D2 THERMIQUE CONVECTION ;

* DONNEE DES CARACTERISTIQUES DU MATERIAU:
KC = 8. ;
MAT1 = MATE MOD1 K KC ;
HC = 5. ;
MAT2 = MATE MOD2 H HC ;

* --- MATRICES DE CONDUCTIVITE:
CND1 = CONDUCTIVITE MOD1 MAT1 ;
CNF1 = CONDUCTIVITE MOD2 MAT2 ;

* --- FLUX EQUIVALENTS A LA CONVECTION:
TEX = 125. ;
FF1 = CONVECTION MOD2 MAT2 T TEX ;

* --- TEMPERATURE IMPOSEE: BLOQUE + DEPI
B1 = BLOQUE T D4 ;

TI = 100. ;
E1 = DEPI B1 TI ;

* --- ASSEMBLAGE:
RIG1 = CND1 ET CNF1 ET B1 ;
Q1 = FF1 ET E1 ;

* --- RESOLUTION:
CHTER3 = RESO RIG1 Q1 ;
TETA3 = EXTR CHTER3 T P3 ;

SI(NEG GRAPH 'N');
  TRAC 'QUAL' SURF1 ;
  TRAC CHTER3 SURF1 ;
FINSI;

* --- POST-TRAITEMENT
RI = COOR 1 P1;
RE = COOR 1 P3;

*Valeur Théorique de la température en RE
TREF3=(TI + (HC*RE*TEX/KC*(LOG(RE/RI)))) /
( 1 + (HC*RE/KC*(LOG(RE/RI))));

RESI3=100. * (ABS((TETA3-TREF3)/TREF3));

MESS 'Temperature theorique :' TREF3' C';
MESS 'Temperature calculee :' TETA3' C';
MESS ' Soit un ecart de : ' RESI3 '%';
RESITOT = RESITOT ET (PROG RESI3) ;
SAUT 1 LIGN ;

```

```
TEMPS ;
*      CODE DE FONCTIONNEMENT
SI((MAXI RESITOT) <EG 0.4);
  ERRE 0;
SINO;
  ERRE 5;
FINSI;
FIN;
```

## 6.1.4 ther3.dgibi

| <b>Nom du fichier</b>        | ther3.dgibi  |             |                       |             |               |                 |       |          |       |                 |        |          |                       |                   |          |          |       |
|------------------------------|--|-------------|-----------------------|-------------|---------------|-----------------|-------|----------|-------|-----------------|--------|----------|-----------------------|-------------------|----------|----------|-------|
| <b>Type de calcul</b>        | Thermique<br>Conduction<br>Convection<br>Stationnaire<br>3D  |             |                       |             |               |                 |       |          |       |                 |        |          |                       |                   |          |          |       |
| <b>Type d'Éléments Finis</b> | PYR5 CUB8 TET4 PRI6  |             |                       |             |               |                 |       |          |       |                 |        |          |                       |                   |          |          |       |
| <b>Référence</b>             | <p>Solution analytique dans 3 cas différents (Flux fixe, source de chaleur volumique et flux convectif à la surface vers un thermostat extérieur)</p> $\left\{ \begin{array}{l} T_1(z) = T_i - \frac{h \cdot (T_{surf} - T_{ext}) \cdot z}{k} \\ \text{avec } T_{surf} = \frac{k \cdot T_i + h \cdot z_2 \cdot T_{ext}}{k + h \cdot z_2} \\ T_2(r) = T_i - \frac{\phi \cdot z}{k} \\ T_3(z) = T_i - \frac{Q}{k} \cdot \left( \frac{z^2}{2} - z_2 \cdot z \right) \end{array} \right.$  |             |                       |             |               |                 |       |          |       |                 |        |          |                       |                   |          |          |       |
| <b>Description</b>           | <p>CONDITIONS AUX LIMITES DE CONDUCTION THERMIQUE</p> <p>Ce test permet de vérifier le bon fonctionnement des divers opérateurs thermiques pour les matériaux isotropes en 3D. Il est similaire au cas-test ther1.dgibi.</p> <ul style="list-style-type: none"> <li>- Matériau isotrope: Un parallélépipède rectangle est soumis à une température imposée à une de ses extrémités et successivement à une condition de convection forcée, une condition de flux imposé et à une condition de source volumique imposée.</li> </ul>                                   |             |                       |             |               |                 |       |          |       |                 |        |          |                       |                   |          |          |       |
| <b>Objectif</b>              | <p>Température au point F4 (0 1,5 6) dans les différentes conditions suivantes :</p> <table border="1"> <thead> <tr> <th></th> <th>Référence</th> <th>Cast3M 2016</th> <th>Ecart Relatif</th> </tr> </thead> <tbody> <tr> <td><math>T_{F4}</math> (conv)</td> <td>100°C</td> <td>100,83°C</td> <td>0,83%</td> </tr> <tr> <td><math>T_{F4}</math> (flux)</td> <td>11,2°C</td> <td>11,203°C</td> <td><math>2,8 \cdot 10^{-3}\%</math></td> </tr> <tr> <td><math>T_{F4}</math> (source)</td> <td>10,360°C</td> <td>10,259°C</td> <td>0,98%</td> </tr> </tbody> </table> |             | Référence             | Cast3M 2016 | Ecart Relatif | $T_{F4}$ (conv) | 100°C | 100,83°C | 0,83% | $T_{F4}$ (flux) | 11,2°C | 11,203°C | $2,8 \cdot 10^{-3}\%$ | $T_{F4}$ (source) | 10,360°C | 10,259°C | 0,98% |
|                              | Référence  | Cast3M 2016 | Ecart Relatif         |             |               |                 |       |          |       |                 |        |          |                       |                   |          |          |       |
| $T_{F4}$ (conv)              | 100°C  | 100,83°C    | 0,83%                 |             |               |                 |       |          |       |                 |        |          |                       |                   |          |          |       |
| $T_{F4}$ (flux)              | 11,2°C   | 11,203°C    | $2,8 \cdot 10^{-3}\%$ |             |               |                 |       |          |       |                 |        |          |                       |                   |          |          |       |
| $T_{F4}$ (source)            | 10,360°C   | 10,259°C    | 0,98%                 |             |               |                 |       |          |       |                 |        |          |                       |                   |          |          |       |
| <b>Version de Cast3M</b>     | Du jour  |             |                       |             |               |                 |       |          |       |                 |        |          |                       |                   |          |          |       |
| <b>Plateformes testées</b>   | IBM AiX<br>Linux 32-bits<br>Linux 64-bits<br>Windows 32-bits<br>Windows 64-bits<br>MAC OSX 64-bits   |             |                       |             |               |                 |       |          |       |                 |        |          |                       |                   |          |          |       |

Tableau 84 : Informations sur le cas test ther3.dgibi

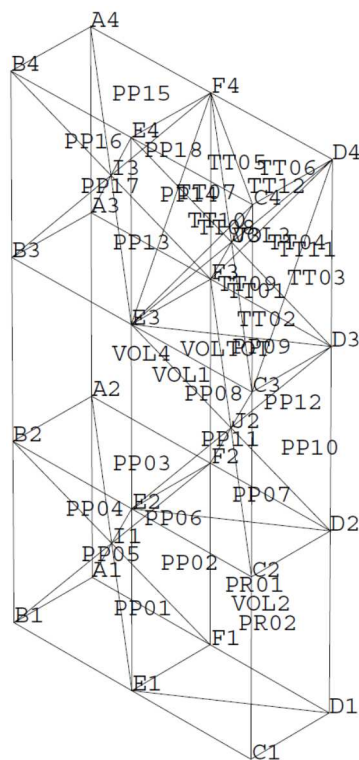


Figure 146 : Maillage du cas-test ther3.dgibi

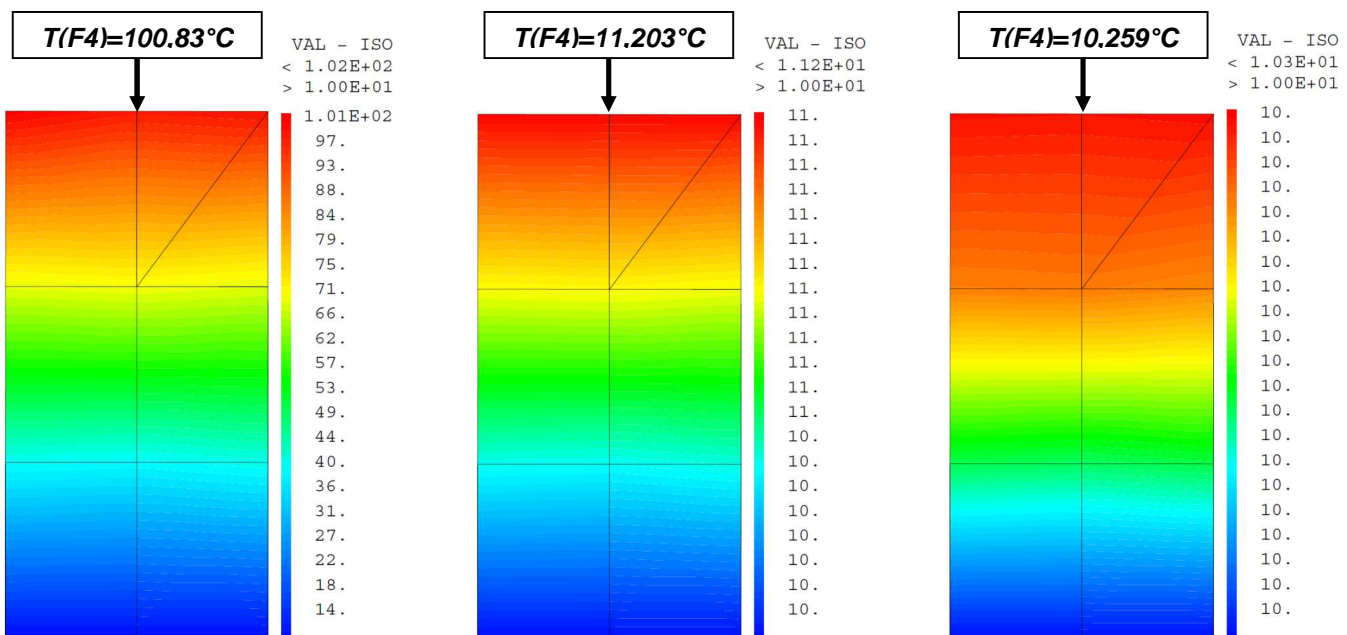


Figure 147 : De gauche à droite : Champ de température avec la condition aux limites de convection, de flux imposé et avec source volumique imposée

**Jeu de données :**

```

* fichier : ther3.dgibi
*****
* Section : Thermique Convection
*****
***** Test ther3.dgibi: jeux de données *****
* SI GRAPH = N PAS DE GRAPHIQUE AFFICHE
* SINON SI GRAPH DIFFERENT DE N TOUS
* LES GRAPHIQUES SONT AFFICHES
GRAPH = 'N' ;

SAUT PAGE;
SI (NEG GRAPH 'N') ;
  OPTI ECHO 1 ;
  OPTI TRAC PSC ;
SINO ;
  OPTI ECHO 0 ;
FINSI ;

SAUT PAGE;
*-----*
*          THER3      *
*-----*
*  TEST DES CL DE TEMPERATURE POUR      *
*  PYR5 CUB8 TET4 PRI6 TRIDIM:        *
*-----*
*  TEMPERATURE IMPOSEE + CONVECTION   *
*          + FLUX      *
*          + SOURCE     *
*-----*
* Comme dans le test THER1, cet exemple  *
* permet de tester les conditions aux li- *
* -nites de température pour des éléments *
* massifs linéaires PYR5, CUB8, TET4, PRI6*
*-----*
* Un parallélépipède rectangle constitué *
* des éléments cités plus haut est soumis *
* à une température imposée à sa face su- *
* -périenne et à une condition de flux im- *
* -poséé, une condition de source volu- *
* -mique ou une condition de convection   *
* -forcée.                                *
*-----*
* Les résultats sont présentés sous forme *
* d'isotempérature dans une tranche verti- *
* -cale du parallélépipède. Les courbes   *
* doivent être parallèles aux faces supé- *
* -rieure et inférieure.                  *
*-----*
*          21 DECEMBRE 1988.      *
*-----*
* Disposition des noeuds des éléments :
*
*          A4      F4      D4
*          /       /       /
*          B4      E4      C4 D3
*          |       |       |
*          6PYR5  12TE4  /
*          B3      E3      C3
*
* IN: noeud milieu de
* (AN EN EN FN AN+1 BN+1 EN+1 FN+1)
*
*          A3      F3      D3
*          /       /       /
*          B3      E3      C3 D2
*          |       |       |
*          1CUB8  6PYR5  /
*          B2      E2      C2
*
* JN: noeud milieu de
* (DN CN EN FN DN+1 CN+1 EN+1 FN+1)
*
*          A2      F2      D2
*          /       /       /
*          B2      E2      C2 D1
*          |       |       |
*          6PYR5  2PRI6  /
*          B1      E1      C1
*-----*
**** OPTIONS GENERALES DE CALCUL:
TITR 'THER3 - C.L. TEMPERATURE -
ELEMENTS LINEAIRES 3D' ;
OPTION DIME 3 ELEM SEG2 ;

```

```

TEMPS ;
*--- CREATION DE LA GEOMETRIE:
* POINTS SUPPORTS DES ELEMENTS
A1=0. 0. 0.; B1=1. 0. 0.;
C1=1. 3. 0.; D1=0. 3. 0.;
A2=0. 0. 2.; B2=1. 0. 2.;
C2=1. 3. 2.; D2=0. 3. 2.;
A3=0. 0. 4.; B3=1. 0. 4.;
C3=1. 3. 4.; D3=0. 3. 4.;
A4=0. 0. 6.; B4=1. 0. 6.;
C4=1. 3. 6.; D4=0. 3. 6.;
E1=1. 1.5 0.; F1=0. 1.5 0.;
E2=1. 1.5 2.; F2=0. 1.5 2.;
E3=1. 1.5 4.; F3=0. 1.5 4.;
E4=1. 1.5 6.; F4=0. 1.5 6.;
I1=.5 .75 1.; I3=.5 .75 5.;
J1=.5 2.25 1.; J2=.5 2.25 3.;
J3=.5 2.25 5.;

*--- CREATION DES PYRAMIDES A 5 NOEUDS:
PP01 = MANU PYR5 A1 B1 E1 F1 I1 ;
PP02 = MANU PYR5 E1 F1 F2 E2 I1 ;
PP03 = MANU PYR5 E2 F2 A2 B2 I1 ;
PP04 = MANU PYR5 A2 B2 B1 A1 I1 ;
PP05 = MANU PYR5 B1 E1 E2 B2 I1 ;
PP06 = MANU PYR5 A1 F1 F2 A2 I1 ;
PP07 = MANU PYR5 D2 C2 E2 F2 J2 ;
PP08 = MANU PYR5 E2 F2 F3 E3 J2 ;
PP09 = MANU PYR5 E3 F3 D3 C3 J2 ;
PP10 = MANU PYR5 D3 C3 C2 D2 J2 ;
PP11 = MANU PYR5 C2 E2 E3 C3 J2 ;
PP12 = MANU PYR5 D2 F2 F3 D3 J2 ;
PP13 = MANU PYR5 A3 B3 E3 F3 I3 ;
PP14 = MANU PYR5 E3 F3 F4 E4 I3 ;
PP15 = MANU PYR5 E4 F4 A4 B4 I3 ;
PP16 = MANU PYR5 A4 B4 B3 A3 I3 ;
PP17 = MANU PYR5 B3 E3 E4 B4 I3 ;
PP18 = MANU PYR5 A3 F3 F4 A4 I3 ;

*VOLUME COMPOSE DES 18 PYRAMIDES A 5 NOEUDS
VOL1 = PP01 ET PP02 ET PP03 ET PP04 ET PP05
      ET PP06 ET PP07 ET PP08 ET PP09 ET PP10
      ET PP11 ET PP12 ET PP13 ET PP14 ET PP15
      ET PP16 ET PP17 ET PP18 ;

*--- CREATION DES PRISMES A 6 NOEUDS:
PR01 = MANU PRI6 E1 D1 F1 E2 D2 F2 ;
PR02 = MANU PRI6 E1 C1 D1 E2 C2 D2 ;

* VOLUME COMPOSE DES 2 PRISMES A 6 NOEUDS
VOL2 = PR01 ET PR02 ;

*--- CREATION DES TETRAEDRES A 4 NOEUDS:
TT01 = MANU TET4 E3 D3 F3 J3 ;
TT02 = MANU TET4 E3 D3 C3 J3 ;
TT03 = MANU TET4 C3 D4 D3 J3 ;
TT04 = MANU TET4 C3 D4 C4 J3 ;
TT05 = MANU TET4 C4 F4 E4 J3 ;
TT06 = MANU TET4 C4 F4 D4 J3 ;
TT07 = MANU TET4 E3 F4 E4 J3 ;
TT08 = MANU TET4 E3 F4 F3 J3 ;
TT09 = MANU TET4 E3 C4 C3 J3 ;
TT10 = MANU TET4 E3 C4 E4 J3 ;
TT11 = MANU TET4 F3 D4 D3 J3 ;
TT12 = MANU TET4 F3 D4 F4 J3 ;

*VOLUME COMPOSE DES 12 TETRA A 4 NOEUDS
VOL3 = TT01 ET TT02 ET TT03 ET TT04 ET TT05
      ET TT06 ET TT07 ET TT08 ET TT09 ET TT10
      ET TT11 ET TT12 ;

*--- CREATION DU CUBE A 8 NOEUDS:
VOL4 = MANU CUB8 B2 E2 F2 A2 B3 E3 F3 A3 ;

*--- REUNION DES VOLUMES ELEMENTAIRES:
VOLTOT = VOL1 ET VOL2 ET VOL3 ET VOL4 ;

*--- POST-TRAITEMENT: TRACE DU MAILLAGE
OEIL = 100. 100. ;
TITR 'ELEMENTS PYR5 CUB8 TET4 PRI6 :
      MAILLAGE';
SI (NEG GRAPH 'N');
  TRAC 'QUAL' OEIL VOLTOT ;
FINSI;

VOLSOUR = PP13 ET PP14 ET PP15 ET PP16
          ET PP17 ET PP18 ET TT01 ET TT02
          ET TT03 ET TT04 ET TT05 ET TT06
          ET TT07 ET TT08 ET TT09 ET TT10
          ET TT11 ET TT12 ;

*--- L_INF ETANT BASEE SUR LES POINTS:
*    A1 B1 E1 C1 D1 F1
DD1 = D 1 A1 B1 ;
DD2 = D 1 B1 E1 ;

```

```

DD3 = D 1 E1 C1 ;
DD4 = D 1 C1 D1 ;
DD5 = D 1 D1 F1 ;
DD6 = D 1 F1 A1 ;

L_INF = DD1 ET DD2 ET DD3 ET DD4 ET DD5
       ET DD6 ;

*--- SURFACE INFERIEURE:
S_INF = SURF L_INF PLANE ;

*--- L_SUP ETANT BASEE SUR LES POINTS:
*   A4 B4 E4 C4 D4 F4

LL1 = D 1 A4 B4 ;
LL2 = D 1 B4 E4 ;
LL3 = D 1 E4 C4 ;
LL4 = D 1 C4 D4 ;
LL5 = D 1 D4 F4 ;
LL6 = D 1 F4 A4 ;

L_SUP = LL1 ET LL2 ET LL3 ET LL4 ET LL5
       ET LL6 ;

*--- SURFACE SUPERIEURE:
S_SUP = SURF L_SUP PLANE ;

*--- DONNEES DU PROBLEME DE THERMIQUE:
*--- MODELISATION:
MOD1 = MODE VOLTOT THERMIQUE ISOTROPE ;
MOD2 = MODE S_SUP THERMIQUE CONVECTION ;

*---DONNEE DES CARACTERISTIQUES DU MATERIAU:
KC = 100. ;
MAT1 = MATE MOD1 'K' KC ;
HC = 15. ;
MAT2 = MATE MOD2 'H' HC ;

*--- CREATION DES MATRICES DE CONDUCTIVITE:
CND1 = CONDUCTIVITE MOD1 MAT1 ;
CND2 = CONDUCTIVITE MOD2 MAT2 ;

*--- TEMPERATURES IMPOSEES: BLOQUE + DEPI
BB1 = BLOQ S_INF 'T' ;
TI = 10. ;
EE1 = DEPI BB1 TI ;

*--- FLUX CONVECTIF A LA SURFACE:
TEX = 200. ;
CNV1 = CONVECTION MOD2 MAT2 'T' TEX ;

*--- FLUX IMPOSE:
PHI = 20. ;
FLU1 = FLUX MOD1 PHI S_SUP ;

*--- SOURCE VOLUMIQUE:
QVOL = 2. ;
S1 = SOUR MOD1 QVOL VOLSOR ;

*--- ASSEMBLAGE DES TERMES DE CONDUCTIVITE:
CCC1 = CND1 ET CND2 ET BB1 ;
CCC2 = CND1 ET BB1 ;

*ASSEMBLAGE DES TERMES DE FLUX EQUIVALENTS:
FFF1 = EE1 ET CNV1 ;
FFF2 = ER1 ET FLU1 ;
FFF3 = EE1 ET S1 ;

*--- 1ERE RESOLUTION:
*   TEMPERATURE IMPOSEE + CONVECTION
CHTER1 = RESO CCC1 FFF1 ;

*--- POST-TRAITEMENT
Z1 = COOR 3 F1;
Z2 = COOR 3 F4;

*Valeur Théorique de la température en Z2
TREF1=((KC * TI) + (HC * Z2 * TEX)) /
       ((KC ) + (HC * Z2 )) ;

TETA1 = EXTR CHTER1 T F4 ;
RES1=100. * (ABS((TETA1-TREF1)/TREF1));

MESS 'Temperature theorique :' TREF1' C';
MESS 'Temperature calculee :' TETA1' C';
MESS ' Soit un ecart de : ' RES11 '%' ;
RESITOT = PROG RES11 ;
SAUT 1 LIGN ;

OEIL = 100. 0. 0. ;
SI(NEG GRAPH 'N');
  TITR 'ELEMENTS PYR5 CUB8 TET4 PRI6 :
  CONVECTION' ;
  TRAC OEIL VOLTOT CHTER1 ;
FINSI;

```

## 6.1.5 ther4.dgibi

| <b>Nom du fichier</b>        | ther4.dgibi   |             |               |             |               |                 |       |          |      |                 |        |          |      |                   |          |          |      |
|------------------------------|---|-------------|---------------|-------------|---------------|-----------------|-------|----------|------|-----------------|--------|----------|------|-------------------|----------|----------|------|
| <b>Type de calcul</b>        | Thermique<br>Conduction<br>Convection<br>Stationnaire<br>3D   |             |               |             |               |                 |       |          |      |                 |        |          |      |                   |          |          |      |
| <b>Type d'Éléments Finis</b> | PY13 CU20 TE10 PR15   |             |               |             |               |                 |       |          |      |                 |        |          |      |                   |          |          |      |
| <b>Référence</b>             | <p>Solution analytique dans 3 cas différents (Flux fixe, source de chaleur volumique et flux convectif à la surface vers un thermostat extérieur)</p> $\left\{ \begin{array}{l} T_1(z) = T_i - \frac{h \cdot (T_{surf} - T_{ext}) \cdot z}{k} \\ \text{avec } T_{surf} = \frac{k \cdot T_i + h \cdot z_2 \cdot T_{ext}}{k + h \cdot z_2} \\ T_2(r) = T_i - \frac{\phi \cdot z}{k} \\ T_3(z) = T_i - \frac{Q}{k} \cdot \left( \frac{z^2}{2} - z_2 \cdot z \right) \end{array} \right.$   |             |               |             |               |                 |       |          |      |                 |        |          |      |                   |          |          |      |
| <b>Description</b>           | <p>CONDITIONS AUX LIMITES DE CONDUCTION THERMIQUE</p> <p>Ce test est quasi-identique au test ther3.dgibi et permet de vérifier le bon fonctionnement des divers opérateurs thermiques pour les matériaux isotropes en 3D. La différence provient du fait que les éléments utilisés sont du second ordre.</p> <ul style="list-style-type: none"> <li>- Matériau isotrope: Un parallélépipède rectangle est soumis à une température imposée à une de ses extrémités et successivement à une condition de convection forcée, une condition de flux imposé et à une condition de source volumique imposée.</li> </ul> <p>Température au point F4 (0 2 6) dans les différentes conditions suivantes :</p> <table border="1"> <thead> <tr> <th></th> <th>Référence</th> <th>Cast3M 2016</th> <th>Ecart Relatif</th> </tr> </thead> <tbody> <tr> <td><math>T_{F4}</math> (conv)</td> <td>100°C</td> <td>101,43°C</td> <td>1,4%</td> </tr> <tr> <td><math>T_{F4}</math> (flux)</td> <td>11,2°C</td> <td>11,233°C</td> <td>0,3%</td> </tr> <tr> <td><math>T_{F4}</math> (source)</td> <td>10,360°C</td> <td>10,226°C</td> <td>1,3%</td> </tr> </tbody> </table> |             | Référence     | Cast3M 2016 | Ecart Relatif | $T_{F4}$ (conv) | 100°C | 101,43°C | 1,4% | $T_{F4}$ (flux) | 11,2°C | 11,233°C | 0,3% | $T_{F4}$ (source) | 10,360°C | 10,226°C | 1,3% |
|                              | Référence   | Cast3M 2016 | Ecart Relatif |             |               |                 |       |          |      |                 |        |          |      |                   |          |          |      |
| $T_{F4}$ (conv)              | 100°C   | 101,43°C    | 1,4%          |             |               |                 |       |          |      |                 |        |          |      |                   |          |          |      |
| $T_{F4}$ (flux)              | 11,2°C  | 11,233°C    | 0,3%          |             |               |                 |       |          |      |                 |        |          |      |                   |          |          |      |
| $T_{F4}$ (source)            | 10,360°C  | 10,226°C    | 1,3%          |             |               |                 |       |          |      |                 |        |          |      |                   |          |          |      |
| <b>Objectif</b>              |   |             |               |             |               |                 |       |          |      |                 |        |          |      |                   |          |          |      |
| <b>Version de Cast3M</b>     | Du jour   |             |               |             |               |                 |       |          |      |                 |        |          |      |                   |          |          |      |
| <b>Plateformes testées</b>   | IBM AiX<br>Linux 32-bits<br>Linux 64-bits<br>Windows 32-bits<br>Windows 64-bits<br>MAC OSX 64-bits  |             |               |             |               |                 |       |          |      |                 |        |          |      |                   |          |          |      |

Tableau 85 : Informations sur le cas test ther4.dgibi

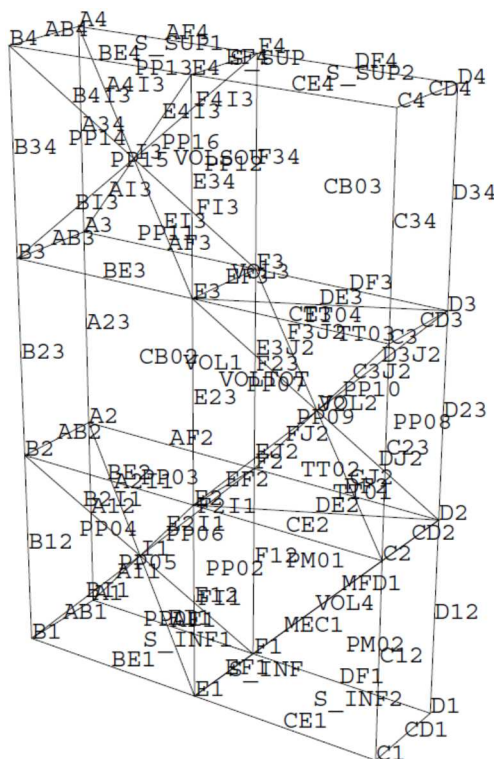


Figure 148 : Maillage du cas-test ther4.dgibi

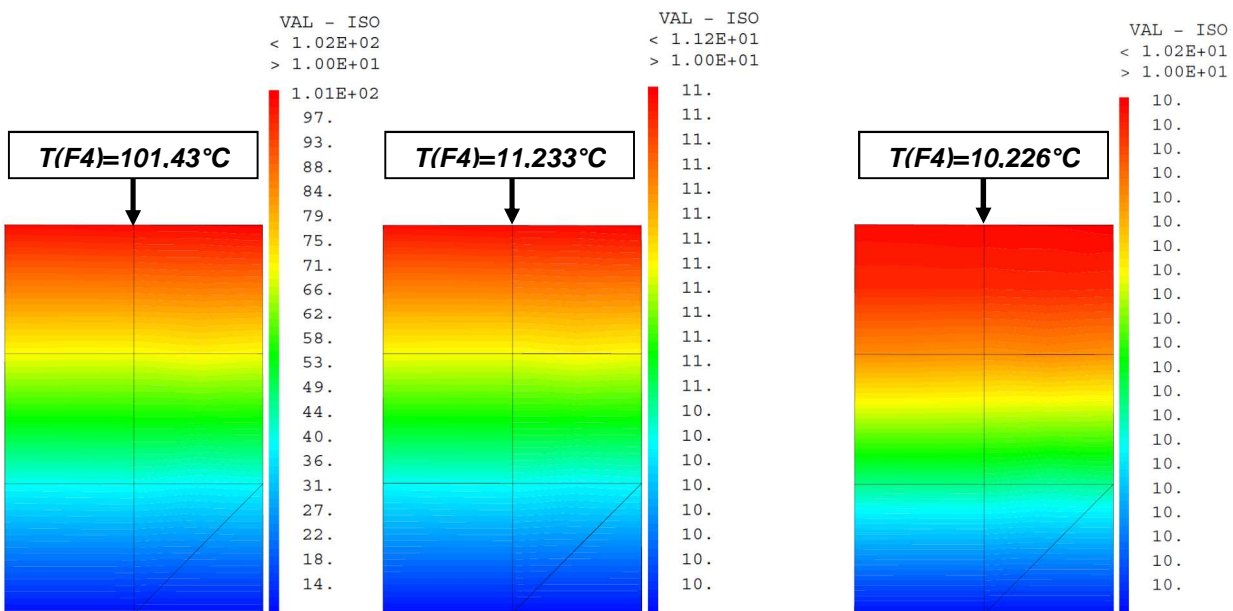


Figure 149 : De gauche à droite : Champ de température avec la condition aux limites de convection, de flux imposé et avec source volumique imposée

# GUIDE DE VALIDATION

## Jeu de données :

```

* fichier : ther4.dgibi
***** Section : Thermique Convection *****
***** Test ther4.dgibi: jeux de données *****
* SI GRAPH = N PAS DE GRAPHIQUE AFFICHE
* SINON SI GRAPH DIFFERENT DE N TOUS
* LES GRAPHIQUES SONT AFFICHES
GRAPH = 'N' ;
SAUT PAGE;
SI (NEG GRAPH 'N') ;
OPTI ECHO 1 ;
OPTI TRAC PSC ;
SINO ;
OPTI ECHO 0 ;
FINSI ;

SAUT PAGE;
*-----*
*          THER4      *
*-----*
* TEST DES CL DE TEMPERATURE POUR      *
* PY13 CU20 TE10 PR15 TRIDIM:        *
*-----*
* TEMPERATURE IMPOSEE + CONVECTION   *
* + FLUX                            *
* + SOURCE                           *
*-----*
* Cet exemple permet de tester les    *
* conditions aux limites de température *
* pour des éléments massifs 3D quadratiques
*-----*
* Un parallélépipède rectangle constitué *
* d'éléments PY13, CU20, TE10 et PR15 est *
* soumis à une température imposée à sa   *
* face supérieure et successivement à une  *
* convection forcée, à un flux imposé et à  *
* une source volumique de chaleur.       *
*-----*
* Les résultats sont présentés sous forme *
* d'isovaleurs qui doivent être parallèles*
* aux faces supérieure et inférieure.     *
*-----*
*          21 DECEMBRE 1988      *
*-----*
*--- DISPOSITION DES NOEUDS DES ELEMENTS:
*-----*
*          A4_AF4_F4_DF4_D4
*          /   /   /   /
*          AB4   EF4   CD4 D34
*          /   /   /   |
*          B4_BE4_E4_CE4_C4 D3
*          | 6PY13 | 1CU20 |  /
*          B34   E34   C34 CD3
*          |   |   |  /
*          B3_BE3_E3_CE3_C3
*-----*
* IN:CENTRE DE
*      (AN BN EN FN AN+1 BN+1 EN+1 FN+1)
*-----*
* JN:CENTRE DE
*      (DN CN EN FN DN+1 CN+1 EN+1 FN+1)
*-----*
*          A3_AF3_F3_DF3_D3
*          /   /   /   /
*          AB3   EF3   DE3   CD3 D23
*          /   /   /   |
*          B3_BE3_E3_CE3_C3 D2
*          | 1CU20 | 4PY13 |  /
*          B23   E23   +   C23 CD2
*          |   |   4TE10 |  /
*          B2_BE2_E2_CE2_C2
*-----*
*          A2_AF2_F2_DF2_D2
*          /   /   /   /
*          AB2   EF2   DE2   CD2 D12
*          /   /   /   |
*          B2_BE2_E2_CE2_C2 D1
*          | 6PY13 | 2PR15 |  /
*          B12   E12   C12 CD1
*          |   |   |  /
*          B1_BE1_E1_CE1_C1
*-----*
*--- OPTIONS GENERALES DE CALCUL:
*-----*
TITR 'THER4 - C.L. TEMPERATURE -
ELEMENTS QUADRATIQUES' ;

```

OPTI DIME 3 ;  
TEMPS ;

---- CREATION DE LA GEOMETRIE: POINTS SUPPORTS DES ELEMENTS

```

A1=0. 0. 0.; B1=1. 0. 0.;
C1=1. 4. 0.; D1=0. 4. 0.;
A2=0. 0. 2.; B2=1. 0. 2.;
C2=1. 4. 2.; D2=0. 4. 2.;
A3=0. 0. 4.; B3=1. 0. 4.;
C3=1. 4. 4.; D3=0. 4. 4.;
A4=0. 0. 6.; B4=1. 0. 6.;
C4=1. 4. 6.; D4=0. 4. 6.;
E1=1. 2. 0.; F1=0. 2. 0.;
E2=1. 2. 2.; F2=0. 2. 2.;
E3=1. 2. 4.; F3=0. 2. 4.;
E4=1. 2. 6.; F4=0. 2. 6.;
I1=.5 1. 1.; J2=.5 3. 3.;
I3=.5 1. 5.;

A12=0. 0. 1.; B12=1. 0. 1. ;
C12=1. 4. 1.; D12=0. 4. 1. ;
A23=0. 0. 3.; B23=1. 0. 3. ;
C23=1. 4. 3.; D23=0. 4. 3. ;
A34=0. 0. 5.; B34=1. 0. 5. ;
C34=1. 4. 5.; D34=0. 4. 5. ;
E12=1. 2. 1.; F12=0. 2. 1. ;
E23=1. 2. 3.; F23=0. 2. 3. ;
E34=1. 2. 5.; F34=0. 2. 5. ;

AB1=.5 0. 0.; AB2=.5 0. 2. ;
AB3=.5 0. 4.; AB4=.5 0. 6. ;
BE1=1. 1. 0.; BE2=1. 1. 2. ;
BE3=1. 1. 4.; BE4=1. 1. 6. ;
CE1=1. 3. 0.; CE2=1. 3. 2. ;
CE3=1. 3. 4.; CE4=1. 3. 6. ;
CD1=.5 4. 0.; CD2=.5 4. 2. ;
CD3=.5 4. 4.; CD4=.5 4. 6. ;
DF1=0. 3. 0.; DF2=0. 3. 2. ;
DF3=0. 3. 4.; DF4=0. 3. 6. ;
AF1=0. 1. 0.; AF2=0. 1. 2. ;
AF3=0. 1. 4.; AF4=0. 1. 6. ;
EF1=.5 2. 0.; EF2=.5 2. 2. ;
EF3=.5 2. 4.; EF4=.5 2. 6. ;
MEC1=1. 3. 1.; MFD1=0. 3. 1. ;

----- MILIEUX DES SEGMENTS (XN IN) ET (XN JN)
A11=.25 .5 .5; B11=.75 .5 .5;
E11=.75 1.5 .5; F11=.25 1.5 .5;
EJ2=.75 2.5 2.5; FJ2=.25 2.5 2.5;
DJ2=.25 3.5 2.5; CU2=.75 3.5 2.5;
AI3=.25 .5 4.5; BI3=.75 .5 4.5;
EI3=.75 1.5 4.5; FI3=.25 1.5 4.5;

----- MILIEUX DES SEGMENTS (XN+1 IN) ET (XN+1 JN)
A211=.25 1.5 1.5; B211=.75 1.5 1.5;
E211=.75 1.5 1.5; F211=.25 1.5 1.5;
E3J2=.75 2.5 3.5; F3J2=.25 2.5 3.5;
D3J2=.25 3.5 3.5; C3J2=.75 3.5 3.5;
A4I3=.25 .5 5.5; B4I3=.75 .5 5.5;
E4I3=.75 1.5 5.5; F4I3=.25 1.5 5.5;
DE2=.5 3. 2.; DB3=.5 3. 4.;

----- CREATION DES PYRAMIDES A 13 NOEUDS:
PP01 = MANU PY13
A1 AB1 B1 BE1 E1 EF1 F1 AF1
A11 BT1 EI1 FI1 I1 ;
PP02 = MANU PY13
E1 EF1 F1 F12 F2 EF2 E2 E12
E11 FI1 F211 E211 I1 ;
PP03 = MANU PY13
E2 EF2 F2 AF2 A2 AB2 B2 BE2
E211 F211 A211 B211 I1 ;
PP04 = MANU PY13
A2 AB2 B2 B12 B1 AB1 A1 A12
A211 B211 B11 A11 I1 ;
PP05 = MANU PY13
B1 BE1 E1 E12 E2 BE2 B2 B12
B11 EI1 E211 B211 I1 ;
PP06 = MANU PY13
A1 AFL F1 F12 F2 AF2 A2 A12
A11 FI1 F211 A211 I1 ;
PP07 = MANU PY13
E2 EF2 F2 F23 F3 EF3 E3 E23
EJ2 FJ2 F3J2 E3J2 J2 ;
PP08 = MANU PY13
D3 CD3 C3 C23 C2 CD2 D2 D23
D3J2 C3J2 CJ2 DJ2 J2 ;
PP09 = MANU PY13
C2 CE2 E2 E23 E3 CE3 C3 C23
CJ2 EJ2 E3J2 C3J2 J2 ;
PP10 = MANU PY13
D2 DF2 F2 F23 F3 DF3 D3 D23
DJ2 FJ2 F3J2 D3J2 J2 ;
PP11 = MANU PY13
A3 AB3 B3 BE3 E3 EF3 F3 AF3
A13 BI3 EI3 FI3 I3 ;
PP12 = MANU PY13
E3 EF3 F3 F34 F4 EF4 E4 E34

```

```

EI3 FI3 F4I3 E4I3 I3 ;
PP13 = MANU PY13
E4 EF4 F4 AF4 A4 AB4 B4 BE4
E4I3 F4I3 A4I3 B4I3 I3 ;
PP14 = MANU PY13
A4 AB4 B4 B34 B3 AB3 A3 A34
A4I3 B4I3 B3 AI3 I3 ;
PP15 = MANU PY13
B3 BE3 E3 B34 E4 BE4 B4 B34
B13 EI3 E4I3 B4I3 I3 ;
PP16 = MANU PY13
A3 AF3 F3 F34 F4 AF4 A4 A34
A13 FI3 F4I3 A4I3 I3 ;

*--- VOLUME COMPOSE DES 16 PYRAMIDES
* A 13 NOEUDS:
VOL1 = PP01 ET PP02 ET PP03 ET PP04 ET
PP05 ET PP06 ET PP07 ET PP08 ET
PP09 ET PP10 ET PP11 ET PP12 ET
PP13 ET PP14 ET PP15 ET PP16 ;

*--- CREATION DES TETRAEDRES
* A 10 NOEUDS:
TT01 = MANU TE10
D2 CD2 C2 CE2 E2 DE2 DJ2 CJ2
EJ2 J2 ;
TT02 = MANU TE10
D2 DF2 F2 EF2 E2 DE2 DJ2 FJ2
EJ2 J2 ;
TT03 = MANU TE10
D3 CD3 C3 CE3 E3 DE3 D3J2 C3J2
E3J2 J2 ;
TT04 = MANU TE10
D3 DF3 F3 EF3 E3 DE3 D3J2 F3J2
E3J2 J2 ;

*--- VOLUME COMPOSE DES 4 TETRAEDRES
* A 10 NOEUDS:
VOL2 = TT01 ET TT02 ET TT03 ET TT04 ;

*--- CREATION DES PRISMES A 15 NOEUDS:
PM01 = MANU PR15 E2 E12 E1 MEC1 C2 CE2 EF2
EF1 CD2
F2 F12 F1 MFD1 D2 DF2 ;
PM02 = MANU PR15 E1 CE1 C1 C12 C2 MEC1 EF1
CD1 CD2
F1 DF1 D1 D12 D2 MFD1 ;

*--- VOLUME COMPOSE DES 2 PRISMES
* A 15 NOEUDS:
VOL4 = PM01 ET PM02 ;

*--- CREATION DES CUBES A 20 NOEUDS:
CB02 = MANU CU20
E2 BE2 B2 AB2 A2 AF2 F2 EF2 E23 B23 A23 F23
E3 BE3 B3 AB3 A3 AF3 F3 EF3 ;
CB03 = MANU CU20
E3 CE3 C3 CD3 D3 DF3 F3 EF3 E34 C34 D34 F34
E4 CE4 C4 CD4 D4 DF4 F4 EF4 ;

*--- VOLUME COMPOSE DES 2 CUBES
* A 20 NOEUDS:
VOL3 = CB02 ET CB03 ;

*--- REUNION DES VOLUMES ELEMENTAIRES:
VOLTOT = VOL1 ET VOL2 ET VOL3 ET VOL4 ;
VOLSOU = PP11 ET PP12 ET PP13 ET PP14 ET
PP15 ET PP16 ET CB03 ;

*--- SURFACE INFERIEURE:
S_INF1 = MANU QUA8 A1 AB1 B1 BE1 E1 EF1 F1
AF1 ;
S_INF2 = MANU QUA8 C1 CD1 D1 DF1 F1 EF1 E1
CE1 ;
S_INF = S_INF1 ET S_INF2 ;

*--- SURFACE SUPERIEURE:
S_SUP1 = MANU QUA8 A4 AB4 B4 BE4 E4 EF4 F4
AF4 ;
S_SUP2 = MANU QUA8 C4 CD4 D4 DF4 F4 EF4 E4
CE4 ;
S_SUP = S_SUP1 ET S_SUP2 ;

OEILL = 15 12 10 ;
SI(NEG GRAPH 'N') ;
TRAC 'QUAL' OEILL VOLTOT ;
FINSI;

*--- DONNEES DU PROBLEME DE THERMIQUE:
*--- MODELISATION:
MOD1 = MODE VOLTOT THERMIQUE ISOIROPE ;
MOD2 = MODE S_SUP THERMIQUE CONVECTION ;

*---DONNEE DES CARACTERISTIQUES DU MATERIAU:
KC = 100. ;
MAT1 = MATE MOD1 'K' KC ;

HC = 15. ;
MAT2 = MATE MOD2 'H' HC ;

*--- CREATION DES MATRICES DE CONDUCTIVITE:
CND1 = CONDUCTIVITE MOD1 MAT1 ;
CND2 = CONDUCTIVITE MOD2 MAT2 ;

*--- TEMPERATURES IMPOSEES: BLOQUE + DEPI
BB1 = BLOQ S_INF 'T' ;
TI = 10. ;
EE1 = DEPI BB1 TI ;

*--- FLUX CONVECTIF A LA SURFACE:
TEX = 200. ;
CNV1 = CONVECTION MOD2 MAT2 'T' TEX ;

*--- FLUX IMPOSE:
PHI = 20. ;
FLU1 = FLUX MOD1 PHI S_SUP ;

*--- SOURCE VOLUMIQUE:
QVOL = 2. ;
S1 = SOUR MOD1 QVOL VOLSOU ;

*--- ASSEMBLAGE DES TERMES DE CONDUCTIVITE:
CCC1 = CND1 ET CND2 ET BB1 ;
CCC2 = CND1 ET BB1 ;

*ASSEMBLAGE DES TERMES DE FLUX EQUIVALENTS:
FFF1 = EE1 ET CNV1 ;
FFF2 = EE1 ET FLU1 ;
FFF3 = EE1 ET S1 ;

*--- 1ERE RESOLUTION:
* TEMPERATURE IMPOSEE + CONVECTION
CHTER1 = RESO CCC1 FFF1 ;

*--- POST-TRAITEMENT
Z1 = COOR 3 F1;
Z2 = COOR 3 F4;

*Valeur Theorique de la temperature en Z2
TREF1=((KC * TI) + (HC * Z2 * TEX)) /
((KC ) + (HC * Z2 )) ;

TETA1 = EXTR CHTER1 T F4 ;
RESI1=100. * (ABS((TETA1-TREF1)/TREF1));

MESS 'Temperature theorique : ' TREF1' C';
MESS 'Temperature calculee : ' TETA1' C';
MESS ' Soit un ecart de : ' RESI1 '%' ;
RESITOT = PROG RESI1 ;
SAUT 1 LIGN ;

OEIL = 100. 0. 0. ;
SI(NEG GRAPH 'N');
TITR 'ELEMENTS PYR5 CUB8 TET4 PRI6 :
CONVECTION' ;
TRAC OEIL VOLTOT CHTER1 ;
FINSI;

*--- 2EME RESOLUTION:
* TEMPERATURE IMPOSEE + FLUX
CHTER2 = RESO CCC2 FFF2 ;

TREF2= TI + (PHI * Z2 / KC );
RESI2=100. * (ABS((TETA2-TREF2)/TREF2));
MESS 'Temperature theorique : ' TREF2' C';
MESS 'Temperature calculee : ' TETA2' C';
MESS ' Soit un ecart de : ' RESI2 '%' ;
RESITOT = RESITOT ET (PROG RESI2) ;
SAUT 1 LIGN ;

SI(NEG GRAPH 'N');
TITR 'ELEMENTS PYR5 CUB8 TET4 PRI6 :
FLUX' ;
TRAC OEIL VOLTOT CHTER2 ;
FINSI;

*--- 3EME RESOLUTION:
* TEMPERATURE IMPOSEE + SOURCE
CHTER3 = RESO CCC2 FFF3 ;

TREF3= TI - (QVOL * (Z2**2) / (2 * KC)) +
(QVOL * (Z2**2) / ( KC));
TETA3 = EXTR CHTER3 T F4 ;
RESI3=100. * (ABS((TETA3-TREF3)/TREF3));
MESS 'Temperature theorique : ' TREF3' C';
MESS 'Temperature calculee : ' TETA3' C';
MESS ' Soit un ecart de : ' RESI3 '%' ;
RESITOT = RESITOT ET (PROG RESI3) ;
SAUT 1 LIGN ;

```

## GUIDE DE VALIDATION

```
SI(NEG GRAPH 'N');
  TITR 'ELEMENTS PYR5 CUB8 TET4 PRI6 :
SOURCE';
  TRAC OEIL VOLTOT CHTER3 ;
FINSI;

*       CODE DE FONCTIONNEMENT
LIST RESITOT;
SI((MAXI RESITOT) <EG 1.5);
  ERRE 0;
SINO;
  ERRE 5;
FINSI;
FIN;
```

*Tableau 86 : Informations sur le cas test tran2.dgibi*

## 6.2 RÉGIME TRANSITOIRE LINÉAIRE

### 6.2.1 tran2.dgibi

|                              |  |
|------------------------------|--|
| <b>Nom du fichier</b>        | tran2.dgibi  |
| <b>Type de calcul</b>        | Thermique<br>Conduction<br>Transitoire<br>2D-axisymétrique   |
| <b>Type d'Éléments Finis</b> | TRI6   |
| <b>Référence</b>             | Solution analytique  |
| <b>Description</b>           | <p><b>PROBLEME DE VALENTIN</b></p> <p>Le problème représente un cylindre épais en 2D-axisymétrique sur lequel sont imposés une condition de flux convectif et une source de chaleur volumique. Cette dernière n'est active que sur la partie basse du cylindre.</p> <p>Le transport de la chaleur se fait exclusivement par diffusion. Un changement de phase avec chaleur latente massique s'opère à la température de 1°C.</p> |
| <b>Objectif</b>              | Retrouver la position du front de changement de phase en le comparant à la position théorique d'après la solution analytique.<br><b>Ecart relatif</b> maximum entre la solution analytique et le calcul : 12,6%  |
| <b>Version de Cast3M</b>     | Du jour  |
| <b>Plateformes testées</b>   | IBM AiX<br>Linux 32-bits<br>Linux 64-bits<br>Windows 32-bits<br>Windows 64-bits<br>MAC OSX 64-bits   |

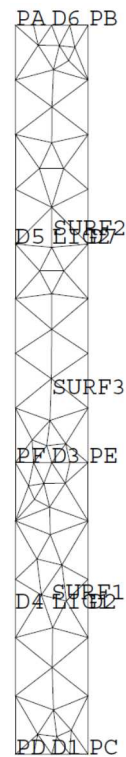


Figure 150 : Maillage du cas-test *tran2.dgibi*

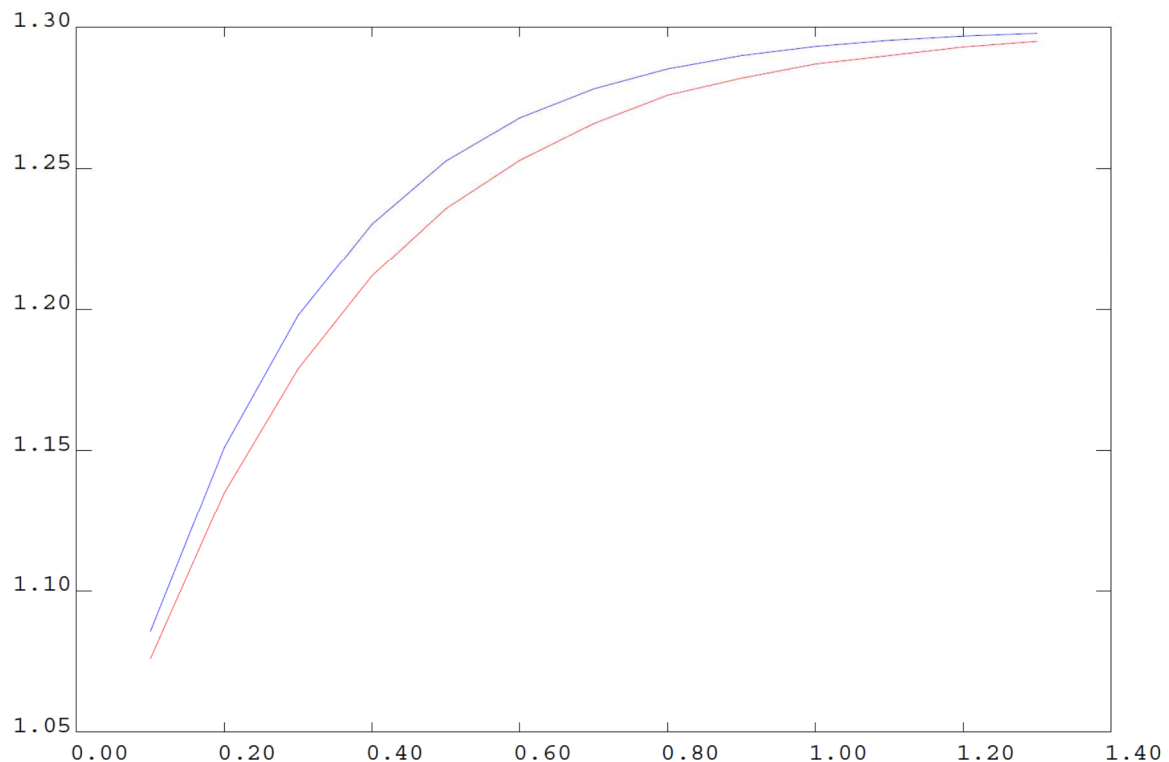


Figure 151 : Evolution au cours du temps de la température maximale atteinte dans l'ensemble du domaine. La courbe rouge représente la courbe de référence alors que la courbe bleue représente l'évolution calculée.

**Jeu de données :**

```

* fichier : tran2.dgibi
*****
* Section : Fluides Transitoire
*****
* CAS TEST DU 91/06/24 PROVENANCE : DELA
*****
* Test tran2.dgibi: jeux de données *
* -----
*****
```

```

* SI GRAPH = N PAS DE GRAPHIQUE AFFICHE
* SINON SI GRAPH DIFFERENT DE N TOUS
* LES GRAPHIQUES SONT AFFICHES
```

```
GRAPH = 'N' ;
```

```

SAUT PAGE;
SI (NEG GRAPH 'N') ;
OPTI ECHO 1 ;
OPTI TRAC X ;
SINO ;
OPTI ECHO 1 ;
FINSI;
```

```
SAUT PAGE;
```

```

*-----
*          *
*          TEST TRAN2          *
*          *
*--- Problème :
*          *
* Problème de Valentin :
*          thermique transitoire linéaire
*          *
*          *
*--- Description de la géométrie :
*          *
*          A ----- B
*          |           |
*          |           AB = 1.
*          |           BC = 10.
*          |           EC = 4.
*          |
*          F ----- E
*          |           |
*          D |       C
*          X----- R
*          R=0.
*
* Conductivité isotrope      : K = 1.
* Capacité du matériau       : C = 1.
* RHO= 1.
* Sur AB , température imposée: T = 1.
* Sur BC , convection forcée  : TE= 1.
*          H= 10.
* Dans CDFE , source volumique: Q = 1.
* Ailleurs, flux imposé        : F = 0.
*
*--- Calcul :
* Calcul axisymétrique
* Recherche de la température maximale
* dans le cylindre épais par une
* méthode pas à pas. L'évolution de la
* température est comparée avec la
* solution analytique
*
*--- Résultats :
* Comparer avec le cas-test THERMX
* 'PLI45'
* La température maximale doit tendre
* vers 1.3
*-----
```

```
TITR 'PROBLEME DE VALENTIN - THERMIQUE
TRANSITOIRE LINÉAIRE' ;
OPTI DIME 2 ELEM TRI6 MODE AXIS ;
TEMPS ;
```

```

*----- Création de la géométrie -----
PD = 0. 0. ;
PC = 1. 0. ;
PB = 1. 10. ;
PA = 0. 10. ;
PE = 1. 4. ;
PF = 0. 4. ;
D1 = DROITE 4 PD PC ;
D2 = DROITE 5 PC PE ;
D3 = DROITE 4 PE PF ;
D4 = DROITE 5 PF PD ;
LIG1 = D1 ET D2 ET D3 ET D4 ;
```

```

D5 = DROITE 8 PF PA ;
D6 = DROITE 4 PA PB ;
D7 = DROITE 8 PB PE ;
LIG2 = D3 ET D5 ET D6 ET D7 ;
SURF1 = SURF LIG1 PLANE ;
SURF2 = SURF LIG2 PLANE ;
SURF3 = SURF1 ET SURF2 ;

SI(NEG GRAPH 'N');
    TRAC 'QUAL' SURF3 ;
FINSI;

*--- DONNEES DU PROBLEME DE THERMIQUE ----*
*----- 1 - Modélisation du maillage SURF3:
*          formulation + matériau
MOD1 = MODE SURF3 THERMIQUE ISOTROPE ;

*----- 2 - Crédation d'un CHAMELEM de
*          sous-type CARACTERISTIQUES
MAT1 = MATE MOD1 K 1. 'C' 1. RHO 1. ;

*----- 3 - Condition de source volumique :
*          calcul du CHPOINT des flux
*          noeuds équivalents
S1 = SOURCE MOD1 1. SURF1 ;

*----- 4 - Modèle pour la formulation
*          convection et type d'élément
MOD2 = MODE (D2 ET D7) THERMIQUE
CONVECTION;
MOD4 = MOD1 ET MOD2;

*----- 5 - Crédation de CHAMELEM de
*          caractéristiques pour la
*          convection
MAT2 = MATE MOD2 H 10. ;
MAT4 = MAT1 ET MAT2 ;

*----- 6 - Blocage des températures
B1 = BLOQ T D6 ;

*----- 7 - Valeur de T imposée
E1 = DEPI B1 1. ;

*----- 8 - Condition de flux nul : calcul
*          du CHPOINT de flux équivalent
FF1 = FLUX MOD1 0. D1 ;

*----- 9 - Assemblage des CHPOINTS de flux
*          équivalents
QQQ1 = S1 ET FF1 ;

*----- 10 - chargement
D69 = D7 'ET' D2;
CH_TE = 'MANU' 'CHPO' 1 D69 'T' 1.;

PP1 = PROG 0. PAS 0.05 NPAS 50 ;
PP2 = PROG 51. * 1. ;
MEVOL1 = EVOL MANU 'TEMPS' PP1 'COEFF' PP2;
MEVOL2 = EVOL MANU 'TEMPS' (PROG 0. 2.) 'T' (PROG 1. 1.);
CHA1 = CHAR 'Q' 'QQQ1 MEVOL1' ;
CHA2 = CHAR 'TIMP' E1 MEVOL2;
CHA3 = CHAR 'TECO' CH_TE MEVOL2;
CHA4 = CHA1 ET CHA2 ET CHA3;

*----- 11 - remplissage pour PASAPAS
CHTERO = MANU CHPO SURF3 1 T 1.;

ETAB = TABL ;
ETAB. 'TEMPERATURES' = TABL ;
ETAB. 'TEMPERATURES' . 0 = CHTERO ;
ETAB. 'MODELE' = MOD4 ;
ETAB. 'CARACTERISTIQUES' = MAT4 ;
ETAB. 'BLOCAGES_THERMIQUES' = B1 ;
ETAB. 'CHARGEMENT' = CHA4 ;
ETAB. 'PROCEDURE_THERMIQUE' = LINEAIRE ;
ETAB. 'TEMPS_CALCULES' =
    PROG 0.1 0.2 0.3 0.4 0.5 0.6 0.7 0.8 0.9
    1. 1.1 1.2 1.3;

PASAPAS ETAB ;

LISTT = PROG ;
TEMP1 = PROG ;
REPETER BOUCSOR (DIME ETAB. 'TEMPERATURES');
ITERA = &BOUCSOR;
LISTT = INSE LISTT ITERA
    (ETAB.'TEMPS'. (ITERA-1));
TEMP1 = INSE TEMP1 ITERA
    ( MAXI ( ETAB. 'TEMPERATURES'. (ITERA-1) ) );
FIN BOUCSOR;

*----- 12 - SORTIE DES RESULTATS
EV1 = EVOL BLEU MANU 'TEMPS' LISTT
```

## GUIDE DE VALIDATION

```
'TEMPERATURE' TEMP1 ;
TIME = PROG 0.1 0.200 0.300 0.400 0.500
      0.600 0.700 0.800 0.900 1.000
      1.100 1.200 1.300 ;
LITEM = PROG 1.076 1.135 1.179 1.212 1.236
           1.253 1.266 1.276 1.282 1.287
           1.290 1.293 1.295 ;
EV2 = EVOL ROUGE MANU TIME LITEM ;

SI(NEG GRAPH 'N') ;
TITR
  'EVOLUTION DE LA TEMPERATURE MAXIMALE';
DESS (EV1 ET EV2) ;
FINSI;

TEMPS ;

* CODE DE FONCTIONNEMENT BASÉ SUR UN ECART
* MILIEU DE COURBE
* TEST RUDIMENTAIRE POUVANT ETRE OPTIMISÉ
TREF = 1.253;
ITER1A= 6;
TMAX = MAXI (ETAB.'TEMPERATURES'.ITER1A);
RESI = 100. * (ABS((TMAX-TREF)/TREF));
SI(RESI <EG 5.);
  ERRE 0;
SINO;
  ERRE 5;
FINSI;

FIN;
```

### 6.2.2 tran8.dgibi

| <b>Nom du fichier</b>        | tran8.dgibi   |                    |                      |                    |                      |       |        |          |      |
|------------------------------|---|--------------------|----------------------|--------------------|----------------------|-------|--------|----------|------|
| <b>Type de calcul</b>        | Thermique<br>Conduction<br>Transitoire<br>2D  |                    |                      |                    |                      |       |        |          |      |
| <b>Type d'Éléments Finis</b> | QUA4  |                    |                      |                    |                      |       |        |          |      |
| <b>Référence</b>             | Test NAFEMS<br>numero T3<br><br>CONDITIONS DE TEMPERATURE IMPOSEE VARIABLE  |                    |                      |                    |                      |       |        |          |      |
| <b>Description</b>           | Cet exemple représente un rectangle en 2D de longueur 10cm et de hauteur 1cm dans lequel la chaleur diffuse de manière isotrope.<br><br>La température est maintenue fixe sur l'une de ses extrémités et variable sur l'autre extrémité (régime sinusoïdale d'amplitude 100°C). |                    |                      |                    |                      |       |        |          |      |
| <b>Objectif</b>              | Température au point C (0,08 0) au temps t=32s  |                    |                      |                    |                      |       |        |          |      |
|                              | <table border="1"> <thead> <tr> <th></th> <th><b>Référence</b></th> <th><b>Cast3M 2016</b></th> <th><b>Ecart Relatif</b></th> </tr> </thead> <tbody> <tr> <td><math>T_c</math></td> <td>36,6°C</td> <td>36,893°C</td> <td>0,8%</td> </tr> </tbody> </table>                     |                    | <b>Référence</b>     | <b>Cast3M 2016</b> | <b>Ecart Relatif</b> | $T_c$ | 36,6°C | 36,893°C | 0,8% |
|                              | <b>Référence</b>  | <b>Cast3M 2016</b> | <b>Ecart Relatif</b> |                    |                      |       |        |          |      |
| $T_c$                        | 36,6°C  | 36,893°C           | 0,8%                 |                    |                      |       |        |          |      |
| <b>Version de Cast3M</b>     | Du jour   |                    |                      |                    |                      |       |        |          |      |
| <b>Plateformes testées</b>   | IBM AIX<br>Linux 32-bits<br>Linux 64-bits<br>Windows 32-bits<br>Windows 64-bits<br>MAC OSX 64-bits  |                    |                      |                    |                      |       |        |          |      |

Tableau 87 : Informations sur le cas test tran8.dgibi

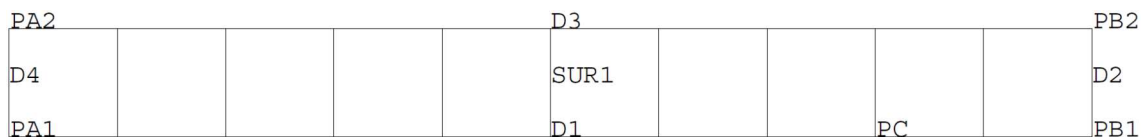


Figure 152 : Maillage du cas-test tran8.dgibi

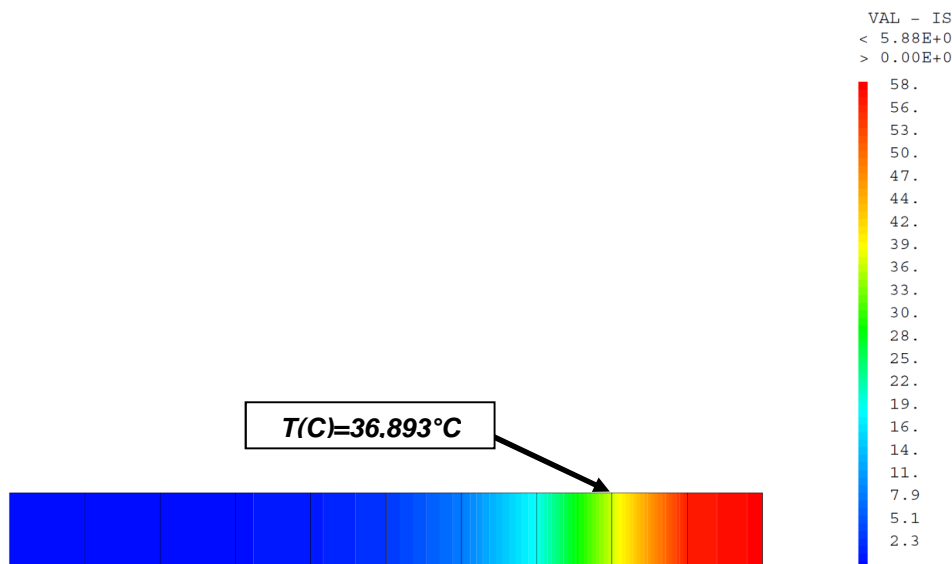


Figure 153 : Tracé du champ de température nodal au temps  $t=32s$

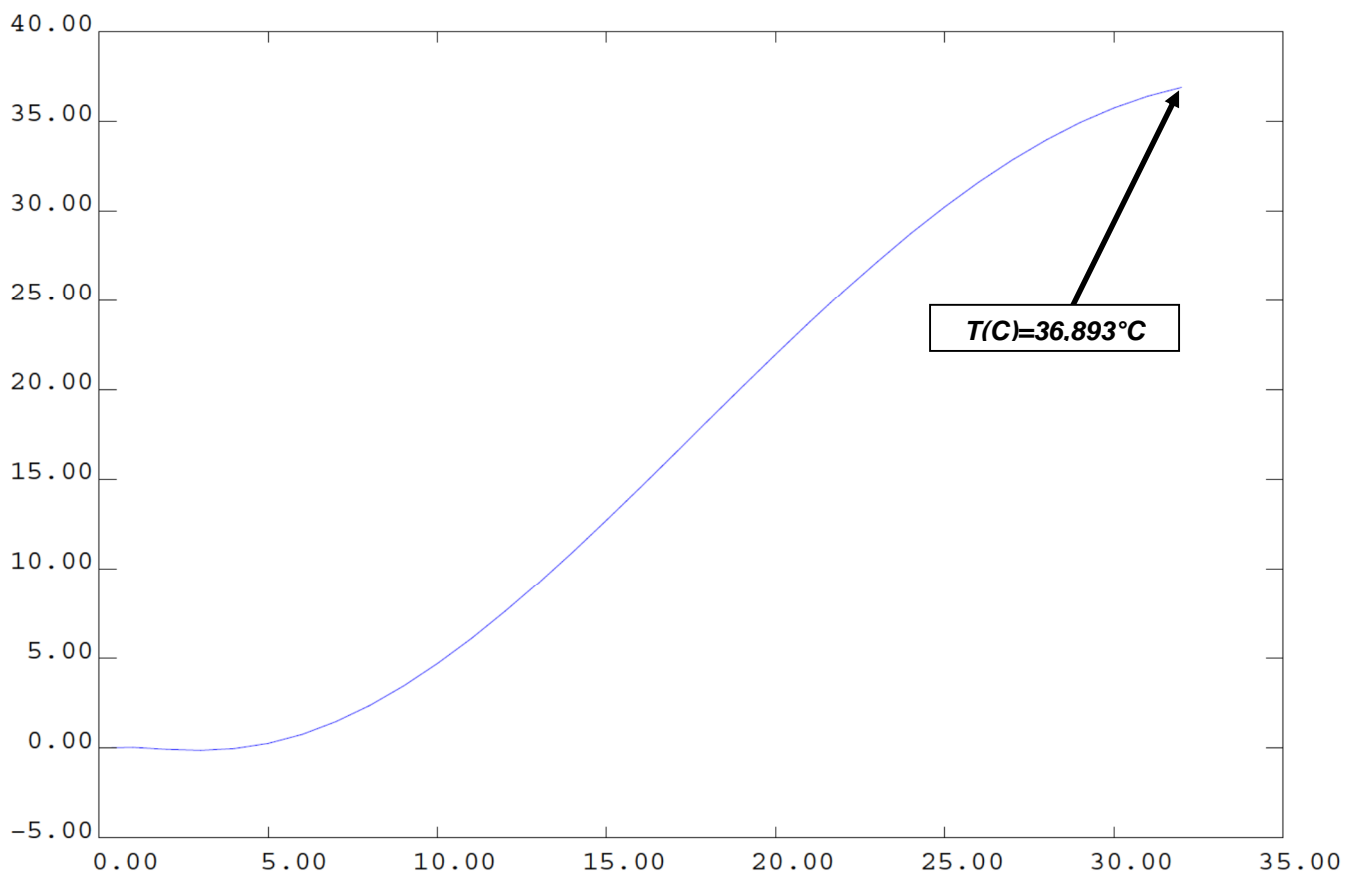


Figure 154 : Evolution au cours du temps de la température au point C

**Jeu de données :**

```

* fichier : tran8.dgibi
*****
* Section : Thermique Transitoire
*****
* CAS TEST DU 91/06/13 PROVENANCE : TEST
*****
* Test tran8.dgibi: jeux de données *
* -----
*****  

* SI GRAPH = N PAS DE GRAPHIQUE AFFICHE
* SINON SI GRAPH DIFFERENT DE N TOUS
* LES GRAPHIQUES SONT AFFICHES
GRAPH = 'N' ;

SAUT PAGE;
SI (NEG GRAPH 'N') ;
OPTI ECHO 1 ;
OPTI TRAC PSC ;
SINO ;
OPTI ECHO 0 ;
FINSI ;

SAUT PAGE;

*****  

*          TRAN8
*          *
* THERMIQUE TRANSITOIRE LINEAIRE EN 2D
*          *
* Test NAFEMS numero T3
*          *
*          *
* description
* -----
*          *
* A           C     B
*          <_0.02_>
*          |
*          |
*          0.1 m
*          ---> axe X
*          *
*          *
* conditions aux limites
* -----
*          *
* - temperature imposee au point A :
*      TA = 0
*          *
* - temperature imposee au point B :
*      TB = 100 * sin (PI * temps / 40)
*          *
*****  

OPTI DIME 2;
OPTI ELEM QUA4;  

----- geometrie : maillage -----  

PA1 = 0. 0.; PB1 = 0.1 0. ;
PA2 = 0. 0.01; PB2 = 0.1 0.01;

N = 10;
D1 = PA1 DROI N PB1;
D2 = PB1 DROI 1 PB2;
D3 = PB2 DROI N PA2;
D4 = PA2 DROI 1 PA1;

SUR1 = DALL D1 D2 D3 D4 PLAN;

PC = POIN SUR1 PROC (0.08 0.);

SI (NEG GRAPH 'N');
TITR 'TRAN8 : MAILLAGE';
TRAC 'QUAL' SUR1;
FINSI;

----- modeles - materiaux -----
MODL1 = MODE SUR1 THERMIQUE ISOTROPE QUA4;
MATR1 = MATE MODL1 'RHO' 7200 'K' 35.0
'C'    440.5;

* temperatures imposees : fonction du temps
* - Cote PA : temperature constante
*           de 0 degres celcius
* - Cote PB : temperature variable
*           en fonction du temps  

BLOCD4 = BLOQ D4 'T';
BLOCD2 = BLOQ D2 'T';

```

```

TEMPD4 = DEPI BLOCD4 1. ;
TEMPD2 = DEPI BLOCD2 1. ;

* Un pas toutes les secondes,
* temps maximum 40. s.
LTEMPS = PROG 0. PAS 1. 40.;

LD4 = PROG 41 * 0. ;
LD2 = PROG SINU (1. / 80.) AMPL 100 LTEMPS;

EVOLD4 = EVOL MANU TEMPS LTEMPS THETA LD4;
EVOLD2 = EVOL MANU TEMPS LTEMPS THETA LD2;

CHAD4 = CHAR 'TIMP' TEMPD4 EVOLD4;
CHAD2 = CHAR 'TIMP' TEMPD2 EVOLD2;

* Creation d'un flux nul (type chargement)
FLUO = MANU CHPO (D1 ET D3) 1 Q 0.;

EVOL3= EVOL MANU TEMP LTEMPS FLUX
        (PROG 41 * 1.);
FLU1 = CHAR 'Q' FLUO EVOL3;

---- objets pour la procedure PASAPAS ----*
BLOCT = (BLOCD2 ET BLOCD4);
CHART = (FLU1 ET CHAD4 ET CHAD2);

TAB1           = TABL;
TAB1.'TEMPERATURES' = TABL;
TAB1.'TEMPERATURES' . 0 =  

                    MANU CHPO SUR1 1 T 0. ;
TAB1.'BLOCAGES_THERMIQUES' = BLOCT;
TAB1.'CHARGEMENT' = CHART;
TAB1.'MODELE' = MODL1;
TAB1.'CARACTERISTIQUES' = MATR1;
TAB1.'TEMPS_SAUVES' =  

                    PROG 0. PAS 1. 32. ;
TAB1.'TEMPS_CALCULES' =  

                    PROG 0. PAS 1. 32. ;
TAB1.'PROCEDURE_THERMIQUE' = LINEAIRE;

PASAPAS TAB1;

----- extraction des resultats -----
* Temperature du point C a t = 32 s.

* Construction de l'evolution de T au cours
* du temps

LTEMPE = VIDE 'LISTREEL';
LTEMPS = VIDE 'LISTREEL';
NBpas = DIME (TAB1. 'TEMPS') ;
REPP SURPAS NBpas;
INDICE = &NBpas;
LTEMPS = LTEMPS ET (PROG
        (TAB1. 'TEMPS'. (INDICE - 1)));
LTEMPE = LTEMPE ET (PROG
        (EXTR TAB1. 'TEMPERATURES'. (INDICE - 1) T
        (SUR1 POIN PROC (0.08 0.))));
FIN SURPAS;

EVTEMPE = EVOL BLEU MANU LTEMPS LTEMPE;

THET1 = EXTR LTEMPE NBpas;
THET2 = 36.6;

ERG = 100 * (ABS ((THET2 - THET1) / THET2));

* Trace facultatif de la repartition
* de temperature a t = 32 s
SI (NEG GRAPH 'N');
TITR 'TRAN8 : Temperature a t = 32 s';
CHPO3 = PECHIE TAB1 'TEMPERATURES';
TAB1. 'TEMPS' . (NBpas - 1);
TRAC SUR1 CHPO3;

TITR 'Evolution de la temperature en
fonction du temps : ';
DESS EVTEMPE ;
FINSI;

----- Test Reactions dans solution -----
IREAC1 = 'EXIS' TAB1 'REACTIONS_THERMIQUES' ;

----- affichage des resultats -----
MESS ' RESULTATS ' ;
MESS ' ----- ' ;
SAUT 1 LIGN;

MESS 'Temperature theorique : ' THET2' C';
MESS 'Temperature calculee : ' THET1' C';
MESS ' Soit un ecart de : ' ERG '%';

```

## GUIDE DE VALIDATION

```
SAUT 1 LIGN;
*----- code fonctionnement -----*
SI ((ERG <EG 5) 'ET' IREAC1);
  ERRE 0;
SINON;
  'SI' ('NON' IREAC1) ;
  SAUT 1 LIGN;
  'MESS' '***** ERREUR : il manque les reactions thermiques ! ' ;
  SAUT 1 LIGN;
  'FINS' ;
  ERRE 5 ;
FINSI;
TEMPS;
FIN;
```

## 6.3 RÉGIME TRANSITOIRE NON LINÉAIRE

### 6.3.1 tran4.dgibi

|                       |  |
|-----------------------|--|
| Nom du fichier        | tran4.dgibi  |
| Type de calcul        | Thermique<br>Conduction<br>Transitoire<br>Changement de phase<br>2D axisymétrique  |
| Type d'Éléments Finis | QUA4   |
| Référence             | "Conduction of Heat in Solids"<br>H S Carslaw and J C Jaeger<br>Oxford Clarendon Press 1959<br>ch XI p291<br><br>Solution analytique<br>$x_{front} = 2 \cdot \beta \cdot \sqrt{t}$<br>$\beta$ regroupe tous les paramètres de la solution                  |
| Description           | PROBLEME DE STEPHAN UNIDIMENSIONNEL<br><br>Le problème représente une barre unidirectionnelle<br><br>Le transport de la chaleur se fait exclusivement par diffusion. Un changement de phase avec chaleur latente massique s'opère à la température de 1°C. |
| Objectif              | Retrouver la position du front de changement de phase en le comparant à la position théorique d'après la solution analytique.<br><b>Ecart relatif maximum entre la solution analytique et le calcul : 12,6%</b>  |
| Version de Cast3M     | Du jour  |
| Plateformes testées   | IBM AiX<br>Linux 32-bits<br>Linux 64-bits<br>Windows 32-bits<br>Windows 64-bits<br>MAC OSX 64-bits   |

Tableau 88 : Informations sur le cas test tran4.dgibi

B14

B15

B16

Figure 155 : Maillage du cas-test tran4.dgibi

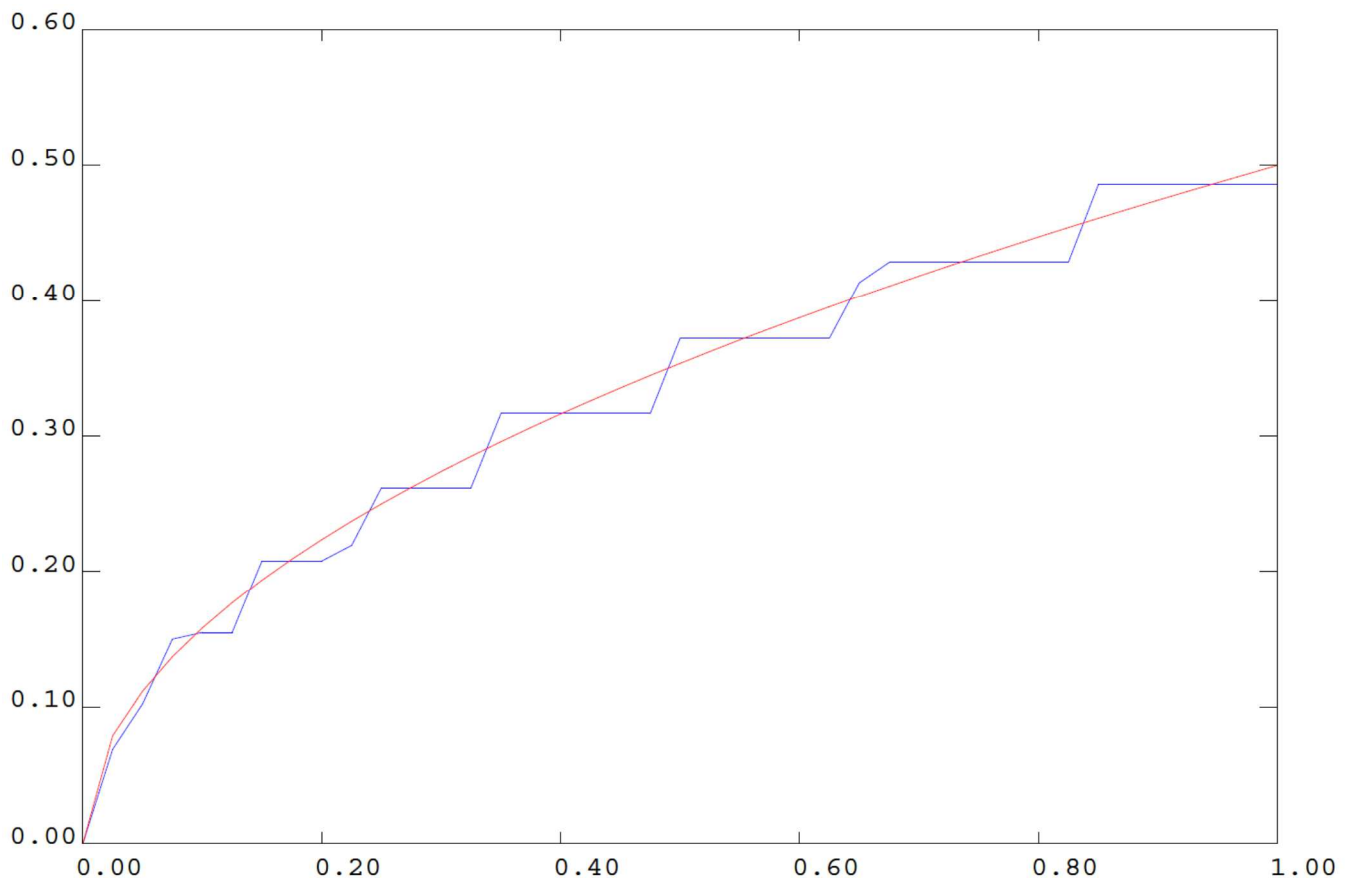


Figure 156 : Evolution au cours du temps de la position du front de réaction sur l'axe des abscisses. La courbe rouge représente la position théorique du front alors que la courbe bleue représente la position calculée du front.

**Jeu de données :**

```

* fichier : tran4.dgibi
*****
* Section : Thermique Diffusion
*****



***** Test tran4.dgibi: jeux de données *****
* -----
*****



* SI GRAPH = N PAS DE GRAPHIQUE AFFICHE
* SINON SI GRAPH DIFFERENT DE N TOUS
* LES GRAPHIQUES SONT AFFICHES

GRAPH = 'N' ;

SAUT PAGE;
SI (NEG GRAPH 'N') ;
  OPTI ECHO 1 ;
  OPTI TRAC PSC ;
SINO ;
  OPTI ECHO 0 ;
FINSI ;

SAUT PAGE;

***** pour calcul complet mettre complet=vrai;
***** complet = vrai;

*-----
*          TRAN4
*-----
* Test de l'option changement de phase de *
* l'opérateur capacité et de l'algorithme *
* de transit3
***** PROBLEME DE STEPHAN UNIDIMENSIONNEL
*-----*
* Transport de la chaleur par diffusion *
* uniquement
*-----*
*   T(0,t) = 0 SI t<0
*   T(0,t) = 2 SI t>0
*-----*
* |      BARRE      | *
*-----*
* x=0           T=0° *
*                 à l'inFINi *
*-----*
* Changement de phase à 1° avec chaleur *
* latente massique L. Toutes les autres *
* caractéristiques sont égales à 1.
*-----*
* Recherche de l'avancée du front de *
* changement de phase en fonction du temps *
* (entre 0 ET 1 seconde)
*-----*
* REFERENCE pour la solution analytique *
* "Conduction of Heat in Solids"
* H S Carslaw and J C Jaeger
* Oxford Clarendon Press 1959
* ch XI p291
*-----*
***** paramètres pour l'intégration numérique
* Pour le test on conseille
* dt=0.025 dx=0.01 EPSILON=0.1

* largeur du changement de phase
EPSILON = 0.1 ;
* chaleur latente
L = 4.7427 ;
* constante de la solution analytique
BETA = 0.25 ;
* pas de temps
DT = 0.025 ;
* pas d'espace
DX = 0.05 ;
*-----*
* MALLAGE avec des QUA4
OPTI DIME 2 ELEM SEG2;
DENS DX ;
p1 = 0. 0. ;
p4 = 0. DX ;
DENS (4.*DX) ;
p2 = 10. 0. ;
p3 = 10. DX ;
*-----*
lil = d p1 p2 ;
li2 = d 1 p2 p3 ;

```

```

li3 = d p3 p4 ;
li4 = d 1 p4 p1 ;
OPTI ELEM QUA4 ;
sul = DALL lil li2 li3 li4 'PLAN' ;

SI(NEG GRAPH 'N');
  TRAC 'QUAL' sul ;
FINSI;

* MODELE DE CALCUL
mod1 = MODE sul THERMIQUE PHASE QUA4 ;

* CARACTERISTIQUES
mat = MATE mod1 'C' 1. 'K' 1. 'RHO' 1.
      tpha 1. QLAT L;

* TEMPÉRATURE IMPOSÉE EN X=0
bll = BLOQ 'T' li4 ;
timpl = DEPI bll 2. ;
evl = EVOL MANU ABS (PROG 0. 1.)
      ORD (PROG 1. 1.);
cha = CHAR TIMP timpl evl;

* TABLE POUR THERM
xtab = TABL ;
xtab.temperatures = TABL;
xtab.temperatures . 0 =
  ( MANU CHPO sul 1 'T' 0. ) +
  ( MANU CHPO li4 1 'T' 2. ) ;
xtab.'MODELE' = mod1 ;
xtab.'CARACTERISTIQUES' = mat;
xtab.'CHARGEMENT' = cha;
xtab.'BLOCAGES_THERMIQUES' = bll;

SI complet ;
  tFIN = 1. ;
SINON;
  tFIN = 0.25;
FINSI;

xtab.'TEMPS_CALCULES' =
  PROG 0. pas DT tFIN;
xtab.'PROCEDURE_THERMIQUE' = DUPONT;
SI complet;
  xtab.'CRITERE' = 1E-2;
SINON;
  xtab.'CRITERE' = 5E-2;
FINSI;
xtab.'RELAXATION_THETA' = 1.;

* CALCUL
PASAPAS xtab;

* ANALYSE DES RESULTATS
* le front avance comme 2*beta*(t**0.5)
* beta ET Chaleur latente sont liés

LTFS = PROG 0. ;
LFR = PROG 0. ;
LFRTHEO = PROG 0. ;
LFRSANS = PROG 0. ;

* BOUCLE SUR LES PAS DE TEMPS
npas = (DIME (xtab.temps)) - 1;
REPE analyse npas;
  ite = &analyse;
  templ = xtab.temps . ite ;
  evl = EVOL CHPO
    (xtab.temperatures . ite ) ( lil) 'T';
  lt = EXTR evl 'T' ;

* boucle sur les points de la droite lil :
* recherche du point dont T vaut 1
  REPE trak ( DIME lt );
    tt2 = EXTR lt (&trak) ;
    SI ( tt2 < 1. );
      xx1 = EXTR ( EXTR evl 'ABSC' )
        (&trak - 1) ;
      tt1 = EXTR lt (&trak - 1) ;
      xx2 = EXTR ( EXTR evl 'ABSC' )
        &trak ;
    * Interpolation entre deux noeuds
    * xx est la position du front
    xx = xx1+((1. - tt1)*( xx2 - xx1 ) /
      ( tt2 - tt1 ));
    QUITTER trak ;
  FINSI ;
  FIN trak;

  xxtheo = 2. * beta * ( templ ** 0.5 ) ;
  xxsans = 0.95 * ( templ ** 0.5 ) ;

* TITR 'Instant' (xtab.temps . ite) ;
* dess evl ;

```

```

MESS 'TEMPS' templ ' Front =' xx
      'Valeur Theorique' xxtheo;
ltps    = ltps   ET ( PROG templ ) ;
lfr     = lfr    ET ( PROG xx) ;
lfrtheo = lfrtheo ET ( PROG xxtheo ) ;
lfrsans = lfrsans ET ( PROG xxsans ) ;
FIN analyse ;

*  VISUALISATION
evfr    = EVOL BLEU MANU 'TEMPS'
          ltps 'ABSCISSE' lfr ;
evfrtheo = EVOL ROUG MANU 'TEMPS'
          ltps 'ABSCISSE' lfrtheo ;
evfrsans = EVOL VERT MANU 'TEMPS'
          ltps 'ABSCISSE' lfrsans ;

SI(NEG GRAPH 'N');
TITR 'Avance du front :
EPSILON=' EPSILON 'Dt=' dt 'Dx=' dx ;
DESS ( evfr ET evfrtheo ) ;
FINSI;

*Retrait du premier terme nul des LISTREEL
LENT1 = LECT;
REPE SURIND ((DIME lfr) - 1);
Indice = &SURIND;
MESS Indice;
LENT1 = LENT1 ET (LECT (Indice+1));

FIN SURIND;

lfr2    = EXTR lfr LENT1;
lfrtheo2 = EXTR lfrtheo LENT1;

erreu=100. *
      (abs(lfr2 - lfrtheo2) / lfrtheo2);

MESS 'Erreur Maximale : ' (MAXI erreu) ;

* Message d'erreur
SI ( (MAXI erreu) > 13. ) ;
MESS 'Résultat incorrect' ;
ERRE 5 ;
FINSI ;

*OPTI SAUV 'test.res' ;
*SAUV evfr evfrtheo evfrsans ;
FIN ;

```

## 7. THERMO-MECANIQUE

### 7.1 THERMO-ELASTICITÉ

#### 7.1.1 lyre3.dgibi

| <b>Nom du fichier</b>        | lyre3.dgibi  |                            |                      |                    |                      |       |                          |                            |       |       |                        |                           |      |       |                         |                         |       |
|------------------------------|--|----------------------------|----------------------|--------------------|----------------------|-------|--------------------------|----------------------------|-------|-------|------------------------|---------------------------|------|-------|-------------------------|-------------------------|-------|
| <b>Type de calcul</b>        | Thermo-Elastique<br>3D   |                            |                      |                    |                      |       |                          |                            |       |       |                        |                           |      |       |                         |                         |       |
| <b>Type d'Éléments Finis</b> | TUYA   |                            |                      |                    |                      |       |                          |                            |       |       |                        |                           |      |       |                         |                         |       |
| <b>Référence</b>             | Résultats Essais CEA Casarache<br>Comparaison avec le code TRICO<br>TUYAU ENCASTRE AVEC CHARGEMENT THERMIQUE   |                            |                      |                    |                      |       |                          |                            |       |       |                        |                           |      |       |                         |                         |       |
| <b>Description</b>           | Ce test représente un tuyau constitué de 7 portions droites et 6 portions circulaires.<br>Il est encastré de part et d'autre et subit un chargement thermique d'élévation de température de 400°C.   |                            |                      |                    |                      |       |                          |                            |       |       |                        |                           |      |       |                         |                         |       |
| <b>Objectif</b>              | Mesurer 3 déplacements en trois points de l'assemblage :<br>$U_Y$ au point P6 (2,480 -1,460 0)<br>$U_X$ au point P7 (2,785 -1,460 0,305)<br>$U_Z$ au point P9 (2,785 -1,155 1,460)   |                            |                      |                    |                      |       |                          |                            |       |       |                        |                           |      |       |                         |                         |       |
|                              | <table border="1"> <thead> <tr> <th></th><th><b>Référence</b></th><th><b>Cast3M 2016</b></th><th><b>Ecart Relatif</b></th></tr> </thead> <tbody> <tr> <td><math>U_Y</math></td><td><math>-1,374 \cdot 10^{-2} m</math></td><td><math>-1,38401 \cdot 10^{-2} m</math></td><td>0,73%</td></tr> <tr> <td><math>U_X</math></td><td><math>1,07 \cdot 10^{-2} m</math></td><td><math>1,03884 \cdot 10^{-2} m</math></td><td>2,9%</td></tr> <tr> <td><math>U_Z</math></td><td><math>1,301 \cdot 10^{-2} m</math></td><td><math>1,297 \cdot 10^{-2} m</math></td><td>0,30%</td></tr> </tbody> </table> |                            | <b>Référence</b>     | <b>Cast3M 2016</b> | <b>Ecart Relatif</b> | $U_Y$ | $-1,374 \cdot 10^{-2} m$ | $-1,38401 \cdot 10^{-2} m$ | 0,73% | $U_X$ | $1,07 \cdot 10^{-2} m$ | $1,03884 \cdot 10^{-2} m$ | 2,9% | $U_Z$ | $1,301 \cdot 10^{-2} m$ | $1,297 \cdot 10^{-2} m$ | 0,30% |
|                              | <b>Référence</b>   | <b>Cast3M 2016</b>         | <b>Ecart Relatif</b> |                    |                      |       |                          |                            |       |       |                        |                           |      |       |                         |                         |       |
| $U_Y$                        | $-1,374 \cdot 10^{-2} m$   | $-1,38401 \cdot 10^{-2} m$ | 0,73%                |                    |                      |       |                          |                            |       |       |                        |                           |      |       |                         |                         |       |
| $U_X$                        | $1,07 \cdot 10^{-2} m$   | $1,03884 \cdot 10^{-2} m$  | 2,9%                 |                    |                      |       |                          |                            |       |       |                        |                           |      |       |                         |                         |       |
| $U_Z$                        | $1,301 \cdot 10^{-2} m$  | $1,297 \cdot 10^{-2} m$    | 0,30%                |                    |                      |       |                          |                            |       |       |                        |                           |      |       |                         |                         |       |
| <b>Version de Cast3M</b>     | Du jour  |                            |                      |                    |                      |       |                          |                            |       |       |                        |                           |      |       |                         |                         |       |
| <b>Plateformes testées</b>   | IBM AiX<br>Linux 32-bits<br>Linux 64-bits<br>Windows 32-bits<br>Windows 64-bits<br>MAC OSX 64-bits   |                            |                      |                    |                      |       |                          |                            |       |       |                        |                           |      |       |                         |                         |       |

Tableau 89 : Informations sur le cas test lyre3.dgibi

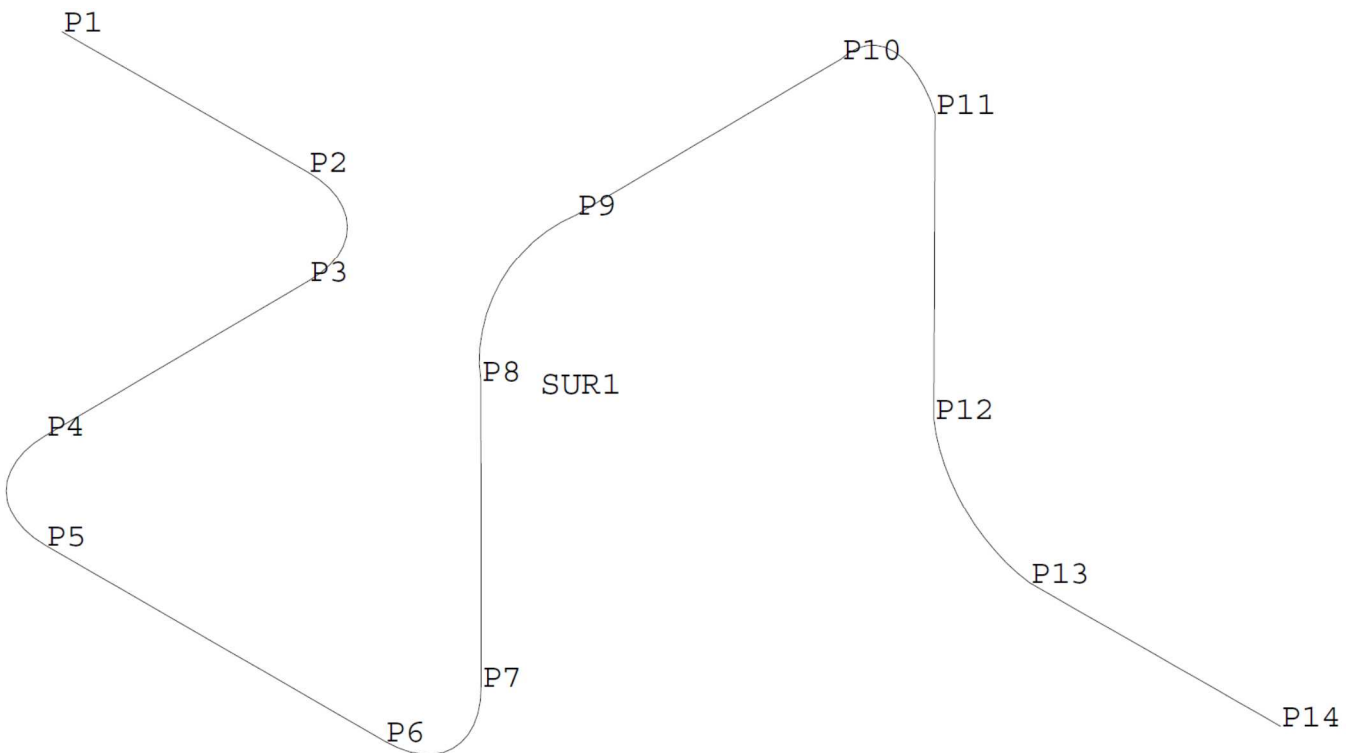


Figure 157 : Maillage du cas-test lyre3.dgibi

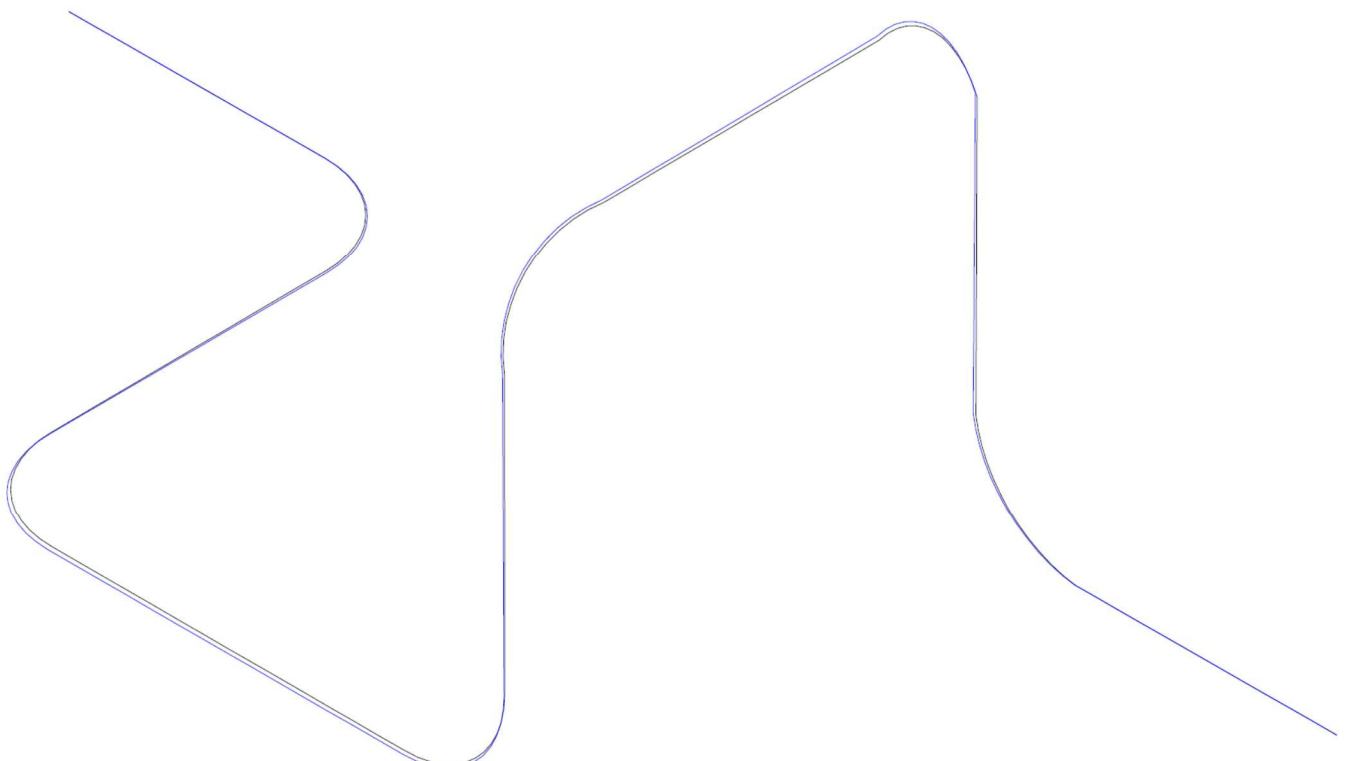


Figure 158 : Tracé du maillage initial (noir) et du maillage déformé (bleu, x1)

**Jeu de données :**

```

* fichier : lyre3.dgibi
*****
* Section : Thermique Mecanique
*****
* CAS TEST DU 91/06/13      PROVENANCE : TEST
*****
* Test lyre3.dgibi: jeux de données *
* -----
*****
```

\* SI GRAPH = N PAS DE GRAPHIQUE AFFICHE  
\* SINON SI GRAPH DIFFERENT DE N TOUS  
\* LES GRAPHIQUES SONT AFFICHES

GRAPH = 'N' ;

SAUT PAGE;  
SI (NEG GRAPH 'N') ;  
OPTI ECHO 1 ;  
OPTI TRAC PSC ;  
SINO ;  
OPTI ECHO 0 ;  
FINSI ;

SAUT PAGE;

\*\*\*\*\*
\* LYRE-VICTUS 3
\* ESSAI ELEMENT TUYAU (DROIT ET COUDE)
\* description :
\* -----
\* Test en statique lineaire, chargement
\* thermique.
\* La structure est constituee d'elements
\* TUYAU :
\* - 7 portions de tuyau droit,
\* - 6 portions de tuyau coude.
\* Proprietes du materiaux :
\* - Module d'Young : YOUN = 2.e11
\* - Coefficient de Poisson : NU = 0.3
\* - Dilatabilite thermique : ALPH = 18.e-6
\* Conditions aux limites :
\* Encastrement aux extremites
\* (P1 et P14)
\* Charge :
\* Chargement thermique : Elevation de
\* temperature de 400 degres Celcius.
\* Le poids propre est neglige.
\* Test corrig, le 10/09/92
\*\*\*\*\*

OPTI DIME 3;  
OPTI ELEM SEG2;
\*\*\*\*\*

GEOMETRIE : MAILLAGE
\*\*\*\*\*

OEIL = 100 -100 100;

P1 = 0. 0. 0.;  
P2 = 0.79 0. 0.;  
P3 = 1.095 -0.305 0.;  
P4 = 1.095 -1.155 0.;  
P5 = 1.400 -1.460 0.;  
P6 = 2.480 -1.460 0.;  
P7 = 2.785 -1.460 .305;  
P8 = 2.785 -1.460 1.155;  
P9 = 2.785 -1.155 1.460;  
P10 = 2.785 -.305 1.460;  
P11 = 2.785 0. 1.155;  
P12 = 2.785 0. 0.305;  
P13 = 3.090 0. 0.;  
P14 = 3.880 0. 0.;

T = TABL;  
T.1 = P1 DROI 10 P2;  
T.2 = P3 DROI 11 P4;  
T.3 = P5 DROI 14 P6;  
T.4 = P7 DROI 11 P8;  
T.5 = P9 DROI 11 P10;  
T.6 = P11 DROI 11 P12;  
T.7 = P13 DROI 12 P14;

C = TABL;  
C1 = 0.79 -0.305 0.;  
C2 = 1.4 -1.155 0.;  
C3 = 2.48 -1.460 0.305;  
C4 = 2.885 -1.155 1.155;

C5 = 2.885 -0.305 1.155;  
C6 = 3.190 0.0 0.305;

C.1 = P2 CERC 12 C1 P3;  
C.2 = P4 CERC 12 C2 P5;  
C.3 = P6 CERC 12 C3 P7;  
C.4 = P8 CERC 12 C4 P9;  
C.5 = P10 CERC 12 C5 P11;  
C.6 = P12 CERC 12 C6 P13;

SUR1 = T.7;  
I = 0;  
REPETER BLOC1 6;  
I = I + 1;  
SUR1 = SUR1 ET T.I ET C.I;  
FIN BLOC1;

SI (NEG GRAPH 'N');  
TITR 'LYRE3 : MAILLAGE';  
TRAC OEIL 'QUAL' SUR1;  
FINSI;

\*\*\*\*\*
\* CALCUL DE LA RIGIDITE
\*\*\*\*\*
VECT1 = TABL;

VECT1.1 = ( 0. 0. -1.);  
VECT1.2 = ( 0. 0. 1.);  
VECT1.3 = ( 0. -1. 0.);  
VECT1.4 = (-1. 0. 0.);  
VECT1.5 = (-1. 0. 0.);  
VECT1.6 = ( 0. -1. 0.);

MODL1 = MODE T.7 MECANIQUE ELASTIQUE  
ISOTROPE TUYA;  
MATR1 = MATE MODL1 YOUN 2.e11 NU 0.3  
ALPH 18.E-6  
EPAI 8.18E-3  
RAYON 109.59E-3;  
RIGI1 = RIGI MODL1 MATR1;

I = 0;  
REPETER BLOC2 6;  
I = I + 1;

MODL2 = MODE T.I MECANIQUE ELASTIQUE  
ISOTROPE TUYA;  
MATR2 = MATE MODL2 YOUN 2.e11 NU 0.3  
ALPH 18.E-6  
EPAI 8.18E-3  
RAYON 109.59E-3;  
RIGI2 = RIGI MODL2 MATR2;

MODL3 = MODE C.I MECANIQUE ELASTIQUE  
ISOTROPE TUYA;  
MATR3 = MATE MODL3 YOUN 2.e11 NU 0.3  
ALPH 18.E-6  
EPAI 8.18E-3  
RAYON 109.59E-3  
RACO 305.E-3 VECT VECT1.I;  
RIGI3 = RIGI MODL3 MATR3;

MODL1 = MODL1 ET MODL2 ET MODL3;  
MATR1 = MATR1 ET MATR2 ET MATR3;  
RIGI1 = RIGI1 ET RIGI2 ET RIGI3;

FIN BLOC2;

\*\*\*\*\*
\* RESOLUTION : CALCUL ELASTIQUE
\*\*\*\*\*
\* Conditions aux limites
CL1 = BLOQ DEPL ROTA P1;  
CL2 = BLOQ DEPL ROTA P14;  
RIGI1 = RIGI1 ET CL1 ET CL2;

\* Chargement thermique
CHPOTEMP = MANU CHPO SUR1 1 'T' 400.;  
SIGM1 = THET MODL1 MATR1 CHPOTEMP;  
CHAR1 = BSIG MODL1 SIGM1 MATR1;

\* Resolution
DEPL1 = RESO RIGI1 CHAR1;

\* Trace
SI (NEG GRAPH 'N');

TITR 'LYRE3 : DEFORMEE';
DEFO = DEFO SUR1 DEPL1 0. NOIR;  
DEF1 = DEFO SUR1 DEPL1 1. BLEU;  
TRAC OEIL (DEFO ET DEF1);  
FINSI;

\*\*\*\*\*

```

*           extraction des resultats      *
*+*****+
V1P6 = -1.374E-2;
V2P6 = EXTR DEPL1 UY P6;
ERG1 = 100. * (ABS ((V1P6 - V2P6) / V1P6));

U1P7 = 1.070E-2;
U2P7 = EXTR DEPL1 UX P7;
ERG2 = 100. * (ABS ((U1P7 - U2P7) / U1P7));

W1P9 = 1.301E-2;
W2P9 = EXTR DEPL1 UZ P9;
ERG3 = 100. * (ABS ((W1P9 - W2P9) / W1P9));

*+*****+
*           affichage des resultats      *
*+*****+
MESS 'RESULTATS : TEST LYRE VICTUS 3 ';
MESS '-----';
SAUT LIGN;

MESS '   Deplacement v (m) du point P6 ';
MESS '   -----';
MESS '   Valeur theorique : ' V1P6 'm';
MESS '   Valeur calculee : ' V2P6 'm';
MESS '   Ecart : ' ERG1 '%';
SAUT LIGN;

MESS '   Deplacement u (m) du point P7 ';
MESS '   -----';
MESS '   Valeur theorique : ' U1P7 'm';
MESS '   Valeur calculee : ' U2P7 'm';
MESS '   Ecart : ' ERG2 '%';
SAUT LIGN;

MESS '   Deplacement w (m) du point P9 ';
MESS '   -----';
MESS '   Valeur theorique : ' W1P9 'm';
MESS '   Valeur calculee : ' W2P9 'm';
MESS '   Ecart : ' ERG3 '%';
SAUT LIGN;

*+*****+
*           Code de fonctionnement      *
*+*****+
ERGMAX = MAXI (PROG ERG1 ERG2 ERG3);

SI (ERGMAX < EG 3.);
  ERRE 0;
SINON;
  ERRE 5;
FINSI;
SAUT LIGN

TEMPS;

FIN;

```

## 7.2 THERMO-PLASTICITÉ

### 7.2.1 thpl1.dgibi

| <b>Nom du fichier</b>        | thpl1.dgibi  |                           |                        |  |  |                  |                    |                      |                  |         |            |                        |                  |                          |                           |                        |
|------------------------------|--|---------------------------|------------------------|--|--|------------------|--------------------|----------------------|------------------|---------|------------|------------------------|------------------|--------------------------|---------------------------|------------------------|
| <b>Type de calcul</b>        | Thermo-Plastique<br>2D-axisymétrique   |                           |                        |  |  |                  |                    |                      |                  |         |            |                        |                  |                          |                           |                        |
| <b>Type d'Éléments Finis</b> | QUA4   |                           |                        |  |  |                  |                    |                      |                  |         |            |                        |                  |                          |                           |                        |
| <b>Référence</b>             | Test VPVS<br>Numéro SSNA 01/90<br><br>BARREAU CYLINDRIQUE CHAUFFÉ  |                           |                        |  |  |                  |                    |                      |                  |         |            |                        |                  |                          |                           |                        |
| <b>Description</b>           | <p>Un barreau cylindrique de 100mm de hauteur et de 20mm de diamètre est bloqué axialement à ses deux extrémités.</p> <p>Il est soumis à un champ constant de température de 500°C</p>   |                           |                        |  |  |                  |                    |                      |                  |         |            |                        |                  |                          |                           |                        |
| <b>Objectif</b>              | <p>calculer la contrainte axiale et la déformation plastique axiale au point PA (0 0)</p> <table border="1" style="width: 100%; border-collapse: collapse;"> <thead> <tr> <th></th> <th><b>Référence</b></th> <th><b>Cast3M 2016</b></th> <th><b>Ecart Relatif</b></th> </tr> </thead> <tbody> <tr> <td>SM<sub>zz</sub></td> <td>-309MPa</td> <td>-308,91MPa</td> <td>2,9.10<sup>-2</sup>%</td> </tr> <tr> <td>EP<sub>zz</sub></td> <td>-308,91.10<sup>-3</sup></td> <td>-4,45545.10<sup>-3</sup></td> <td>1,0.10<sup>-2</sup>%</td> </tr> </tbody> </table> |                           |                        |  |  | <b>Référence</b> | <b>Cast3M 2016</b> | <b>Ecart Relatif</b> | SM <sub>zz</sub> | -309MPa | -308,91MPa | 2,9.10 <sup>-2</sup> % | EP <sub>zz</sub> | -308,91.10 <sup>-3</sup> | -4,45545.10 <sup>-3</sup> | 1,0.10 <sup>-2</sup> % |
|                              | <b>Référence</b>   | <b>Cast3M 2016</b>        | <b>Ecart Relatif</b>   |  |  |                  |                    |                      |                  |         |            |                        |                  |                          |                           |                        |
| SM <sub>zz</sub>             | -309MPa  | -308,91MPa                | 2,9.10 <sup>-2</sup> % |  |  |                  |                    |                      |                  |         |            |                        |                  |                          |                           |                        |
| EP <sub>zz</sub>             | -308,91.10 <sup>-3</sup>   | -4,45545.10 <sup>-3</sup> | 1,0.10 <sup>-2</sup> % |  |  |                  |                    |                      |                  |         |            |                        |                  |                          |                           |                        |
| <b>Version de Cast3M</b>     | Du jour  |                           |                        |  |  |                  |                    |                      |                  |         |            |                        |                  |                          |                           |                        |
| <b>Plateformes testées</b>   | IBM AiX<br>Linux 32-bits<br>Linux 64-bits<br>Windows 32-bits<br>Windows 64-bits<br>MAC OSX 64-bits   |                           |                        |  |  |                  |                    |                      |                  |         |            |                        |                  |                          |                           |                        |

Tableau 90 : Informations sur le cas test thpl1.dgibi

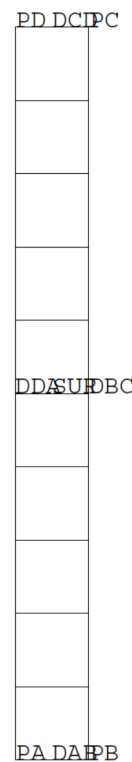


Figure 159 : Maillage du cas-test thpl1.dgibi

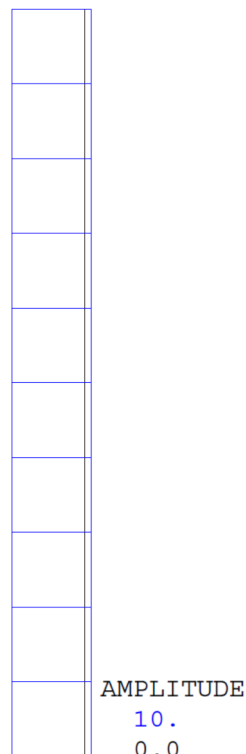


Figure 160 : Tracé du maillage initial (noir) et du maillage déformé (bleu, x10)

T(C)=36.893°C

**Jeu de données :**

```

*fichier : thpl1.dgibi
*****
* Section : Mecanique Plastique
*****
* Test Thpl1.dgibi: Jeux de donnees *
* -----
* -----
* CAS TEST DU 92/03/20 PROVENANCE : TCI
*****



* SI GRAPH = N PAS DE GRAPHIQUE AFFICHE
* SINON SI GRAPH DIFFERENT DE N TOUS
* LES GRAPHIQUES SONT AFFICHES

GRAPH = 'N' ;

SAUT PAGE;
SI (NEG GRAPH 'N') ;
OPTI ECHO 1 ;
OPTI TRAC PSC ;
SINO ;
OPTI ECHO 0 ;
FINSI ;

SAUT PAGE;

***** THPL1 *****
* BARREAU CYLINDRIQUE SOUMIS A UN CHAMPS *
* DE TEMPERATURE
*
* Test de la Commission V.P.C.S.
* Groupe Thermo-plasticite Statique
* non-lineaire
* Test numero SSNA01/90
*
* Un barreau cylindrique de 100 mm
* de hauteur et de 20 mm de diametre
* est bloque axialement a ces deux
* extremites. Il est soumis a un champ
* constant de temperature, de 500°C.
*
* On traite le probleme en mode
* axisymetrique avec la procedure
* PASAPAS car le materiau est plastique
*
* On se propose de calculer
* - la contrainte axiale
* - la deformation plastique axiale
*****



OPTION DIME 2;
OPTION MODE AXIS ELEM QUA4;

***** geometrie : maillage *****
* Dimensions en millimetres.
RA = 0.0 ; ZA = 0. ; PA = RA ZA ;
RB = 10. ; ZB = 0. ; PB = RB ZB ;
RC = 10. ; ZC = 100.0 ; PC = RC ZC ;
RD = 0.0 ; ZD = 100.0 ; PD = RD ZD ;

DAB = DROI 1 PA PB;
DBC = DROI 10 PB PC;
DCD = DROI 1 PC PD;
DDA = DROI 10 PD PA;

SUR = DALL DAB DBC DCD DDA PLAN;

ELIM SUR 0.001;

SI (NEG GRAPH 'N');
TITR 'THPL1 : MAILLAGE';
TRAC QUAL SUR;
FINSI;

ELSUR = NBEL SUR;
NOSUR = NBNO SUR;

***** conditions aux limites *****
CL1 = BLOQ UZ DAB ;
CL2 = BLOQ UZ DCD ;
CL = CL1 ET CL2 ;

***** MODE - materiau *****

```

```

MOD = MODE SUR MECANIQUE ELASTIQUE
PLASTIQUE CINEMATIQUE QUA4;

MAT = MATE MOD YOUN 200E3 NU 0.3 SIGY 300
H 2000 ALPH 1.2E-5;

*=====
* champs relatifs a la procedure PASAPAS *
*=====
* Liste des pseudo-temps ou l'on desire des
* resultats

t0 = 0. ;
t1 = 1. ;
LISTE = PROG T0 T1 ;

* Champs-point de temperature aux instants
* t0 et t1.
TEMP = TABL;
TEMP . 0 = t0;
TEMP . 1 = t1;

TEMPER = TABL;
TEMPER . 0 = MANU CHPO SUR 1 T 0. . ;
TEMPER . 1 = MANU CHPO SUR 1 T 500. ;
CHA2 = CHAR 'T' TEMP TEMPER;

* Chargement mecanique de la structure:
* chargement nul.
LFORCE= PROG 0. 0. ;
FOR = FORCE FR 1000. PC;
EVOLL = EVOL MANU TEMPS LISTE FORCE LFORCE;
CHA1 = CHAR 'MECA' FOR EVOLL;

* parametres pour la procedure PASAPAS
TABDEF = TABL;
TABDEF .'DEFTO' = VRAI;
TABDEF .'DEFIN' = VRAI;

TAB1 = TABL ;
TAB1.'CHARGEMENT' =(CHA1 ET CHA2);
TAB1.'MODELE' = MOD ;
TAB1.'CARACTERISTIQUES' = MAT ;
TAB1.'BLOCAGES_MECANIQUES' = CL ;
TAB1.'TEMPS_CALCULES' = LISTE ;
TAB1.'TEMPS_SAUVES' = LISTE ;
tab1.'MES_SAUVAGEARDES' = TABDEF;

* procedure PASAPAS
PASAPAS TAB1;

*=====
* extractions des resultats
*=====
* Contraintes
nn = 1;
CHELL = TAB1. 'CONTRAINTE'.nn;

CHAM2 = CHAN NOEUD MOD CHELL;
CHPO1 = CHAN CHPO MOD CHAM2;

* Extraction du la contrainte SMZZ
SMZZ1 = EXTR CHPO1 SMZZ PA;
SMZZ2 = -309.0 ;

* Deformations plastiques
CHELL0 = TAB1.
'DEFORMATIONS_INELASTIQUES' .nn;

* Interpolations aux noeuds du maillage
* Utilisation des nouveaux chameleons.
CHAM20 = CHAN NOEUD MOD CHELL0;
CHPO10 = CHAN CHPO MOD CHAM20;

* Extraction de la deformation plastique
* EPZZ
EPZZ1 = EXTR CHPO10 EIZZ PA;
EPZZ2 = -.4455E-2 ;

*=====
* affichage des resultats
*=====
SAUT 1 LIGN ;
MESS ' RESULTATS ' ;
MESS ' ----- ' ;
SAUT 1 LIGN ;

MESS ' 1) Contraintes ' ;
MESS ' ----- ' ;
SAUT 1 LIGN ;

MESS ' Contrainte theorique smzz:' SMZZ2 'Mpa' ;
MESS ' Contrainte calculee smzz : ' SMZZ1 'Mpa' ;


```

## GUIDE DE VALIDATION

```

ERG1 = (ABS((SMZZ2-SMZZ1)/SMZZ2)) * 100. ;
MESS ' Soit un ecart de :' ERG1 '%';
SAUT 1 LIGN;
MESS ' 2) Deformations plastiques ';
MESS ' ----- ';
SAUT 1 LIGN;

MESS ' Deformation plastique theorique:' EPZZ2;
MESS ' Deformation plastique calculee :' EPZZ1;
ERG2 = (ABS((EPZZ2-EPZZ1)/EPZZ2)) * 100. ;
MESS ' Soit un ecart de :' ERG2 '%';

SAUT 1 LIGN;
MESS ' Maillage ';
MESS ' ----- ';
MESS ' Nombre de noeuds : ' NOSUR;
MESS ' Nombre d elements (qua4): ' ELSUR;
SAUT 1 LIGN;

SI (NEG GRAPH 'N');
DEPL1 = TAB1. 'DEPLACEMENTS' . nn;
DEF0 = DEFO SUR DEPL1 0.;
DEF1 = DEFO SUR DEPL1 10. BLEU;
TITR 'THPL1 : DEFORMEE';
TRAC (DEF0 ET DEF1);
FINSI;

*=====
*      code fonctionnement et fin
*=====
* Maximum des erreurs relatives
ERGMAX = MAXI (PROG ERG1 ERG2);

* Il y a erreur si un des pourcentage erg*
* est superieur à 5%.

SI (ERGMAX < EG 0.03);
    ERRE 0 ;
SINON;
    ERRE 5 ;
FINSI;

SAUT 1 LIGN;
TEMPS ;
SAUT 1 LIGN;

FIN;

```

## 7.2.2 thpl2.dgibi

| <b>Nom du fichier</b>        | thpl2.dgibi  |                    |                      |                    |                      |           |           |           |       |           |           |           |       |           |                  |                  |                 |           |                  |                  |                 |
|------------------------------|--|--------------------|----------------------|--------------------|----------------------|-----------|-----------|-----------|-------|-----------|-----------|-----------|-------|-----------|------------------|------------------|-----------------|-----------|------------------|------------------|-----------------|
| <b>Type de calcul</b>        | Thermo-Plastique<br>2D<br>Contraintes Planes   |                    |                      |                    |                      |           |           |           |       |           |           |           |       |           |                  |                  |                 |           |                  |                  |                 |
| <b>Type d'Éléments Finis</b> | QUA4   |                    |                      |                    |                      |           |           |           |       |           |           |           |       |           |                  |                  |                 |           |                  |                  |                 |
| <b>Référence</b>             | Test VPVS<br>Groupe thermo - plasticité / statique non-linéaire<br>PLAQUE ENCASTREE CHAUFFEE   |                    |                      |                    |                      |           |           |           |       |           |           |           |       |           |                  |                  |                 |           |                  |                  |                 |
| <b>Description</b>           | Une plaque carrée de 10cm de côté est encastrée. Elle est soumise à un champ constant de température de 500°C.   |                    |                      |                    |                      |           |           |           |       |           |           |           |       |           |                  |                  |                 |           |                  |                  |                 |
| <b>Objectif</b>              | <p>Calculer les contraintes <math>SM_{xx}</math> et <math>SM_{yy}</math> ainsi que les déformations plastiques <math>EP_{xx}</math> et <math>EP_{yy}</math> au point PA (0 0)</p> <table border="1"> <thead> <tr> <th></th> <th><b>Référence</b></th> <th><b>Cast3M 2016</b></th> <th><b>Ecart Relatif</b></th> </tr> </thead> <tbody> <tr> <td><math>SM_{xx}</math></td> <td>-125,9MPa</td> <td>-125,6MPa</td> <td>0,24%</td> </tr> <tr> <td><math>SM_{yy}</math></td> <td>-125,9MPa</td> <td>-125,6MPa</td> <td>0,24%</td> </tr> <tr> <td><math>EP_{xx}</math></td> <td><math>-6,399.10^{-3}</math></td> <td><math>-6,401.10^{-3}</math></td> <td><math>2,5.10^{-2}\%</math></td> </tr> <tr> <td><math>EP_{yy}</math></td> <td><math>-6,399.10^{-3}</math></td> <td><math>-6,401.10^{-3}</math></td> <td><math>2,5.10^{-2}\%</math></td> </tr> </tbody> </table> |                    | <b>Référence</b>     | <b>Cast3M 2016</b> | <b>Ecart Relatif</b> | $SM_{xx}$ | -125,9MPa | -125,6MPa | 0,24% | $SM_{yy}$ | -125,9MPa | -125,6MPa | 0,24% | $EP_{xx}$ | $-6,399.10^{-3}$ | $-6,401.10^{-3}$ | $2,5.10^{-2}\%$ | $EP_{yy}$ | $-6,399.10^{-3}$ | $-6,401.10^{-3}$ | $2,5.10^{-2}\%$ |
|                              | <b>Référence</b>   | <b>Cast3M 2016</b> | <b>Ecart Relatif</b> |                    |                      |           |           |           |       |           |           |           |       |           |                  |                  |                 |           |                  |                  |                 |
| $SM_{xx}$                    | -125,9MPa  | -125,6MPa          | 0,24%                |                    |                      |           |           |           |       |           |           |           |       |           |                  |                  |                 |           |                  |                  |                 |
| $SM_{yy}$                    | -125,9MPa  | -125,6MPa          | 0,24%                |                    |                      |           |           |           |       |           |           |           |       |           |                  |                  |                 |           |                  |                  |                 |
| $EP_{xx}$                    | $-6,399.10^{-3}$   | $-6,401.10^{-3}$   | $2,5.10^{-2}\%$      |                    |                      |           |           |           |       |           |           |           |       |           |                  |                  |                 |           |                  |                  |                 |
| $EP_{yy}$                    | $-6,399.10^{-3}$   | $-6,401.10^{-3}$   | $2,5.10^{-2}\%$      |                    |                      |           |           |           |       |           |           |           |       |           |                  |                  |                 |           |                  |                  |                 |
| <b>Version de Cast3M</b>     | Du jour  |                    |                      |                    |                      |           |           |           |       |           |           |           |       |           |                  |                  |                 |           |                  |                  |                 |
| <b>Plateformes testées</b>   | IBM AiX<br>Linux 32-bits<br>Linux 64-bits<br>Windows 32-bits<br>Windows 64-bits<br>MAC OSX 64-bits   |                    |                      |                    |                      |           |           |           |       |           |           |           |       |           |                  |                  |                 |           |                  |                  |                 |

Tableau 91 : Informations sur le cas test thpl2.dgibi

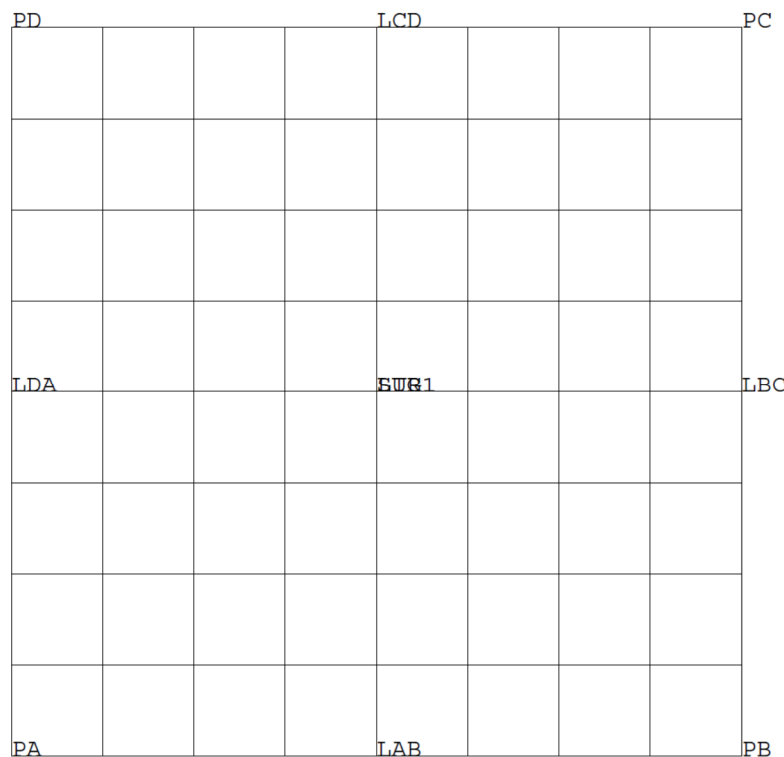


Figure 161 : Maillage du cas-test thpl2.dgibi

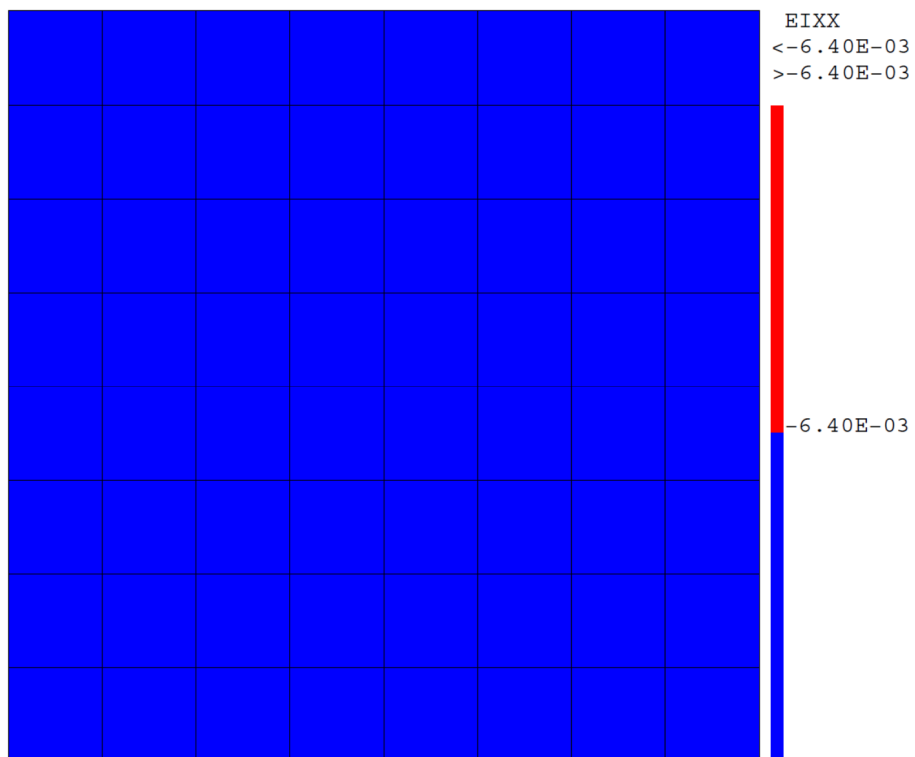


Figure 162 : Tracé de la déformation plastique  $EP_{xx}$

**Jeu de données :**

```

* fichier : thpl2.dgibi
*****
* Section : Mecanique Plastique
*****
* CAS TEST DU 91/06/13 PROVENANCE : TEST

*****
* SI GRAPH = N PAS DE GRAPHIQUE AFFICHE
* SINON SI GRAPH DIFFERENT DE N TOUS
* LES GRAPHIQUES SONT AFFICHES

GRAPH = 'N' ;

SAUT PAGE;
SI (NEG GRAPH 'N') ;
OPTI ECHO 1 ;
OPTI TRAC PSC ;
SINO ;
OPTI ECHO 0 ;
FINSI ;

SAUT PAGE;

*****
*          THPL2      *
*          *
* PLAQUE CARREE ENCASTREE SOUMIS A UN      *
*          CHAMPS DE TEMPERATURE      *
*          *
* Test de la commission V.P.C.S.      *
* Groupe Thermo-plasticite      *
* Statique non lineaire      *
*          *
* Une plaque carree de 10 cm de cote est      *
* encastree et soumise a un champs      *
* constant de temperature de 500 degres      *
* celsius.      *
*          *
* On se propose de calculer      *
* - contraintes smxx et smyy,      *
* - deformations plastiques epxx et epyy*
*          *
* Les valeurs trouvees sont ensuite      *
* comparees aux valeurs de reference      *
* obtenues analytiquement      *
*****
```

OPTION DIMP 2 ;  
OPTION MODE PLAN CONT;  
OPTION ELEM QUA4;

```

*****
*      geometrie : maillage      *
*****
```

\* Dimensions en metres  
CO = 0.01;

PA = 0. 0.;  
PB = CO 0.;  
PC = CO CO;  
PD = 0. CO;

LAB = PA DROIT 8 PB;  
LBC = PB DROIT 8 PC;  
LCD = PC DROIT 8 PD;  
LDA = PD DROIT 8 PA;

LIG = LAB ET LBC ET LCD ET LDA;

SURL1 = DALL LAB LBC LCD LDA PLAN;

SI(NEG GRAPH 'N');
TITR 'THPL2 : MAILLAGE';
TRACE 'QUAL' SURL1;
FINSI;

```

*****
*      conditions aux limites      *
*****
```

CL = BLOQUE LIG DEPL ROTA;

```

*****
*      MODE - materiau      *
*****
```

MO = MODE SURL1 MECANIQUE ELASTIQUE  
PLASTIQUE CINEMATIQUE QUA4;  
MAT = MATE MO YOUNG 163750.0E6 NU 0.3  
ALPHA 13.875E-6 SIGY 100E6  
H 2000E6;

```

*****
*      champs relatifs a la procedure PASAPAS *
*****
* Liste des pseudo-temps ou l'on desire des
* resultats.
T0 = 0. ;
T1 = 1. ;
LIS1 = PROG T0 T1;

* Champs points de temperature.
TEMP = TABL;
TEMP . 0 = T0;
TEMP . 1 = T1;

TEMPER = TABL;
TEMPER . 0 = MANU CHPO SURL1 1 T 0. ;
TEMPER . 1 = MANU CHPO SURL1 1 T 500. ;
CHA2 = CHAR 'T' TEMP TEMPER;

* Chargement mecanique : chargement nul.
LFORCE = PROG 0. 0. ;
FOR1 = FORCE FY 1. PA;
CHPOL1 = RESU FOR1;
EVOL1 = EVOL MANU TEMPS LIS1 FORCE LFORCE;
CHA1 = CHAR 'MECA' CHPOL1 EVOL1;

* Parametres pour la procedure PASAPAS
TABDEF = TABL;
TABDEF .'DEFTO' = VRAI;
TABDEF .'DEFIN' = VRAI;

TAB1 = TABL ;
TAB1.'CHARGEMENT' = (CHA1 ET CHA2);
TAB1.'MODELE' = MO ;
TAB1.'CARACTERISTIQUES' = MAT ;
TAB1.'BLOCAGES_MECANIQUES' = CL ;
TAB1.'TEMPS_CALCULES' = LIS1 ;
TAB1.'TEMPS_SAUVES' = LIS1 ;
tab1.'MES_SAUVAGEARDES' = TABDEF;

* procedure PASAPAS
PASAPAS TAB1;

*****
*      Extraction des resultats      *
*****
```

\* Contraintes  
NN = 1;  
CHELI = TAB1.CONTRAINTE.NN;

\* Interpolations aux noeuds :  
CHAM2 = CHAN NOEUD MO CHELI;  
CHPO1 = CHAN CHPO MO CHAM2;

\* Extractions des contraintes smxx et smyy  
SMXX1 = EXTR CHPO1 SMXX1 PA;  
SMYY1 = EXTR CHPO1 SMYY1 PA;  
SMXX1 = SMXX1 / 1.E6;  
SMYY1 = SMYY1 / 1.E6;

SMXX2 = -125.9;  
SMYY2 = -125.9;

\* Calcul de l'erreur commise  
ERGSXX = 100.\*(ABS((SMXX1-SMXX2)/ SMXX2 ));  
ERGSYY = 100.\*(ABS((SMYY1-SMYY2)/ SMYY2 ));

\* Deformations plastiques.  
CHEL10 = TAB1.DEFORMATIONS\_INELASTIQUES.NN;

\* Interpolations aux noeuds du maillage  
CHAM20 = CHAN NOEUD MO CHEL10;  
CHPO10 = CHAN CHPO MO CHAM20;

\* Extractions des deformations plastiques  
EPXX1 = EXTR CHPO10 EIXX PA;  
EPYY1 = EXTR CHPO10 EIYY PA;

EPXX2 = -0.6399E-2;  
EPYY2 = -0.6399E-2;

\* Calcul de l'erreur commise  
ERGEXX = 100.\*(ABS((EPXX1-EPXX2)/ EPXX2 ));  
ERGEYY = 100.\*(ABS((EPYY1-EPYY2)/ EPYY2 ));

\* Nombre d'elements et noeuds du maillage  
NOSURL1 = NBNO SURL1 ;  
ELSURL1 = NBEL SURL1 ;

```

*****
*      Affichage des resultats      *
*****
```

MESS ' RESULTATS ' ;
MESS ' ----- ' ;
SAUT 1 LIGN;

```

MESS ' Contraintes interpolees (MPa)';
MESS ' -----
SAUT 1 LIGN;
MESS
' Contrainte theorique smxx :' SMXX2 'MPa';
MESS
' Contrainte calculee smxx :' SMXX1 'MPa';
MESS ' Soit un ecart de :' ERGSXX '%';
SAUT 1 LIGN;

MESS
' Contrainte theorique smyy :' SMYY2 'MPa';
MESS
' Contrainte calculee smyy :' SMYY1 'MPa';
MESS ' Soit un ecart de :' ERGSYY '%';
SAUT 1 LIGN;

MESS 'Deformations plastiques interpolees';
MESS ' -----
SAUT 1 LIGN;

MESS
' Deformation plastique theorique epxx :'
EPXX2;
MESS
' Deformation plastique calculee epxx :'
EPXX1;
MESS ' Soit un ecart de :' ERGEXX '%';
SAUT 1 LIGN;

MESS
' Deformation plastique theorique epyy :'
EPYY2;
MESS
' Deformation plastique calculee epyy :'
EPYY1;
MESS ' Soit un ecart de :' ERGEYY '%';
SAUT 2 LIGN;

MESS ' Maillage ';
MESS ' -----
MESS ' Nombre de noeuds : ' NOSUR1 ;
MESS ' Nombre d elements : ' ELSUR1 ;
SAUT 1 LIGN;

SI (NEG GRAPH 'N');
DEP1 = TAB1. 'DEPLACEMENTS' . NN;
DEF0 = DEFO SUR1 DEP1 0.;
DEF1 = DEFO SUR1 DEP1 10. BLEU;
TITR 'THPL2 : DEFORMEE';
TRAC (DEF0 ET DEF1);

TITR 'THPL2 : Deformation Plastique';
TRAC CHELI10 MO;
FINSI;

*=====
*      Code fonctionnement et fin
*=====
* Maximum des erreurs relatives
ERGMAX = MAXI
      (PROG ERGSXX ERGSYY ERGEXX ERGEYY);

SI (ERGMAX < EG 5.);
  ERRE 0 ;
SINON;
  ERRE 5 ;
FINSI;
SAUT 1 LIGN;
TEMPS ;

FIN;

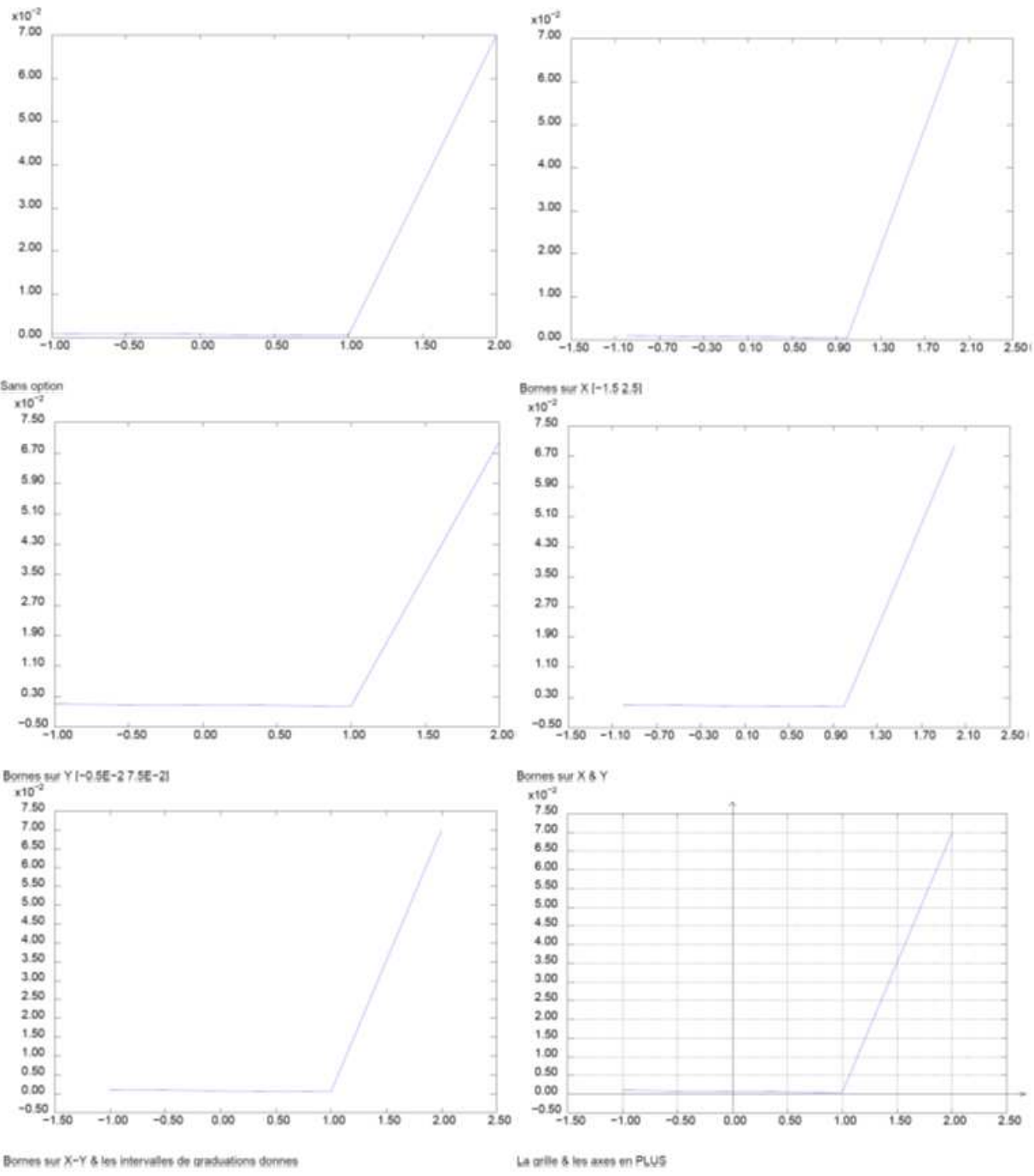
```

## 8. GRAPHISMES

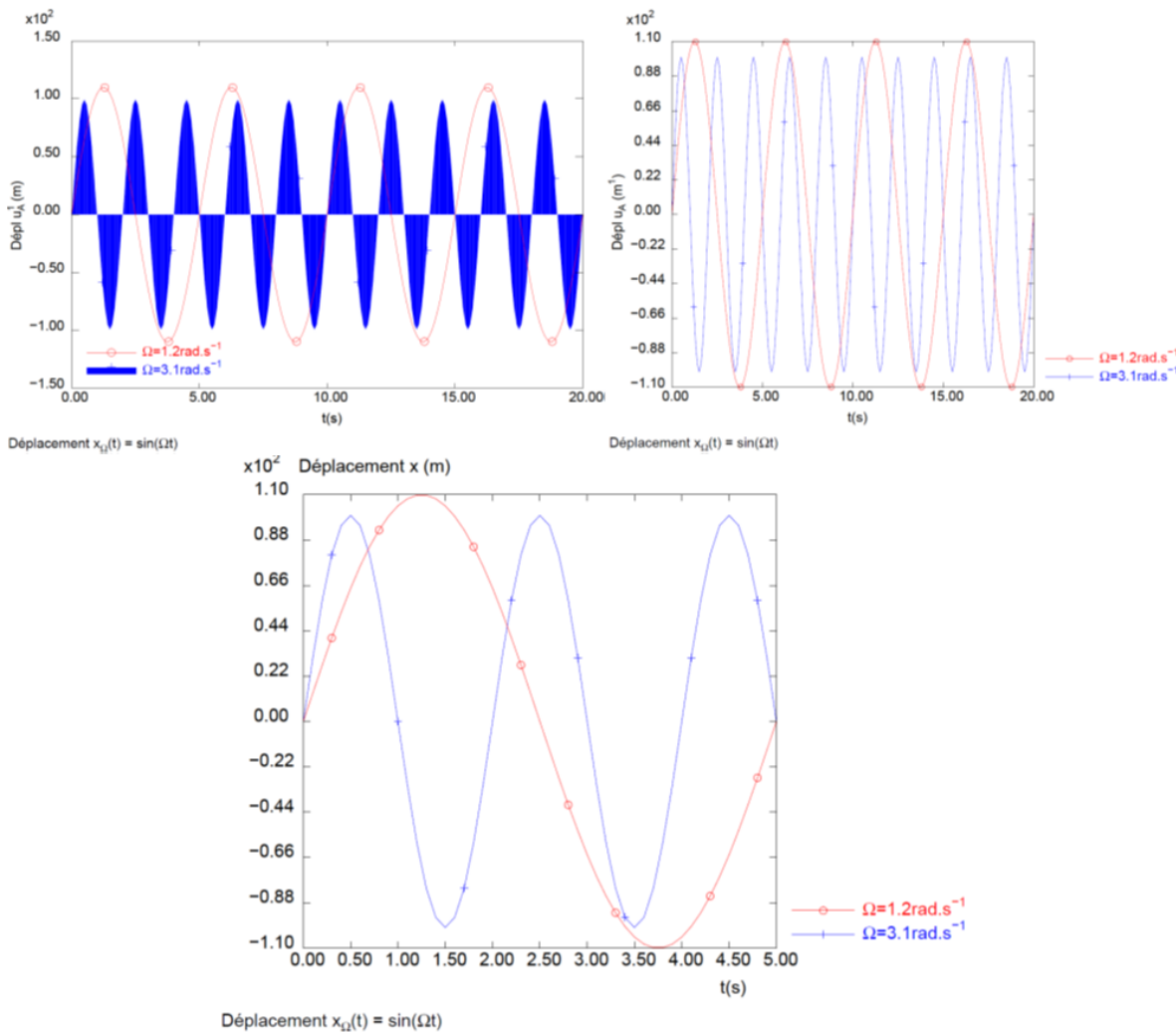
### 8.1.1 dessin.dgibi

|                              |  |
|------------------------------|--|
| <b>Nom du fichier</b>        | dessin.dgibi   |
| <b>Type de calcul</b>        | GRAPHIQUES   |
| <b>Type d'Éléments Finis</b> | Aucun  |
| <b>Référence</b>             | Aucune   |
| <b>Description</b>           | <p>GRAPHIQUES DANS CAST3M</p> <p>Ce cas-test permet de vérifier le bon fonctionnement de la directive DESS dans Cast3M qui permet de réaliser des graphiques avec différentes options</p>  |
| <b>Objectif</b>              | <ul style="list-style-type: none"> <li>- Dessin sans options</li> <li>- Dessin avec fixation indépendante des bornes de l'abscisse et des ordonnées</li> <li>- Dessin avec choix indépendant des graduations de l'abscisse et des ordonnées</li> <li>- Dessin avec repère sous forme de flèches</li> <li>- Dessin avec grille basée sur les abscisses et les ordonnées</li> <li>- Dessin avec échelle logarithmique indépendante de l'abscisse et des ordonnées</li> <li>- Dessin avec titre des axes (Possibilité d'avoir des caractères spéciaux)</li> <li>- Dessin de plusieurs évolutions (Choix des marqueurs des courbes)</li> <li>- Dessin avec légendes de chacune des évolutions (Choix de la position de la légende, caractères spéciaux possibles)</li> <li>- Dessin en Histogramme</li> <li>- Dessin avec remplissage du domaine sous la courbe</li> </ul> |
| <b>Version de Cast3M</b>     | Du jour  |
| <b>Plateformes testées</b>   | IBM AiX<br>Linux 32-bits<br>Linux 64-bits<br>Windows 32-bits<br>Windows 64-bits<br>MAC OSX 64-bits   |

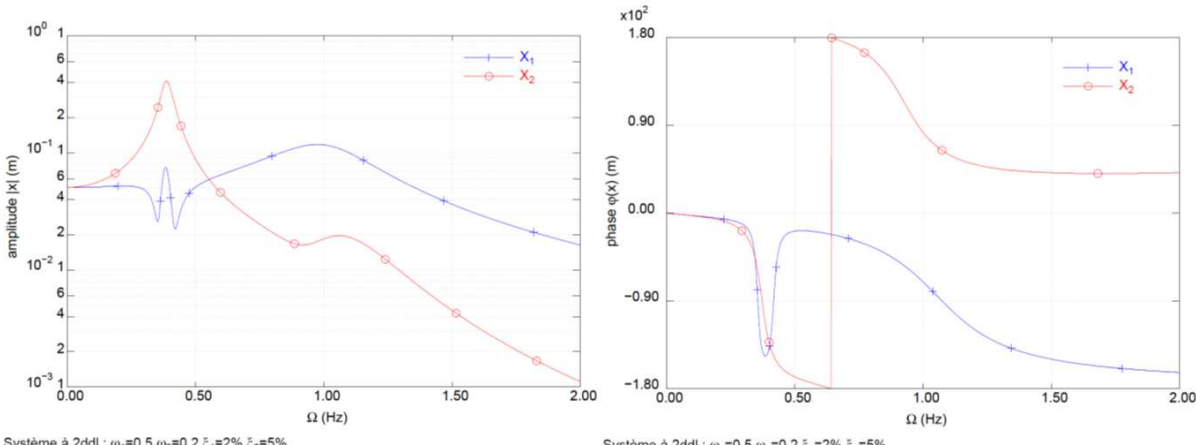
Tableau 92 : Informations sur le cas test dessin.dgibi



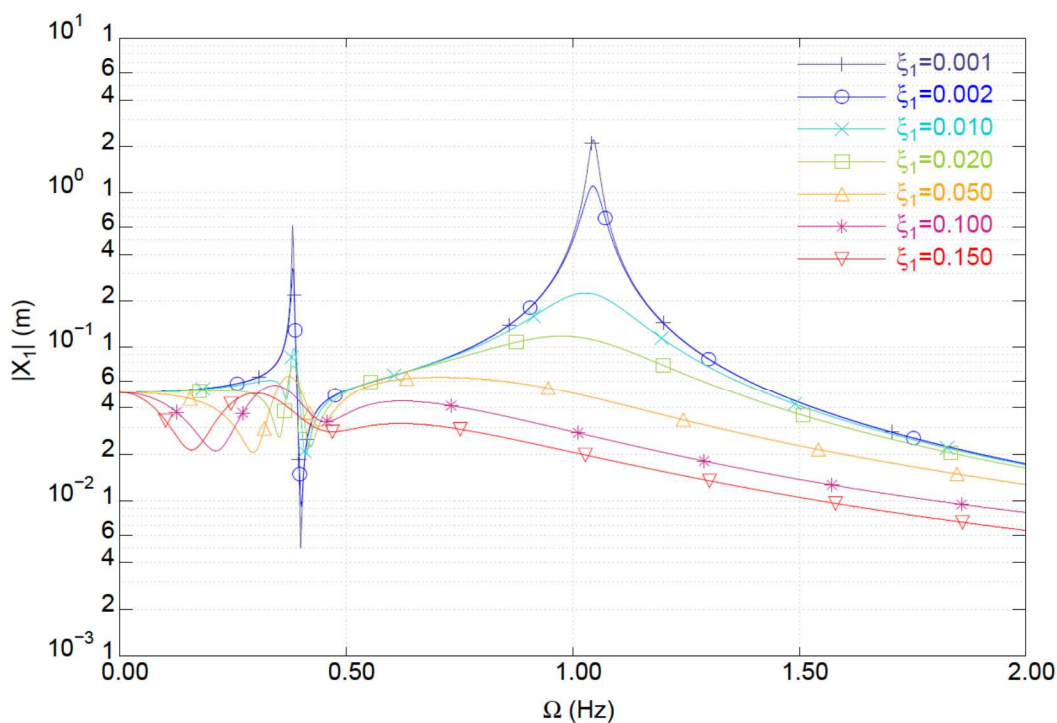
*Figure 163 : Dessin d'une évolution contenant 3 valeurs de couleur bleue.  
Respectivement de haut en bas et de droite à gauche : 1- sans options, 2- bornes suivant X, 3- bornes suivant Y 4- bornes suivant X et Y, 5- bornes suivant X et Y et graduations données, 6- bornes suivant X et Y, graduations imposées, grille et axes tracés*



*Figure 164 : Dessin de 2 évolutions respectivement de couleur rouge et bleue. Différentes configurations sont testées sur les 3 graphiques ci-dessus (Position des légendes et des titres des axes, bornes sur les axes, remplissage de l'aire sous la courbe)*

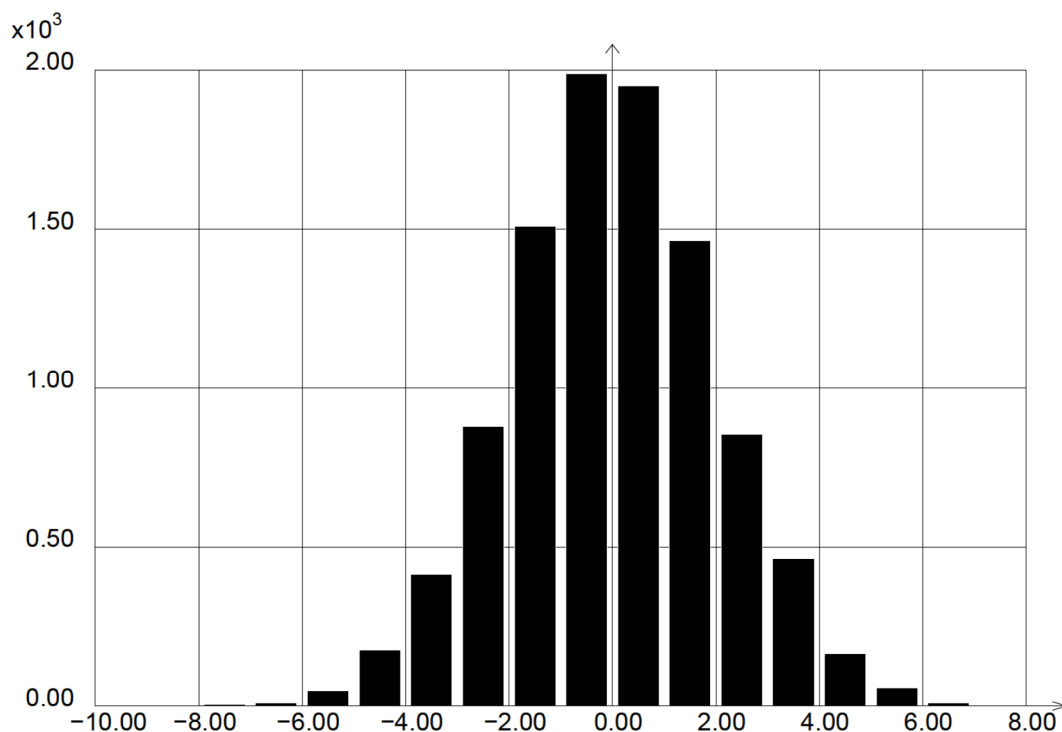


*Figure 165 : Dessin de 2 évolutions respectivement de couleur rouge et bleue. Teste la possibilité de mettre une échelle logarithmique sur les ordonnées*



Evolution avec l'amortissement  $\xi$

*Figure 166 : Dessin de 7 évolutions de couleurs différentes avec des marqueurs différents sur une échelle des logarithmiques des ordonnées.*



*Figure 167 : Dessin d'un histogramme d'une distribution aléatoire gaussienne centrée de moyenne nulle et d'écart-type 2*

**Jeu de données :**

```

* dessin.dgibi
*****
* Section : Langage Objets
*****
*-----*
* cas-test de la directive DESSIN.
*-----*
OPTI 'TRAC' 'PSC' 'EPTR' 5 ;
OPTI 'POTR' 'HELVETICA_16';
* rem : il faudrait aussi tester avec
* OPTI TRAC 'X';
* OPTI TRAC 'OPEN';

*
* ON TESTE D'ABORD LES ECHELLE ET GRADUATIONS ****
*(SP)
EV1      = EVOL 'BLEU' 'MANU' (PROG -1. -0.5 0.5 1. 2.)
          (PROG 1.E-3 0. 0. 5.E-4 7E-2) ;
DESS EV1 'TITR' ' Sans option' ;

DESS EV1 'XBOR' -1.5 2.5
'TITR' ' Bornes sur X [-1.5 2.5] ' ;

DESS EV1 'YBOR' -0.5E-2 7.5E-2
'TITR' ' Bornes sur Y [-0.5E-2 7.5E-2] ' ;

DESS EV1 'XBOR' -1.5 2.5 'YBOR' -0.5E-2 7.5E-2
'YGRA' +0.5      'YGRA' +0.5E-2
'TITR' ' Bornes sur X-Y & les intervalles de graduations donnees ' ;

DESS EV1 'XBOR' -1.5 2.5 'YBOR' -0.5E-2 7.5E-2
'YGRA' +0.5      'YGRA' +0.5E-2
'AXES' 'GRIL' 'POIN'
'TITR' ' La grille & les axes en PLUS ' ;

*
* ON TESTE ENSUITE D'AUTRES OPTIONS AVEC UN SYSTEME 2DDL ****
* LEGENDE, TITRES, CENTREMENT, GRILLE ...
*(BP)
* w donné en rad/s
T1=2.;
w1=(2.*pi)/T1;
T2=5.;
w2=(2.*pi)/T2;
xp = prog 0. PAS 0.1 20.;

* castem utilise les degrés
yp = 100. * (sin ((180/pi)*w1*xp));
yp2 = 110. * (sin ((180/pi)*w2*xp));

ev1 = evol bleu manu xp yp;
ev2 = evol roug manu xp yp2;

tdess1 = tabl;
tdess1 . 1 = mot 'REMP MARQ PLUS REGU';
tdess1 . 'TITRE' = tabl;
ent1 = enti w1;
decim1 = (enti (10.*w1)) - (10*ent1);
ent2 = enti w2;
decim2 = (enti (10.*w2)) - (10*ent2);
tdess1 . 'TITRE' . 1 = chai '\W=' ent1 '..' decim1 'rad.s^{\{-1\}}';
tdess1 . 2 = mot 'MARQ ROND REGU';
tdess1 . 'TITRE' . 2 = chai '\W=' ent2 '..' decim2 'rad.s^{\{-1\}}';

DESS (ev1 et ev2)
'TITR' 'Déplacement x_{\W}(t) = sin(\Wt)'
'TITX' 't(s)' 'POSX' 'CENT'
'TITY' 'Dépl u_{\A}^{\{1\}} (m)' 'POSY' 'CENT'
'LEGE' 'SO' tdess1;

DESS (ev1 et ev2)
'TITR' 'Déplacement x_{\W}(t) = sin(\Wt)'
'TITX' 't(s)' 'POSX' 'CENT'
'YBOR' -110. 110. 'YGRA' 22
'TITY' 'Dépl u_{\A}^{\{1\}} (m)' 'POSY' 'CENT'
'LEGE' tdess1;

DESS (ev1 et ev2)
'TITR' 'Déplacement x_{\W}(t) = sin(\Wt)'
'TITX' 't(s)'
'XBOR' 0. T2
'YBOR' -110. 110. 'YGRA' 22.
'TITY' 'Déplacement x (m)'
'LEGE' tdess1;

*** systeme 2ddl : fonction de transfert : amplitude et phase ***
evltot = VIDE 'EVOLUTION';
ev2tot = VIDE 'EVOLUTION';
* liscoul = mots VIOL BLEU TURO BLEU ORAN AZUR ROUG ;
liscoul = mots VIOL BLEU TURO OLIV ORAN AZUR ROUG ;
tdess2 = tabl;

```

```

tdess2 . 1 = mot 'MARQ PIJUS REGU';
tdess2 . 2 = mot 'MARQ ROND REGU';
tdess2 . 3 = mot 'MARQ CROI REGU';
tdess2 . 4 = mot 'MARQ CARR REGU';
tdess2 . 5 = mot 'MARQ TRIU REGU';
tdess2 . 6 = mot 'MARQ ETOI REGU';
tdess2 . 7 = mot 'MARQ TRID REGU';
tdess2 . 'TITRE' = tabl;

xi1 = 0.02 ; xi2 = 0.05;
xi1p = prog 0.001 0.002 0.01 0.02 0.05 0.1 0.15 ;
xi2p = xi1p * (xi2 / xi1);

xi1 = dime xi1p;
xi1 = 0;
repe Bxi xi1; xi1 = xi1 + 1;

xi1 = extr xi1p xi1;
xi2 = extr xi2p xi1;
mess xi1 'xi_1=' xi1 'xi_2=' xi2;

moxil1 = chai (enti (1000 * (xi1 - (enti xi1))));
si (ega (dime moxil1) 1); moxil1 = chai '00' moxil1; fins;
si (ega (dime moxil1) 2); moxil1 = chai '0' moxil1; fins;
moxil1 = chai (enti xi1) '.' moxil1;
tdess2 . 'TITRE' . xi1 = chai '\x_{\{1\}}=' (moxil1);

ml=2.; k1 = ml*(wl**2); c1 = 2.*xi1*wl*k1;
m2=1.; k2 = m2*(w2**2); c2 = 2.*xi2*w2*k2;
mess wl ml k1 c1;
mess w2 m2 k2 c2;

wpadim = prog 0. PAS 0.002 2. ;
wp = wl * wpadim;
np = dime wp;
ump = prog np*1.;

A_R = ((k1 + k2)*ump) - ((wp**2)*ml);
A_I = wp*(c1 + c2);
B_R = -1.*k2*ump;
B_I = -1.*c2*wp;
D_R = (k2*ump) - ((wp**2)*m2);
D_I = wp*c2;

Den_R = (A_R*D_R) - (A_I*D_I) - (B_R**2) + (B_I**2) ;
Den_I = (A_R*D_I) + (A_I*D_R) - (2.*B_R*B_I);
Den2 = (Den_R**2) + (Den_I**2);

* pour simplifier on excite seulement en F1 et en phase
F1_R = 1. ;
Num11_R = ((Den_R*D_R) - (Den_I*D_I)) * F1_R;
Num11_I = ((Den_R*D_I) - (Den_I*D_R)) * F1_R;
Num12_R = -1.*((Den_R*B_R) - (Den_I*B_I)) * F1_R;
Num12_I = -1.*((Den_R*B_I) - (Den_I*B_R)) * F1_R;

X1_R = Num11_R / Den2;
X1_I = Num11_I / Den2;
X2_R = Num12_R / Den2;
X2_I = Num12_I / Den2;

X1_AMP = ((X1_R**2)+(X1_I**2))**0.5;
X1_PHA = ATG X1_I X1_R;
X2_AMP = ((X2_R**2)+(X2_I**2))**0.5;
X2_PHA = ATG X2_I X2_R;

ev1_amp = evol BLEU manu wpadim X1_AMP;
ev2_amp = evol ROUG manu wpadim X2_AMP;
ev1_ph = evol BLEU manu wpadim X1_PHA;
ev2_ph = evol ROUG manu wpadim X2_PHA;

si (xi1 ega 0.02);
tdess1 . 'TITRE' . 1 = mot 'X_{\{1\}}';
tdess1 . 'TITRE' . 2 = mot 'X_{\{2\}}';

* 'Y LOG + titres X et Y centres + LEGE XY'
tit2ddl = chai 'Système à 2ddl : '
'\W_{\{1\}}=0.5 \W_{\{2\}}=0.2 \x_{\{1\}}=2% \x_{\{2\}}=5%';
DESS (ev1_amp et ev2_amp)
'LOGY' 'YBOR' 1.E-3 1.E1
'GRIL' 'POIN' 'GRIS'
'TITR' tit2ddl
'TITX' '\W (Hz)' 'POSX' 'CENT'
'TITY' 'amplitude |x| (m)' 'POSY' 'CENT'
'LEGE' 'XY' 1.5 0.8 tdess1;

DESS (ev1_ph et ev2_ph)
'YBOR' -180. 180. 'YGRA' 90.
'GRIL' 'POIN' 'GRIS'
'TITR' tit2ddl
'TITX' '\W (Hz)' 'POSX' 'CENT'
'TITY' 'phase \j(x) (m)' 'POSY' 'CENT'
'LEGE' 'XY' 1.5 160 tdess1;

fins;

evltot = evltot et (ev1_amp coul (extr liscoul xi1));

```

## GUIDE DE VALIDATION

```

ev2tot = ev2tot et (ev2_amp coul (extr liscoul ixi));
fin Bxi;

* ON CONTINUE AVEC D'AUTRES OPTIONS
* (BP)

tit2 = chai 'Evolution avec l`amortissement \x';
DESS evltot
'GRIL' 'POIN' 'GRIS' 'TITR' tit2
LOGY
'TITX' '\W (Hz)' 'POSX' 'CENT'
'TITY' '|X_{1}| (m)' 'POSY' 'CENT'
'LEGE' 'XY' 1.45 9. tdess2;
*rem : 'amplitude |X_{1}| (m)' est trop long (limite a 20 caracteres) !
*TITY' 'amplitude |X_{1}| (m)' 'POSY' 'CENT'

* test de l'option LIGNE_VARIABLE
* on definit les style des (np-1) segments
* (=0 lign, =2 tirr, ... =5 pointilles)
nps3 = np / 3;
ltirr2 = lect nps3*0 nps3*5 (np - 1 - (2*nps3))*1;
ltirr3 = lect nps3*1 nps3*2 (np - 1 - (2*nps3))*0;
tdess2 . 'LIGNE_VARIABLE' = TABL;
tdess2 . 'LIGNE_VARIABLE' . 2 = ltirr2;
tdess2 . 'LIGNE_VARIABLE' . 3 = ltirr2;
tdess2 . 'LIGNE_VARIABLE' . 5 = ltirr3;
DESS evltot
'GRIL' 'POIN' 'GRIS' 'TITR' tit2
LOGY
'TITX' '\W (Hz)' 'POSX' 'CENT'
'TITY' '|X_{1}| (m)' 'POSY' 'CENT'
'LEGE' 'XY' 1.45 9. tdess2;

*-----*
* cas-test de la directive @HISTOGR
*-----*
NN = 10000 ;

LTIRAG1 = BRUI 'BLAN' 'GAUS' 0. 2. NN ;
LTIRAG1 = LTIRAG1 -
(MASQ LTIRAG1 'INFERIEUR' 0.) ;
LTIRAG1 = ENTI LTIRAG1 ;

IMIN1 = MINI LTIRAG1 ;
NC = (MAXI LTIRAG1) - IMIN1 + 1 ;
LCOMPT1 = PROG NC*0. ;

REPE BLOC1 NN ;

```

```

IPOS1 =(EXTR LTIRAG1 &BLOC1)
+ 1 - IMIN1 ;
ICOMPT1 = EXTR LCOMPT1 IPOS1 ;
REMP LCOMPT1 IPOS1 (ICOMPT1 + 1.) ;
FIN BLOC1 ;

TOPT1 = TABL ;
TOPT1 . 'HPOS' = FLOT IMIN1 ;
TOPT1 . 'DESS' = 'GRIL AXES' ;
TOPT1 . 'COUL' = mot 'OCEA';

@HISTOGR LCOMPT1 TOPT1 FAUX ;

*-----*
* Test des couleurs
*-----*

coul3 = mots 'INDI' 'VIOL' 'MARI' 'BLEU' 'AZUR' 'CYAN'
        'TURQ' 'OCEA' 'BOUT' 'VERT' 'OLIV' 'LIME'
        'JAUN' 'OR' 'BRON'
        'ORAN' 'CORA' 'ROUG' 'BRIQ'
        'BRUN' 'CARA' 'BEIG' 'KAKI' 'POUR' 'ROSE' 'PEAU' 'LAVA'
        'BLAN' 'GRIS' 'NOIR' ;

n3 = dime coul3;
xx = prog 0. 1. ;
YY = prog 1. 1. ;
ev = vide EVOLUTIO;
T = tabl;
repe b n3;
    c = extr coul3 &b;
    ev =ev et (evol c 'MANU' xx (&b * yy));
    T . &b = chai 'LABEL ' c ' REGU';
fin b;

dess ev T XBOR 0. 1.2;

FIN ;

```

## Annexe A. Traçabilité

|   |  |                            |            |
|---|--|----------------------------|------------|
|  |  | Note Technique DEN         | Page 2/353 |
|   |  | Réf. : SEMT/LM2S/NT/16-043 |            |
|   |  | Date : 04/07/2017          | Indice : A |

Guide de Validation de Cast3M

| NIVEAU DE CONFIDENTIALITE |    |      |    |    |
|---------------------------|----|------|----|----|
| DO                        | DR | CCEA | CD | SD |
| X                         |    |      |    |    |

| PARTENAIRES/CLIENTS | ACCORD | TYPE D'ACTION |
|---------------------|--------|---------------|
|                     |        |               |

| REFERENCES INTERNES CEA |                   |   |                           |
|-------------------------|-------------------|---|---------------------------|
| DIRECTION D'OBJECTIFS   | DOMAINE           | PROJET                                  | EOTP                      |
| DISN                    | SIMU              | A MECAN                                 | A MECAN-01-01             |
| JALON                   | INTITULE DU JALON | DELAI CONTRACTUEL<br>DE CONFIDENTIALITE | CAHIERS DE<br>LABORATOIRE |
|                         |                   |   |                           |

| SUIVI DES VERSIONS |            |                       |                                |  |
|--------------------|------------|-----------------------|--------------------------------|--|
| INDICE             | DATE       | NATURE DE L'EVOLUTION | PAGES ET<br>CHAPITRES MODIFIES |  |
| A                  | 04/07/2017 | Document initial      | Toutes                         |  |

|                  | NOM                                      | FONCTION  | VISAS  | DATES      |
|------------------|--|---|--|------------|
| REDACTEUR        | T. LOCATELLI<br>F. DI PAOLA<br>S. PASCAL | Ingénieur Projet<br>Ingénieur Projet<br>Chef de Laboratoire |  | 04/07/2017 |
| VERIFICATEUR(S)  | C. BERTHINIER                            | Ingénieur-Chercheur   |  | 05/07/2017 |
| AUTRE(S) VISA(S) |  |   |  |            |
| APPROBATEUR      | S. PASCAL                                | Chef de Laboratoire   |  | 5/7/2017   |
| EMETTEUR         | V. VANDENBERGHE                          | Chef de Service   |  | 20/07/2017 |